



Proyecto Arqueológico
LA CORONA

INFORME FINAL
Temporada 2015



Tomás Barrientos Q.
Marcello A. Canuto
Eduardo Bustamante

Guatemala, Abril de 2016

© Proyecto Regional Arqueológico La Corona
17 Avenida "B" 0-76 Zona 15, Colonia El Maestro. 01015 Guatemala
lacorona.project@gmail.com
Edición General: Tomás Barrientos, Marcello Canuto y Eduardo Bustamante
Traducciones: Eduardo Bustamante y Tomás Barrientos
Edición electrónica en: <http://mari.tulane.edu/PRALC/research.html>
Figura de la portada: Lado frontal, Estela 1 de El Achiotal
Fotografía por Luke Auld-Thomas

CONTENIDO

Capítulo I	
Proyecto Regional Arqueológico La Corona: Antecedentes y objetivos de la Temporada 2015	
<i>Marcello Canuto y Tomás Barrientos</i>	1
Capítulo II	
Operaciones CR20E y CR20R: Excavaciones en los Túneles del Palacio de La Corona	
<i>José Eduardo Bustamante</i>	23
Capítulo III	
Operaciones CR210 y CR200: Sección Oeste del Palacio	
<i>José Eduardo Bustamante</i>	31
Capítulo IV	
Tercera Temporada de Investigaciones en la Sección Norte del Palacio de La Corona	
<i>Máxime Lamoureux St.-Hilaire y Ruben Morales Forte</i>	53
Capítulo V	
Operación CR31: Excavaciones en la Estructura 13Q-1	
<i>María Antonieta Cajas</i>	97
Capítulo VI	
Operación CR32: Excavaciones en la Estructura 13Q-2 durante la Temporada 2015	
<i>Erika Gómez</i>	111
Capítulo VII	
Investigaciones Arqueológicas en La Cariba, Temporada 2015	
<i>David Chatelain y Alejandro González</i>	147
Capítulo VIII	
Investigaciones Arqueológicas en El Achiotal, Temporada 2015	
<i>Luke Auld-Thomas, Mauro Montejo y Caroline A. Parris</i>	189
Capítulo IX	
Síntesis de la colección de tipos cerámicos de La Corona	
<i>Caroline Parris</i>	253
Capítulo X	
Inventario de Artefactos Líticos de La Corona, Temporada 2015	
<i>Alejandra Roche</i>	309

Capítulo XI	
Análisis Isótopos Estables: La Dieta de Gente de La Corona Muestras Exportada en Agosto de 2014	
<i>Erin Patterson</i>	315
Capítulo XII	
Análisis Químicos de Muestras de Estuco, Piedra Caliza y Piedra Verde Provenientes de La Corona y La Cariba	
<i>Andrea Sandoval</i>	321
Capítulo XIII	
Resultados Generales y Conclusiones de la Temporada de Campo 2015	
<i>Tomás Barrientos, Marcello Canuto y Eduardo Bustamante</i>	339
Bibliografía	363
Anexo: Listado de Materiales Arqueológicos, Temporada 2015	383

ÍNDICE DE FIGURAS

Capítulo I

Figura 1.1 Sitios Principales en el área del PRALC.....	5
Figura 1.2 Mapa con elevaciones localizando los 46 sitios registrados en la zona de estudio del PRALC	6
Figura 1.3 Ubicación de La Corona al oeste de la Altiplanicie Cárstica Central.	7
Figura 1.4 Mapa tridimensional de La Corona, Temporada 2012	8
Figura 1.5 La Corona, Plaza Principal.....	8
Figura 1.6 La Corona, Grupo Coronitas	9
Figura 1.8 Cronología de La Corona y detalle de la “Era Dorada”	11
Figura 1.9 Secuencia dinástica de La Corona durante la “Era Dorada”	11
Figura 1.10 Relaciones de parentesco de dinastía de La Corona	12
Figura 1.11 Zona de Estudio con límites aproximados	17
Figura 1.12 Mapa de la RBM con zonas naturales recuperadas desde 2008, donde se incluye el Corredor Biológico La Corona	17
Figura 1.13 Delimitación del sitio La Corona y ubicación del Campamento del PRALC	19
Figura 1.14 Edificios de oficina y bodega de materiales y herramientas, campamento PRALC	19
Figura 1.15 Ranchos para carpas de personal operativo y profesional, campamento PRALC	19
Figura 1.16 Personal Científico PRALC, 2015.....	20
Figura 1.17 Personal Operativo PRALC, 2015.....	21
Figura 1.18 Organigrama del Proyecto	21

Capítulo II

Figura 2.1. Planta de ubicación de las unidades CR20E-11 y CR20R-2	26
Figura 2.2. Perfil norte de la unidad CR20E-11	28
Figura 2.3 Perfil norte de la unidad CR20R-2.....	29

Capítulo III

Figura 3.1 Mapa de la sección sur del palacio y ubicación de unidades de excavación ..	32
Figura 3.2. Planta de la Operación CR200, incluyendo las 4 operaciones	34
Figura 3.3 Fachada Oeste de la Superestructura 13Q-4O. Unidades CR200-1, -2 y -3 ..	35
Figura 3.4. Perfil Norte del Cuarto 2, Estructura 13Q-4O	37
Figura 3.5. Piedras de ápice encontradas en el Cuarto 2	38
Figura 3.6. a) Planta de ofrenda CR200-2a-8; b) Fotografía del cráneo in situ	40
Figura 3.7. Perfiles de ubicación de nichos dentro del Cuarto 1, Estructura 13Q-4O	43
Figura 3.8. Perfil norte de rellenos bajo piso Cuarto 1, Estructura 13Q-4O	44
Figura 3.9. Perfil norte del Cuarto 4, Estructura 13Q-4O	46
Figura 3.10. Diseños encontrados en los respaldos laterales.....	48
Figura 3.11. Perfiles Este y Sur de la Unidad CR-21O-2.....	51

Capítulo IV

Figura 4.1. Ubicación del Palacio (Estructura 13Q-4) en la Plaza Principal.....	54
Figura 4.2. Ubicación de las estructuras 13Q-4B1, 13Q-4B2, 13Q-4F y 13Q-4G	

y las excavaciones realizadas en 2015.....	55
Figura 4.3. Perfil de los dos cuartos sur de la estructura 13Q-4F con los datos de las temporadas 2013 y 2015.....	57
Figura 4.4. Planta de la Arquitectura Terminal B de la Estructura 13Q-4F.....	58
Figura 4.5. Planta de la Arquitectura Penúltima B de la Estructura 13Q-4F.....	59
Figura 4.6. Planta de las unidades CR20G-8, CR20G-10, CR20B-1, y CR20B-2.....	61
Figura 4.7. Perfil Oeste del Cuarto 1 de la Estructura 13Q-4G.....	62
Figura 4.8. Fragmentos de estuco que representan las cabezas de dos hombres, encontradas en el Lote CR20G-8-1.....	63
Figura 4.9. Elevación sur de los accesos a los Cuartos Sur 1 y 2 de la Estructura 13Q-4G.....	64
Figura 4.10. Perfil este y elevación de las estructuras 13Q-4G, 13Q-4B2, y 13Q-4B1...	65
Figura 4.11. Elevación de la parte interna del muro sur de los Cuartos 1 y 2, Estructura 13Q-4G.....	66
Figura 4.12. Perfil norte del Cuarto Este de la Estructura 13Q-4G y su plataforma frontal.....	68
Figura 4.13. Elevación del muro este del Cuarto Este de la Estructura 13Q-4G y perfil de la escalinata de la Estructura 13Q-4B2.....	69
Figura 4.14. Perfil sur del Cuarto Este de la Estructura 13Q-4G y elevación de la escalinata de la plataforma baja de la Estructura 13Q-4B2.....	70
Figura 4.15. Planta del Cuarto Sur 4 de la Estructura 13Q-4G.....	72
Figura 4.16. Perfil Este del Cuarto Sur 4 de la Estructura 13Q-4G.....	73
Figura 4.17. Perfil Norte del Cuarto Oeste de la Estructura 13Q-4G.....	75
Figura 4.18. Elevación interior del muro oeste del Cuarto Oeste de la Estructura 13Q-4G.....	76
Figura 4.19. Planta de Cuarto Oeste de la Estructura 13Q-4G.....	78
Figura 4.20. Planta de excavación de las Estructuras de los Grupos Noreste y Noroeste	79
Figura 4.21. Perfil Norte de la Estructura 13Q-4B2.....	81
Figura 4.22. Elevación del muro norte de la plataforma superior de la Estructura 13Q-4B2 y el perfil de la banqueta.....	81
Figura 4.23. Fotografía del Elemento 55 (atrás) y Elemento 56 (“boca abajo”) como fueron encontrados durante la excavación.....	82
Figura 4.24. Fotografía del Elemento 55 in situ.....	83
Figura 4.25. Fotografía del Elemento 56 luego de ser limpiado en el laboratorio de Campo.....	84
Figura 4.26. Perfil del muro norte de la Estructura 13Q-4B1.....	89
Figura 4.27. Elevación de las jambas de la puerta del cuarto de la Estructura 13Q-4B1.....	89
Figura 4.28. Fotografía de los 25 fragmentos de figurilla encontrados en el escondite Sobre piso.....	90
 Capítulo V	
Figura 5.1. La Corona, Plaza Principal.....	97
Figura 5.2. Perfil este de la Operación CR31B-10, excavada por C. Álvarez (2014), en El que se observan los rellenos intrusivos que corresponden al Entierro.....	98
Figura 5.3. Muros de contención que corresponden al sistema constructivo registrados en el túnel de la Estructura 13Q-1.....	100

Figura 5.4 Perfil norte de la Unidad CR31B-9 y del túnel registrado como CR31B-11 que muestran los rellenos y sistema constructivo en la Estructura 13Q-1	101
Figura 5.5 Cuerpo basal de la Estructura 13Q-1 con restos de estuco (centro), y estructura adosada al muro basal de la plataforma de escalinata (derecha) .	103
Figura 5.6 Perfil sur de las operaciones CR31B-9, CR31B-10 y CR31B-15 que muestra tres cuerpos basales , la esquina de basamento de la plataforma de escalinata y el piso de plaza de la fachada oeste de la Estructura 13Q-1	104
Figura 5.7 Perfil norte de la Operación CR31C-19 que muestra el muro y pisos de la fachada este (posterior) de la Estructura 13Q-1, con una esquina remetida sobre la cual se adosó un relleno de argamasa	106
Figura 5.8 Perfil sur de la Operación CR31C-19 que muestra el muro y pisos de la fachada este (posterior), además de un relleno adosado al muro de la última etapa constructiva de la Estructura 13Q-1	106
Figura 5.9 Muro del cuerpo basal de la Estructura 13Q-1 con esquina remetida de la fachada este o posterior	107
Figura 5.10 Muros del cuerpo basal de la fachada este (posterior) de la Estructura 13Q-1, sobre el que se encontró adosado relleno de argamasa	107
Figura 5.11 Muro 2 de subestructura en 13Q-1	108
Figura 5.12 Perfil sur que muestra los muros 1 y 2 del cuerpo basal de fachada oeste (posterior) de la Estructura 13Q-1	108
Figura 5.13 Dibujo de planta que muestra el corte muros 1 y 2 del cuerpo basal de fachada oeste (posterior) de la Estructura 13Q-1	109

Capítulo VI

Figura 6.1. Vistas generales de sectores excavados en las inmediaciones del eje central de 13Q-2. Izquierda: vista de la unidad CR32H-19 previo a las excavaciones en sus límites Derecha: vista general del proceso de excavación de pozo y registros anexos o dentro de la unidad CR32H-19	115
Figura 6.2 Planta mostrando la distribución de unidades de excavación.....	116
Figura 6.3 Corte este-oeste mostrando rellenos y otros hallazgos constructivos en las unidades excavadas.....	117
Figura 6.4 Planta conjunta mostrando los hallazgos principales de las temporadas 2014 y 2015 a nivel de las subestructuras de 13Q-2	118
Figura 6.5 Ubicación de la unidad CR32H-21 con respecto a otras unidades excavadas en 2015 y planta de la misma unidad mostrando los escalones de la Subestructura 13Q-2-Sub 3, señalados con la flecha	119
Figura 6.6 Muros de contención redefinidos en cuanto a sus límites en 2015. La flecha al fondo indica el Muro A; la flecha al frente e izquierda señala el Muro B; la flecha al frente y derecha apunta al Muro C	120
Figura 6.7 Perfil sur de la unidad CR32H-18 y CR32H-18-R1 mostrando el Muro A y su contexto inmediato	120
Figura 6.8 Muro de contención sobre la parte superior de la fachada identificada de 13Q-2-Sub 4.....	122
Figura 6.9 Superficie compacta sobre el Muro B	124

Figura 6.10. Escalones de la Subestructura 13Q-2-Sub 3. Indicación de los tres escalones descubiertos bajo una superficie compacta en la unidad CR32H-21 y escalones en la unidad CR32H-20.....	124
Figura 6.11. Vista general del registro CR32H-21-R1, al fondo, mostrando discontinuidad de los escalones de la Subestructura 13Q-2-Sub 3	125
Figura 6.12. Rellenos de la Subestructura 13Q-2-Sub 3 y otros rasgos. Foto del proceso de excavación (arriba) y perfiles de la unidad CR32H-23 (abajo)	127
Figura 6.13. Relleno de la Subestructura 13Q-2-Sub 3 en el registro CR32H-20-R1	127
Figura 6.14. Ubicación del inicio del túnel CR32H-22, indicado con el recuadro	129
Figura 6.15. Vista del sector de fachada de la Subestructura 13Q-2-Sub 4, descubierta en el túnel CR32H-22, en el registro al sur CR32H-22-R1 y elevación frontal de la misma fachada.....	130
Figura 6.16. Vista en planta de la concavidad donde se encontró el entierro 18. La línea blanca es indicativa del límite sur de la cista.....	131
Figura 6.17. Perfiles norte y oeste de la unidad CR32H-20 y dibujo de los perfiles del mismo pozo.....	132
Figura 6.18 Detalle de la laja encontrada en el límite este de la cista del Entierro 18 y bloque in situ en el límite este de la cista, señalado con la flecha negra	134
Figura 6.19 Referencia para los dibujos de los objetos encontrados en el límite este del Entierro 18, mostrando algunos elementos de adorno y ofrenda localizados en 2014 y 2015.....	134
Figura 6.20 Capa 1 del lote CR32H-18a localizada en temporada 2015 en el límite este del Entierro 18	135
Figura 6.21 Capa 2 del lote CR32H-18a dentro del límite este del Entierro 18.....	135
Figura 6.22 Capa 3 del lote CR32H-18a dentro del límite este del Entierro 18.....	136
Figura 6.23. Detalle y dibujo de la Capa 4 del lote CR32H-18a dentro del límite este del Entierro 18	136
Figura 6.24 Objetos encontrados en el límite este del Entierro 18, en el lote CR32H-18 ^a	137
Figura 6.25 Capa 2 del depósito de espinas de pez raya, encontradas en el límite este del Entierro 18, en el lote CR32H-18a	137
Figura 6.26 Capa 1 y 2 del depósito de espinas de pez raya, encontradas en el límite este del Entierro 18, en el lote CR32H-18a	138
Figura 6.27 Ejemplares del depósito de espinas de pez raya, encontradas en el límite este del Entierro 18, en el lote CR32H-18 ^a	138

Capítulo VII

Figura 7.1. Mapa de La Cariba.....	149
Figura 7.2. Ubicación de unidades en la Sub-operación 2A	150
Figura 7.3. Planta de la Sub-Operación CAR2A.....	151
Figura 7.4. Perfil Sur de la Sub-operación CAR2A	153
Figura 7.5. Piso Chan 1 con muro de construcción	154
Figura 7.6. Concentración de fragmentos de cerámica, Lote CAR2A-3-2-5	156
Figura 7.7. Incensario Postclásico, Lote CAR2A-4-1-1.....	157
Figura 7.8. Perfil central, Unidad CAR2A-4.....	158
Figura 7.9. Superestructura, Est. A-1	160
Figura 7.10. Ofrenda de dos vasijas parciales del Clásico Temprano	161

Figura 7.11. Tinaja Encanto Estriado, parcial	162
Figura 7.12. Elevación de la superestructura de la Estructura A-1	163
Figura 7.13. Escalinata de la Estructura A-1, Fase K'ahk', vista desde el este al oeste ..	165
Figura 7.14. Comparación de los escalones de La Cariba y La Corona.....	165
Figura 15. Altar 1 de La Cariba.....	167
Figura 16. Altar 1 de La Cariba.....	167
Figura 7.17. Ubicación de las unidades en las Sub-operaciones 12B y 12C.....	168
Figura 7.18. Planta de la Sub-operación CAR12B.....	169
Figura 7.19. Perfil sur de la Sub-operación CAR12B	171
Figura 7.20. Perfil norte de la Sub-operación CAR12B.....	172
Figura 7.21. Base de la Estructura C-1, Fase Ahkan.....	174
Figura 7.22. Detalles arquitectónicos de la Fase Sinik, Estructura C-1	175
Figura 7.23. Muro inclinado en el frente, Unidad 12B-4a	176
Figura 7.24. Perfiles de la Unidad CAR12B-4a	178
Figura 7.25. Escalones cortados, Fase Chiwoj.....	179
Figura 7.26. Planta y elevaciones del recinto en roca madre, Unidad CAR12B-4a.....	180
Figura 7.27. Perfiles oeste y norte, Unidad CAR12C-1	183
Figura 7.28. Perfiles norte y oeste, Unidad CAR12C-2.....	184

Capítulo VIII

Figura 8.1. Localización de El Achiotal en relación a La Corona y otros sitios Preclásicos importantes (arriba) y topografía local (abajo	190
Figura 8.2. Centro del sitio El Achiotal, tomado de Acuña 2009.....	191
Figura 8.3. Grupo Sur, mostrando la localización de las excavaciones realizadas en la Temporada 2015	193
Figura 8.4. Unidad ACH3-LT1 antes de la intervención. El muro Xaman es visible a la izquierda, mientras que la jamba norte de la Estructura Pet es visible al fondo de la trinchera	195
Figura 8.5. Adosamiento del muro Xaman a la Estructura Pet (parte superior izquierda). Obsérvese cómo la plataforma basal de Pet continúa atrás de Xaman (parte inferior izquierda).....	196
Figura 8.6. Perfil norte de la Suboperación ACH3-LT1	196
Figura 8.7 Perfil este de ACH3S-1 (derecha) y ACH3-LT1 (izquierdo).....	198
Figura 8.9 Planta final de las sub-operaciones ACH3S-1 y ACH3-LT1	199
Figura 8.10 Muro de mampostería en ACH3S-1 designado como Nivel 2. La flecha norte descansa sobre el piso deteriorado	200
Figura 8.11 Muro del nivel 3 (arriba, bloques de mampostería expuestos) y talud del nivel 4 (abajo, con estuco), descansando sobre el Piso 2. La unión entre estos dos rasgos y la plataforma basal redondeada original de la Estructura Pet pueden ser vistas a la derecha.....	201
Figura 8.12. Detalle mostrando la unión entre los niveles 3 y 4 (izquierda) y la base redondeada de la Estructura Pet, al centro.....	203
Figura 8.13. Obsidiana de ACH3-LT-2.....	205
Figura 8.14. Perfil sur de trinchera de saqueo ACH3-LT-2	207
Figura 8.15. Perfil sur de trinchera de saqueo ACH3-LT2, mostrando las dos posibles Cistas	208

Figura 8.16. Localización de ACH3-LT3 (arriba) junto a la arquitectura expuesta por ACH3O-1 (abajo). La mampostería presente en la parte inferior central son las jambas de la puerta del Cuarto 2 del recinto de la estela.....	209
Figura 8.18. Ofrenda 2 (en primer plano) in-situ	212
Figura 8.19. Ofrenda 2, vasija superior (arriba) y vasija inferior (abajo).....	212
Figura 8.20. Planta de ACH3O-1, incluyendo ACH3O-1-ext.1 y ACH3O-1-ext.2.....	213
Figura 8.21. Perfil sur de ACH3O-1	214
Figura 8.22. Ofrenda 5 in situ.....	215
Figura 8.23 Vasija ACH-V007.....	216
Figura 8.24 Vasija ACH-V008.....	217
Figura 8.25 Vasija ACH-V009.....	218
Figura 8.26. Vasija ACH-V010.....	219
Figura 8.27. Huesos humanos desarticulados contenido dentro de un escondite labio a labio en la Ofrenda 5.....	220
Figura 8.28. Ofrenda 3 in situ dentro de un corte en el Piso 2	221
Figura 8.29. Ofrenda 3, vasija ACH-V004.....	222
Figura 8.30. Frente de la porción superior de la Estela 1	225
Figura 8.31. Lado posterior de la porción superior de la Estela 1	226
Figura 8.32. Dibujo del frente de la Estela 1	227
Figura 8.33. Dibujo del lado posterior de la Estela 1	228
Figura 8.34. Único glifo en el fragmento inferior de la Estela 1	228
Figura 8.35. Ofrenda 1 in situ en la base de la Estela 1	229
Figura 8.36. Excéntricos de pedernal recuperados en la Ofrenda 1, re-ensamble en laboratorio. Los dos excéntricos colocados en ángulo fueron los colocados verticalmente.....	229
Figura 8.37. Ofrenda 4 in situ. La ofrenda ocupaba un espacio vacío cubierto por una piedra laja grande (arriba).....	230
Figura 8.38. Vasijas ACH-V005 (tapadera) y ACHV006 (base).	231
Figura 8.39. Escalinata principal de la Estructura 5C-08 bajo el recinto de la estela	233
Figura 8.40. Punta de proyectil de pedernal, in situ (arriba), y luego de la excavación (abajo)	236
Figura 8.41. Muro sur del Cuarto 2 colocado sobre la fachada original del recinto de la estela. Notar que el muro original continúa a ambos lados del muro adosado.....	237
Figura 8.42. Detalle mostrando la fachada asociada con el nivel 4c, que continúa tras la adición del nivel 4b.....	238
Figura 8.43. Perfil sur de ACH3-LT-4	241
Figura 8.44. Perfil sur de ACH3-LT-4	241
Figura 8.45. Muro ubicado en ACH3-LT-5	242
Figura 8.46. Piedra tallada en forma de cabeza humana	243
Figura 8.47 Fachada norte, Estructura 5C-08, Suboperación ACH3-LT6.....	245
Figura 8.48. Perfil Este de ACH3-LT-6	246
Figura 8.49. Fachada norte de la Estructura 5C-08, Suboperación ACH3-LT6	247
Figura 8.50. Material cultural recuperado en ACH4-LT-3, Estructura 5C-02	248
Figura 8.51. Perfil sur de la Suboperación ACH4-LT-3	250
Figura 8.52. Planta y alineación de piedras del pozo de sondeo en la Suboperación ACH4-LT-3	251

Capítulo IX

Figura 9.1 Muestras del tipo Achiotes Sin Engobe: Variedad No especificada.....	260
Figura: 9.2 Muestras del tipo Sapote Estriado: Variedad no especificada	260
Figura 9.3 Muestras del tipo Sierra Rojo: Variedad Sierra	262
Figura 9.4 Muestra del tipo Sierra Rojo: Variedad Negra.....	263
Figura: 9.5 Muestra del tipo Repasto Negro sobre Rojo: Variedad Repasto	236
Figura: 9.6 Muestras del tipo Polvero Negro: Variedad Polvero	264
Figura 9.7 Muestras del tipo San Antonio Café-Dorado: Variedad San Antonio	265
Figura 9.8 Muestras del tipo Sacluc Negro sobre Naranja: Variedad Sacluc.....	266
Figura 9.9 Muestras del tipo Flor Crema: Variedad no especificada	266
Figura 9.10 Muestras del tipo Quintal Sin Engobe: Variedad no especificada.....	268
Figura 9.11 Muestras del tipo Triunfo Estriado: Variedad no especificada	269
Figura 9.12 Muestras del tipo Caribal Rojo: Variedad no especificada	270
Figura 9.13 Muestras del tipo Mahogany Creek Inciso: Variedad no especificada	271
Figura 9.14 Muestras del tipo Corona Rojo: Variedad no especificada	271
Figura 9.15 Muestras del tipo Balanza Negro: Variedad no especificada.....	272
Figura 9.16 Muestras del tipo Balanza Negro: Variedad no especificada.....	273
Figura 9.17 Muestras del tipo Águila Naranja: Variedad Águila.....	275
Figura 9.18 Muestras del tipo Águila Naranja: Variedad Águila.....	276
Figura 9.19 Muestras del tipo Águila Naranja: Variedad Dos Hermanos.....	277
Figura 9.20 Muestras del tipo Águila Naranja: Variedad Dos Hermanos.....	278
Figura 9.21 Muestras del tipo Milpa Inciso: Variedad no especificada	280
Figura 9.22 Muestras del tipo Dos Arroyos Naranja Policromo: Variedad no Especificada.....	280
Figura 9.23 Muestras del tipo Dos Arroyos Naranja Policromo: Variedad no Especificada.....	281
Figura 9.24 Muestras del tipo San Blas Rojo sobre Naranja: Variedad no especificada .	282
Figura 9.25 Muestras del tipo San Blas Rojo sobre Naranja: Variedad no especificada .	283
Figura 9.26 Muestras del tipo Cambio Sin Engobe: Variedad no especificada	285
Figura 9.27 Muestras del tipo Cambio Sin Engobe: Variedad no especificada	286
Figura 9.28 Muestra del tipo Manteca Impreso: Variedad no especificada	286
Figura 9.29 Muestras del tipo Encanto Estriado: Variedad no especificada	287
Figura 9.30 Muestras del tipo Encanto Estriado: Variedad no especificada	288
Figura 9.31 Muestras del tipo Encanto Estriado: Variedad impreso	289
Figura 9.32 Muestras del tipo Tinaja Rojo: Variedad no especificada	290
Figura 9.33 Muestras del tipo Corozal Inciso: Variedad Camarón Inciso	291
Figura 9.34 Muestras del tipo Chaquiste Impreso: Variedad no especificada	292
Figura 9.35 Muestras del tipo Chaquiste Impreso: Variedad Estampada.....	293
Figura 9.36 Muestras del tipo Chinja Impreso: Variedad no especificad	293
Figura 9.37 Muestra del tipo Pantano Impreso: Variedad no especificada	294
Figura 9.38 Muestras del tipo Infierno negro: Variedad no especificada	295
Figura 9.39 Muestras del tipo Carmelita Inciso: Variedad no especificada	296
Figura 9.40 Muestras del tipo Chilar Aflautado: Variedad no especificada	296
Figura 9.41 Muestras del tipo Esperancita Impreso: Variedad no especificada.....	297
Figura 9.42 Muestras del tipo Azote Naranja: Variedad no especificada	297
Figura 9.43 Muestras del tipo Torres Inciso: Variedad no especificada	298

Figura 9.44 Muestras del tipo Palmar Naranja Policromo: Variedad no especificada.....	299
Figura 9.45 Muestras del tipo Palmar Naranja Policromo: Variedad no especificada.....	300
Figura 9.46 Muestras del tipo Desquite Rojo sobre Naranja: Variedad no especificada .	301
Figura 9.47 Muestras del tipo Anonal Naranja Policromo: Variedad no especificada	301
Figura 9.48 Muestras del tipo Chantuori Negro sobre Naranja: Variedad no especificada.....	302
Figura 9.49 Muestra del tipo Mataculebra Crema Policromo: Variedad Mataculebra	303
Figura 9.50 Muestras del tipo Zacatal Crema Policromo: Variedad no especificada	304
Figura 9.51 Muestras del tipo Chablekal Gris: Variedad no especificada	304
Figura 9.52 Muestras del tipo Chicxulub Inciso: Variedad Chicxulub	305
Figura 9.53 Muestras del tipo Telchac Compuesto: Variedad Telchac.....	306
Figura 9.54 Muestra del tipo Carmelita Inciso: Variedad Cubeta.....	307
Figura 9.55 Muestras del tipo Altar Naranja: Variedad Altar	307
Figura 9.56 Muestras del tipo Trapiche Inciso: Variedad Trapiche	308
Figura 9.57 Muestras del tipo Balancán Naranja: Variedad no especificada.....	308

Capítulo XI

Figura 11.1. E. Patterson preparando las muestras en el Bone Chemistry Laboratory	317
Figura 11.2. Valores de isótopos estables de carbón (colágeno) y nitrógeno (incluyendo datos de El Perú-Waka’).....	319
Figura 11.3. Valores de isótopos estables de carbón (apatita) y nitrógeno (incluyendo datos de El Perú-Waka’	319

Capítulo XII

Figura 12.1 Muestras analizadas provenientes del Sitio Arqueológico La Corona	324
Figura 12.2 Muestras analizadas provenientes del Sitio Arqueológico La Cariba.....	324
Figura 12.3 Comparación de los difractogramas obtenidos entre las sub-muestras CR-200-3-(1) y CR-200-3-(2) utilizando la técnica: Difracción de Rayos X	325
Figura 12.4 Comparación de los difractogramas (fases minerales) obtenidos entre la base y el acabado de la muestra LC-2A-2-5, utilizando la técnica: Difracción de Rayos	326
Figura 12.5 Difractogramas obtenidos en el análisis de las muestras de estuco, utilizando la técnica Difracción de Rayos X	327
Figura 12.6 Muestra CR-31B-10-3-5	328
Figura 12.7 Análisis termogravimétrico (TGA) realizado a la muestra de estuco CR-31B-10-3-5	329
Figura 12.6 Difractograma obtenido en el análisis de una placa de piedra verde utilizando la técnica Difracción de Rayos X. Como se puede apreciar, el resultado composicional la identifica como Omfacita al 85%	335
Figura 12.7 Difractograma obtenido en el análisis de una orejera de piedra verde utilizando la técnica Difracción de Rayos X. Como se puede apreciar, el resultado composicional la identifica como Jadeita al 81%	336
Figura 12.8 Difractograma obtenido en el análisis de una cuenta de piedra verde utilizando la técnica Difracción de Rayos X. Como se puede apreciar, el resultado composicional la identifica como Jadeita al 100%	337

Capítulo XIII

Figura 13.1 Panel 6 de La Corona	342
Figura 13.2 Panel 1 de La Corona	344
Figura 13.3 Elemento 56 de La Corona.....	345
Figura 13.4 Elementos 35 y 36 La Corona.....	347
Figura 13.5 Bloque 5, Escalinata Jeroglífica 2 de La Corona	347
Figura 13.6 Elemento 55 de La Corona.....	348
Figura 13.7 Reconstrucción hipotética del Grupo Coronitas. Nótese la plataforma con los tres templos dedicados a los dioses patronos, en el extremo derecho de la imagen.....	349
Figura 13.8 Reconstrucción hipotética de la Estructura 13Q-4F, Residencia Real en el Palacio de La Corona.....	350
Figura 13.9 Joya de jadeíta proveniente del Entierro 18, Estructura 13Q-2	352
Figura 13.10 Mapa del “Camino Real” de la Dinastía Kaan durante el siglo VII d.C.....	353
Figura 13.11 Escalinata Jeroglífica 2 de La Corona, compuesta por bloques removidos de otros edificios del sitio	355
Figura 13.12 Plano del Palacio, Estructura 13Q-4, indicando la ubicación de los elementos 55 y 56	358
Figura 13.13. Comparación de los escalones de La Cariba y La Corona, a distintas escalas	359

ÍNDICE DE TABLAS

Capítulo IV

Tabla 4.1. Correlación cronológica de las fases constructivas del palacio real de La Corona	92
--	----

Capítulo VI

Tabla 6.1 Descripción general de las unidades excavadas	115
Tabla 6.2 Materiales asociados al entierro, encontrados en la extensión CR32H-19-18a	139

Capítulo VII

Tabla 7.1 Listado de materiales encontrados en las excavaciones en La Carita, Temporada 2015	185
---	-----

Capítulo VIII

Tabla 8.1. Sistema de Nomenclatura para operaciones, sub-operaciones, unidades, extensiones y lotes	193
Tabla 8.2. Clave para identificar los lotes asociados con cada nivel en la sub-operación ACH-3S1	203
Tabla 8.3 Guía para identificar los lotes asociados con cada nivel en la sub-operación ACH3O-1 (no se incluyen las extensiones	234

Capítulo IX

Tabla 9.1. Grupos cerámicos, tipos, y variedades presentes en la colección de tipos de La Corona	254
Tabla 9.2. Contextos arqueológicos representados en la colección de tipos de La Corona	256
Tabla 9.3: Recursos utilizados para identificar los tipos del complejo Naah.....	259
Tabla 9.4. Achiotes Sin Engobe: V. No especificada.....	259
Tabla 9.5 Muestras del tipo Sapote Estriado, Variedad no especificada.....	259
Tabla 9.6 Muestras del tipo Sierra Rojo, Variedad Sierra.....	261
Tabla 9.7 Muestras del tipo Sierra Rojo, Variedad Negra.....	263
Tabla 9.8 Muestras del tipo Repasto Negro sobre Rojo, Variedad Repasto	263
Tabla 9.9 Muestras del tipo Polvero Negro, Variedad Polvero.....	264
Tabla 9.10 Muestras del tipo San Antonio Café-Dorado: Variedad San Antonio	265
Tabla 9.11 Muestras del tipo Sacluc Negro sobre Naranja: Variedad Sacluc	265
Tabla 9.12 Muestras del tipo Flor Crema: Variedad no especificada	265
Tabla 9.13: Recursos utilizados para identificar los tipos del Complejo Ochib.....	267
Tabla 9.14 Muestras del tipo Quintal Sin Engobe: Variedad no especificada	267
Tabla 9.15 Muestras del tipo Triunfo Estriado: Variedad no especificada	269
Tabla 9.16 Muestras del tipo Caribal Rojo: Variedad no especificada	270
Tabla 9.17 Muestras del tipo Mahogany Creek Inciso: Variedad no especificada	270
Tabla 9.18 Muestras del tipo Corona Rojo: Variedad no especificada	271
Tabla 9.19 Muestras del tipo Balanza Negro: Variedad no especificada.....	272
Tabla 9.20 Muestras del tipo Águila Naranja: Variedad Águila	274
Tabla 9.21 Muestras del tipo Águila Naranja: Variedad Dos Hermanos	276
Tabla 9.22 Muestras del tipo Milpa Inciso: Variedad no especificada	278
Tabla 9.23 Muestras del tipo Dos Arroyos Naranja Policromo: Variedad no especificada.....	279
Tabla 9.24 Muestras del tipo San Blas Rojo sobre Naranja: Variedad no especificada..	281
Tabla 9.25: Recursos utilizados para identificar los tipos del Complejo Waay.....	284
Tabla 9.26 Muestras del tipo Cambio Sin Engobe: Variedad no especificada.....	284
Tabla 9.27 Muestras del tipo Manteca Impreso: Variedad no especificada.....	286
Tabla 9.28 Muestras del tipo Encanto Estriado: Variedad no especificada	287
Tabla 9.29 Muestras del tipo Encanto Estriado: Variedad Impreso	288
Tabla 9.30 Muestras del tipo Tinaja Rojo: Variedad no especificada.....	289
Tabla 9.31 Muestras del tipo Corozal Inciso: Variedad Camarón Inciso.....	291
Tabla 9.32 Muestras del tipo Chaquiste Impreso: Variedad no especificada.....	291
Tabla 9.33 Muestras del tipo Chaquiste Impreso: Variedad Estampada	293
Tabla 9.34 Muestras del tipo Chinja Impreso: Variedad no especificada	293
Tabla 9.35 Muestras del tipo Pantano Impreso: Variedad Estampada	294
Tabla 9.36 Muestras del tipo Infierno negro: Variedad no especificada.....	294
Tabla 9.37 Muestras del tipo Carmelita Inciso: Variedad no especificada	295
Tabla 9.38 Muestras del tipo Carmelita Inciso: Variedad no especificada	296
Tabla 9.39 Muestras del tipo Esperancita Impreso: Variedad no especificada.....	297
Tabla 9.40 Muestras del tipo Azote Naranja: Variedad no especificada.....	297
Tabla 9.41 Muestras del tipo Torres Inciso: Variedad no especificada.....	298
Tabla 9.42 Muestras del tipo Palmar Naranja Policromo: Variedad no especificada	298
Tabla 9.43 Muestras del tipo Desquite Rojo sobre Naranja: Variedad no especificada ..	300

Tabla 9.44 Muestras del tipo Anonal Naranja Policromo: Variedad no especificada.....	301
Tabla 9.45 Muestras del tipo Chantuori Negro sobre Naranja: Variedad no especificada	302
Tabla 9.46 Muestras del tipo Mataculebra Crema Policromo: Variedad Mataculebra	303
Tabla 9.47 Muestras del tipo Zacatal Crema Policromo: Variedad no especificada.....	303
Tabla 9.48 Muestras del tipo Chablekal Gris: Variedad no especificada.....	304
Tabla 9.49 Muestras del tipo Chicxulub Inciso: Variedad Chicxulub	305
Tabla 9.50 Muestras del tipo Telchac Compuesto: Variedad Telchac	305
Tabla 9.51 Recursos utilizados para identificar los tipos del Complejo Paat.....	306
Tabla 9.52 Muestras del tipo Carmelita Inciso: Variedad Cubeta.....	307
Tabla 9.53 Muestras del tipo Altar Naranja: Variedad Altar	307
Tabla 9.54 Muestras del tipo Trapiche Inciso: Variedad Trapiche	308
Tabla 9.55 Muestras del tipo Balancán Naranja: Variedad no especificada	308

Capítulo X

Tabla 10.1 Inventario de artefactos de piedra verde provenientes de La Corona	310
Tabla 10.2 Inventario de artefactos de lítica provenientes de El Achiotal	313

Capítulo XI

Tabla 11.1 Valores de isótopos estables de carbón y nitrógeno.....	318
--	-----

Capítulo XII

Tabla 12.1 Metodología utilizada para el análisis químico composicional de estuco y rocas de origen calcáreo.....	323
Tabla 12.2 Muestras analizadas durante las pruebas	323
Tabla 12.3 Comparación de la composición elemental general obtenida entre las sub-muestras CR-200-3-(1) y CR-200-3-(2) utilizando la técnica de Fluorescencia de Rayos X	325
Tabla 12.4 Comparación de la composición elemental general obtenida entre la base y el acabado de la muestra LC-2A-2-5, utilizando la técnica de Fluorescencia de Rayos X	326
Tabla 12.5 Cuantificación de los elementos (a través de la determinación de óxidos generales) en las muestras de estuco utilizando la técnica: Fluorescencia de Rayos X	328
Tabla 12.6 Cuantificación de las fases minerales: Calcita (CaCO_3) y Dolomita ($\text{CaMg}(\text{CO}_3)_2$) en las muestras de estuco, reportada por las técnicas: XRD, XRF y TGA en las muestras de estuco	329
Tabla 12.6 Muestras de estuco provenientes del Sitio Arqueológico La Corona, extraídas en el año 2014	331
Tabla 12.7 Muestras de estuco provenientes del Sitio Arqueológico La Corona, extraídas en el año 2015	332
Tabla 12.8 Concentración de fósforo (P) disponible en las muestras de estuco extraídas en el año 2014	333
Tabla 12.9 Concentración de fósforo (P) disponible en las muestras de estuco extraídas en el año 2015	334

CAPÍTULO I

PROYECTO REGIONAL ARQUEOLÓGICO LA CORONA: OBJETIVOS Y ANTECEDENTES DE LA TEMPORADA 2015

Marcello A. Canuto y Tomás Barrientos Q.

Después de nueve temporadas de campo entre 2005 y 2014, las investigaciones en el noroccidente de Petén por parte del Proyecto Regional Arqueológico La Corona (PRALC) han aportado datos significativos sobre sitios arqueológicos importantes como La Corona, El Achiotal, La Cariba, Las Guacamayas y muchos otros asentamientos prehispánicos de la zona. El proyecto PRALC continuó en 2015 sus actividades de investigación y conservación, mediante un esfuerzo conjunto de varias personas e instituciones, especialmente la Universidad de Tulane y la Universidad del Valle de Guatemala, representadas por sus directores, el doctor Marcello A. Canuto y el doctor Tomás Barrientos.

Modalidad de la investigación

Las investigaciones realizadas en 2015 se circunscriben dentro de los incisos “4”, “5” y “6” del Artículo 6, Capítulo I, del Reglamento para Desarrollar Proyectos de Investigación Arqueológica de la Dirección General del Patrimonio Cultural y Natural del Ministerio de Cultura y Deportes, Acuerdo Ministerial 001-2012 (MCD 2012), los cuales literalmente dicen:

- 4. Investigaciones integrales a largo plazo e interdisciplinarias sobre las sociedades desaparecidas, las que requieren de excavaciones de sitios, así como de la protección, conservación y restauración de bienes muebles e inmuebles que lo ameriten.*
- 5. Investigaciones que no impliquen excavación, que conlleven el estudio de las evidencias expuestas, como son los análisis sobre arquitectura, pintura mural, epigrafía, iconografía y otros, actividades que requieren fotografía especial, dibujos, copias y otras técnicas documentales.*
- 6. Estudios de gabinete sobre patrimonio cultural mueble depositado en museos, laboratorios, bodegas y colecciones en general.*

Justificación

Desde sus inicios, las investigaciones del proyecto PRALC han logrado contribuir al entendimiento del ente político más grande y complejo del periodo Clásico en las Tierras Bajas—el reinado de *K'aanal*. A partir de los datos recabados en el noroccidente de Petén, se ha podido sugerir de manera general que durante el siglo VII d.C., la dinastía en Calakmul dominó el territorio sur de las Tierras Bajas Mayas a través de líneas o rutas de comunicación y comercio ancladas por sitios aliados y subordinados (Canuto y Barrientos 2013b). Dentro de este contexto, las investigaciones de 2015 han aportado información sobre la naturaleza de La Corona después de dicha influencia política, y se ha confirmado que el sitio El Achiotal fungió como la primera capital regional de la región. Las actividades del proyecto PRALC van más allá de lo científico, ya que se ha continuado con la conservación de recursos naturales y culturales.

Planteamiento Teórico

El proyecto PRALC plantea un estudio amplio de varios temas básicos y fundamentales en los estudios arqueológicos de la cultura Maya. En cuanto a las investigaciones en 2015, continuaron con el estudio de la organización sociopolítica de los mayas del período Clásico (250-900 d.C.) a través de la relación entre capitales regionales y sitios secundarios, así como la interpretación de inscripciones jeroglíficas. Además, se continuó con el estudio de otros sitios de la región noroccidental de Petén, ya que es una de las zonas menos estudiadas de las Tierras Bajas Mayas Centrales. Las investigaciones han mejorado nuestro conocimiento de las estrechas relaciones políticas entre Calakmul y La Corona, especialmente las razones por las que la familia real de La Corona carece del título de *k'ujul ajaw*, por lo que al sitio no se identifica por medio de un glifo emblema. Por lo tanto, desde el punto de vista de los modelos de la organización política Maya, La Corona presenta una serie de contradicciones que se pueden esclarecer por medio de la investigación arqueológica. Es probable que La Corona no fuese un centro secundario gobernando por aliados de Calakmul de forma típica, sino era un centro de función e importancia pragmática, como una *colonia*, *puesto fronterizo*, u *estación de abastecimiento remota* de Calakmul, a cargo de un ramal de la propia dinastía de Calakmul.

Esta interpretación se ha apoyado por medio de: 1) textos jeroglíficos que relatan detalles de la relación entre estos dos sitios, 2) la relación entre el paisaje y los patrones de asentamiento,

y 3) las relaciones espaciales entre los sitios, especialmente en relación con las fronteras políticas antiguas entre reinos distintos.

Por razones todavía poco comprendidas, La Corona representaba un punto de importancia estratégica para los gobernantes de Calakmul en su expansión territorial en los siglos VI y VII d.C. y la competencia con Tikal para adquirir control de las rutas y recursos de las Tierras Bajas (Canuto y Barrientos 2013a). Además, el estudio de PRALC está contribuyendo a corregir el desnivel de datos históricos entre las dos grandes capitales Mayas, complementando la información ya obtenida de investigaciones realizadas en la zona de Campeche, en sitios como Calakmul (Benavides 2005), Oxpemul (Šprajc, Folan y González 2005, Robichaux y Pruett 2005), Dzibanché (Martin 2005, Velásquez 2008) y Uxul (Grube 2007). También se ha complementado la interpretación de otras zonas estratégicas, como la de Waka'/El Perú en el Río San Pedro Mártir (Freidel y Escobedo 2004, Freidel y Escobedo 2005, Freidel y Escobedo 2006, Freidel y Escobedo 2007, Freidel *et al.* 2007, Navarro-Farr y Rich 2015) y el antiguo reino de *Hix Witz'* en la zona de La Joyanca (Arnauld, Breuil-Martínez y Ponciano 2004) y Zapote Bobal (Fitzsimmons 2006).

Objetivos y metas de investigación:

De manera más específica, la temporada de investigación 2015 tuvo los siguientes objetivos y metas, enumerados desde los más específicos a los más generales:

- 1) Continuar con las excavaciones intensivas en el Palacio (Estructura 13Q-4) para identificar su secuencia constructiva y función de sus superestructuras.
- 2) Continuar con las excavaciones intensivas en la fachada de la Estructura 13Q-2, para definir el contexto del Entierro 18 y subestructuras asociadas.
- 3) Continuar con las excavaciones en la Estructura 13Q-1, para identificar subestructuras y otros rasgos que pudieran ubicarse dentro del basamento piramidal.
- 4) Iniciar las excavaciones en el sitio arqueológico La Cariba.
- 5) Continuar con las investigaciones en el sitio arqueológico El Achiotal.
- 6) Continuar con los análisis de las inscripciones provenientes de los monumentos de piedra.
- 7) Llevar a cabo estudios cerámicos, líticos y osteológicos de los materiales recuperados a partir de las excavaciones realizadas en ésta y otras temporadas.

- 8) Realizar análisis químicos y composicionales de varios materiales recuperados en las excavaciones.
- 9) Formular modelos políticos, económicos y culturales que expliquen la relación de La Corona y otros reinos Mayas asociados al Reino *K'aanal* entre los siglos VI y VIII d.C., así como sus relaciones con Tikal y otros sitios de las Tierras Bajas Mayas durante el Período Clásico.
- 10) Fortalecer las acciones de protección y conservación de la antigua ciudad de La Corona y los bienes culturales y naturales de la región de estudio.

Investigaciones previas

Los estudios llevados a cabo antes de 2009 proporcionaron una visión bastante preliminar de La Corona, y a partir de 2010 se iniciaron las investigaciones intensivas en la Plaza Principal y el Grupo Coronitas, incluyendo el descubrimiento de la Escalinata Jeroglífica 2 en 2012. A continuación se presenta una síntesis de los resultados alcanzados en las temporadas previas, que sirven como base para la realización de investigaciones en 2015. Las investigaciones en la zona de La Corona iniciaron como resultado de la búsqueda del “Sitio Q”, que había sido relevante desde la década de 1970 en las discusiones referentes a la investigación del sistema político de los mayas clásicos. No se incluye la historia detallada estas investigaciones, ya que esto ha sido incluido en los informes previos de PRALC de 2008 y 2009 (Canuto y Barrientos 2009, Barrientos y Canuto 2010). En 2005 y 2006 se organizaron dos expediciones al sitio La Corona por parte del Proyecto El Perú-Waka’, dirigido por David Freidel y Héctor Escobedo (Canuto *et al.* 2006, Canuto 2007, Acuña 2007, Marken y Guenter 2007). Las expediciones tenían como propósito investigar la correlación entre La Corona y el Sitio Q propuesta por Stuart (2001), lo que finalmente fue comprobado mediante el descubrimiento del Panel 1.

Dos años después, en 2008, se llevó a cabo la primera temporada del Proyecto Regional Arqueológico La Corona (PRALC), dirigido por Marcello Canuto y Tomás Barrientos (Canuto y Barrientos 2009), iniciando un programa ininterrumpido de temporadas de campo y laboratorio (Barrientos y Canuto 2010, Barrientos *et al.* 2011, 2012, 2013, 2014). Además, entre 2009 y 2011 se construyó un campamento permanente, el cual sirve como estación científica tanto para las investigaciones en el sitio de La Corona, sus alrededores y otros proyectos de carácter regional en la zona noroccidental de Petén. A continuación se presenta un resumen de los datos e interpretaciones más recientes de La Corona y su región asociada.

Asentamiento al occidente de la Reserva de la Biósfera Maya

La mayor parte de los estudios regionales se realizaron entre 2010 y 2012, resultando en el registro de 46 sitios (Figuras 1.1 y 1.2). Se usó como base el estudio del drenaje de suelos en relación a la topografía quebrada al este y la topografía plana al oeste. Usando el Índice de Posición Topográfica (Topographic Position Index o TPI) de la Geomorfometría, se ha definido un área de 302 km² que se mantiene arriba de los niveles normales de inundaciones temporales, y es allí precisamente donde se han identificado asentamientos prehispánicos. De estos sitios, más de la mitad han presentado material cerámico del periodo Preclásico, sugiriendo una importante ocupación de este período en la región de la RBM occidental, pero con características distintas a las encontradas en la meseta central cárstica al este y posiblemente compartiendo muchas similitudes con las ocupaciones preclásicas del suroccidente del Petén.

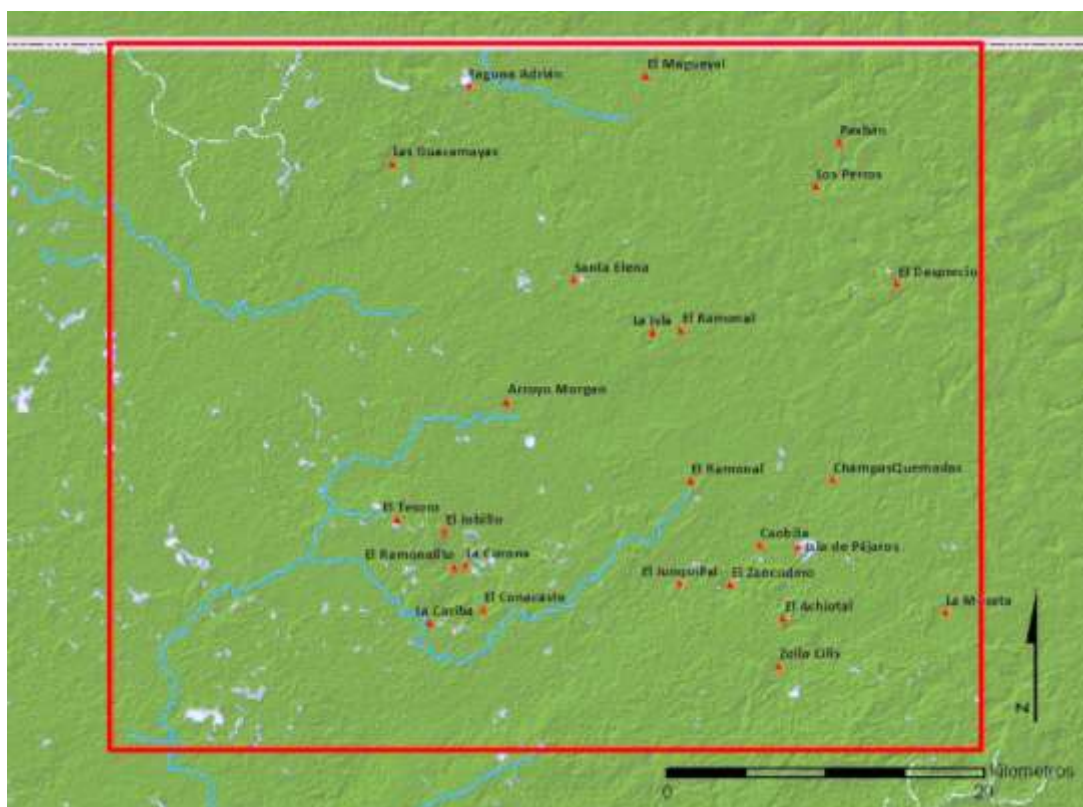


Figura 1.1 Sitios principales en el área de PRALC (Mapa por C. Chiriboga).

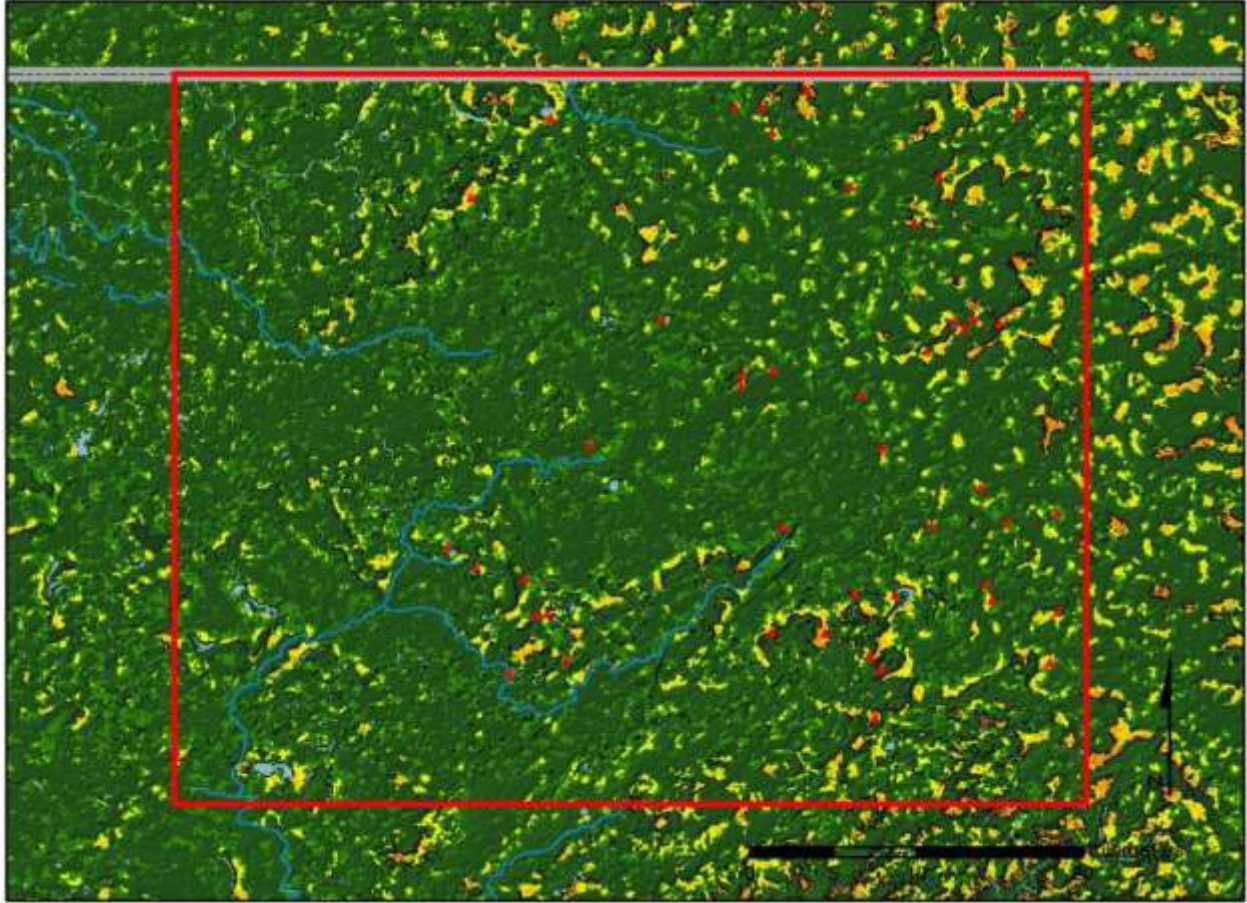


Figura 1.2 Mapa con elevaciones (zonas amarillas son las más altas) localizando los 46 sitios registrados en la zona de estudio PRALC hasta 2012 (Mapa por C. Chiriboga).

Ubicación estratégica de La Corona

La Corona se localiza en el límite occidental de la Altiplanicie Cárstica Central de la Reserva de la Biósfera Maya (RBM) y está dentro de una cadena de *sibales* en una zona que carece de ríos. La presencia de sitios en toda esta área es limitada hacia el oeste, ya que se inunda periódicamente y no es susceptible para el asentamiento humano. Hacia el este, el terreno se eleva continuamente en dirección a la meseta cárstica central de las Tierras Bajas, donde se ubican sitios como Tikal, Uaxactun, Naachtun y El Mirador. A unos pocos kilómetros al suroeste de La Corona se encuentran los nacimientos de los ríos Xan y Chocop, que drenan hacia el oeste hacia el Río San Pedro Mártir, el cual proveyó acceso hacia el Bajo Usumacinta y el Golfo de México (Figura 1.3).

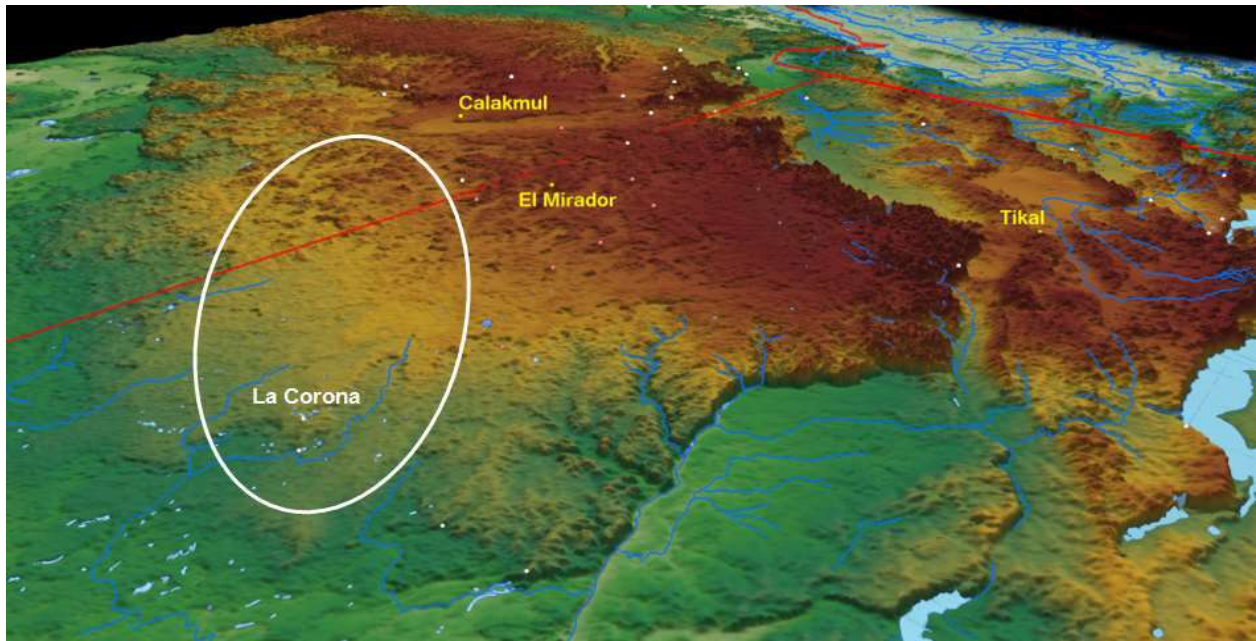


Figura 1.3 Ubicación de La Corona al oeste de la Altiplanicie Cárstica Central (Mapa por M. Canuto)
 Las áreas verdes son de menor altura y las de color café son de mayor altitud.

Patrón de Asentamiento de La Corona

La Corona es un sitio que está estratégicamente localizado en un área que tiene drenaje suficiente para permitir asentamiento durante todo el año y está rodeada por una riqueza de sibales de agua dulce. La Corona se compone de dos “complejos” arquitectónicos principales con una serie de grupos piramidales y grupos residenciales intercalados entre ellos (Figura 1.4).

Los complejos de arquitectura monumental que definen el centro de La Corona tienen singularidades que los distinguen entre sí. El grupo al oeste —llamado “Grupo Principal”— está construido en una elevación natural entre los dos sibales “Pato” y “Colmoyote” al norte y sur, respectivamente. Consiste de una plaza estucada cuadrangular de aproximadamente 10,000 m² rodeada de edificios monumentales y donde se encuentra la mayoría de altares y estelas (Figura 1.5). Destaca el complejo Palacio (Estructura 13Q-4) en el lado oeste de la plaza, que es un edificio tipo acrópolis cuyo basamento cubre alrededor de 4,000 m² y se eleva 10 m sobre la plaza, sosteniendo 4 patios internos y 10 estructuras en su etapa final. Hacia el sur se encuentra una aguada cuadrangular que pudo ser la cantera original que resultó de la construcción del Grupo Principal.

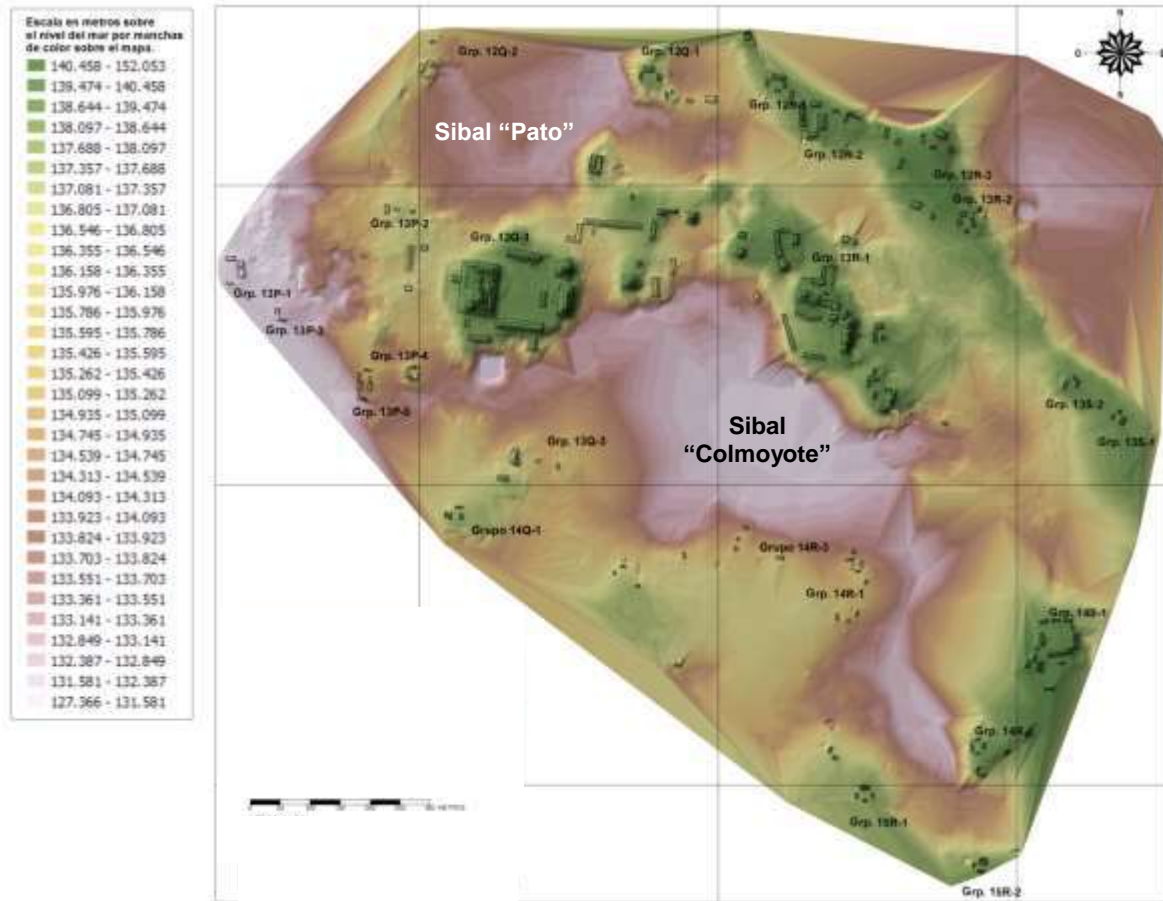


Figura 1.4 Mapa tridimensional de La Corona, Temporada 2012 (Mapa por R. Guzmán).

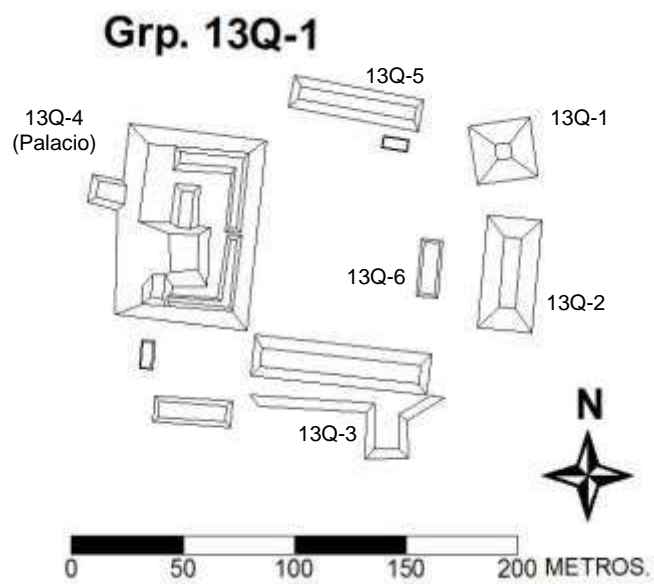


Figura 1.5 La Corona, Plaza Principal (Mapa realizado por R. Guzmán).

Por su parte, el Grupo Coronitas presenta características menos convencionales, donde destaca el conjunto de cinco pequeños templos alineados en eje norte-sur (Grupo 13R-I) y un grupo de templo y palacio en el límite norte del grupo (Grupo 13R-II). Hacia el sur y este, la plaza es casi abierta, ya que solamente presenta dos estructuras bajas y alargadas (Figura 1.6).

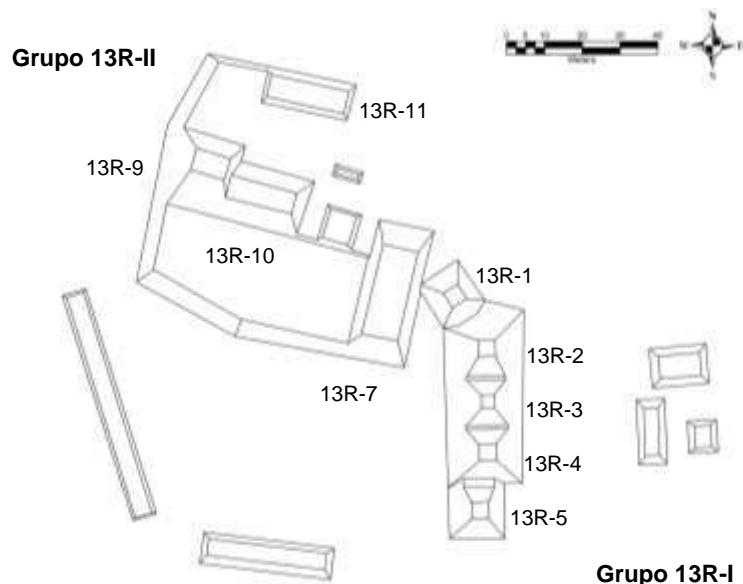


Figura 1.6 La Corona, Grupo Coronitas (Mapa por M. Canuto).

La Plaza Principal fue el escenario para actividades rituales y políticas de carácter público, dada la presencia de monumentos con inscripciones. Actualmente hay una estela y cuatro altares, y la Escalinata Jeroglífica 1 en la Estructura 13Q-3. De acuerdo a los descubrimientos recientes, la fachada de la Estructura 13Q-2 seguramente contuvo bloques tallados que posteriormente se colocaron en la Estructura 13R-10 como parte de la Escalinata Jeroglífica 2.

En el Grupo Coronitas se han recuperado inscripciones en el Panel 7 y se sabe también que el Panel 6 o Altar de Dallas se encontraba en la Estructura 13R-10. Por supuesto, lo más relevante es la presencia del Panel 1 en la Estructura 13R-5 y la Escalinata Jeroglífica 2 en la fachada de la Estructura 13R-10, descubierta en 2012. Además, es relevante que las investigaciones en la Estructura 13R10 durante 2013 ratificaron su función ceremonial mediante la presencia de siete ofrendas u escondites en sus cinco fases arquitectónicas.

Las diferencias en diseño arquitectónico y presencia de monumentos con inscripciones en ambos grupos pueden sugerir funciones distintas durante el siglo VII d.C., que corresponde al

apogeo del sitio. En ese momento parece que la Plaza Principal tuvo un carácter más dinástico, relacionado con la conmemoración de eventos políticos, mientras que el Grupo Coronitas pudo haber sido transformado de un área de culto a ancestros, a un lugar dedicado a deidades patronas o tutelares del sitio. Esta hipótesis se basa en el contenido del texto del Panel 1, que incluye pasajes de carácter ritual y mitológico, especialmente la descripción de la fundación del templo como santuario en 677 d.C. para la efigie de un dios patrón. Se supone entonces que cada uno de los cinco templos de este conjunto pudo haber sido dedicado a deidades específicas y que fueron particulares al sitio de *Sak Nikte'*. Además, la remodelación de estos templos cubrió totalmente entierros de reyes antiguos, posiblemente de algún linaje distinto.

Los estudios arquitectónicos y epigráficos de estas dos plazas constituyen la principal fuente para reconstruir la cronología ocupacional del sitio. El Grupo Coronitas cuenta con seis fases constructivas: *K'inich* (314–400? d.C.), *Mam* (400–500? d.C.), *Muk* (500?–658 d.C.), *K'uh* (658–677 d.C.), *Ub* (677–750? d.C.) y *Unen* (750?–850? d.C.), las cuales muestran cambios drásticos en cuanto a su función. De la misma manera, la secuencia de las Estructuras 13R-9 y 13R-10 apunta a cambios funcionales de esta plaza en la segunda parte del Clásico Tardío y Clásico Terminal, cuando se colocó la Escalinata Jeroglífica 2, con bloques provenientes de otros edificios de la Plaza Principal.

Cronología de La Corona y su región circundante

La cronología actual del sitio ha sido designada mediante una “cronología arquitectónica”, que se complementa principalmente en datos epigráficos de los textos de La Corona y otros patrones generales de las Tierras Bajas Centrales durante el período Clásico (Figura 1.7). Esta cronología ha sido designada de la siguiente manera:

- Fase *Aneel* (314-500 d.C.).
- Fase *Naah Ek'* (520-625 d.C.).
- Fase *Yuknoom* (625-700 d.C.).
- Fase *Ti' Kann* (700-750 d.C.).
- Fase *Ix Mutal* (750-820 d.C.).

La Fase *Aneel* comienza con la llegada del fundador del linaje de La Corona, posiblemente en 314 d.C., mientras que la Fase *Naah Ek'* comienza con la llegada de la primera

princesa proveniente de *Kaanal* (Dzibanche) en 520 d.C. La Fase *Yuknoom* comienza con el reinado de *Sak Maas* y abarca el período de tiempo donde se tiene la mayor cantidad de datos epigráficos, que corresponde a la mayor expansión de Calakmul y la llamada “Era Dorada” de La Corona (Figuras 1.8, 1.9). La Fase *Ti' Kaan* comienza poco después que Tikal vence a Calakmul en 695 d.C. y la Fase *Ix Mutal* comienza con la derrota de El Perú-Waka' y Naranja por parte de Tikal a mediados del siglo octavo, hasta el abandono final del sitio de La Corona. Todo este desarrollo se caracteriza por varias alianzas matrimoniales con Calakmul y Tikal, en por lo menos cuatro de sus fases (Figura 1.10).

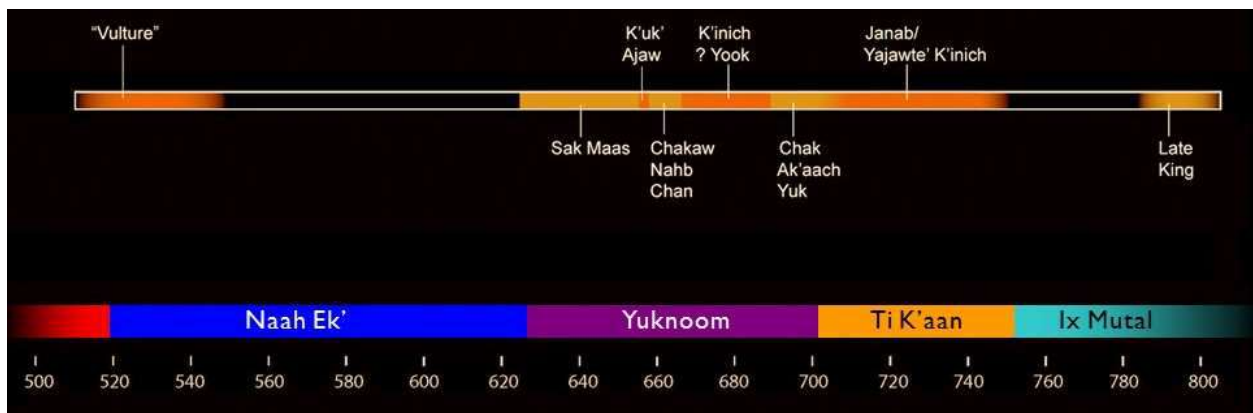


Figura 1.8 Cronología de La Corona y detalle de la “Era Dorada” (Gráfica por J. Baron y T. Barrientos).

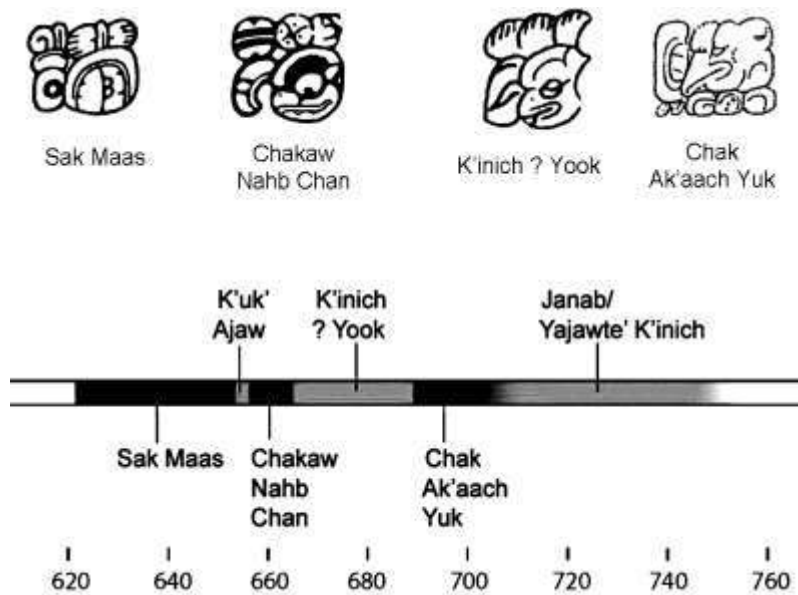


Figura 1.9 Secuencia dinástica de La Corona durante la “Era Dorada” (Gráfica por J. Baron).

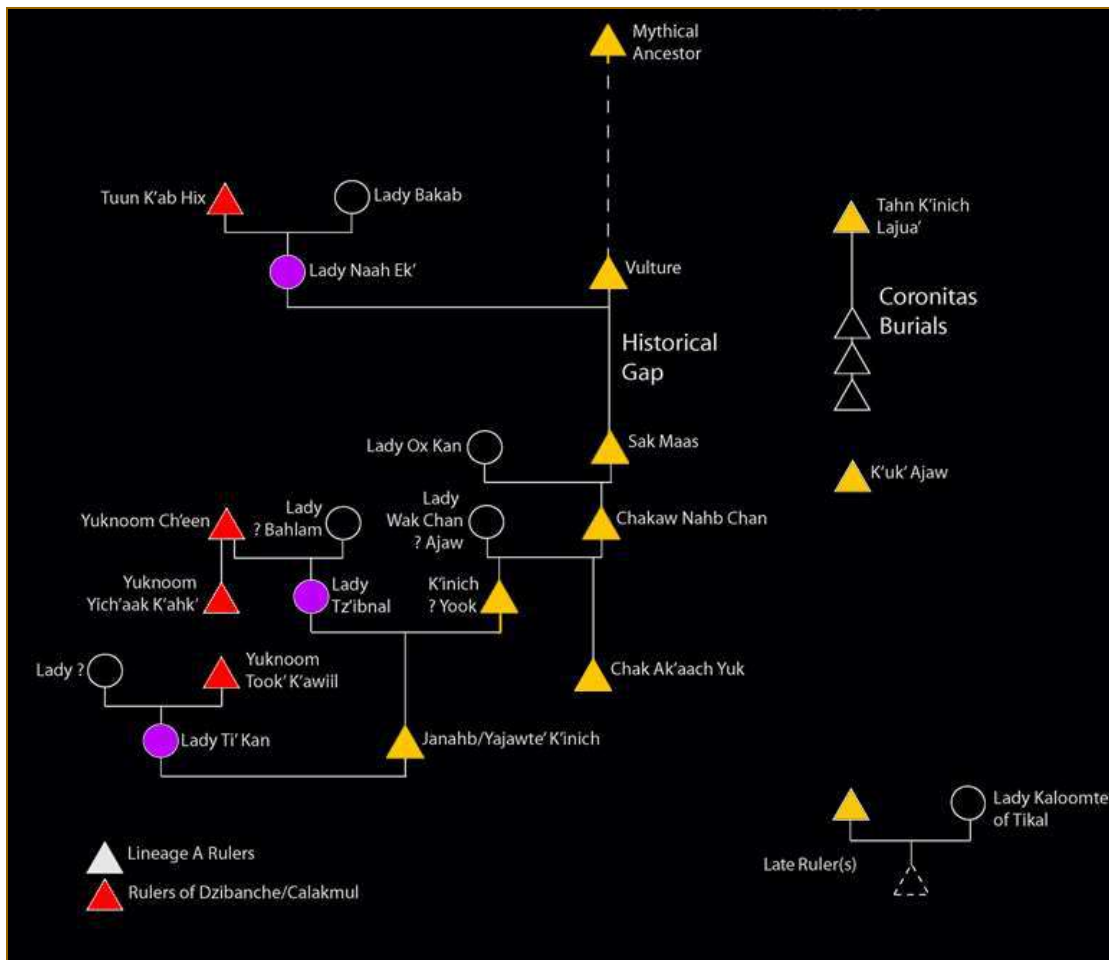


Figura 1.10 Relaciones de parentesco de dinastía de La Corona (Gráfica por J. Baron).

Este esquema cronológico se basa mayormente en los datos epigráficos de La Corona, pero aún no se sabe si está apoyado por la cronología cerámica. Se requiere todavía desarrollar una cronología cerámica basada en cambios de formas de vasija y tratamiento de superficie a través del tiempo para demostrar cambio tecnológico y estilístico local a través del tiempo. Sin embargo, si se toma en cuenta lo corto de los períodos definidos, es poco probable que el ambiente político regional y los cambios políticos locales en La Corona influenciaron de gran manera las tendencias locales en estilo y tecnología cerámica.

Conclusiones después de la Temporada 2014

Después de seis años de investigación intensa en el sitio, el Proyecto Regional Arqueológico La Corona ha logrado definir varias conclusiones con respecto a la función, importancia, papel de este sitio de tamaño modesto en el extremo oeste del área central de la

civilización maya clásica de las tierras bajas. Por el momento se pueden plantear las siguientes conclusiones:

- 1) El modelo de asentamiento predictivo para la RBM (lado oeste) en el cual se elaboró una buena base ha proporcionado resultados satisfactorios. Con este modelo, se siguen registrando sitios nuevos. Hasta ahora, la gran mayoría de sitios visitados y reportados permanecen en la zona más elevada (la franja este) de la región.
- 2) En cuanto al Preclásico, los datos revelan una presencia contundente por toda la región que se ha investigado. Los datos son demasiado preliminares para ofrecer conclusiones ahora; sin embargo, se ha mostrado que la ocupación Preclásica parece ser extensa en la RBM occidental.
- 3) El Achiotal parece ser una cabecera de la ocupación preclásica. La arquitectura, los murales, las decoraciones arquitectónicas y la iconografía sugieren que éste era la sede de un linaje dinástico que probablemente controlaba rutas de intercambio entre la zona central y el occidente de Petén.
- 4) Los templos del Grupo Coronitas fungieron inicialmente como recintos funerarios, pero a mediados del siglo VII d.C. se cambiaron a santuarios para deidades patronales, posiblemente como una estrategia que acompañó cambios políticos en el sitio, asociados a la expansión del reino *K'aanal*.
- 5) Las estructuras 13Q-1 y 13Q-2 de la Plaza Principal fungieron como recintos funerarios. Por el momento se han descubierto bajo sus escalinatas de acceso dos tumbas de gobernantes de finales del Clásico Temprano o inicios del Clásico Tardío, pero es posible que en su interior alberguen los restos de reyes o reinas de la “Era Dorada”.
- 6) El ente político más grande y complejo del periodo Clásico en las Tierras Bajas fue el Reino de *K'aanal*, cuya capital fue originalmente el sitio de Dzibanché y alrededor de 635 d.C. se instaló en Calakmul, bajo el gobierno de *Yuknoom Ch'een*. La relación entre La Corona y el Reino *K'aanal* en los siglos VI, VII y VIII d.C. fue muy estrecha mediante y a través de lazos consanguíneos. De hecho, La Corona pudo funcionar como un tipo de colonia, definida como una extensión directa del linaje reinante en Calakmul.
- 7) Se han identificado cuatro episodios constructivos en el Palacio (13Q-4), de los cuales el segundo, conocido como Fase Coccochan, parece ser el grupo residencial de la corte real en el siglo VII d.C. Comprende un grupo de por lo menos tres estructuras alrededor de un

patio. Remodelaciones posteriores cubrieron estos edificios mediante basamentos monumentales, reconfigurando la totalidad de la acrópolis. En el siglo VIII d.C., la residencia real posiblemente fue la Estructura 13Q-4F, como parte de las últimas remodelaciones monumentales del complejo palaciego.

- 8) Parece que en la última etapa de ocupación de La Corona, el patrocinio político del sitio y sus gobernantes estaba en manos de Tikal. Con los varios cambios arquitectónicos tardíos en la Plaza Principal y la colocación de la Escalinata Glífica 2 en la Estructura 13R-10, se evidencia un cambio notorio en el sitio durante la segunda parte del siglo VIII d.C.
- 9) Todavía existe un gran vacío de conocimiento científico al norte de La Corona, dentro del territorio de Guatemala. De hecho, la distancia entre La Corona y Uxul, otro conocido aliado de *K'aanal*, mide más de 55 km en línea recta, donde bien cabría otro sitio a lo largo de la ruta. Es posible que el punto clave faltante de la “ruta Kaanal” sea el sitio conocido como Las Guacamayas, ubicado a 25 km al norte de La Corona y en el límite occidental de la altiplanicie cárstica central de Peten. Este sitio, posiblemente fechado para el Clásico Tardío, todavía no presenta evidencia de inscripciones jeroglíficas, por lo que no se ha podido relacionar directamente con La Corona o *K'aanal*
- 10) Se ha comprobado la existencia de una relación política amistosa entre La Corona y La Florida (*Namaan*), ubicado en la aldea de El Naranjo-Frontera y a orillas del Río San Pedro. Esta conexión refleja la expansión de la influencia *K'aanal* hacia el oeste y define a La Corona como un punto donde convergía una red de rutas.
- 11) La importancia estratégica de la zona de La Corona, como parte del “Escudo” del Corredor Biológico de la Reserva de la Biósfera Maya, se ha demostrado mediante el paro del avance de la frontera agrícola y ganadera desde el Parque Nacional Laguna del Tigre. Por lo tanto, es un punto clave para la conservación de los recursos naturales y culturales de la reserva.

Zona de Estudio

El proyecto PRALC consiste en un estudio regional de una zona de Petén donde La Corona representa el sitio clásico Maya con arquitectura monumental más noroccidental de

Guatemala. Aunque ya se han hecho algunos estudios de reconocimiento (Kaufman y Leal 1988; Leal y López 1993; Leal, López *et al.* 1988), no se han realizado investigaciones intensivas en esta zona. De hecho, al norte de La Corona hasta la frontera Guatemala-México, yacen más de 30 kms de territorio inexplorado. Por lo tanto, se estudia una zona que abarca la región entre Waka' y La Corona hasta la frontera norte de Guatemala, que incluye unos 50 km al oeste de la Zona de El Mirador (Figura 1.11). En total, la zona mide casi 2,200 km². Aunque no se podrá realizar un estudio arqueológico exhaustivo de esta zona completa, se espera que el uso de sensores remotos permita explorar de manera “virtual” toda la región entre La Corona y la frontera norte. A continuación se describen los límites del área de estudio:

- a) Límite occidental: nacimiento de los ríos Chocooop, Xan, y Candelaria. Los tres afluentes llevan hacia el oeste y probablemente representan importantes rutas de comunicación entre el centro del Petén y el occidente. Se considera posible que existen sitios a lo largo de ellos.
- b) Límite sur: entre Waka' y La Corona, justo donde nace el Río San Juan, que fluye al sur hacia el Río San Pedro Mártir.
- c) Límite oriental: definido arbitrariamente, colindante con la región de El Mirador, aproximadamente a 6 km al oeste de Carmelita, cerca del nacimiento del Arroyo Sac Chich.

La zona de estudio, como polígono, tiene sus esquinas aproximadamente en las coordenadas N 17° 49' 04" W90° 35' 00" (punto noroeste); N 17° 49' 07" W90° 07' 00" (punto noreste); N 17° 25' 00" W90° 35' 00" (punto suroeste) y N 17° 25' 00" W90° 07' 00" (punto sureste). El área se encuentra en varias zonas distintas de la Reserva Biosfera Maya, que son: Parque Nacional Laguna del Tigre, Zona de Manejo Especial Laguna del Tigre y Corredor Biológico. En cuanto a concesiones, están Paxbán al noreste y San Andrés (AFISAP), Carmelita y La Colorada al sureste. La zona de estudio está en la jurisdicción del municipio de San Andrés, departamento de Petén. La zona no incluye comunidades actuales, aparte de algunos asentamientos ilícitos o invasiones. El sitio La Corona se ubica en las coordenadas N 17° 31' 42" W 90° 22' 46.1"

Alianza para la Protección e Investigación del Corredor Biológico PNLDT-PNMR

En 2008 se propuso una alianza llamada “Escudo Jaguar”, formada por varias ONGs (WCS, ProPetén, Asociación Balam), entes gubernamentales (DGPCN, CONAP, DIPRONA),

comunidades locales (ACOFOP, AFISAP) y proyectos arqueológicos para la protección de esta área. Consecuentemente, el proyecto propuesto aquí hace parte de este esfuerzo multilateral necesario para la conservación de los bienes culturales y naturales de la región (Figura 1.12).

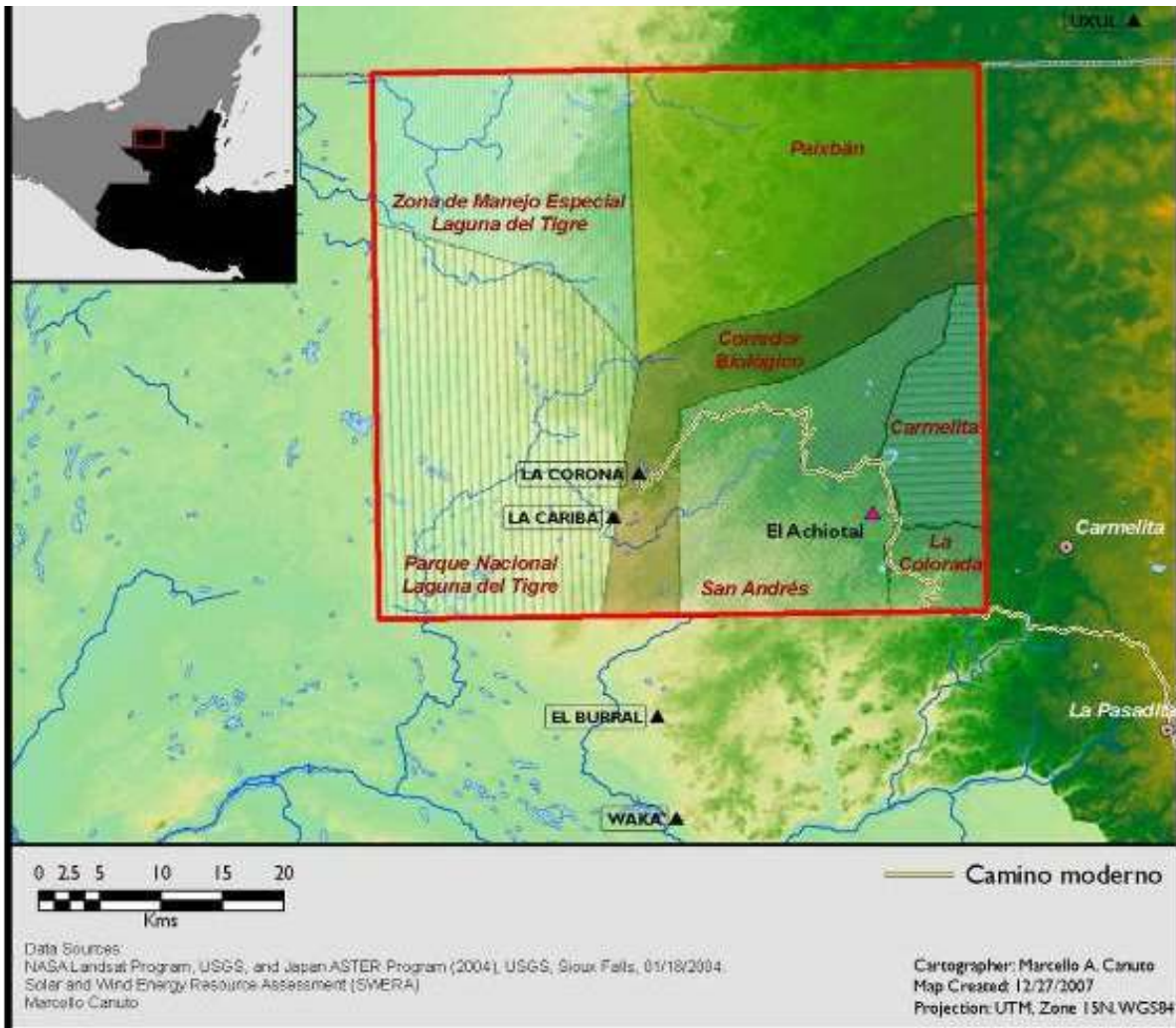


Figura 1.11 Zona de Estudio con límites aproximados (Mapa por M. Canuto).

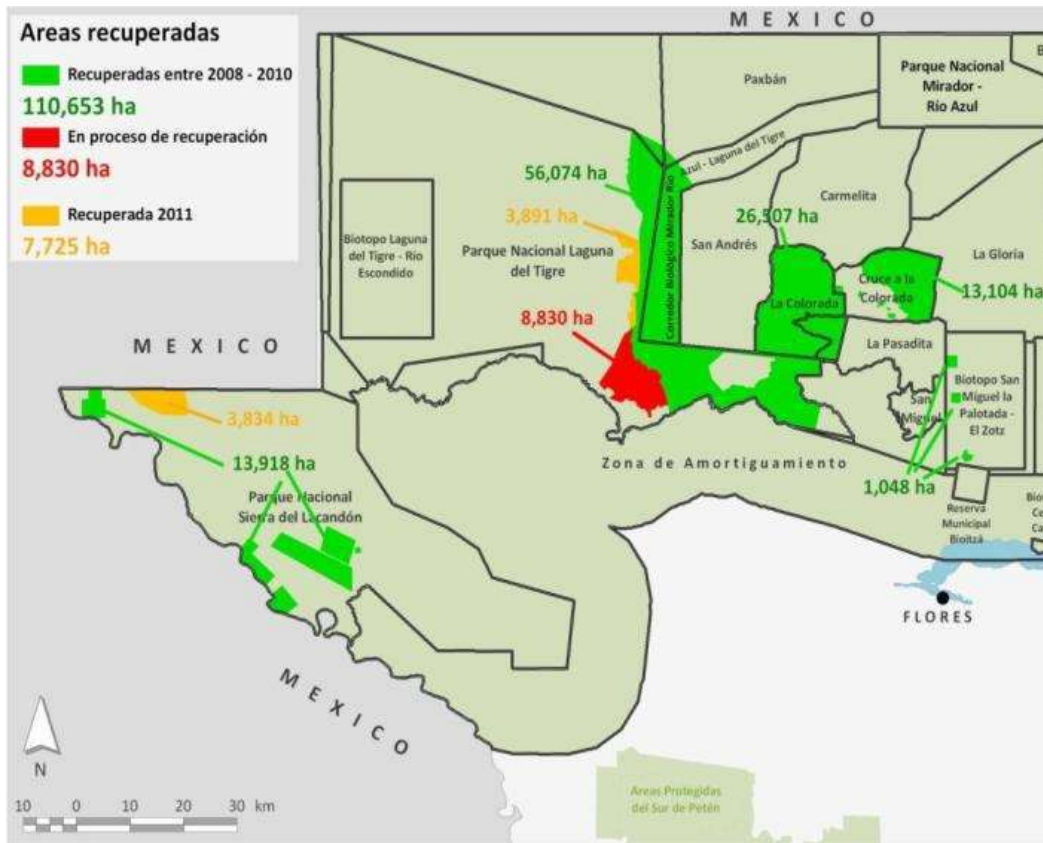


Figura 1.12 Mapa de la RBM con zonas naturales recuperadas desde 2008, donde se incluye el Corredor Biológico La Corona (Mapa por WCS).

Campamento

PRALC cuenta con un campamento permanente para los investigadores y trabajadores del proyecto, para lo cual se cuenta con el aval del Ministerio de Ambiente y Recursos Naturales, después de realizarse una Evaluación Ambiental Inicial (EAI). Se encuentra cerca del camino y con fuentes de agua suficientes, ya que está ubicado en la orilla del sibal nombrado Jabirú, que queda a menos de 500 m al este del Grupo Coronitas (Cuadrante 12S) (Figura 1.13).

El diseño del campamento es de bajo impacto ambiental, por lo que se han tomado medidas en cuanto al manejo de desechos, drenaje y la minimización de materiales que no son propios del lugar (lámina, malla, block, cemento). Este campamento puede servir como base para vigilantes del proyecto, así como personal del IDAEH, CONAP, Ejército de Guatemala y otras instituciones que operan en la zona. Adicionalmente, se cuenta con el apoyo de los campamentos de CONAP en El Achiotal y El Sargazo, y de AFISAP en Buena Vista, para apoyo logístico y como base para investigaciones de carácter regional.

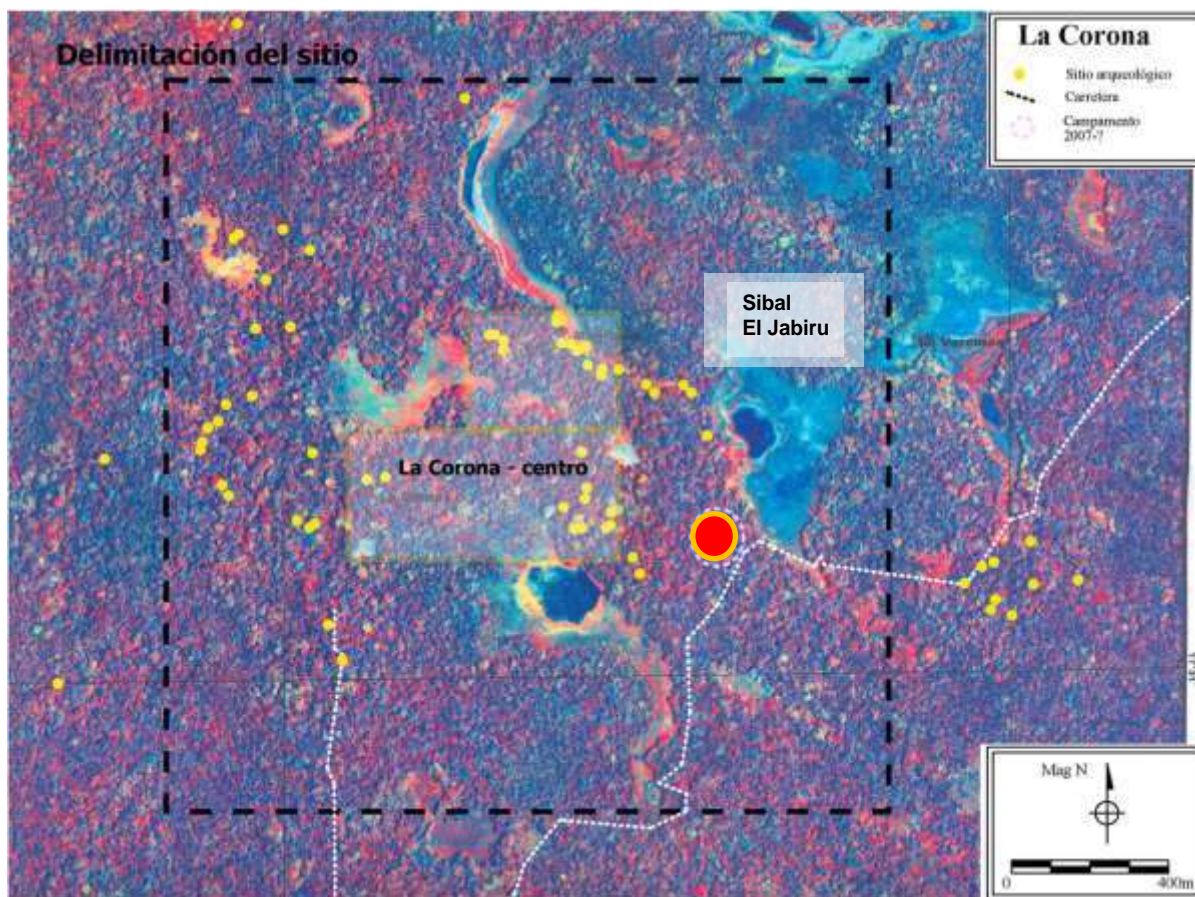


Figura 1.13 Delimitación del sitio La Corona y ubicación del Campamento del PRALC (Foto satelital, MARI).

El campamento incluye oficina administrativa, laboratorio, comedor, cocina, bodega de materiales y bodega de equipo y herramientas (Figura 1.14). Adicionalmente se construyeron sanitarios, duchas y un área de lavandería. En cuanto al área de dormitorio, se cuenta con dos ranchos de guano para albergar 60 carpas para el personal operativo (Figuras 1.15, 1.17). Para el personal técnico y profesional (Figura 1.16) se cuenta con 10 ranchos para carpas y dos ranchos grandes para visitantes.



Figura 1.14 Edificios de oficina y bodega de materiales y herramientas, campamento PRALC (Foto por T. Barrientos).



Figura 1.15 Ranchos para carpas de personal operativo y profesional, campamento PRALC (Foto por T. Barrientos).

Personal Científico y Técnico, Temporada 2015

1. Doctor Marcello A. Canuto, *Director General del Proyecto.*
2. Doctor Tomás Barrientos Q. (candidato a doctor), *Codirector General del Proyecto.*
3. M.A. Maxime Lamoreaux (candidato a doctor), *Arqueólogo, Estructura 13Q-4.*
4. M.A. David Chatelain (candidato a doctor), *Arqueólogo, Sitio La Cariba.*
5. M.A. Luke Auld-Thomas (candidato a doctor), *Arqueólogo, Sitio El Achiotal.*
6. M.A. Erika Gómez, *Arqueóloga, Estructura 13Q-2.*
7. M.A. Caroline Parris (candidata a doctora), *Arqueóloga, análisis cerámico.*
8. M.A. Erin Patterson (candidata a doctora), *Arqueóloga, análisis de restos óseos.*
9. M.A. Mary Kathleen Kelly, *Arqueóloga auxiliar.*
10. Licenciado Mauro Montejo, *Arqueólogo, Sitio El Achiotal.*
11. Licenciada Alejandra Roche, *Arqueóloga, Áreas residenciales y análisis lítico.*
12. Licenciada Lilian Vega de Zea, *Arqueóloga, restauración de materiales.*
13. Licenciada Andrea Sandoval, *Análisis químico de materiales.*
14. Eduardo Bustamante (candidato a licenciado), *Arqueólogo, Estructura 13Q-4.*
15. María Antonieta Cajas (candidata a licenciada), *Arqueóloga, Estructura 13Q-1.*
16. Analy Montenegro (candidata a licenciada), *Administración y Logística.*
17. Jesús Alejandro González, *Estudiante de práctica.*
18. Rubén Morales, *Estudiante de práctica.*
19. Marissa López, *Estudiante de práctica.*
20. Pablo Estrada, *Estudiante de práctica.*



Figura 1.16 Personal Científico PRALC, 2015 (Foto por R. Morales).



Figura 1.17 Personal Operativo PRALC, 2015 (Foto por R. Morales).

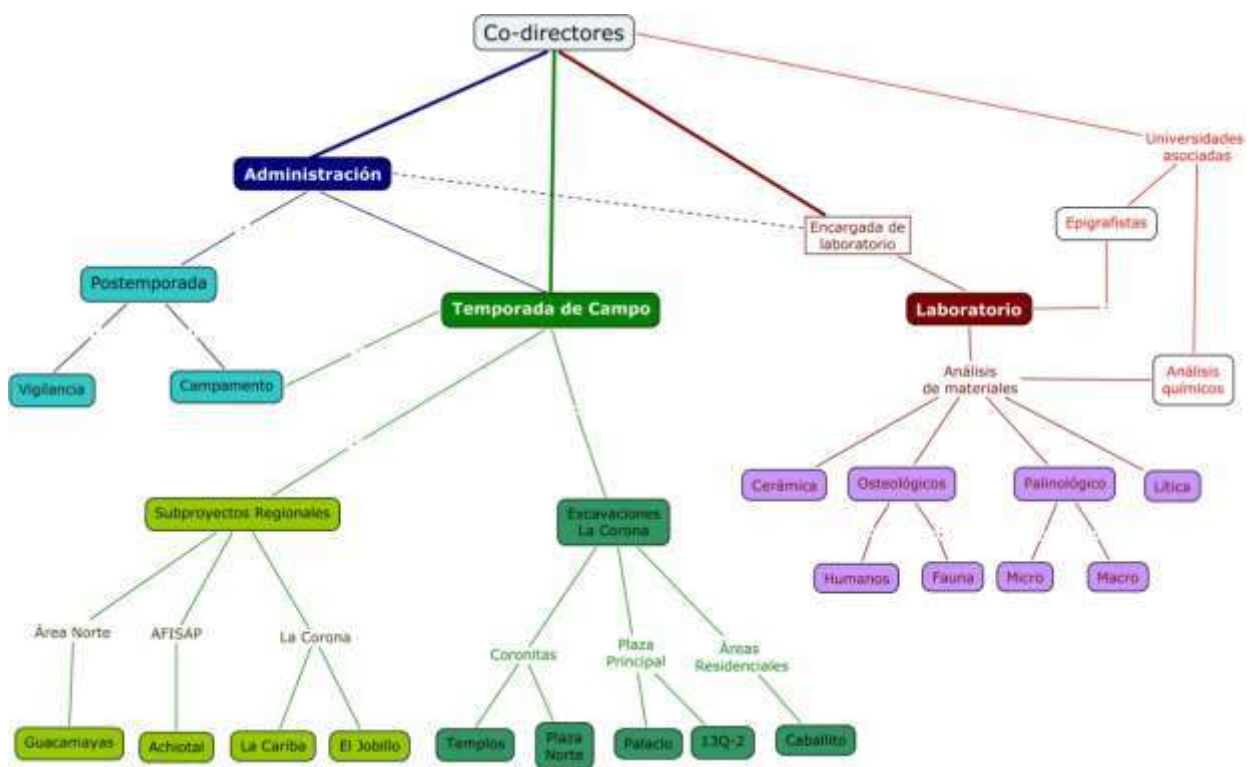


Figura 1.18 Organigrama del Proyecto.

Agradecimientos

Los directores y el personal de PRALC agradecen a todas las personas e instituciones que de una u otra manera colaboraron para el desarrollo de la Temporada 2015. Las instituciones que brindaron apoyo académico y financiero fueron: Middle American Research Institute (MARI), Universidad del Valle de Guatemala (UVG), National Geographic Society (NGS), US Department of the Interior (DOI), Fundación Patrimonio Cultural y Natural Maya (PACUNAM), Selz Foundation y Cernikovsky Friends of Archaeology. De estas instituciones estamos especialmente agradecidos con Christopher Thornton, Cynthia Perera, Marianne Hernández, Tomas Cernikovsky, Raúl Montenegro, Suzanne Roche, Joan Fuetsch, Susan Mandell y Jim Appleby. Asimismo, el apoyo de las siguientes instituciones: Dirección General de Patrimonio Cultural y Natural (DGPCN) del Ministerio de Cultura y Deportes (MCD), Consejo Nacional de Áreas Protegidas (CONAP), Wildlife Conservation Society (WCS) y la Asociación Forestal Integral de San Andrés, Petén (AFISAP). Reconocemos también la labor del personal técnico del proyecto, provenientes mayormente de las comunidades de San Andrés y Dolores, Petén. Agradecemos también a todas las personas que nos brindaron consejos académicos, en especial la parte epigráfica, por parte de David Stuart y Marc Zender. En cuanto a la logística, estamos agradecidos con la colaboración de Gloria Argueta de Montenegro, Adan Quixchan, Esau Quixchan “Nejo”, el equipo de vigilantes de PRALC (Luis Morales, Blas Orrego, Miguel Aldana, César Cano), el equipo de cocina y mantenimiento del campamento, y todos nuestros proveedores y amigos en San Benito, Santa Elena, San Andrés y Flores. Dada la gran cantidad de colaboradores, nos disculpamos por omitir algún nombre, por lo que nuestro agradecimiento va de manera general a todos.

CAPÍTULO II

**OPERACIONES CR20E Y CR20R:
EXCAVACIONES EN LOS TÚNELES DEL PALACIO DE LA CORONA**

Eduardo Bustamante Luna

Introducción

La Temporada 2015 fue la quinta temporada consecutiva que se ha trabajado en los túneles del palacio de La Corona (Estructura 13Q-4) (Padilla y Roche 2012; Bustamante 2013, 2014, 2015b). Durante las cuatro temporadas previas se lograron identificar 5 subestructuras y 5 fases arquitectónicas en el palacio (Padilla y Bustamante 2013; Lamoureux-St-Hilaire y Bustamante 2015c); sin embargo los trabajos realizados en los túneles se han concentrado en dos de las fases: Cocochan y Colibrí, correspondientes a los siglos VI y VII respectivamente (Bustamante 2013; 2014; 2015b).

La fase Cocochan se caracteriza por ser una renovación amplia, que incluye un grupo cuadrangular conformado por 4 estructuras:

- Al este se identificó el basamento de la Estructura 13Q-4A-Sub 1, la cual fue destruida para dar paso a las versiones posteriores de la misma; sin embargo, aún se conserva su basamento que se eleva 2 metros sobre el piso Cocochan, dando la impresión que el grupo se trata de una plaza interna “hundida” puesto que no puede ser vista desde el exterior (Bustamante 2014).
- Hacia el sur se encuentra la Estructura 13Q-4C-Sub 1, la cual es una estructura simple, de solo un cuarto con acceso desde su fachada norte; esta pequeña estructura presenta construcción de mampostería con muros de tan solo 1.4 m de altura, por lo que debió contar con un techo perecedero. Es de notarse que es la estructura más baja todo el grupo (Bustamante 2014).
- En el lado oeste está la Estructura 13Q-4E-Sub 1, que está situada sobre una plataforma de 1 m de alto. Presenta 2 cuartos los cuales se acceden desde la fachada este. Los muros de la estructura presentan pintura roja en su exterior y estuco blanco en los interiores. No se encontró ningún rasgo arquitectónico significativo en su interior (Bustamante 2013).

- Al norte el grupo se encuentra cerrado por la Estructura 13Q-4E-Sub 2, que se ubica sobre una plataforma alta de 1.5 m de altura, a la cual se accede mediante de un graderío frontal. Presenta 2 cuartos y tres entradas desde la fachada sur del edificio. En el interior los cuartos están conectados por dos puertas laterales y en el Cuarto 1, frente a la puerta central de la fachada, se observa una pequeña banqueta. El exterior de la estructura presenta pintura roja, mientras el interior solo presenta estuco blanco (Bustamante 2014).

En un momento de su utilización, las Estructuras 13Q-4E-Sub 1 y 13Q-4E-Sub 2 fueron modificadas. Ambas modificaciones parecen estar asociadas con la construcción de un nuevo grupo al noroeste, por lo que se removió una sección de los dos cuartos de 13Q-4E-Sub 1 para permitir la creación de un tercer cuarto con acceso desde el norte. En cuanto a 13Q-4E-Sub 2, se clausuró el paso entre sus dos cuartos, pero se mantuvo la comunicación dejando una “ventana” interna y se abrió una puerta que permitiera el acceso al cuarto posterior desde la fachada oeste. A esta subfase se le denominó Coccochan II (Bustamante 2015b).

Durante la siguiente fase Colibrí se ha identificado una remodelación de la plaza cuadrangular, que enterró totalmente a las estructuras 13Q-4A-Sub 1 y 13Q-4E-Sub 2, así como el enterramiento parcial de 13Q-4E-Sub 1. Aunque estas modificaciones permitieron la construcción de una plaza elevada, la estructura al sur, 13Q-4C-Sub 1, siguió siendo utilizada, así como el Cuarto 3 de la estructura 13Q-4E-Sub 1, que tuvo acceso desde el norte. Debido a que se deseaba estudiar mejor esta transición, se decidió realizar en el año 2014 una exploración de la sección noroeste del palacio. Como resultado de estas excavaciones se lograron identificar los límites de la plataforma Colibrí al noreste, y se descubrió un basamento de 2.3 metros de alto con una escalinata de acceso con 5 gradas. Debido a limitantes de tiempo se decidió parar las excavaciones en esta sección para seguir trabajándolas en la temporada 2015 (Bustamante 2015b).

Por lo tanto, con dichos antecedentes, se realizó el siguiente planteamiento como punto de partida de las investigaciones de 2015: La distribución básica del Grupo Coccochan consiste en una estructura alta al este, que permitió una comunicación restringida entre las áreas exterior e interior del grupo; una estructura simple al sur, que presenta un solo cuarto; una estructura de altura media al oeste con dos cuartos; y una estructura alta al norte a la cual se accede por medio de una escalinata y en su interior presenta dos cuartos y una banqueta.

Si se hace el mismo ejercicio para la estructura básica del Grupo Noroeste de la fase Coccochan II, se observa lo siguiente: una estructura alta ubicada al este del grupo, que restringe la comunicación entre el exterior y el interior del grupo y está compuesta por los cuartos modificados de la Estructura 13Q-4E-Sub 2; una estructura con un cuarto simple al sur, compuesto por el Cuarto 3 modificado de la Estructura 13Q-4E-Sub 1; y un basamento alto al norte, a la cual se accede mediante una escalinata.

Entonces se puede hipotetizar que ambos grupos tienen el mismo diseño y por lo tanto, la estructura sobre el basamento norte debería ser análoga en forma, características y funciones a la Estructura 13Q-4E-Sub 1. De la misma manera si se sigue con las investigaciones al oeste debería encontrarse una estructura similar a la Estructura 13Q-4E-Sub 1. De ser ciertas esta hipótesis, se comprobaría con éxito un cambio de función en el Grupo Coccochan y el área central del palacio, dando lugar a que el área residencial del palacio se fuera mudándose lentamente hacia el noroeste.

Debido a los trabajos realizados en el la Operación CR200 se contó con poco tiempo para realizar las excavaciones en los túneles, por lo que no se pudo cumplir con todas las metas definidas. Además, hay que agregar que esta es una de las áreas más profundas que se ha excavado a través de túneles, por lo que la movilización de material es más lenta y dificultosa. Por motivos prácticos se decidió excavar solamente la estructura al oeste, la cual fue nombrada temporalmente como 13Q-4E-Sub 4.

Unidad CR20E-11

Durante la temporada de campo 2014 se inició la unidad CR20E-10 para excavar la base de la plataforma Colibrí (Bustamante 2015b). Esta unidad culminó con el descubrimiento de una sección de 1 m de ancho del graderío de la plataforma. Durante esta temporada se decidió continuar con las excavaciones en la base de esta escalinata, abarcando la contrahuella de la primera grada así como el piso frente a la misma; esta unidad fue nombrada como CR20E-11. Dado que la excavación fue realizada mediante túneles, la división por lotes fue en base a metros avanzados y no en cuanto a estratos; puesto que todo es una misma etapa constructiva. En total se excavaron dos lotes, siendo CR20E-11-1 el lote del relleno sobre y frente las gradas y CR20E-11-2 el relleno encontrado sobre la plataforma 13Q-4E-Sub 4, la cual se detallará a continuación.

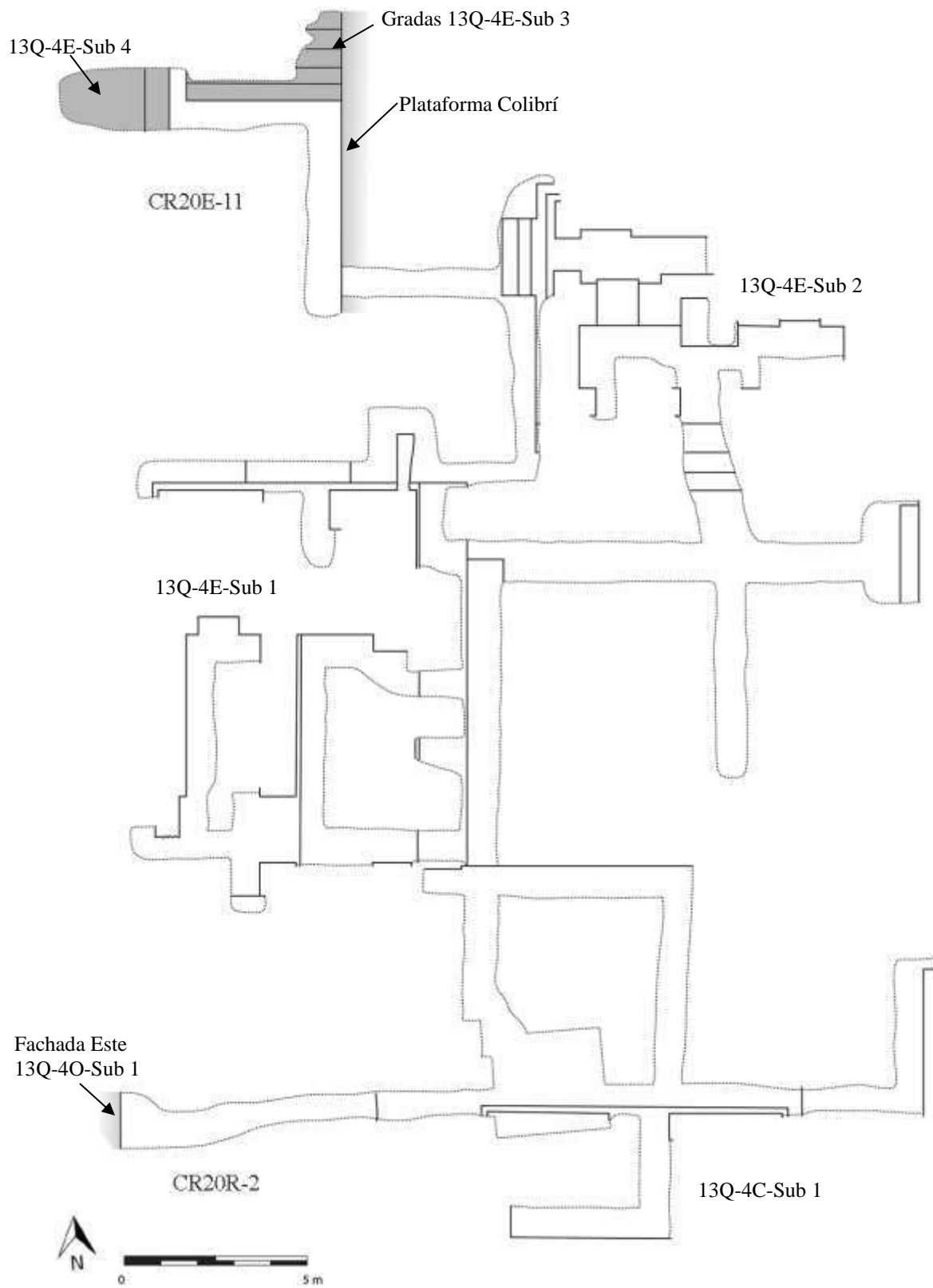


Figura 2.1. Planta de ubicación de las unidades CR20E-11 y CR20R-2 (Dibujo por E. Bustamante).

La excavación continuó por 3.2 m en dirección al oeste, descubriendo por completo la base de la escalinata de la plataforma 13Q-4E-Sub 3, que tiene en total 4.2 m de longitud. En esta sección del túnel (lote CR20E-11-1) se observó una superposición de rellenos. En una sección de la parte superior del túnel se identificó un relleno arenoso, de color gris, mezclado con piedras de gran tamaño, mientras que en el resto de la sección se observó un relleno arcilloso, color café oscuro, mezclado con piedras de gran tamaño y pedrín de caliza. Esta sección alcanzó los 2.15 m de altura y se encontraron 165 fragmentos de cerámica.

A tan solo 0.4 m al oeste de la esquina suroeste de la escalinata se encontró evidencia de un nuevo basamento. Aunque durante las excavaciones no se encontró evidencia de superestructura sobre este basamento, es muy posible que se trate de la estructura noroeste que se hipotetizó al inicio de la temporada; debido a esto se decidió nombrar este basamento como 13Q-4E-Sub 4. El basamento se compone de dos cuerpos; el inferior de 0.34 m de altura y con una contra huella de 0.66 m; y el superior de 0.6 m de alto. Por restricciones de tiempo no se pudo ampliar las excavaciones sobre este basamento, pero se avanzaron 2.24 m en la plataforma sin encontrar una superestructura. Sin embargo no se descarta la existencia de ésta en base a dos planteamientos: 1) por tratarse del límite norte de la Estructura 13Q-4E-Sub 4 puede que se trate de una plataforma que rodea la superestructura; y 2) siendo esta estructura análoga a 13Q-4E-Sub 1, debe presentar rasgos similares a ésta. Por lo tanto debe considerarse que 13Q-4E-Sub 1 presente una plataforma frontal de más de 2 m de ancho.

En esta sección del túnel se observó el mismo relleno arcilloso café, aunque se observan distintos tamaños de piedras en base a la ubicación del relleno. También se observó solo en este sector capas horizontales de cal. Esta sección del túnel (lote CR20E-11-2) alcanzó 2 m de altura y se recuperaron 83 fragmentos de cerámica.

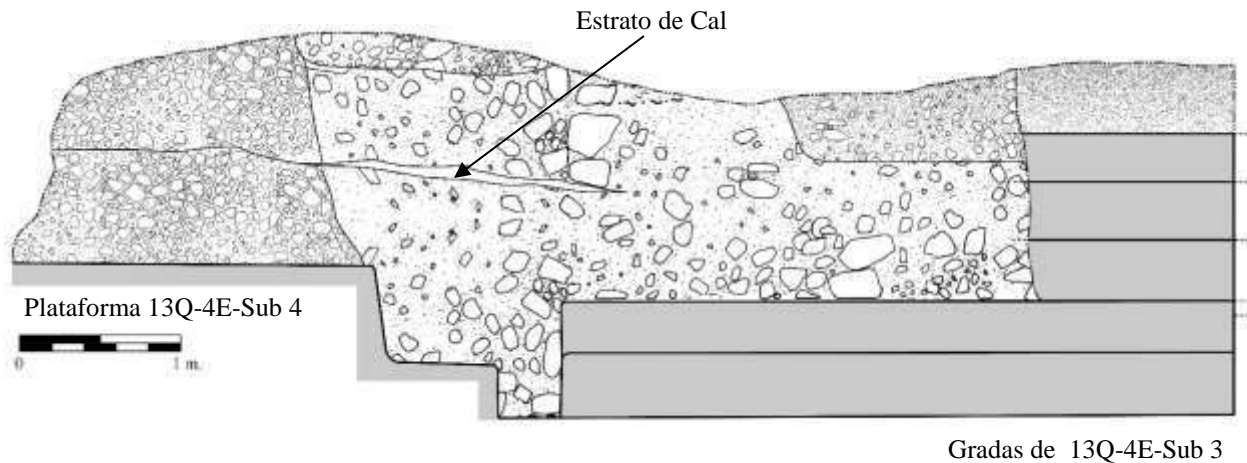


Figura 2.2. Perfil norte de la unidad CR20E-11 (Dibujo por E. Bustamante).

Conclusiones de la unidad CR20E-11.

Durante la Temporada 2015 se contó con poco tiempo para corroborar al cien por ciento la hipótesis inicial que durante las fases Cocomachan II y Colibrí se replicó el patrón arquitectónico observado en el Grupo Cocomachan. Aunque se logró corroborar la existencia de las plataformas 13Q-4E-Sub 3 y 13Q-4E-Sub 4, no se pudo comprobar que éstas fueran réplicas de sus predecesoras. Se necesitaran futuras excavaciones para terminar de corroborar esta hipótesis.

Unidad CR20R-2

Durante la Temporada 2014 se inició un túnel en dirección al oeste, partiendo desde la esquina noroeste de la Estructura 13Q-4C-Sub 1; su objetivo fue explorar el área suroeste del Grupo Cocomachan. Con las excavaciones de la unidad CR20O-4 realizadas en la temporada 2015 se decidió continuar con este pequeño túnel para encontrar la fachada este de la Estructura 13Q-4O-Sub 1. Durante la temporada 2014 se avanzaron 3.4 m de este túnel, partiendo de la esquina noroeste de la estructura, y durante la presente temporada se excavaron 6.5 m adicionales, alcanzando una longitud máxima de 9.9 m desde la esquina de la estructura. La altura promedio del túnel fue de 1.2 m y en general presentó el mismo relleno arenoso grisáceo que se observa en toda esta área. Las piedras variaron de tamaño durante el relleno, pero no presentaron un patrón conciso, aunque si se logró observar la presencia del muro sur de una “caja de relleno” entre los 2.84 m y los 5.10 m desde la esquina de la estructura y sobre el perfil norte del túnel. Rasgos arquitectónicos similares han sido encontrados en otros puntos del relleno del palacio

(Bustamante 2013, 2014) y se tratan de muros burdos construidos dentro del relleno, con el objetivo de estabilizar el relleno de todo el palacio. El muro observado en esta sección coincidió con la presencia de una escalinata para acceder al palacio durante la fase arquitectónica final, por lo que se considera que este “muro” en el relleno fue construido con el objetivo de reforzar los cimientos de la escalinata.

A los 8.6 m desde la esquina de 13Q-4C-Sub 1 se observó un cambio en el relleno, evidenciado por un relleno café con grandes cantidades de cal, lo que lo hizo bastante duro. Este relleno avanzó hasta los 9.9 m desde la esquina de la estructura, donde fue encontrada una pared. Dadas las dimensiones del túnel se considera que esta se trata de la fachada este de la Estructura 13Q-4O-Sub 1. Durante la excavación de este muro se pudo observar que se encontraba con problemas de estabilidad, puesto que la parte superior del muro sobresale 0.3 m con respecto a la base del mismo. Esto explicaría la presencia de un relleno mezclado con cal, con el objetivo de reforzar este muro. Así mismo la arquitectura observada en el muro es en extremo burda, lo que no coincide con la complejidad observada dentro de los cuartos, que cuentan con superficies finamente estucadas y pintadas. Debido a restricciones de tiempo solo se descubrió 1 m de este muro, por lo que no pueden hacerse más observaciones. Futuras excavaciones ayudarán a comprender de mejor manera la subestructura 13Q-4O-Sub 1.

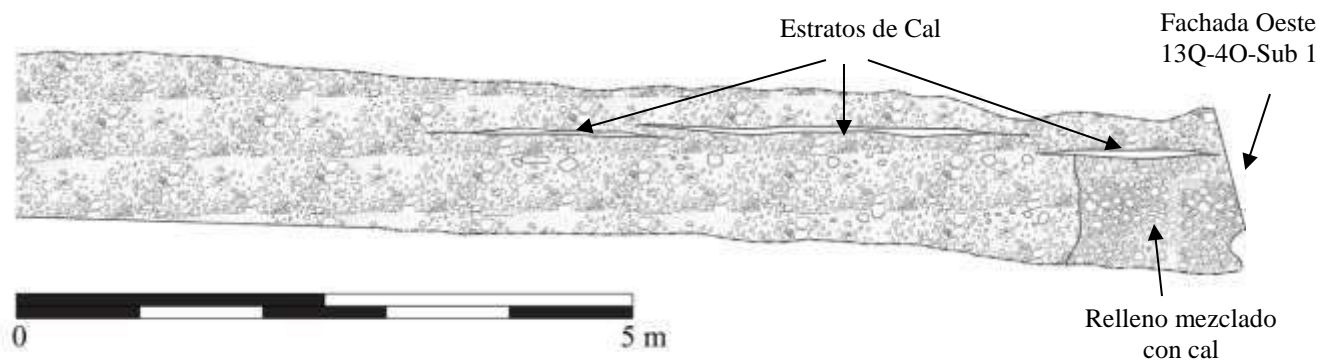


Figura 2.3 Perfil norte de la unidad CR20R-2 (Dibujo por E. Bustamante).

CAPÍTULO III

OPERACIONES CR210 Y CR200: SECCIÓN OESTE DEL PALACIO

Eduardo Bustamante Luna

Introducción

Durante la Temporada 2014 se identificó la existencia de una estructura colocada al oeste de la superestructura 13Q-4E del palacio (Figura 3.1). Hasta dicho momento no se contemplaba la existencia de una estructura en este sector, y durante las excavaciones realizadas en dicha temporada se logró identificar 2 cuartos. El cuarto sur presentaba un corte en el piso, el cual no fue sellado, y dentro de él se encontró el entierro de un hombre joven con dos platos como ofrendas (Bustamante 2015a). El cuarto norte no fue excavado en su totalidad, pero se halló un cráneo humano sobre el piso, colocado en contra de la pared. En la excavación de ambos cuartos se identificaron varias piedras de bóveda dentro del relleno; dentro de éstas resaltan 3 piedras de bóveda colocadas contra el muro interno, lo cual daba la sensación que el techo fue destruido intencionalmente y no por procesos naturales posteriores al abandono del sitio (Bustamante 2015a).

A dicha estructura se le asignó la literal O dentro de las superestructuras del palacio, (Estructura 13Q-4O); sin embargo se debía hacer un registro para observar la relación entre estos dos cuartos y la superestructura 13Q-4D (Figura 3.1).

Asimismo, las excavaciones de la Temporada 2014 también revelaron la existencia de una subestructura, 13Q-4O Sub 1. Esta estructura presenta dos cuartos unidos por un pasadizo por el medio (Bustamante 2015a). A diferencia de los 2 cuartos identificados en la superestructura, los cuales carecen de cualquier decoración, la mayoría de las paredes de esta subestructura presentan pinturas. Estas pinturas son casi en su totalidad de carácter geométrico, pintadas en rojo/corinto y verde/azul sobre un fondo blanco. Solamente una pared, ubicada al sur del cuarto norte presenta lo que pareciera pinturas de carácter artístico, sin embargo el nivel de erosión de este sector impide una mejor identificación de los elementos (Bustamante 2015a).

Dados los antecedentes de las excavaciones realizadas en 2014, la Temporada 2015 contaba con dos objetivos primordiales para la excavación del sector oeste del palacio: determinar las dimensiones de la estructura 13Q-4O; y determinar las dimensiones de la

estructura 13Q-40 Sub 1. Dentro de éstos también se definieron varios objetivos más específicos, los cuales incluyeron: 1) determinar la cantidad de cuartos en la Estructura 13Q-40; 2) identificar la funcionalidad de las Estructuras 13Q-40 y 13Q-40 Sub 1; 3) determinar la temporalidad de utilización de la Estructura 13Q-40 Sub 1 y amarrarla con una de las fases constructivas identificadas ya en el palacio; y 4) determinar si existe otra estructura asociada a la Estructura 13Q-40 Sub 1.

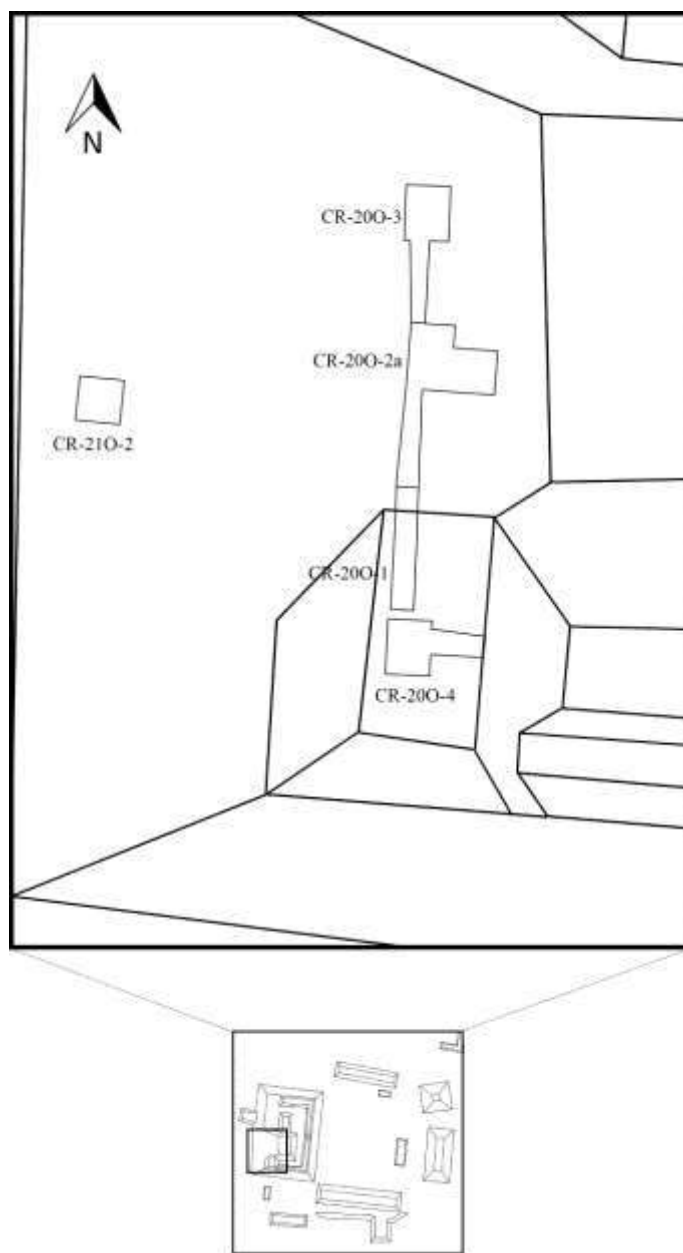


Figura 3.1 Mapa de la sección sur del palacio y ubicación de unidades de excavación (Mapa por E. Bustamante modificado de D. Marken y R. Guzmán 2009).

Entre el 26 de abril y el 30 de mayo de 2015 se procedió con la segunda temporada de excavaciones enfocadas a esta área oeste del palacio. Durante esta temporada se procedieron a realizar 3 unidades correspondientes a la Operación CR200, que exploraron las estructuras 13Q-40 y 13Q-40 Sub 1; y una unidad en la Operación CR210, que se ubica sobre el basamento del palacio en la sección oeste del mismo.

Todas las unidades fueron excavadas siguiendo una metodología de excavación por estratos naturales. Estos estratos fueron a su vez divididos en lotes dependiendo de su ubicación dentro de la unidad, de esta manera el mismo estrato natural puede estar dividido en 2 lotes si éste se hallara dentro de un cuarto y fuera del mismo.

Operación CR200

Durante las excavaciones realizadas en la Temporada 2014 se hallaron dos cuartos orientados al oeste en la fachada oeste del palacio, en esa temporada se les denominó como cuarto norte y cuarto sur. Durante dichas excavaciones también se logró determinar que estos cuartos se encontraban separados por una pared que midió 4.5 m de ancho entre sus vanos de acceso. De la misma manera se contaba con las dimensiones totales de la puerta del cuarto sur, 1.8 m. Al hacer una proyección de estos datos, fue claro que esta sección podía albergar fácilmente 4 cuartos, siendo los cuartos excavados en la Temporada 2014 los cuartos 2 y 3, si estos se cuentan en orden de norte a sur. De esta manera se reabrieron las unidades CR-200-1 y CR-200-2 excavadas en 2014 y se trazaron tres unidades nuevas: CR200-2a (a manera de extensión de la unidad previa), CR200-3 (cubriendo el cuarto más al norte) y CR200-4 (cubriendo el cuarto más al sur). Para facilitar la excavación se partió de los cuartos previamente conocidos, siguiendo la fachada exterior del edificio, por medio de trincheras de 0.5 m de ancho. No se quiso abrir unidades nuevas para mantener un mejor orden, así que las trincheras forman parte de las unidades anteriormente mencionadas. De igual manera se decidió numerar los cuartos en su secuencia de norte a sur, por lo cual los cuartos “norte” y “sur” encontrados en 2014 fueron renombrados (Figura 3.2).

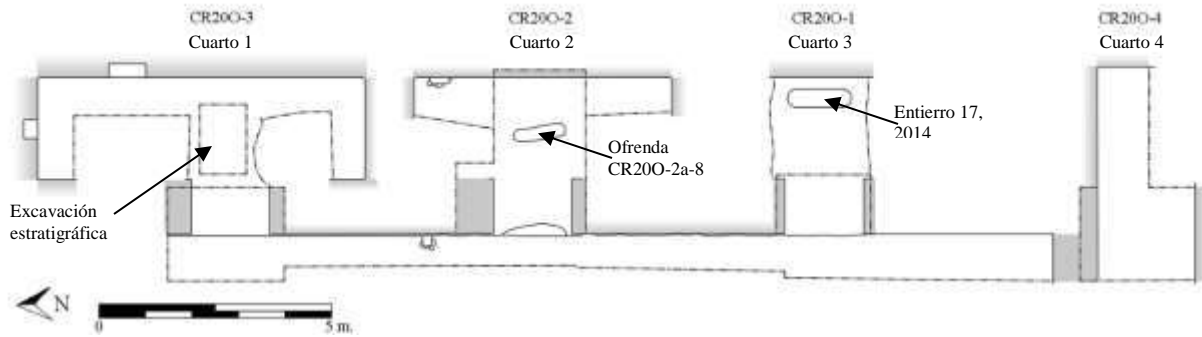


Figura 3.2. Planta de la Operación CR200, incluyendo las 4 operaciones (Dibujo E. Bustamante).

A continuación se describirán las unidades en orden secuencial tal como fueron excavadas, aunque no seguirán el orden de los cuartos.

Unidad CR200-1

Se reabrió esta unidad excavada en la Temporada 2014. Inicialmente se excavó una sección de 2 m de largo de la fachada, al sur de la puerta del cuarto. En 2015 se siguió con la excavación de esta fachada, hacia el sur, buscando el acceso al Cuarto 4. En total se excavaron 2.1 m más (un total de 4.1 m contando la sección reabierta) hasta que se llegó a una muro que cruzaba al oeste, bajo un árbol grande, por lo que no se pudo continuar con la excavación.

Al igual que lo observado en las excavaciones de 2014, se lograron identificar 3 lotes:

Lote CR200-1-1, correspondiente a humus, presenta fragmentos pequeños de estuco mezclado con barro negro y material orgánico. No se encontró material alguno en este lote.

Lote CR200-1-2, correspondiente al derrumbe. El lote se encuentra formado por barro negro mezclado con una gran cantidad de estuco y fragmentos de piedra caliza, lo que le da un color grisáceo. Este lote presenta una gran cantidad de piedras de derrumbe de entre 0.1 y 0.3 m de longitud. En este lote se encontraron 34 fragmentos de cerámica.

Lote CR200-1-3. Este lote se encuentra compuesto por todo el material derrumbado de la arquitectura. A diferencia de lo encontrado en la sección excavada en 2014, no se hallaron piedras talladas a manera de decoración. No se encontró cerámica en este estrato.

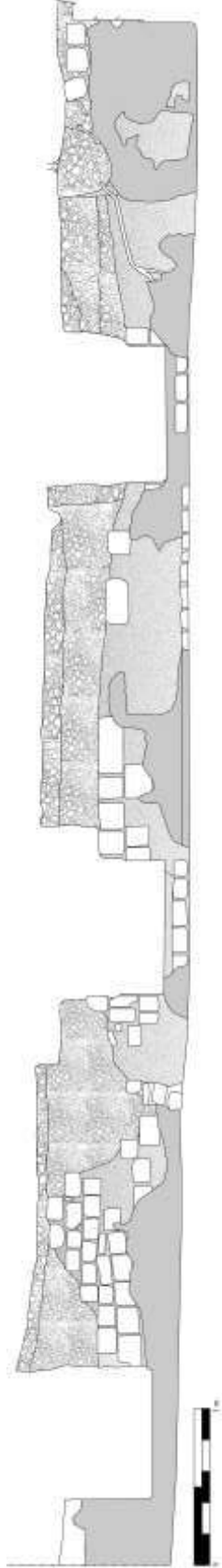


Figura 3.3 Fachada Oeste de la Superestructura 13Q-40. Unidades CR200-1, -2 y -3. (Dibujo por E. Bustamante).

Estas excavaciones revelaron la fachada frontal de la Estructura 13Q-4O, la cual aún presenta una relativa buena conservación, ya que en secciones del muro aún puede observarse el estuco original. Las secciones expuestas de la fachada muestran una mampostería hecha con piedras talladas a manera de bloques, todas con una medida promedio de 0.3 m de largo x 0.3 m de alto. En promedio este muro se encuentra conservado hasta 1 m de altura sobre el nivel de piso. Sin embargo hacia el sur, donde se encontró el muro que cruza al oeste, la fachada se encuentra conservada hasta 1.7 m de altura (Figura 3.3).

Unidad CR200-2a

Durante la Temporada 2014 se excavó la unidad CR200-2, la cual se trató de un pozo de 2 x 1 m que descubrió la jamba sur de la puerta de acceso al Cuarto 2. Asimismo se continuó con la excavación hasta el muro interno este del cuarto, donde se encontró un cráneo posicionado frente al muro. También en la sección oeste de la unidad, al oeste de la grada de acceso al cuarto, se pudo encontrar un pequeño escondite informal sobre el piso y tapado con 2 piedras, que contenía dientes humanos. El análisis osteológico reveló que estos restos no pertenecían al mismo individuo, puesto que el cráneo pertenecía a un hombre joven-adulto, mientras que los dientes eran infantiles (Patterson 2015).

Debido a todos estos hallazgos se decidió continuar con la excavación de este cuarto, para liberar todo su interior. Para hacer una distinción entre las excavaciones de estos dos años se decidió nombrar la unidad excavada en 2015 como CR200-2a. Esta unidad se realizó trazando un pozo de 2 x 2 m sobre el área excavada anteriormente y luego se fue expandiendo hasta revelar todo el cuarto. En total fueron excavados 6 lotes:

Lote CR200-2a-1, corresponde al humus encontrado. Puesto que la unidad fue excavada en secciones para cubrir a la totalidad del cuarto, el lote no fue excavado de una sola vez, pero cada vez que se realizaba una expansión el material encontrado en el humus se fue acumulando. En total se encontraron 31 fragmentos de cerámica.

Lote CR200-2a-2. De forma similar a lo realizado en la unidad CR200-1, se decidió hacer una trinchera de 0.5 m de ancho que conectara los cuartos 2 y 3 (Figura 3.2). El objetivo de esta trinchera era corroborar que no existían puertas intermedias entre ambos cuartos. Se

cubrieron los 4.5 m entre ambos cuartos y con la profundidad requerida hasta alcanzar el nivel de piso frente a la fachada. Este lote presentó 3 estratos: el primer estrato corresponde al humus, el cual fue incluido en el Lote CR200-2a-1. El segundo estrato, CR200-2a-2-2, corresponde al derrumbe frente a la fachada; en este estrato se encontraron 131 fragmentos de cerámica. Dentro del derrumbe, a 1.5 m al sur de la jamba sur del Cuarto 2, se encontró una agrupación de artefactos sobre piso, compuesto por 40 fragmentos de cerámica. Aunque solo se encontraron fragmentos, toda la cerámica pareciera ser del mismo tipo y al encontrarse todo junto es muy posible que se trate de una vasija, al menos una parte de ella. Futuros análisis revelarán si este es el caso.

Lotes CR200-2a-3, CR200-2a-4 y CR200-2a-6. Estos lotes corresponden al derrumbe/relleno encontrado dentro del cuarto, siendo el lote CR200-2a-3 lo encontrado al centro del cuarto, el lote CR200-2a-4 lo encontrado en la sección norte y el lote CR200-2a-6 la sección sur del mismo. Los lotes CR200-2a-4 y CR200-2a-6 fueron excavados a manera de “túnel” (Figura 3.4), por esta razón fueron tomados por separado. Por su parte el lote CR200-2a-3 fue excavado por medio de un pozo estratigráfico desde el nivel de superficie hasta el nivel del piso interior del cuarto.

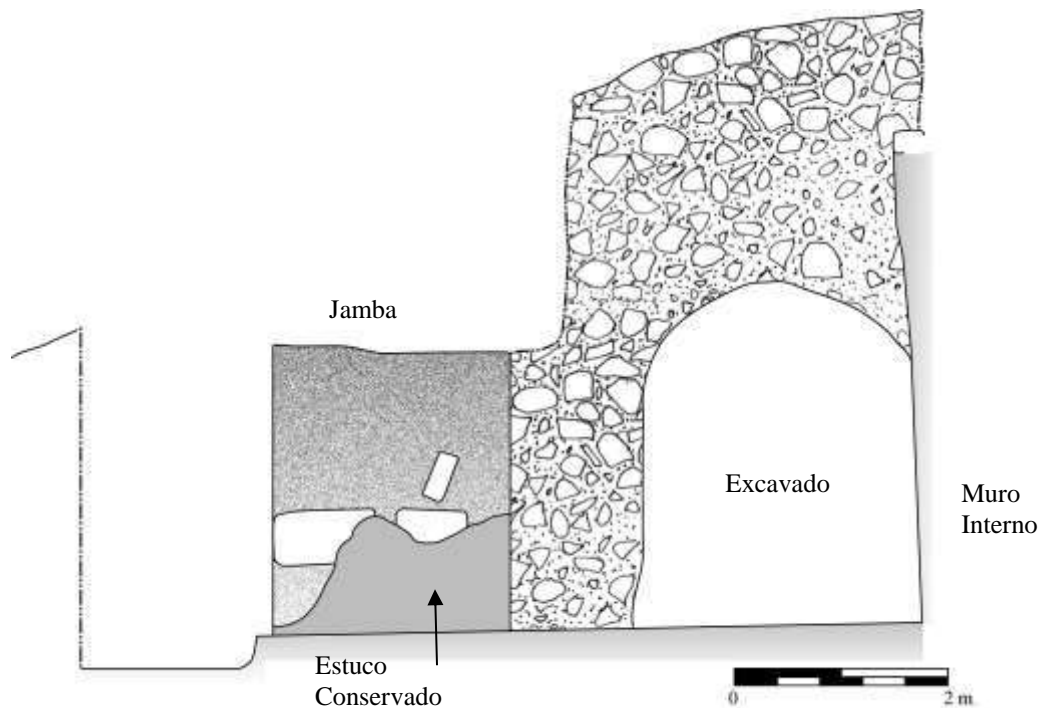


Figura 3.4. Perfil Norte del Cuarto 2, Estructura 13Q-4O. (Dibujo E. Bustamante).

Los tres lotes presentan una matriz grisácea, compacta, con altos niveles de estuco y caliza. En todo el estrato, sobre el suelo y dispuestas contra el muro interno, se encontraron 12 piedras de caliza que tenían en promedio 1 m de largo por 0.35 m de ancho y entre 0.1 y 0.15 m de grosor (Figura 3.5). Dadas las dimensiones de estas piedras se considera que se tratan de las piedras de ápice de un techo de bóveda. Es de resaltar que 8 de estas piedras fueron encontradas dispuestas unas a lado de otras y recostadas contra la pared, e inclusive se logró determinar que el cráneo que se encontró en 2014 fue encontrado a la par de una de estas piedras. Todas estas evidencias nos hacen pensar que no se trata de un colapso, sino más bien de un relleno, y que la bóveda de la estructura fue desmantelada intencionalmente durante este proceso.



Figura 3.5. Piedras de ápice encontradas en el Cuarto 2 (Fotografía E. Bustamante).

En total el lote CR200-2a-3 alcanzó una profundidad de 2.86 m en su sección este, donde se encontró el muro interno, y 1.7 m en la sección oeste. Por su parte los Lotes CR200-2a-4 y CR200-2a-6 alcanzaron una altura de 1.6 m sobre el piso. En total el cuarto presenta una puerta de 1.7 m de largo. Los muros que conforman las jambas son de 1.15 m de ancho. El cuarto presenta las medidas internas de 2.20 m desde la fachada este del muro externo hasta la fachada oeste del muro interno, y 5.50 m de largo entre los muros internos norte y sur (Figura 3.2).

El material encontrado sobre el piso fue colocado en lotes individuales, siendo los lotes CR200-2a-5 y CR200-2a-7. El lote CR200-2a-5 corresponde al material sobre el piso en la sección norte del cuarto y se compuso de 10 fragmentos de cerámica. El lote CR200-2a-7 corresponde al material encontrado sobre el piso en la sección sur del cuarto, este lote presentó 78 fragmentos de cerámica. La excavación no encontró material sobre piso en la sección central del cuarto, en parte porque esta sección fue excavada en 2014, pero también porque allí se encontró un corte en el piso.

Este corte, en esencia, era similar al corte encontrado en el Cuarto 3 durante las excavaciones de 2014 (Bustamante 2015a), puesto que ambos cortes fueron encontrados en el eje central del cuarto, frente a la puerta y al medio del ancho del cuarto. También ambos cortes presentan la particularidad que no fueron resellados, lo que indica que fueron realizados hacia el final de la vida útil del edificio.

El corte fue de 1.13 m en su eje norte-sur y de 0.35 m en su eje este-oeste. El hecho de que el corte presentara dimensiones tan pequeñas sugirió que se trataba del entierro de un infante, lo cual coincidiría con la presencia de dientes de infante descubiertos frente a la puerta del cuarto en las excavaciones de 2014. Sin embargo al excavar el corte, se encontraron los restos de un felino a 0.28 m de profundidad. Éste se encontraba en posición sedente con la cabeza al norte y el rostro viendo al este. El cuerpo se encontraba articulado, a excepción de la mandíbula inferior, la cual fue removida y se encontraba en el área del vientre, y tres de los colmillos que fueron extraídos. El cuarto colmillo, el cual era el inferior izquierdo, aún se encontraba en su posición, en parte ya que el esmalte presentaba signos de deterioro *antemortem*. La especie de felino, el género y la edad no han sido determinados puesto que aún no se ha podido realizar un análisis paleo zoológico completo. Sin embargo la osteóloga del proyecto, Erin Patterson (comunicación personal), indica que hay vertebras que muestran daños ocasionados por una mala posición, lo que indicaría que el animal permaneció enjaulado la mayor parte de su vida. Al igual que lo observado en el entierro del Cuarto 3, esta ofrenda no presentó cerámica en el relleno. Esta ofrenda corresponde al lote CR200-2a-8.

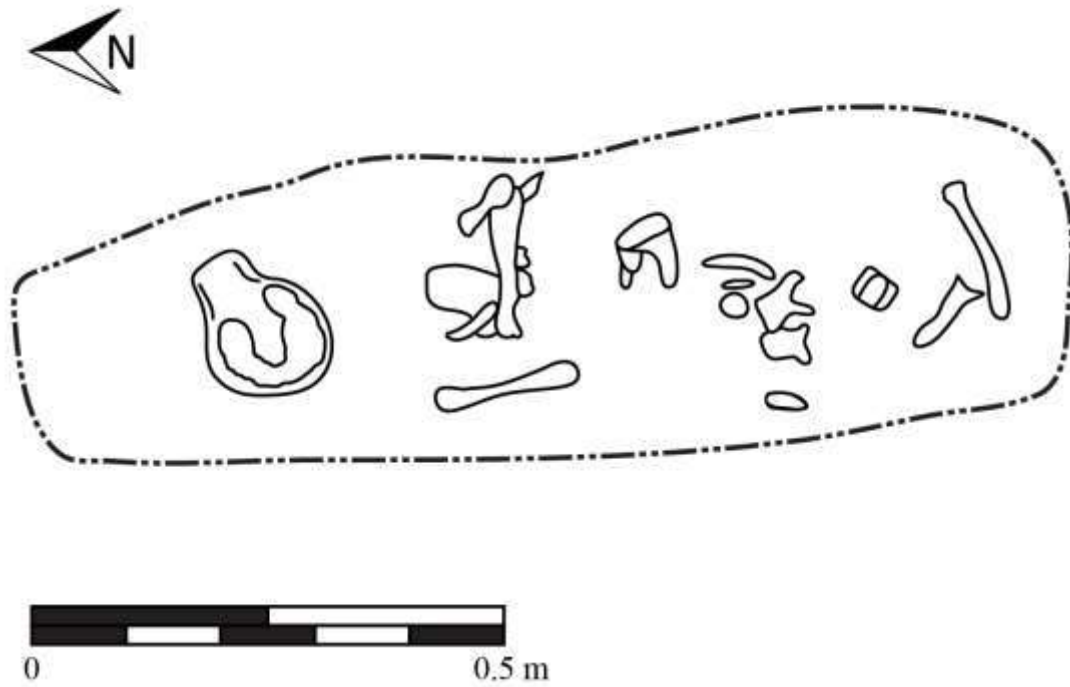


Figura 3.6. a) Planta de ofrenda CR200-2a-8; b) Fotografía del cráneo *in situ* (Fotografía y dibujo por E. Bustamante).

Unidad CR200-3

La unidad CR200-3 corresponde a la excavación del Cuarto 1 de la Estructura 13Q-4O. Primero se trazó un pozo de 2.5 m por 2 m donde debía de encontrarse la puerta de este cuarto. En esta sección se realizó una excavación estratigráfica. Dadas las dimensiones de excavación observadas en el Cuarto 2, se decidió que el interior del cuarto sería excavado a manera de túnel, por lo cual en la sección interior del cuarto los lotes fueron horizontales.

Lote CR200-3-1, corresponde al humus, compuesto por barro negro mezclado con material orgánico. Dicho estrato alcanzó una profundidad máxima de 0.05 m bajo el nivel de superficie. Este lote presentó 11 fragmentos de cerámica y varios fragmentos de molduras de estuco, lo que indicaría que esta sección del palacio se encontraba decorada.

Lote CR200-3-2, corresponde al derrumbe encontrado en la entrada de la sección de la puerta. Corresponde a una matriz de barro café mezclado con grandes cantidades de estuco y piedras grandes provenientes de la arquitectura. Inclusive dentro de este estrato se pudo encontrar una sección de la jamba sur. Este escombros se encontraba sobre casi 0.3 m de barro dispuestos sobre el piso, lo que indicaría que primero se cubrió el piso de la estructura y luego calló esta sección de la jamba. En total se encontraron 317 fragmentos de cerámica en este lote.

Lote CR200-3-3, corresponde al material encontrado sobre el piso en la entrada del cuarto, aunque no se pudo constatar que este material fuera de una cantidad determinada de vasijas, puesto que el material se encontró disperso. En total se hallaron 104 fragmentos de cerámica.

Lote CR200-3-4, corresponde a la excavación de túnel en la entrada del cuarto. Se pudo observar que en el interior del cuarto había capas interpuestas de distintos materiales, y estas capas fueron una constante en todo el cuarto, lo que indicaría que se trata de un relleno uniforme en vez de un derrumbe. En la parte superior del cuarto se halló una capa de material grisáceo, compacto, con una gran cantidad de cal, lo cual lo endureció en gran medida. En la parte inferior, sobre el piso, se observó una capa de material grisáceo compacto pero con poca cal, lo cual hace que este no presente una gran dureza, pero presentó una gran cantidad de piedras grandes. A diferencia de lo observado en el Cuarto 2, aquí no se encontró ni una sola piedra de ápice de bóveda. En esta sección del túnel se encontraron 77 fragmentos de cerámica.

Los lotes CR200-3-6, CR200-3-7, CR200-3-8 y CR200-3-9 corresponden al relleno del cuarto. Todos presentan la misma matriz de relleno observada en el lote CR200-3-4. Puesto que la excavación fue por medio de túnel, no se pudo vaciar el cuarto en su totalidad; en cambio se decidió excavar túneles de 1 m de ancho pegado a los muros internos posteriores del cuarto. El lote CR200-3-6 corresponde al material encontrado frente al muro oeste en la sección norte del cuarto. En total se encontraron 48 fragmentos de cerámica. El lote CR200-3-7 se compuso del material encontrado frente al muro interior norte del cuarto, que sumó 140 fragmentos de cerámica. El lote CR200-3-8 corresponde al material encontrado frente al muro interno en la sección sur del cuarto, donde se recuperaron 55 fragmentos de cerámica y varios fragmentos de hueso, dentro de los cuales resalta la sección medial de un fémur; un análisis preliminar de este hueso indica que es humano, pero al no estar completo no se puede determinar género y edad. El lote CR200-3-8 corresponde al material encontrado frente al muro interno sur del cuarto, donde se recuperaron 230 fragmentos de cerámica.

El cuarto presenta una puerta de 1.7 m de ancho y los muros externos que conforman las jambas son de 1.15 m de ancho. Las medidas internas del cuarto son 2.15 m de ancho entre el muro interno y el muro externo; y de 6.55 m de largo entre los muros norte y sur. El cuarto en su sección norte presentó dos nichos, uno en el muro interno norte y otro en el muro interno este (Figura 3.5). El nicho del muro interno norte se encuentra a 0.64 m sobre el nivel del piso y tiene una altura de 0.24 m, se encuentra a 0.88 m de la esquina noreste del cuarto y tiene un ancho de 0.44 m (Figura 3.7) y una profundidad de 0.30 m. Éste se encontró relleno por arenilla grisácea, pero no presentaba ningún material cultural.

Por su parte el otro nicho se encuentra a 0.90 m de altura sobre el nivel del piso. Su altura no pudo ser constatada, puesto que sobrepasaba la altura del túnel, pero tiene al menos 0.46 m de alto. Este nicho se encontró a 1.15 m de la esquina noreste del cuarto y tiene 0.78 m de ancho y 0.30 m de profundidad. Este nicho se encontraba relleno por las mismas piedras del relleno del resto del cuarto, por lo que no se encontró material cultural dentro del mismo. Sin embargo se decidió tomar la sección frente a este nicho como un lote separado, lote CR200-3-5, el cual presentó 70 fragmentos de cerámica.

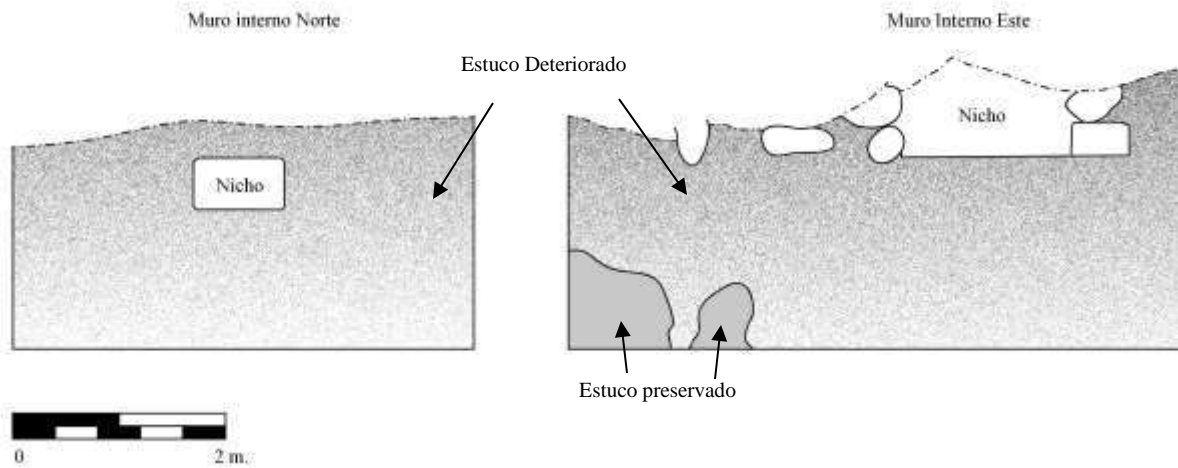


Figura 3.7 Perfiles de ubicación de nichos dentro del Cuarto 1, Estructura 13Q-40 (Dibujo E. Bustamante).

A diferencia de lo observado en los cuartos 2 y 3, el Cuarto 1 no presentó un corte en el piso frente a la entrada, por lo que se decidió trazar un pozo de 1.5 m en su eje norte-sur y 2 m en su eje este-oeste, que permitiera explorar bajo el piso del cuarto, buscando ofrendas u entierros que pudieran encontrarse allí. Al cortarse el piso se pudo identificar que éste era de 0.05 m de grosor y no presenta fases de re-estucamiento. Bajo el piso se encontró un estrato de nivelación, hecho con pedrín sin barro o arena, por lo cual es suelto; este estrato alcanzó un grosor de 0.24 m. Bajo el pedrín se halló un estrato conformado por piedra grande, de 0.3 m de diámetro en promedio, mezclada con barro negro, que sirvió como argamasa para unir las piedras. Este estrato alcanzó un grosor máximo de 0.55 m. Este estrato se encontraba asentado sobre un segundo piso, posiblemente parte de una versión anterior de la Estructura 13Q-40. Dado que no se encontró un piso a profundidades similares en la excavación del Cuarto 3 en la temporada 2014, este piso parece corresponder a una grada de 0.1 m de alto, hacia el este. Este piso es de al menos 0.1 m de ancho y presenta dos fases de estucado, ambas hechas con estuco blanco-gris de poca calidad, dado lo poroso del estuco. Este estrato presentó 18 fragmentos de cerámica, los cuales fueron definidos como el lote CR200-3-10.

De forma similar a lo observado en el piso superior, bajo este segundo piso se encontró otro relleno de nivelación realizado con pedrín sin argamasa. Este estrato presentó 0.15 m de

ancho. Bajo este estrato se encontró otro estrato de relleno de 1.36 m de profundidad conformado por piedras de gran tamaño, de diámetros mayores a 0.4 m, mezcladas con barro negro y pequeñas capas de cal. Este estrato es muy similar al encontrado en las excavaciones de la fase Halcón del palacio (Bustamante 2015b).

Bajo este estrato se encontró un relleno amarillento de 0.3 m de ancho; dicha capa presenta varias bolsas pequeñas de arena gris. Finalmente bajo este estrato se encontró otra gran capa de relleno, la cual fue excavada hasta 1.77 m de profundidad (una profundidad total de 3.86 m bajo el nivel del piso del Cuarto 1). A esta profundidad, aunque no se encontró el Piso Coccohan, la excavación debió de ser detenida, puesto que las dimensiones estrechas del pozo y el gran tamaño de las piedras encontradas a esta profundidad ponían en riesgo la integridad de los excavadores. No se encontró material en estos rellenos.

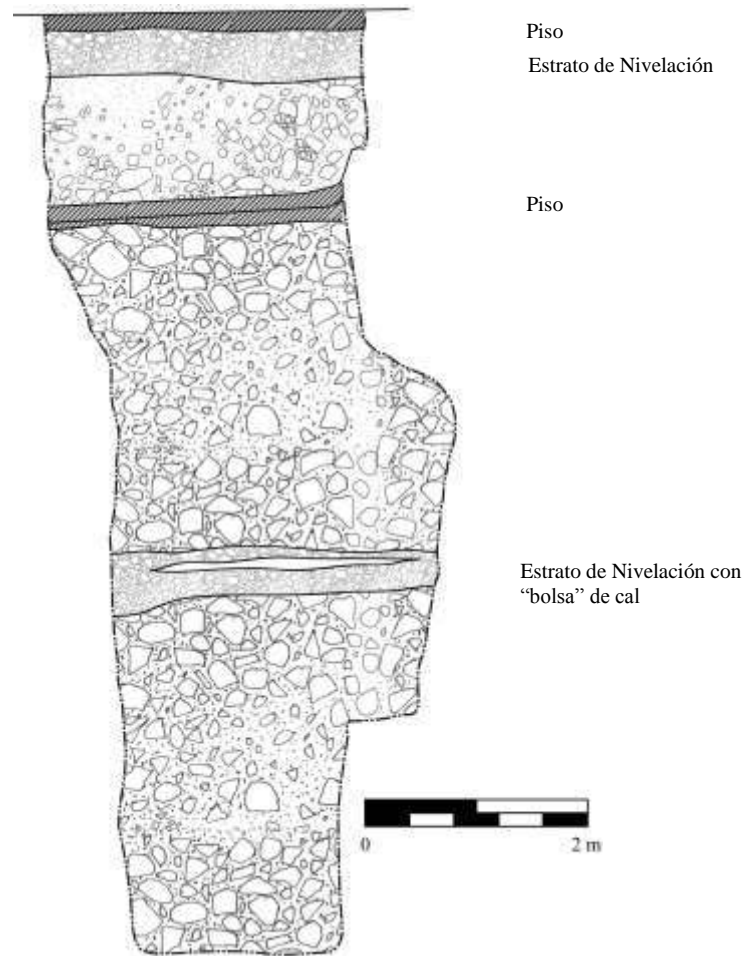


Figura 3.8 Perfil norte de rellenos bajo piso Cuarto 1, Estructura 13Q-4O (Dibujo E. Bustamante).

Unidad CR200-4

La unidad CR200-4 fue trazada en el extremo suroeste del palacio, donde hipotéticamente se encontraba el Cuarto 4 de la superestructura 13Q-4O. Durante las excavaciones de la unidad CR200-1 se identificó la existencia de un muro que formaba una esquina a 4.13 m de distancia al sur de la entrada al Cuarto 1. Así que se decidió trazar un pozo de 2 x 2 m para revisar esta área. Durante la excavación se vio la necesidad de realizar una ampliación de 2.5 x 1 m en la esquina noreste del pozo para seguir el muro interno del cuarto.

Lote CR200-4-1, se trata del estrato de humus encontrado, que consistía de barro negro mezclado con material orgánico. No se encontró material cerámico.

Lote CR200-4-2, corresponde al derrumbe/relleno dentro del cuarto. Se trata de un estrato compuesto por barro café mezclado con grandes cantidades de cal, lo que le da un color café-grisáceo y una textura compacta. Se encuentra mezclado también con una gran cantidad de piedras de tamaño medio, de entre 0.2 y 0.3 m de diámetro. Se hallaron 200 fragmentos de cerámica.

Lote CR200-4-3. Sobre el piso interno del cuarto se pudo hallar una capa de 0.1 m de grosor de un polvo gris fino, aparentemente estuco molido. Aunque la capa era compacta, no presentaba dureza al momento de excavar, puesto que pudo ser removida solo con una cuchara de albañil. Todas las piedras grandes encontradas dentro del cuarto se encontraban dispuestas sobre esta capa y no directamente sobre el piso (Figura 3.9), lo que hace pensar que esta fue una capa deliberadamente puesta sobre el piso a manera de protegerlo.

Durante la excavación del lote CR200-4-2 se pudo delimitar el largo completo del cuarto y una sección de su ancho, puesto que se encontraron los muros internos norte, este y sur. El muro interno oeste no pudo ser hallado puesto que un árbol grande en esa área dificultó la excavación en esta dirección. Entonces, las medidas internas del cuarto son de 2.2 m entre los muros internos sur y norte, y al menos 4.5 m desde el muro interno este hasta el límite de la excavación al oeste, ya que no se pudo hallar la entrada a dicho cuarto. Aunque no se excavó por completo ni el muro interno este, ni el muro interno sur, es poco probable que las entradas al cuarto se encuentren en estos muros. El muro este fue excavado hasta la mitad de su extensión, por lo que de haber una puerta allí sería muy estrecha y esquinada, lo que va en contra de todo lo

visto en el palacio. Por su parte es poco probable la existencia de una entrada desde el sur, puesto que sería en dirección a la plataforma del palacio y no a su interior.

Los tres muros observados aún presentaban un recubrimiento de estuco en al menos 80% del muro, sin embargo el recubrimiento se encontraba muy mal conservado y dejaba ver en secciones la mampostería del edificio. Esto nos reveló que los muros están contruidos con piedras grandes, de entre 0.3 y 0.4 m de diámetro. A diferencia de la mampostería observada en el muro exterior del edificio, las piedras observadas en el interior no están talladas, por el contrario se buscaron piedras naturales con formas específicas (Figura 3.9)

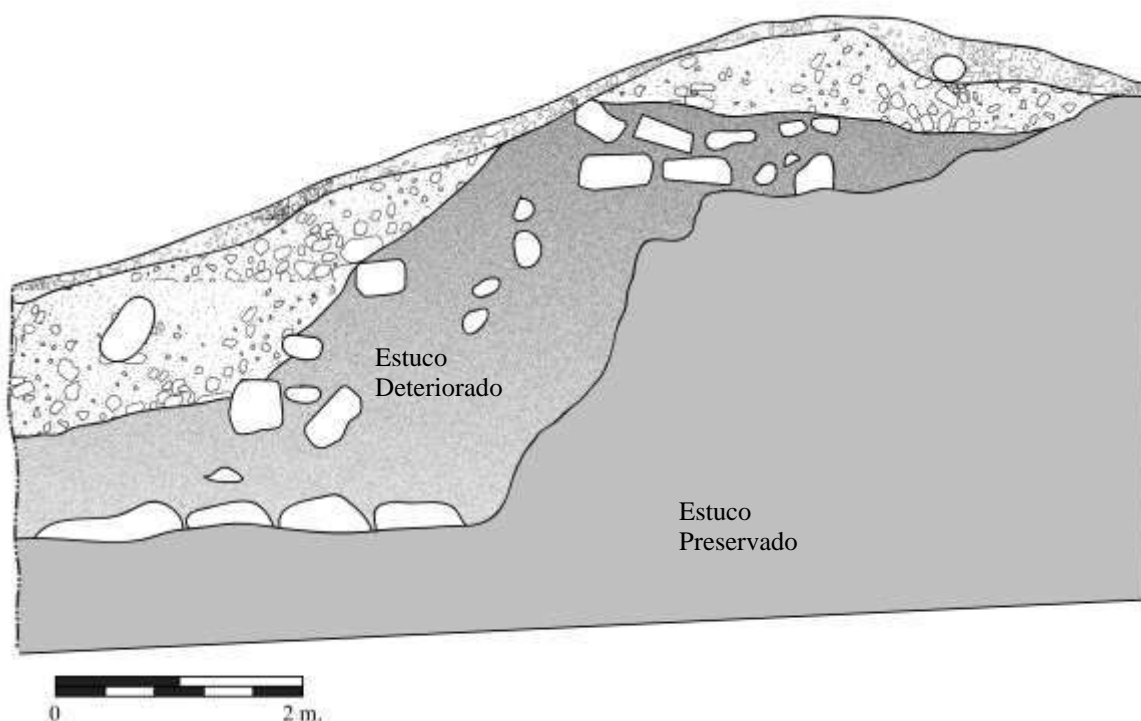


Figura 3.9 Perfil norte del Cuarto 4, Estructura 13Q-40 (Dibujo E. Bustamante).

Al alcanzar el nivel de piso se observó que presentaba algunos hundimientos ligeros, lo que hizo pensar que se trataban de pequeños espacios vacíos bajo el piso. Estos se concentraban en la sección este de la excavación, en la expansión de 2.5 x 1 m. Tomando en cuenta los hallazgos hechos la temporada anterior de una subestructura bajo el Cuarto 3 (Bustamante 2015a), se consideró que podía tratarse de otro cuarto de la Estructura 13Q-40-Sub1.

La excavación rompió el piso en la sección este de la unidad. El piso fue de 0.1 m de grosor y presentaba una renovación de estuco. Bajo el piso se encontró un estrato de nivelación hecho con piedrín sin argamasa, similar a lo observado en el Cuarto 1. Bajo este estrato se encontró un estrato de relleno compuesto de piedras pequeñas, arena grisácea y un pequeño porcentaje de barro, por lo cual este estrato no se encontraba compacto y fue fácil de excavar. El estrato fue similar al observado en el interior de los cuartos 1 y 2 de la Estructura 13Q-4O-sub 1, excavada en la temporada anterior. Al igual que los otros dos cuartos, éste presentaba una gran cantidad de cerámica polícroma mezclada con el relleno (Lote CR20O-4-5, con 300 fragmentos de cerámica). Sin embargo no presentaba artículos de élite como el excéntrico de pedernal o la aguja de hueso hallados en los otros cuartos en la Temporada 2014.

La excavación reveló que nos encontrábamos sobre una banca, similar a la observada en el Cuarto 1 el año anterior. Esta banquetta presenta un remetimiento tipo “nicho” al centro y dos respaldos a los laterales. Igual que lo observado en los otros cuartos, los respaldos presentan rastros de pigmentos rojos y en la parte inferior de los laterales se observan patrones de líneas negras y círculos de color verde-azul sobre un fondo blanco (Figura 3.10). David Stuart, durante una visita de campo, indica que este patrón podría tratarse de un “trono con joyas”, y que otros ejemplos similares pueden ser encontrados en otros sitios como Tikal (Stuart comunicación personal). En este sentido los círculos de color verde-azul se tratan de “incrustaciones de jade”. La excavación fue detenida al revelar toda la banquetta, puesto que nos vimos con limitantes de tiempo a finales de la temporada. Puesto que no se pudo excavar todo el cuarto, se desconoce la conexión que este tiene con los cuartos 1 y 2 revelados en 2014. Pero dada las distancias se considera que se trata de un tercer cuarto, por lo que se le denominará como Cuarto 3 de la Estructura 13Q-4O-sub 1. A diferencia de lo observado en los cuartos 1 y 2 de la misma subestructura, la mampostería del Cuarto 3 pareciera de poca calidad, en especial las columnatas al lateral del “nicho”. Estas fueron encontradas casi deshechas y muestran una mampostería de piedras pequeñas amalgamadas con estuco, dando la impresión que se trata de una construcción rápida y de bajo costo (Figura 3.10).



Figura 3.10 Diseños encontrados en los respaldos laterales. (Fotografía E. Bustamante).

Conclusiones de la Operación CR200

Las excavaciones de la temporada 2015 revelaron un edificio tipo galería con al menos 4 cuartos consecutivos y una fachada común. El Cuarto 4, ubicado al sur, presenta una disposición distinta a la de los otros tres cuartos, puesto que se encuentra posicionado perpendicular a los demás. Posiblemente se realizó esto con el deseo de conformar una terraza “privada” frente a la Superestructura 13Q-40. Pensando en la simetría buscada por los mayas en su arquitectura, es posible que al norte se encuentre otro cuarto, también perpendicular y similar al Cuarto 4. Este hipotético Cuarto 5 ayudaría a la noción de privacidad, sobre todo si se toma en cuenta que en la esquina noroeste del palacio se encuentra un patio de servicio.

Aún se desconoce la funcionalidad de la estructura, puesto que no se halló algún indicio de actividad humana, y los cuartos no fueron abandonados, sino rellenos a propósito. Esta hipótesis se basa en la dureza de los rellenos, las piedras de ápice encontradas en el Cuarto 2, el recubrimiento sobre piso en el Cuarto 4, los estratos consistentes en el relleno del Cuarto 1, el cráneo y el fémur encontrado en los rellenos, y el entierro y ofrenda abierta encontrados en el Cuarto 3 y Cuarto 2 respectivamente. Es de notarse que aunque el entierro del Cuarto 1,

encontrado en 2014, es considerado como el Entierro 17 del sitio, puede tratarse de una ofrenda a la estructura, al igual que los restos del felino encontrados en el Cuarto 2.

Es posible que a finales de la ocupación de La Corona se planificó una remodelación de esta sección del palacio, por lo cual fue clausurada de manera ritual; sin embargo esta remodelación ya nunca fue llevada a cabo.

La subestructura 13Q-4O-sub 1 pareciera presentar una clara función de gobierno, puesto que presenta al menos tres cuartos, cada uno con su banqueta decorada con pintura. Aunque los diseños de las baquetas observados en los cuartos 1 y 2 no han podido ser identificados con éxito, la posibilidad de que el diseño de la banqueta del Cuarto 3 se trate de un “trono con joyas” refuerza la idea de que estos cuartos se encontraban asociados con el gobierno y no con habitación.

También resulta evidente que la función de la subestructura 13Q-4O-Sub 1 cambió radicalmente al ser construida la estructura 13Q-4O. Aunque esta última mantuvo un carácter privado, evidenciado por la posición perpendicular del Cuarto 4, no presenta banqueta alguna, pintura en las paredes, u otra característica similar a su predecesora.

La pregunta que aún queda sin resolver es la temporalidad y la secuencia constructiva completa de esta sección del palacio. Las excavaciones estratigráficas realizadas en el Cuarto 1 demostraron un relleno de grandes dimensiones, pero al no encontrarse ningún piso al momento de la excavación, resulta difícil situar los rellenos a una fase constructiva específica.

Por su parte, la excavación de la subestructura 13Q-4O-Sub 1 solo pone más dudas sobre la mesa, puesto que el descubrimiento y excavación de los rasgos ha sido mediante cortes y hundimientos preexistentes al trabajo arqueológico y solo se ha excavado el interior de la misma. Durante una revisión de las alturas relativas del interior de esta estructura, con los pisos previamente conocidos en el palacio, esta no coincide cercanamente con alguno. Sin embargo existe la posibilidad de que esta superestructura se encuentre sobre una plataforma elevada, similar a la plataforma de la Estructura *Ayiin* de la fase Cocochan (Bustamante 2015b). Esta hipótesis ha sido tratada en el Capítulo 2 de este informe bajo las excavaciones de la unidad CR20R-2

Operación CR210

Durante la temporada 2014 se realizó una trinchera de 10 m de largo y 2 m de ancho, que se extendió desde el nivel de plaza hasta la parte superior del palacio en su fachada oeste (Bustamante 2015a: 58-64). Estas excavaciones revelaron que el basamento del palacio, en su última fase, era conformado por tres cuerpos. Durante el proceso de limpieza del área para la colocación del material de excavación, también se pudo constatar la existencia de dos montículos de baja altura, previamente desconocidos, que junto con el palacio conforman una pequeña plaza que se encuentra al pie del palacio y en eje con la superestructura 13Q-4O. Sin embargo, durante la excavación de la trinchera no se encontró ningún indicio de la existencia de una escalinata que conectara ambos espacios. Debido a esto, a inicios de la temporada se decidió excavar un pozo adicional donde podía estar ubicada la escalinata. Por lo tanto se trazó un eje en el punto medio entre los cuartos 2 y 3; luego se siguió este eje hasta el basamento de la estructura, donde se trazó la unidad CR210-2

Unidad CR210-2

Esta unidad se trata de un pozo de prueba de 2 x 2 m, ubicado en la fachada oeste del basamento de la Estructura 13Q-4, y tuvo como objetivo el determinar la presencia de una escalinata central que permitiera el acceso al palacio desde su fachada oeste. En total se trabajó en este pozo 4 días excavación, alcanzando una profundidad máxima de 1.42 m en la esquina sur-este y se identificaron 4 lotes distintos:

Lote CR210-2-1, correspondiente al humus, presentó un grosor máximo de 0.24 m. Durante la excavación de este lote se encontró una gran cantidad de fragmentos de molduras de estuco, la mayoría de ellas son muy pequeñas para reconocer formas, pero las más grandes muestran volutas, y otros motivos geométricos. Puesto que nos encontramos en la base de la fachada oeste, resulta fácil considerar que este material se trata de fragmentos de la decoración que presentaba el palacio en su parte superior. No se recuperó material cerámico o lítico de este lote.

Lote CR210-2-2, correspondiente al material de derrumbe. Este lote presentó barro café-grisáceo, resultado de la mezcla de barro natural con estuco desprendido de la fachada, asimismo

muestra gran cantidad de piedras de construcción, de entre 0.1 y 0.3 m de diámetro, provenientes también de la fachada superior de la estructura. Este estrato presenta una gran cantidad de cerámica, fenómeno visto también durante las excavaciones realizadas en 2014 (Bustamante 2015a). En total este estrato presentó 897 fragmentos de cerámica. Al igual que lo observado en las excavaciones de la temporada 2014, se descarta que se trate de un basurero, puesto que los fragmentos se encontraron dispuestos sobre la estructura. Por el contrario, se cree que puede ser material de una ofrenda dispuesta en la parte superior de la estructura y que por acciones de derrumbe toda esta cerámica terminó en la base de la estructura.

El lote CR21O-2-3 corresponde a la arquitectura final de los cuerpos del basamento. Este lote no fue excavado, solamente expuesto, y se observó parte del segundo cuerpo del basamento. Al igual que en la temporada 2014, éste presenta una arquitectura simple, con restos de estuco muy mal conservado en la superficie. No se encontró indicios de una escalinata, sin embargo esto no descarta la existencia de ésta; futuras excavaciones con metodologías más extensivas serán llevadas a cabo en distintos puntos del basamento con el objetivo de buscar dicho rasgo.

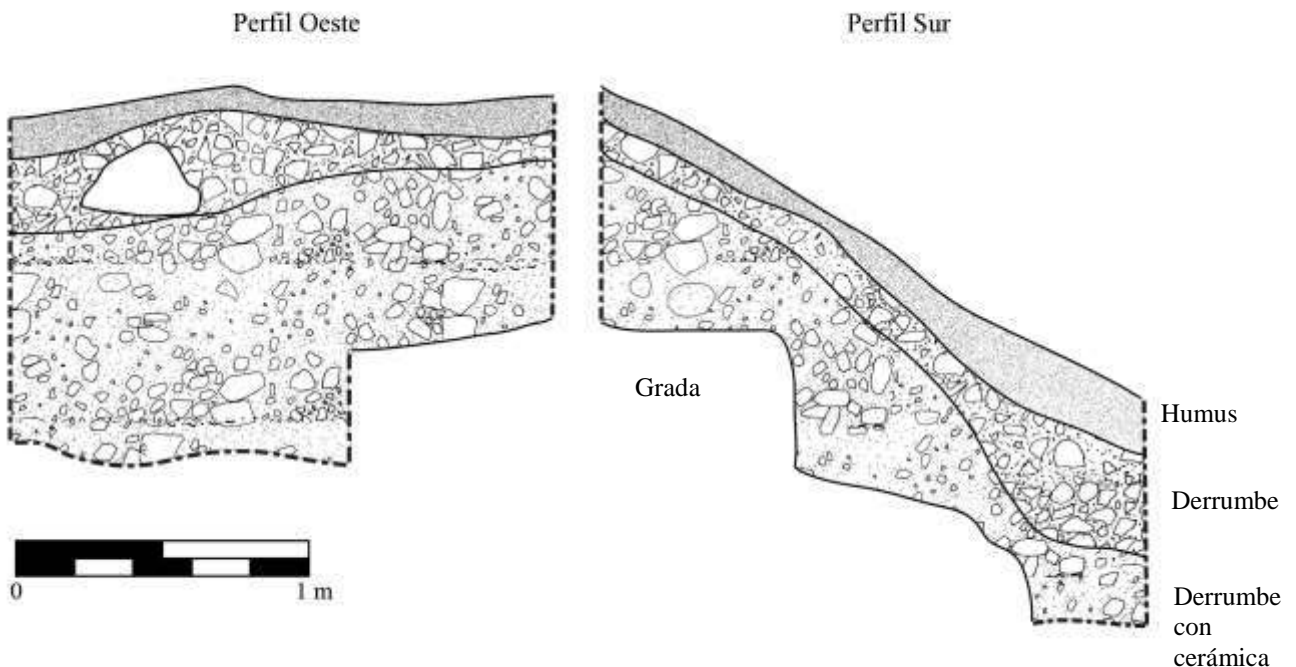


Figura 3.11 Perfiles Este y Sur de la Unidad CR-21O-2
(Dibujo por M. López y P. Estrada; digitalización E. Bustamante).

Conclusiones de CR210-2

El objetivo de identificar una escalinata en esta sección del palacio no pudo ser cumplido. Sin embargo, los resultados obtenidos en la operación CR200 parecen indicar que la Estructura 13Q-4O poseía 5 cuartos en vez de 4, por lo que el eje central de este grupo se encontraría 3 m al norte de donde se trazó esta unidad. Por lo tanto, aún se podría encontrar una escalinata en esta sección. En referencia a esto, las excavaciones realizadas por Padilla en la fachada este del palacio (Padilla y Roche 2012) revelaron una escalinata central angosta, acompañada de dos escalinatas laterales. Extrapolando estos datos a la fachada oeste es posible que aquí también se pueda encontrar una escalinata angosta, por lo que futuras excavaciones son necesarias para confirmar o descartar esta hipótesis.

Conclusiones Generales de las operaciones CR200 y CR210

Las excavaciones realizadas en esta temporada de campo presentaron una complejidad inesperada en la sección posterior del palacio. La excavación de la subestructura 13Q-4O-Sub 1 además muestra que esta complejidad fue una constante en el palacio por al menos 2 fases constructivas. Sin embargo hemos de apuntar que todavía se desconoce la conexión de la sección oeste del palacio con el resto del complejo, ya que todos los cuartos encontrados, tanto en la fase final como en la fase previa, presentan acceso desde el oeste y parecieran estar enfocados a la privacidad.

Hacen falta futuras excavaciones que nos ayuden a entender la articulación de esta sección del palacio. En futuras temporadas se plantea seguir la fachada oeste de la superestructura 13Q-4O hacia el norte, buscando la existencia del hipotético Cuarto 5, así como determinar la forma en que esta sección se conecta con el patio de servicio al noroeste.

De forma similar se planea seguir con la excavación del Cuarto 4, en especial para identificar por donde se accedía a éste y cuáles son sus dimensiones finales. Por último también se ha planificado seguir con la excavación de la subestructura 13Q-4O-Sub 1, pero se plantea un cambio de acercamiento, puesto que se buscará excavar el exterior de la estructura desde la fachada oeste.

CAPÍTULO IV

TERCERA TEMPORADA DE INVESTIGACIONES EN LA SECCIÓN NORTE DEL PALACIO DE LA CORONA

Maxime Lamoureux-St-Hilaire y Rubén Morales Forte

Introducción

La civilización maya clásica es comúnmente asociada con el desarrollo de vasijas cerámicas polícromas, la amplia distribución de monumentos esculpidos que cuentan la historia de reyes y reinas divinos, así como el uso extenso de estructuras de mampostería con bóvedas (Sharer y Traxler 2006; Thompson 1954). Estos diferentes tipos de artefactos se relacionan con el desarrollo de las cortes reales durante los períodos Clásico Temprano (250-600 d.C.) y Clásico Tardío (600-830 d.C.), los cuales fueron colocados en los epicentros monumentales de las ciudades (Demarest 2004; Martin y Grube 2008; Sharer y Traxler 2006). Más precisamente, dichas cortes reales –como instituciones políticas y económicas- estuvieron ancladas en lo que se conoce como palacios reales (Harrison 1970; Inomata y Houston 2001; Proskouriakoff 1960). Los palacios reales fueron los lugares donde los gobernantes de los grandes estados del clásico y sus cortes- compuestas por sus grupos familiares, elites políticas y personal de servicio- vivieron y trabajaron (Inomata y Houston 2001).

Estas estructuras arquitectónicas fueron diseñadas y construidas por los gobernantes y sus arquitectos con propósitos residenciales, pero también fueron adecuadas para la administración del estado, el control de la economía, y la mediación de poder mediante eventos sociales tales como festines (Foias 2013).

El palacio real de La Corona se encuentra localizado en el extremo oeste de la Plaza Principal (Figura 4.1) y es la estructura más grande en el sitio –un complejo de estructuras asentadas sobre una plataforma con una extensión cerca de 80 x 55 m, y 7 m de altura. Este complejo palaciego presenta una estructura piramidal en su centro, que se eleva más de 11 m sobre la plaza principal. Cuatro distintos grupos arquitectónicos se encuentran localizados alrededor de esta estructura piramidal sobre la acrópolis palaciega. El Grupo Noreste es el más grande y consiste de un patio hundido rodeado en tres de sus lados por estructuras alargadas y una plataforma. Los dos grupos al sur son estrechos y rodean los lados de la estructura piramidal

y presentan estructuras alargadas. La entrada principal se encuentra localizada entre los grupos Sureste y Noreste. El cuarto grupo es el Grupo Noroeste, que comprende secciones de dos estructuras de mampostería con bóveda y tres montículos bajos que representan los restos de estructuras percederas. Finalmente, una pequeña plaza se encuentra adjunta al lado oeste del basamento la acrópolis, y está compuesta de un pequeño montículo, una estructura alargada de construcción percedera y una plataforma que flanquea el límite oeste de la acrópolis palaciega y provee el acceso al Grupo Noroeste a través de una escalinata. Esta variedad de grupos arquitectónicos definitivamente apoya la idea que el palacio albergó diversas actividades económicas, ceremoniales y políticas.

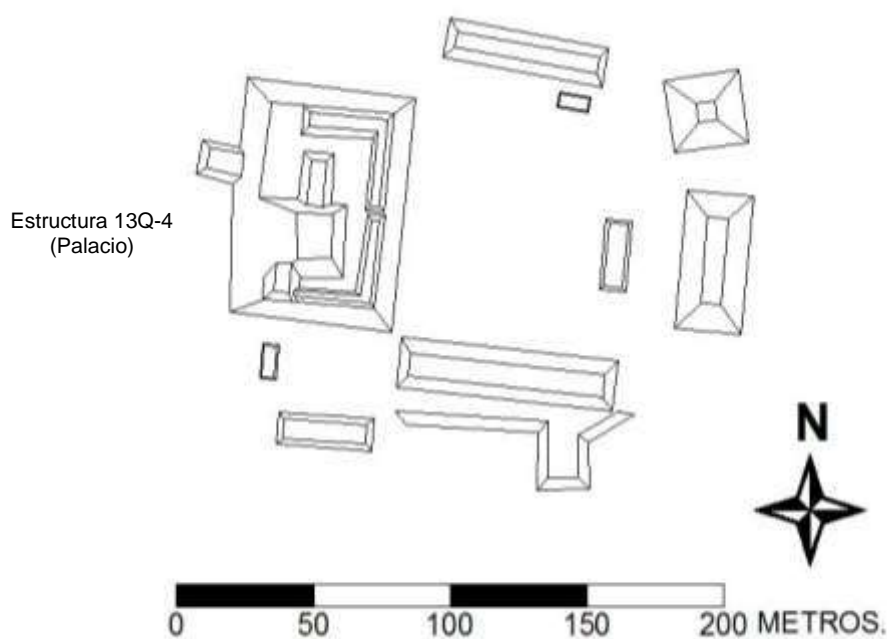


Figura 4.1. Ubicación del Palacio (Estructura 13Q-4) en la Plaza Principal (Mapa por R. Guzmán).

Este capítulo reporta la tercera temporada de excavaciones realizada en los grupos Noreste y Noroeste del palacio real de La Corona, como parte de la investigación doctoral del autor principal de este capítulo. Durante la Temporada 2015, las excavaciones se enfocaron en cuatro estructuras: 13Q-4B1, 13Q-4B2, 13Q-4F y 13Q-4G (Figura 4.2).

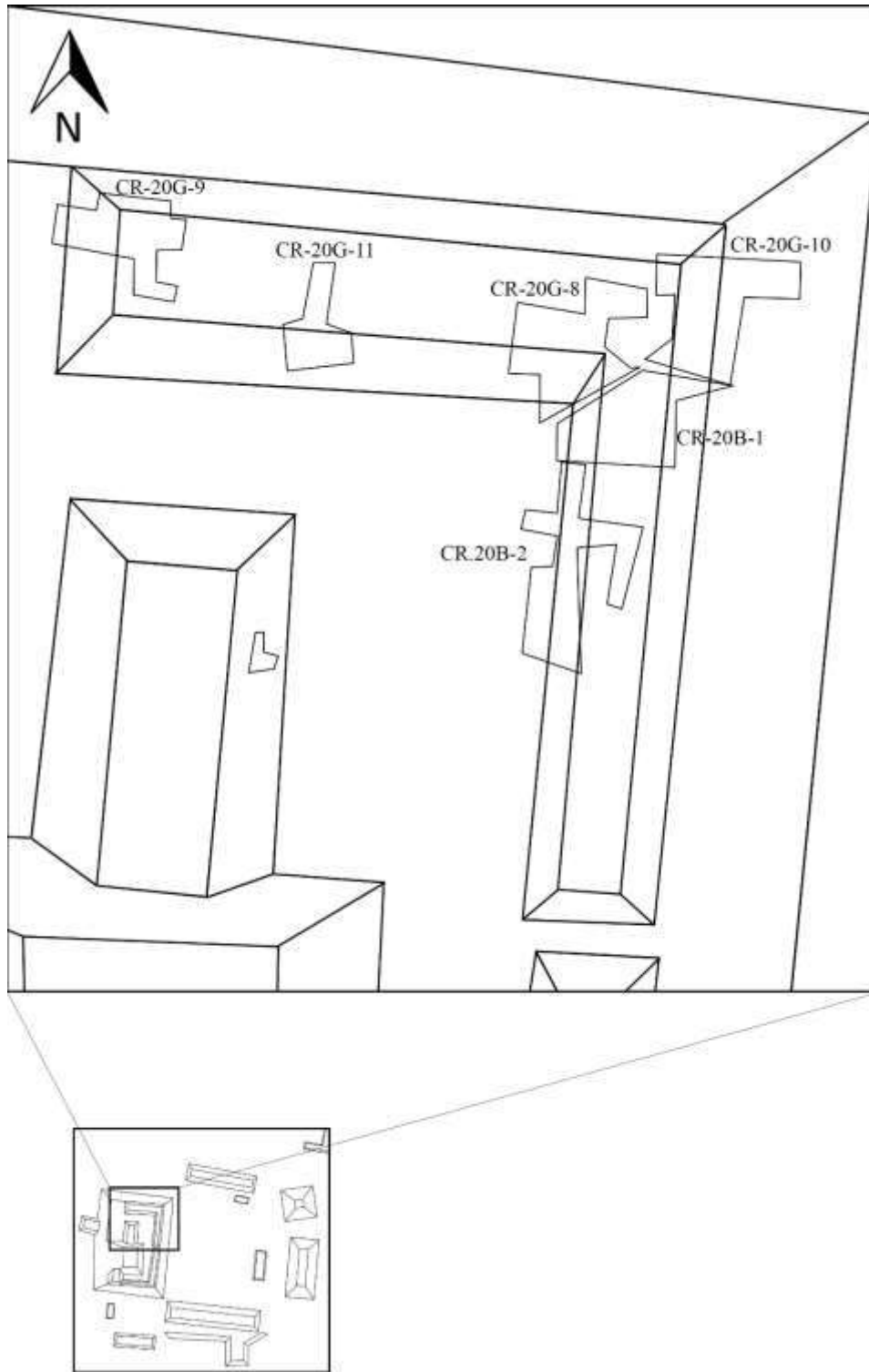


Figura 4.2. Ubicación de las estructuras 13Q-4B1, 13Q-4B2, 13Q-4F y 13Q-4G y las excavaciones realizadas en 2015 (Mapa por M. Lamoureux-St-Hilaire y E. Bustamante).

Estas cuatro estructuras fueron investigadas por medio de siete unidades, las cuales serán reportadas en el siguiente orden: CR20F-1 (re-excavación de una unidad de la Temporada 2013), CR20G-8, CR20G-11, CR20G-9, CR20G-10, CR20B-1, y CR20B-2. Posteriormente a esto, las implicaciones de estos nuevos datos serán discutidas y resumidas. Finalmente, en la conclusión, se presentará una prospección de las excavaciones a realizarse en la cuarta y última temporada de investigación de esta sección del palacio.

Descripción de las Excavaciones

Estructura 13Q-4F

La Estructura 13Q-4F fue investigada durante las temporadas 2013 y 2014, y consiste en una estructura larga abovedada compuesta por cuatro cuartos. Durante la Temporada 2013 se reveló un gran vestíbulo que mide 13 m de largo y presenta 3 puertas, así como una sección privada y un almacén adjunto (Lamoureux-St-Hilaire 2014). Las excavaciones de 2014 revelaron el gran Cuarto Noroeste, el resto del almacén, así como el cuarto de paso norte (Lamoureux-St-Hilaire 2015). Debido a que en 2014 se descubrió un interesante entierro localizado en la puerta del cuarto norte, se decidió re-abrir la excavación de 2013 y buscar un entierro análogo frente a la puerta principal del vestíbulo.

Unidad CR20F-1

La unidad CR20F-1, abierta en 2013, consiste en una trinchera de 11.5 x 2 m la cual fue dispuesta en 2013 a través del eje central del montículo con una orientación errónea de 107 grados al este del norte (Figura 4.3). La re-excavación de la unidad CR20F-1 originalmente medía 2 x 2 m y fue orientada apropiadamente 97 grados al este del norte, pero la unidad fue extendida a 3.6 m en el eje norte-sur. Antes de empezar las excavaciones actuales, el relleno de 2013 tuvo que ser removido.

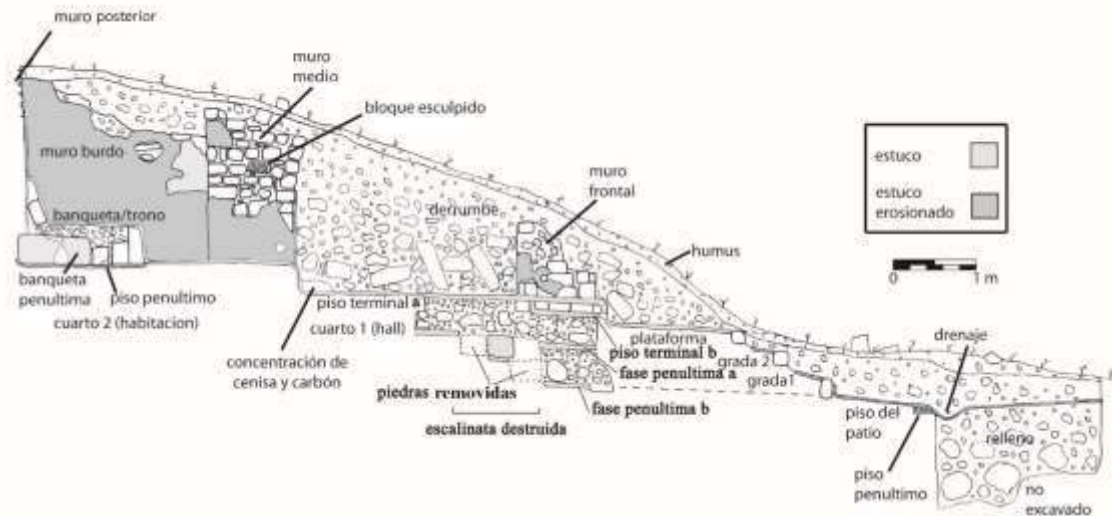


Figura 4.3. Perfil de los dos cuartos sur de la estructura 13Q-4F con los datos de las temporadas 2013 y 2015 (Dibujo por M. Lamoureux-St-Hilaire).

Niveles 1 y 2

Descripción. Los niveles 1 y 2 (humus y derrumbé), corresponden al lote CR20F-1-3. Su matriz se compone de una mezcla de pedrín, piedras medianas, piedra tallada y barro café claro entremezclado con una gran cantidad de raíces y raicillas. La profundidad del humus y el estrato de derrumbé varió entre los 0.90 y 1.20 m. Solo se excavó una pequeña sección del estrato de derrumbé dentro del vestíbulo, con el objetivo de proveer suficiente espacio en el piso frente a la puerta que permitiera la colocación de un pozo de prueba de 1 x 1 m y su posterior extensión al sur.

Artefactos. El lote CR20F-1-3 comprende de 27 fragmentos de cerámica y un fragmento de hueso de fauna.

Nivel 3

Descripción: Correspondiente al lote CR20F-1-8, que es la arquitectura terminal del piso del vestíbulo (Figura 4.3). Durante la excavación, se hizo evidente que esta etapa fue modificada de alguna manera en la antigüedad, cuando el escalón que conecta la plataforma con el interior del cuarto fue movido del extremo oeste de la puerta (Arquitectura Terminal B) al límite este (Arquitectura Terminal A; Figura 4.4). El relleno de la Arquitectura Terminal A fue desprovisto de todo artefacto, y por lo tanto no se le asignó un número de lote. El lote CR20F-1-8 consiste

del relleno localizado entre 0.2 y 0.3 m bajo el piso terminal y fue hecho de barro café claro compactado mezclado con pedrín y piedras medianas.

Artefactos. El lote CR20F-1-8 se encuentra compuesto por 254 fragmentos de cerámica (muchos de los cuales fueron polícromos finos), un fragmento de concha, y cuatro fragmentos de pedernal.

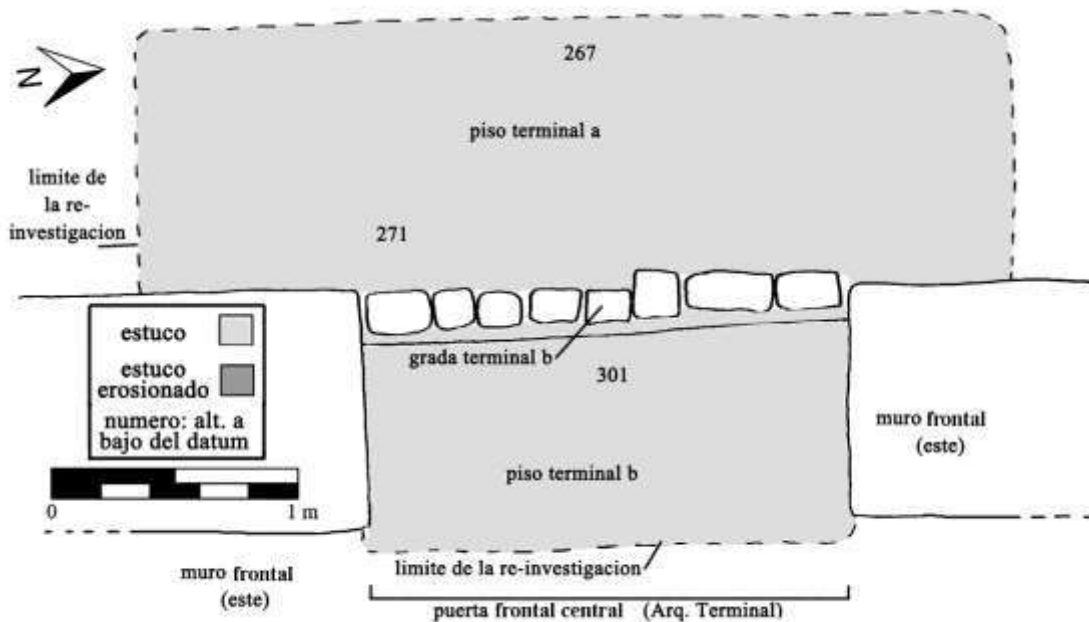


Figura 4.4. Planta de la Arquitectura Terminal B de la Estructura 13Q-4F (Dibujo por M. Lamoureux-St-Hilaire).

Nivel 4

Descripción. Corresponde a la arquitectura penúltima, que fue modificada en la antigüedad cuando el piso (Arquitectura Penúltima A) fue construido sobre una escalinata destruida (Arquitectura Penúltima B). El lote CR20F-1-9 consiste en el relleno del piso de la Arquitectura Penúltima A, que midió entre 0.3 y 0.5 m de grosor. La matriz de este lote se encuentra compuesta de barro café claro suelto mezclado con pedrín y piedras talladas pequeñas. La Arquitectura Penúltima B consiste del piso de una plataforma, un escalón interno, y un probable escalón externo (Figuras 4.3 y 4.5). A primera vista, esta escalinata parecía como un piso el cual había sido cortado múltiples veces. Sin embargo, durante las excavaciones posteriores se hizo evidente que los rasgos que parecían ser cortes en el piso eran los restos de escalones estucados

los cuales habían sido desprovistos de sus piedras talladas. Las huellas de los escalones medían 0.6 m de largo, mientras que la contrahuella medía 0.3 m de alto.

Artefactos. El lote CR20F-1-9 se encuentra compuesto por 102 fragmentos de cerámica, 27 fragmentos de hueso de fauna (incluido uno con glifos tallados), dos fragmentos de estuco modelado, y un fragmento de carbón.

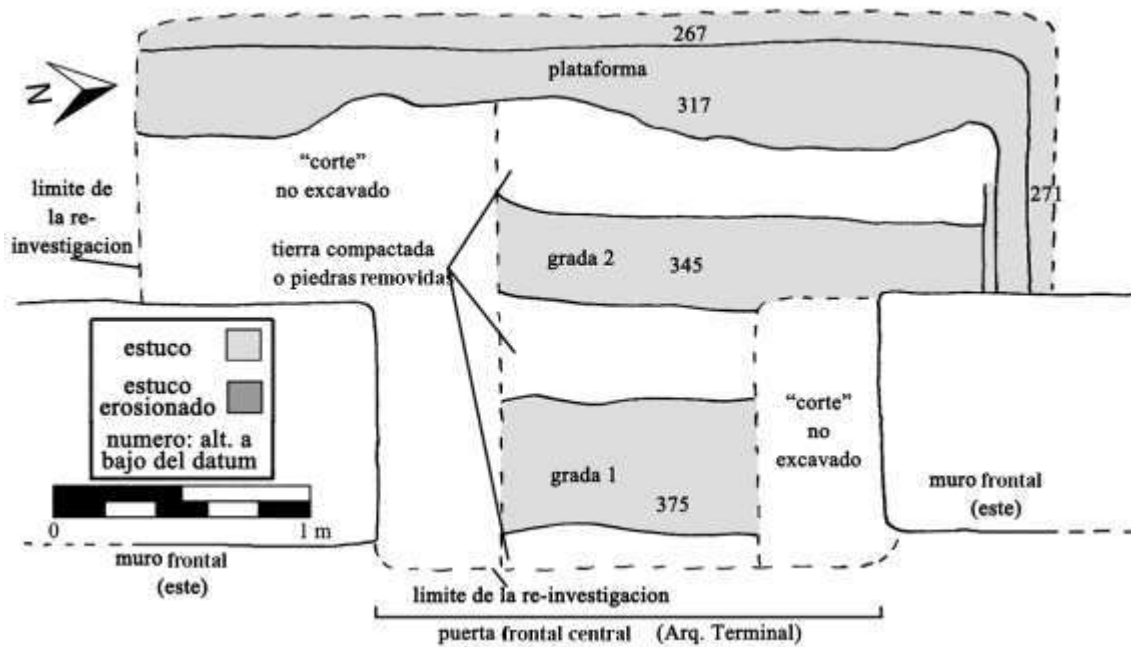


Figura 4.5 Planta de la Arquitectura Penúltima B de la Estructura 13Q-4F (Dibujo por M. Lamoureux-St-Hilaire).

Discusión de los artefactos

La re-excavación de la unidad CR-20F-1 probó ser útil al haber expuesto una fase constructiva anterior, y documentó la práctica de reciclaje de bloques de piedra caliza de alta calidad por parte los arquitectos del palacio. Esta práctica ha sido documentada en otras partes del mundo Maya y en el sitio de La Corona (Abrams 1994; Ponce 2013), pero no había sido identificada en el palacio mismo. Dado que el objetivo principal de esta excavación fue probar la hipótesis de la presencia de un entierro en esta ubicación; la hipótesis fue rechazada.

Estructura 13Q-4G

Al final de la Temporada 2014, durante la excavación de la unidad CR20F-8, se encontró una pequeña extensión de un muro divisorio orientado al norte, que topaba con lo que se creyó era el muro de la Estructura 13Q-4G (Lamoureux-St-Hilaire 2015). También, mientras se excavaba el límite este de la pequeña estructura percedera 13Q-4H1, se descubrió una pequeña sección del muro norte de la Estructura 13Q-4G. Anteriormente, en 2008, Anabella Coronado limpió una larga trinchera de saqueo en la Estructura 13Q-4G y abrió una pequeña trinchera en una estructura sin saqueos (unidades CR-20G-1 a 7; Coronado 2009). Dicho esto, es claro que antes de 2015 se tenía un entendimiento limitado de la Estructura 13Q-4G. Sin embargo, después de las investigaciones de esta temporada, se sabe que la Estructura 13Q-4G es un edificio alargado que media cerca de 30 m de largo y 10 m de ancho, y cuya versión terminal comprende cinco cuartos pequeños/medianos en su fachada sur (probablemente un número similar en el lado norte), y un cuarto grande en la fachada este y oeste.

Desafortunadamente la Estructura 13Q-4G fue objetivo de varias trincheras de saqueo durante la década de 1960; la más grande de éstas destruyó una gran parte de los cuartos 2 y 3. Dos trincheras de saqueo destruyeron la sección sur de los cuartos 4 y 5, mientras que otras trincheras destruyeron secciones considerables de los cuartos del lado norte. Coronado (2009) limpió una sección de la trinchera de saqueo más grande, exponiendo el muro posterior del cuarto 2 y algunos rasgos internos. Adicionalmente, una pequeña trinchera de 1 x 4 m realizada por Coronado (2009; unidad CR20G-7) expuso una pequeña porción de la plataforma frontal de la Estructura 13Q-4G y una fracción del muro frontal de la Estructura 13Q-4B2 (ver más adelante en este capítulo).

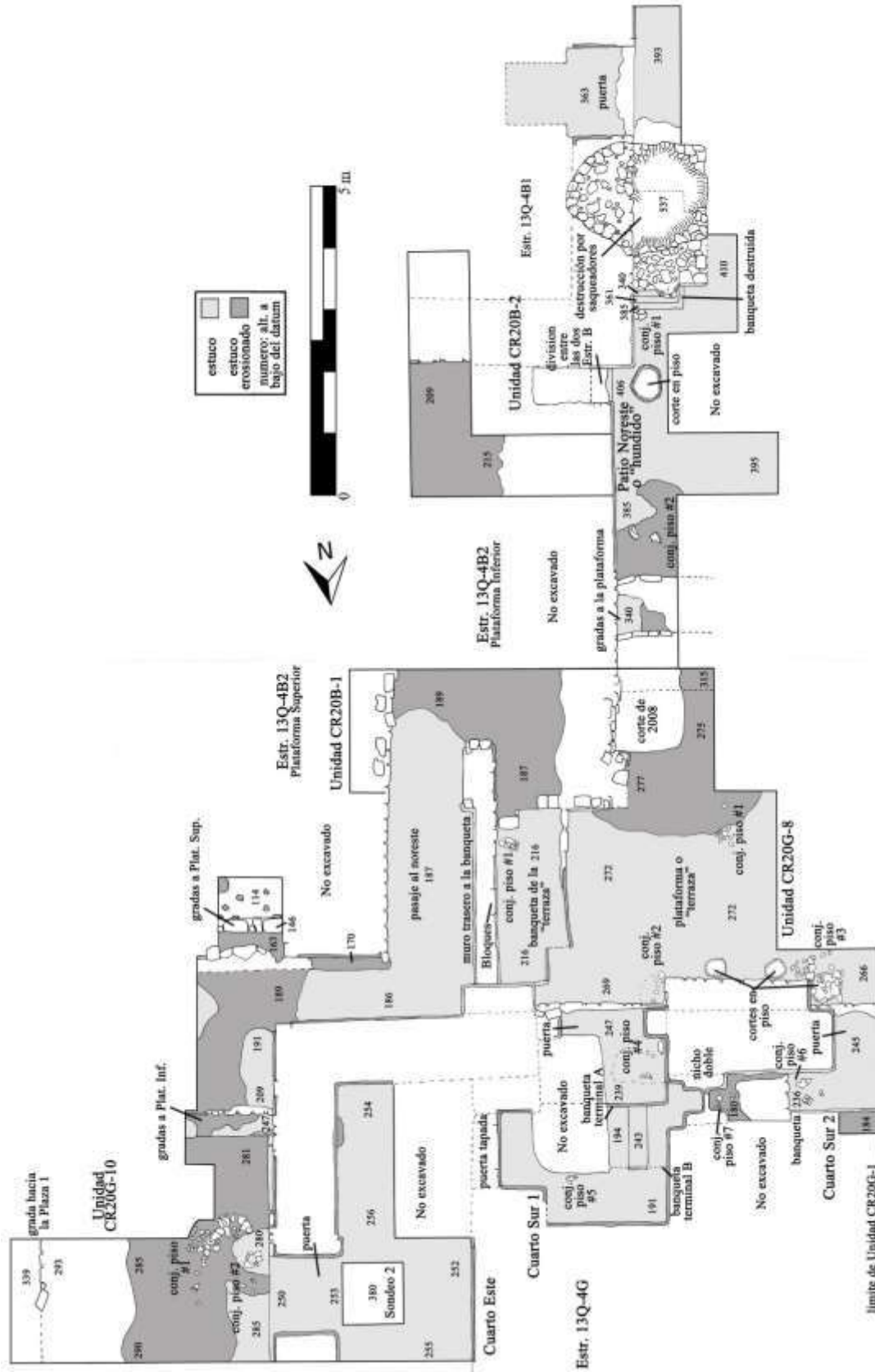


Figura 4.6. Planta de las unidades CR20G-8, CR20G-10, CR20B-1, y CR20B--2 (Dibujo por M. Lamoureux-St-Hilaire).

Unidad C20G-8

La unidad CR20G-8 fue originalmente trazada como una trinchera de 2 x 7 m, orientada a 7 grados al este del norte (Figura 4.7). La trinchera fue dispuesta en el límite sureste del montículo de la Estructura 13Q-4G, donde las trincheras de saqueo no habían alcanzado la arquitectura. La trinchera fue expandida varias veces, siguiendo la arquitectura terminal, y eventualmente se expuso la mayor parte del Cuarto 1, la sección sureste del Cuarto 2 y una porción relativamente grande de la plataforma que se encuentra frente a estos dos cuartos, alcanzando un área aproximada de 27 m². La unidad CR20G-8 se colocó adyacente a las unidades CR20G-10 y CR20B-1, traslapándose de varias maneras con la arquitectura de la Estructura 13Q-4G (ver a continuación).

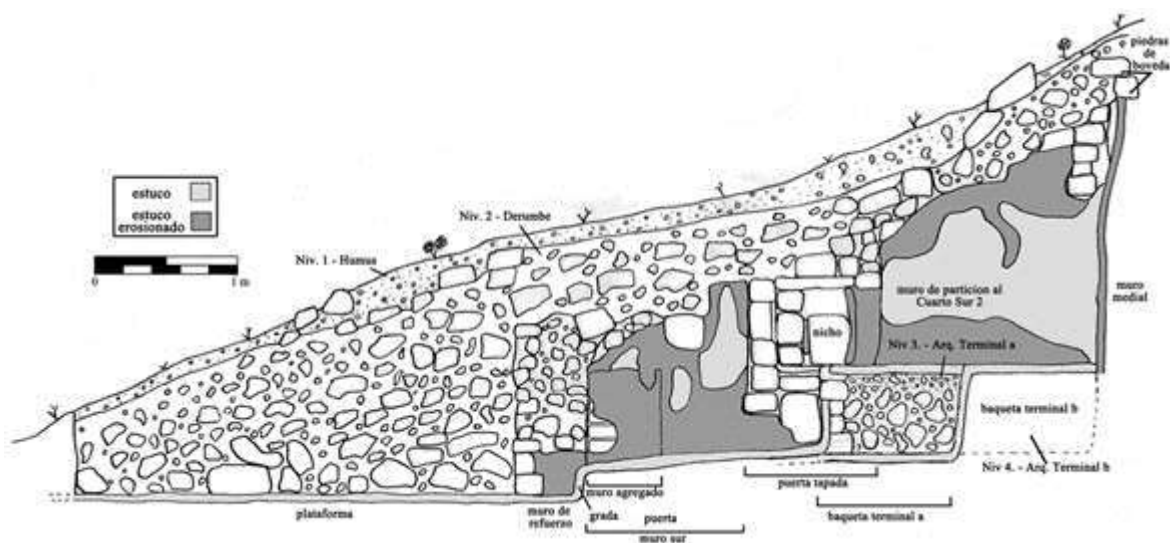


Figura 4.7. Perfil Oeste del Cuarto 1 de la Estructura 13Q-4G
(Dibujo por M. Lamoureux-St-Hilaire).

Nivel 0

Descripción: Se definió como el relleno que los saqueadores acumularon sobre el estrato de humus en el límite este de la unidad, y corresponde al lote CR20G-8-5.

Artefactos: El Lote CR-20G-8-5 está compuesto de 28 fragmentos de cerámica.

Nivel 1

Descripción. Se definió como la capa de humus y corresponde al lote CR20G-8-1. Su matriz se encontró compuesta de barro café oscuro, rico en materia orgánica, incluyendo una gran cantidad de raíces y raicillas, así como piedrín y grava. La profundidad de la capa de humus estuvo entre los 0.02 y 0.2 m.

Artefactos. El lote CR20G-8-1 está compuesto de 3 fragmentos de cerámica así como de varios fragmentos de estuco modelado, incluyendo tres fragmentos de cabezas antropomorfas (Figura 4.8).



Figura 4.8. Fragmentos de estuco que representan las cabezas de dos hombres, encontradas en el Lote CR20G-8-1 (Dibujo por M. Lamoureux-St-Hilaire).

Nivel 2

Descripción. Corresponde al estrato de derrumbe y a los lotes CR20G-8-2, CR20G-8-4, y CR20G-8-7. Su matriz estuvo compuesta de una mezcla de piedrín, piedras, piedras talladas y barro café claro entremezclado con varias raíces y raicillas. La profundidad de esta capa varió entre los 0.45 y 2.08 m. Varias piedras talladas aparecieron en la capa de derrumbe, incluyendo muchas lozas planas, las cuales fueron sin duda parte del ápice de la bóveda del cuarto.

Artefactos. El lote CR20G-8-2 corresponde al derrumbe sobre la plataforma frente a la estructura e incluyó 146 fragmentos de cerámica y un fragmento de hueso de fauna. El lote CR20G-8-4 se definió como el derrumbe dentro del Cuarto 1 e incluyó 105 fragmentos de cerámica, un

fragmento de pedernal, un fragmento de obsidiana, dos fragmentos de hueso de fauna, dos fragmentos de concha, un fragmento de carbón, y un fragmento de hematita. El lote CR20G-8-7, correspondiente al derrumbe dentro del Cuarto 2, incluyó 44 fragmentos de cerámica.

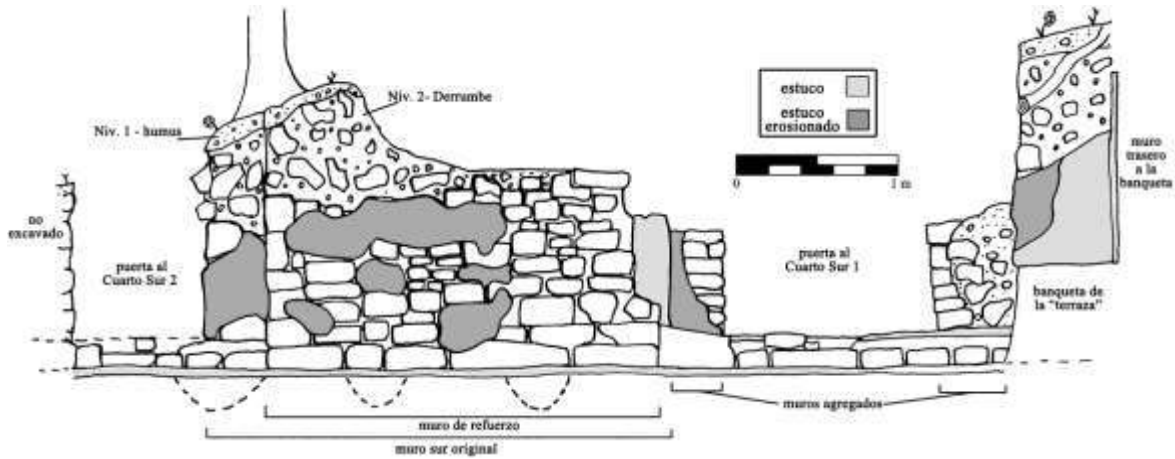


Figura 4.9. Elevación sur de los accesos a los Cuartos Sur 1 y 2 de la Estructura 13Q-4G (Dibujo por M. Lamoureux-St-Hilaire y M. K. Kelly).

Nivel 3

Descripción. Corresponde a la arquitectura terminal y fue dividido en dos componentes. El primer componente comprende de tres concentraciones de artefactos sobre el piso, incluidos en los lotes CR20G-8-3, CR20G-8-6, y CR20G-8-8 (Figura 4.6). El segundo componente corresponde a la arquitectura terminal en sí, la cual fue dividida en al menos tres sub-fases (Halcón A, Halcón B, y Tucán). La única parte de la arquitectura de CR20G-8 que fue excavada corresponde al lote CR20G-8-9, y consiste en el relleno de la extensión de banca y el muro frontal agregado en el Cuarto 1. La matriz del relleno consiste en barro suelto color café claro amarillento mezclado con piedras y piedrín. Bajo la extensión de la banca se localizó el piso de la fase Halcón A y otra banca.



Figura 4.10. Perfil este y elevación de las estructuras 13Q-4G, 13Q-4B2, y 13Q-4B1
(Dibujo por M. Lamoureux-St-Hilaire).

Artefactos. El lote CR20G-8-3 corresponde a la concentración de artefactos localizado frente al edificio, sobre el piso de la plataforma, e incluyó 165 fragmentos de cerámica y un fragmento de obsidiana. El lote CR20G-8-6, correspondiente a la concentración de artefactos localizada en el piso del Cuarto 1, incluye 12 fragmentos de cerámica, un fragmento de hueso de fauna y dos fragmentos de carbón. El lote CR20G-8-8 corresponde a la concentración de artefactos localizada en el Cuarto 2, que incluye 65 fragmentos de cerámica. El lote CR20G-8-9 se definió dentro del relleno de la arquitectura terminal, e incluye 6 fragmentos de cerámica y cuatro fragmentos de hueso de fauna, los cuales pertenecen a las cortineras localizadas en el muro agregado al Cuarto 1.

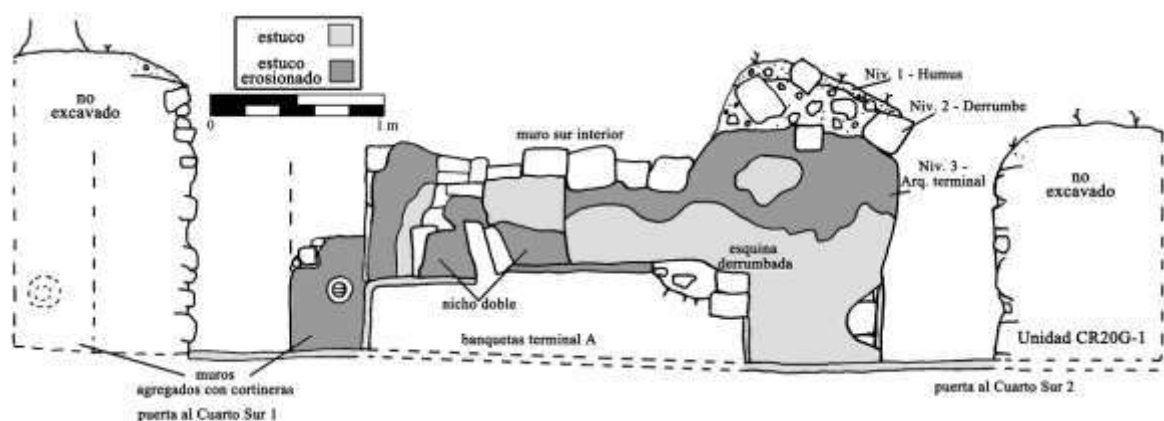


Figura 4.11. Elevación de la parte interna del muro sur de los Cuartos 1 y 2, Estructura 13Q-4G (Dibujo por M. Lamoureux-St-Hilaire).

Discusión sobre la arquitectura

La unidad CR20G-8 expuso una sección de dos de los cuartos del lado sur, localizados más al este de la estructura 13Q-4G (Figuras 4.6, 4.7, 4.9, 4.10, y 4.11). El Cuarto 1 y el Cuarto 2 presentan similitudes, puesto que cada uno presenta una gran banca en forma de “C” y un nicho “doble” que se encuentra compartido en la pared divisoria. Por estos rasgos es que la arquitectura terminal de estos dos cuartos es complicada por el hecho que presentan tres sub-fases. Los indicios son que durante la primera fase (Halcón A), estos dos cuartos eran dos secciones de una gran galería, con una banca de 0.9 m de espesor recostada sobre el muro norte. Eventualmente, parece que los arquitectos tuvieron problemas con la bóveda, la cual necesitaba refuerzo. Este factor también pudo haber estado relacionado a una creciente necesidad de privacidad. Por lo

tanto la fase Halcón B presenta la construcción de paredes divisorias entre ambos cuartos y entre el Cuarto 1 y el Cuarto Este, dejando puertas estrechas que permitieran circular entre éstos. Esta fase también incluyó muros de refuerzo localizados en los muros exteriores. Por último, la fase Tucán presentó tres renovaciones mayores: la clausura de las puertas por medio de un muro divisorio en la puerta entre el Cuarto 1 y el Cuarto Este, y un doble nicho en la puerta entre los Cuartos 1 y 2; ampliación de las bancas estrechas (lo cual conformó la voluminosa forma de “C”); y la adición de dos pequeños muros con cortineros en la puerta sur del Cuarto 1. Estas últimas renovaciones transformaron completamente lo que alguna vez fue una galería abierta, creando cuartos independientes y privados claramente divididos y con distintas funciones. Durante esta fase, el Cuarto 1 medía cerca de 6.7 m², su puerta medía 0.50 x 1.33 m y se tenía acceso mediante un escalón de 0.22 m de altura. El Cuarto 2 probablemente medía 11.5 m², su puerta medía 1.40 x 0.95 m y se tenía acceso mediante un escalón de 0.21 m de alto. En la fase Tucán también se agregó una gran banca de terraza cubierta, en cuyo respaldo se colocaron dos bloques finamente esculpidos que se discutirán más adelante (ver Unidad CR20B-1). Debe de notarse que la calidad de la mampostería de la fase Halcón A era notablemente superior que la de las dos fases posteriores. La abundancia de decoraciones de estuco modelado indica que la fachada sur de la Estructura 13Q-4G se encontraba decorada al igual que la Estructura 13Q-4F. La calidad de los pisos de estuco y los remantes de pigmentos rojos sugiere que la mayor parte del edificio se encontraba estucada y pintada de rojo, como la Estructura 13Q-4F.

Unidad CR20G-10

La unidad CR20G-10 fue trazada originalmente como una trinchera de 2 x 5 m y orientada a 97 grados al este del norte (Figura 4.12). Durante las excavaciones, se expandió la trinchera cuatro veces, hasta alcanzar un área aproximada de 25 m². La unidad CR20G-10 expuso cerca de una tercera parte del Cuarto Este de la Estructura 13Q-4G, una gran porción de la plataforma frente al cuarto (incluyendo el escalón superior de la escalinata que conduce a la Plaza Principal) y las secciones de las plataformas inferior y superior de la Estructura 13Q-4B2, incluyendo una escalinata de acceso a éstas. La unidad CR20G-10 se colocó adyacente a las unidades CR20G-8 y CR20B-1.

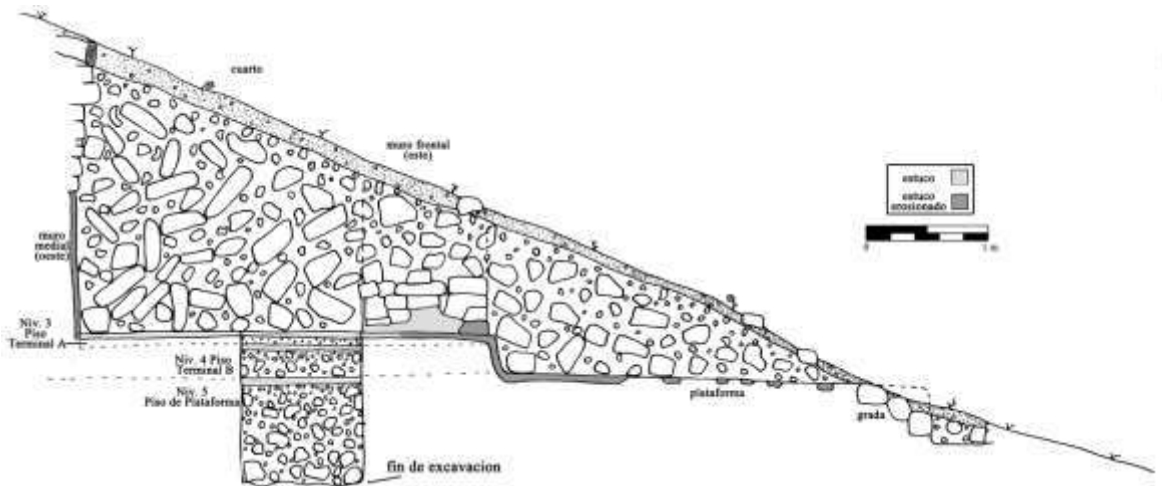


Figura 4.12. Perfil norte del Cuarto Este de la Estructura 13Q-4G y su plataforma frontal (Dibujo por M. Lamoureux-St-Hilaire).

Nivel 1.

Descripción. Se definió como el estrato de humus y corresponde al lote CR20G-10-1. Su matriz se compuso de barro café oscuro, rico en material orgánico, incluyendo una gran cantidad de raíces y raicillas, así como piedrín y grava. La profundidad de este estrato varió entre los 0.02 y 0.08 m.

Artefactos. Los únicos artefactos encontrados en este estrato de humus fueron varios fragmentos de estuco modelado.

Nivel 2

Descripción. Estrato de derrumbe que corresponde a los lotes CR20G-10-2 y CR20G-10-4. Su matriz se compuso por una mezcla de piedras medianas y grandes, piedras talladas y barro café claro entremezclado con varias raíces y raicillas. Su profundidad varió entre los 0.2 a 2.25 m. Varias piedras talladas aparecieron en el derrumbe del interior del cuarto, incluyendo varias lajas grandes y planas que fueron sin duda parte del ápice de la bóveda del cuarto.

Artefactos. El lote CR20G-10-2, correspondiente al derrumbe fuera del cuarto, incluyó 328 fragmentos de cerámica, 8 fragmentos de pedernal, 4 fragmentos de obsidiana, 7 fragmentos de hueso de fauna y 5 fragmentos de concha. El lote CR20G-10-4 corresponde al derrumbe dentro del cuarto y contó con 61 fragmentos de cerámica, un fragmento de obsidiana y 20 fragmentos de hueso de fauna.

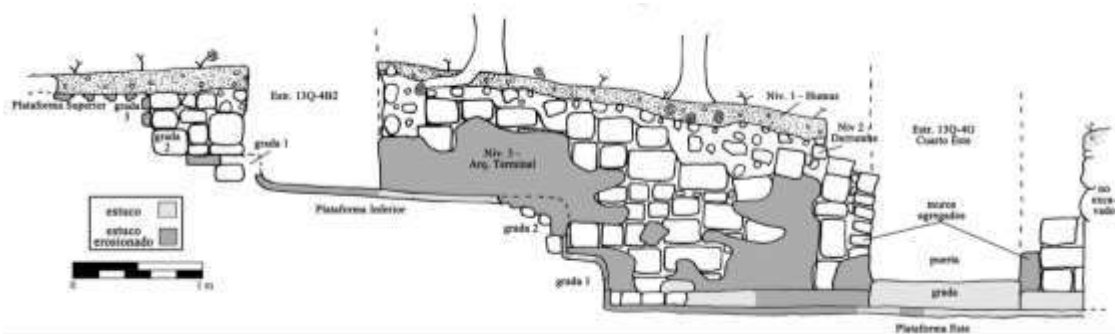


Figura 4.13. Elevación del muro este del Cuarto Este de la Estructura 13Q-4G y perfil de la escalinata de la Estructura 13Q-4B2 (Dibujo por M. Lamoureux-St-Hilaire).

Nivel 3

Descripción. Corresponde a la última fase arquitectónica (Figuras 4.6, 4.12, 4.13 y 4.14) y fue dividido en dos componentes: agrupación de artefactos localizada sobre el piso frente al cuarto y la arquitectura misma. La concentración de artefactos corresponde al lote CR20G-10-3, y fue encontrada al sur de la puerta, sobre a la plataforma frontal. La arquitectura terminal fue investigada por medio de un pozo de prueba de 1 x 1 m, ubicado en el umbral de la puerta del cuarto. El pozo de prueba reveló un piso terminal anterior (Arquitectura Terminal B) y el piso de la plataforma localizada bajo la Estructura 13Q-4G. La matriz del nivel 3 consistió en un barro denso café oscuro mezclado con piedrín y piedras.

Artefactos. El lote CR20G-10-3, que comprende las dos concentraciones de artefactos encontradas en frente del cuarto, incluye 150 fragmentos de cerámica. El lote CR20G-10-5, correspondiente al relleno del Piso Terminal B (el Piso A no presentó ningún artefacto), contuvo 5 fragmentos de cerámica, 2 fragmentos de hueso y un fragmento de carbón.

Nivel 4

Descripción. Corresponde al lote CR20G-10-6 y consiste en la penúltima fase arquitectónica, o el piso de plataforma localizada bajo el cuarto (Figura 4.12). El piso de la plataforma fue estucado y tuvo 0.05 m de espesor. La matriz del piso consistió en barro café claro amarillento mezclado con piedrín y piedras pequeñas. La arquitectura penúltima fue explorada hasta los 1.02 m de profundidad, cuando un estrato de piedras grandes fue encontrado. Debido a limitantes de tiempo, las excavaciones debieron de ser detenidas en este punto.

Artefactos. El lote CR20G-10-6 incluyó 37 fragmentos de cerámica, un fragmento de pedernal, un fragmento de concha y un fragmento de pirita.

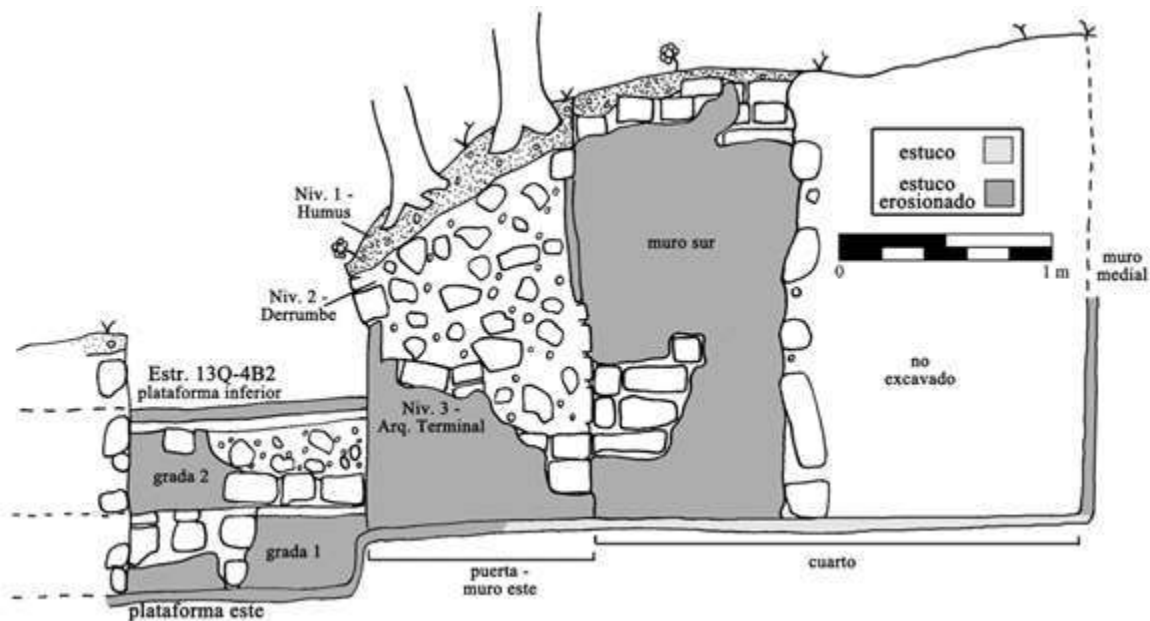


Figura 4.14. Perfil sur del Cuarto Este de la Estructura 13Q-4G y elevación de la escalinata de la plataforma baja de la Estructura 13Q-4B2 (Dibujo por M. Lamoureux-St-Hilaire).

Discusión de la arquitectura

Las excavaciones revelaron una vez más tres fases constructivas. La fase Halcón A incluyó un cuarto simple el cual conducía a la galería sur y probablemente a la galería norte de la estructura. En la fase Halcón B se re-estucó el piso y se consolidó la puerta del Cuarto Este, así como el cierre de la puerta (por lo menos) que comunicaba con la galería sur (y probablemente con la galería norte también). La fase Tucán incluyó las dos plataformas de la Estructura 13Q-4B2, las cuales fueron construidas contra los muros este y sur del Cuarto Este, lo cual incluyó la banqueta con terraza techada (ver a continuación). Debe de notarse, nuevamente, que la mejor mampostería está asociada con la primera de estas fases constructivas. Durante la Fase Tucán, el cuarto “cerrado” medía aproximadamente 14 m², mientras que la puerta medía 1.10 x 0.95 m y se accedía desde un escalón de 0.35 m de alto. Varios fragmentos de estuco modelado y fragmentos de piso de estuco pintados de rojo indican que esta sección de la Estructura 13Q-4G estuvo bien decorada y cuidada.

Unidad CR20G-11

La unidad CR20G-11 fue trazada como una unidad de exploración, donde la unidad CR20F-8 se finalizó en 2014, a la par del muro divisorio entre el corredor de paso y la Estructura 13Q-4G. Media vez se encontró la puerta del Cuarto 4, la unidad fue convertida en una trinchera de 1 x 5 m, la cual fue ampliada dos veces (como túneles pequeños) y terminó cubriendo un área aproximada de 12 m². La unidad CR20G-11 reveló gran parte del Cuarto 4 así como un área considerable de la plataforma frontal.

Nivel 1

Descripción. Estrato de humus que también incluyó partes del relleno de las unidades arqueológicas de 2014 y que corresponde al lote CR20G-11-1. Su matriz estuvo compuesta de barro café oscuro, rico en material orgánico, con una gran cantidad de raíces y raicillas, así como piedrín y grava. La profundidad varió entre los 0.1 y 0.4 m.

Artefactos. Los únicos artefactos encontrados fueron pocos fragmentos de estuco modelado.

Nivel 2

Descripción. Estrato de derrumbe que corresponde a los lotes CR20G-11-2 y CR20G-11-4. Su matriz estuvo compuesta de una mezcla de piedras pequeñas y grandes, piedra tallada y barro café claro entremezclado con varias raíces y raicillas. La profundidad varió entre los 0.65 y 2.15 m. Varias piedras talladas aparecieron dentro del derrumbe en el interior del cuarto, incluyendo varias alargadas y planas que fueron parte de la bóveda del cuarto.

Artefactos. El lote CR20G-11-2, correspondiente al estrato de derrumbe fuera del cuarto, incluyó 287 fragmentos de cerámica y tres fragmentos de pedernal. El lote CR20G-11-4 se definió como el derrumbe dentro del cuarto, donde se recuperaron 70 fragmentos de cerámica, 2 fragmentos de pedernal y un fragmento de concha.

Nivel 3

Descripción. Corresponde a la última fase arquitectónica y fue dividido en dos componentes: 1) dos concentraciones de artefactos sobre piso (frente y dentro del cuarto) y 2) la arquitectura misma (Figuras 4.15 y 4.16).

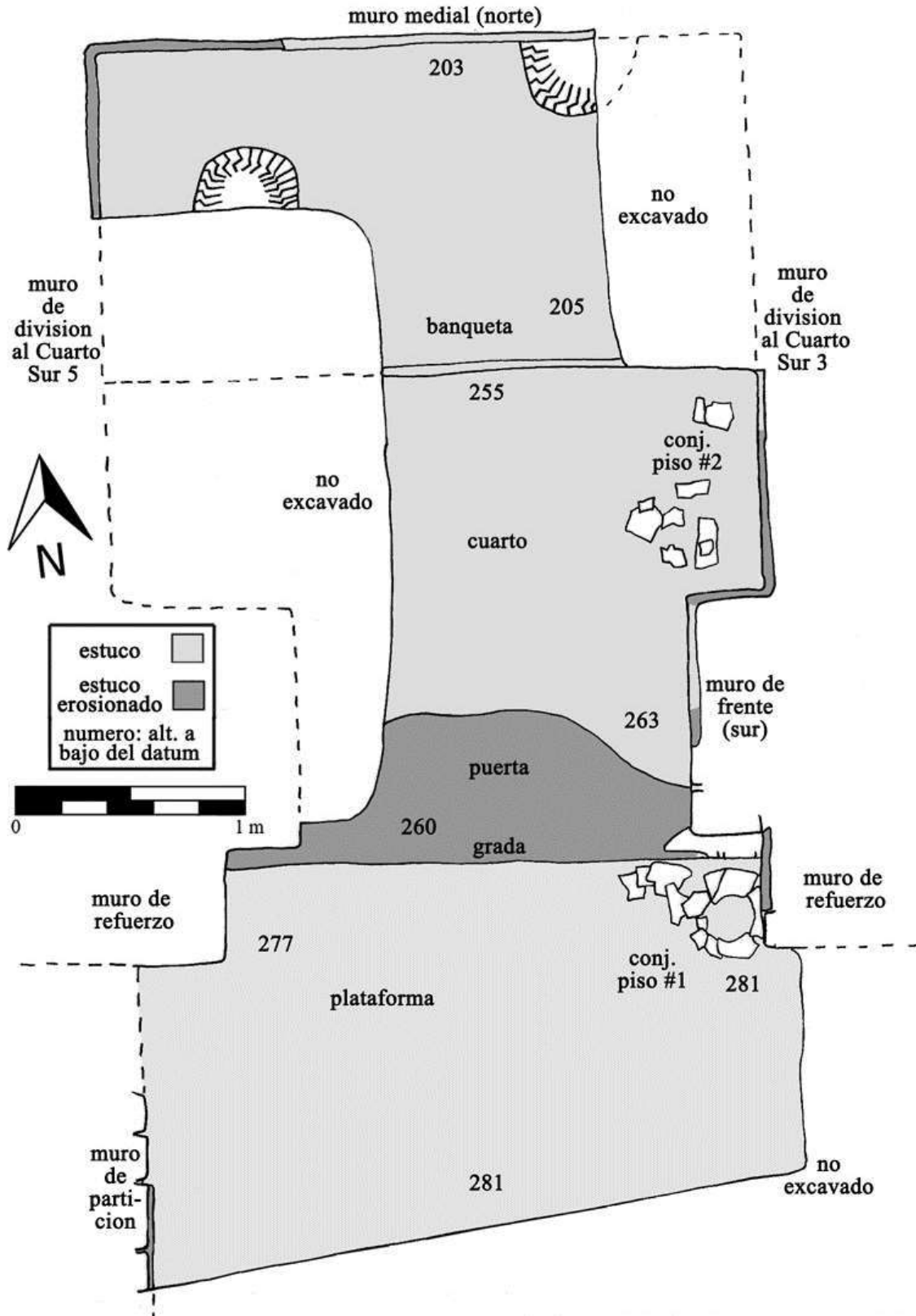


Figura 4.15. Planta del Cuarto Sur 4 de la Estructura 13Q-4G (Dibujo por M. Lamoureux-St-Hilaire).

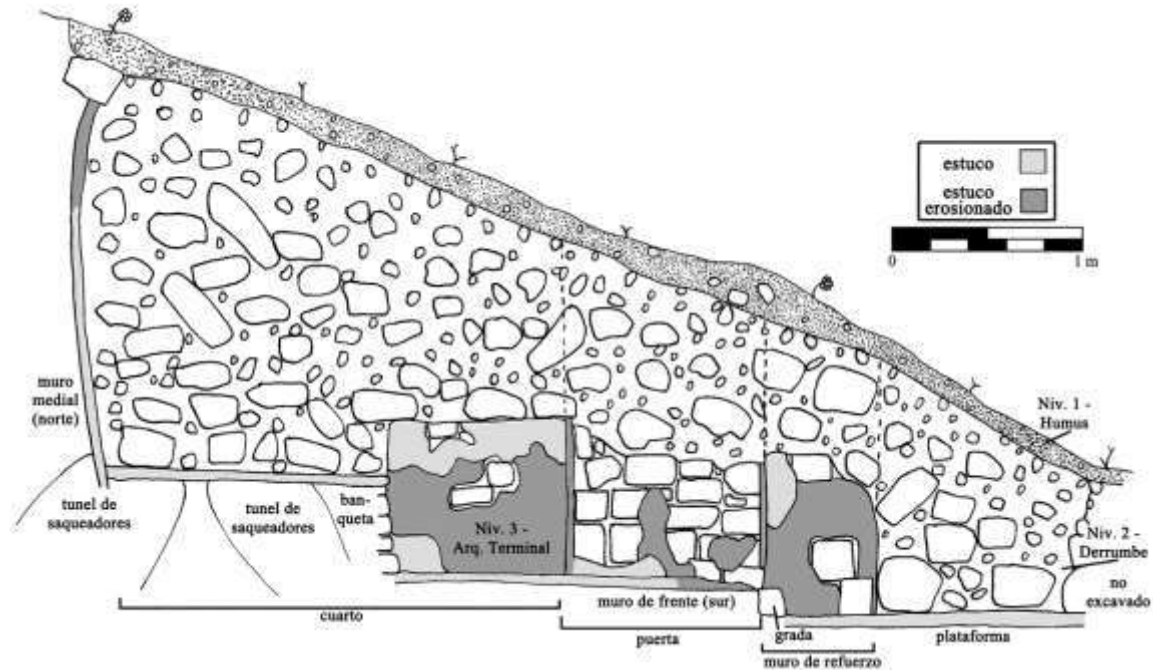


Figura 4.16 Perfil Este del Cuarto Sur 4 de la Estructura 13Q-4G (Dibujo por M. Lamoureux-St-Hilaire).

La concentración de artefactos encontrada frente al cuarto corresponde al lote CR20G-11-3 y se localizó al este de la puerta, sobre el piso de la plataforma frontal. La otra concentración de artefactos se encontró dentro del cuarto (lote CR20G-11-5) y también se ubicó sobre el piso al este de la puerta. La arquitectura terminal fue investigada por medio de una estrecha trinchera localizada en el interior de la banqueta. El objetivo de esta trinchera fue encontrar una versión anterior de la banqueta, la cual no fue encontrada. La matriz del nivel 3 consistió en un barro denso café oscuro mezclado con pedrín y piedra pequeña.

Debe mencionarse que dos trincheras de saqueo dañaron seriamente la arquitectura terminal. Una primera trinchera destruyó una gran sección del muro frontal al oeste de la puerta, mientras que la otra entró por la sección norte de la estructura y destruyó una parte del muro medial y la banqueta.

Artefactos. El lote CR20G-11-3 corresponde a la concentración de artefactos fuera del cuarto, y consta de 26 fragmentos de cerámica. El lote CR20G-11-5 representa a la concentración de artefactos en el interior del cuarto e incluye 37 fragmentos de cerámica. El lote CR20G-11-6, correspondiente al relleno de la banqueta, no presentó algún artefacto.

Discusión de la Arquitectura

La arquitectura asociada con el Cuarto 4 evidenció nuevamente tres frases de construcción. Durante la fase Halcón A pudo haber correspondido a una pequeña sección de la gran galería que no presentaba una banca. La fase Halcón B parece relacionarse al problema del techo abovedado que se discutió con anterioridad e incluyó la construcción de un muro divisorio entre este cuarto y los cuartos 3 y 5, así como la construcción de la banquetta y los muros de refuerzo que se encuentran contra el exterior del muro sur. Esta fase de privatización de los cuartos fue probablemente la responsable de la adición de los cortineros a ambos lados de la puerta, aunque también pudo haber estado asociada con la Fase Tucán. La Fase Tucán se encuentra asociada con la construcción del muro divisorio que conecta el muro norte del cuarto de paso de la Estructura 13Q-4F y el muro de refuerzo del Cuarto 4. Durante esta fase, el cuarto abarcaba aproximadamente 6.7 m^2 , su puerta medía $1.72 \times 0.97 \text{ m}$ y se accedía mediante un escalón de 0.19 m de alto. Como en otras secciones del edificio, varias decoraciones de estuco modelado se encontraron asociadas a este cuarto bien estucado, lo cual indica que los muros se encontraban bien decorados y mantenidos.

Unidad CR20G-9

La unidad CR20G-9 (Figuras 4.17, 4.18 y 4.19) fue en un inicio trazada como una trinchera de $2 \times 5 \text{ m}$ orientada a 97 grados al este del norte, la cual tenía como objetivo exponer la plataforma frontal del Cuarto Oeste de la Estructura 13Q-4G. A medida que la arquitectura fue expuesta se necesitó agregar cuatro extensiones a la unidad, las cuales siguieron los muros del cuarto. Después de la adición de estas extensiones, la superficie total expuesta por la unidad CR20G-9 fue de 19 m^2 .

Nivel 1

Descripción. Estrato de humus que también incluyó un poco del relleno dejado por los saqueadores, corresponde al lote CR20G-9-1. Su matriz se encontró compuesta de barro café oscuro, rico en material orgánico, con una gran cantidad de raíces y raicillas, así como piedrín y grava. La profundidad varió entre los 0.03 y 0.3 m .

Artefactos. El nivel 1 presentó 10 fragmentos de cerámica y algunos fragmentos de estuco modelado.

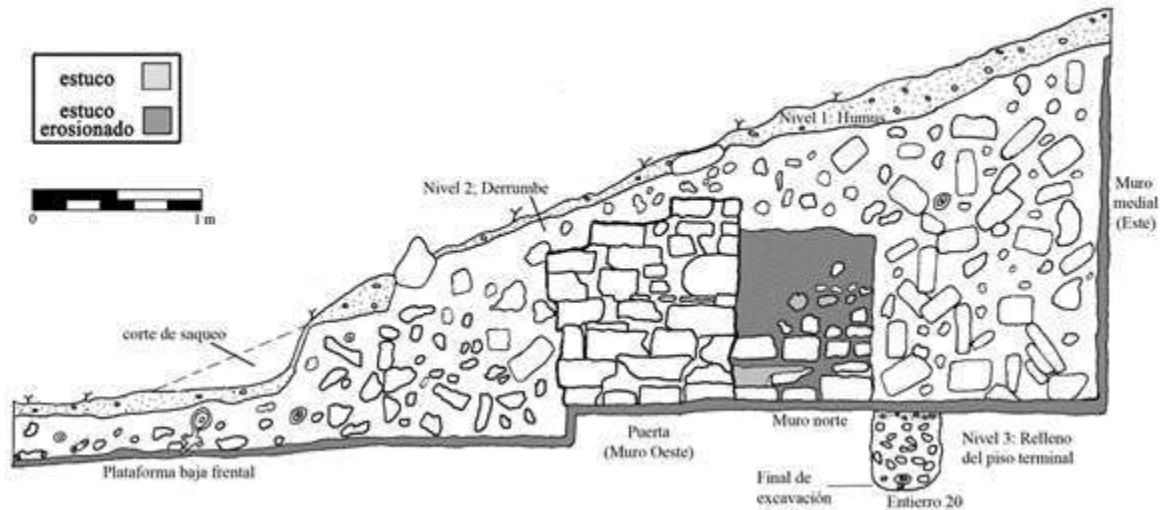


Figura 4.17. Perfil Norte del Cuarto Oeste de la Estructura 13Q-4G (Dibujo por R. Morales Forte y M. Lamoureux-St-Hilaire).

Nivel 2

Descripción. Estrato de derrumbe, que corresponde a los lotes CR20G-9-2 y CR20G-9-4. Su matriz se encontró compuesta de una mezcla de piedra pequeña y grande, piedra tallada y barro café claro entremezclado con raíces y raicillas. La profundidad de este estrato varió entre los 0.23 y 2.2 m. Algunas piedras talladas se encontraron en el derrumbe proveniente del interior del cuarto, incluyendo varias piedras planas y alargadas que fueron parte del ápice del techo abovedado del cuarto. Es importante notar que el nivel 2 de la unidad CR20G-9 contuvo una cantidad inusualmente alta de material cerámico, sumando un total de 959 fragmentos.

Artefactos. El lote CR20G-9-2 que corresponde al derrumbe fuera del cuarto, incluyó 287 fragmentos de cerámica y 3 fragmentos de pedernal. El lote CR20G-9-4 fue definido como el derrumbe dentro del cuarto, e incluyó 672 fragmentos de cerámica, un fragmento de pedernal, un fragmento de figurilla y un fragmento de obsidiana. Se tomó una muestra de suelo proveniente de un área de barro particularmente oscuro localizada en la esquina noroeste del cuarto.

Nivel 3

Descripción. El nivel 3 corresponde a la arquitectura terminal y fue dividida en dos componentes: las concentraciones de artefactos localizadas frente y dentro del cuarto, así como la arquitectura terminal misma (Figuras 4.17, 4.18 y 4.19). Dos concentraciones de cerámica

fueron encontradas en la superficie de la plataforma frontal baja que se localiza frente a la puerta del cuarto (lote CR20G-9-3) y una tercera concentración más discreta se ubicó sobre el piso dentro del cuarto (lote CR20G-9-5). La aparición de una sección colapsada en el centro del cuarto sugirió la presencia de un entierro, lo cual fue confirmado después (Entierro 20). La matriz del nivel 3 consistió de barro denso de color café claro mezclado con grava, piedrín y piedras medianas.

Artefactos. El lote CR20G-9-3 corresponde a las concentraciones de artefactos ubicadas fuera del cuarto e incluyeron 29 fragmentos de cerámica. El lote CR20G-9-5 se definió con la concentración localizada dentro del cuarto que solamente tuvo un fragmento de piedra de moler. Debe de mencionarse que varias concentraciones de cerámica fueron encontradas en el estrato de derrumbe, pero no tan lejos del piso. La cantidad inusual de cerámica del nivel 2, combinada con estas concentraciones, sugiere que un número considerable de vasijas cerámicas se encontraban en repisas o muebles dentro del cuarto al momento del derrumbe. Esto significa que mucha de esta cerámica puede estar asociada con la ocupación terminal y no al relleno arquitectónico. El lote CR20G-9-6 corresponde al relleno terminal del piso sobre el Entierro 20 y contuvo 9 fragmentos de cerámica, un fragmento de pedernal, un fragmento de carbón y dos muestras de tierra. No se encontró ningún tipo de ofrenda asociada al Entierro 20 y todo el material fue parte del relleno del piso.

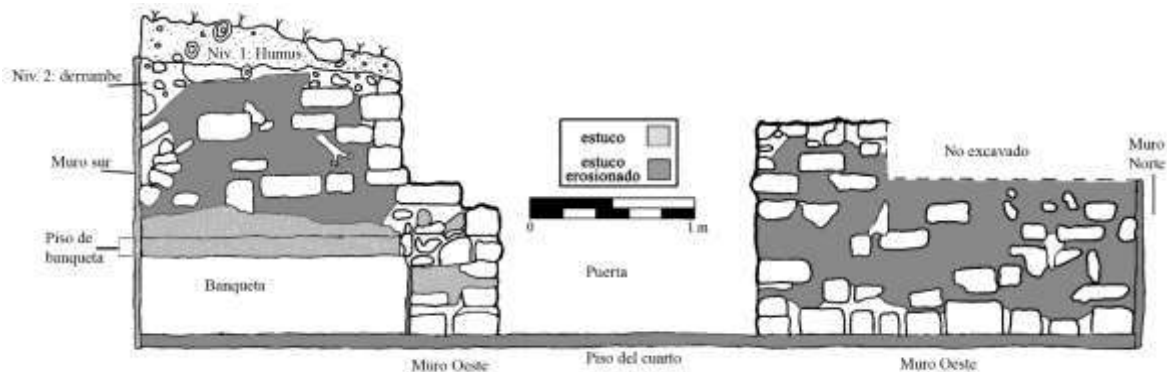


Figura 4.18. Elevación interior del muro oeste del Cuarto Oeste de la Estructura 13Q-4G (Dibujo por R. Morales Forte y M. Lamoureux-St-Hilaire).

Entierro 20

Este entierro presentó un solo individuo, cuyo cuerpo fue colocado dentro del relleno del piso durante la construcción de la última fase arquitectónica (Fase Halcón). Un cambio en el color de la matriz de suelo cerca de la cabeza sugiere la presencia de un pequeño rasgo arquitectónico: posiblemente la esquina de una banca que fue destruida para colocar el entierro, o tal vez un pequeño estrato de estuco denso que fue colocado allí con el objetivo de proveer alguna protección para la parte superior del cuerpo. Esta práctica constructiva en entierros, conocida como cista de cabeza, fue documentada en el caso del Entierro 16, pero en el caso del Entierro 20 no se encontró ninguna piedra tallada que fuera colocada para cargar un “techo” perecedero (Lamoureux-St-Hilaire 2015). El cuerpo se encontró relativamente bien preservado, a una profundidad de 0.53 m bajo el piso, orientado a 17 grados al este del norte, con la cabeza al norte, en posición supina con los brazos levemente flexionados y sus manos sobre la pelvis (ver el Capítulo 11 de este volumen, para obtener más información e ilustraciones). El análisis osteológico realizado por Erin Patterson (comunicación personal 2015) indica que el individuo era de sexo masculino, de entre 25 y 30 años de edad, de aproximadamente 1.6 m de altura y tenía una modificación craneal tabular oblicua. La ausencia de ofrendas en la tumba u otro rasgo arquitectónico formal sugiere que este individuo perteneció a un estrato socioeconómico bajo.

Discusión de la Arquitectura.

El Cuarto Oeste de la Estructura 13Q-4G fue construido con mampostería de gran calidad, la cual fue cubierta por un estuco fino y grueso, el cual fue pintado de rojo. Pocos fragmentos de estuco modelado fueron encontrados, a diferencia de otros lugares, sugiriendo que este cuarto no se encontraba tan decorado como los edificios abovedados del patio, al igual que el Cuarto Noroeste de la Estructura 13Q-4F (Lamoureux-St-Hilaire 2015). Este cuarto abre al oeste, directamente frente a la estructura perecedera 13Q-4H1 y mide 13 m². La puerta del cuarto mide 1.8 m de ancho y 0.9 m de profundidad, y se accedía mediante una grada de 0.17 m. Una gran banca se localiza en la sección sur del cuarto, mide 3.7 m², tiene 0.5 m de alto y se encontraba cubierta por una gruesa capa de estuco fino. El patrón de un cuarto con una banca grande al lado derecho de la entrada es igual al patrón del Cuarto Noreste de la Estructura 13Q-4F (Lamoureux-St-Hilaire 2015).

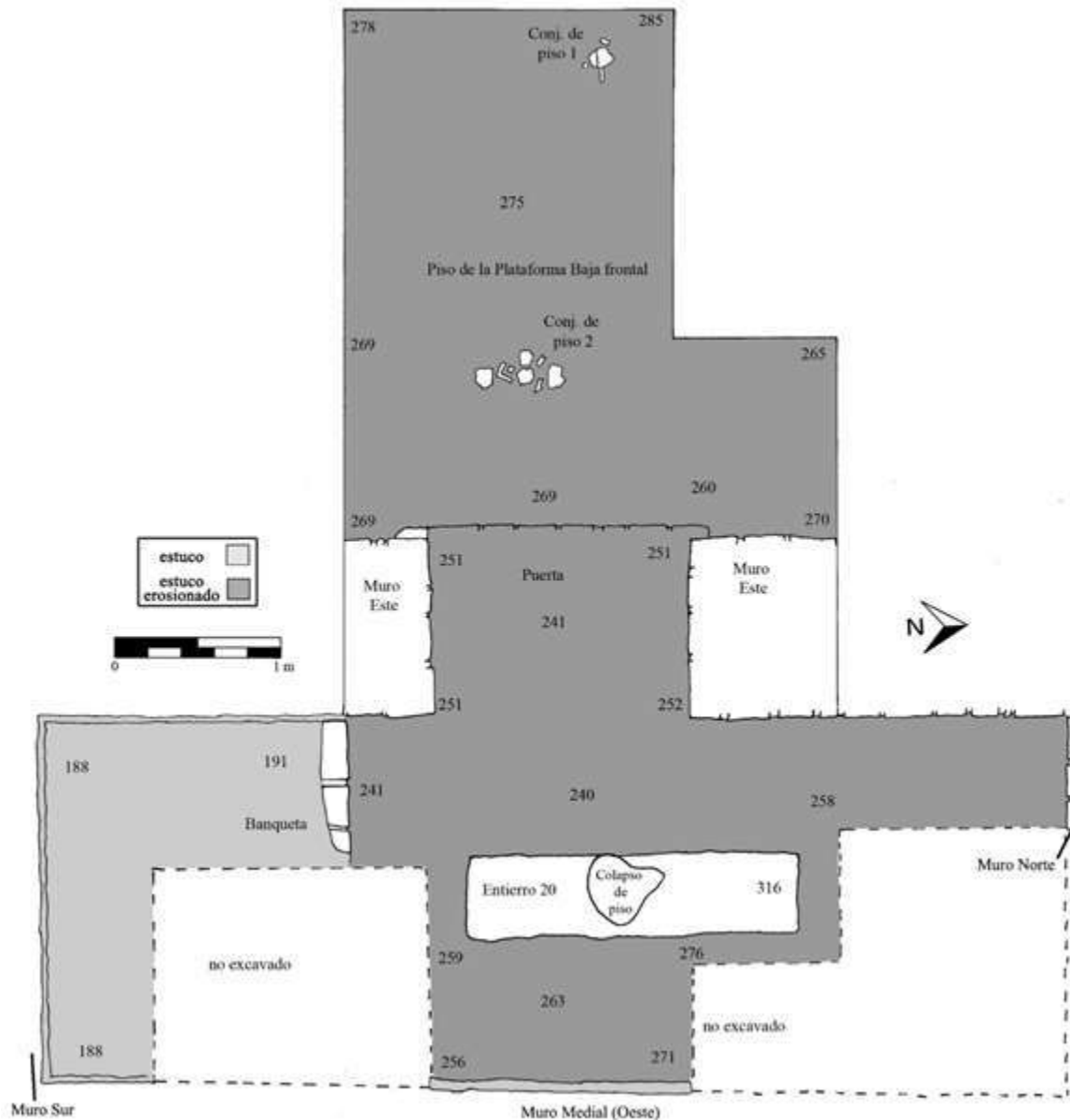


Figura 4.19. Planta de Cuarto Oeste de la Estructura 13Q-4G (Dibujo por R. Morales Forte y M. Lamoureux-St-Hilaire).

No se detectó ninguna renovación en este cuarto aparte del muro que separa este cuarto y el Cuarto Norte 5, que puede corresponder a la fase Halcón B. Se sabe por las excavaciones de 2014 que el piso frente a este cuarto corresponde a una plataforma que se eleva unos 0.25 m sobre el nivel del piso de patio (Lamoureux-St-Hilaire 2015). No obstante, el límite de esta plataforma no fue detectado en 2015.

El Cuarto Este de la Estructura 13Q-4G es uno de los tres cuartos de mampostería del Grupo Noroeste que han sido asociados con actividades de servicio, almacenamiento, auxiliaria y otras funciones relacionadas con la servidumbre de la corte. Los datos de este cuarto, incluyendo su falta de decoración, la presencia del entierro de un plebeyo y la falta de cortineros, contribuyen con esta hipótesis.

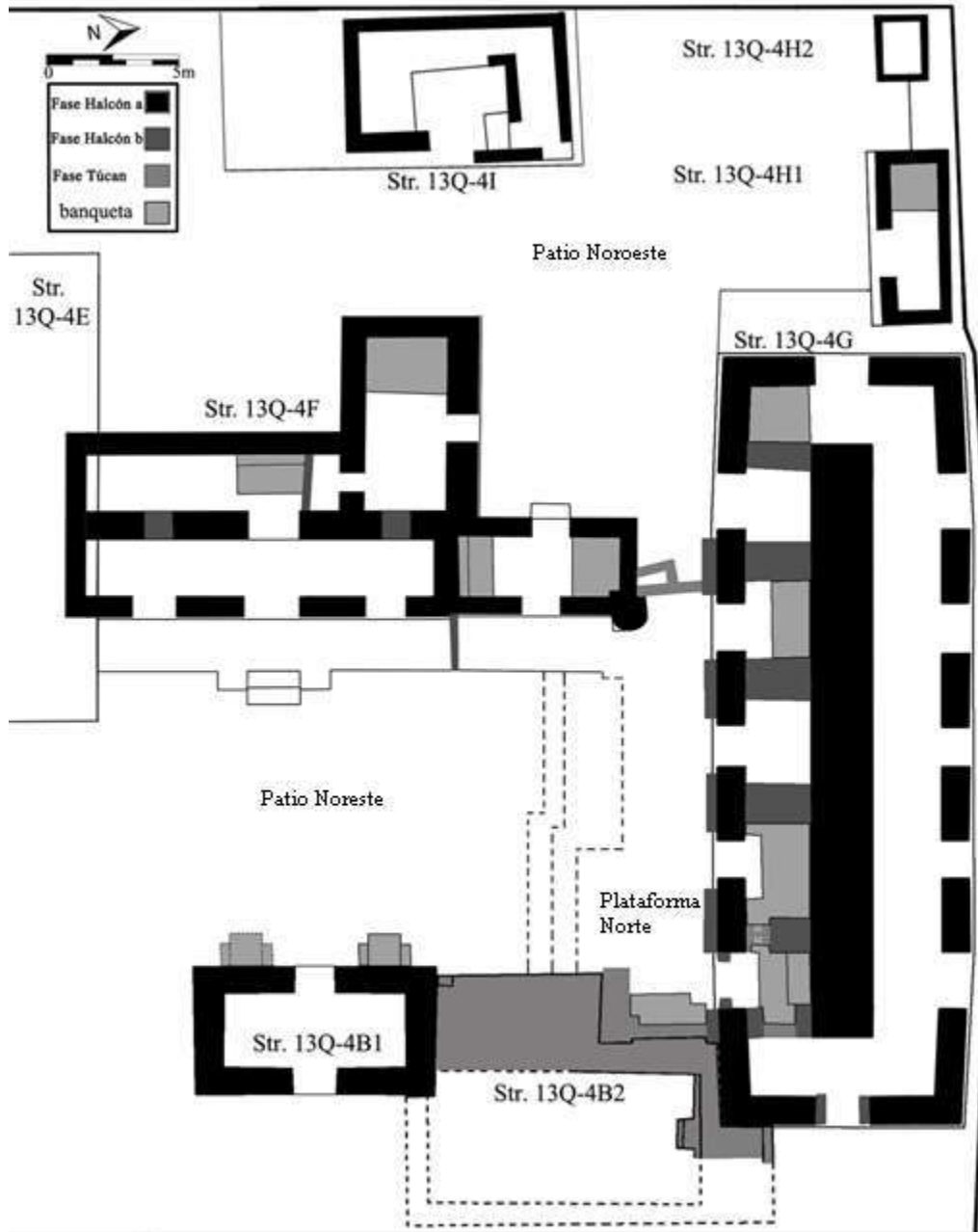


Figura 4.20. Planta de excavación de las Estructuras de los Grupos Noreste y Noroeste (Dibujo por M. Lamoureux-St-Hilaire).

Estructura 13Q-4B2

Cuando se empezaron las excavaciones durante la Temporada 2015 se pensaba que la Estructura 13Q-4B eran una sola, puesto que el montículo parecía como continuo y había sido mapeado como tal (ver Figura 4.1). Sin embargo, durante la excavación de la unidad CR20B-2 se hizo evidente que este montículo consistía de dos estructuras separadas: 13Q-4B1, un edificio abovedado con construcción de mampostería y con al menos una puerta; y 13Q-4B2, una plataforma de dos cuerpos localizada entre las estructuras 13Q-4B1 y 13Q-4G. Se reportará primero la Estructura 13Q-4B2 por que se encuentra arquitectónicamente conectada con 13Q-4G, la cual ya fue discutida.

La Estructura 13Q-4B2 es una plataforma de dos cuerpos construida entre dos edificios de mampostería, e incluye una gran banca en su sección noreste, la cual fue colocada contra el muro de 13Q-4G, directamente a lado de la puerta del Cuarto 1. Esta banca se encontraba rodeada por un muro delgado, el cual probablemente soportaba un techo pedercedero. Por consiguiente, mientras que esta banca se encuentra nominalmente asociada con la Estructura 13Q-4B2, se encontraba contextualmente relacionada con el Cuarto 1 de la Estructura 13Q-4G. Como se describe a continuación, esta banca contenía dos paneles jeroglíficos finamente tallados.

Unidad CR20B-1

La unidad CR20B-1 fue trazada originalmente como una trinchera de 2 x 5 m orientada a 97 grados al este del norte. La unidad fue extendida cinco veces siguiendo la arquitectura y se pudo revelar lo siguiente: una plataforma baja de dos cuerpos, una sección de la plataforma frontal, la banca, la fachada de la plataforma superior y el corredor que conduce a la esquina noreste de la acrópolis. Al final, la unidad cubrió alrededor de 23 m².

Nivel 1

Descripción. Estrato de humus, que corresponde al lote CR20B-1-1. Su matriz se encontró compuesta por barro café obscuro rico en material orgánico, con varias raíces y raicillas, así como pedrín y grava. La profundidad varió entre los 0.3 y 0.17 m.

Artefactos. El lote CR20B-1 incluyó solo 5 fragmentos de cerámica, así como algunos fragmentos de decoraciones de estuco modelado.

Nivel 2

Descripción. Estrato de derrumbe que corresponde a los lotes CR20B-1-2, CR20B-1-3 y CR20B-1-5. Su matriz se compuso de una mezcla de piedras pequeñas y grandes, piedra tallada y barro café claro entremezclado con raíces y raicillas. La profundidad del estrato de derrumbe varió entre los 0.2 y 1.90 m.

Artefactos. El lote CR20B-1-2 corresponde al derrumbe frente a la plataforma e incluye 13 fragmentos de cerámica y un fragmento de hueso de fauna. El lote CR20B-1-3 se definió como el colapso sobre y enfrente de la banca, donde se recuperaron 30 fragmentos de cerámica, un fragmento de pedernal, un fragmento de piedra de moler, un fragmento de concha, un fragmento de pirita y algunos fragmentos de estuco modelado. El lote CR20B-1-5, correspondiente al derrumbe sobre la plataforma, incluyó 32 fragmentos de cerámica.

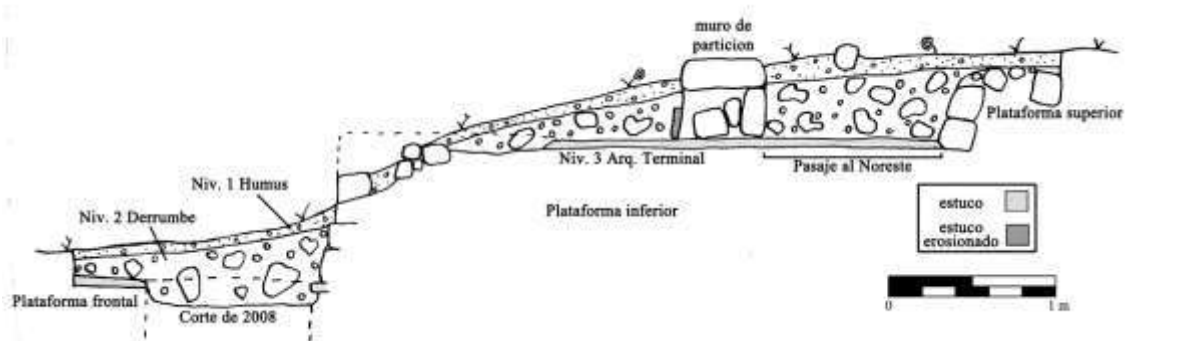


Figura 4.21. Perfil Norte de la Estructura 13Q-4B2 (Dibujo por M. Lamoureux-St-Hilaire).

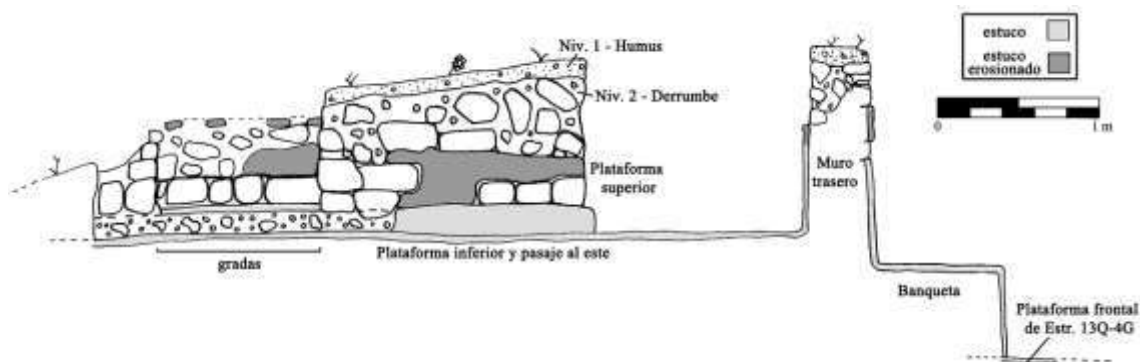


Figura 4.22. Elevación del muro norte de la plataforma superior de la Estructura 13Q-4B2 y el perfil de la banqueta de terraza con su delgado muro posterior (Dibujo por M. Lamoureux-St-Hilaire).

Nivel 3

Descripción. Corresponde a la fase arquitectónica final y a las concentraciones de artefactos asociadas con ésta (Figuras 4.6, 4.10, 4.21 y 4.22). La única sección de la arquitectura terminal que fue excavada consistió en el respaldo de la banca, donde dos bloques esculpidos fueron encontrados. El Elemento 55 fue encontrado *in situ*, aún dispuesto al centro del delgado muro que creaba el respaldo para la banca. La sección superior derecha de su parte frontal se encontraba ligeramente dañada por el colapso del muro, pero en general su preservación fue excelente. El Elemento 56 se encontraba originalmente arriba del Elemento 55, pero se encontró caído, sobre su parte frontal, lo cual hizo que este se preservara casi perfectamente (Figura 4.23).

Artefactos. El lote CR20B-1-4 corresponde a una concentración de artefactos sobre el piso en la sección sur de la banca, y consistió de 17 fragmentos de cerámica y un fragmento de carbón. Los únicos dos artefactos pertenecientes a la arquitectura terminal fueron los dos bloques elegantemente tallados que se localizaban en el respaldo de la banca: Elemento 55 y 56. Los paneles fueron encontrados juntos, pero son de diferente forma, estilo, período de tiempo y relatan eventos de dos diferentes individuos.



Figura 4.23. Fotografía del Elemento 55 (atrás) y Elemento 56 (“boca abajo”) como fueron encontrados durante la excavación (Fotografía por M. Lamoureux-St-Hilaire).

Elemento 55

El Elemento 55 (Figura 4.24) es un panel tallado en piedra caliza de gran dureza y calidad, el cual mide 0.42 x 0.34 m en su superficie máxima y 0.18 m de profundidad en su punto más grueso. Este panel es muy similar en forma y estilo a varios de los bloques excavados por Ponce en 2012 (Ponce 2013). El Elemento 55 presenta una figura humana y 12 glifos. La figura humana se encuentra vestida con un ajuar ceremonial de danza, de cara a la derecha, y sosteniendo lo que parece ser un cetro real de *K'awiil*. La figura es nombrada en el texto como ? *Ti'K'awiil* (también conocido como *Yuknoom Took K'awiil*), quien es el gobernante de Calakmul que gobernó justo después del famoso *Yuknoom Yich'aak K'ahk'* (Stuart *et al.* 2015). La fecha del monumento es 9.13.10.0.0, o 20 de Enero del 702 d.C. (*Ibid.*). Este panel no parece haber estado colocado originalmente en esta banca, sino que fue recolocado proveniente de otro lugar. También, la escena es solo una parte de una narrativa, por lo que originalmente estaba acompañado por al menos otro bloque.



Figura 4.24. Fotografía del Elemento 55 *in situ* (fotografía por M. Lamoureux-St-Hilaire).

Elemento 56

El Elemento 56 (Figura 4.25) es un panel tallado en piedra caliza de gran dureza y calidad que mide 0.43 x 0.29 m en su superficie máxima y 0.14 m de grosor en su punto más grueso. El formato de este bloque es muy similar al Elemento 33 (Bloque 5 de la Escalinata Jeroglífica 2) excavado en 2012 (Ponce 2013; Stuart *et al.* 2015), ya que presenta ocho columnas de siete cartuchos, totalizando 45 glifos. Además, su excelente preservación resalta en comparación con la mayoría de los monumentos jeroglíficos encontrados en La Corona. La larga inscripción describe de ocho a nueve eventos políticos y de la vida personal del gobernante de La Corona llamado *Chak Ak'ach* (también conocido como Pavo Rojo). Estos eventos, que se desarrollaron entre el 688 y 699 d.C., giran alrededor de sus interacciones con *Yuknoom Yich'aak K'ahk'*, gobernante de Calakmul (Stuart *et al.* 2015). El texto registra los viajes de *Chak Ak'ach* a Calakmul para la fundación de entidades políticas (probablemente en las cercanías de La Corona), la muerte de los padres de *Chak Ak'ach* y sus entierros en un santuario de “tres-templos” (Stuart *et al.* 2015). Este panel solamente presenta la segunda parte de un texto más largo, lo que indica que este también fue recolocado. En su lugar original se encontraba emparejado con al menos otro panel similar.

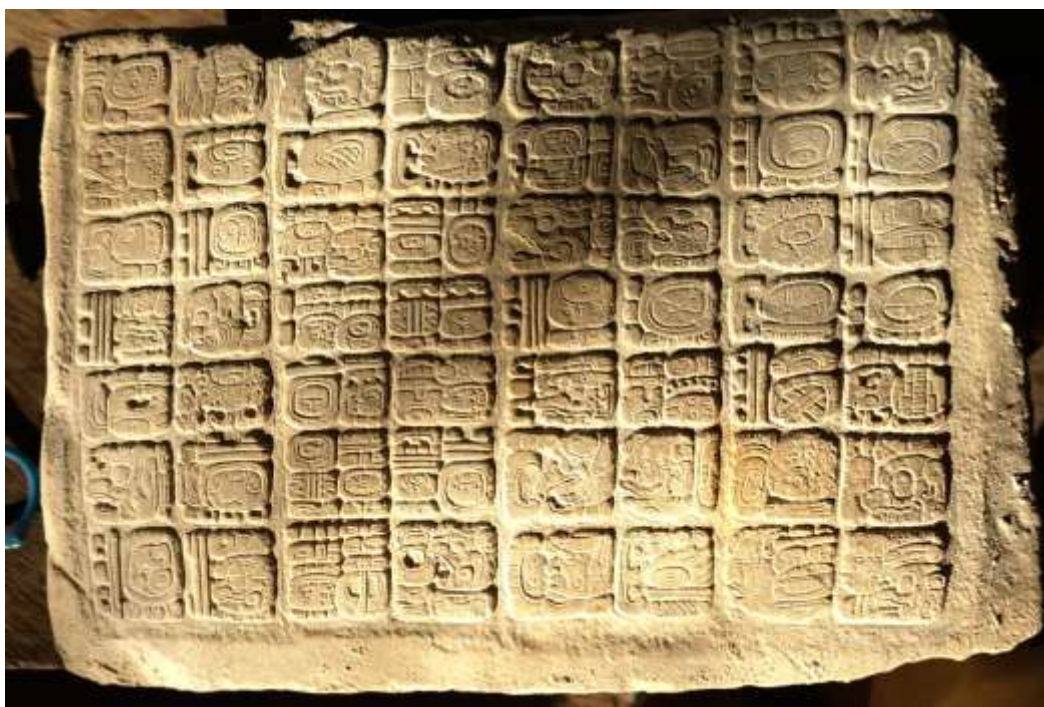


Figura 4.25. Fotografía del Elemento 56 luego de ser limpiado en el laboratorio de campo (Fotografía por M. Lamoureux-St-Hilaire).

Unidad CR20B-2

La unidad CR20B-2 fue trazada originalmente como una trinchera de 1 x 5 m, orientada a 97 grados al este del norte. El objetivo original de la unidad fue entender la relación entre la parte central de la plataforma de la Estructura 13Q-4B2, su posible plataforma frontal y el piso del patio. Este objetivo fue alcanzado rápidamente, ya que no se encontró una plataforma frontal, el límite oeste de 13Q-4B2 se encontraba seriamente derrumbado, mientras que el piso del patio se encontraba bien preservado. La unidad fue extendida cuatro veces con el objetivo de una mayor exploración de la Estructura 13Q-4B2 y la recién descubierta estructura abovedada 13Q-4B1. En su finalización cubrió un área total de 23 m².

Nivel 1.

Descripción. Estrato de humus que corresponde al lote CR20B-2-1. Su matriz se compuso de barro café oscuro rico en material orgánico, incluyendo varias raíces y raicillas, así como piedrín y grava. La profundidad varió entre los 0.3 y 0.12 m.

Artefactos. El lote CR20B-2-1 no presentó artefactos.

Nivel 2.

Descripción. Estrato de colapso que corresponde a los lotes CR20B-2-2, CR20B-2-3, y CR20B-2-5. Su matriz se compuso de una mezcla de piedras pequeñas y grandes, piedras talladas y barro café claro entremezclado con varias raíces y raicillas. La profundidad varió entre los 0.1 y 1.07 m.

Artefactos. El lote CR20B-2-2 corresponde al derrumbe frente a la plataforma e incluye 465 fragmentos de cerámica, 2 cabezas de figurillas, cuatro fragmentos de obsidiana, 64 fragmentos de hueso de fauna, un malacate de hueso completo y cinco fragmentos de pedernal. El lote CR20B-2-3 se definió como el derrumbe sobre la plataforma y solo se recuperaron dos fragmentos de cerámica y un fragmento de pedernal. El lote CR20B-2-5 consistió de 23 fragmentos de cerámica y 2 fragmentos de pedernal.

Nivel 3

Descripción. El nivel 3, la arquitectura terminal, fue excavado por accidente mientras se limpiaba el espacio divisorio entre las Estructuras 13Q-4B1 y 4B2. Esto pasó puesto que la fachada y el piso de la plataforma se encontraban completamente colapsadas en este punto. Esta excavación accidental no reveló ningún artefacto, pero permitió verificar que la plataforma fue construida en contra del muro norte de la Estructura 13Q-4B1, y por lo tanto fue una adición tardía. El relleno de la plataforma consistió en una matriz relativamente densa compuesta de barro café claro mezclado con piedrín y piedras pequeñas y grandes.

La arquitectura terminal del piso del patio, incluye una escalinata de tres escalones que conectaban con la sección norte de la plataforma frontal de la Estructura 13Q-4G (Figuras 5 y 9). Los dos escalones inferiores midieron aproximadamente 0.25 m de altura y 0.9 m de largo. El escalón superior, que conecta con la plataforma, fue destruido durante las excavaciones de 2008. El Lote CR20B-2-4 corresponde al ensamble en-piso localizado en el patio, el cual fue dividido en dos concentraciones. La primera concentración se encontró localizada frente a los escalones, mientras que la segunda fue localizada en la esquina creada por el muro de la Estructura 13Q-B1 y la abultada banca modelada. Además, un pequeño corte en el piso fue localizado directamente en frente del espacio divisorio. Este corte fue excavado y reveló que se encontraba mayormente vacío, y consistía en barro café amarillo suelto mezclado con piedrín.

Artefactos. La primera concentración del Lote CR20B-2-4 incluyó dos fragmentos grandes de cerámica. El Lote CR20-2-6, que corresponde al relleno del corte, incluye 16 fragmentos de cerámica.

Discusión de la arquitectura

La Estructura 13Q-4B2 consistió en una plataforma de dos cuerpos la cual fue construida entre el muro norte de la Estructura 13Q-4B1 y el muro de refuerzo del muro sur de la Estructura 13Q-4G. En su porción este, la plataforma también colinda los muros originales sur y este de La Estructura 13Q-4G. Esta estructura también incluye la banqueta de terraza con su techo percedero, el cual fue colocado directamente en contra del muro de refuerzo. El delgado muro localizado tras y al sur de la banqueta debió de soportar un techo percedero en la antigüedad. El espacio en la plataforma baja localizada tras el delgado muro consiste en un pasaje que conecta

con la escalinata la cual proveía el único acceso documentado a la plataforma, localizado al sur de la puerta del Cuarto Este de la Estructura 13Q-4G. Una segunda escalinata interna fue localizada directamente frente a esta, y conecta con la plataforma superior. Puesto que la plataforma baja colinda con el muro de refuerzo de la Estructura 13Q-4G perteneciente a la Fase Halcón B, sabemos que esta plataforma corresponde a la fase Tucán. En otras palabras, la plataforma se encuentra cronológicamente asociada con el muro de partición localizado junto a la puerta del Cuarto Sur 4 de la Estructura 13Q-4G.

Pareciera que la función de la Estructura B2 fue de presentación, puesto que pudo haber provisto una localización perfecta para que los individuos fueron visibles desde la plaza principal. Habiendo dicho esto, también es posible –puesto que se trata de una plataforma de dos cuerpos localizada en el lado este del patio residencial- que otra función para esta plataforma haya sido un recinto funerario. Esta última función es de alguna manera dudosa dado la ausencia de escalinatas que conducen al patio, aun así dicha escalinata puede estar presente en su fachada este. Esta hipótesis será investigada en 2016 por medio de una trinchera arqueológica alineada con el centro y en dirección Este-oeste.

Los indicios son que la banqueta de terraza y los muros que la rodean fueron construidos al mismo tiempo que el resto de la Estructura 13Q-4B2. No hay indicadores de múltiples eventos de construcción asociados con esta estructura, aunque futuras investigaciones pueden revelar sub-fases.

En general la calidad de la mampostería de la Estructura 13Q-4B2 es inferior a la vista en la Fase Halcón A de la Estructura 13Q-4G y de la única fase documentada de la Estructura 13Q-4B1. La única sección de la Estructura 13Q-4B2 que se encuentra bien construida es la misma banqueta de terraza. De hecho, la banqueta fue construida con piedras talladas de gran tamaño y de buena calidad y luego estucada. Esta mejor calidad de construcción de la banqueta no es sorpresiva, dado que fue diseñada para portar los Elementos 55 y 56.

Una pequeña decoración de estuco modelado fue encontrada *in situ* en la fachada de la plataforma baja de la Estructura 13Q-4B2. De hecho, combinada con varios fragmentos de decoraciones de estuco modelado encontrados en el estrato de derrumbe, sugiere que toda la estructura se encontraba decorada.

Estructura 13Q-4B1

Originalmente se pensaba que la Estructura 13Q-4B1 se trataba de un solo edificio. Sin embargo durante la excavación de la unidad CR-20B-2 se observó que la Estructura 13Q-4B1 se trataba de un edificio abovedado construido con mampostería, el cual se localizaba al sur de una plataforma de dos cuerpos denominada como Estructura 13Q-4B2. La excavación del espacio tipo nicho que divide ambas estructuras reveló que la Estructura 13Q-4B2 fue construida contra el muro norte de la Estructura 13Q-4B1, y por lo tanto se trata de una construcción posterior.

Unidad CR20B-2

Las extensiones 1 y 4 de la unidad CR20B-2 expusieron el muro frontal de la Estructura 13Q-4B1, la puerta del cuarto y una elaborada banca de estuco construida contra el muro. Es importante notar que los saqueadores destruyeron gran parte de la banca y el muro frontal de la Estructura 13Q-4B2. La trinchera de saqueo inclusive penetró el piso del patio hasta una profundidad de 1.50 m.

Nivel 1

Descripción. Estrato de humus que corresponde al lote CR20B-2-1. Su matriz se compuso de barro café oscuro rico en material orgánico, incluyendo varias raíces y raicillas, así como pedrín y grava. La profundidad del nivel 1 varió entre los 0.03 y 0.12 m.

Artefactos. El lote CR20B-2-1 no presentó algún artefacto.

Nivel 2

Descripción. Estrato de derrumbe que corresponde a los lotes CR20B-2-7 y CR20B-2-8. Su matriz se compuso de una mezcla de piedras medianas y grandes, piedras talladas y barro café claro entremezclado con varias raíces y raicillas. La profundidad del estrato varió entre los 0.3 y 2.2 m.

Artefactos. El lote CR20B-2-7, correspondiente a la mezcla del derrumbe frente al edificio y el relleno sacado por los saqueadores, incluyó 75 fragmentos de cerámica. El lote CR20B-2-8, correspondiente al derrumbe dentro del cuarto, incluyó 56 fragmentos de cerámica y 2 fragmentos de pedernal.

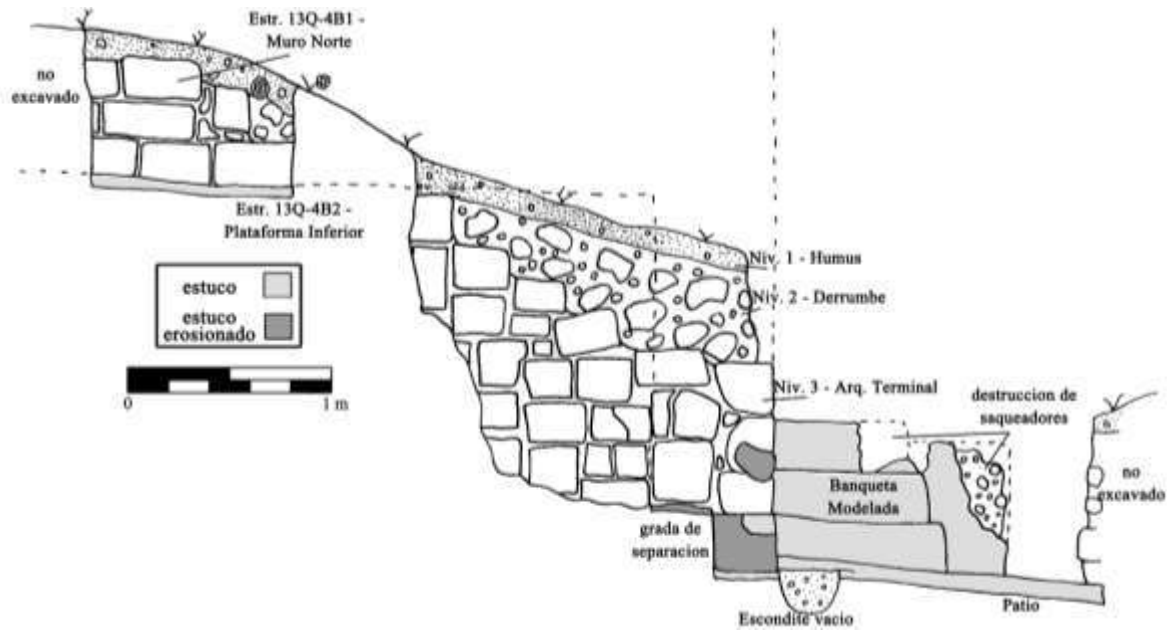


Figura 4.26. Perfil del muro norte de la Estructura 13Q-4B1 (Dibujo por M. Lamoureux-St-Hilaire).

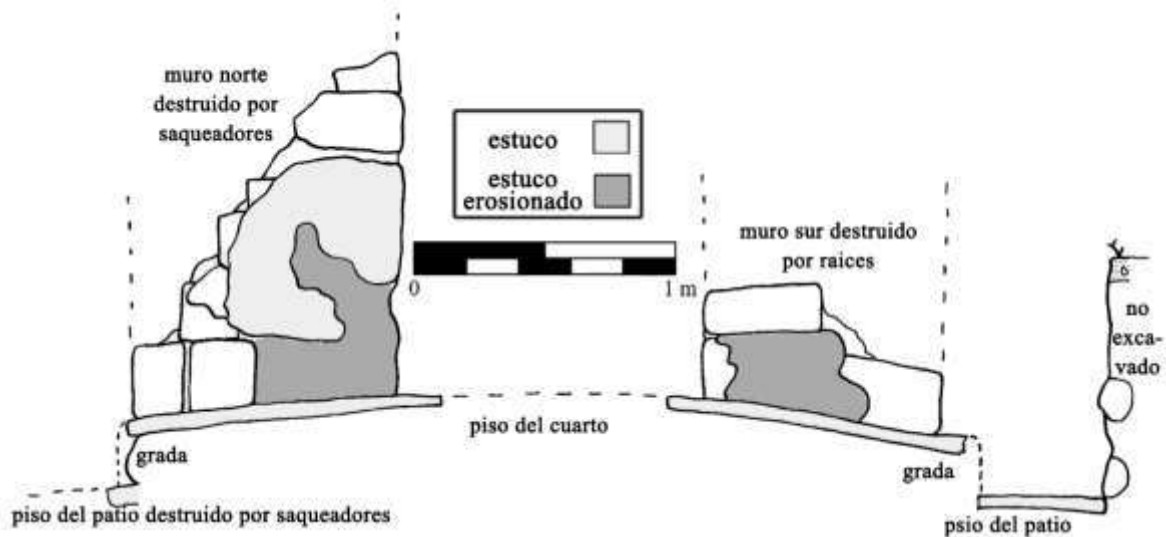


Figura 4.27. Elevación de las jambas de la puerta del cuarto de la Estructura 13Q-4B1 (Dibujo por M. Lamoureux-St-Hilaire).

Nivel 3

Descripción. Corresponde a la arquitectura terminal, la cual no fue excavada (Figuras 4.6, 4.10, 4.26 y 4.27). La sección norte del muro oeste de la Estructura 13Q-4B1 midió aproximadamente 4 m. La puerta midió aproximadamente 1.40 x 1 m y se accedía mediante un escalón de 0.25 m de altura. Una banca de tres cuerpos modelada en estuco fue construida contra la sección norte del muro oeste.

El lote CR20B-2-4 corresponde los artefactos recuperados sobre el piso del patio, los cuales fueron divididos en dos concentraciones. La segunda concentración se encontraba escondida en la esquina creada por el muro de la estructura y el límite norte de la banca. Consistió de 25 fragmentos de figurillas (incluyendo 23 cabezas) ocultas bajo varios fragmentos de cerámica. Puesto que estas cabezas de figurillas parecen haber sido colocadas allí e intencionalmente protegidas bajo una capa de fragmentos grandes de cerámica, nos referiremos a ellas como un escondite sobre el piso. Aunque los escondites de figurillas han sido documentados con anterioridad, estos generalmente se encuentran asociados con los períodos Preclásico y Postclásico Tardío (Christina Halperin comunicación personal 2015).

Artefactos. La segunda concentración del lote CR20B-2-4 incluyó 31 fragmentos de cerámica y 25 fragmentos de figurillas (Figura 4.28). Estos fragmentos de figurillas incluyen 15 cabezas humanas (incluyendo dos enanos), siete cabezas de animales (dos conejos, un sapo, posiblemente un pájaro, un venado, un pizote y un animal no identificado), así como tres fragmentos misceláneos (Figura 4.28).



Figura 4.28. Fotografía de los 25 fragmentos de figurilla encontrados en el escondite sobre-piso (Fotografía por Maxime Lamoureux-St-Hilaire).

Discusión de la arquitectura

La Estructura 13Q-4B1 fue construida con bloques de piedra caliza de alta calidad. Esta calidad de mampostería parece haber ayudado a que esta no presentara los mismos problemas estructurales experimentados por la Estructura 13Q-4G, puesto que no se encontró ningún muro de refuerzo. Un rasgo inusual es la banca de mampostería y estuco finamente modelado que fue construida contra la sección norte del muro oeste de la estructura. Su ubicación en el lado este de del Patio Noreste del palacio es un reminisciente de la banca asociada con la Estructura 13Q-4G, pero no se encuentra directamente en la superficie de la plaza, sino sobre una plataforma elevada. El hecho que haya sido completamente destruida por los saqueadores sugiere que encontraron algo valioso, ya que no solo destrozaron la banca y el muro posterior a ésta, sino que también excavaron hasta 1.5 m dentro del relleno de la plaza. Dada las similitudes entre ambas bancas, es muy probable que el respaldo de la banca contaba con bloques esculpidos con inscripciones jeroglíficas. A pesar que este saqueo es particularmente desafortunado, la tendencia simétrica de los antiguos arquitectos mayas sugiere que puede existir una banca análoga en la sección sur del muro oeste de la Estructura 13Q-4B1, que aún no ha sido excavada (Figura 4.20). Más aún, la presencia de rasgos excepcionales en este edificio, como estas banquetas, sugiere que el interior del cuarto puede presentar rasgos arquitectónicos interesantes. El hecho que este cuarto se encuentra directamente localizado frente al edificio que servía como residencia real apoya esta hipótesis. En términos de función, actualmente parece que la Estructura 13Q-4B1 sirvió como una estructura de paso, o posiblemente como un edificio administrativo. Futuras investigaciones a realizarse en 2016 contribuirán con el entendimiento de este edificio.

Conclusiones

La tercera temporada de investigaciones en la sección norte del palacio de La Corona fue muy exitosa. Un total aproximado de 130 m² de excavación reveló bastante información acerca de uno de los edificios más grandes del palacio, la Estructura 13Q-4G. También se reveló que a diferencia de lo que antes se creía de la Estructura 13Q-4B, ésta consiste en dos estructuras distintas, 13Q-4B1 y 13Q-4B2. Junto con lo recabado en el primer y segundo año de investigación en esta parte del palacio, ahora se tiene una visión casi completa de los patios Noroeste y Noreste, con un total de 330 m² de área arquitectónica excavada.

Cronología Refinada

Gracias a la información recabada por Eduardo Bustamante (ver capítulos 2 y 3 de este volumen) y Caroline Parris (comunicación personal 2015), así como los extensos datos epigráficos de La Corona (Baron 2013; Martín 2008; Stuart et al. 2015) se ha podido combinar los datos arquitectónicos, cerámicos y epigráficos con el objetivo de elaborar una cronología de las cinco etapas constructivas principales de todo el palacio. Esta cronología (abreviada en la Tabla 4.1), correlaciona los períodos de gobierno de distintos reyes de La Corona, el arribo de las princesas de *Kan*, las fases arquitectónicas documentadas en las secciones sur y norte del palacio y las esferas cerámicas. Como resultado se han hecho las siguientes correlaciones cronológicas: 1) el arribo de la primera princesa de *Kan* en 520 d.C. con la fundación del palacio (fase constructiva Canario); 2) el arribo de la segunda princesa de *Kan* (*Ix Tz'ib Winik*) en 679 d.C. y el régimen de *K'inich Yook* (667-689 d.C.), con las esferas cerámicas Tepeu 1 y 2 y la construcción de la masiva fase Halcón A; y 3) el arribo de la tercera princesa de *Kan* (*Ix Ti' Kan*) en 721 d.C. y el régimen de *Yajawte K'inich* (721- 746 d.C.) con la esfera cerámica Tepeu 2 y la construcción de la pequeña fase Tucán.

Princesas de Kaan/Mutal	Fecha de arribo (D.C.)	Rey de La Corona	Fecha de Reinado (D.C.)	Fase de Construcción	Complejos Cerámicos	Fechas Asociadas (D.C.)
<i>Ix ? Naah Ek'</i>	520	"Buitre"	(544)	Canario	Tzakol 3	500-600
<i>Ix Ox Kan</i>		Sak Maas	625-655	Cocochan I	Tzakol 3-Tepeu 1	500-700
		K'uk' Ajaw	655-658			
<i>Ix Wak Chan? Ajaw</i>		Chak Nahb Chan	658-667	Colibrí	Tepeu 1	600-700
<i>Ix Tz'ib Winik</i>	679	'Kinich? Yook	667-689	Halcón	Tepeu 1-2	600-830
		Chak Ak' Paat Kuy	689-?	(Renovación de Halcón)	Tepeu 1-2	600-830
<i>Ix Ti' Kan</i>	721	Janahb/Yajawte 'Kinich	(721)(746)	Tucán	Tepeu 2	700-830
	?	?	?		Tepeu 2	700-830
<i>Ix Kaloomte'</i>	791-797	Rey Tardío	?		Tepeu 2	700-830
		?	?	Abandono	Tepeu 3	830

Tabla 4.1. Correlación cronológica de las fases constructivas del palacio real de La Corona (Tabla por M. Lamoureux-St-Hilaire y E. Bustamante).

Incremento en la privacidad del Patio Noreste

La excavación de la Estructura 13Q-4G reveló que esta presentó cambios mayores durante tres fases de construcción, lo cual concuerda con lo documentado en la Estructura 13Q-4F. Estos cambios apuntan hacia un incremento en la privacidad del espacio arquitectónico durante las últimas fases del Clásico Tardío. Este incremento en la privatización pudo haber estado relacionado con cambios en la función de las estructuras de una función administrativa a una residencial. Esta tendencia se hace aún más obvia por la adicción de la Estructura 13Q-B2 entre las estructuras 13Q-4G y 13Q-4B1 hacia fines del Clásico Tardío durante la Fase Tucán; una modificación que transformó los patrones de acceso al Patio Noroeste. De hecho, tras la clausura del acceso en el Cuarto Este y los cuartos de la mitad sur de la Estructura 13Q-4G, y la construcción de una plataforma de dos cuerpos, se hizo más difícil el acceso al patio. En efecto, la escalinata que pudo existir en la esquina noreste de la acrópolis, frente al Cuarto Este de 13Q-4G, pudo haber garantizado el acceso a este cuarto y a las plataformas de la Estructura 13Q-4B2, ya que esta última no presentó ninguna escalinata en su fachada oeste que pudo haber permitido a las personas bajar al patio. Es muy posible que la Estructura 13Q-4B1 cuente una puerta en su lado este, asemejando a la puerta oeste expuesta este año, lo cual pudo hacer de esta una estructura de paso. La hipótesis relacionada con este patrón de acceso será investigada en 2016.

De todas formas, el incremento de privatización de este patio sugiere las siguientes hipótesis: 1) la corte real de La Corona se involucró cada vez menos en los asuntos públicos durante el período Clásico Tardío; 2) las funciones públicas de la corte real de La Corona fueron trasladadas fuera del Patio Noreste hacia el final del período Clásico; y 3) el número de individuos viviendo en la corte real se incrementó con el tiempo.

La presencia de monumentos esculpidos en el Palacio Real

El descubrimiento de dos paneles esculpidos (Elementos 55 y 56) y la posibilidad de la presencia de más monumentos esculpidos en el Patio Noreste sugiere que este patio estuvo investido de importancia hasta el momento del abandono de La Corona durante el Clásico Terminal. Estos dos monumentos no fueron dispuestos originalmente en esta locación, ya que inicialmente fueron parte de grupos diferentes de paneles esculpidos. Anteriormente, esta tradición de recolocar monumentos había sido fuertemente documentada en el Grupo Coronitas,

lo que sugirió que este grupo monumental menor pudo convertirse en el centro de la actividad política durante las últimas fases de ocupación de La Corona. No obstante, estos nuevos hallazgos ahora sugieren que ambos grupos fueron puntos de importancia política durante todo el Clásico Tardío. La Estructura 13Q-4B1 será investigada a profundidad en la temporada de campo de 2016, lo cual permitirá comprobar la hipótesis de una segunda banca que posiblemente aún contenga paneles esculpidos.

Diversidad en Funciones

Antes de esta temporada, se asumía que la Estructura 13Q-4B era una estructura alargada con varios cuartos. El descubrimiento de que esta en realidad era una plataforma es revelador, ya que este tipo de estructuras ciertamente no presentó el mismo tipo de función que pudieron tener las estructuras abovedadas. Esto es interesante ya que permite entender la diversidad de actividades que tomaron lugar en este patio. Un factor importante es que los individuos que pudieron colocarse sobre la plataforma de la Estructura 13Q-4B2 tuvieron una perfecta visión de la Plaza Principal. Esto relaciona el patio a una esfera más pública. También, el descubrimiento de dos bancas localizadas fuera de cuartos abovedados formales sugieren que la plataforma norte (frente a la Estructura 13Q-4G) y el patio hundido en sí mismo fueron usados para actividades importantes. Dada la asociación entre estas dos bancas y los paneles esculpidos, estas actividades probablemente tuvieron un fuerte carácter político.

Las funciones auxiliares del Patio Noroeste

La excavación del Cuarto Oeste de la Estructura 13Q-4G reveló un cuarto bien construido con bóveda y una gran banca similar a la encontrada en el Cuarto Noroeste de la Estructura 13Q-4F. Aunque la relación entre este cuarto y las estructuras adyacentes 13Q-4H1 y 13Q-4H2 no está del todo clara, el Cuarto Oeste y su banqueta pudieron haber tenido una función auxiliar, administrativa o de almacenamiento, lo que apoyaría la hipótesis previamente expuesta (Lamoureux-St-Hilaire 2015). La presencia de un entierro en el centro de este cuarto sugiere que fue de importancia, de la misma manera que un entierro marcó la importancia del Cuarto de Pasaje de la Estructura 13Q-4F.

El abandono del Palacio Real

En la Temporada 2015 se encontró una gran cantidad de nuevas concentraciones de artefactos sobre pisos. La más notable fue el escondite sobre-piso de cabezas de figurillas, cuyo significado es difícil de interpretar. En general, la localización excéntrica de esta concentración y el hecho que las otras comprenden en su mayoría fragmentos de vasijas utilitarias, continúa apoyando la idea de que el palacio fue abandonado en una forma ordenada, lo que permitió a sus habitantes llevarse sus pertenencias con ellos (un abandono gradual planificado; Lamoureux-St-Hilaire 2011).

Propuesta de excavaciones para 2016

La cuarta y última temporada de investigación en el área norte del palacio se enfocará principalmente en terminar la exploración del Patio Noreste mediante la investigación de las estructuras 13Q-4B1 y 4B2, así como la exploración de las conexiones entre este patio y el Grupo Sureste, que se encuentra a un nivel más alto. Segundo, se explorará la Estructura 13Q-4E, la plataforma central del palacio, con el objetivo de entender su arquitectura y sus funciones. Tercero, se investigará el espacio desprovisto de arquitectura localizado directamente al noroeste del palacio, con el objeto de encontrar depósitos de basura. Estos basureros podrían ser de gran ayuda para comprender la naturaleza de las actividades que tomaban lugar en el palacio. Finalmente, se analizará el piso estucado del Grupo Noroeste para detectar huellas químicas de varias actividades económicas.

CAPÍTULO V

OPERACIÓN CR31: EXCAVACIONES EN LA ESTRUCTURA 13Q-1

María Antonieta Cajas

Introducción

La Estructura 13Q-1 está ubicada en la esquina noreste de la Plaza Principal del sitio La Corona, y se ha fechado para el Clásico Tardío (Figura 5.1). Consiste en un edificio de cuerpo piramidal, de aproximadamente 8 m de altura y una base de 10 x 10 m conformada por tres cuerpos y otros acabados arquitectónicos. En la fachada oeste se encontraba la escalinata principal del edificio, la cual fue destruida y modificada como consecuencia de algún cambio socio-político (Álvarez 20015).

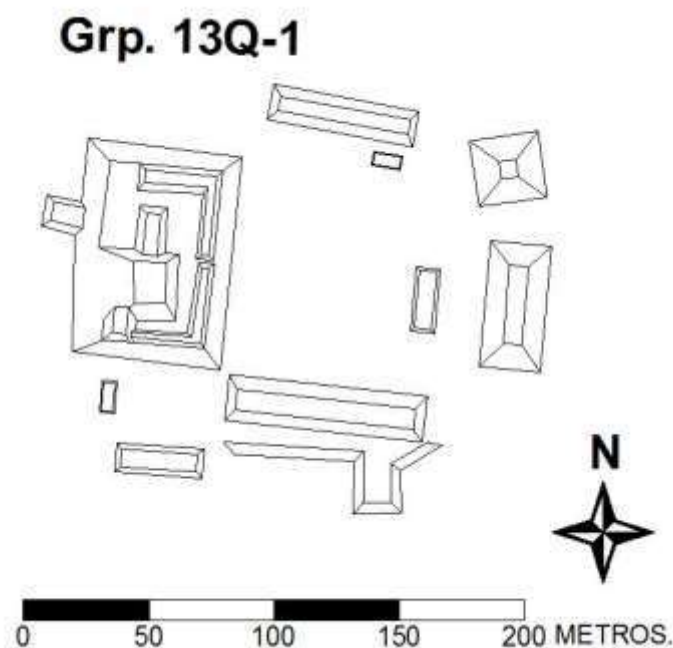


Figura 5.1. La Corona, Plaza Principal (Mapa por R. Guzmán).

La Estructura 13Q-1 presenta la mayor trinchera de saqueo del sitio, y como consecuencia la parte superior está destruida casi por completo. Sin embargo, durante la Temporada 2014 se realizaron las primeras investigaciones arqueológicas en dicha edificación,

que incluyeron la realización de algunos registros estratigráficos en la trinchera para tratar de definir la arquitectura y ubicar el eje central de la misma. Además de éste registro se realizaron excavaciones en la fachada oeste, o fachada principal de la estructura, en donde no se encontró escalinata de acceso sino únicamente una plataforma o basamento. La excavación en esta plataforma adosada evidenció únicamente dos escalones y tres niveles de pisos que correspondieron a una etapa anterior de la estructura. Debajo de la plataforma se encontró el Entierro 19, en el que se identificaron evidencias de una intrusión en los rellenos (Figura 5.2), y en el corte de los pisos que cubrían el entierro (Álvarez 2015).

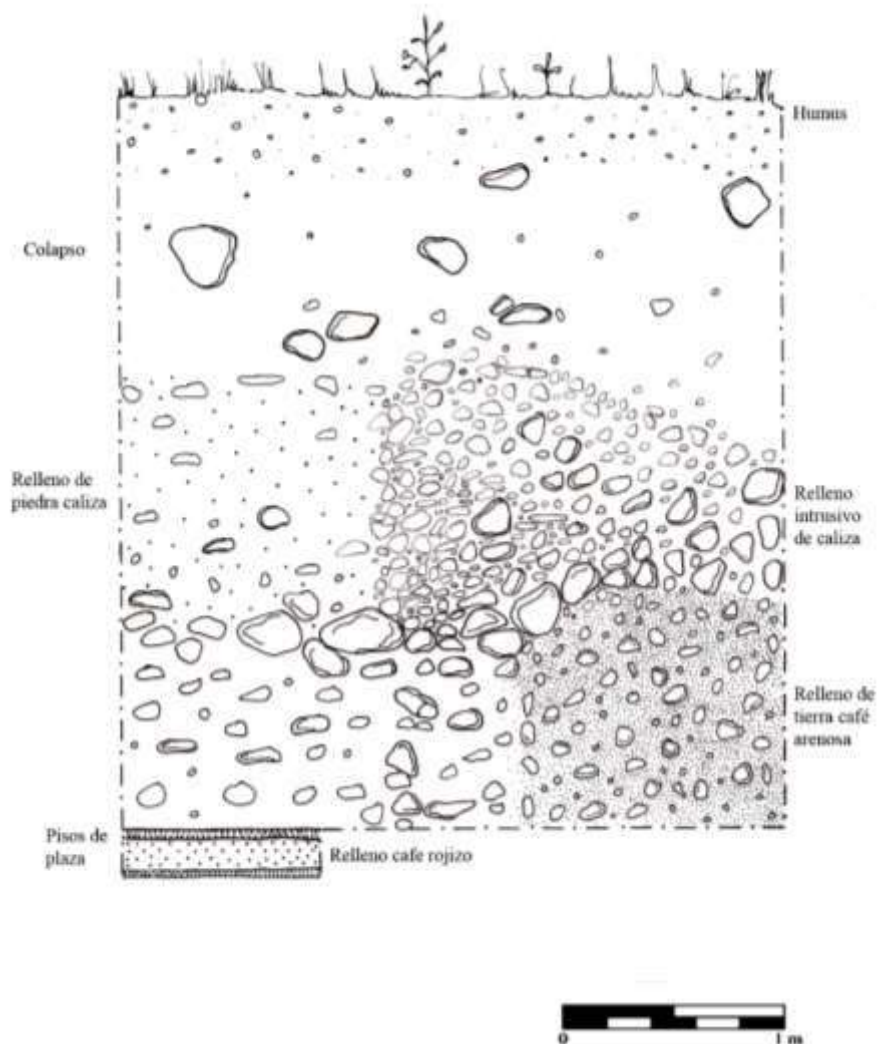


Figura 5.2 Perfil este de la Operación CR31B-10, excavada por C. Álvarez (2014), en el que se observan los rellenos intrusivos que corresponden al Entierro 19 (Dibujo por A. Cajas).

La tumba fue construida dentro de la roca madre, en donde se inhumó a un individuo con orientación este-oeste. La osamenta estaba incompleta ya que únicamente se encontró un cráneo y una tibia en malas condiciones de conservación, que no permitieron identificar el sexo, y tampoco un análisis que diera indicios de la edad. Dentro de la tumba también se encontró un ajuar funerario que contenía nueve vasijas, dos de éstas del tipo Saxché Palmar con el diseño “Elemento La Corona”, identificado en otros dos entierros del sitio. En el entierro también se encontraron cinco conchas *spondylus* y cuatro piezas de jade, entre ellas una placa del Dios *K'awiil* o Dios del Maíz. Las evidencias de intrusión, y la posición en la que se encontraron los artefactos que contenía la tumba, indican que ésta fue desacralizada en un momento de ocupación tardía en La Corona (C. Álvarez, 2015: 158).

Durante la temporada 2015, se realizaron nueve unidades de excavación en la Estructura 13Q-1. Las excavaciones se ubicaron en las fachadas Este y Oeste con el objetivo de buscar otros rasgos arquitectónicos e identificar sus diferentes etapas constructivas.

Suboperación CR31B

Unidad CR31B-10

Esta unidad fue iniciada por Camilo Álvarez en 2014, como una excavación horizontal con dimensiones de 3 x 3 m. En ésta se encontraron dos plataformas de diferentes etapas constructivas que formaron parte de la escalinata de acceso y debajo de éstas se encontró el Entierro 19. Durante 2014 se escavaron 4 niveles arbitrarios y 4 lotes. Por ésta razón en 2015 las excavaciones en esta unidad continuaron a partir del lote 5.

En la Temporada 2015 se reabrieron las unidades CR31B-9 y CR 31B-10 para continuar la investigación en el lado noreste de la unidad CR31B-10, con el objetivo de conocer el límite del entierro y las etapas constructivas de la estructura. Las dimensiones del registro fueron de 0.90 m x 2 m con una profundidad máxima de 1 m desde el nivel de piso de plaza.

Se trabajó hasta el nivel 6 y lote 6, en donde se identificaron los pisos de plaza registrados en la temporada anterior. Debajo de los pisos se encontraron 4 rellenos sobre un estrato natural de barro café oscuro, anterior a la roca madre. También se encontró la esquina

noreste del límite del Entierro 19, en donde se pudo apreciar el corte realizado para la tumba. En cuanto al material, únicamente se encontraron restos cerámicos y dos fragmentos de pedernal.

Unidad CR31B-11

Esta unidad corresponde a un túnel de 0.9 m x 1.50 m de altura, iniciando a partir de la esquina noroeste de la unidad CR 31B-10, con el objetivo de conocer otros rasgos arquitectónicos y las diferentes etapas constructivas de la estructura.

Se excavaron en total 6 niveles arbitrarios y 10 lotes, en los que se identificaron varios rellenos de diferentes tipos de suelos bastante compactos, piedras de diversos tamaños y argamasa. Dentro del área excavada en el túnel no se identificó ningún otro rasgo arquitectónico, con excepción de tres muros de contención que forman parte del sistema constructivo para darle soporte y consistencia a la estructura (Figuras 5.3 y 5.4).

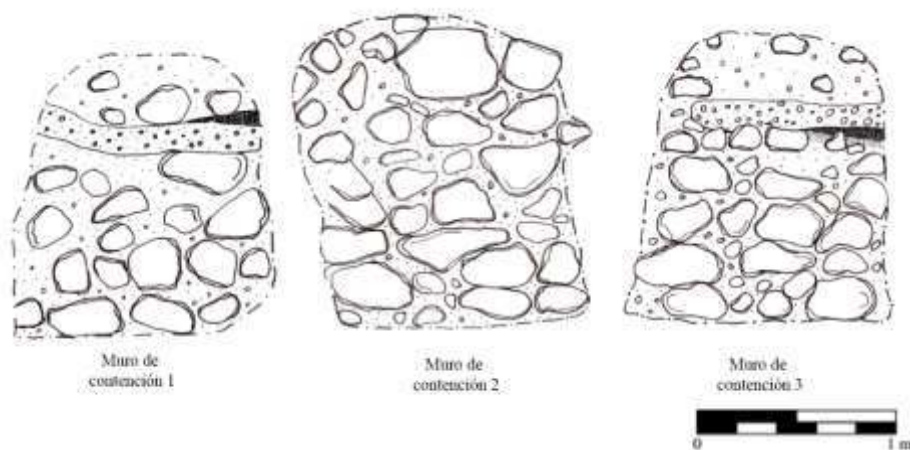


Figura 5.3 Muros de contención que corresponden al sistema constructivo registrados en el túnel de la Estructura 13Q-1 (Dibujo por A. Cajas).

Debajo del muro de contención 3 se realizó un registro horizontal de 1.50 x 0.90 m y 1.25 m de profundidad hasta llegar a la roca madre, con el objetivo de buscar más rasgos arquitectónicos. Éstos corresponden a rellenos constructivos, en el lado sureste del registro se encontró una delgada capa de relleno gris bastante compacto, sobre una capa de barro café oscuro de relleno natural que antecede la roca madre.

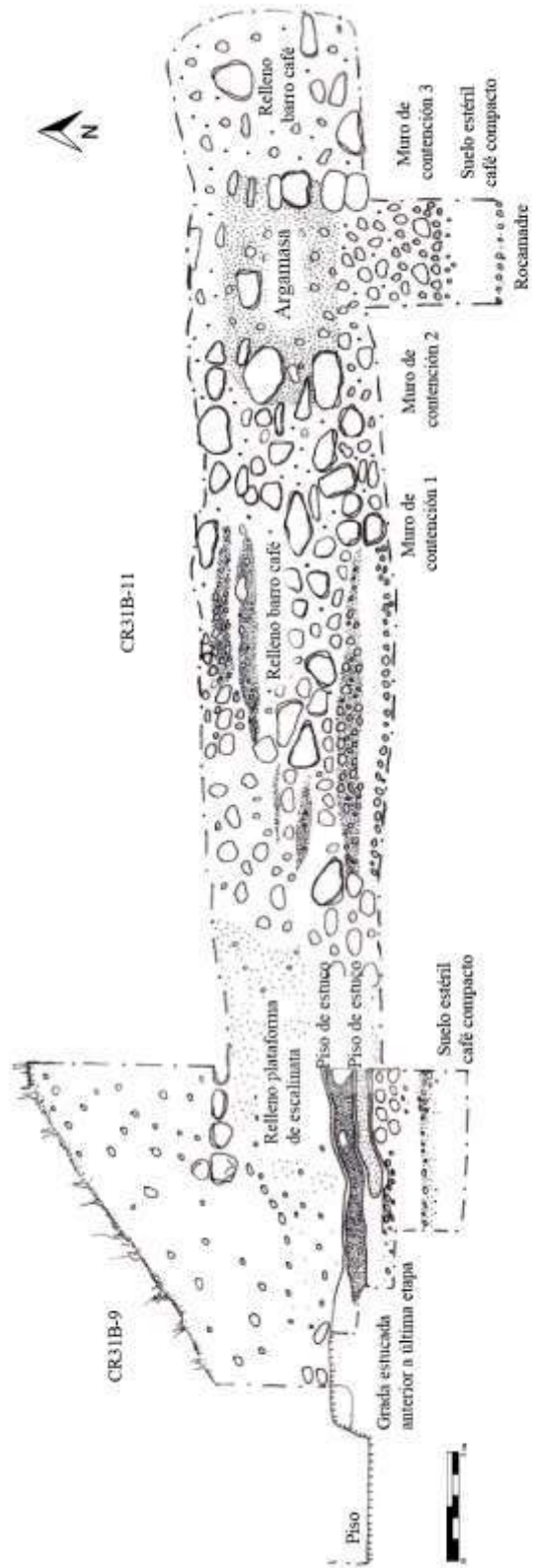


Figura 5.4 Perfil norte de la Unidad CR31B-9 y del túnel registrado como CR31B-11 que muestran los rellenos y sistema constructivo en la Estructura 13Q-1 (Dibujo por A. Cajas).

En cuanto al material encontrado durante la excavación, se encontraron fragmentos cerámicos, lascas y fragmentos de navajas de obsidiana y de bifaciales de pedernal, fragmentos de concha, un fragmento de piedra dona, un fragmento de figurilla y muestras de carbón. La excavación tuvo como longitud máxima 10 m, debido a que no se encontraron rasgos arquitectónicos relevantes, y la proximidad al pozo de saqueo fue dando inestabilidad a la excavación. Por ésta razón se decidió realizar otras exploraciones a partir de la unidad CR31C-19 en la fachada este, que aparecen descritas más adelante.

Unidades CR31B-12 y CR31B-13

Estas unidades fueron ubicadas hacia el lado norte del límite de la plataforma adosada a la escalinata. Las dimensiones de CR 31B-12 fueron de 2 x 2 m, con una profundidad máxima de 0.50 m, registrando dos lotes y dos niveles.

La unidad CR 31B-13 fue de 2 x 1 m y se excavó hasta los 0.90 m. En las dos unidades se registraron dos niveles y dos lotes sin ningún material. El resultado de estas dos unidades corresponde a una construcción adosada al primer cuerpo basal de la estructura (Figura 5.5), con acabados burdos que sugieren que posiblemente no fueron terminados, y que se estaba realizando una ampliación del cuerpo basal.

Unidad CR31B-14

La unidad CR 31B-14 con dimensiones de 1 x 1 m, con 1.10 m de profundidad, se excavó con el objetivo de seguir el piso de plaza para buscar el basamento del muro de la plataforma de escalinata. Se excavaron dos niveles y dos lotes, sin registrar ningún material cultural.

Unidad CR31B-15

Sus dimensiones fueron de 3 x 1 m, 2.55 m de profundidad máxima, con cuatro niveles y lotes respectivamente. Se ubicó hacia el lado norte del límite de la plataforma de escalinata, con el objetivo exponer claramente los cuerpos basales de la estructura, ya que por la parte adosada sobre éste, la arquitectura no estaba bien definida. Sin embargo los cuerpos dos y tres se

encontraron bastante deteriorados por las raíces de un árbol. En cuanto al material cultural sólo se registraron pocos tiosos (Figuras 5.5 y 5.6).



Figura 5.5 Cuerpo basal de la Estructura 13Q-1 con restos de estuco (centro), y estructura adosada al muro basal de la plataforma de escalinata (derecha) (Fotografía por A. Cajas)

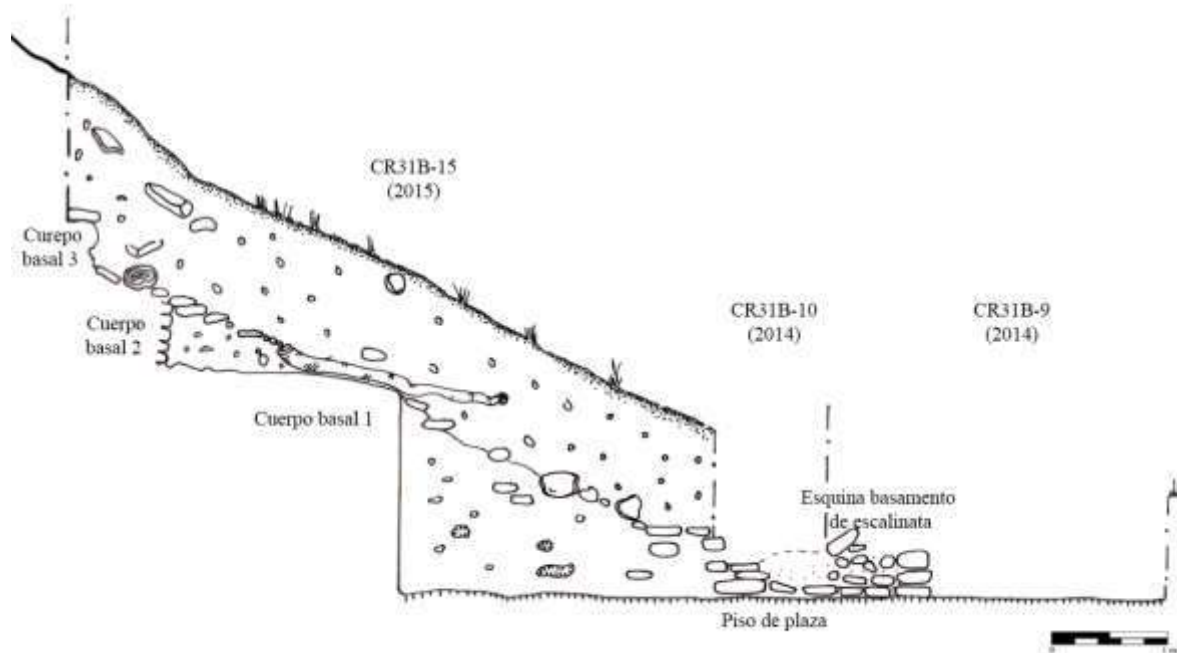


Figura 5.6 Perfil sur de las operaciones CR31B-9, CR31B-10 y CR31B-15 que muestra tres cuerpos basales , la esquina de basamento de la plataforma de escalinata y el piso de plaza de la fachada oeste de la Estructura 13Q-1 (Dibujo por A. Cajas).

CR31B-6, CR31B-17 y CR31B-18

Estas unidades tuvieron diferentes dimensiones: 2 x 2.60 m, 2 x 1m y 1.80 x 1 m. Todas tuvieron dos niveles y dos lotes, con una profundidad máxima de 0.46 m. Se ubicaron frente a la fachada de la estructura con el objetivo de revisar un amontonamiento de bloques de caliza sobre el piso de plaza.

Parte de los bloques estaban expuestos sobre la superficie, lo que supuso que éstos formaron parte de alguna fachada. Los bloques fueron amontonados con orientación norte sur. Es posible que éstos bloques hayan formado parte de la escalinata, y que los cambios o remodelaciones realizados al edificio hayan quedado en una etapa inconclusa, lo que también se evidencia en la ausencia de una escalinata de acceso al edificio. Al excavar los bloques se encontró material cultural como cerámica, fragmentos de obsidiana y pedernal, que también indican que este amontonamiento no fue parte del saqueo.

Operación CR31C

Unidad CR31C-19

Esta unidad se colocó en la fachada este (posterior) de la estructura y se inició como una trinchera; posteriormente las excavaciones se realizaron de forma horizontal o túnel para identificar las etapas constructivas y definir otros rasgos arquitectónicos.

Las dimensiones de la trinchera fueron de 1 x 7 m, con una profundidad máxima de 2.30 m, con 4 niveles y 4 lotes respectivamente. El nivel 1 corresponde al humus; el nivel 2 a suelo café claro de consistencia suelta; el nivel 3 a suelo rojizo; y en el nivel 4 se registró suelo estéril, que corresponde a un manto de caliza de consistencia suave y porosa (Figuras 5.7 y 5.8).

La excavación vertical inició a partir del nivel 4 y lote 5. A los 0.80 m del perfil donde inició el túnel, se encontraron dos pisos de 0.04 m de grosor, de color grisáceo y de consistencia bastante compacta que no muestran indicios de haber sido cortados, sino que inician como un corredor que formó parte de la fachada posterior del edificio. Ambos corresponden al nivel del piso de plaza, ya que únicamente tuvieron una diferencia de 0.30 m debajo de éste, debido al desnivel natural del terreno.

A partir de los 1.50 m desde donde iniciaron los pisos, la excavación se realizó de forma escalonada para continuar con la investigación a nivel de los mismos. Aproximadamente a los 1.80 m la estratigrafía cambió, ya que se encontraron piedras más grandes que forman parte de un relleno en el perfil sur. En el perfil norte también se encontró un embono de consistencia mucho más compacta, y se excavó hasta encontrar un muro estucado que forma parte del cuerpo basal de la estructura.

Al encontrar el muro del cuerpo basal, se realizó un registro en su lado norte y se encontró una esquina remetida. Hacia el lado sur se expusieron 4.20 m del muro para ubicar el eje central, y continuar con el túnel en dirección oeste (Figuras 5.9 y 5.10). El corte del muro fue de 1.20 x 1.30 m de altura, lo que permitió conocer el grosor del mismo, el cual es de 0.60 m de ancho, formado con bloques de caliza de aproximadamente 0.20 x 0.20 m cubiertos de estuco.

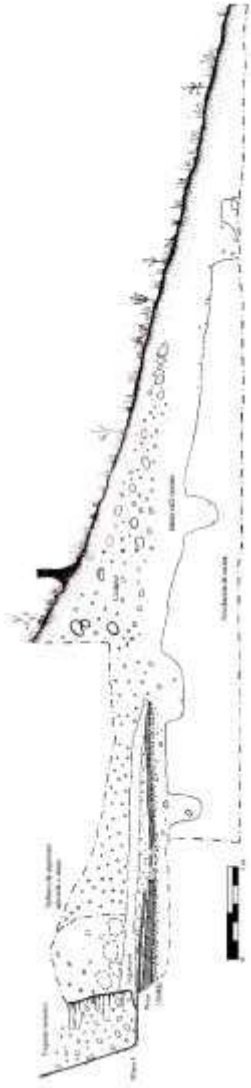


Figura 5.7 Perfil norte de la Operación CR31C-19 que muestra el muro y pisos de la fachada este (posterior) de la Estructura 13Q-1, con una esquina remeteda sobre la cual se adosó un relleno de argamasa (Dibujo por A. Cajas).

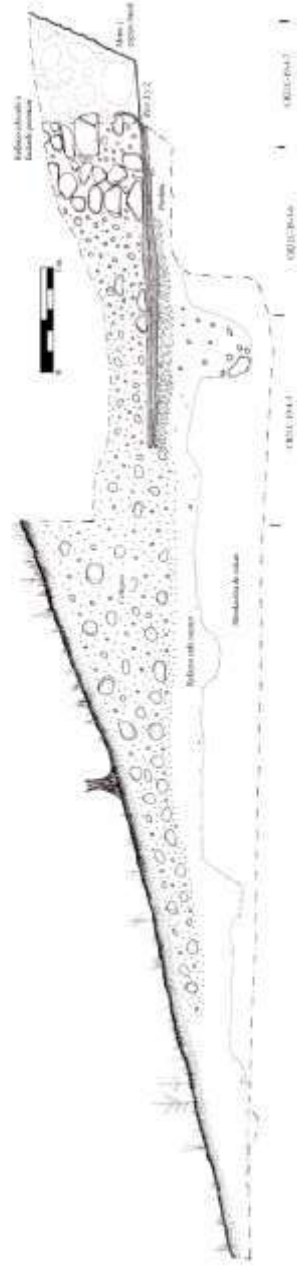


Figura 5.8 Perfil sur de la Operación CR31C-19 que muestra el muro y pisos de la fachada este (posterior), además de un relleno adosado al muro de la última etapa constructiva de la Estructura 13Q-1 (Dibujo por A. Cajas).



Figura 5.9 Muro del cuerpo basal de la Estructura 13Q-1 con esquina remetida de la fachada este o posterior (Fotografía por A. Cajas).

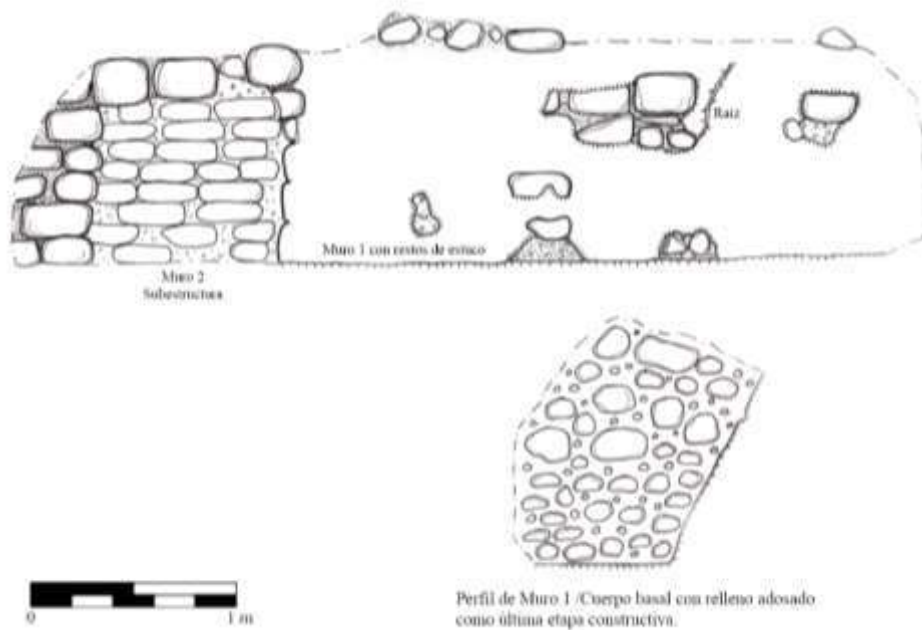


Figura 5.10 Muros del cuerpo basal de la fachada este (posterior) de la Estructura 13Q-1, sobre el que se encontró adosado relleno de argamasa (Dibujo por A. Cajas).

Después del muro se encontró un relleno formado de piedras y tierra café bastante compacta de 0.60 m de grosor. Después de este relleno se encontró otro muro formado con bloques de caliza de aproximadamente 0.30 x 0.10 m sin estuco. El grosor del Muro 2 fue de 0.20 m de ancho, seguido por un relleno compuesto con piedras de grandes dimensiones y tierra amarilla de consistencia suave y arenosa (Figuras 5.11, 5.12 y 5.13).



Figura 5.11 Muro 2 de subestructura en 13Q-1 (Fotografía por A. Cajas).

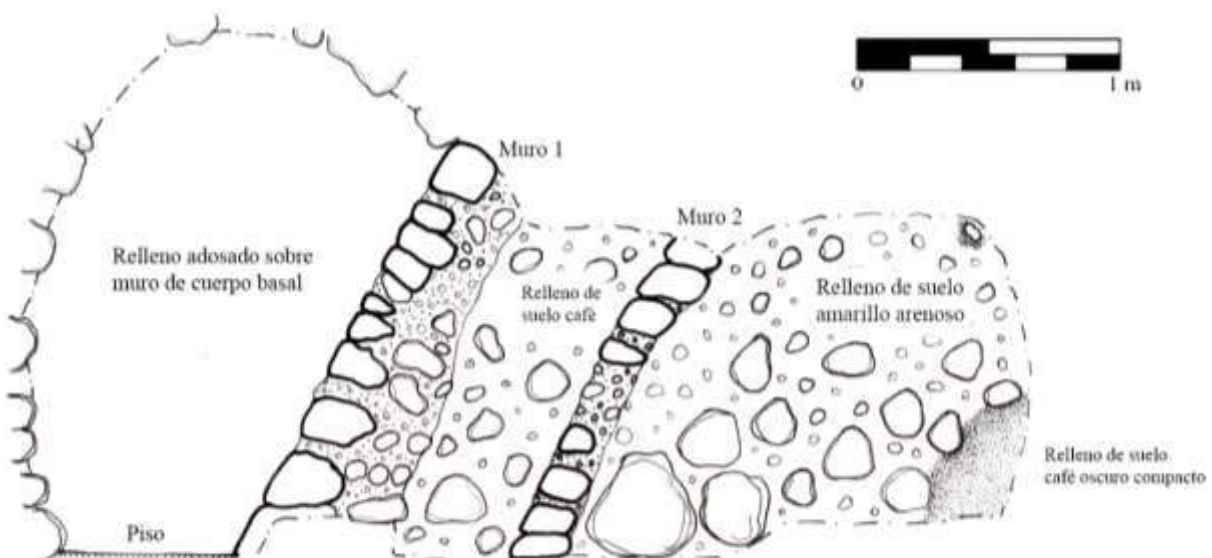


Figura 5.12 Perfil sur que muestra los muros 1 y 2 del cuerpo basal de fachada oeste (posterior) de la Estructura 13Q-1 (Dibujo por A. Cajas).

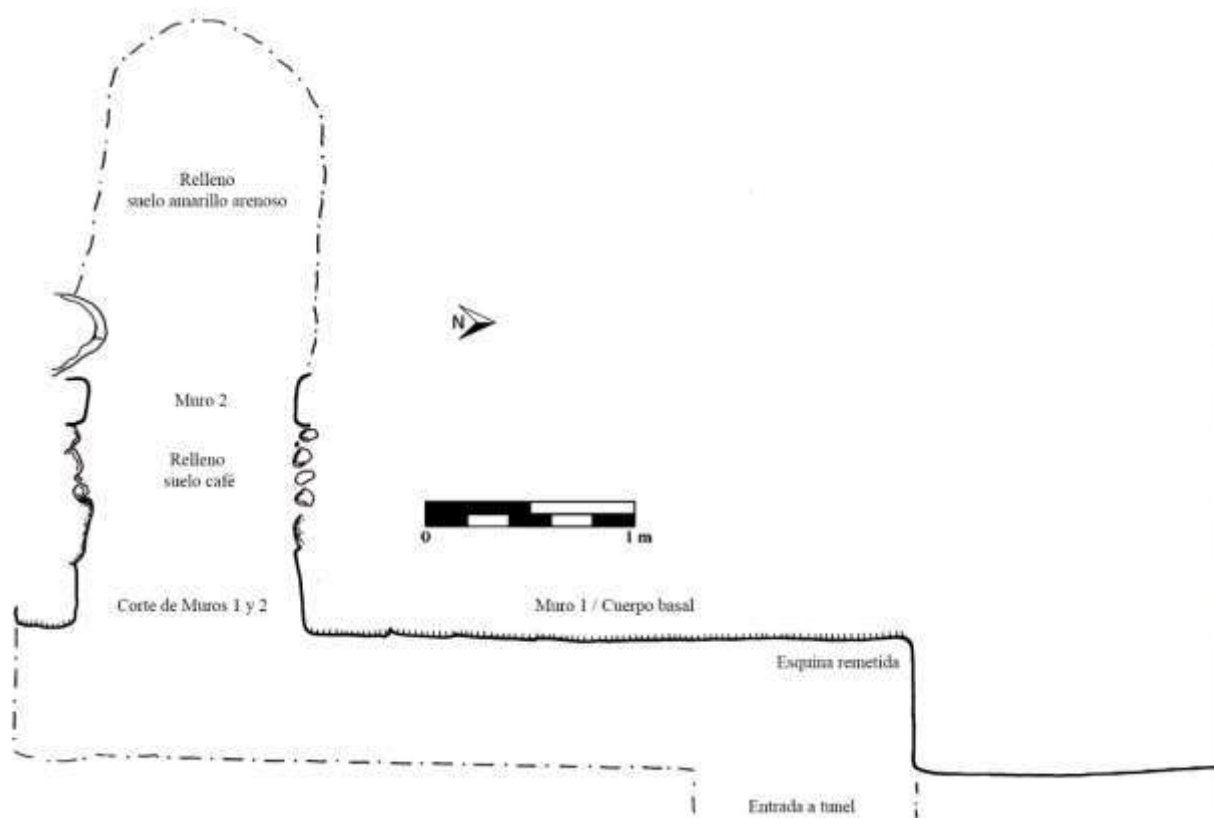


Figura 5.13 Dibujo de planta que muestra el corte muros 1 y 2 del cuerpo basal de fachada oeste (posterior) de la Estructura 13Q-1 (Dibujo por A. Cajas).

La excavación finalizó en el lote CR31C-19-10-1, en donde se excavaron algunos centímetros de un relleno barro café oscuro. Sin embargo por razones de tiempo no se pudo continuar con las exploraciones dentro de 13Q-1, por lo que en la próxima temporada deberán continuar las investigaciones para determinar si el Muro 2 corresponde a una subestructura.

Conclusiones

Los hallazgos de la Temporada 2014 permitieron identificar una intrusión a la tumba del Entierro 19 (Álvarez, 2015), sin embargo no se sabe con certeza si dicha intrusión fue para realizar la inhumación o si fue posterior a la misma. Lo que sí es evidente es que los entierros debajo de escalinatas podrían ser un patrón en La Corona, ya que en la Estructura 13Q-2 también se encontró el Entierro 18 en una subestructura debajo de la escalinata (Gómez 2015).

Además, en las excavaciones realizadas en la Temporada 2014 no se encontró escalinata en la Estructura 13Q-1, sin embargo se encontró restos de una plataforma. Durante 2015 se encontraron materiales constructivos adosados al cuerpo basal en las fachadas este y oeste (principal y posterior) del edificio, que posiblemente formaron parte de otra etapa constructiva que quedó inconclusa. Estas adiciones son más evidentes en la fachada de acceso al templo (oeste), en donde se encontró un conglomerado de bloques tallados en forma rectangular que evidenciaron haber sido parte de la escalinata de acceso.

La ausencia de escalinata y la presencia de materiales constructivos adosados a la última etapa de edificación, son rasgos que también fueron registrados en la fachada oeste de la Estructura 13Q-2 (Cajas 2014), por lo que podría tratarse de la misma temporalidad, en la que algunos cambios sociopolíticos quedaron evidenciados en la arquitectura de la Plaza Principal de La Corona.

Finalmente quedó clara la existencia de una subestructura en la mitad posterior de la Estructura 13Q-1. Sin embargo, podría tratarse de una estructura bastante pequeña, en relación a las dimensiones de su última etapa constructiva, por lo que en la próxima temporada será necesario continuar con las excavaciones en la unidad CR31C-19.

CAPÍTULO VI

OPERACIÓN CR32: EXCAVACIONES EN LA ESTRUCTURA 13Q-2 DURANTE LA TEMPORADA 2015

Erika Gómez

Antecedentes

La estructura 13Q-2 está situada en el extremo este de la Plaza Principal de La Corona y ha sido objeto de estudio desde 2008. Debido a ello se han identificado varias etapas constructivas asociadas al período Clásico, más claramente a la etapa tardía. En las investigaciones en la parte superior de la estructura, Guenter (2010) encontró un solo cuarto, que probablemente tuvo 20 m de largo. El mismo autor indica que hubo de tres a cinco puertas hacia el oeste, quizá de 2 m de ancho y divididas por columnas de igual tamaño (Guenter 2010: 83-4, figura 4.8). Se ha investigado también el área del basamento de la estructura en su sector noroeste, localizándose vestigios de muros asociados a la fachada de la estructura (Guenter 2010, Guirola 2011), mientras que al suroeste se han encontrado vestigios de piso de plaza (Guirola 2011). Las gradas de la última etapa constructiva también han sido investigadas (Guirola y Slowing 2013, Cajas 2014),

Anteriormente, en 2011 y 2012 se han descrito gradas de una sub estructura (13Q-2-Sub3) (Velásquez 2011: 189, 191, figuras 7.11 y 7.13). En las unidades CR32H-6 y CR32H-7 se descubrió un corte de la escalinata, quizá debido a la impronta de un elemento decorativo (Guirola y Martínez 2012: 183-4, figura 7.21). Al igual que estas gradas, otros rasgos que habían sido descubiertos parcialmente consisten en la esquina noroeste de una plataforma en el eje central de la estructura, un muro y una base de columna, construidos pocos centímetros al norte de la plataforma (Guirola y Martínez 2012, figura 7.31).

En la Temporada 2014 se continuó con la investigación de las subestructuras de 13Q-2. Bajo la última etapa constructiva fue posible identificar una plataforma burda construida en el eje central, identificada como 13Q-2-Sub 1, y se asoció como parte de un último evento constructivo previo a la versión final del edificio. Anterior a esta estructura se ha considerado la subestructura 13Q-2-Sub 2, conformada por dos columnas estucadas, perpendiculares al eje central este-oeste, las cuales habrían estado ricamente decoradas a juzgar por los remanentes de la columna sur. La

columna al norte con su base había sido encontrada en temporadas anteriores, aunque en muy mal estado. Fue en 2014 que se identificó como columna al ser comparada con la situada al sur.

En excavaciones de años anteriores se encontraron escalinatas de una subestructura que se adjudicaron a la penúltima etapa constructiva. Estos escalones fueron descubiertos por las unidades excavadas en 2014, cerca de la base de la subestructura, al norte y sur del eje central, identificándose como parte de la subestructura 13Q-2-Sub 3. Asimismo, se identificó una etapa constructiva más temprana conformada por el piso que se denominó Danta, el cual según se observó, fue construido luego de acomodar un relleno sobre la roca madre. Otro hallazgo fue el Entierro 18, mismo que fue localizado al excavar dentro del espacio de la plataforma 13Q-2-Sub1. En el pozo excavado se encontraron cuatro pisos rituales con restos de quema y depósitos de fragmentos de cerámica. Estos pisos se encontraron separados por diversos rellenos como se describió en ocasión anterior (Gómez 2015). Bajo el cuarto piso, que es el más profundo, hubo aún material de relleno pero se encontraron lajas de bordes redondeados dispuestas horizontalmente. Además, al mismo nivel, un conjunto de lajas colocadas sin mayor orden, delimitaban un espacio semiovalado. Al extraer varias de las lajas se descubrió el Entierro 18, el cual fue colocado dentro de una cista cavada dentro de la roca madre. Esta concavidad tuvo un recubrimiento burdo de mezcla. En esta ocasión se descubrió cerca del 75 por ciento de la cista y los objetos que acompañaban al individuo. El personaje enterrado fue un adulto cuyo género, entre otras características, no pudo determinarse con certeza por presentar los restos óseos un alto grado de erosión. En cuanto ajuar y ofrendas, fueron recuperados varios objetos de piedra verde, algunos de ellos incisos, y adornos de conchas diversas, así como dos vasijas cerámicas. Debido a las características del entierro, se considera que se trató de un personaje muy importante, según T. Barrientos y M. Canuto (comunicación personal 2014), perteneciente a la realeza de La Corona. Por el momento se ha considerado la hipótesis de que el entierro haya sufrido una intrusión o visita debido a un corte de gradas observado en 2014, el cual se presentó en el sur del pozo excavado, unidad en la cual se encontró el entierro. A ello se adicionan algunos pequeños detalles, como la disposición de objetos en el ajuar y rasgos de la cista. No se pretende en este punto repetir la descripción del Entierro 18 (ver Gómez 2015), sin embargo más adelante pueden retomarse algunos datos a fin de complementarlos con los hallazgos de la Temporada 2015. Asimismo, en la Temporada 2014 se encontraron otras evidencias rituales (ver Gómez 2015) tales como una ofrenda de dientes y pequeños fragmentos óseos humanos, algunos

de estos últimos con pigmento rojo; a la vez la ofrenda incluyó navajas de obsidiana, completas e incompletas. La ofrenda estaba colocada sobre el piso Danta, en el eje central identificado para 13Q-2, así que se considera ligada a la finalización de la utilización de la versión constructiva asociada a dicho piso. Otra ofrenda consistió en un pequeño depósito de macro lascas y desechos de pedernal colocadas en dirección al nicho de 13Q-2-Sub1, justo en el eje central. La ofrenda estuvo puesta entre tierra fina, sobre un relleno cultural cerca de 0.6 m por encima del piso Venado. Así, este depósito y la subestructura 13Q-2-Sub 1 al parecer constituyen parte de los últimos eventos efectuados antes de la construcción de la última versión de 13Q-2.

Entre los hallazgos especiales que dan un carácter peculiar al edificio, se pueden mencionar ciertos artefactos tales como puntas de pedernal, encontradas en las excavaciones del sector norte frontal de la estructura. Dos de las puntas se recuperaron de la unidad CR32-D17 (Guirola 2011: 204, figura 7.34) y otra adicional en la unidad CR32-D6 (Guirola 2011: figura 7.25). Por otro lado, dentro de este espacio se ha detectado actividad ligada al Postclásico, evidenciada por la presencia de incensarios, registrándose el primero de ellos en la cima de la estructura (Guenter 2010). La anterior es una de las razones por las que Guenter (*Ibíd.*) sugirió un carácter ritual para este edificio. Otros dos incensarios, uno de ellos fragmentado e incompleto, fueron localizados a poca profundidad en unidades de excavación en la base de la estructura (Guirola y Martínez 2012: 177, figuras 7.5 y 7.6; Guirola y Slowing 2013: 99, figuras 5.24 y 5.30).

Los objetivos de la temporada comprendieron la investigación del área inmediata al contexto específico del Entierro 18 para ampliar o intentar interpretar más adecuadamente la secuencia de eventos constructivos y relacionados al enterramiento citado. Concretamente se pretendió definir la función de dos muros situados, uno al este de la plataforma 13Q-2-Sub 1 y otro que yacía bajo la misma. También se buscó ampliar la información del corte de gradas de 13Q-2-Sub 3. Otro objetivo fue investigar 13Q-2-Sub 3 para conocer las características constructivas de su relleno e identificar la estructura subyacente, 13Q-2-Sub 4, asociada al piso Danta.

Se realizaron tres pozos y un túnel, ocho registros y una extensión del lote CR32H-19-18, siendo este el lote donde se localizó el Entierro 18 en 2014. Las unidades tuvieron diversas dimensiones (ver Tabla 6.1, Figura 6.1 y 6.2). Estas excavaciones se efectuaron en el sector oeste de la estructura, siguiendo el eje central. Un pozo fue excavado en el cuerpo de la estructura,

mientras que otros dos pozos y la mayoría de los registros partieron de las subestructuras 13Q-2-Sub 1 y 13Q-2-Sub 3. Asimismo se dio inicio a un túnel en eje este-oeste, al interior del relleno de la Subestructura 13Q-2-Sub 3.

Se continuó utilizando la nomenclatura que se ha manejado para la última etapa constructiva de 13Q-2, es decir que se toma la misma división de sectores para asignar la letra de sub-operación. En este caso como las unidades están dentro del sector del cuerpo de la última etapa constructiva, se refieren con la letra H. Los pozos fueron controlados por estratos culturales y naturales. Para las profundidades se tomó como referencia un *datum* localizado al frente de la estructura, el cual está a 2.36 m sobre el nivel del piso Venado, asociado a la subestructura 13Q-2-Sub 3.

Unidad	Tipo	Dimensiones en metros	Profundidad máxima en metros (desde el <i>datum</i>)	Ubicación	Hallazgos
CR32H-18-R1	Registro (Ampliación)	1.2 x 0.3 x 1.2	1.75	Sector del cuerpo de la estructura	<ul style="list-style-type: none"> Escalones erosionados de 13Q-2-Sub3
CR32H-19-R1	Registro	0.6 x 0.32 x 0.7	2.95	Bajo la plataforma 13Q-2-Sub1; sector sur del muro de contención "C"	<ul style="list-style-type: none"> Límite sur del muro de contención "C"
CR32-H19-R2	Registro	0.6 x 0.3 x 0.8	2.18	Con el registro se eliminó un pequeño sector del borde sur de la Plataforma 13Q-2-Sub1; en el perfil sur del pozo CR32H-19 relacionado con la plataforma. El registro limita con el piso ritual #2	<ul style="list-style-type: none"> Límite sur de piso ritual # 2 adjunto al segundo escalón cortado de 13Q-2-Sub3
CR32H-19-18a	Extensión de lote 18	1.3 x 0.5	4.1	Extensión en el extremo este de la unidad, a nivel del fondo de la cista.	<ul style="list-style-type: none"> Límite este de la cista del Entierro 18 Objetos complementarios del ajuar y ofrenda del Entierro 18
CR32H-20	Pozo	0.8 x 1.3	3.95 (profundidad inicial 1.41)	Sector del cuerpo de la estructura. Al norte del cuadrante noreste de la plataforma 13Q-2-Sub1	<ul style="list-style-type: none"> Corte norte de escalones de 13Q-2-Sub3 Límite norte de la cista del entierro 18 Límite norte de los pisos rituales Límite norte del muro de contención "C"
CR32H-20-R1	Registro	0.73 x 0.85 x 0.5	2.04	Sector del cuerpo de la estructura. Registro en el perfil norte del pozo CR32H-20	<ul style="list-style-type: none"> Relleno de 13Q-2-Sub3
CR32H-21	Pozo	2.4 x 2	0.15	Sector del cuerpo de la estructura. Inmediatamente al este del pozo CR32H-19	<ul style="list-style-type: none"> Escombro de posibles escalones de la última etapa constructiva de 13Q-2 <ul style="list-style-type: none"> Relleno de la

					última etapa constructiva
					<ul style="list-style-type: none"> • Límite o corte de escalones de 13Q-2-Sub3
CR32H-21-R1	Registro	0.75 x 0.5 x 0.9	+ 1	Sector del cuerpo de la estructura. En perfil este del pozo CR32H-21	<ul style="list-style-type: none"> • Relleno de la última etapa constructiva de 13Q-2
CR32H-22	Túnel	0.7 x 8.25 x 1	3.15	Eje central; túnel que toma de base el piso Danta y el muro de contención "C". El túnel se adentra hacia el centro de la subestructura	<ul style="list-style-type: none"> • Rellenos de 13Q-2-Sub3 • Piso Danta • Basamento ataludado de 13Q-2-Sub4
CR32H-22-R1	Registro	2.2 x 0.5 x 0.8	2.9	Perfil Sur del túnel unidad CR32H-22; registro siguiendo la dirección sur del talud de 13Q-2-Sub4	<ul style="list-style-type: none"> • Rellenos de 13Q-2-Sub 3 • Cuerpo o basamento ataludado de 13Q-2-Sub4
CR32H-23	Pozo	0.75 x 0.9	3.55 (profundidad inicial 0.15)	Cuerpo de la estructura 13Q-2. Inmediatamente al este de la unidad CR32H-19	<ul style="list-style-type: none"> • Rellenos de 13Q-2-Sub3 • Piso Danta
CR32H-23-R1	Registro	0.7 x 0.55 x 1.1	3.17	Sector del cuerpo de la estructura. Perfil norte de la unidad CR32H-23	<ul style="list-style-type: none"> • Relleno de 13Q-2-Sub3
CR32H-23-R2	Registro	0.7 x 0.5 x 0.92	3.17	Sector del cuerpo de la estructura. Perfil sur de la unidad CR32H-23	<ul style="list-style-type: none"> • Relleno de 13Q-2-Sub3

Tabla 6.1 Descripción general de las unidades excavadas (Tabla por E. Gómez).



Figura 6.1. Vistas generales de sectores excavados en las inmediaciones del eje central de 13Q-2.

Izquierda: vista de la unidad CR32H-19 previo a las excavaciones en sus límites
Derecha: vista general del proceso de excavación de pozo y registros anexos o dentro de la unidad CR32H-19 (Fotografías por E. Gómez).

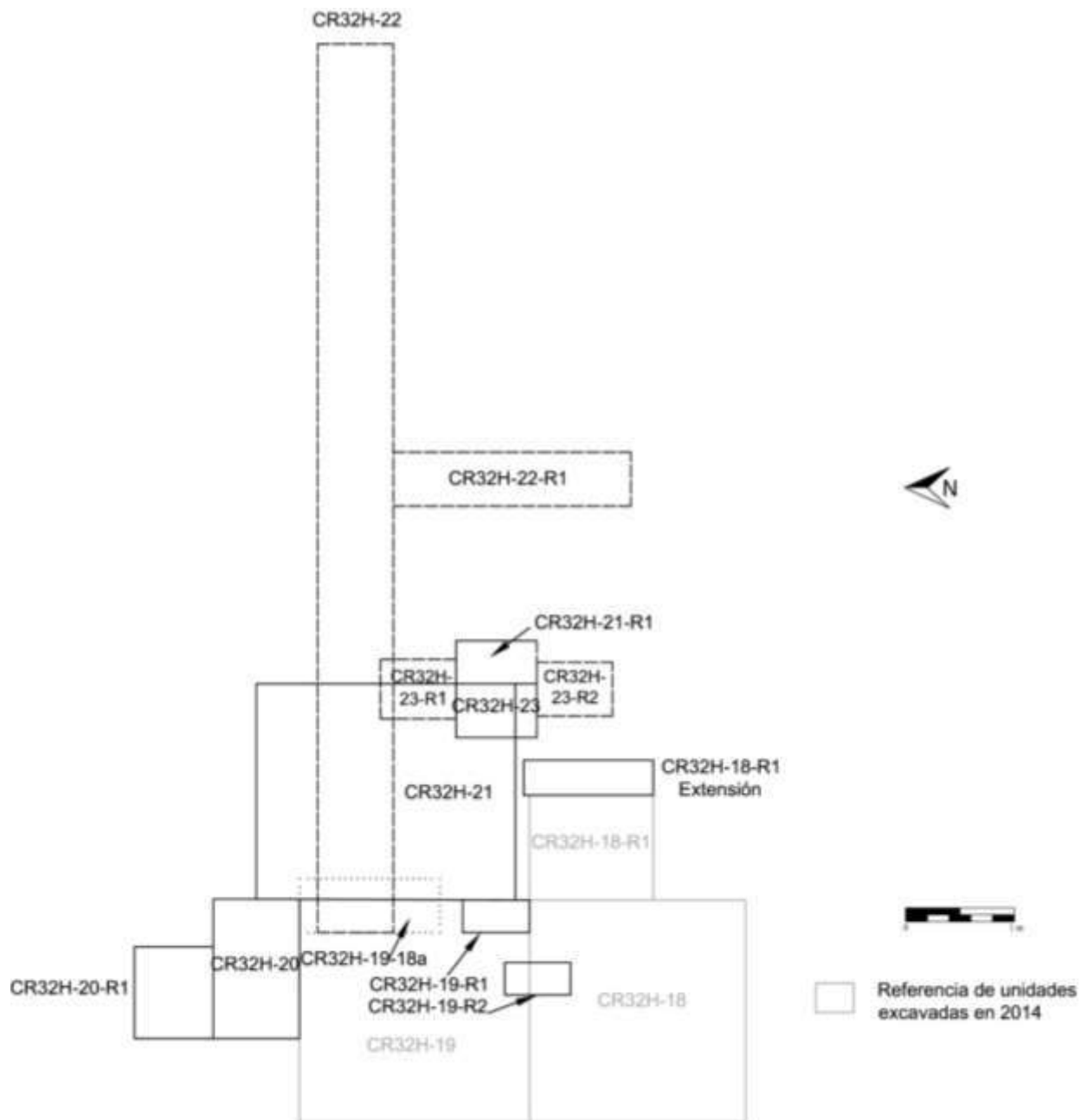


Figura 6.2 Planta mostrando la distribución de unidades de excavación (Esquema por E. Gómez).

Descripción de hallazgos en las unidades excavadas

Las unidades fueron excavadas al frente e inmediaciones del eje central de la estructura. Se evidenciaron detalles constructivos tales como gradas, rellenos, muros de contención y se inició a descubrir una subestructura que por el momento es la más temprana excavada en 13Q-2. Asimismo, se delimitó la cista del Entierro 18, el cual se descubrió en 2014 (Figuras 6.3, 6.4 y 6.5). En la presente ocasión se recuperaron varios materiales del ajuar y ofrenda funerarios, por lo que en los párrafos siguientes se describen los elementos arquitectónicos descubiertos y la nueva información recabada del Entierro 18.

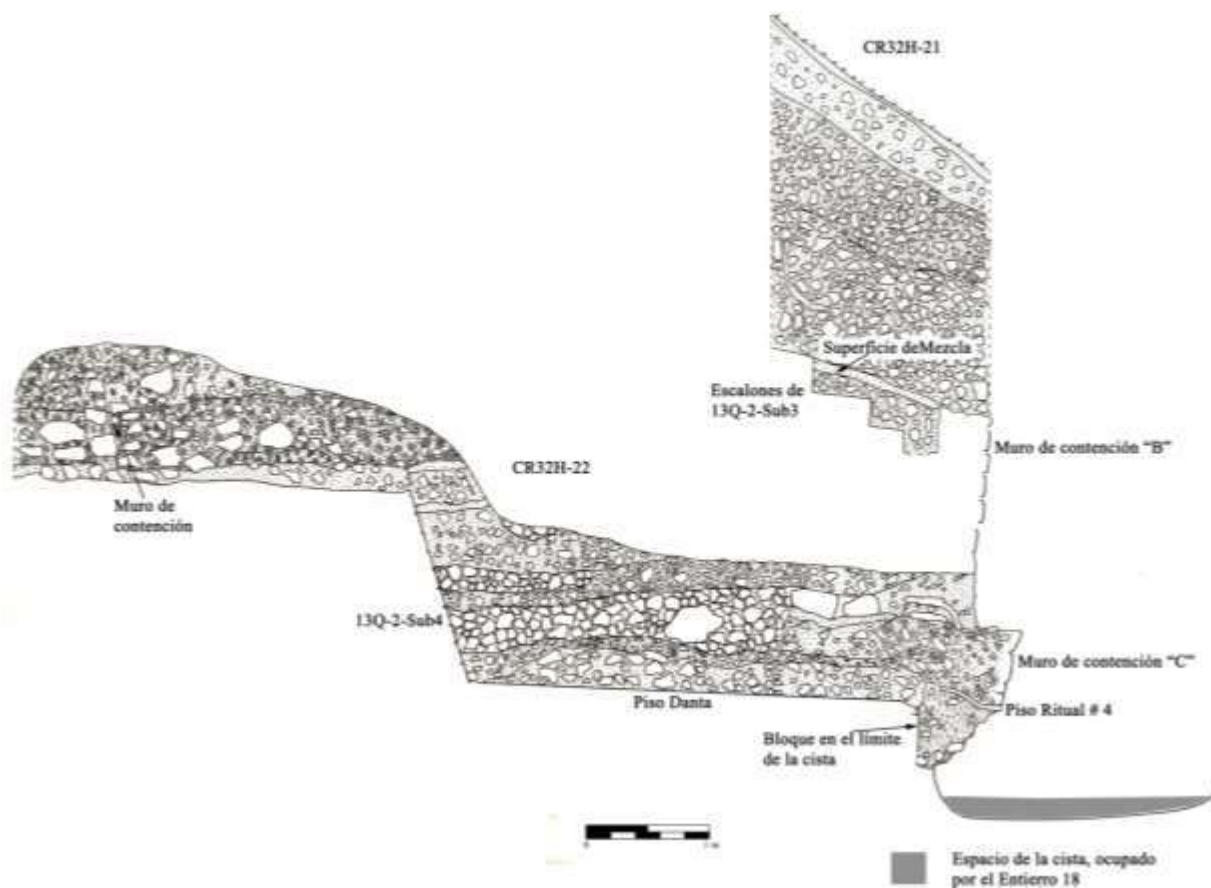


Figura 6.3 Corte este-oeste mostrando rellenos y otros hallazgos constructivos en las unidades excavadas (Dibujo por E. Gómez).

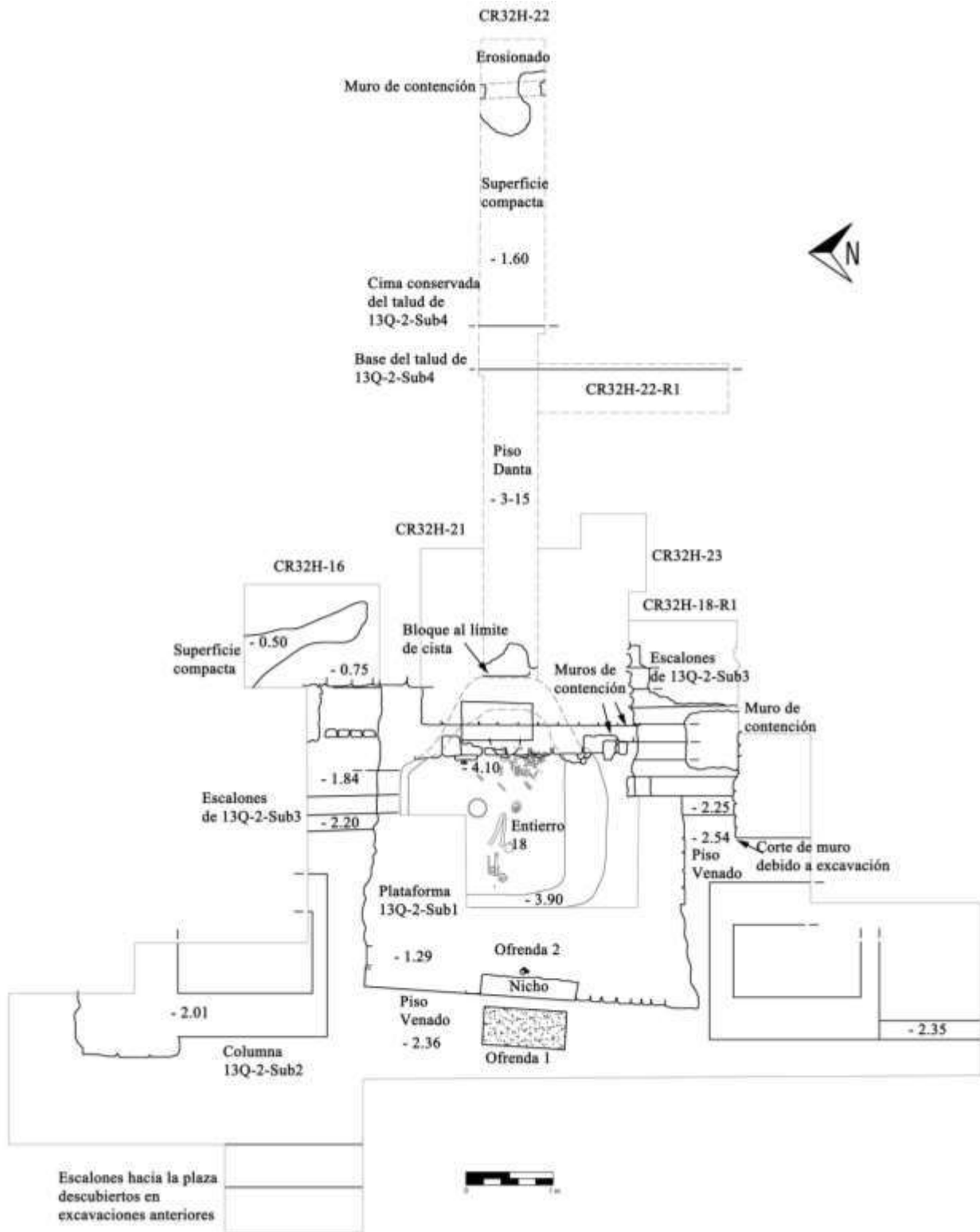


Figura 6.4 Planta conjunta mostrando los hallazgos principales de las temporadas 2014 y 2015 a nivel de las subestructuras de 13Q-2 (Dibujo por E. Gómez).

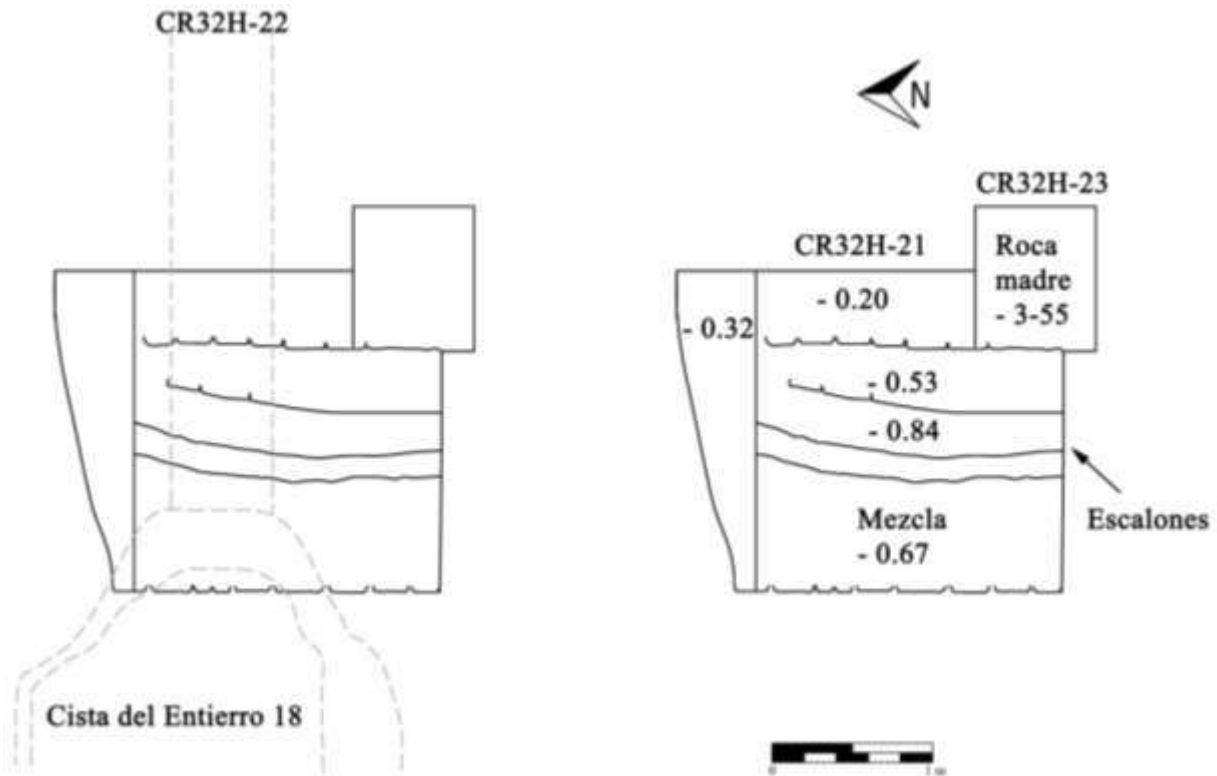


Figura 6.5 Ubicación de la unidad CR32H-21 con respecto a otras unidades excavadas en 2015 y planta de la misma unidad mostrando los escalones de la Subestructura 13Q-2-Sub 3, señalados con la flecha (Dibujo por E. Gómez).

Elementos Arquitectónicos

Muros de contención

Se hace referencia a tres muros que se habían descubierto el año anterior (Gómez 2015), sugiriéndose en esa ocasión que los mismos pudieron funcionar como muros de contención. Estos muros están localizados en las unidades CR32H-19 y CR32H-18, y los registros que se realizaron o ampliaron en el presente año permitieron definir sus límites. Para diferenciar dichos muros, en este informe se alude a ellos con literales (Figuras 6.6 y 6.7).



Figura 6.6 Muros de contención redefinidos en cuanto a sus límites en 2015. La flecha al fondo indica el Muro A; la flecha al frente e izquierda señala el Muro B; la flecha al frente y derecha apunta al Muro C (Fotografía por E. Gómez).

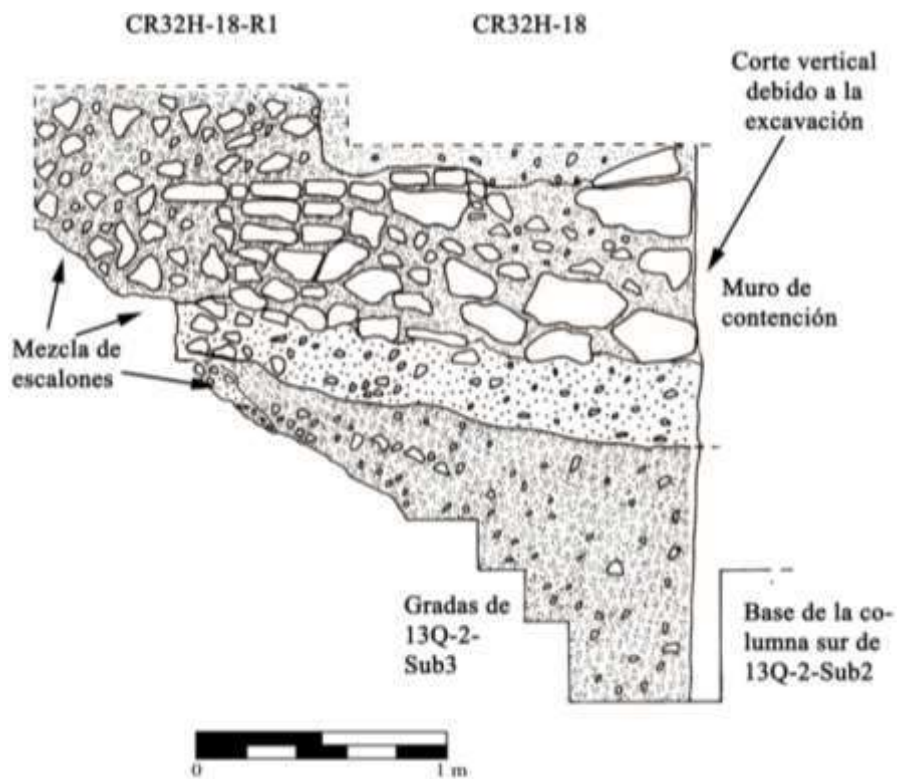


Figura 6.7 Perfil sur de la unidad CR32H-18 y CR32H-18-R1 mostrando el Muro A y su contexto inmediato (Dibujo por E. Gómez).

Uno de los muros de contención, denominado Muro A, se definió mejor debido a que se amplió un registro que abarcaba parte de él. Se trató del registro CR32-H18-R1. Este muro fue elaborado parcialmente con bloques pequeños de piedras canteadas; el resto se realizó de piedras medianas y pequeñas. El muro arranca 1.35 m sobre el nivel del piso Venado, por tanto se integra con el sexto escalón de 13Q-2-Sub 3. En la parte sur del registro fue notorio que los bloques del muro se interrumpen y solamente continúan piedras sin desbastar.

Otro muro, denominado Muro B, fue construido aproximadamente a 0.3 m al este del Muro C (descripción más adelante) y separado en promedio 0.6 m de la parte superior de este último. El Muro B sobresale de la plataforma 13Q-2-Sub 1, y aunque fue descrito anteriormente (Gómez 2015), fue en el presente año que se entendió más claramente como muro de contención. La unidad CR32H-20 dejó al descubierto el límite norte del muro y se advirtió que este límite coincide con el límite de los pisos rituales cuyos extremos norte se hallaron al profundizar en el pozo de excavación. Al igual que se describió anteriormente (Gómez 2015), se encontraron algunos restos de materia quemada sobre sus superficies.

La unidad CR32H-21 se realizó para esclarecer la naturaleza del Muro B. Al alcanzar la profundidad de 0.3 m, solamente llamó la atención una superficie compacta de mezcla, la cual abarcaba la unidad. Esta superficie apareció como una rampa de acabado muy tosco, bajo la cual se encontraron tres escalones de 13Q-2-Sub 3. Los escalones estuvieron interrumpidos por el Muro B que fue finalmente interpretado como muro de contención, careciendo de otros muros asociados.

El tercero de los muros referidos, denominado en este informe como Muro C, se encontró en el límite este de la unidad CR32H-19, conservando una altura aproximada de 0.45 m. Se definió su límite debido a la excavación de la unidad CR32H-20 y registro CR32H-19-R1. En este muro, cuya elaboración es irregular y burda, se observó al menos un bloque reutilizado que mostraba estuco cubierto con pigmentación de tono rojo.

El muro también presenta un hundimiento central que corresponde básicamente con la depresión observada en los pisos rituales que se identificaron sobre el Entierro 18 el año anterior (Gómez 2015). Pese a que no se encontraron evidencias, posiblemente hubo algún material percedero debajo del muro y los pisos, lo cual causó la peculiar morfología de estos últimos, o simplemente tal forma cóncava fue efecto del colapso de la parte superior de la cista. En la

presente ocasión el Muro C se definió como de contención ya que se interrumpía abruptamente sin continuidad de rasgos constructivos.

Por otro lado, en la unidad CR32H-22 fue evidente un muro burdo localizado sobre la cima conservada del talud de 13Q-2-Sub 4 (ver más adelante), esto es 1.4 m bajo el *datum*. Se distinguió una altura del muro de 1.1 m, siendo la misma altura del túnel en este punto. En sentido horizontal el muro se localizó a 2.4 m desde la parte superior del talud y 7.4 m a partir del origen del túnel. La pared es burda e inclinada, aunque se considera demasiado tosca para considerarlo parte de un segundo cuerpo de 13Q-2-Sub 4. El rasgo se compone de piedra mediana sin trabajar y casi total ausencia de bloques canteados (Figura 6.8). Su construcción debió formar parte de las actividades previas a la posterior edificación, 13Q-2-Sub 3.



Figura 6.8 Muro de contención sobre la parte superior de la fachada identificada de 13Q-2-Sub 4 (Fotografía por E. Gómez).

Gradas de 13Q-2-Sub 3

Mediante la excavación de la unidad CR32H-21, que inició desde la superficie del montículo que alberga la Estructura 13Q-2, se pretendía averiguar si existía otro corte de gradas detrás del Muro B, situado al este de la plataforma 13Q-2-Sub 1. Inicialmente se retiró del escombros, algunos bloques que quizá formaron parte de la escalinata de la última etapa constructiva del edificio. Debajo se encontró un relleno de piedra mediana y tierra café compacta. Llamó la atención que a una profundidad de 0.12 m en el lateral este del pozo y 0.68 m en el lateral oeste, se presentó una superficie irregular de mezcla, la cual básicamente coincide con el límite superior del Muro B (Figura 6.9). Tal rasgo es similar a la superficie de la plataforma 13Q-2-Sub 1, identificada el año anterior, aunque en el presente caso careció de límites precisos por lo que podría tratarse de una superficie de compactación. Bajo la citada superficie, luego de un relleno, se encontraron tres escalones un tanto irregulares en cuanto a su alineación. Fue interesante que sobre los escalones se agregó un embono con mezcla extraordinariamente compacta. En referencia al pozo CR32H-20, realizado al norte del eje central, también fueron encontrados remanentes de gradas de 13Q-2-Sub 3 (Figura 6.10).

Corte de gradas de 13Q-2-Sub 3

El pozo CR32H-20 fue realizado para conocer si existían características similares al corte de gradas y rellenos observables en el perfil sur de la unidad CR32H-19. Se encontró que las gradas se interrumpen, coincidiendo esencialmente con el límite norte de la plataforma 13Q-2-Sub 1, considerándose que ésta cubrió el corte de gradas que se ha observado al norte y sur. También, un corte o interrupción de la escalinata fue visible al este, justo detrás del Muro B (ver Figura 6.10). En la unidad CR32H-21 hubo bloques ausentes en el escalón más al este y extremo sur del pozo; así también en el límite este del pozo (registro CR32H-21-1) no se encontraron gradas (Figura 6.11). Quizás esto es parte de un corte, ya que además fue notoria una pequeña porción de una capa de mezcla, así que podría tratarse de la continuación de la superficie de compactación observada en CR32H-21.



Figura 6.9 Superficie compacta sobre el Muro B (Fotografía por E. Gómez).



Figura 6.10. Escalones de la Subestructura 13Q-2-Sub 3. Indicación de los tres escalones descubiertos bajo una superficie compacta en la unidad CR32H-21 y escalones en la unidad CR32H-20 (Fotografías por E. Gómez).



Figura 6.11. Vista general del registro CR32H-21-R1, al fondo, mostrando discontinuidad de los escalones de la Subestructura 13Q-2-Sub 3 (Fotografía por E. Gómez).

Rellenos arquitectónicos de la Subestructura 13Q-2-Sub 3

Parte de los rellenos arquitectónicos de 13Q-2-Sub 3 fueron visibles claramente en las unidades CR32H-22 (túnel), CR32H-23 y sus respectivos registros (Figura 6.12). La unidad CR32H-23 se ubicó justo por debajo del nivel de escalones que se observaron en la unidad CR32H-21 y hacia la esquina sureste de este último. La unidad CR32H-23 alcanzó el nivel estéril, permitiendo observar el relleno de 13Q-2-Sub 3. Estos rellenos cancelaron el piso Danta y la subestructura 13Q-2-Sub 4 (ver más adelante).

En la unidad CR32H-23 se observó una larga sucesión de rellenos. Así, a una profundidad de 0.15 m bajo el *datum*, se advirtió un relleno de 0.4 m de grosor, el cual mayormente consistió en piedra sola, aunque tiene alguna capa delgada de tierra café. Los siguientes lotes hasta el número 6 se conformaron de rellenos similares, consistentes en capas de piedra suelta de grosores entre 0.3 y 0.5 m. Estos rellenos alternaban con capas delgadas de entre

0.1 a 0.15 m, conteniendo tierra poco compacta de tonalidad café rojiza o amarillenta. Las capas de tierra fueron un tanto irregulares, ocasionalmente no se mostraron continuas en todos los perfiles del pozo. A 2.7 m de profundidad inició el lote 7, cuyo grosor fue 0.35 m. El lote referido correspondió a una mezcla muy compacta, de tierra café levemente rojiza, aunque al finalizar se observa piedrín, piedra pequeña y mezcla café levemente grisácea. El lote 8 consistió en un estrato de mezcla bastante compacta de tonalidad café claro a grisáceo y tuvo entre 0.1 y 0.15 m. Mientras, el lote 9 abarcó el piso Danta con un grosor promedio de 0.08 m. El lote 10 tuvo 0.3 m de grosor y se conformó de tierra café oscuro arcillosa muy compacta, de consistencia “pastosa”. Dentro de este lote aún se encontraron incluidos algunos materiales cerámicos. Al finalizar este relleno se encontró la roca madre.

Pese a lo descrito, llamó la atención el relleno del registro de la unidad CR32H-20-R1 (Figura 6.13). Tal registro fue realizado dentro del perfil norte de la unidad CR32H-20, adentrándose 0.73 m, bajo las gradas de 13Q-2-Sub 3 localizadas al norte del eje central. Con el registro se pretendía localizar el piso Danta, el cual fue ausente. Solamente se encontró relleno conformado por piedra y poca tierra color café rojizo. En el registro tampoco se presentó la superficie de mezcla que se asienta sobre el piso Danta, a pesar que sí apareció en el perfil sur de las unidades inmediatas: CR32H-19, CR32H-22 y CR32H-23.



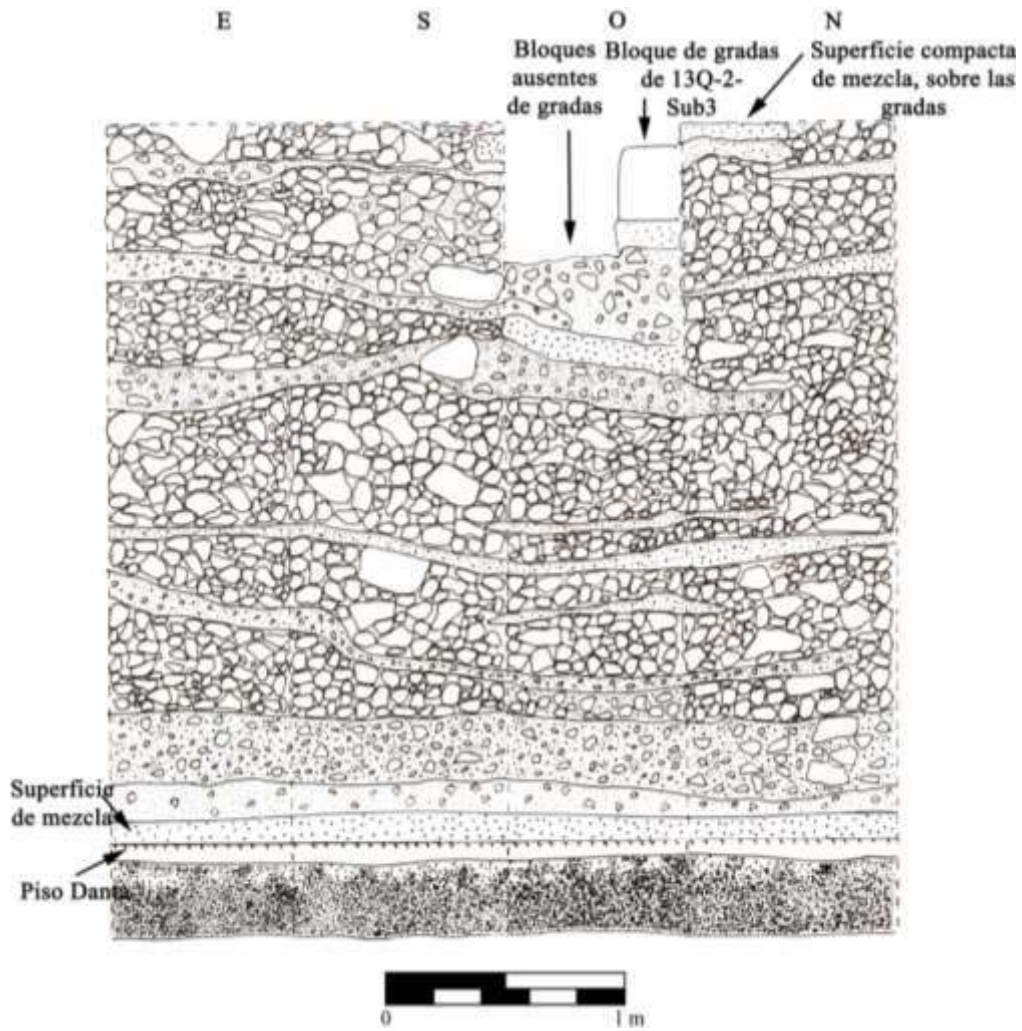


Figura 6.12. Rellenos de la Subestructura 13Q-2-Sub 3 y otros rasgos. Foto del proceso de excavación (arriba) y perfiles de la unidad CR32H-23 (abajo) (Fotografía y dibujo por E. Gómez).



Figura 6.13. Relleno de la Subestructura 13Q-2-Sub 3 en el registro CR32H-20-R1 (Fotografía por E. Gómez).

Debido a que la unidad CR32H-23 fue la más profunda, se recolectó una muestra cerámica pequeña y fragmentaria dentro de los lotes 6 al 10. Sin embargo, la ceramista C. Parris (comunicación personal 2015) hizo un análisis preliminar evidenciando que no hay fragmentos diagnósticos. En los lotes revisados pertenecientes al relleno que yace debajo de la Subestructura 13Q-2-Sub 3 (lotes 6 al 8), la investigadora reconoció varios tipos cerámicos pero en cantidad muy baja, tales como Saxché-Palmar Naranja Policromo y Tinaja Rojo. En general, la cerámica de estos lotes parece inclinarse al periodo Clásico Tardío, según la ceramista. Otros fragmentos de cerámica contenidos en el relleno que cubrió al piso Danta y a la Subestructura 13Q-2-Sub 4, fueron rescatados dentro del lote 3 del túnel excavado (CR32H-22). Parris (comunicación personal 2015) asignó el material al Clásico Tardío (Tepeu 1-2), identificando los tipos cerámicos Esperancita impreso: Variedad Estampada, Cambio sin Engobe y Saxche-Palmar Naranja Policromo.

Mientras tanto, los materiales que yacen debajo del piso Danta (lotes 9 y 10 de la unidad CR32H-23) fueron escasos y no fue posible asignarles siquiera una fecha tentativa debido a lo fragmentario y a la erosión. Estos datos son escasos para otorgar fechamientos certeros de 13Q-2-Sub 3. Además, como se mencionó en el párrafo anterior, aun no se cuenta con una muestra válida que brinde indicios de un fechamiento para 13Q-2-Sub 4. Indudablemente una muestra más representativa es necesaria para establecer una cronología aceptable.

Subestructura 13Q-2-Sub 4

La unidad CR32H-22 se excavó a manera de un túnel que fue abierto desde el Muro C y el piso ritual # 4 (Figura 6.14, ver Figura 6.19). El túnel tomó como base el piso Danta, que corresponde a la etapa más temprana identificada dentro de la Estructura 13Q-2. La excavación se guio de acuerdo al eje central conocido para la última etapa constructiva y subestructuras identificadas hasta 2014, suponiendo que el eje de una etapa más temprana fuera el mismo. A una distancia de 4.4 m a partir del origen del túnel y asociado al piso Danta, se encontró una construcción ataludada que conserva una altura de 1.7 m. La orientación del talud es 12 grados desviado hacia el este, con respecto al norte. Esta construcción constituye parte de la fachada de la Subestructura 13Q-2-Sub 4. La mampostería se conforma de piedra canteada rectangular de entre 0.3 x 0.15 m y 0.2 x 0.1 m. Solamente en algunos bloques se observaron vestigios de

estuco, ya que en el resto, el acabado estuvo ausente dejando al descubierto numerosos bloques de tonalidad gris y otros blanquecinos (Figura 6.15).



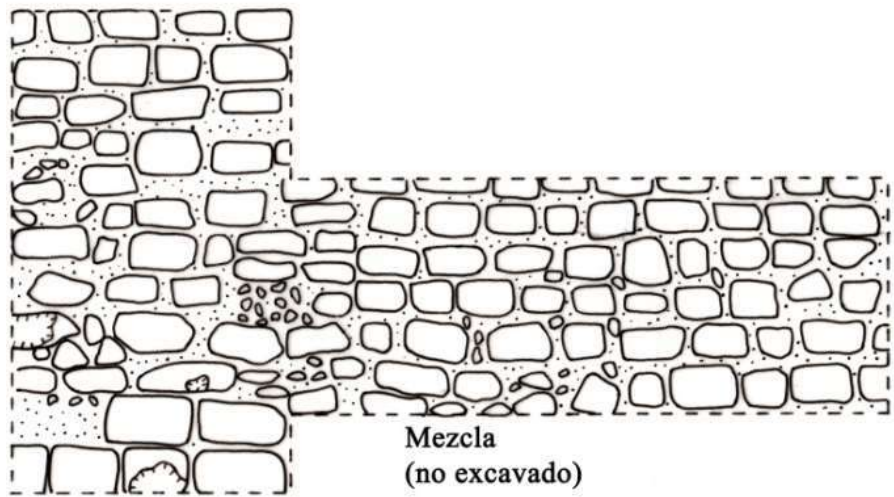
Figura 6.14. Ubicación del inicio del túnel CR32H-22, indicado con el recuadro (Fotografía por E. Gómez).

Se realizó un registro hacia el sur (CR32H-22-R1) del túnel principal (ver Figura 6.15), siguiendo la dirección del muro con talud para intentar localizar el acceso de 13Q-2-Sub 4. Aunque este último no fue encontrado, el registro abarcó una longitud de 2.2 m. Como hipótesis se considera que el eje central no coincide con el de las estructuras superiores e incluso que las gradas no se construyeron en posición central. La excavación del túnel principal prosiguió en el límite superior del talud y se adentró 3.3 m, sugiriendo que pueda tratarse de una amplia plataforma. Se advirtió que la cima del talud está básicamente nivelada, sin embargo no se presentaron vestigios de estuco.



CR32-H22

CR32-H22-R1




 Vestigio de estuco



Figura 6.15. Vista del sector de fachada de la Subestructura 13Q-2-Sub 4, descubierto en el túnel CR32H-22, en el registro al sur CR32H-22-R1 y elevación frontal de la misma fachada (Fotografías y dibujo por E. Gómez).

Límite norte y este del Entierro 18

En 2014 se definieron los límites oeste y sur de la cista que albergaba al Entierro 18. Los límites norte y este se investigaron en el presente año, excavando para ello el pozo CR32H-20, situado en la esquina noreste de la unidad CR32H-19 (Figura 6.16).



Figura 6.16. Vista en planta de la concavidad donde se encontró el entierro 18. La línea blanca es indicativa del límite sur de la cista (Fotografía por E. Gómez).

La unidad CR32H-20 descendió dentro de la mitad este de la Plataforma 13Q-2-Sub 1 hasta el nivel de la cista del Entierro 18, cavada en la roca madre (Figura 6.17). Los estratos tuvieron el mismo patrón de los encontrados en la unidad CR32H-19 excavada en 2014, encontrándose cuatro pisos rituales y sus rellenos. Con la unidad CR32H-20 se definió el límite noreste del entierro. Aun cuando un área del borde noroeste no fue excavada, la cista se observó como una concavidad de planta semiovalada, teniendo las dimensiones máximas de 2.4 x 2.65 m. Por otro lado, la altura máxima de la oquedad fue 0.5 m. En el pozo CR32H-20 no se recuperaron materiales del ajuar del entierro.

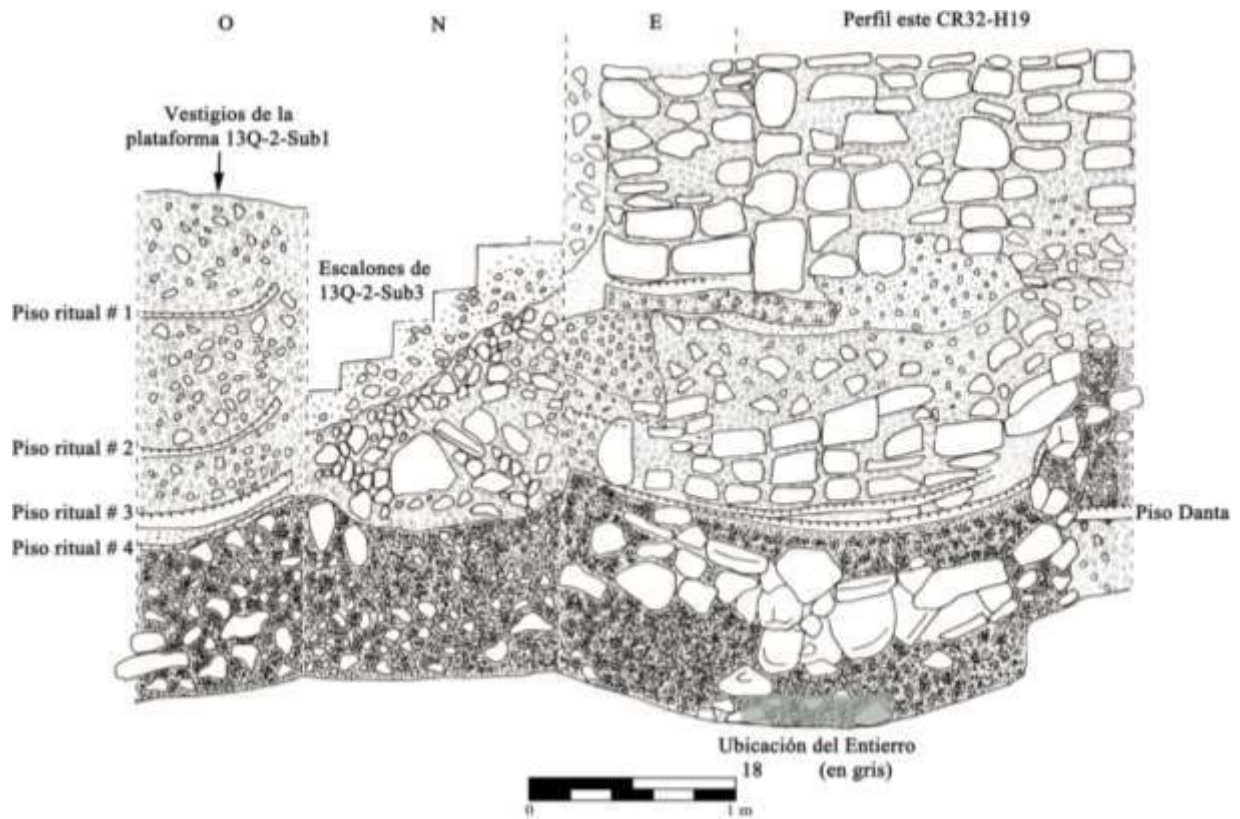


Figura 6.17. Perfiles norte y oeste de la unidad CR32H-20 y dibujo de los perfiles del mismo pozo (Fotografía y dibujo por E. Gómez).

Con el fin de descubrir el límite este del área del Entierro 18, se continuó la excavación del lote 18, mediante una extensión al este, identificada como CR32H-19-18a. En esta extensión se observaron lajas colapsadas que estarían colocadas inmediatamente sobre el entierro. Llamó la atención una laja rectangular colocada al centro y límite este de la concavidad del entierro, en un eje aproximado norte-sur. La talla de dicha laja se mostró relativamente fina (Figura 6.18). Posiblemente fungió como parte del techo aunque se encontró desplomada. Hubo vestigios de quema en la parte de la laja que yacía contra el suelo, y en el suelo mismo que constituye el último estrato café oscuro. También fue interesante un bloque que permaneció *in situ*, en el límite de la cista (ver Figura 6.18). En esta capa se encontraron elementos adicionales del adorno y parte de la ofrenda del personaje enterrado (Figuras 6.19 a 6.27). A continuación se hace una mención general de los objetos, pero una tabla con datos cuantitativos se presenta más adelante (Tabla 6.2).

Se recuperaron varios artefactos de piedra verde, como cuentas esféricas y tubulares, posiblemente de collar. Fue encontrada una orejera grande con la forma de una flor, igual a una hallada el año previo. También aparecieron orejeras de menores dimensiones, algunas de ellas tienen forma de flor. Asimismo, se encontró una placa tallada con un motivo que guarda gran semejanza con la representación de una de las placas encontradas en 2014, identificada por Barrientos (comunicación personal 2014) como “deidad de nariz larga”.

En cuanto a objetos de concha se encontraron cuentas de collar de concha *Spondylus*, así como pequeños objetos de concha nácar con agujero, que quizá fueron elementos de orejera u otro adorno. Se contabilizaron varias perlas pequeñas y algunos caracoles marinos pequeños, utilizados como adornos pendientes, puesto que presentan agujero. Asimismo, se encontraron algunas cuentas de collar, posiblemente de pirita. En el presente año como parte de la ofrenda del entierro se recuperaron varias espinas de pez raya. Estas se encontraron erosionadas y en regular estado; algunas de ellas estuvieron fragmentadas y otras se encontraron completas, llegando casi a los 0.20 m de largo. Las espinas estuvieron como un depósito un poco al sureste de donde iría el cráneo del individuo; llamó la atención que este conjunto de espinas parece haberse conservado *in situ*.

En general, los objetos que se asume que corresponderían al adorno del individuo, se encontraron bastante dispersos y sin asociación aparente, ya que algunos llegaban al límite este de la cista (ver Figuras 6.19 a 6.26). Todos los objetos se encontraron entremezclados en un

estrato café obscuro arcilloso, de un grosor promedio de 0.1 m, el cual incluyó algunas piedras pequeñas. Debido a la peculiaridad del estrato, los artefactos fueron recuperados por capas.



Figura 6.18 Detalle de la laja encontrada en el límite este de la cista del Entierro 18 y bloque *in situ* en el límite este de la cista, señalado con la flecha negra (Fotografía por E. Gómez).

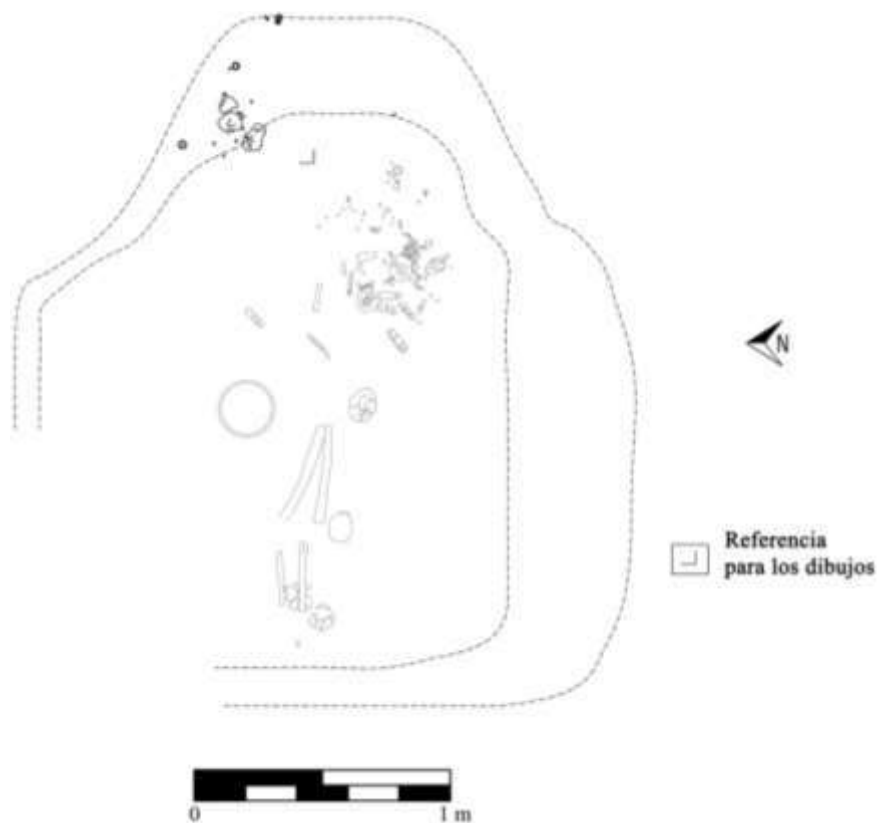


Figura 6.19 Referencia para los dibujos de los objetos encontrados en el límite este del Entierro 18, mostrando algunos elementos de adorno y ofrenda localizados en 2014 y 2015 (Dibujo por E. Gómez).



Figura 6.20 Capa 1 del lote CR32H-18a localizada en temporada 2015 en el límite este del Entierro 18 (Dibujo por E. Gómez).

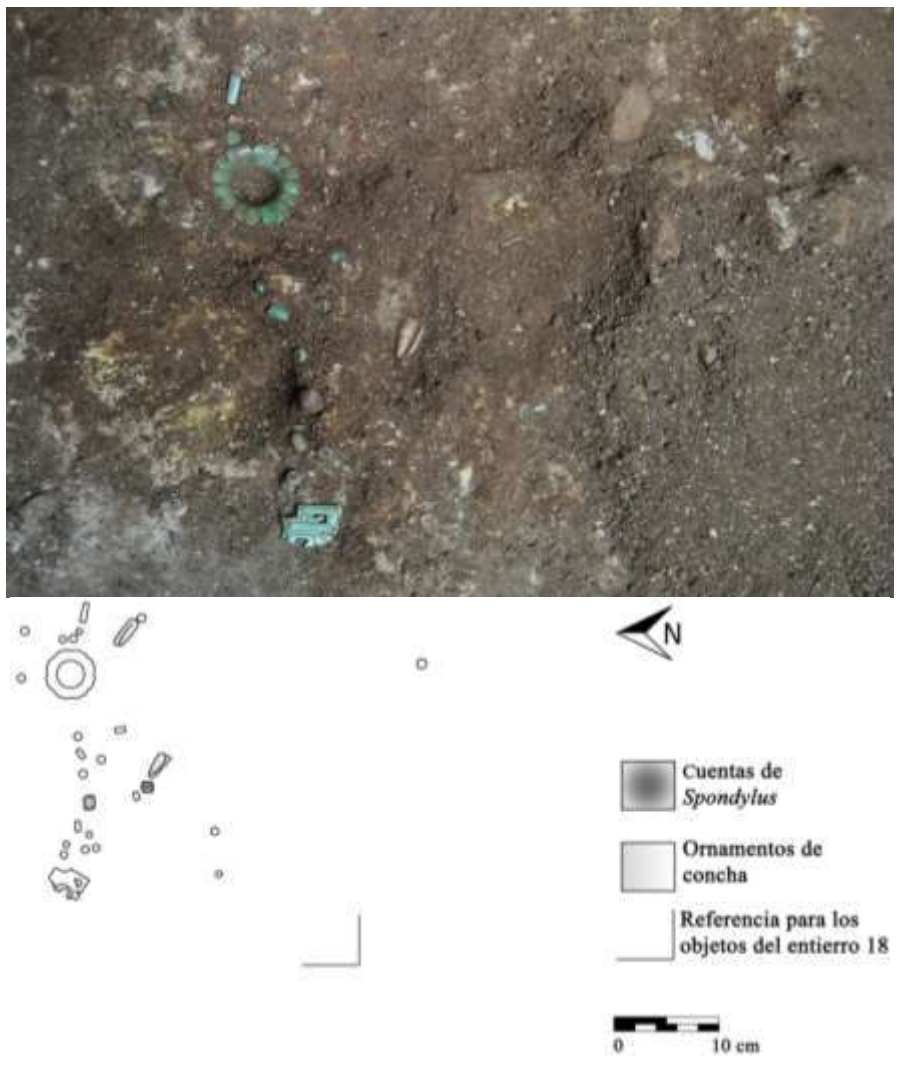


Figura 6.21 Capa 2 del lote CR32H-18a dentro del límite este del Entierro 18 (Fotografía y dibujo por E. Gómez).

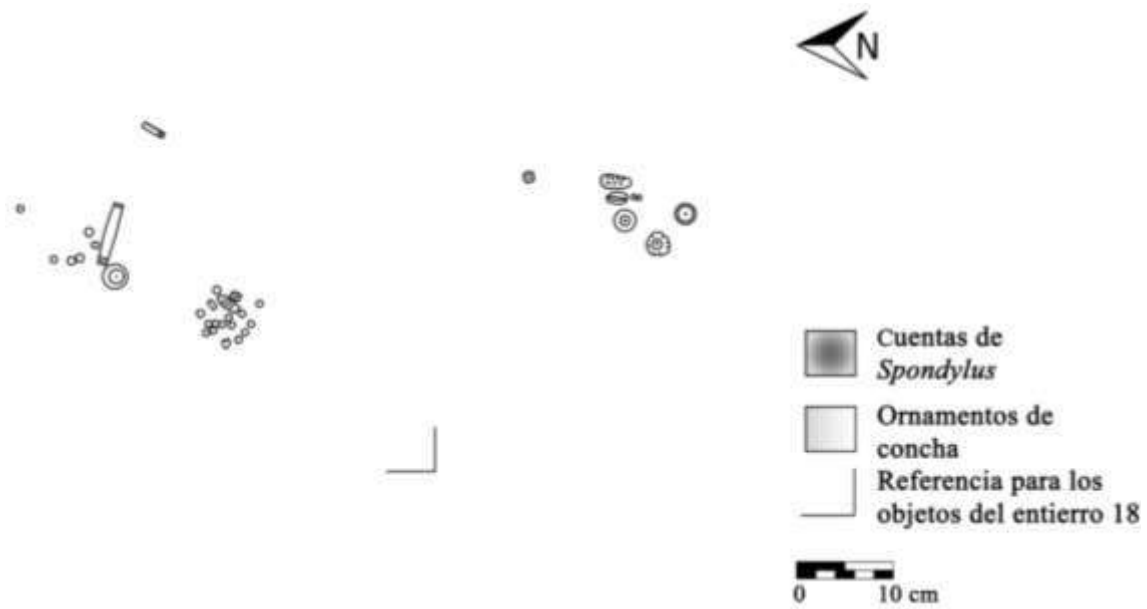


Figura 6.22 Capa 3 del lote CR32H-18a dentro del límite este del Entierro 18 (Dibujo por E. Gómez).



Figura 6.23. Detalle y dibujo de la Capa 4 del lote CR32H-18a dentro del límite este del Entierro 18 (Fotografía y dibujo por E. Gómez).



Figura 6.24 Objetos encontrados en el límite este del Entierro 18, en el lote CR32H-18a (Fotografía por E. Bustamante).



Figura 6.25 Capa 2 del depósito de espinas de pez raya, encontradas en el límite este del Entierro 18, en el lote CR32H-18a (Fotografía por E. Gómez).

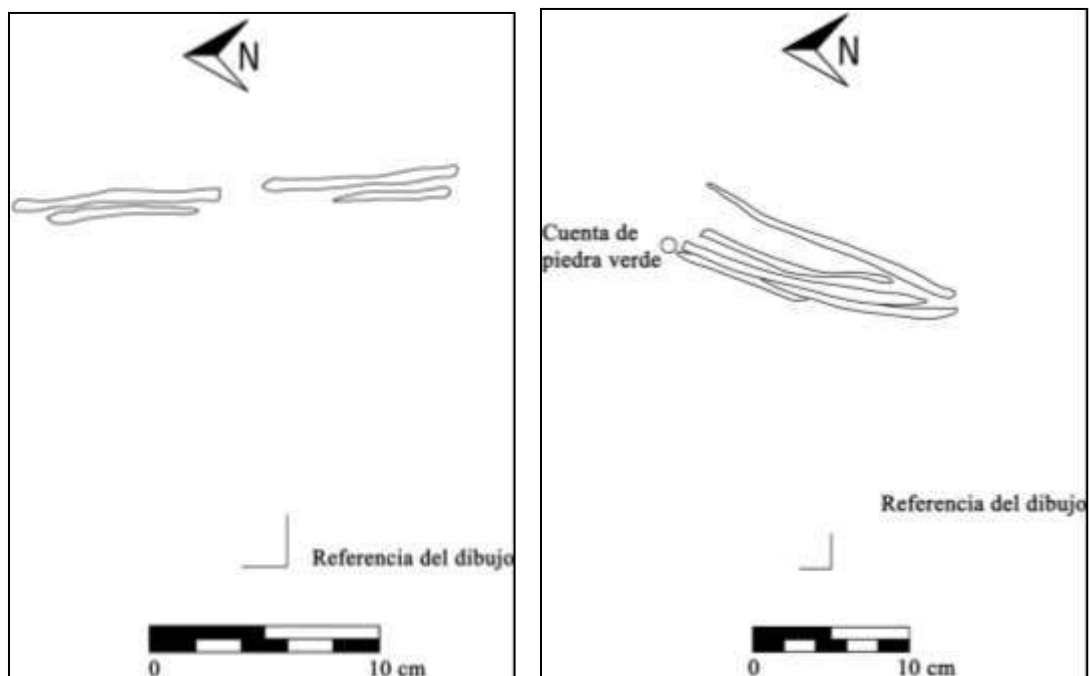


Figura 6.26 Capa 1 y 2 del depósito de espinas de pez raya, encontradas en el límite este del Entierro 18, en el lote CR32H-18a (Dibujos por E. Gómez).



Figura 6.27 Ejemplares del depósito de espinas de pez raya, encontradas en el límite este del Entierro 18, en el lote CR32H-18a (Fotografías por E. Patterson).

Material	Cantidad
PIEDRA VERDE O JADE Cuentas esféricas o tubulares menores a 3 cm Cuentas tubulares de 6 cm Ornamentos (orejeras) Piezas talladas con representaciones iconográficas	62 1 18 1
CONCHA Pendientes de concha Piezas posibles de mosaico Cuentas de <i>Spondylus</i>	20 1 7
RESTOS ÓSEOS DE FAUNA Espina de pez raya	8 (aproximadamente e incluye ejemplos completos y semicompletos)
NOTA: Un conteo en conjunto con los objetos recuperados en 2014 en el Entierro 18 muestra la presencia de materiales como sigue (los materiales incluyen diversas formas, para otros detalles ver Gómez 2015): PIEDRA VERDE: 509 CONCHA: 151 ESPINAS DE PEZ RAYA: 8 (aproximadamente) PIRITA: 16 PEDERNAL: 2 CERÁMICA (Platos): 2	

Tabla 6.2 Materiales asociados al entierro, encontrados en la extensión CR32H-19-18a (Tabla por E. Gómez).

Resumen e interpretación de los resultados de la Temporada 2015

Como un breve resumen se indican enseguida los hallazgos más relevantes de la Temporada 2015. Otros pormenores han sido indicados en la descripción de la arquitectura y Entierro 18, en párrafos previos.

Resumen

Se descubrió la parte frontal de la plataforma o cuerpo ataludado, perteneciente a la Subestructura 13Q-2-Sub 4, la cual se asocia al piso Danta. Así, la subestructura mencionada, constituye la versión más temprana encontrada hasta la fecha del edificio 13Q-2. Aun no es claro si el eje central es el mismo que se ha identificado para las versiones posteriores del edificio, ya que en un registro realizado siguiendo el eje de dichas versiones constructivas no se localizó el acceso a la parte superior de la plataforma. La excavación de la unidad CR32H-23 y del túnel permitió ver los rellenos que fueron colocados al finalizar la etapa de 13Q-2-Sub 4. Hubo capas de relleno de piedra suelta, aunque se advirtieron algunos delgados estratos entre ellas, quizá a manera de compactación.

Por medio de la excavación de pozos y registros se evidenciaron otras características del espacio del entierro que, como se observó desde el año anterior, parece estar demarcado por la Plataforma 13Q-2-Sub 1. Dicha plataforma a la vez cubre el corte de las gradas de la Subestructura 13Q-2-Sub 3. En 2014 este corte se localizó al sur de la plataforma, mientras que en 2015 se definió en sus lados norte y este; ha de anotarse que esos cortes de gradas coinciden exactamente con los límites de la plataforma. Además, se advirtió que los pisos rituales que se encontraron a diferentes niveles sobre el Entierro 18 tienen sus límites que coinciden con los límites de la plataforma 13Q-2-Sub 1. Por los registros realizados fue patente que estos pisos no se integran a rasgos fuera de la plataforma. El piso ritual #1 se integra con el muro de contención denominado en este informe como Muro B, el cual estuvo parcialmente cubierto por la plataforma. Con lo anterior se plantea que todas estas intervenciones o modificaciones habrían perseguido el fin de alcanzar el espacio del entierro, realizando un corte desde el nivel de la escalinata de 13Q-2-Sub 3. Este planteamiento se desarrolla de manera más extensa en los párrafos siguientes, adicionando otros datos de los contextos excavados en la Temporada 2015.

En cuanto a los materiales recuperados, se incrementó la muestra de artefactos del Entierro 18, ya que se encontraron cuentas esféricas y tubulares, orejeras, posibles botones y una

placa tallada, todos de piedra verde. Hubo varios adornos perforados de concha nácar, así como perlas, cuentas de *Spondylus* y caracoles pequeños igualmente con perforación. Asimismo otras pequeñas piezas que probablemente formaron parte de un mosaico de concha nácar. También como parte de la ofrenda se encontraron varias espinas de pez raya (ver descripción referente al Entierro 18).

La ejemplares de cerámica se presentaron en cantidad poco significativa. Un análisis preliminar, en forma muy general atribuye los fragmentos cerámicos al Clásico Tardío. Una muestra mayor en el futuro podría permitir realizar fechamientos más certeros de las subestructuras.

Interpretaciones

Teniendo presente el breve resumen anterior, se proponen interpretaciones relacionadas con la secuencia de eventos de construcción o modificación arquitectónicas

Estructura 13Q-2-Sub 4

Atendiendo a los datos que se obtuvieron en 2015, el primer esfuerzo constructivo identificado corresponde a 13Q-2-Sub 4. Esta subestructura se encontró asociada al piso más antiguo de 13Q-2, denominado Danta. Para reconstruir la posible secuencia de eventos a partir del final de la etapa relacionada con el piso mencionado, se retoman algunas ideas expuestas con anterioridad (ver Gómez 2015), complementadas con otros hallazgos de la presente temporada. Al finalizar la ocupación de 13Q-2-Sub 4 permanecieron vestigios de su plataforma ataludada, misma que conservó una altura de 1.7 m. Es posible que esta haya sido la altura real; la superficie estuvo casi nivelada, sin embargo no mostró acabado. Al pie del talud se encontraron remanentes del piso Danta estucado, aunque erosionado en varios segmentos. Asimismo al cancelar la plataforma 13Q-2-Sub 4, se colocó una ofrenda de terminación sobre el piso Danta, consistente en varios dientes y fragmentos pequeños de huesos humanos, así como navajas de obsidiana (ver Gómez 2015). Es destacable que la colocación de tal depósito coincide con la posición de un nicho que se encontró asociado al piso Venado, que está 0.6 m aproximadamente sobre el piso Danta. Por ello la ofrenda y nicho parecen indicar el eje central por lo menos para 13Q-2-Sub 3 y 13Q-2-Sub 2, aunque ha de recordarse que este también es el eje de la última

versión del edificio. La pequeña estructura 13Q-2-Sub 4 fue cubierta por el basamento monumental de 13Q-2-Sub 3, del cual se ha expuesto fragmentos de su escalinata estucada.

Entierro 18

En el informe de la Temporada 2014 se mencionó de manera más amplia varios elementos del Entierro 18 y su contexto, los cuales llevaron a la suposición de que el enterramiento fue revisitado (ver Gómez 2015). Previo a retomar esa idea, existe la inquietud de descartar o incluir la posibilidad de que haya habido una sola intervención o intrusión para inhumar al difunto.

Las evidencias que permanecieron en las excavaciones demuestran una intervención que se realizó para alcanzar el área del Entierro 18 (pisos rituales y muros de contención). Así, fue notorio que previo a la construcción de la última etapa constructiva de 13Q-2, se abrió un área amplia cortando gradas de 13Q-2-Sub 3. Este corte se evidenció en las unidades CR32H-19, CR32H-20 y CR32H-21. En caso de ser una única intrusión, se llegó directamente a la roca madre, excavando una concavidad para construir una cista burda. Parte de esta construcción fueron las lajas encontradas apiladas en los bordes de la concavidad, y ciertas lajas de bordes redondeados encontradas en el sector central del entierro, las que fungieron como “techo”, cubriendo al difunto.

Si se asume que el entierro responde solamente a la propia intrusión para depositarlo, esta se habría realizado desde el nivel de 13Q-2-Sub 3. Luego se construirían los pisos rituales y la Plataforma 13Q-2-Sub 1. En algún momento indeterminado hubo un colapso de la cista y si hubo un espacio de aire, este fue anulado provocando que todo el espacio fuera invadido por un estrato de tierra, en el cual se encontraron los restos óseos, su ofrenda y ajuar.

Pese a mencionar la idea de una única intrusión, hay ciertos elementos un tanto confusos, tales como la calidad de la cista y una aparente remoción de objetos, que sugieren otro escenario. Entonces, si se tratara solo de una intervención para introducir el entierro, se esperaría típicamente el hallazgo de una cista en mejor estado de conservación y/o quizá, vestigios de una construcción con muestras de mayor inversión de trabajo. Además, la construcción modesta de la cista contrasta con el alto rango adjudicado al personaje inhumado. Igualmente, sin ánimo de una exhaustiva comparación, cabe recordar que en las estructuras 13Q-3 y 13Q-1 de La Corona, en los entierros 3 y 19, respectivamente, sí se han reconocido reingresos (Desailly-Chanson 2012: 211 y Álvarez 2015: 155). Ha de repararse que en estos casos los personajes fueron inhumados

junto a variados artefactos especiales que hacen relacionarlos a la elite del sitio. Sin embargo, en los reportes no se da cuenta de remanentes de construcciones sofisticadas que albergaran tales enterramientos, por lo que aunque es aventurado, no se descarta que hayan sufrido algún tipo de alteración o destrucción. Por otro lado también hay que recalcar que en estos casos se ha encontrado patente evidencia de remoción y extracción de objetos del entierro. Tomando como opuesto otro ejemplo de enterramiento, igualmente de contexto controlado, se hace referencia al Entierro 13 de la Estructura 13R-10 (Ponce 2015). Se trató del entierro de una señora importante de La Corona, la cual presentó restos óseos, ajuar y ofrendas *in situ*, por lo cual se pudo entender la disposición de elementos, incluso del ajuar. Al mismo tiempo, el contexto permitió observar la cista contenedora de la inhumación, delimitada por lajas y colocada sobre el nivel natural de roca caliza. Así, denota una construcción cuidadosamente planificada que soportó eventos constructivos más tardíos, incluso cuando al parecer su techo fue de material perecedero (Ponce 2015: 245). Se menciona este ejemplo a manera de llamar la atención de forma un tanto superficial, a ciertas divergencias entre un entierro en el cual no se reconoció intrusión y otros que según las excavaciones, sí fueron revisitados. Se admite que sería interesante la localización de otros entierros en contextos de elite que puedan aportar elementos para interpretar los actos de revisitas, específicamente en el sitio.

Regresando a la hipótesis del año anterior, se había considerado que el piso Danta fue cortado en el mismo lapso de finalización del uso de 13Q-2-Sub 4, previo a la construcción de 13Q-2-Sub 3. El corte se ha identificado al este, sur y oeste, respetando casi el mismo límite del área de la Plataforma 13Q-2-Sub-1, la cual da inicio cerca de 0.6 m arriba del piso Danta. Ha de recordarse que al norte no hubo evidencia del piso citado, a pesar de que un registro se introdujo 0.5 m hacia tal dirección por debajo del corte de las gradas de 13Q-2-Sub 3. Si un corte de piso estuviera más al norte, la razón constructiva para realizarlo más allá del espacio ocupado por el Entierro 18 es incierta.

En cuanto a la existencia de una cista relativamente suntuosa, por ahora permanece como conjetura puesto que no se distinguieron evidencias claras. En los límites observados en 2014 solamente se presentaron lajas apiladas sin un claro ordenamiento. Durante la temporada del presente año, también se observaron lajas toscamente colocadas en el límite este, y llamó la atención una piedra rectangular *in situ*, que está en el centro y base del extremo este de la cista.

Junto a la pobre calidad de la cista, se adiciona la posición un tanto desordenada de elementos del adorno del individuo. Aun considerando que al ser abandonado el edificio, la acción de raíces alterara el contexto inmediato del entierro, parece dudoso que provocara que los objetos del ajuar se hayan desplazado al punto de que la mayoría de elementos de adorno personal no permanecieran en relación precisa. Además, luego de la intrusión del entierro, se desconoce si sobre el nivel del mismo se construyó una pequeña plataforma, aunque esta opción es especulativa. Como se indicó en el informe de 2014, llama la atención que la base de la Plataforma 13Q-2-Sub 1 muestra una alineación de bloques de buena calidad comparados con otras adiciones que conforman el cuerpo de la plataforma. Otra alternativa es que simplemente se colocó sobre la escalinata de 13Q-2-Sub 3.

Una posible remoción, aunada a la escalinata cortada que se observó en niveles superiores, hace considerar la hipótesis de que el corte pudo responder a un reingreso al entierro. En este punto, ha de cuestionarse si hay datos suficientes para argumentar que el entierro fue revisitado; ya que arquitectónicamente no se distinguieron indicios patentes. En todo caso, la intrusión habría abarcado todo el espacio del entierro. Posterior a una posible revisita, serían realizados ritos evidentes por los restos de quema en los cuatro pisos que se colocaron sobre el nivel del enterramiento. Se considera que estos actos rituales pudieron tener lugar en un lapso no muy extenso, y como parte de modificaciones previas a la construcción de la última etapa constructiva de 13Q-2. Otros elementos constructivos que se enmarcarían como contemporáneos son dos muros de contención (denominados B y C en este informe) en el extremo este de la intrusión, los cuales otorgaron mayor compactación al contexto sobre el entierro. En cuanto a temporalidades asociadas a los eventos citados, es interesante que la cerámica, tanto del Entierro 18 como la relacionada a los pisos rituales, tiene componentes del Clásico Tardío.

Refiriéndose ahora a los materiales del Entierro 18, se anota que durante la Temporada 2015 se delimitó la cista y se recuperó el resto de objetos del ajuar y ofrenda que conservó el enterramiento. Entre los artefactos llamó la atención una placa tallada en piedra verde. Ello debido a que la representación es similar a una placa que fue recuperada en el año 2014, cuyo motivo, en aquella ocasión, fue denominado por Barrientos (comunicación personal 2014) como “deidad de nariz larga”. Barrientos ha planteado que las placas que aparecieron, una en el presente año y otras dos el año anterior, fueron usadas como parte del tocado del personaje inhumado. Igualmente indicó que posiblemente iban dispuestas una a cada lado de la cabeza y

otra al frente. Estos materiales y otros encontrados el año previo indican un alto rango para el individuo al que acompañaban. Es interesante un conjunto de espinas de pez raya que se encontraron como ofrenda. Su posición aproximada fue hacia el lado izquierdo de donde iría el cráneo. Se ha mencionado que hay cierta frecuencia de espinas de raya asociados a entierros masculinos en el Área Maya, según Welsh (1988 citado por Folan y Morales 1996: 21). Sin embargo, éstas también fueron depositadas dentro de inhumaciones de personajes femeninos en sitios como Tikal y Altar de Sacrificios (*Ibid.*). Así para el caso del Entierro 18, el contar con este material tampoco es un indicador factible de género del difunto.

Plataforma 13Q-2-Sub 1

Después de la realización del Muro B, se habría construido la plataforma 13Q-2-Sub 1. Por los registros realizados en 2014 y 2015, fue visible que 13Q-2-Sub1 remata prácticamente dentro de los límites de los pisos rituales. En el registro del corte de gradas del sur, bajo la plataforma, se advirtió que el piso ritual # 2 se une a la huella del sexto escalón de 13Q-2-Sub 3. Esto indicaría que la plataforma fue erigida posteriormente a los ritos realizados en los pisos que cubrían el Entierro 18, tal como fue sugerido en la temporada 2014.

Hasta el momento se ha asumido que la plataforma no estuvo expuesta por un largo periodo, sobre todo debido a su tosco acabado. Además es difícil saber si habría ocupado casi la totalidad del centro. Contando con las dimensiones observadas en las excavaciones, el acceso hacia la parte superior de la pirámide sería dificultoso, tomando en consideración la presencia de una columna a cada lado de la plataforma. No se ha observado tampoco un acceso alterno, aunque las excavaciones han sido limitadas meramente al sector del eje central. Así, más bien se cree que esta plataforma rudimentaria fue parte de los últimos sucesos antes de clausurar la penúltima etapa constructiva de 13Q-2. Luego se colocaría la ofrenda de lascas frente al nicho, pero dentro del relleno de la última etapa constructiva.

Comentarios finales

En cuanto a la revisita o no del entierro, se plantearon dos posibilidades en los párrafos anteriores. Pese a que haya inclinación a sugerir que sí hubo revisita, no hay elementos inconfundibles para aseverarlo como sucede con otros casos en sitios mayas. En cuanto a la totalidad del ajuar y ofrenda del Entierro 18, se demostró la riqueza de objetos de material

foráneo y de acceso restringido, incrementando el inventario del año previo. Además, las insignias que acompañan al personaje lo catalogan como miembro de la élite del sitio, y como han sugerido Barrientos y Canuto (comunicación personal 2014), se trataría de un personaje de la realeza. En cuanto a temporalidades, aun es escasa la muestra cerámica y estudios de restos orgánicos para definir fechas fidedignas para el entierro, su contexto y las etapas constructivas subyacentes a 13Q-2, relacionadas con el piso Venado (13Q-2-Sub 2 y 13Q-2-Sub 3) y Danta (13Q-2-Sub 4).

CAPÍTULO VII

INVESTIGACIONES ARQUEOLÓGICAS EN LA CARIBA, TEMPORADA 2015

David Chatelain y Jesús Alejandro González

Introducción

La Cariba es un centro satélite localizado a 4.21 km al suroeste de la Plaza Principal de La Corona; este se sitúa en una elevación natural con vista al Río La Cariba al suroeste. Luego de su descubrimiento en 2009 por Damien Marken (2010), el sitio fue totalmente mapeado durante la temporada 2012 por David Chatelain, Maxime Lamoureux-St-Hilaire y Evan Parker (Chatelain *et al.* 2013). El sitio consiste en cinco grupos arquitectónicos distribuidos en un área de 27,550 m², o 2.76 hectáreas.

Las primeras excavaciones realizadas en el sitio se dieron en 2014, e incluyeron siete pozos de prueba en cinco de las plazas, limpieza y perfilamiento de tres trincheras de saqueo, y excavación de un túnel en la Estructura A-5 al este de la Plaza Principal o Plaza A (Chatelain 2015). Los resultados de las excavaciones de prueba sugirieron inicialmente un periodo de ocupación en el Preclásico Tardío, un posible decline o inclusive un abandono durante el Clásico Temprano, y una subsecuente ocupación en el Clásico Tardío, con un abandono del sitio hacia el final del Clásico Tardío. En la Plaza A, un pozo de prueba reveló dos periodos constructivos sustanciales durante el Preclásico Tardío, que elevaron esta sección en una gran plataforma basal. La fase inicial incluyó una plataforma baja y burda, ubicada aproximadamente en el centro de la plaza. No se observaron pisos o rellenos del Clásico Tardío, pero probablemente hubo un piso Clásico Tardío dispuesto inmediatamente sobre el segundo piso Preclásico Tardío, que subsecuentemente se erosionó. Los perfiles de las trincheras de saqueo en las estructuras que rodean la plaza principal sugieren que para estas estructuras solo hubo fases constructivas en el Clásico Tardío, puesto que varias de las trincheras de saqueo cortaron las estructuras. Un túnel fue excavado bajo el nivel de la trinchera de saqueo en la Estructura A-5, siguiendo el piso Preclásico Tardío de la plaza, pero no se halló ninguna fase arquitectónica temprana. En su lugar, un entierro de tres individuos fue recuperado: una mujer adulta, un joven, y un infante, posiblemente asociado con la fase terminal.

En la plaza B al norte, se registró una fase Preclásico Tardío, pero nuevamente la presencia de cerámica Clásico Tardío cerca de la superficie sugiere un posible piso Clásico Terminal erosionado o informal. En la Plaza C, se encontraron tres fases Preclásico Tardío, nuevamente con la posible presencia de un piso Clásico Terminal erosionado o informal. La Plaza D, en el área sureste del sitio, tiene una fase constructiva inicial del Preclásico Tardío seguida por una gran fase del Clásico Tardío, con una gran ofrenda de vasijas policromas, con algunos dientes de infantes. Esta fue la única plaza formal construida para el Clásico Tardío en el sitio. La Plaza F, localizada entre las plazas A y D, fue posiblemente construida en el período Clásico Tardío, pero no se tiene evidencias de un piso estucado formal.

En resumen, los resultados preliminares sugerían que La Cariba era un centro Preclásico Tardío que presentó un declive o abandono durante el período Clásico Temprano. En el Clásico Tardío el sitio fue reocupado, con construcciones primeramente enfocadas en las estructuras más que en las plazas. Estos resultados proveyeron un marco para interpretar los resultados de las investigaciones en 2015.

La Temporada 2015 se enfocó en dos de las estructuras más grandes del sitio: A-1 y C-1 (Figura 7.1). Los objetivos de esta temporada fueron (1) exponer la arquitectura terminal de los dos edificios; (2) realizar excavaciones verticales de las estructuras para entender su historia constructiva; y (3) localizar cualquier depósito de basura con la Estructura C-1. Las investigaciones fueron comprendidas en tres sub-operaciones: CAR2A, CAR12B y CAR12C. Las excavaciones en la Estructura A-1 fueron designadas como sub-operación CAR2A e incluyeron excavaciones horizontales de la arquitectura terminal y excavaciones verticales dentro del edificio. Las excavaciones en la Estructura C-1 fueron designadas como sub-operación CAR12B e incluyeron excavaciones horizontales de la arquitectura terminal y excavaciones verticales. La sub-operación CAR12C incluyó tres unidades localizadas directamente tras la Estructura C-1 para buscar cualquier depósito de basura asociado con la estructura.

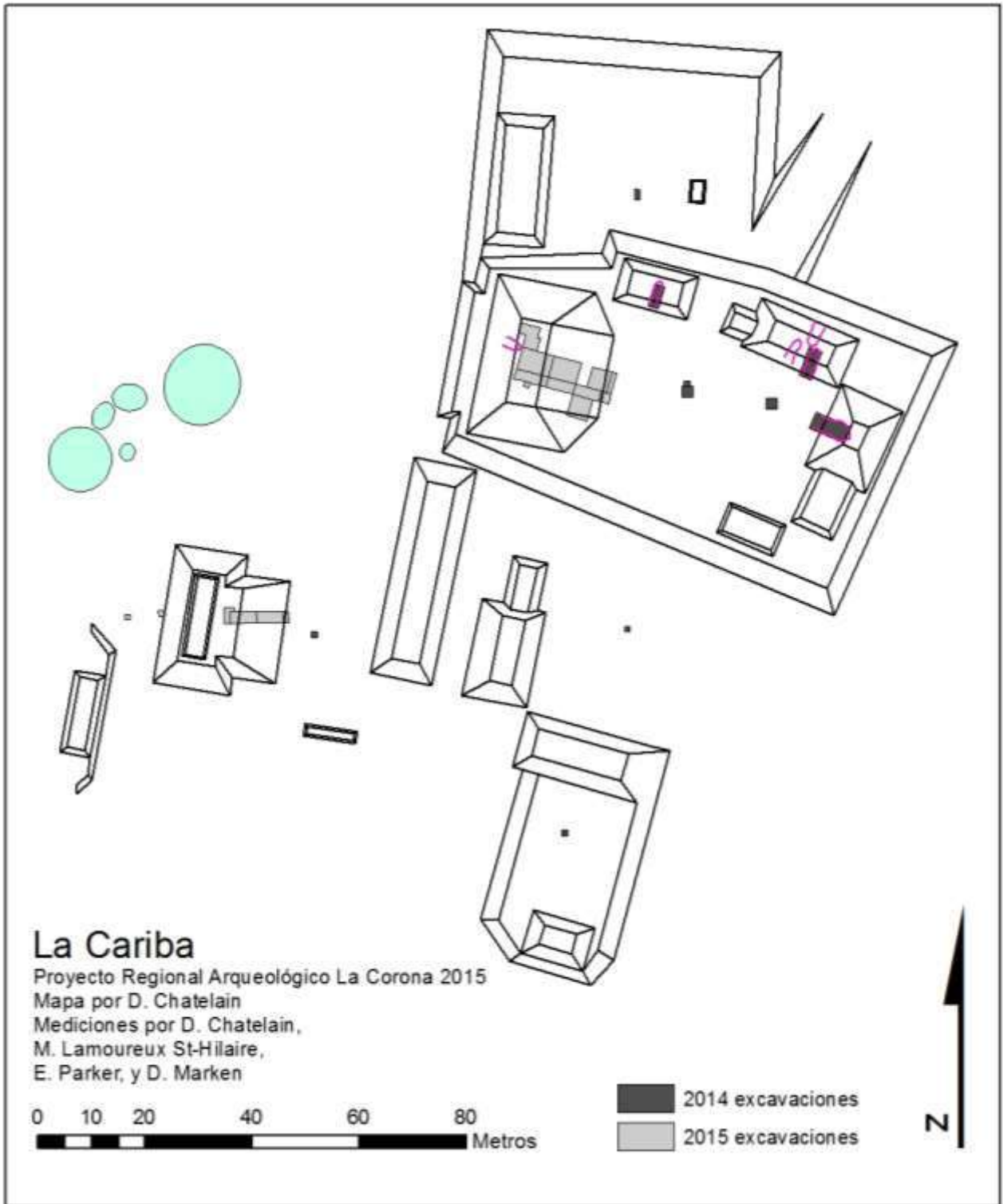


Figura 7.1. Mapa de La Cariba (Mapa por D. Chatelain).

Sub-operación CAR2A

La sub-operación CAR2A fue excavada durante toda la temporada y la localización relativa de cada unidad se encuentra ilustrada en la Figura 7.2. Esta sub-operación empezó como una trinchera de 2 x 10 m iniciando en la base de la Estructura A1 y avanzando al oeste; consistía de dos unidades, CAR2A-1, y CAR2A-2 (Figura 7.3). Subsecuentes unidades fueron adheridas para expandir el área de excavación, para un total de 11 unidades (CAR2A-1 a CAR2A-11). Todas las unidades en la sub-operación CAR2A fueron orientadas con un azimut de 20° para aproximarse a la orientación que la estructura aparenta en su superficie. El objetivo de esta sub-operación fue exponer la arquitectura terminal de la Estructura A-1, desde la base de su escalinata frontal hasta la superestructura y excavar verticalmente para localizar cualquier construcción temprana. Se les asignó nombres a las fases constructivas, los cuales pueden ser modificados en futuras temporadas basándose en los nuevos datos. Las excavaciones se basan primeramente en estratos naturales/culturales, aunque en algunos casos se usaron niveles arbitrarios, y todo el material fue cernido en cedazos de ¼ de pulgada. Una tabla de todas las unidades, lotes, y materiales recolectados se incluye al final de este capítulo (Tabla 7.1).

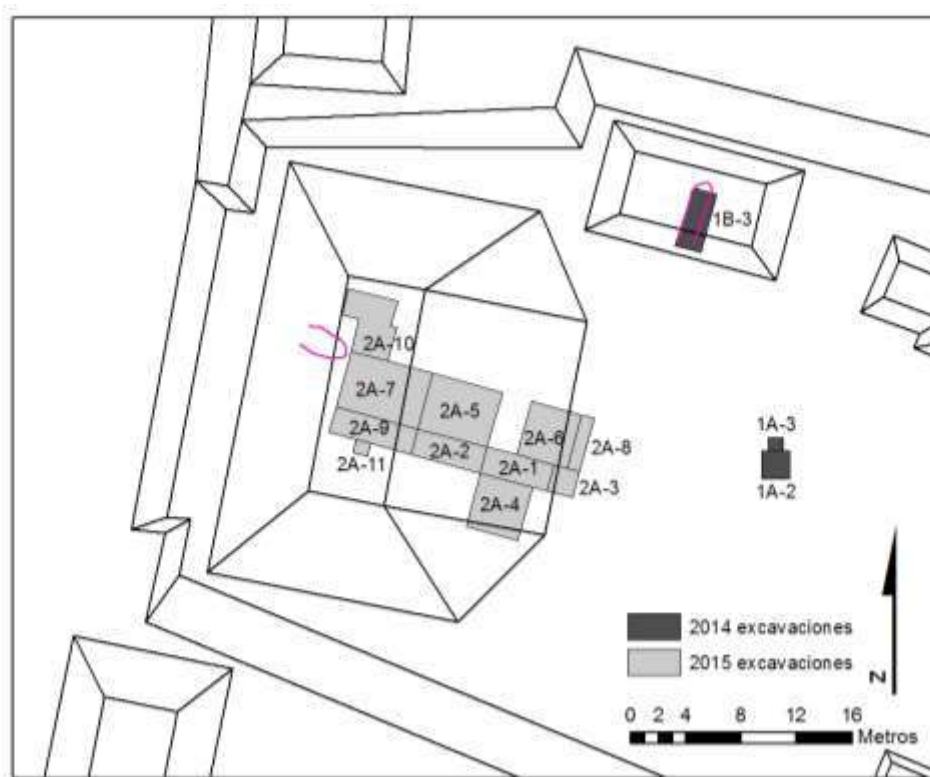


Figura 7.2. Ubicación de unidades en la Sub-operación 2A (Mapa por D. Chatelain).

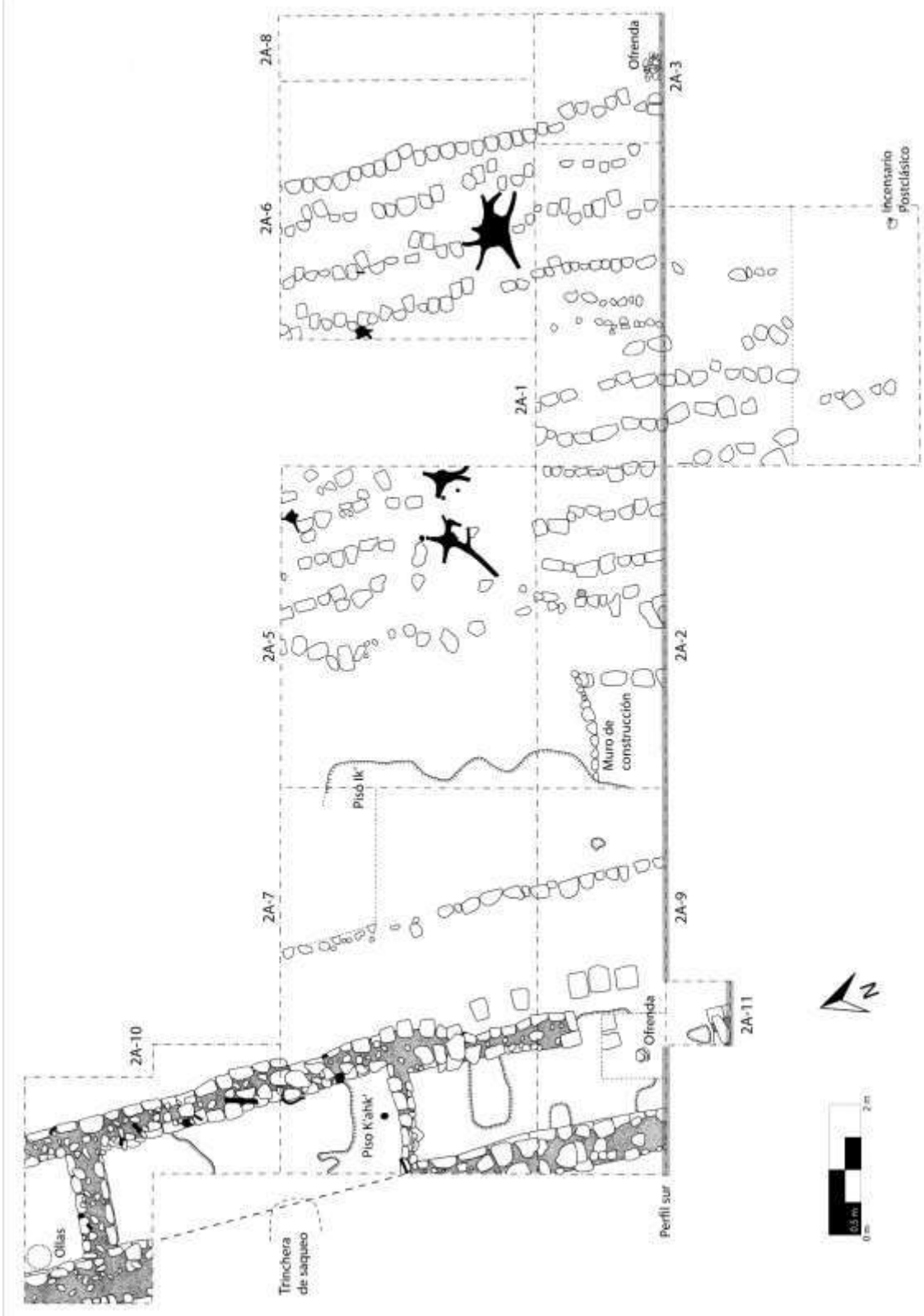


Figura 7.3. Planta de la Sub-Operación CAR2A (Dibujo por D. Chatelain).

Excavaciones

La sub-operación CAR2A empezó como una trinchera de 2 x 10 m que avanzaba sobre el frente de la Estructura A-1; consistía en dos unidades de 2 x 5 m: unidades CAR2A-1 y CAR2A-2 (Figura 7.4). Esta trinchera fue localizada justo al sur del eje central, el cual presentaba varios árboles grandes.

Unidad CAR2A-1

Solo un estrato fue excavado, el cual consistió de humus y algunas pocas piedras de derrumbe. Este estrato incluyó los lotes 1 y 2. Bajo este estrato se descubrió la escalinata frontal de la estructura (Fase *K'ahk'*), con cinco líneas de escalones intactas dentro de la unidad. Una línea de escalones (Escalón 5) parecía haberse derrumbado completamente, pero basándonos en el promedio de la huella y altura de cada escalón, la existencia de este escalón puede ser inferida. Cada escalón era de entre 0.7 y 0.8 m de ancho y entre 0.3 y 0.4 m de altura. Los tres escalones más bajos encontrados en la unidad presentan una construcción formal y bloques de piedra caliza de alta calidad, mientras que los escalones superiores parecieran menos formales, contruidos con piedra caliza de baja calidad. Los paneles de los escalones de alta calidad eran por lo general de entre 0.15 y 0.3 m de ancho, presentando una cara plana al frente y otra curvada en la parte posterior. La orientación de estos escalones fue aproximadamente de 10° este del norte.

Unidad CAR2A-2

Esta unidad fue trazada al oeste de la Unidad CAR2A-1, subiendo la fachada del edificio. Eventualmente fueron excavados seis estratos dentro de esta unidad, y cinco fases/renovaciones fueron encontradas. Inicialmente, el humus y el derrumbe fueron removidos (estrato 1, lote 1), revelando cuatro líneas más de escalones. Una cuenta tubular de jade fue recuperada sobre el octavo escalón de la escalinata. Tras el onceavo escalón, la escalinata se encontró completamente colapsada. Aquí, bajo el humus, el estrato 2 (lote 2-4) consistió en un barro café-caramelo con piedras de tamaño regular (entre 0.1 y 0.2 m) asociado con la fase terminal de la estructura (Fase *K'ahk'*). Bajo este relleno terminal, un piso de estuco muy erosionado pero visible fue encontrado cerca del límite oeste de la unidad, designado como Piso *Ik'*.

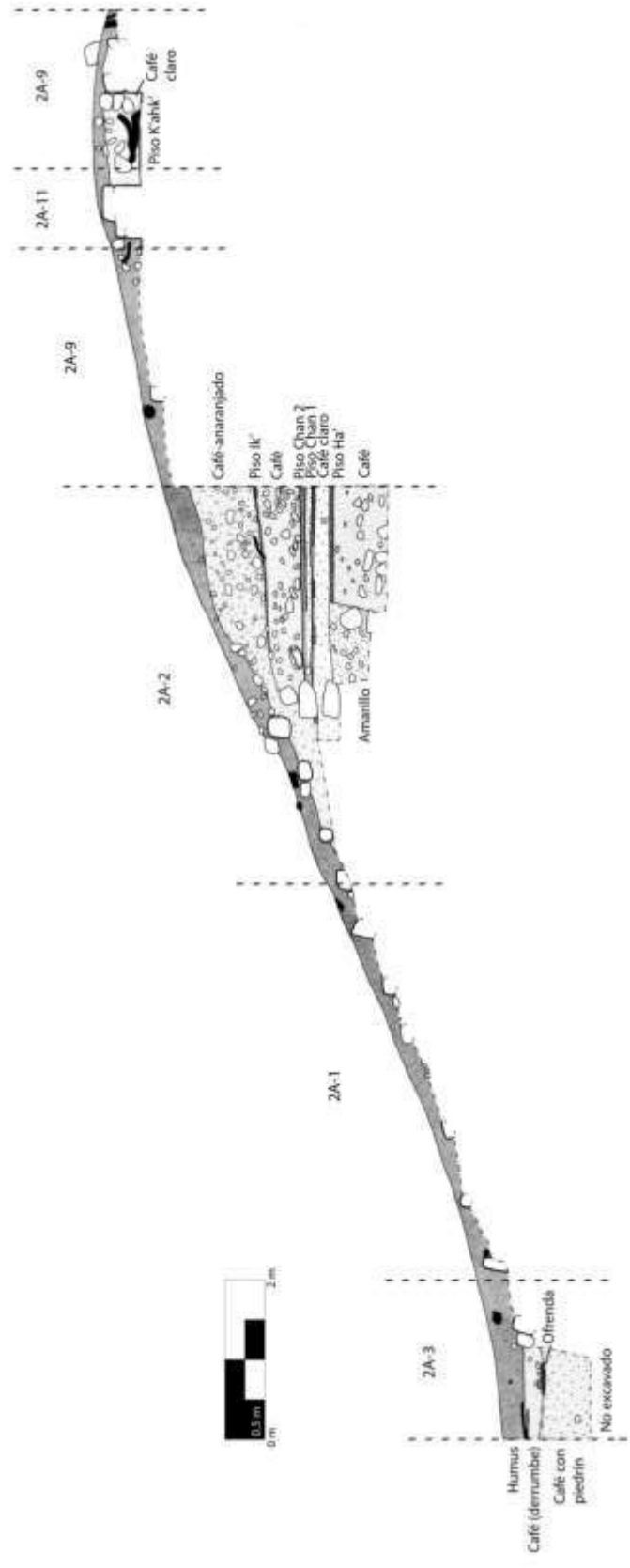


Figura 7.4. Perfil Sur de la Sub-operación CAR2A (Dibujo por D. Chatelain).

Este piso parece articular con un bloque de piedra caliza fina en el muro sureste de la unidad, el cual pudo haber marcado el límite del muro frontal adosado en esta fase temprana, la cual fue luego renovada con el Piso *Chan 2*. Los lotes 7 y 8 continuaron bajo el Piso *Chan 1*, en el estrato 5. Aquí, el mismo relleno compacto color café claro con piedrín fue encontrado, apoyando la idea que el Piso *Chan 2* fue una renovación asociada con el Piso *Chan 1*. Dentro de este estrato, en el muro oeste, se encontraron dos piedras verticalmente alineadas y probablemente asociadas con la fase temprana. A 0.2 m bajo el Piso *Chan 1*, se encontró el Piso *Ha'*, pero este se estrechó hasta cerca de 2.3 m (este-oeste), entre el límite oeste de la unidad y las piedras verticalmente alineadas. Dos tipos de relleno fueron encontrados en este estrato, un relleno café suave con piedras pequeñas de tamaño regular (0.1 a 0.2 m) en el área oeste bajo el Piso *Ha'* (cerca de 1.5 m) y un relleno amarillo con rocas en el área este bajo el Piso *Ha'* (cerca de 0.8 m). Dentro de este estrato, también se encontró un alineamiento de piedras burdas que corre norte-sur dentro del relleno café. Este pudo haber sido la superficie de un muro constructivo u algún otro rasgo. Desafortunadamente no se contó con el suficiente tiempo en la temporada para definir este rasgo, y el lote 9 se cerró arbitrariamente al final de la temporada.

Unidad CAR2A-3

Esta unidad adicional de 2 x 2 m fue adherida a la trinchera, ubicándose al este del límite de la Unidad CAR2A-1. Esta unidad fue designada para localizar el escalón final en la base de la escalinata, y excavar verticalmente al frente para determinar la relación entre la base de la estructura y la plaza. Tres estratos y ocho lotes fueron excavados en la unidad. El estrato 1 (lotes 1-2) consistieron en humus y algunas piedras derrumbadas. Bajo el humus, un escalón más fue encontrado, construido con paneles de piedra caliza de gran calidad. Las excavaciones continuaron frente (al este) de este último escalón y dentro del área de la plaza. Designado como estrato 2 (lotes 3-7), pareciera haberse derrumbado de la Estructura A-1 y comprende una matriz café con piedras colapsadas. Dentro de este estrato se encontró una concentración de fragmentos de cerámica (Figura 7.6), la cual fue excavada en 5 lotes y en un registro de 0.2 x 0.7 m en el límite sur de la unidad (lote 6). No se encontró evidencias de un piso estucado sobre o bajo esta concentración, por lo que es difícil confirmar si este depósito pudo haber sido una ofrenda dedicatoria o parte de un evento de terminación. Sea cual sea, el relleno cambió justo bajo este

depósito de cerámica, por lo que parece que pudo haber sido algún tipo de depósito de terminación dejado en la superficie.



Figura 7.6. Concentración de fragmentos de cerámica, Lote CAR2A-3-2-5 (Fotografía por D. Chatelain).

Bajo este nivel, la matriz cambió a un relleno café oscuro con piedras de caliza de tamaño regular (0.1-0.2 m) y piedrín, designado como estrato 3 (lote 7-8). Este estrato corresponde al final de la fase Preclásico Tardío de la plaza, encontrada en las unidades CAR1A-1, CAR1A-2, y CAR1A-3 en la Temporada 2014 (Chatelain 2015). Una vez este estrato fue claramente identificado como el relleno de la fase final de la plaza, el lote fue cerrado arbitrariamente. No se encontraron pisos o rellenos del Clásico, lo cual presenta el mismo patrón que lo visto en los pozos de prueba hechos en la Plaza A. Entonces, puede que durante la ocupación Clásico Tardío de La Cariba simplemente se re-estucaron los pisos del Preclásico Tardío, sin colocar una nueva capa de relleno. Este comportamiento también pudo ser visto en el Grupo C (ver Unidad CAR12B-3).

Unidad CAR2A-4

La Unidad CAR2A-4 se amplió agregando una extensión de 4 x 4 m al sur de la Unidad CAR2A-1, con el objetivo de localizar una extensión al sur de la escalinata y así poder estimar su

ancho. El primer estrato (lote 1) fue humus con algunas piedras derrumbadas. Cerca de la esquina sureste de la unidad, justo bajo la superficie, se recuperó un incensario Postclásico aún completo (Figura 7.7). El barro dentro del incensario fue guardado para futuros análisis.



Figura 7.7. Incensario Postclásico, Lote CAR2A-4-1-1 (Fotografía por D. Chatelain).

Parte de tres o posiblemente cuatro escalones continuaron dentro de la Unidad CAR2A-4, pero todos los escalones parecen haberse derrumbado hasta 5 m al sur del límite norte de la unidad. Tampoco se encontró un límite claro de la escalinata al sur. Las excavaciones continuaron más abajo en la mitad sur de la unidad (2 x 4 m) en el lote 2, esperando encontrar un muro adosado al edificio, pero no se encontró ningún muro. Para el momento que el lote 2 fue cerrado arbitrariamente, este pareció ser una mezcla de dos estratos, un relleno café caramelo correspondiente a la fase terminal *K'ahk'*; y un barro compactado café claro con una gran cantidad de pedrín y gravillas, asemejándose a los estratos 4 y 5 de la Unidad CAR2A-2 y corresponde a la fase temprana *Chan* (Figura 7.8). Asociado con este estrato temprano, tres pequeños paneles de piedra caliza tallada se encontraron alineados, con una orientación similar a la de la fase terminal *K'ahk'* de la estructura. Estos pueden pertenecer a una parte del muro

adosado a la estructura, el cual puede correlacionarse a la estratigrafía y rasgos vistos en la Unidad CAR2A-1. En este caso, la escalinata de la fase terminal pareciera haberse ampliado considerablemente en comparación a la escalinata de la fase temprana, por al menos dos metros al sur.

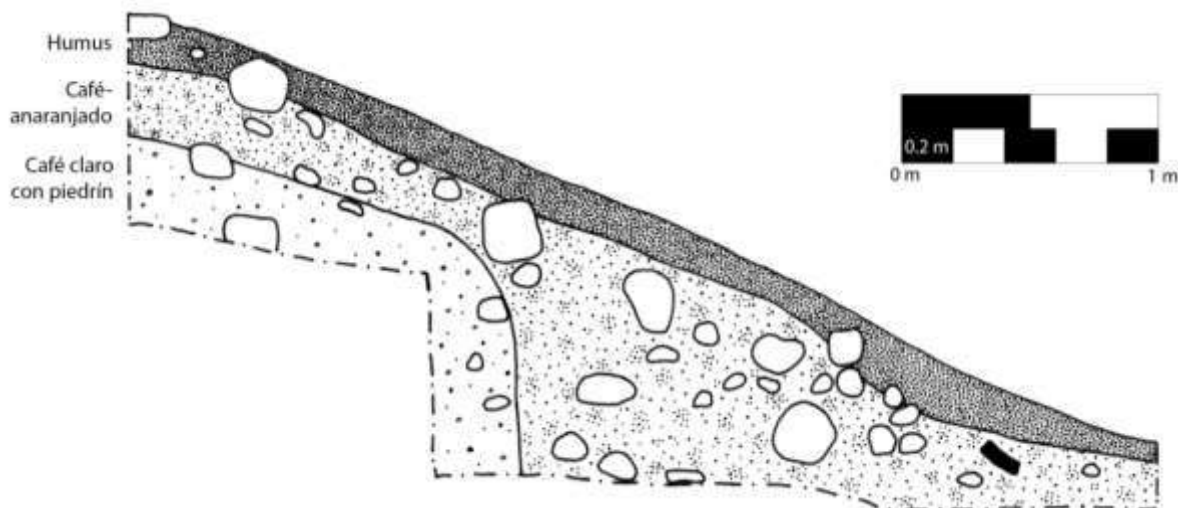


Figura 7.8. Perfil central, Unidad CAR2A-4 (Dibujo por D. Chatelain).

Unidad CAR2A-6

Esta unidad de 4 x 4 m fue trazada al norte de las unidades CAR2A-1 y CAR2A-3. Tuvo el objetivo de exponer más de los cuatro escalones inferiores a lo largo del eje central. Bajo la capa de humus, estrato 1, las cuatro líneas de escalones continuaron con paneles de piedra caliza de la misma calidad superior, algunos de los cuales aún presentan pigmento rojo en su cara frontal. La Unidad CAR2A-6 fue excavada más abajo en el frente (al este) del escalón más bajo en el área de la plaza, para localizar cualquier posible escondite u ofrenda en el eje central de la estructura. El lote 2 (estrato 2) consistió de colapso frente la estructura, con una matriz de barro café claro. Junto con este estrato, un fragmento de monumento esculpido fue recuperado. Eventualmente se confirmó que este se trata de un fragmento del Altar 1, el cual fue originalmente recuperado en fragmentos en la superficie cerca del límite sur de la Plaza A en 2009 (Marken 2010). Este nuevo fragmento (Fragmento F) fue encontrado 0.32 m bajo la superficie, justo sobre la superficie original de la plaza, lo cual sugiere que fue posiblemente el lugar original del altar en la Plaza A, frente el eje central de la Estructura A-1. No se encontraron otros fragmentos del altar en la Unidad CAR2A-6. Bajo este estrato se encontró el estrato 3

(lotes 3-4), el cual presentó un relleno café-oscuro con piedras pequeñas de tamaño regular (0.1-0.2 m), este corresponde a la fase Preclásico Tardío de la plaza. El lote 4 fue cerrado arbitrariamente cuando fue claro que no había ofrenda.

Unidad CAR2A-8

Se agregó esta unidad de 4 x 1 m al este de la Unidad CAR2A-6, para localizar cualquier fragmento *in situ* del Altar 1. Se excavó hasta una profundidad de 0.54 m en un solo lote, y se cerró arbitrariamente. No se encontró ningún fragmento más del altar.

Unidad CAR2A-5

La Unidad CAR2A-5 fue una extensión de la Unidad 2A-2 al norte, para seguir los rasgos arquitectónicos encontrados en la Unidad CAR2A-2 a lo largo del eje central. El estrato 1 (lote 1) fue el humus, y los escalones 7 a 11 continuaron a través de la unidad. La escalinata se encontró completamente colapsada arriba del escalón 11, lo mismo que en la Unidad CAR2A-2. El Estrato 2 (lote 2) fue el mismo barro café caramelo de la fase terminal *K'ahk'* y fue excavado al oeste del escalón 11. Bajo esta capa, se encontró el Piso *Ik'* a través de la extensión de la unidad y cerca del límite oeste, aunque éste se encontraba fuertemente erosionado. Un corte de 1 x 1 m a través del Piso *Ik'* (lote 3) fue excavado posteriormente al suroeste de la esquina de la unidad, con el objetivo de comparar la estratigrafía a ambos lados del muro curvado localizado en la Unidad CAR2A-2. Se encontró el mismo barro café claro suelto con piedrín (estrato 3) al igual que al otro lado del muro, apoyando la identificación de este rasgo como un muro constructivo asociado con el estrato 3 y la fase *Ik'* del edificio.

Unidades CAR2A-7, CAR2A-9, CAR2A-10 y CAR2A-11

Estas unidades continuaron hasta ya adentrada la Estructura A-1 e incluyeron la superestructura y el inicio de la cima. Se removió el humus (estrato 1) y fue tomado como lote 1 en todas las unidades. En las unidades CAR2A-7 y CAR2A-9 se encontró el último escalón antes de la cima, el cual compartía la misma orientación 10° E del N encontrada en la parte inferior de la escalinata. En la Unidad CAR2A-9 aún se conservaba una porción del recubrimiento de estuco

del último escalón. Una sección de 1.5 m de ancho (norte-sur) fue excavada en la Unidad CAR2A-7 (lote 2) al este del último escalón. Dicho lote fue designado para evaluar la conexión entre el Piso *Ik'* y el escalón final de fase terminal. Se excavó el lote CAR2A-7-2 y eventualmente se encontró el Piso *Ik'*, el cual continuó bajo el escalón final de la escalinata de la fase terminal, confirmando que se tratan de dos fases separadas. El Lote CAR2A-7-2 presentó un relleno café caramelo, el mismo visto en la fase terminal *K'ahk'*.

La superestructura de la Estructura A-1 se encontró inmediatamente bajo el humus en las unidades CAR2A-7, CAR2A-9, CAR2A-10 y CAR2A-11. Se excavó el interior de los cuartos y fueron tomados como lotes separados; en todos los casos su matriz consistió en derrumbe café claro con piedras colapsadas de los muros. Tres cuartos (A-1A, A-1B, y A-1C) fueron excavados (Figura 7.9), de los cuales se excavaron 5 m del Cuarto A-1A, el cuarto más al sur. La puerta al Cuarto A fue de 2 m de ancho, entre 1.2 y 1.4 m de profundidad. El piso estucado del cuarto (Piso *K'ahk'*) se encontró muy bien preservado, y no se encontró material sobre el piso.



Figura 7.9. Superestructura, Est. A-1 (Fotografía por D. Chatelain).

Un lote de 1 x 1 m (CAR2A-9-3) fue excavado en el umbral de la puerta con el objetivo de encontrar un posible entierro. No se encontró ningún entierro, pero se encontró una ofrenda consistente de dos vasijas parciales fechadas para el Clásico Temprano (Figura 7.10). Una de las vasijas parciales fue un cuenco Balanza Negro con una pequeña pestaña, mientras que el otro fue un cuenco, de tipo indeterminado con engobe negro, trípode cilíndrico con paredes evertidas y soportes huecos e impresiones de textiles (Caroline Parris, comunicación personal 2015). Junto a las vasijas se encontraron dos bloques tallados que se encontraron alineados. Puede que estos

fueran parte de una superestructura anterior o algún otro rasgo no determinado, puesto que no hubo tiempo suficiente en la temporada para ampliar las excavaciones.



Figura 7.10. Ofrenda de dos vasijas parciales del Clásico Temprano (Fotografía por D. Chatelain).

El Cuarto A-1B de la superestructura continuó al norte, separado del Cuarto A por un muro divisorio de entre 0.35 a 0.4 m de ancho. La cara sur del muro divisorio (en el Cuarto A) no se encontró bien definida, mientras que la cara norte (en el Cuarto B) estuvo bien definida por piedras talladas. El cuarto es de 1.44 m de ancho y 4.6 m de largo. El piso estucado del Cuarto B también se encontraba muy bien preservado, pero erosionado cerca del centro del cuarto. El piso en este cuarto es unos 0.06 m más alto que el piso en el Cuarto A. De manera extraña no se encontró una puerta en el Cuarto B, a pesar de los intentos de localizarla. Una posibilidad es que la puerta fue clausurada en algún momento, pero los intentos de encontrar alguna jamba en el muro frontal fueron infructíferos. Es posible que la puerta se encontrara en el muro trasero, aunque el muro posterior fue visible en la superficie y no presentó espacio para una puerta, pero este muro se encontró cortado unos 0.8 m por una trinchera de saqueo superficial. Dos posibilidades parecen las más probables: (1) que la puerta existió originalmente pero fue clausurada y no se encontró durante las excavaciones, o (2) que los cuartos A y B conformaban originalmente un solo cuarto que luego fueron separados por el muro divisorio. La segunda

posibilidad es la más improbable, puesto la diferencia de alturas entre ambos pisos. Una vez más, no se encontró material sobre el piso del Cuarto B.

Unidad CAR2A-10

El Cuarto A-1C fue parcialmente excavado por la Unidad CAR2A-10. Este cuarto continuó al norte del Cuarto B y se encuentra separado del anterior por un muro divisorio de 0.56 m de ancho, con piedras talladas en ambas caras del muro. El cuarto fue de 1.6 m de ancho y no se encontró un piso estucado, aunque una balastada bajo piso pudo haber empezado a 0.3 m bajo el nivel de piso del Cuarto B. Junto con el derrumbe, se encontró una concentración de fragmentos de cerámica en la esquina noroeste del cuarto, en los límites de la Unidad CAR2A-10 y como parte del lote 3. Esta concentración probablemente continúa al norte del límite de la unidad, pero debido a falta de tiempo en la temporada no se continuó con la excavación. Un total de 127 fragmentos fueron recuperados en este depósito. Cincuenta fragmentos del lote 3 pudieron ser dispuestos para reconstruir casi por completo una tinaja Encanto Estriado con cuello evertido (Figura 7.11). Un segundo grupo permitió reconstruir parcialmente el cuerpo de una segunda tinaja Encanto Estriado que se encontró más allá del límite de la Unidad CAR 2A-10. Un tercer grupo sirvió para reconstruir la base de una vasija utilitaria de paredes gruesas que pudo haber sido reusada como una tapadera.



Figura 7.11. Tinaja Encanto Estriado, parcial (Fotografía por D. Chatelain).

La superestructura de la Estructura A-1 era claramente una estructura perecedera con muros bajos de mampostería. El muro frontal aún se encuentra en pie hasta una altura de 0.3 a 0.5 m, y se encuentra construido por piedras grandes talladas en su sección que da a la cara exterior del muro (Figura 7.12). La cara interior del muro frontal presenta un acabado mucho más burdo y poco definido, y probablemente pudo haber presentado estuco en la antigüedad, aunque no se encontró remanentes de estuco en el muro. El muro frontal mide entre 0.55 y 0.7 m de ancho. El muro posterior aún en pie alcanzó entre 0.8 y 0.9 m de alto, y fue construido con piedras talladas grandes. La cara interior del muro posterior se encuentra bien definida por piedras finamente talladas, mientras que la cara exterior no se encontró totalmente definida, dado los límites de la excavación, pero el muro pareciera tener entre 0.7 y 0.9 m de ancho.

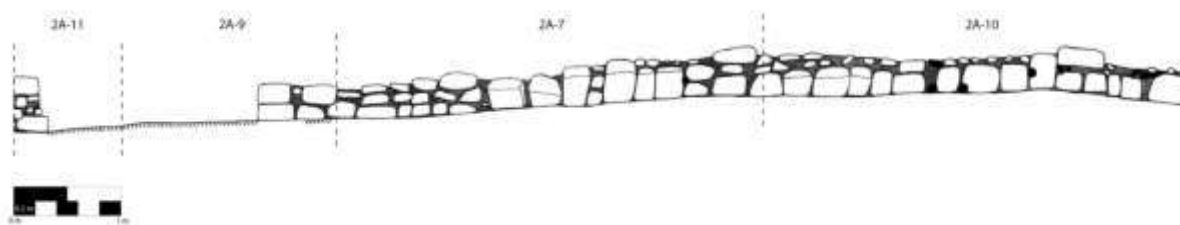


Figura 7.12. Elevación de la superestructura de la Estructura A-1 (Dibujo por D. Chatelain).

Resultados/Conclusiones

Las excavaciones de la sub-operación CAR2A revelaron una parte de la historia constructiva de la Estructura A-1, consistiendo en una fase del Clásico Tardío y tres fases del Preclásico Tardío. Las excavaciones verticales no alcanzaron el nivel de la plaza temprana, por lo que puede que aún no se hayan identificado fases constructivas más tempranas. La fase más temprana conocida, designada como Fase *Ha'*, parece estar fechada para el período Preclásico Tardío, identificación basada en la cerámica recuperada dentro del relleno. La siguiente Fase *Chan* expandió el edificio hasta cerca de su tamaño final, según lo observado en el relleno recuperado en la Unidad CAR2A-4. Esta fase incluye también una modesta renovación. El edificio creció verticalmente en la Fase *Ik'*, la cual también parece datar para el período Preclásico Tardío. Se pudo distinguir el piso de esta fase, pero se encontraba muy erosionado, sugiriendo que esta fase fue abandonada por algún tiempo antes de que el edificio experimentara otra fase constructiva. De hecho, no se encontraron fases del Clásico Temprano en este edificio,

por lo que la Fase *Ik'* fue eventualmente cubierta por una sola fase del Clásico Tardío, designada como Fase *K'ahk'*.

Esta secuencia constructiva corrobora los datos obtenidos de las excavaciones de las plazas del sitio efectuadas en la Temporada 2014. Durante esa temporada, dos posibles fases Preclásico Tardío fueron detectadas en la Plaza A, pero ningún relleno del Clásico Tardío fue encontrado. Pareciera que la Plaza A fue inicialmente construida en dos fases durante el Preclásico Tardío, asociada con al menos tres fases de la Estructura A-1. El sitio parece presentar un declive o inclusive un abandono durante el Clásico Temprano. Finalmente, un piso Clásico Tardío fue dispuesto directamente sobre la superficie de la plaza del Preclásico Tardío, o fue dispuesto con tan poco relleno que fue indistinguible del relleno Preclásico que se encontró abajo. Esta reocupación del Clásico Tardío se encuentra asociada con la gran expansión de la Estructura A-1, la cual ocurrió en una sola fase. Esto es consistente con el patrón sugerido por los perfiles de las trincheras de saqueo en las Estructuras A-2, A-4, y A-5 de la Temporada 2014. Este patrón general de múltiples fases del Preclásico Tardío, la carencia de actividad constructiva durante el Clásico Temprano, y una sola adición Clásico Tardío también fue encontrado en el Grupo C al sur.

Las excavaciones horizontales proveyeron datos detallados de la arquitectura terminal de la fase *K'ahk'*, representando la reocupación Clásico Tardío del sitio. Aunque no se puede proporcionar fechas más específicas para el Clásico Tardío a través de la cerámica, el Altar 1 de La Cariba tiene una fecha estimada de 746 d.C. (Marken 2010), sugiriendo que este sitio fue ocupado a finales del Clásico Tardío. La fase *K'ahk'* incluye el probable ensanchamiento de la escalinata, hasta alcanzar casi todo el ancho de la estructura (Figura 7.13). Once escalones de la escalinata fueron encontrados en la base de la estructura, adicionalmente se encontró el escalón superior antes de la cima. El resto de escalones entre estas dos secciones se encontraban totalmente colapsados, pero basado en la pendiente de los escalones encontrados, pareciera que se tratara de una sola escalinata. Mientras que los escalones superiores fueron construidos con piedra caliza de baja calidad, los cuatro escalones inferiores fueron construidos con paneles formalmente tallados de piedra caliza de alta calidad, y pareciera que estuvieron pintados de rojo. Este estilo arquitectónico muestra una gran semejanza con la arquitectura terminal de la Estructura 13Q-2 de La Corona (Guirola y Slowing 2013; Figura 7.14). La forma y tamaño de estos paneles de piedra es muy similar en estos dos edificios distantes, sugiriendo una estrecha

relación entre los habitantes de La Cariba y La Corona a principios y mediados del siglo VIII d.C.



Figura 7.13. Escalinata de la Estructura A-1, Fase *K'ahk'*, vista desde el este al oeste (Fotografía por D. Chatelain).



Figura 7.14. Comparación de los escalones de La Cariba y La Corona, a distintas escalas (Fotografía superior por D. Chatelain; Fotografía inferior por C. Guirola).

La superestructura de la Estructura A-1 fue construida modestamente con muros bajos de mampostería y techo percedero. Esta posee al menos 3 cuartos, dos cuartos centrales grandes (A y B), y un pequeño cuarto al norte (C). Los cuartos centrales presentan pisos estucados bien conservados y no se observan bancas u otros rasgos arquitectónicos notables. No se encontró material sobre el piso de ninguno de los cuartos. El cuarto norte, Cuarto C, tiene un piso bajo con al menos dos tinajas Encanto Estriado que fueron dejadas contra el muro posterior, cerca de la esquina trasera del cuarto, lo que sugiere que pudo haber servido como un almacén. Si asumimos que esta superestructura es simétrica, puede que haya tenido dos cuartos centrales con dos pequeños cuartos de almacenaje a ambos extremos, norte y sur. El Cuarto A tiene una puerta de 2 m de ancho y dos vasijas del Clásico Temprano en un escondite parcial bajo la superficie de la entrada. La puerta al Cuarto B no fue encontrada, y posiblemente fue sellada en algún punto antes del abandono del sitio. Una concentración de fragmentos de 4 a 6 vasijas fueron depositados como rito de terminación frente a la escalinata en la Plaza A.

Finalmente, se encontró un nuevo fragmento del Altar 1 en la superficie de la plaza, justo frente a la base de la escalinata y a lo largo del eje central de la estructura. El hecho de que este fragmento fuera localizado en el suelo de la antigua plaza y en buenas condiciones de preservación, sugiere que esta era la ubicación original del Altar 1, antes de que este fuera partido y movido al límite sur de la plaza, sobre la superficie moderna (Marken 2010). Desafortunadamente, solo un pequeño fragmento del texto estaba presente en este fragmento, incluyendo un posible **TI'** o **ya-**, y un fragmento de un número (posiblemente un 6 o un 11) bajo el primer glifo. La pieza fue fotografiada junto con los fragmentos recuperados durante la temporada 2009 (Figura 7.15), y Mary Kate Kelly realizó un dibujo del altar (Figura 7.16).

La iconografía del altar incluye una figura central que viste un tocado y lleva un cetro de *K'awiil* y un escudo. Atrás de esta figura se encuentra una mujer, probablemente con su propia leyenda. Ambas figuras se encuentran frente a un individuo de elite hincado, en una pose de subordinación. La escena posiblemente retrata al rey tardío de La Corona, *Yajawte' K'inich*, y su esposa, *Ix Ti' Kaan Ajaw* de Calakmul, parados frente a un noble de La Cariba. Por lo tanto la única fase constructiva del Clásico Tardío en La Cariba puede estar asociada con este período de la historia de La Corona. La similitud arquitectónica observada en la Estructura A-1 también sugiere una relación estrecha entre los ocupantes de los dos sitios. Por supuesto, aún no se puede confirmar esta posibilidad dada la erosión del texto en el altar.



Figura 15. Altar 1 de La Cariba (Fotografía por M. Kelly).

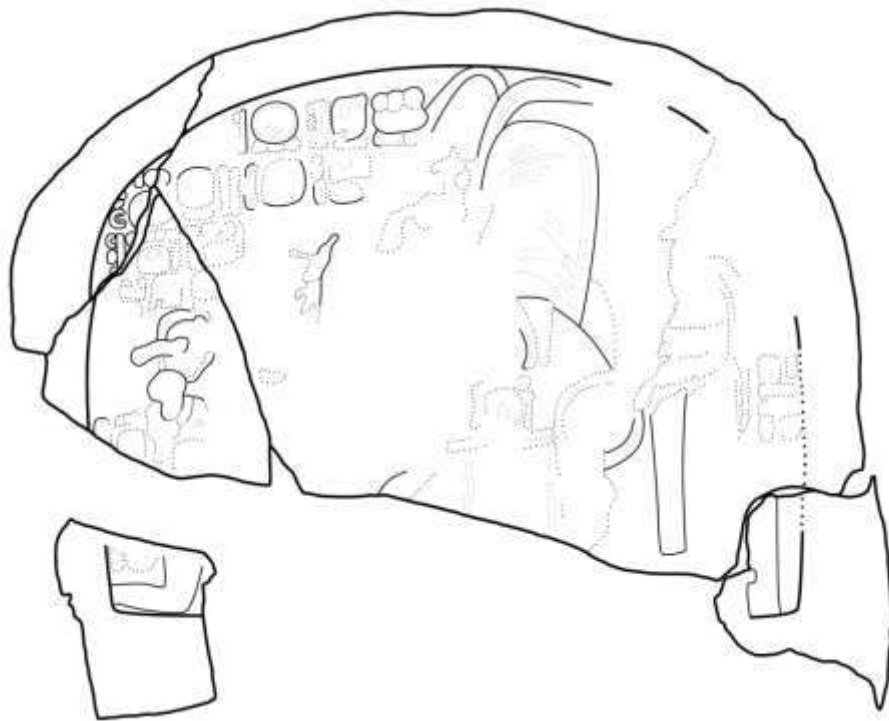


Figura 16. Altar 1 de La Cariba (Dibujo por M. Kelly.)

Sub-operación CAR12B

La sub-operación CAR12B fue excavada a lo largo de la temporada de campo, bajo la dirección de David Chatelain y Alejandro González. La localización relativa de cada unidad se encuentra ilustrada en la Figura 7.17. Esta sub-operación consistió en cuatro unidades (CAR12B-1 a CAR12B-4) y una sub-unidad (CAR12B-4a).

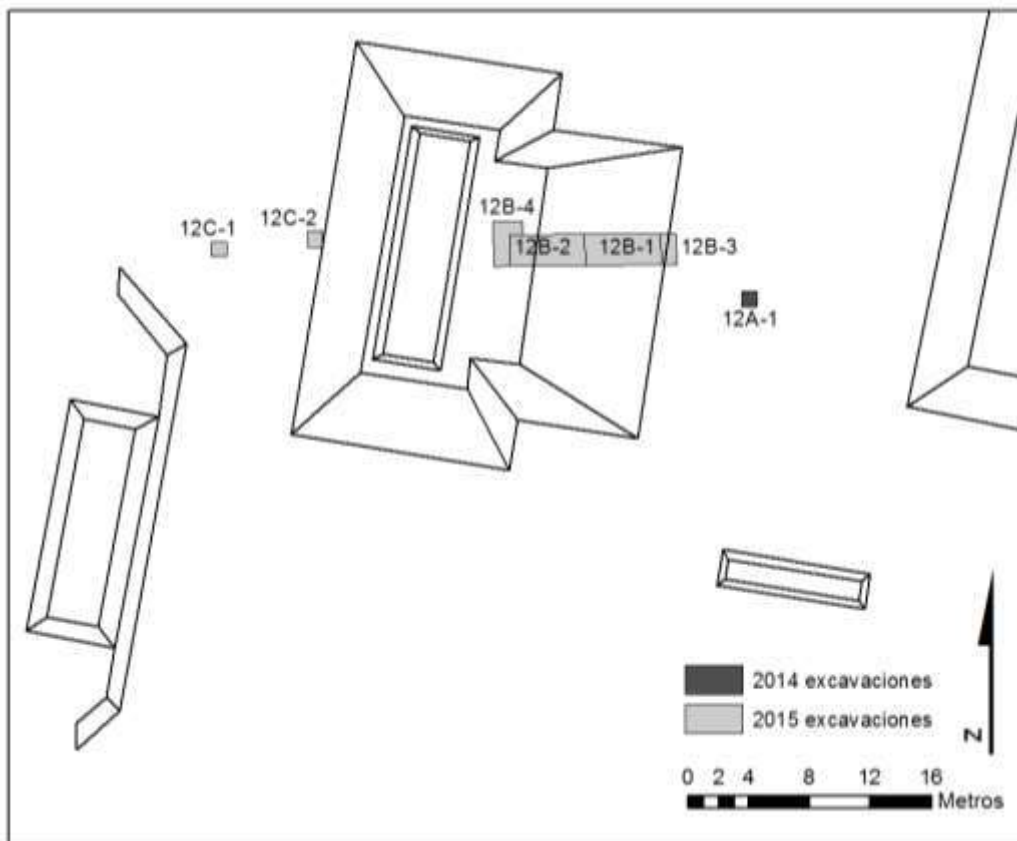


Figura 7.17. Ubicación de las unidades en las Sub-operaciones 12B y 12C (Mapa por D. Chatelain).

La sub-operación CAR12B se inició con una trinchera de 2 x 5 m que avanzaba este-oeste sobre la fachada este de la Estructura C-1 (Figura 7.18). Las unidades subsecuentes fueron dispuestas para expandir esta trinchera al este y oeste. Todas las unidades fueron orientadas con un azimut de 0°, o al norte magnético. El objetivo de estas sub-operaciones fue exponer la arquitectura terminal de la Estructura C-1, desde la base de la escalinata hasta la superestructura, y excavar verticalmente para localizar cualquier fase constructiva temprana. Finalmente, no se contó con suficiente tiempo en la temporada para alcanzar la superestructura de la Estructura C-

1. Se les asignó nombres a las fases constructivas, las cuales pueden ser re-ajustadas en futuras temporadas dependiendo de los datos. La excavación fue primeramente mediante estratos naturales/culturales, aunque en algunos casos se usaron niveles arbitrarios, y todo el material fue cernido en un cedazo de ¼ de pulgada. Se incluye al final del capítulo una tabla con todas las unidades, lotes, y materiales recolectados (Tabla 7.1).

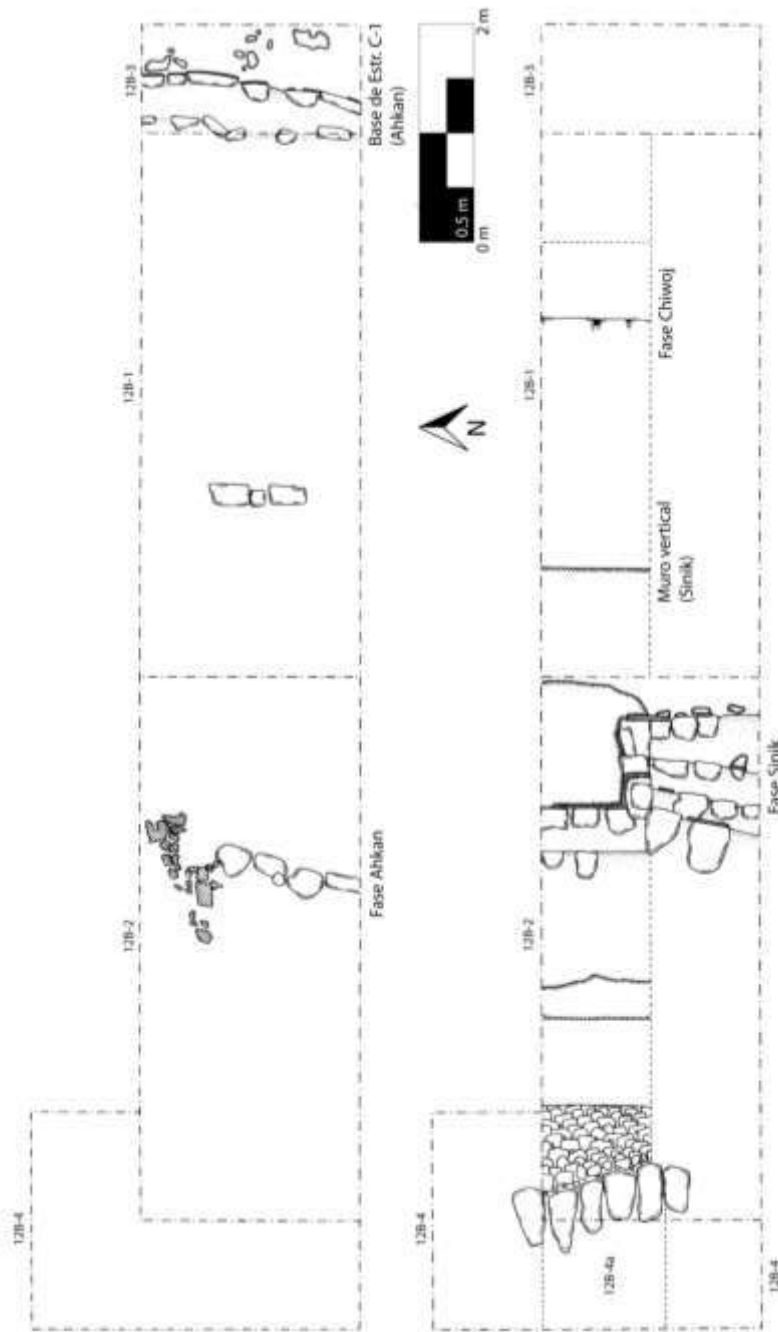


Figura 7.18. Planta de la Sub-operación CAR12B (Dibujo por D. Chatelain y A González).

Unidad CAR12B-1

La sub-operación CAR12B empezó como una unidad de 2 x 5 m, la Unidad CAR12B-1, que se ubicó en la base de la Estructura C-1, aproximadamente en el eje central (Figuras 7.19, y 7.20). Doce lotes y cinco estratos fueron excavados en esta unidad. El estrato 1 (lote 1), incluyó el humus y algunas piedras colapsadas. El estrato 2 (lotes 2, 3, y 11) consistió de relleno café claro con varias piedras medianas (0.1-0.4 m) del relleno de la fase terminal, designada como fase *Ahkan*. La escalinata de la fase terminal *Ahkan* se encontró completamente colapsada, con solo tres posibles escalones alineados y visibles en la superficie. La cerámica recuperada del relleno sugiere fechas del Clásico Tardío para esta fase. Bajo este relleno terminal se encontró un muro con estuco blanco amarillento, que conforma la pared frontal de una fase constructiva anterior, aunque solo se encontró preservada en la porción norte de la unidad. Esta fase fue designada como fase *Sinik* y el muro articula con un piso erosionado pero claramente visible que parte al este desde la base del muro. Sobre este piso se encontró un pequeño depósito de relleno que coincide con la fase constructiva más temprana (ver Unidad CAR12B-2), el cual pudo haber sido el resultado de un colapso antes de que la escalinata terminal fuera construida. Bajo el nivel de este piso, el relleno cambió a un barro compacto color chocolate con piedras pequeñas (menores a 0.2 m) y pedrín de piedra caliza, lo que le daba una apariencia moteada. Este relleno fue el estrato 3 (lotes 4, 6, 8, y 9) y pudo ser asociado con la plaza de la fase final del Preclásico Tardío, encontrada en la Unidad CAR12A-1 de la Temporada 2014 (Chatelain 2015). La cerámica recuperada de este nivel también sugiere fechas del Preclásico Tardío.

El relleno cambió bajo el estrato anterior, otra vez a un barro café claro con pedrín de piedra caliza (estrato 4, lotes 5, 7, y 10), el cual nuevamente puede estar asociado con el relleno temprano del Preclásico Tardío, bajo el “Piso 1” encontrado en la Unidad CAR12A-1. Asociado con este estrato se encontró un solo escalón, creado con bloques de piedra caliza tallada, que crean una plataforma baja (0.19 m de altura), designada como fase *Chiwoj* del edificio. No se encontraron más escalones asociados con esta plataforma baja dentro de los límites de la unidad., tampoco se observó una cobertura de estuco sobre la misma. Un piso estucado de rojo vibrante articula con la parte inferior del escalón, asociado con el “Piso 1” encontrado en la unidad CAR12A-1 de la Temporada 2014; este piso fue renombrado como piso *Chiwoj*. El estrato 4 continuó bajo el nivel de este piso por otros 18 cm hasta llegar a la roca madre, la cual fue aplanada y pudo haber sido modificada.

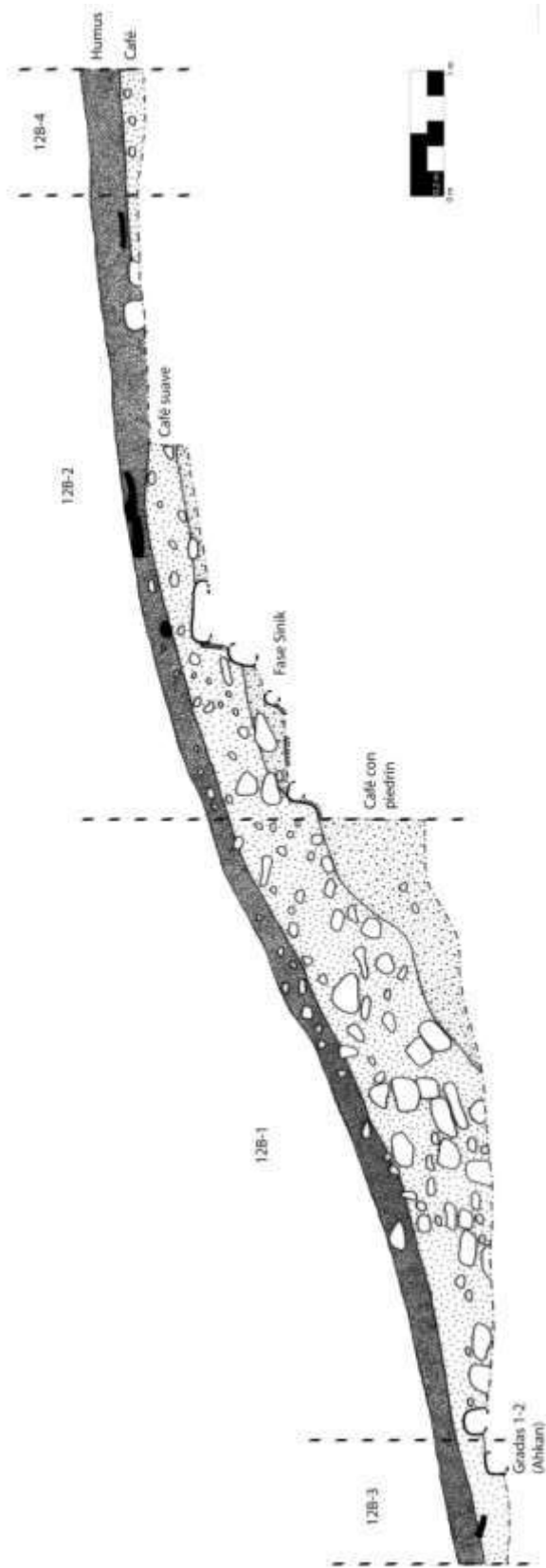


Figura 7.19. Perfil sur de la Sub-operación CAR12B (Dibujo por D. Chatelain).

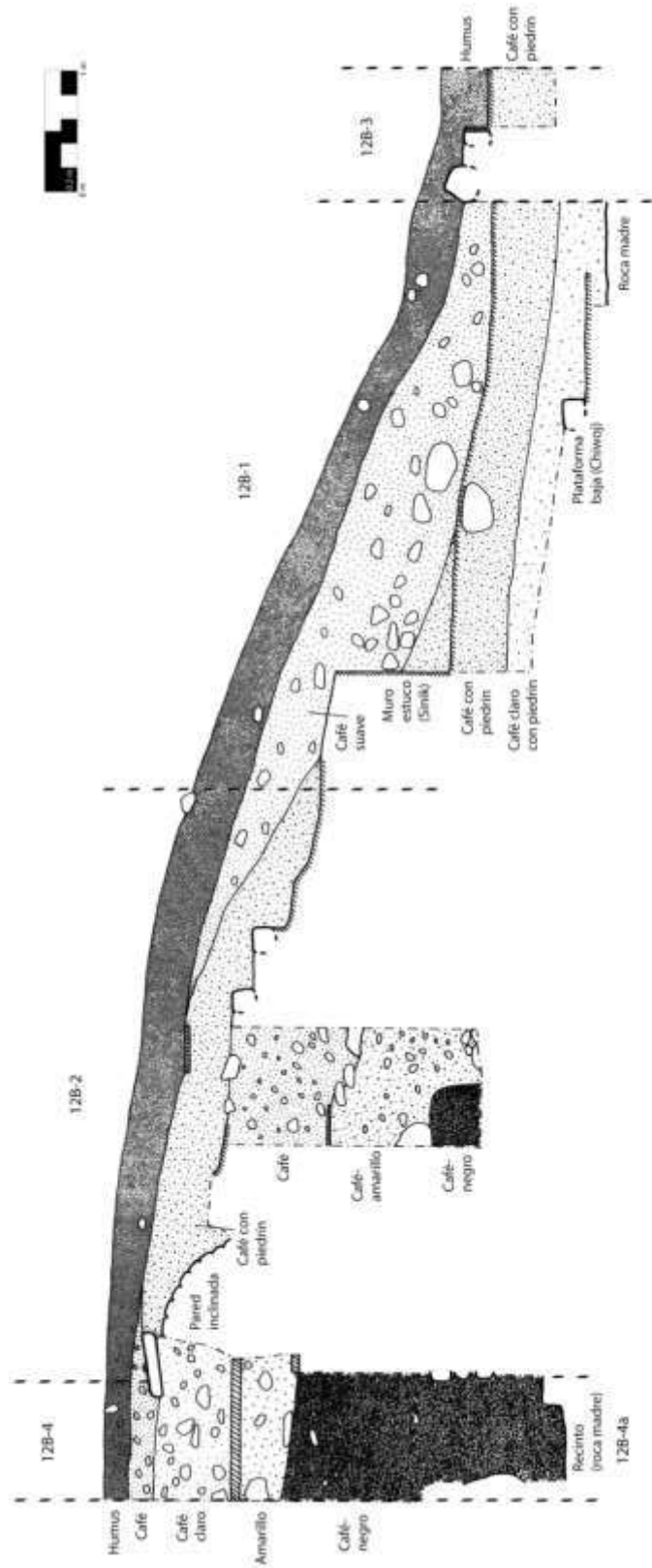


Figura 7.20. Perfil norte de la Sub-operación CAR12B (Dibujo por D. Chatelain y A. González).

solamente pusieron una capa nueva de estuco sobre el preexistente piso de plaza del Preclásico Tardío en la Plaza C. Se sospecha que este mismo patrón pudo ser replicado en la Plaza A, basándonos en la estratigrafía vista allí (ver Unidad CAR2A-3).



Figura 7.21. Base de la Estructura C-1, Fase *Ahkan* (Fotografía por D. Chatelain).

Unidad CAR12B-2

La Unidad CAR12B-2 fue una extensión de 2 x 5 m al oeste de la Unidad CAR12B-1, en dirección al punto más alto la fachada frontal de la estructura. Doce lotes y seis estratos fueron excavados en esta unidad. El estrato 1 (lotes 1-3, y 7) consistió del humus y piedras colapsadas. Bajo el humus se encontraron cuatro piedras alineadas que posiblemente formaban parte de un escalón, aunque esto es incierto. Justo al norte de este escalón se encontró un área de estuco erosionado, que parece ser parte de un descanso. Bajo este piso estucado se encontró el estrato 2 (lotes 4-6, y 10), el cual se trató de una matriz café compacta con pequeñas piedras (menores a 0.2 m) y pedrín de piedra caliza, muy similar al relleno encontrado tras el muro estucado de la fase *Sinik* de la Unidad CAR12B-1. Sin embargo, bajo este estrato, se encontraron intactos varios de los rasgos de la fase *Sinik* (Figura 7.22). El relleno del estrato 2 puede haber sido el resultado

de renovaciones subsecuentes asociadas con la fase *Sinik* del Preclásico Tardío. La cerámica de este estrato fue consistente con esta identificación.



Figura 7.22. Detalles arquitectónicos de la Fase *Sinik*, Estructura C-1 (Fotografía por D. Chatelain).

Bajo el estrato 2, se encontró una porción bien preservada del estuco blanco amarillento del descanso, avanzando en dirección al muro estucado que se encontró en la Unidad CAR12B-1. Este descanso luego se eleva para formar un pequeño peldaño formado por una línea de piedras, las cuales ya no presentan estuco debido a la erosión. Sin embargo, se identificó una segunda línea de piedras sobre la primera. En un principio se interpretó que esto se trataba de la escalinata de la fase *Sinik*, pero con las excavaciones posteriores se observó que se trataba de un muro adosado al límite norte de una escalinata bien definida, que se eleva en la mitad sur de la Unidad CAR12B-2. Aquí se encontraron cuatro escalones que subían hasta un descanso estucado en la porción este de la unidad- los peldaños se hicieron más estrechos y pronunciados a medida que estos subían. Los escalones aún presentaban pequeños remanentes del recubrimiento de estuco. En la parte superior de la escalinata, en la mitad sur de la unidad, se encontró el estrato 3 (lotes 8 y 9), el cual se trata de un relleno constructivo color café claro correspondiente a la fase

Ahkan encontrada en la Unidad CAR12B-1. En el límite norte de esta pequeña escalinata se encontró una balaustrada hecha de piedra tallada, la cual aún presentaba el recubrimiento de estuco sobre dos de las piedras. Cerca de 2 m al oeste de esta balaustrada, en la mitad norte de la unidad, se encontró otra área del piso de estuco aún conservada, de color grisáceo, aunque parece estar asociada con el muro adosado del este. Aquí empezó una pendiente que subía ligeramente hacía el oeste, sin embargo esta sección se encontró totalmente erosionada.

Cerca de 2.8 m al oeste de este piso de estuco gris, se encontró una línea de 5 lajas de piedra caliza blanca, las cuales continuaron pasado el límite norte de la unidad. Estas fueron localizadas cerca de 0.3 m bajo la superficie y se encontraron alineadas al oeste del norte, a un azimut de cerca de 345°. Bajo y al este de estas lajas se encontró un muro curvado e inclinado que bajaba bajo el nivel de la fase *Sinik* del edificio (Figura 7.23). Este muro inclinado presentaba una construcción burda, con su cara exterior hecha de piedras pequeñas sin tallar. Una delgada capa (0.03 m) de relleno separaba las lajas de este muro.



Figura 7.23. Muro inclinado en el frente, Unidad 12B-4a (Fotografía por D. Chatelain).

Finalmente, un área de 1 x 1 m fue excavada en la mitad norte de la unidad, 2 m al este del límite oeste, bajo el nivel del piso de estuco gris de la fase *Sinik*. Aquí, el estrato 4 (lote 11) se trató de un relleno compacto color café con pedrín y piedras pequeñas de caliza. Este fue casi idéntico al relleno encontrado atrás del nivel del muro estucado (lote CAR12B-1-5-12), solo que aquí el color era un tanto más claro; este relleno solo presentó cerámica de tipos del Preclásico Tardío. El lote fue excavado hasta una profundidad de 0.8 m donde se vio un cambio a un relleno rocoso, de color café amarillento, con piedras pequeñas compactadas (0.1 – 0.2 m), pedrín y algunas piedras grandes (0.3-0.5 m). La excavación se detuvo arbitrariamente en este estrato (estrato 5, lote 12), a una profundidad de 1.28 m, debido a la finalización de la temporada de campo. También se encontró un área de arcilla café-negra mezclada con pequeñas inclusiones de piedra caliza (estrato 6) cerca del área oeste del lote, justo antes de que éste fuera cerrado. Este estrato puede que este asociado con el estrato 3 de la Unidad CAR12B-4a, y apoya la idea que la re-entrada del recinto encontrado en la Unidad CAR12B-4a se encuentra asociada con la fase *Sinik* de la estructura.

Unidad CAR12B-4

Unidad con forma de “L” que se extiende hacia los límites oeste y norte de la Unidad CAR12B-2, con el objetivo de exponer por completo la línea de lajas. Midió 3 m en su límite oeste y 2 m a lo largo de su límite norte. Solo se excavó un estrato y dos lotes en esta unidad. El estrato 1 fue el humus e incluyó los lotes 1 y 2. Bajo este estrato se expuso un total de seis lajas de piedra caliza blanca, junto con las de la unidad CAR12B-2. En este punto, la excavación continuó bajo el nivel de estas lajas y atrás de ellas (al oeste), sobre el muro inclinado. Estas excavaciones se traslaparon ligeramente con el área de la Unidad CAR12B-2, por lo que se les dio una designación separada: Unidad CAR12B-4a.

Unidad CAR12B-4a

Esta fue de apenas 1.3 x 1.2 m, conformada por el límite este de la línea de piedras y a todo lo largo de ésta. Primero se removieron las 4 lajas del centro, y se continuó con la excavación bajo este punto, entre las lajas de los extremos y los límites del muro oeste. En el límite este de la unidad se mantuvo un espacio de entre 0.1 y 0.2 m al oeste del muro inclinado,

para prevenir que este colapsara. Hacia su finalización esta unidad presento cinco estratos y cuatro lotes (Figura 7.24).

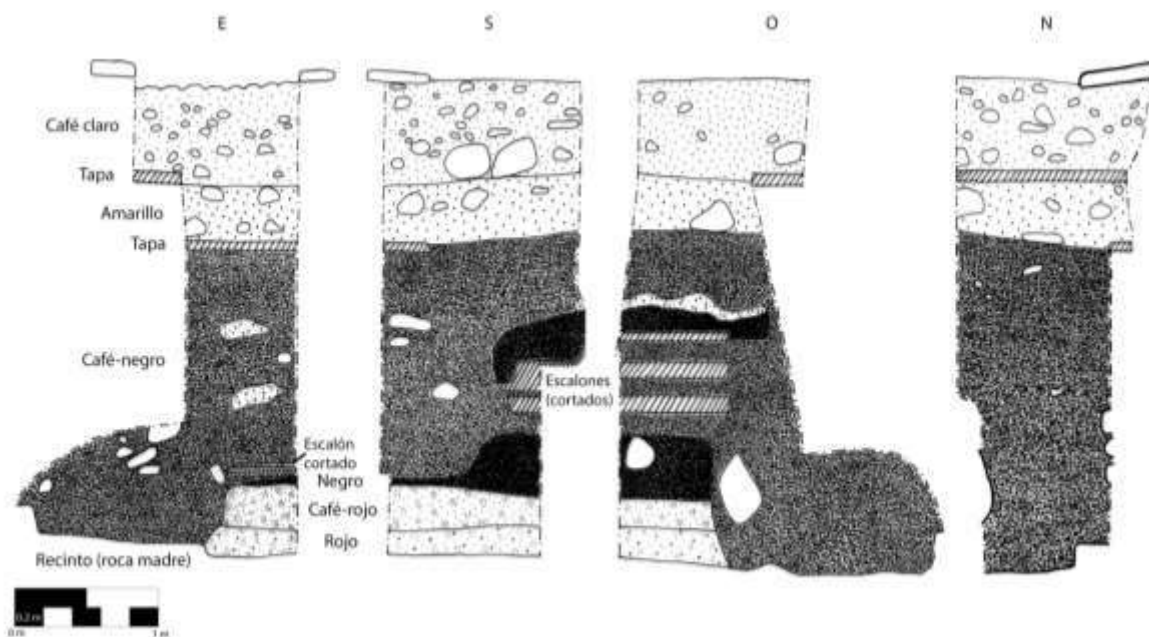


Figura 7.24. Perfiles de la Unidad CAR12B-4a (Dibujo por D. Chatelain).

El estrato 1 (lote 1) presentó una matriz color café claro con piedras pequeñas (0.1-0.3 m); solamente se recuperaron 36 fragmentos de cerámica de este estrato, todos de tipos del Preclásico Tardío. Se terminó este estrato a una profundidad de 0.62 m sobre un piso estucado o posiblemente una tapadera de estuco, la cual se extendía solamente a través de la parte norte de la unidad.

No se logró definir inmediatamente si este rasgo se trataba de un piso de estuco que fue cortado o una tapadera que definía un área; además que no había ningún rasgo arquitectónico claro o una fase asociada a este piso. Aun así, es más probable que se trate de una tapadera de estuco que fue colocada junto con este depósito de relleno. Bajo esta tapadera de estuco, el relleno cambió abruptamente hacia un barro amarillento con poca piedra pequeña (estrato 2, lote 2). Este estrato fue de 0.42 m de profundidad y solo se encontraron cuatro fragmentos de cerámica en él, nuevamente fechados para el Preclásico Tardío. Este estrato también terminó abruptamente al nivel de otra tapadera o piso cortado de estuco, que solo estaba presente en el lado este. Similarmente a la tapadera de estuco anterior, ésta también pareciera que protegió un

área, y el límite redondeado del estuco parece haber sido modelado intencionalmente, lo cual no se lograría con un corte. Bajo el nivel de esta tapadera de estuco, el relleno se tornó en arcilla café-negro mezclada con pequeñas inclusiones de caliza (estrato 3, lotes 3 y 4), presentando cierta humedad y compactación. Pocas piedras fueron vistas en este estrato, y solo cuatro pequeños fragmentos de cerámica y un pequeño fragmento de concha pudieron ser encontrados a los 2.33 m de profundidad. Se observaron ocasionales aglutinamientos de marga y bolsas de arcilla negra pura a lo largo de este relleno. Después de 0.92 m se encontraron unos escalones tempranos, los cuales habían sido cortados hacia el norte y el este (Figura 7.25). También se encontró una porción del escalón inferior en el muro este. Ciertamente estos escalones estucados fueron parte de una fase constructiva temprana del edificio, muy posiblemente asociados con el escalón y la plataforma baja de la fase *Chiwoj* encontrados en la Unidad CAR12B-1. El corte en estos escalones era burdo e irregular a lo largo del corte este, pero recto en el corte norte. Se removió una porción de escalones después de dibujarlos y fotografiarlos, con el objetivo de tener suficiente espacio para continuar la excavación.



Figura 7.25. Escalones cortados, Fase *Chiwoj* (Fotografía por D. Chatelain).

Sorprendentemente, bajo estos escalones se encontró el mismo relleno de arcilla café obscura y piedra caliza. Pareciera entonces que la fase temprana *Chiwoj* presenta una intrusión, y que el relleno de ésta fue reutilizado para el relleno de las fases subsecuentes.

Este estrato terminó en la roca madre, la cual aparece plana y sin ninguna modificación, al igual que en excavaciones anteriores. Sin embargo, en el área este de la unidad, bajo los escalones de estuco, se encontraron dos estratos superpuestos: uno de arcilla café rojizo (estrato 4) y otro de sedimento suave, seco, de color rojo claro (estrato 5) que se encontraba debajo del primero. El relleno de arcilla café-negro con piedra caliza continuó hasta la roca madre en el área norte de la unidad, y varias piedras grandes (0.3-0.5 m) fueron observadas a lo largo de esta sección. Dadas las diferencias, y que los escalones de estuco fueron cortados hacia el norte, se decidió excavar un túnel (estrato 3, lote 4) en esta dirección y siguiendo la roca madre. Inmediatamente se encontró un corte en la roca madre cerca del muro oeste, el cual se siguió al norte y el oeste. Eventualmente se definieron tres de los lados de un recinto cuadrado de aristas redondeadas de 1.5 x 1.25 m, cortado en la roca madre (Figura 7.26).

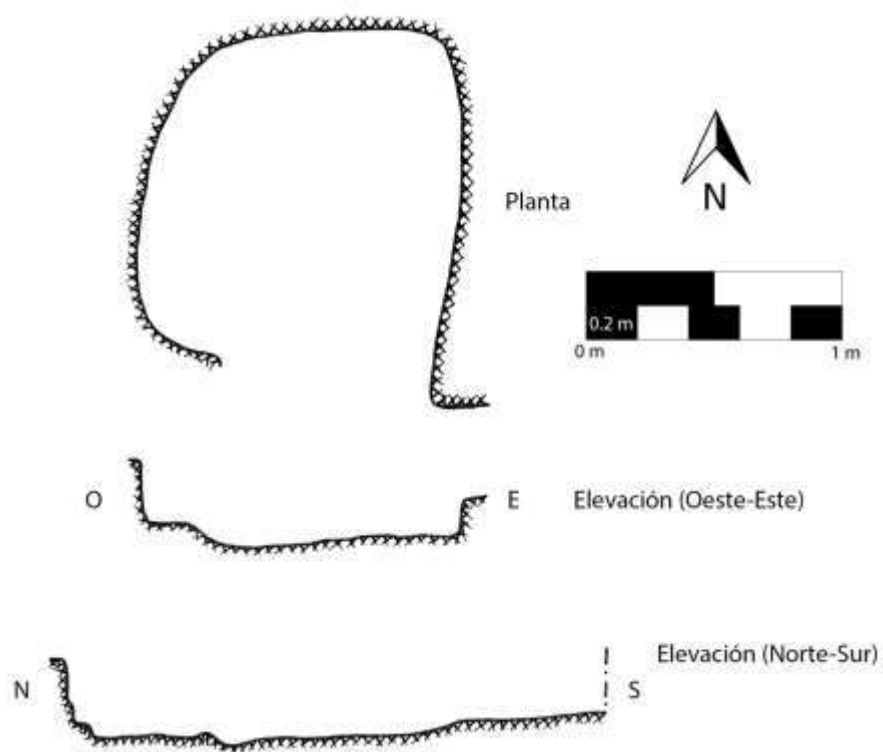


Figura 7.26. Planta y elevaciones del recinto en roca madre, Unidad CAR12B-4a (Dibujo y calco por D. Chatelain)

El corte fue de alguna manera burdo y no había sido alisado en el piso o en sus costados, pero presentaba un área claramente definida. La extensión sur del recinto no era totalmente definida por un corte en la roca madre, la cual parece presentar una pendiente que baja hacia esta dirección. Desafortunadamente, solo se recuperó un pequeño fragmento de cerámica de este lote. Por ahora es imposible saber con certeza si este recinto se encontraba asociado con la fase temprana *Chiwoj* del edificio o a la subsecuente fase *Sinik*. En cualquier caso, el estrato de relleno en la Unidad CAR12B-4a en general no puede ser comparado a los observados en los lotes CAR12B-2-4-11 o CAR12B-2-5-12. Solo una pequeña área del relleno de arcilla café-negro con caliza fue encontrada en el área oeste del lote CAR12B-2-5-12, sugiriendo que al menos este relleno se asocia a la fase *Chiwoj* y que éste fue reciclado durante la construcción de la fase *Sinik*.

Resultados/Conclusiones

Las excavaciones de la sub-operación CAR12B revelaron la secuencia constructiva de la Estructura C-1. La primera fase del edificio, fase *Chiwoj*, consiste de una plataforma baja la cual se extiende entre 7 y 8 m y sube en una serie de al menos cuatro escalones de estuco, conectando con otro nivel del edificio, el cual no pudo ser alcanzado por las excavaciones de esta temporada. Probablemente asociado a esta fase, un recinto fue excavado en la roca madre, definiendo un cuadrado de aristas redondeadas de 1.5 x 1.25 m, y de entre 0.15 y 0.3 m de profundidad, aunque es posible que este recinto se encuentre asociado con la fase subsecuente, *Sinik*. El recinto presenta una re-entrada hecha en la antigüedad pero no se pudo recuperar material de ella, así que es incierto si este rasgo alguna vez presentó un entierro o una ofrenda.

La fase *Chiwoj* fue cubierta por el piso *Sinik* de la Plaza C, y la subsecuente fase *Sinik* de la Estructura C-1. Esta fase no parece tener una escalinata central; en su lugar presenta un muro vertical a lo largo del eje central, por lo que es posible que presentara dos escalinatas que flanquearan este muro central. Sobre este nivel se encontró un descanso estrecho con una escalinata central saliente que ascendía desde este descanso por medio de 4 escalones y presentaba una balaustrada. Sobre este nivel se encontró un descanso largo, que servía como cima del edificio. Bajo la cima se encontró una línea de seis lajas, hechas de una piedra caliza

arenosa color blanco, con un muro inclinado que bajaba. Estos rasgos parecieran haber sido construidos durante esta fase del edificio, asociados con el recinto en la roca madre.

Aunque es dificultoso tener certeza de la secuencia de eventos asociados con la construcción y la re-entrada al recinto de la roca madre, se puede definir un escenario fundamentado por la evidencia estratigráfica. En este escenario, el recinto fue cortado en la roca madre en asociación con la fase *Chiwoj*, bajo la escalinata de estuco. Posteriormente, durante la construcción de la subsecuente fase *Sinik*, la fase temprana de la estructura fue cortada para permitir una re-entrada al recinto y vaciarlo. El relleno tipo arcilla de la fase *Chiwoj* fue re-utilizado durante la construcción de la fase *Sinik*; dos niveles de relleno fueron depositados en el área definida por el muro inclinado y las lajas de piedra, cada uno con su tapadera de estuco. Sin embargo, también es posible que la re-entrada y la extracción de artículos de este recinto ocurrieran en algún punto luego de la construcción de la fase *Sinik*, aunque esto parece poco probable dada la presencia del relleno arcilloso del lote CAR12B-2-5-12. En cualquier caso, es aún menos probable que la re-entrada de este contexto haya sido en asociación con la fase *Ahkan* del Clásico Tardío, dada la similitud de rellenos que fueron encontrados en estos contextos y el relleno este de la fase *Sinik* en el lote CAR12B-2-5-12.

En algún momento la fase *Sinik* se realizó una segunda renovación, para expandir el descanso superior. Basado en el desplome visto en la estratigrafía, esta estructura parece haber sido abandonada hasta la reocupación de La Cariba en el período Clásico Tardío. En este punto, la fase final, *Ahkan*, cubrió el edificio temprano. Esta fase presenta esfuerzos modestos, primeramente añadiendo una escalinata central en la fachada este del edificio y re-estucando el descanso superior. El patrón general de múltiples fases durante el Preclásico Tardío en la Plaza C y la Estructura C-1, seguida por un simple re-estucado de la plaza y una sola fase constructiva en el Clásico Tardío, se asemeja al patrón observado en la Plaza A y la Estructura A-1.

Sub-operación CAR12C

La sub-operación CAR12C fue dirigida por Alejandro González. Esta sub-operación consistió en dos pozos de prueba de 1 x 1 m, cuya localización se encuentra ilustrada en la Figura 7.17. Ambas unidades fueron orientadas a un azimut de 0° respecto al norte magnético. Su objetivo fue buscar basureros asociados con la Estructura C-1, sin embargo no se encontró

ninguno. Las excavaciones se realizaron usando estratos naturales/culturales, aunque en algunos casos se utilizaron niveles arbitrarios, y todo el material fue tamizado en un cernidor de ¼ de pulgada. Al final del capítulo se incluye una tabla con todas las unidades, lotes, y materiales recolectados (Tabla 7.1).

Unidad CAR12C-1

Pozo de prueba de 1 x 1 m localizado atrás (oeste) de la Estructura C-1 y excavado hasta una profundidad de 1.31 m. Se excavaron tres estratos y tres lotes (Figura 7.27). El estrato 1 (lote 1) consistió en humus y fue excavado hasta una profundidad de 0.37 m. El estrato 2 (lote 2) correspondió a un relleno compacto color café con piedrín de piedra caliza y alcanzó una profundidad de 0.24 m. El estrato 3 (lote 3) fue un barro café con menor cantidad de piedrín en comparación al estrato 2, y alcanzó 0.7 m de profundidad. Este estrato se encontró sobre la roca madre, la cual había sido nivelada en la antigüedad y se encontraba alisada en una parte de la unidad, probablemente asociada con la fase inicial *Us*, identificada en la Unidad CAR12A-1 en 2014. No se realizó el análisis cerámico de esta unidad, pero se observaron en campo tipos cerámicos del Preclásico tardío.

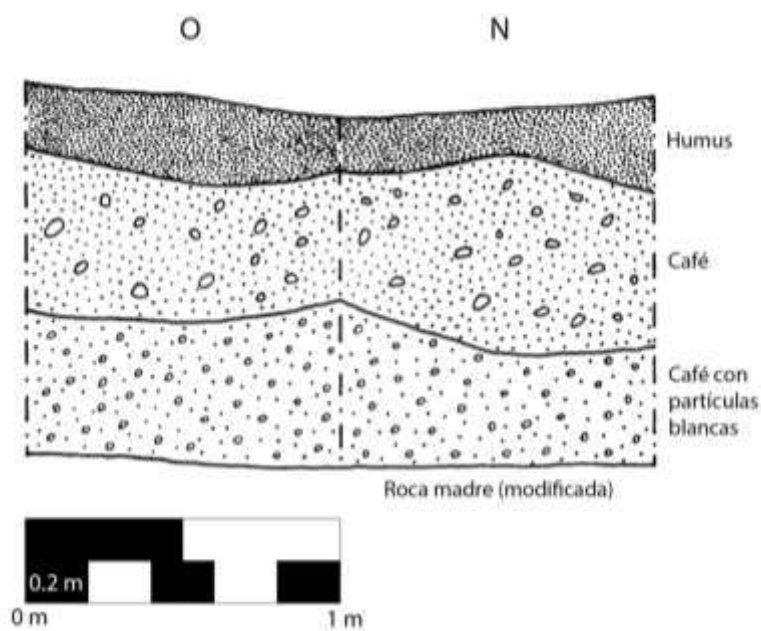


Figura 7.27. Perfiles oeste y norte, Unidad CAR12C-1 (Dibujo por A. González, Calco por D. Chatelain).

Unidad CAR12C-2

Pozo de prueba de 1 x 1 m localizado cerca de la fachada trasera (oeste) de la Estructura C-1 y excavado hasta alcanzar una profundidad de 2.2 m, definiéndose dos estratos y tres lotes (Figura 7.28). El estrato 1 (lote 1) consistió en humus y fue excavado hasta una profundidad de 0.23 m. El estrato 2 (lotes 2 y 3) presentó piedras colapsadas de la Estructura C-1 así como el inicio del barro compactado color café observado en el lote CAR12C-1-2-2. Cuando fue claro que no había basureros, la unidad fue cerrada arbitrariamente a 2.2 m de profundidad. Nuevamente la observación en campo de los materiales indica tipos cerámicos del Preclásico Tardío.

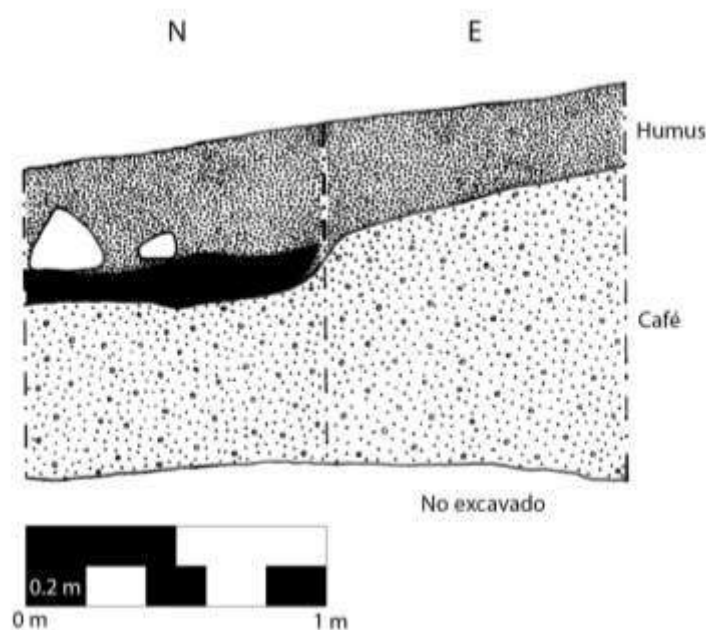


Figura 7.28. Perfiles norte y oeste, Unidad CAR12C-2 (Dibujo por A. González, Calco por D. Chatelain).

Resultados/Conclusiones

No se encontraron basureros en esta área, y solo se encontraron rellenos de la plaza del Preclásico Tardío, aunque sin remanentes de un piso estucado. Parece que la roca madre nivelada, observada en las sub-operaciones CAR12A, CAR12B y CAR12C, puede presentar una naturaleza artificial, asociada con la ocupación inicial del sitio (Fase *Us*) probablemente en el Preclásico Tardío. Esta área localizada en el límite oeste de la Plaza C presenta un solo relleno discernible y no presenta pisos estucados, y probablemente se encuentra asociada con la nivelación del Grupo C pero no se encontró una plaza formal en esta área.

Conclusiones Generales

Las excavaciones de la Temporada 2015 en La Cariba fueron exitosas en lo que concierne la cronología del sitio y la definición de los rasgos arquitectónicos de las Estructuras A-1 y C-1. En los grupos A y C se observa un patrón consistente, el cual presenta múltiples fases constructivas del Preclásico Tardío, seguidas por una sola fase del Clásico Tardío. Este patrón general apunta a que La Cariba fue un centro modesto en esta región durante el Preclásico Tardío, con una considerable inversión laboral que se refleja en la construcción de espacios públicos y estructuras monumentales. Eventualmente el sitio declinó y pareciera haber sido abandonado durante el período Clásico Temprano. En algún punto del Clásico Tardío el sitio fue re-ocupado con una modesta inversión laboral, ya que se cubrieron rápidamente las plazas del Preclásico Tardío. Basándose en la información histórica implícita en el erosionado Altar 1, este suceso pudo haber ocurrido en asociación con el apogeo tardío de La Corona, durante el gobierno de *Yajawte' K'inich e Ix Ti' Kaan Ajaw*. El estilo arquitectónico de la escalinata de la Estructura A-1 sugiere una relación estrecha entre ambos centros. En futuras temporadas, las investigaciones en La Cariba se enfocarán en las otras estructuras de los Grupos A, C, y D para refinar la cronología del sitio y entender las funciones y actividades que tomaron lugar en el centro del sitio.

Tabla 7.1 Listado de materiales encontrados en las excavaciones en La Carita, Temporada 2015

Operación	Sub-operación	Unidad	Nivel	Lote	Cerámica	Lítica	Obsidiana	Hueso	Concha	Figurilla	Carbón	Jade	Estuco	Piedra Tallada	Vasija Completa/Parcial	Monumento
2	A	1	1	1	99	5										
2	A	1	1	2	9	1										
2	A	2	1	1	34											
2	A	2	2	2	35				1			1	1			
2	A	2	2	3	13									1		
2	A	2	2	4	11											
2	A	2	3	5	219	3	1					1				

Operación	Sub-operación	Unidad	Nivel	Lote	Cerámica	Lítica	Obsidiana	Hueso	Concha	Figurilla	Carbón	Jade	Estuco	Piedra Tallada	Vasija Completa/Parcial	Monumento
2	A	2	4	6	35											
2	A	2	5	7	15											
2	A	2	5	8	4											
2	A	2	6	9	95	1				1			1			
2	A	3	1	1	8											
2	A	3	1	2	50											
2	A	3	2	3	46	1										
2	A	3	2	4	160	3	2									
2	A	3	2	5	123											
2	A	3	2	6	43	1	1									
2	A	3	2/3	7	108	3			1							
2	A	3	3	8	49		3									
2	A	4	1	1	115	1	1						1			
2	A	4	2/3	2	271	1	1	1				4				
2	A	5	1	1	47											
2	A	5	2	2	45								1			
2	A	5	3	3	18											
2	A	6	1	1	342	2						1				
2	A	6	2	2	57	1										1
2	A	6	3	3	423	4	2			1						
2	A	6	3	4	117		2									
2	A	7	1	1	26	1		4								
2	A	7	2	2	55											
2	A	7	3	3	22							1				
2	A	8	1/2	1	607	1 1	4		1	2			1			
2	A	9	1	1	11											

Operación	Sub-operación	Unidad	Nivel	Lote	Cerámica	Lítica	Obsidiana	Hueso	Concha	Figurilla	Carbón	Jade	Estuco	Piedra Tallada	Vasija Completa/Parcial	Monumento
2	A	9	2	2	10											
2	A	9	3	3	13										1	
2	A	10	1	1	4											
2	A	10	2	2	11											
2	A	10	2	3	134	2										
2	A	11	1	1												
12	B	1	1	1	30											
12	B	1	2	2	144	2		1	1							
12	B	1	2	3	123							1				
12	B	1	3	4	245	1										
12	B	1	4	5	54											
12	B	1	3	6	8											
12	B	1	4	7	4											
12	B	1	3	8	162			6								
12	B	1	3	9	17											
12	B	1	4	10	18											
12	B	1	2	11	125	2		12	1					1		
12	B	1	5	12	104	3	2		1							
12	B	2	1	1	64		1									
12	B	2	1	2	70		2									
12	B	2	1	3	20	1	1			1						
12	B	2	2	4	158	5										
12	B	2	2	5	11	1										
12	B	2	2	6	70	1		10			1		2			
12	B	2	1	7	44	2										
12	B	2	3	8	8											

Operación	Sub-operación	Unidad	Nivel	Lote	Cerámica	Lítica	Obsidiana	Hueso	Concha	Figurilla	Carbón	Jade	Estuco	Piedra Tallada	Vasija Completa/Parcial	Monumento
12	B	2	3	9	24		2									
12	B	2	2	10	21											
12	B	2	4	11	57											
12	B	2	5/6	12	22	1					2					
12	B	3	1	1	46											
12	B	3	2	2	57											
12	B	4	1	1	39	1			1							
12	B	4	1	2	35				1							
12	B	4a	1	1	36											
12	B	4a	2	2	3											
12	B	4a	3	3	2				1		1					
12	B	4a	3	4	1											
12	C	1	1	1	1		1									
12	C	1	2	2	28											
12	C	1	3	3	391	7	3	18		1						
12	C	2	1	1	9											
12	C	2	2	2	40	1										
12	C	2	2	3	8						1					

CAPÍTULO VIII

INVESTIGACIONES ARQUEOLÓGICAS EN EL ACHIOTAL, TEMPORADA 2015

Luke Auld-Thomas, Mauro Montejo y Caroline A. Parris

Introducción

El sitio de El Achiotal ocupa una estrecha escarpa rocosa con la forma “omega”, a unos escasos 20 km al este de La Corona (Figura 8.1). Entre los años 2009 y 2011, Mary Jane Acuña y Carlos Chiriboga realizaron un mapa de los elementos arqueológicos que se ubican sobre la escarpa (Figura 8.2). Acuña llevó a cabo un programa de excavaciones, estableciendo que la mayoría de la construcción en el centro del sitio puede ser fechada para el período Preclásico Tardío, aunque también detectó algunas evidencias de ocupación en el período Clásico y sugirió que algunos de los elementos arquitectónicos pudieron haber sido realizados tan temprano como el período Preclásico Medio (Acuña 2009, 2010, 2011, 2013).

El sitio fue seriamente saqueado durante las décadas de 1960 y 1970, por lo que Acuña realizó documentación de trincheras de saqueo y túneles que revelaron un mural en la Estructura 5C-01 sub-4. Éste presenta símbolos típicos del Preclásico Tardío relacionados con la autoridad política, presentados en un estilo que hasta el momento es único en el sitio. Esta evidencia, junto con la escala y la sofisticación de las construcciones Preclásicas en el sitio, indica la existencia de una entidad política formal y probablemente una dinastía real con sede en El Achiotal durante los últimos siglos del Preclásico Tardío (Acuña 2013).

Durante la Temporada 2015, las excavaciones en El Achiotal fueron diseñadas para comprobar la hipótesis sugerida por Acuña con respecto a la existencia de un grupo tipo E, los cuales se encuentran entre la tipología de construcción más antigua de los sitios de las Tierras Bajas Mayas (cf. Doyle 2012; Inomata et al. 2013).

Además, las excavaciones tuvieron el objetivo general de aclarar la cronología de la arquitectura monumental de El Achiotal con el objeto de rastrear el desarrollo de las instituciones políticas en el sitio.

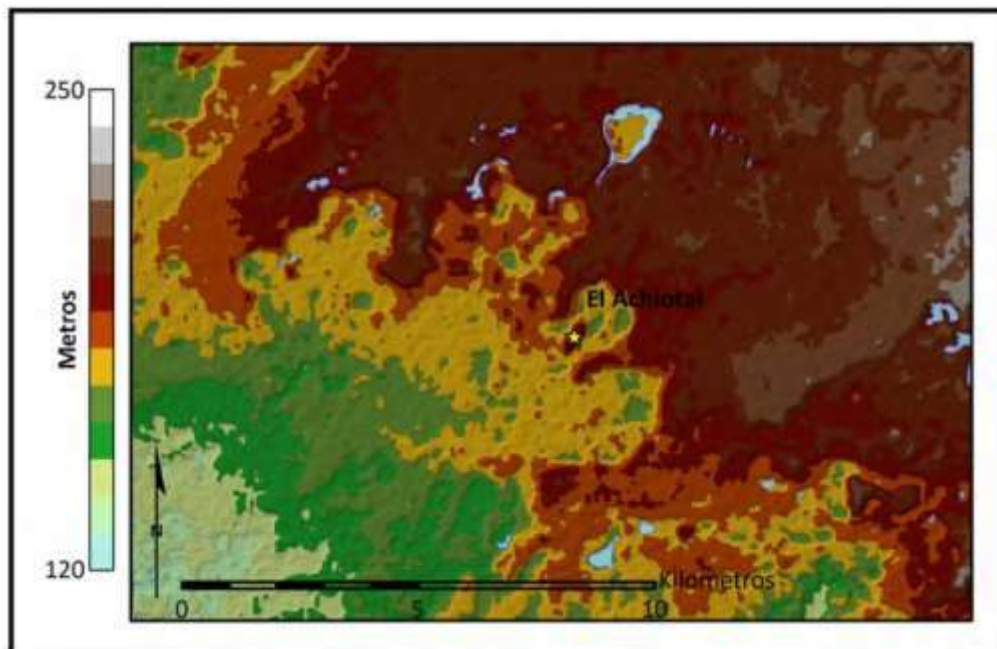
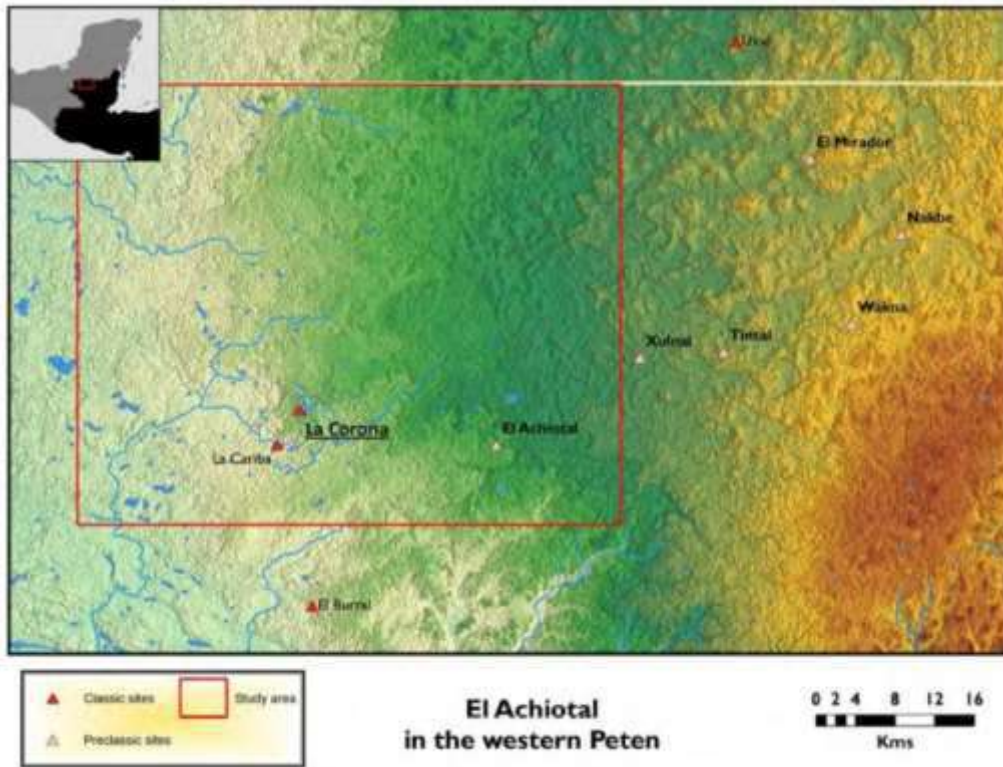


Figura 8.1. Localización de El Achiotal en relación a La Corona y otros sitios Preclásicos importantes (arriba). y topografía local (abajo) (Mapas por M. Canuto)

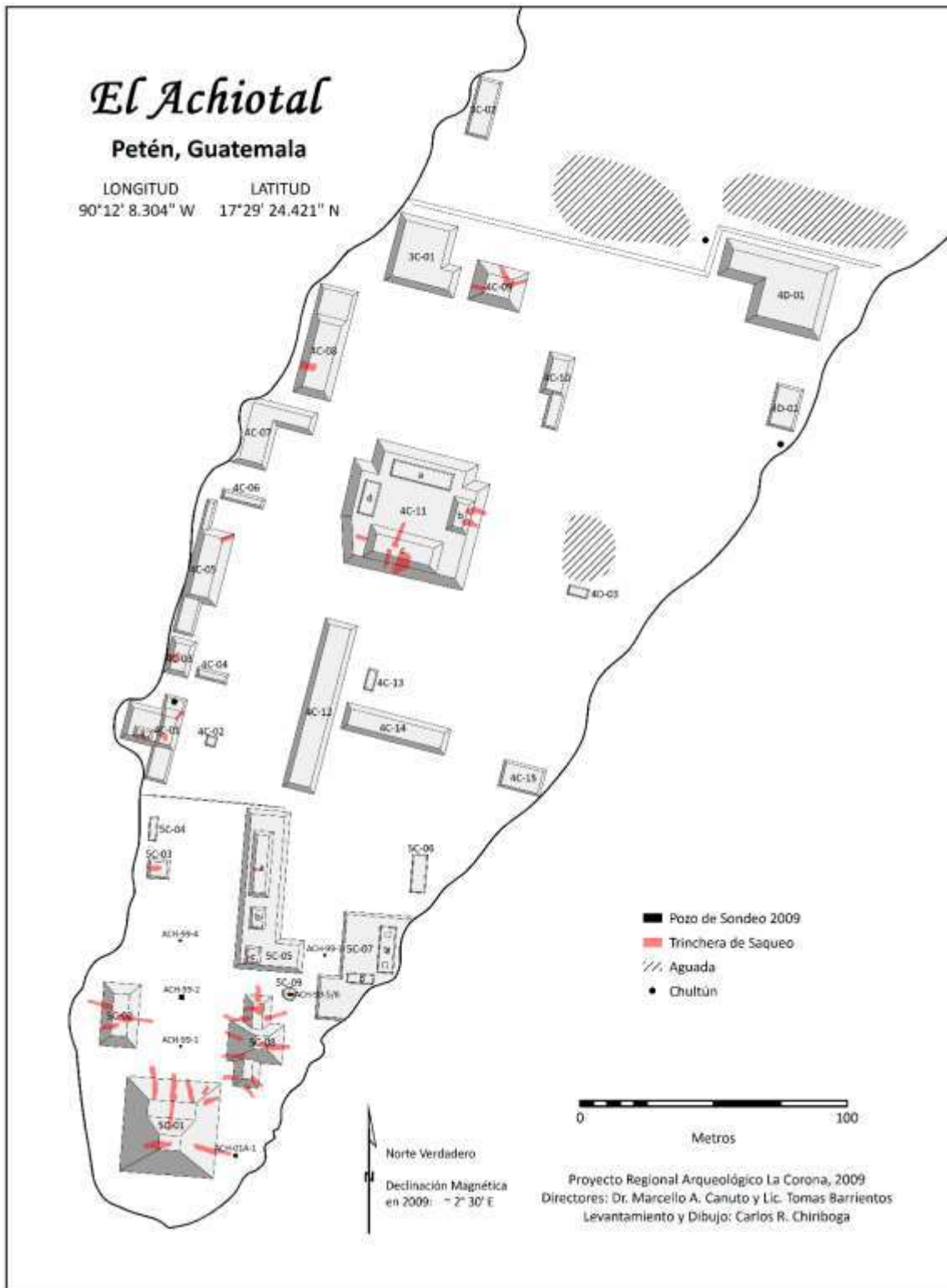


Figura 8.2. Centro del sitio El Achiotal, tomado de Acuña 2009 (Mapa por M. Acuña y C. Chiriboga)

Metodología y nomenclatura

Se continuó usando el sistema implementado por Acuña durante su trabajo en El Achiotal, por lo que los números de operaciones fueron asignados en el orden en que fueron investigados, tomando en cuenta que a cada estructura se le asignó un número de operación por separado (Tabla 8.1). La investigación de Acuña en la Estructura 5C-01 constituye la Operación ACH1 mientras que las investigaciones realizadas en la Estructura 4C-11 fueron la Operación ACH2; las excavaciones en la Estructura 5C-08 fueron entonces designadas como Operación ACH3; y las excavaciones realizadas en la Estructura 5C-02 fueron la Operación ACH4.

A las sub-operaciones se les asignó un código alfabético que reflejara el lado del edificio (en términos de direcciones cardinales) donde se localizó una excavación o grupo de excavaciones: S para el sur, O para el oeste, N para el norte y E para el este.

A cada una de las unidades de excavación dentro de estas sub-operaciones se les asignó un número, empezando con el 1. Las extensiones posteriores de una unidad no fueron designadas como unidades secuenciales, en su lugar fueron nombradas como “extensiones”, seguidas por un número de acuerdo al orden en que fueron ejecutadas (Extensión 1, Extensión 2, etc.).

Las trincheras de saqueo fueron tratadas como una clase de sub-operación por separado (LT por las siglas en inglés de “Looters Trench” o trincheras de saqueo) y fueron numeradas secuencialmente empezando en la fachada sur de cada edificio y procediendo contra las agujas del reloj como se ve en el mapa; de esta manera un edificio hipotético cuadrado con una trinchera de saqueo en cada uno de sus lados presentaría LT1 al sur, LT2 al oeste, LT3 al norte, y LT4 al este. Los números fueron asignados aunque la trinchera de saqueo no haya sido formalmente investigada (Figura 8.3).

Finalmente, a cada rasgo cultural, estrato, y cambio horizontal en el relleno (color, textura, etc.) se le asignó un número de lote, empezando con el 1 y procediendo en el orden en que fueron encontrados. Luego de completar el trabajo de campo, estos lotes fueron agrupados en niveles, reflejando la contemporaneidad estratigráfica en los casos en que esta relación pudiera ser establecida claramente. Los lotes registrados en las sub-operaciones LT no fueron agrupados en niveles, dada la destrucción o la naturaleza incierta de estos contextos. Las tablas que muestran qué lotes fueron agrupados en cada nivel estratigráfico han sido incluidas en la

descripción de las sub-operaciones ACH3S-1 (Tabla 8.2) y ACH3O-1 (Tabla 8.3), las dos excavaciones a las cuales se les asignó niveles durante la Temporada 2015.

Categoría	Ejemplo
Sitio	ACH
Operación y Suboperación	3S
Número de unidad (con extensión)	1-ext.1
Lote	1

Tabla 8.1. Sistema de Nomenclatura para operaciones, sub-operaciones, unidades, extensiones y lotes.

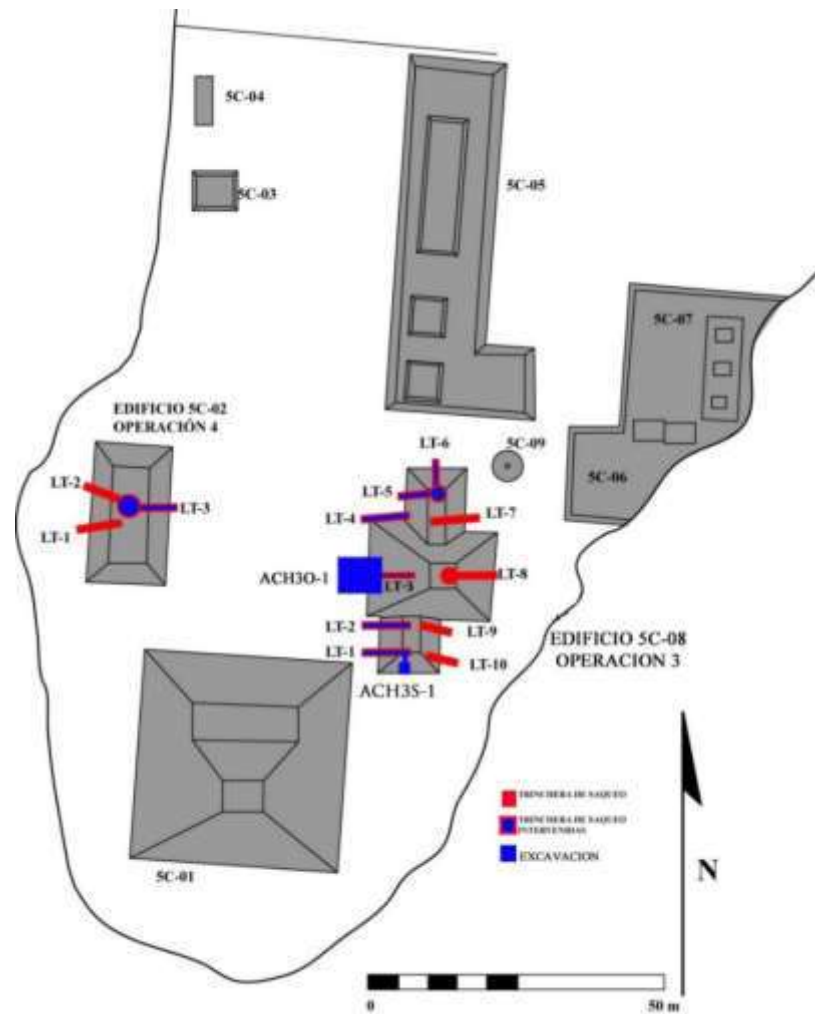


Figura 8.3. Grupo Sur, mostrando la localización de las excavaciones realizadas en la Temporada 2015 (Mapa por Acuña 2009, modificado por Montejo y Auld-Thomas).

Varios de los rasgos arquitectónicos descubiertos durante la Temporada 2015, especialmente aquellos en las trincheras de saqueo, no pudieron ser colocados con certeza en la secuencia estratigráfica de la estructura donde fueron localizados. Por el bien de la brevedad y la claridad, a éstos se les asignaron nombres en idioma Maya Ch'olano, los cuales no presentan alguna interpretación del rasgo y que tampoco siguen una temática en particular.

Operación ACH3: Excavaciones en la Estructura 5C-08

La Estructura 5C-08 se encuentra localizada en el Grupo Sur de El Achiotal y define el lado oeste de la Plaza Sur. Junto con la Estructura 5C-02, este edificio ha sido de interés puesto que es parte de un posible Grupo E. El propósito de la investigación en esta estructura durante la Temporada 2015 fue determinar la edad, forma, e historia constructiva del edificio, el cual debido a su tamaño y localización claramente poseía cierta importancia dentro de los habitantes del sitio.

El edificio se encontró seriamente dañado por los saqueadores, quienes penetraron en el edificio mediante trincheras y/o túneles en 10 diferentes locaciones. Durante la Temporada 2015, 6 de estas trincheras de saqueo fueron limpiadas e investigadas para obtener información. También se llevaron a cabo dos excavaciones formales, las cuales fueron dispuestas en lugares que no habían sido dañados por el saqueo. Las investigaciones en la Estructura 5C-08 fueron designadas como Operación ACH3.

Suboperación ACH3-LT1

La Trinchera de Saqueo 1 es la más al sur de esta estructura y fue excavada en la fachada oeste del edificio. La trinchera fue elegida para ser limpiada e investigada porque los saqueadores dejaron arquitectura expuesta que pertenece a las fases más tempranas del edificio; estos muros fueron claramente visibles en los perfiles norte y este de la trinchera, inclusive antes que ésta fuera limpiada (Figura 8.4). El muro del perfil norte fue designado con el nombre *Xaman*, mientras que la estructura en el perfil este fue designada como *Pet*. *Xaman* seguía una orientación Noreste-suroeste de 72° este, y es claro que fue una adición tardía a *Pet*, puesto que la construcción exterior tardía continuaba bajo la unión de estuco donde *Xaman* fue adherido (Figura 8.5).



Figura 8.4. Unidad ACH3-LT1 antes de la intervención. El muro *Xaman* es visible a la izquierda, mientras que la jamba norte de la Estructura *Pet* es visible al fondo de la trinchera (Fotografía por L. Auld-Thomas).

Durante la limpieza se descubrieron dos pisos en ACH3-LT1, los cuales fueron cortados por los saqueadores. El piso superior, Piso 1, fue localizado a 2.10 m bajo el nivel del *datum* (o BND). Este piso continuó a lo largo de la trinchera y parece haber sido el nivel que los saqueadores siguieron en el edificio. El piso inferior, Piso 2, fue solamente visible a través de un corte hecho en la base de la Estructura *Pet* a 2.7 m bajo el *datum*, donde los saqueadores excavaron más profundo antes de encontrar la roca madre a aproximadamente 0.45 m bajo el piso, o a 3.15 m bajo el *datum* (Figura 8.6).



Figura 8.5. Adosamiento del muro *Xaman* a la Estructura *Pet* (parte superior izquierda). Obsérvese cómo la plataforma basal de *Pet* continúa atrás de *Xaman* (parte inferior izquierda) (Fotografía por L. Auld-Thomas).

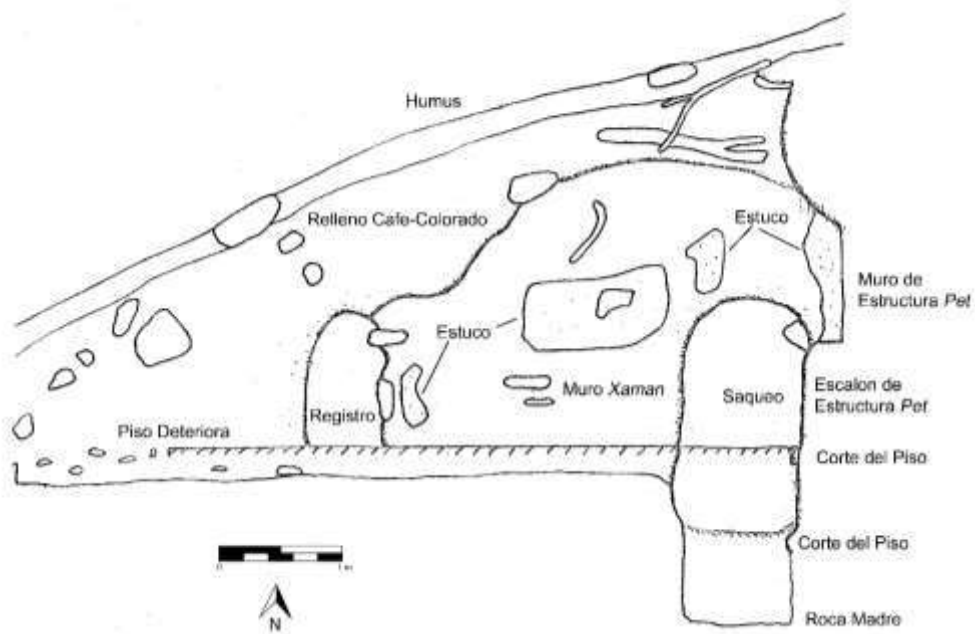


Figura 8.6. Perfil norte de la Suboperación ACH3-LT1 (Dibujo por L. Auld-Thomas).

La limpieza de la trinchera de saqueo produjo solamente dos lotes, los cuales no fueron divididos en niveles separados puesto que ambos pertenecían a un contexto perturbado. El lote ACH3-LT1-1 fue material de colapso color café y tierra de la excavación dejada por los saqueadores a medida que excavaron la estructura. Este lote reunió una bolsa de fragmentos de cerámica. El lote ACH3-LT1-2 fue una matriz amarillenta encontrada en la base de la estructura *Pet*, el muro expuesto en el perfil este de ACH3-LT1. Este lote fue interpretado como la tierra de excavación o el colapso que siguió a la penetración superficial hecha por los saqueadores en este rasgo arquitectónico. Se recuperó una bolsa de cerámica.

Suboperación ACH3S-1

La suboperación fue definida en el lado sur de la Estructura 5C-08, aproximadamente a 1.5 m al sur de ACH3-LT1. El propósito de las excavaciones fue localizar rasgos arquitectónicos que pudieran ser correlacionados con los rasgos expuestos por ACH3-LT1, pero con un grado de control sobre el contexto que no pudo ser obtenido mediante la limpieza de las trincheras de saqueo. En última instancia, esta unidad fue conectada con ACH3-LT1 por medio de una trinchera estrecha que fue excavada siguiendo el exterior de la Estructura *Pet*. Esta excavación produjo 9 lotes, los cuales se encuentran agrupados en 5 niveles estratigráficos (Figuras 8.7, 8.8 y 8.9).

El nivel 1 consistió en tierra negra y suelo café rojizo, ambos mezclados con piedras de tamaño medio interpretadas como el colapso de los niveles superiores de la Estructura 5C-08. Este nivel comprendió dos lotes (ACH3S-1-1 y ACH3S-1-2). ACH3S-1-1 fue la tierra negra, la cual se extendió apenas hasta 0.1 m bajo la superficie y presentó 9 fragmentos de cerámica. ACH3S-1-2 fue el subsuelo y el derrumbe del edificio, extendiéndose desde los 0.1 m hasta los 0.4 m bajo el nivel de la superficie, aunque la profundidad promedio fue de solo 0.25 m bajo el nivel de la superficie. Este lote presentó 49 fragmentos de cerámica así como tres fragmentos de navajas prismáticas de obsidiana.

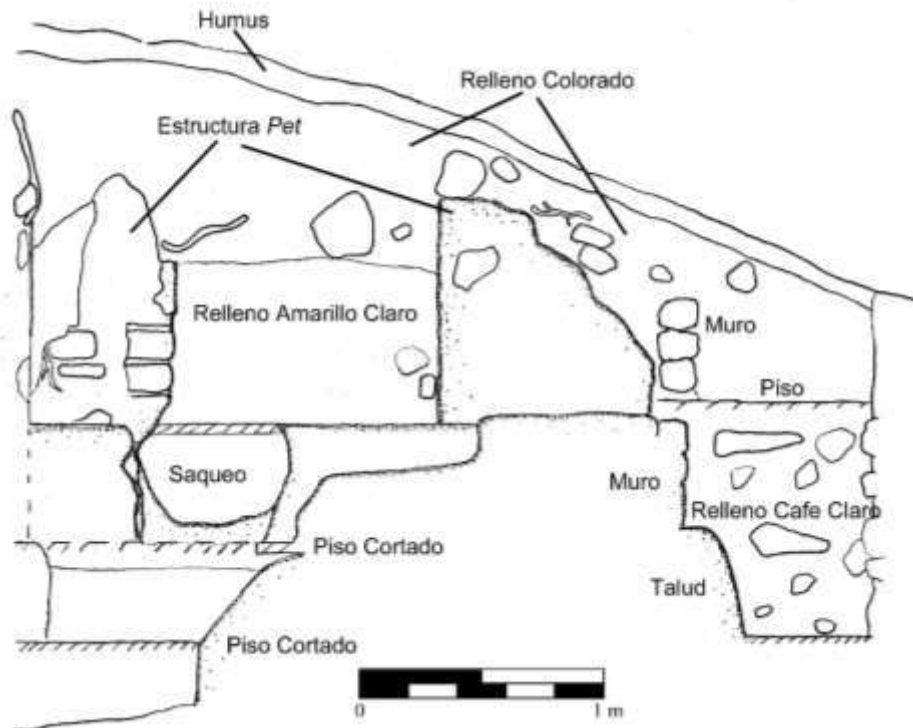


Figura 8.7 Perfil este de ACH3S-1 (derecha) y ACH3-LT1 (izquierdo) (Dibujo por L. Auld-Thomas).

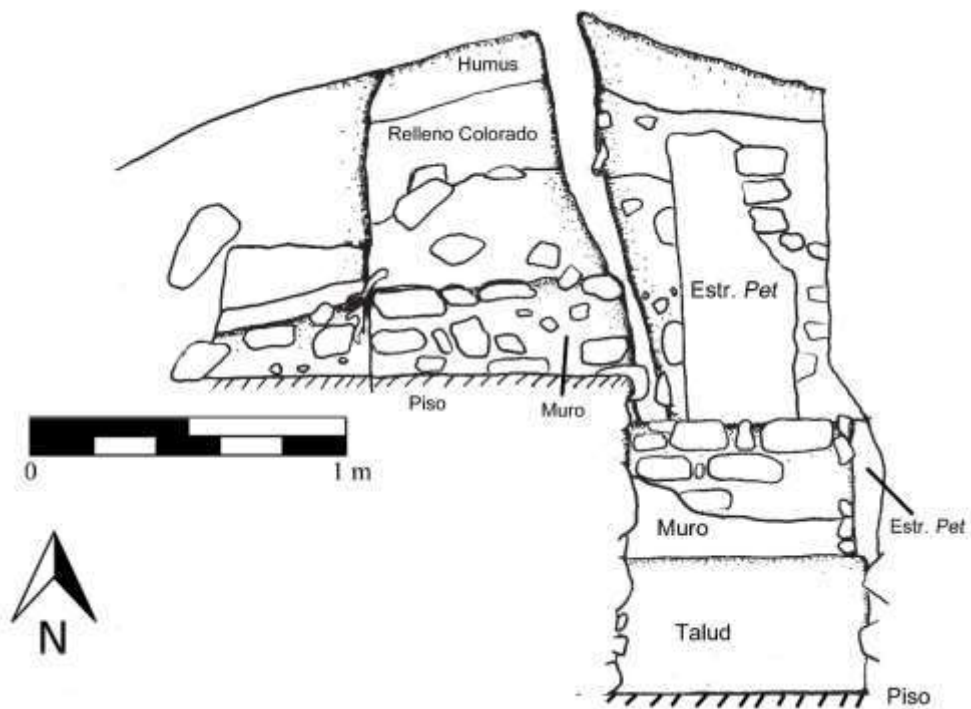


Figura 8.8 Perfil norte de la Suboperación ACH3S-1 (Dibujo por L. Auld-Thomas).

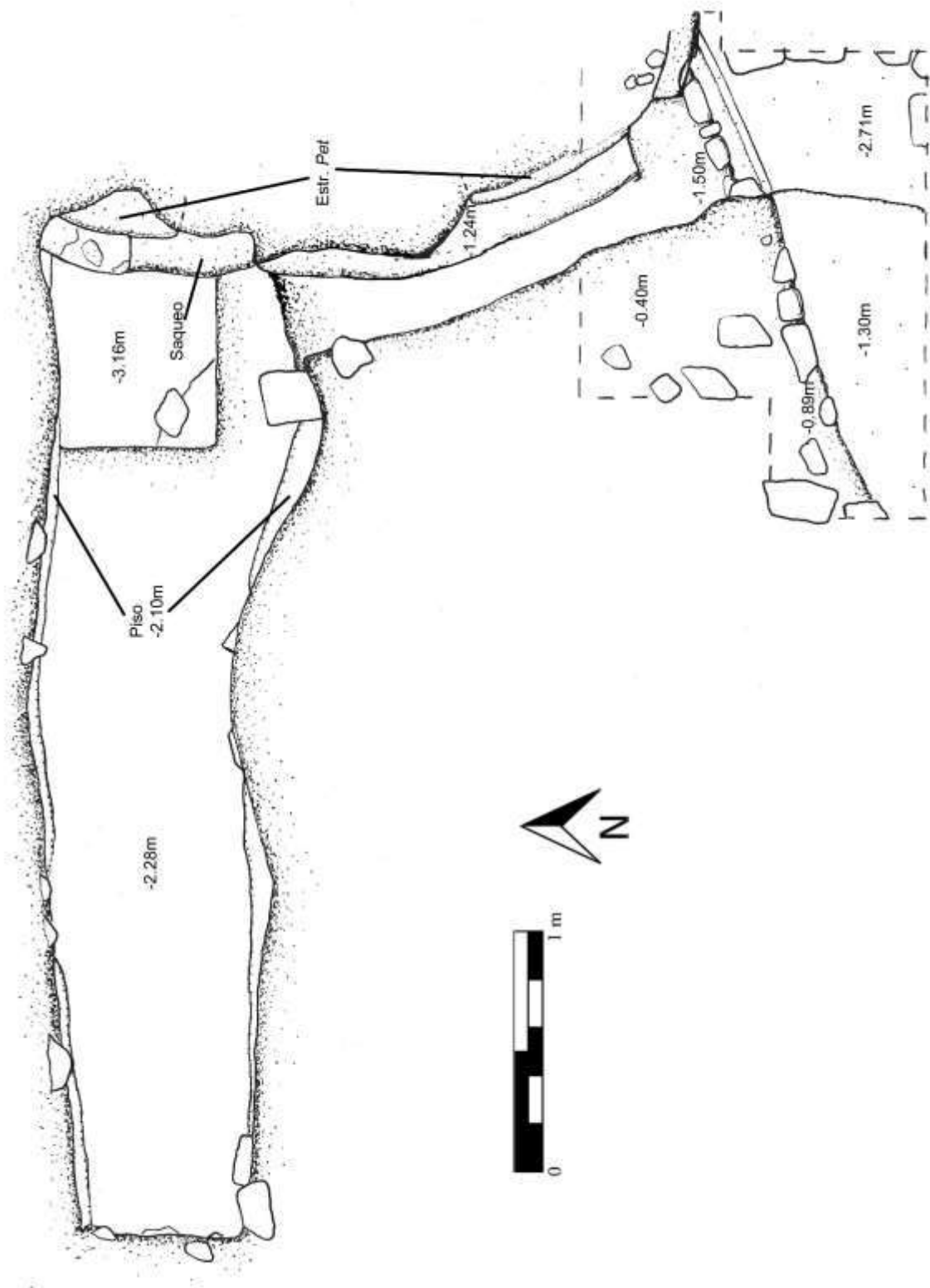


Figura 8.9 Planta final de las sub-operaciones ACH3S-1 y ACH3-LT1 (Dibujo por L. Auld-Thomas).

El nivel 3 consistió en un muro de mampostería, el cual fue encontrado inmediatamente tras remover una porción del muro y Piso 1 de la fase final (Figura 8.11). Este muro temprano presenta una orientación noreste-suroeste de 72° , la cual es similar a la orientación de la fase final. La parte superior del muro se encontró a 1.5 m de profundidad, descansando sobre una base en talud ligeramente salida, a 2.1 m de profundidad. No se excavó el interior de este muro o el relleno del mismo. El nivel 4 comprende el talud en la base del muro del nivel 3, con el cual comparte la orientación de 74° . Este rasgo presenta un recubrimiento de estuco bien preservado que se extendía entre los 2.1 y 2.71 m de profundidad, donde se encontró el Piso 2. Es claro que el talud y el muro que se erige sobre él pertenecen a períodos constructivos distintos, puesto que la parte superior del talud se encuentra a la misma elevación que el Piso 1 de ACH3-LT1 (ver Figura 8.7), indicando que el talud fue al principio la base de una plataforma abierta o terraza y que el muro (nivel 3) fue construido sobre un piso pre-existente. No se excavó dentro de este rasgo arquitectónico.



Figura 8.11 Muro del nivel 3 (arriba, bloques de mampostería expuestos) y talud del nivel 4 (abajo, con estuco), descansando sobre el Piso 2. La unión entre estos dos rasgos y la plataforma basal redondeada original de la Estructura *Pet* pueden ser vistas a la derecha (Fotografía L. Auld-Thomas).

El nivel 5 comprende el mismo rasgo arquitectónico designado como Estructura *Pet* en ACH3-LT1, junto con el piso en su base. Por ello se extendieron las excavaciones de ACH3S-1 con el objetivo de seguir el exterior de esta estructura hasta conectarse con ACH3-LT1. Esta extensión horizontal reveló que la Estructura *Pet* consiste de una superestructura de mampostería redondeada que descansa sobre una base de mampostería redondeada, ambas cubiertas con estuco. La superestructura presenta una puerta hacia el oeste, cuya jamba norte fue descubierta en ACH3-LT1. La extensión de ACH3S-1 también reveló la jamba sur. La distancia entre estas dos jambas fue de aproximadamente 1.4 m, y el espacio entre estas dos jambas contiene un relleno distintivo color amarillo claro hasta aproximadamente 0.75 m de profundidad, donde el relleno cambia a un suelo café rojizo. El relleno amarillento entre la puerta no se extiende tras ésta, lo cual puede indicar que la superestructura de *Pet* fue rellena deliberadamente en la antigüedad. Las excavaciones no entraron en la puerta.

La porción mejor preservada de la superestructura de *Pet* se encontró a 0.5 m bajo el *datum*, apenas a 0.35 m bajo la superficie, mientras que la porción inferior de la base se junta con el Piso 2 a 2.71 m de profundidad. El Piso 2 se encuentra nivelado con el Piso 2 de LT1, indicando que se trata del mismo rasgo arquitectónico.

Es claro que la plataforma redondeada original de la Estructura *Pet* es anterior al talud del nivel 4 y el muro de mampostería del nivel 3, puesto que ambos se proyectan fuera de la plataforma basal redondeada, la cual continúa tras ellos y es visible nuevamente en ACH3-LT1 (ver Figura 8.12). Entonces, los niveles 4 y 3 parecen ser un “encuadrado” posterior de la plataforma, que permitía acceder a la puerta de la Estructura *Pet*. Sin embargo, la relación entre los niveles 3 y 4 y el muro paralelo que forma el límite norte de ACH3-LT1 (muro *Xaman*), aún no es clara.



Figura 8.12. Detalle mostrando la unión entre los niveles 3 y 4 (izquierda) y la base redondeada de la Estructura *Pet*, al centro (Fotografía L. Auld-Thomas).

Nivel	Lotes/rasgos asociados
Nivel 1	ACH3S-1-1
	ACH3S-1-2
Nivel 2	ACH3S-1-3
	Piso 1 (ACH3S-1-4)
	ACH3S-1-6
	ACH3S-1-9
Nivel 3	ACH3S-1-7
Nivel 4	ACH3S-1-10
Nivel 5	Estructura <i>Pet</i> (ACH3S-1-5)
	Piso 2 (ACH3S-1-8)

Tabla 8.2. Clave para identificar los lotes asociados con cada nivel en la sub-operación ACH-3S1.

Interpretación de ACH3S-1

La suboperación ACH3S-1 descubrió la mampostería redondeada del Edificio *Pet*, la cual originalmente consistía en una subestructura que se elevaba entre los 2.71 y 1.5 m bajo el nivel del *datum*, y una superestructura de altura desconocida, con una puerta de 1.4 m de ancho viendo al oeste. La temporalidad de *Pet* aún es desconocida, pero es claro que seguido a esta construcción, se agregó una plataforma baja o terraza en su lado oeste. A diferencia de la subestructura original, esta plataforma presenta un límite sur recto y posiblemente sirvió para integrar el edificio redondeado original con otra estructura ortogonal que se encuentra bajo la fase final de la Estructura 5C-08; cabe la pena resaltar que esta nueva plataforma de bordes rectos presenta una orientación muy cercana a la de la Estructura 5C-08. La superficie de esta plataforma se encontró a 2.1 m de profundidad, o 0.6 m más arriba que el nivel del piso original frente a la subestructura. En algún momento posterior, esta plataforma fue elevada hasta 1.5 m de profundidad, u otros 0.6 m, con la adición de un muro de mampostería. La parte superior de este muro de mampostería se encontraba cerca del nivel de la subestructura redondeada original de *Pet*, por lo que tendría que haber sido nivelada y cubierta con un piso de estuco; sin embargo no se han encontrado evidencias de tal piso. Finalmente, la Estructura *Pet* fue enterrada por completo al realizarse la fase final, la cual presenta una orientación similar a la de la plataforma que “encuadró” a *Pet*. Dada la altura de los muros aún en pie, y el distintivo relleno amarillo visible en la puerta de *Pet*, es muy probable que este edificio fuera relleno deliberadamente y no solo destruido por la adición de la fase final. Futuras investigaciones deberán ser realizadas en el interior de *Pet* para obtener datos acerca de esta estructura, así como también intentar clarificar la relación entre la arquitectura de la fase tardía, revelada en ACH3S-1, y el muro *Xaman* encontrado en ACH3-LT1.

Suboperación ACH3-LT2

Localizada en la fachada oeste de la Estructura 5C-08, aproximadamente a 10 m al norte de ACH3-LT1, esta trinchera de saqueo solo fue limpiada parcialmente por las limitantes de tiempo, sin embargo fue claro que los saqueadores que la realizaron sacaron provecho de ella. Un informante que estuvo presente durante el saqueo del sitio indicó que se había extraído una “estelita de jade”, probablemente un pectoral o celta de jade decorado con la figura tallada de un

personaje real. Un rasgo tipo cista fue descubierto durante la investigación de la trinchera, hecho que apoya esta historia. Vale la pena mencionar que además de los dos rasgos tipo cista que serán descritos a continuación, se observó un tercer rasgo en un túnel que continuó dentro de la Estructura 5C-08 hasta la parte de atrás de ACH3-LT2. Este rasgo no pudo ser investigado debido a las restricciones de tiempo.

La trinchera ACH3-LT2 se ubica en la parte inferior de lado suroeste del edificio, con dimensiones de 6.8 m de largo por 0.8 m de ancho (con un ancho máximo 2.05 m), con una profundidad aproximada de 4.9 m. Los perfiles de esta trinchera revelan evidencia de arquitectura de mampostería en la parte superior, un muro y un piso estucado. Asimismo, se identificaron dos alineaciones de piedras que forman lo que podrían ser unas cistas. En la excavación se identificaron los siguientes lotes:

Lote 1: Humus, conformado por tierra negra suelta granulada, hojas podridas, plantas pequeñas, raíces de aproximadamente 0.08 m de diámetro y piedras calizas de alrededor de 0.10 m ancho, producto de las excavaciones ilícitas y el colapso natural; se observaron algunas piedras podridas. El contexto tuvo una profundidad de 0.1 m y no se recuperó ningún tipo de material cultural.

Lote 2: Relleno de saqueo, consistente de tierra extraída producto del saqueo y raíces de árboles cercanos. La misma corresponde a tierra blanca suelta con piedras de diferentes dimensiones, en algunos casos bloques labrados posiblemente de muros interiores. El contexto tiene una profundidad aproximada de 1.98 m. Al ser el relleno producto de la excavación ilícita se recuperó material cerámico, lítico y óseo (Figura 8.13).



Figura 8.13. Obsidiana de ACH3-LT-2 (Fotografía M. Montejo)

Lote 4: Relleno constructivo conformado por tierra color blanca granulada suelta, con piedras pequeñas a medianas de diferentes dimensiones. No se recuperó material cultural.

Lote 5: Rasgo constructivo (0.8 m de profundidad) que incluyó una nivelación de roca caliza o posiblemente corresponda a un piso en un mal estado de preservación. No se logró determinar el grosor del mismo.

Lote 6: Rasgo constructivo (2.2 a 3 m de profundidad) consistente en una alineación de piedras mampuestas. Las piedras calizas de 0.1 m de ancho forman lo que puede ser una cista, localizada en el perfil sur y construida a partir del lote 5. Sus dimensiones son de 0.8 m de alto por 0.63 m de ancho y longitud de 0.7 m. No se recuperó material cultural.

Lote 7: Rasgo constructivo (0.8 a 1.7 m de profundidad) compuesto por una alineación de piedras mampuestas. Las piedras calizas de 0.1 m de ancho posiblemente pertenecen a una cista, localizada la parte superior del perfil sur, y que mide 0.71 m de alto por 0.61 m de ancho y longitud de 0.67 m. No se recuperó material cultural.

Lote 8: Relleno constructivo conformado por tierra color blanca fina con piedras pequeñas de (0.05 m) y raíces delgadas y pequeñas. No se recuperó material cultural.

Lote 9: Rasgo constructivo (3.5 a 4.9 m de profundidad) que consiste en un muro posiblemente de la última etapa constructiva, elaborado con bloques de piedra caliza finamente tallados. El muro está orientado norte-sur y fue expuesto a la intemperie por la excavación ilícita y colapsada, por lo que únicamente se observa 1.4 m de alto. Se encontró en un mal estado de preservación, cubierto por moho verde.

Lote 10: Rasgo constructivo (3.46 m de profundidad) consistente en un piso estucado de 0.08 m de grosor, el cual posiblemente corresponda al segundo o tercer cuerpo de la estructura y del cual arranca el lote 9 arriba descrito. No se logró determinar mayor información ya que únicamente se localizó y limpio parcialmente en el perfil.

Resultados preliminares

A través de los rellenos constructivos se logró conocer parcialmente una etapa constructiva que en futuras investigaciones sistemáticas se podrían conocer al detalle (Figura 8.14). Son rellenos de tierra suelta con presencia de piedras de varios tamaños. Lo relevante fue la localización del lote 5, la roca caliza posiblemente nivelada para la edificación de la estructura, pero por el mal estado de preservación y destrucción del saqueo no se logró determinar bien.

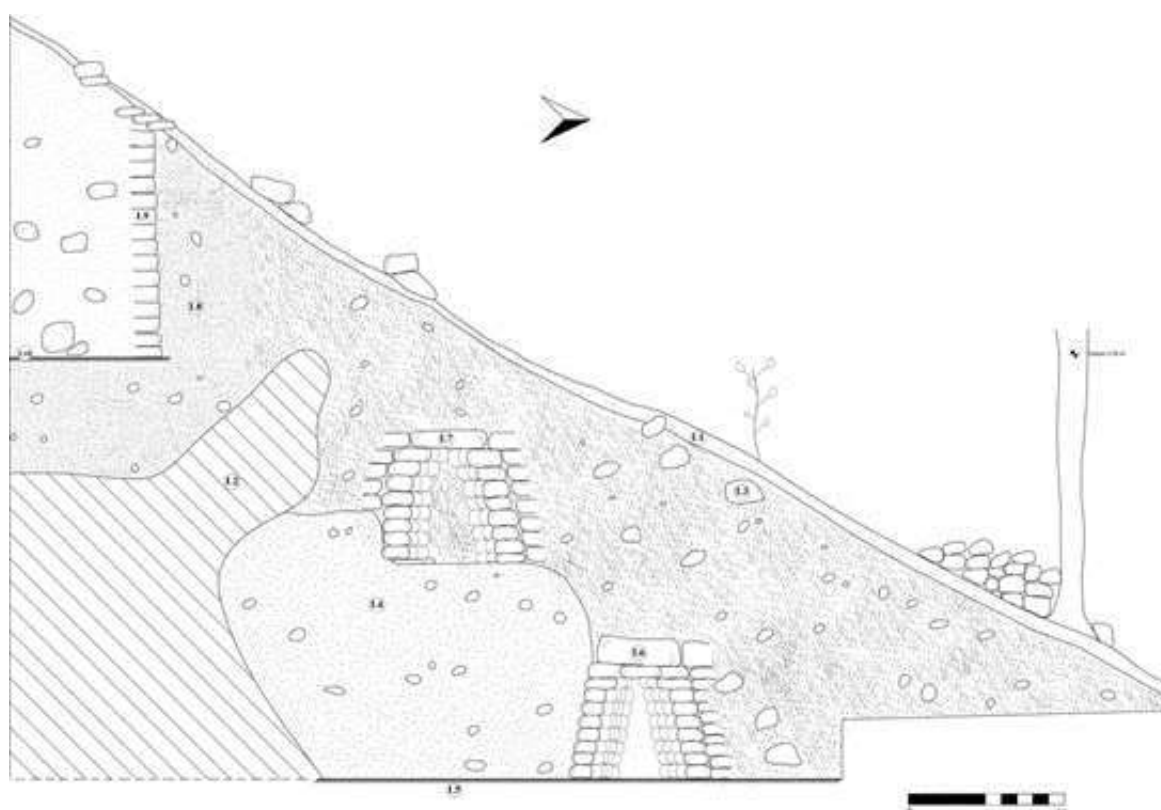


Figura 8.14. Perfil sur de trinchera de saqueo ACH3-LT-2 (Dibujo M. Montejo).

En referencia a los lotes 6 y 7 (cistas) fue la evidencia por la cual se decidió intervenir dicha trinchera (Figura 8.15), ya que las mismas podrían contener aún restos de un entierro. Lastimosamente no se logró recuperar nada que confirmara que fueron utilizadas para enterramientos, aunque no se descarta dicha posibilidad ya que su limpieza no se logró completar. Según los objetivos planteados, la limpieza y remoción del relleno de saqueo fue parcial, quedando para futuras intervenciones.



Figura 8.15. Perfil sur de trinchera de saqueo ACH3-LT2, mostrando las dos posibles cistas (Fotografía M. Montejo y L. Auld-Thomas).

Suboperación ACH3-LT3

Localizada en el eje central de la Estructura 5C-08, esta trinchera de saqueo apenas penetró más allá de la capa de humus, lo cual fue en extremo afortunado puesto que la trinchera pasó inmediatamente arriba del recinto que contenía la Estela 1 (Figura 8.16). La limpieza de la trinchera reveló la sección superior de la mampostería, la cual no parecía haber sido dañada por los saqueadores. La unidad ACH3O-1 fue colocada sobre este rasgo y subsecuentemente fue expandida. Las investigaciones en ACH-3-LT3 produjeron un solo lote (ACH3-LT3-1), el cual contiene 26 fragmentos de cerámica.



Figura 8.16. Localización de ACH3-LT3 (arriba) junto a la arquitectura expuesta por ACH3O-1 (abajo). La mampostería presente en la parte inferior central son las jambas de la puerta del Cuarto 2 del recinto de la estela (Fotografía L. Auld-Thomas)

Suboperación ACH3O

Unidad ACH3O-1

La unidad ACH3O-1 fue colocada en el lado oeste de la Estructura 5C-08, en el eje central del edificio y en la base de la trinchera de saqueo superficial designada como ACH3-LT3. Las excavaciones alcanzaron dimensiones horizontales de 8 x 8 m, con una profundidad de 2.6 m bajo el *datum*. Las excavaciones revelaron una plataforma baja adosada a la fachada de la fase temprana de la Estructura 5C-08. Este adosamiento está compuesto por tres fases constructivas separadas, cada una asociada con ofrendas. La fase más temprana consiste de un cuarto de mampostería (Cuarto 3) que se encuentra sobre la escalinata de una fase más temprana de la estructura, el cual contiene dos fragmentos de una estela (Estela 1 de El Achiotal) junto un pequeño altar de piedra. Dos fases subsecuentes consisten en cuartos de mampostería (Cuarto 2 y Cuarto 1) sobre una plataforma baja, añadida a la fachada del recinto original de la estela.

Siguiendo con las excavaciones, los lotes fueron organizados en 6 niveles estratigráficos. En aras de la claridad, las fases de la plataforma adosada fueron dispuestas como subdivisiones de un solo nivel (4a, 4b, y 4c).

Nivel 1. Capa de humus y restos en la superficie, los cuales se extendían hasta 0.1 m bajo el nivel de la superficie en promedio. En este nivel se recuperaron 216 fragmentos de cerámica y un solo fragmento de obsidiana, todo este material fue dispuesto en un solo lote (ACH3O-1-1).

Nivel 2. Suelo café rojizo entremezclado con una gran cantidad de piedras de entre 0.1 y 0.25 m de diámetro. Esta matriz empezó a los 0.1 m de profundidad y se extendió hasta la fase final de construcción de la Estructura 5C-08 (nivel 4a) y el piso final de la Plaza Sur (nivel 5) frente al edificio, con una profundidad máxima de 1.86 m. Con el material recuperado de este nivel se llenaron 18 bolsas grandes solo de fragmentos de cerámica. Este nivel se ha interpretado como el colapso del edificio que cayó sobre la abandonada Estructura 5C-08.

Nivel 3. Este fue identificado debido a un cambio en el color de la matriz, de un barro café rojizo (nivel 2) a una matriz gris claro con pocas piedras pequeñas y una abundante cantidad de fragmentos de cerámica, incluyendo varios fragmentos mayores a los 0.1 m de diámetro. El nivel 3 fue localizado entre los 0 y 1.32 m de profundidad, sobre el piso final de la plataforma adosada, el relleno del Cuarto 3 y la porción central del Cuarto 2. El lote ACH3O-1-6 se definió a lo largo del eje central de la plataforma adosada entre los cuartos 1 y 3, y el lote ACH3-1-8 corresponde a lo encontrado en el Cuarto 3 y su puerta de acceso. La Ofrenda 2 también se encontró en este nivel.

Estos lotes se han interpretado como un solo evento, en el cual se colocó una ofrenda de terminación (Ofrenda 2) en la puerta del Cuarto 3. Dicho cuarto se encuentra relleno con material cerámico y sedimento (ACH3O-1-8), algunos de los cuales rodaron a través de la puerta hasta el piso del Cuarto 2 durante el colapso del edificio. Este contexto presenta una gran cantidad de fragmentos de cerámica que representan un mínimo de 89 vasijas. Solo una de ellas está casi completa, la cual corresponde a un vaso tipo códice. Durante el análisis de laboratorio se determinó que está completo en un 90%, y aunque muestra una escena típica de los vasos saqueados de este tipo, su superficie se encuentra seriamente erosionada en algunos lugares, por lo que resulta difícil discernir la escena (Figura 8.17).



Figura 8.17. Vaso tipo códice recuperado del lote ACH3O-1-8, que muestra una figura sentada sobre un trono de piel de jaguar (centro) con algunas figuras paradas o arrodilladas frente a éste (izquierda) (Fotografía por C. Parris).

El análisis de laboratorio encontró que otras vasijas fueron quebradas intencionalmente por la mitad o en cuartos antes de ser depositadas. Todo el material cerámico recuperado de este nivel pertenece al complejo cerámico Tepeu 1, indicando fechas aproximadas para este depósito entre 650 y 700 d.C.

Ofrenda 2

Esta ofrenda fue encontrada en la puerta que permitía el acceso al Cuarto 3 (el recinto de la estela), y para ello se realizó un corte en un piso rústico duro (ACH3O-1-11) (Figura 8.18). Este corte nunca fue sellado con un piso nuevo, por lo que la ofrenda fue descubierta por el paso de los excavadores (el cual era de rodillas) dentro y fuera de este cuarto, lo cual fue suficiente para remover la tierra que se encontraba sobre la ofrenda. La Ofrenda 2 consiste en un par de platos rojos idénticos (de estilos del período Clásico pero no diagnósticos de una fase en particular), colocados labio a labio con una navaja de obsidiana entre ambos (Figura 8.19). Esta ofrenda fue interpretada como contemporánea con el rito de terminación del edificio, en el cual se depositó un relleno con abundante cerámica representada por los lotes ACH3O-1-6 y ACH3O-1-8.



Figura 8.18. Ofrenda 2 (en primer plano) *in-situ* (Fotografía L. Auld-Thomas).

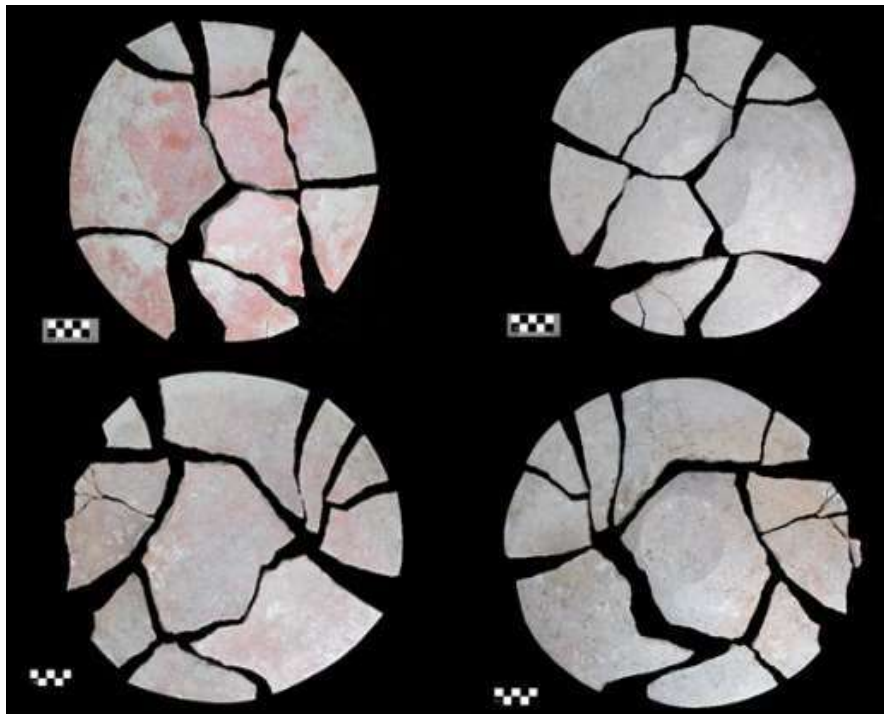


Figura 8.19. Ofrenda 2, vasija superior (arriba) y vasija inferior (abajo) (Fotografía C. Parris).

Nivel 4. Consiste en los restos arquitectónicos de la Plataforma Adosada, y fue dividida en tres sub-niveles: 4a, 4b, y 4c. Siendo 4a el último en vista estratigráfica y 4c el primero. Cada uno de estos sub-niveles representa una fase distinta de renovación arquitectónica (ver Figuras 8.20 y 8.21).

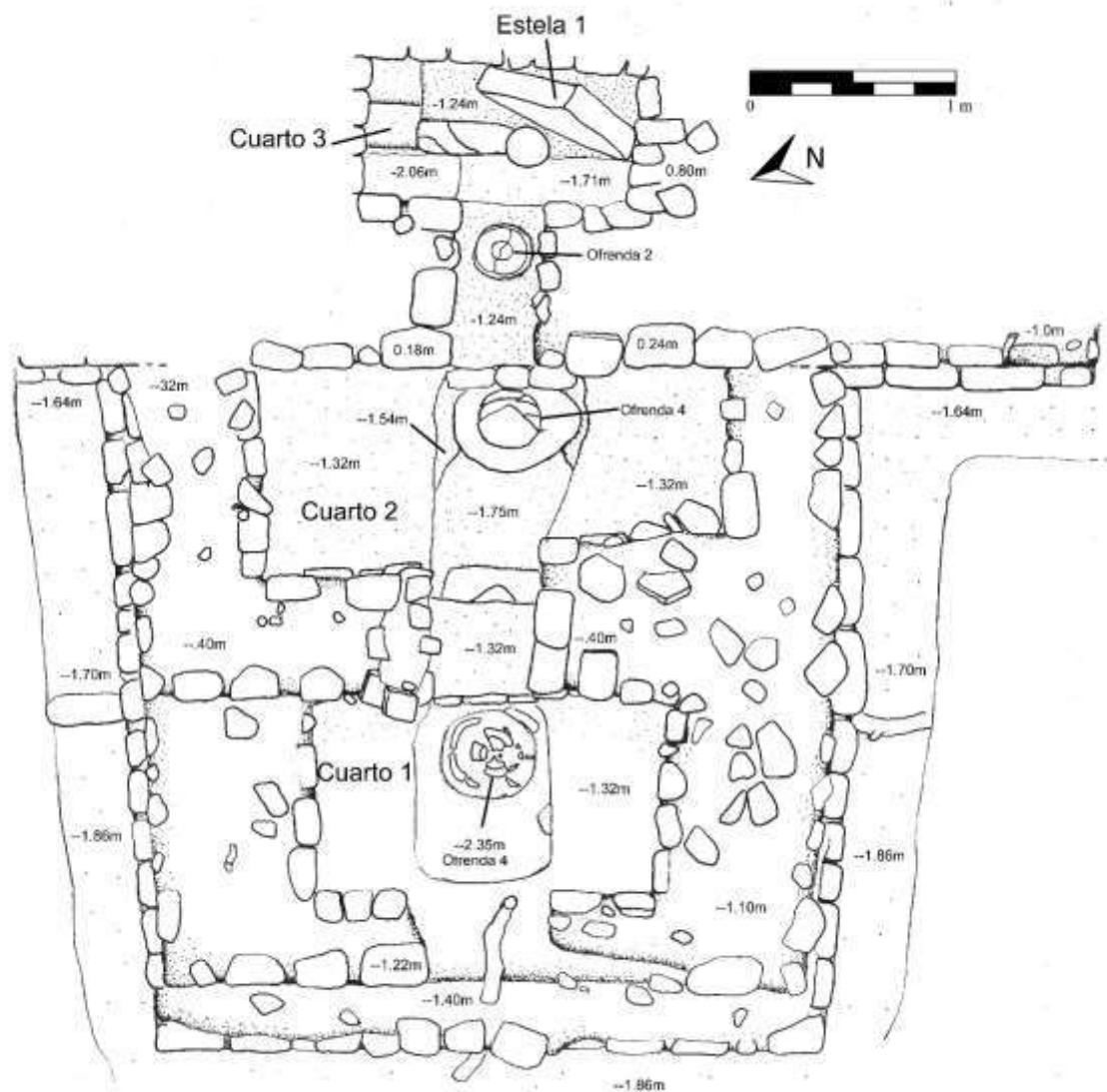


Figura 8.20. Planta de ACH30-1, incluyendo ACH30-1-ext.1 y ACH30-1-ext.2 (Dibujo L. Auld-Thomas y M. Montejo).

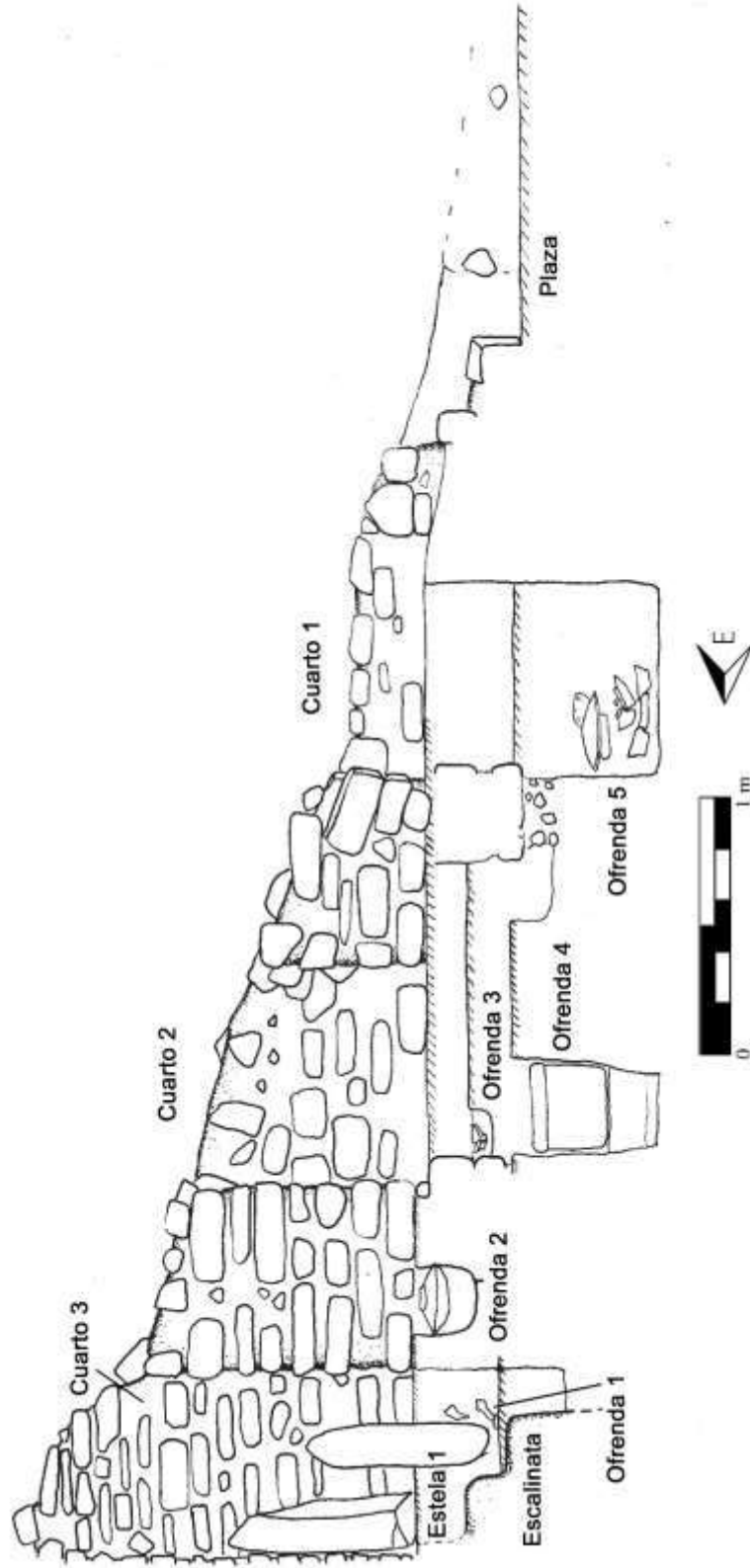


Figura 8.21. Perfil sur de ACH3O-1 (Dibujo por L. Auld-Thomas y M. Montejo).

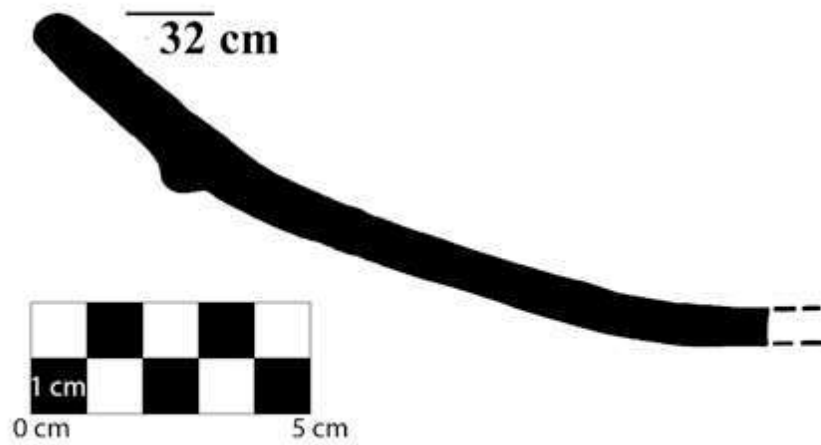


Figura 8.23 Vasija ACH-V007. Cuenco de paredes redondeadas y base plana, una pequeña pestaña basal, una un pequeño pico para servir, borde directo, y labio redondeado. El interior presenta engobe rojo. El exterior presenta engobe rojo entre el labio y la pestaña y líneas negras pintadas horizontalmente en la pared superior. Presenta un agujero para “matar” en el centro de la base el cual fue punzado desde el interior al exterior. El diámetro de este agujero es de 22 mm (Fotografía y Dibujo por C. Parris).

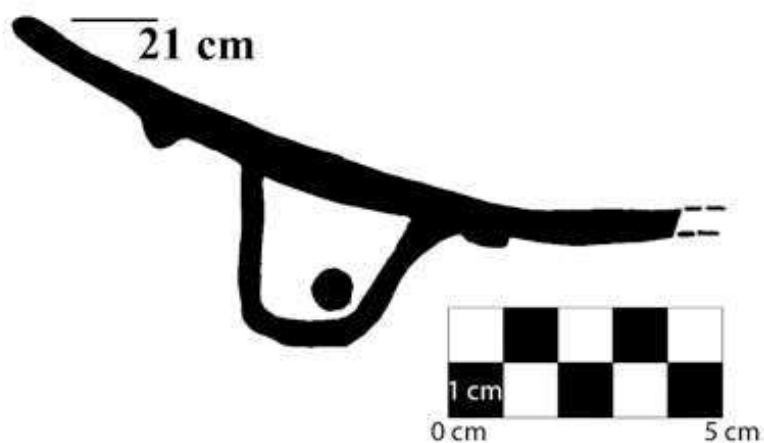


Figura 8.24 Vasija ACH-V008. Pequeño cuenco hemisférico con una pestaña basal, una base de anillo, y tres soportes ovoides huecos, cada uno con 2 agujeros de ventilación y un cascabel. El borde es directo y el labio redondeado. El interior presenta engobe naranja con una banda roja en el labio, una banda negra en el borde, y un diseño pintado en negro en las paredes y base interior. El exterior presenta engobe naranja desde el labio hasta la pestaña con una banda roja pintada en la porción superior de la pestaña. Este cuenco es del tipo Palmar Naranja Polícromo (Fotografía y Dibujo por C. Parris).

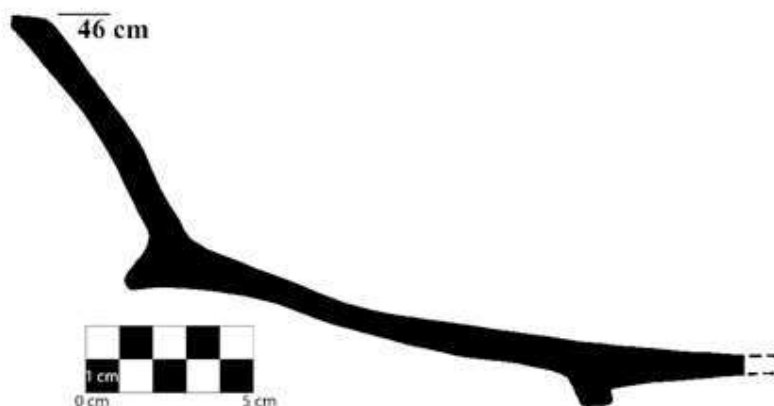
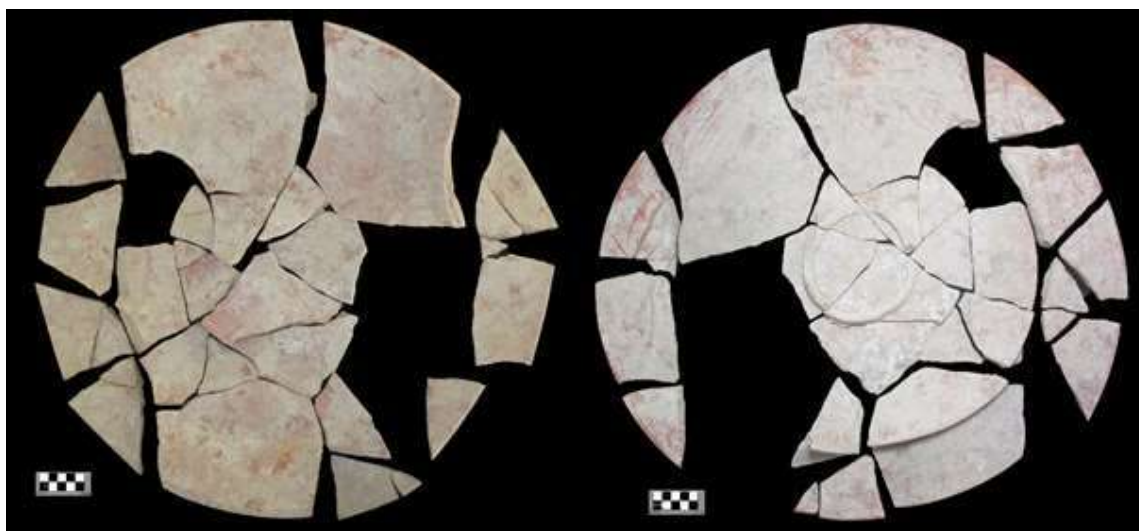


Figura 8.25 Vasija ACH-V009. Cuenco grande con paredes gruesas, una pestaña basal, un anillo de base, borde directo, y labio redondeado. El cuenco cuenta con engobe naranja en el interior, este se extiende sobre el labio hasta la pestaña. Es del tipo Águila Naranja. Se encontró labio a labio con ACH-V010 (Fotografía y Dibujo por C. Parris).

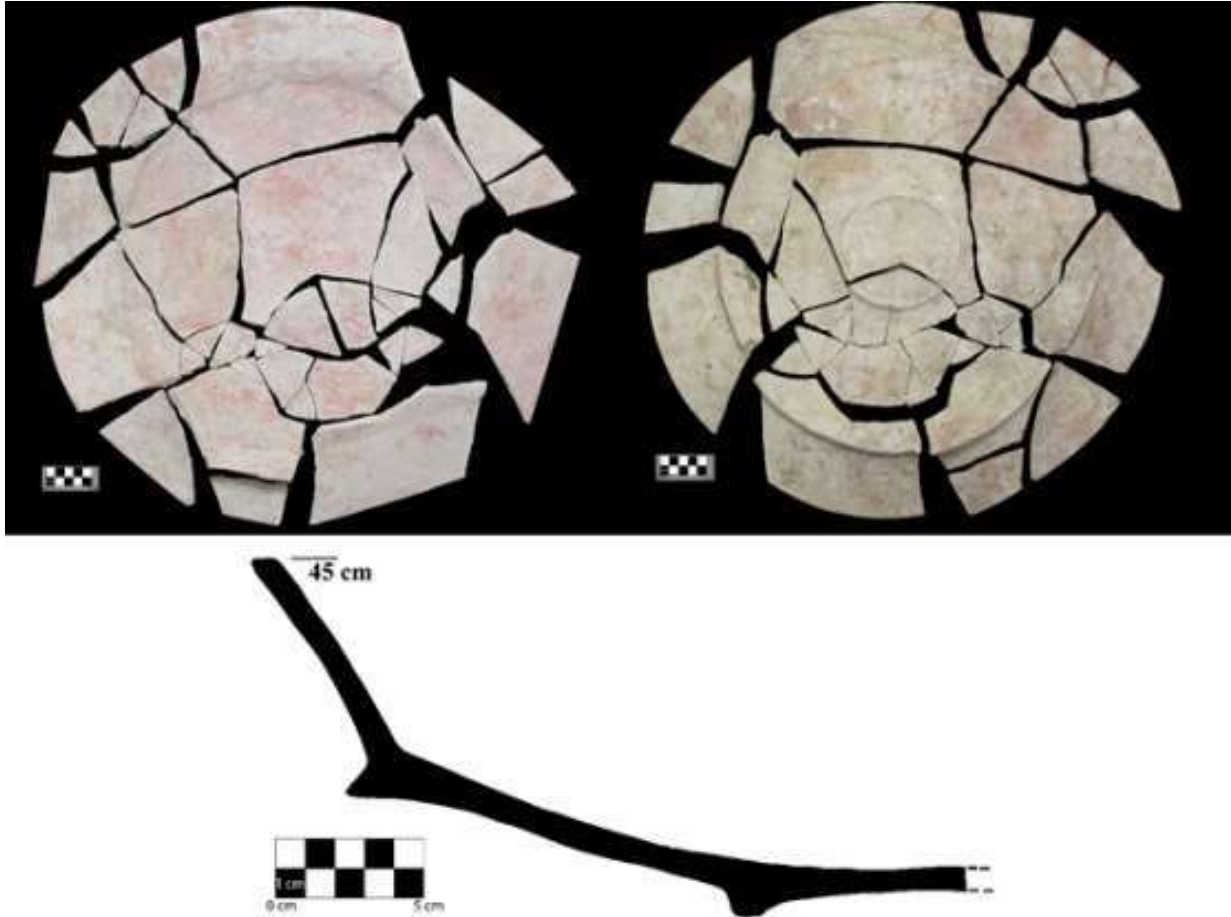


Figura 8.26. Vasija ACH-V010. Un cuenco grande con paredes gruesas, una pestaña basal, base de anillo, borde directo, y labio redondeado. Presenta engobe naranja en el interior, este se extiende sobre el labio hasta la pestaña. Es del tipo Águila Naranja. Colocado labio a labio con ACH-V009 (Fotografía y Dibujo por C. Parris).



Figura 8.27. Huesos humanos desarticulados contenido dentro de un escondite labio a labio en la Ofrenda 5 (Fotografía L. Auld-Thomas).

El análisis osteológico del material de esta ofrenda fue realizado por Erin Patterson, quien indica que los huesos son de al menos dos individuos (comunicación personal): un individuo adulto y otro sub-adulto (análisis basado en la morfología dental). También se ha interpretado como un entierro secundario, ya que los huesos se encuentran totalmente desarticulados y el número mínimo de individuos es de dos. El material cerámico de la Ofrenda 5 pertenece a las fases cerámicas Tzakol y Tepeu 1.

Aunque queda pendiente un realizar un análisis completo de los fragmentos recuperados del relleno de la arquitectura, esta última renovación de la plataforma adosada puede ser fechada tentativamente por medio del material de la Ofrenda 5, el cual corresponde a la fase cerámica Tepeu 1, aproximadamente 600-700 d.C.

Nivel 4b. Este comprende los muros norte, sur y oeste del Cuarto 2 (el muro este pertenece al nivel 4c), así como el Piso 1 y la Ofrenda 3, la cual se encuentra en un corte, interrumpiendo la estratigrafía anterior y dispuesta sobre el Piso 2. Se observa una mejor calidad en la mampostería del Cuarto 2, en comparación a la observada en el Cuarto 1 (ver nivel 4a), ya que presenta piedras grandes y talladas. Los muros norte y sur fueron agregados al muro este, el cual continúa atrás de ellos, indicando que el Cuarto 2 fue una adición posterior y que el muro este era la fachada original del recinto de la estela (Cuarto 3/nivel 4c). El Piso 1 fue localizado a una profundidad de 1.32 m, bajo el cual se encontró una matriz dura de color café grisáceo (lote ACH30-1-19) que presentó un fragmento de cerámica y un fragmento de obsidiana que se descansaba sobre el Piso 2 a 1.61 m de profundidad.

Ofrenda 3

Esta fue localizada dentro de un corte de 0.35 x 0.35 m en el Piso 2, a una profundidad de 1.61 m. Esta ofrenda consiste en un solo plato de engobe rojo, de 22 cm de diámetro, y pertenece al grupo Cerámico Quintal (tipo Quintal sin engobe) (Figura 8.29). Esta vasija pertenece a la esfera cerámica Tzakol, lo cual indica que su manufactura fue durante el Período Clásico Temprano.



Figura 8.28. Ofrenda 3 *in situ* dentro de un corte en el Piso 2 (Fotografía L. Auld-Thomas).

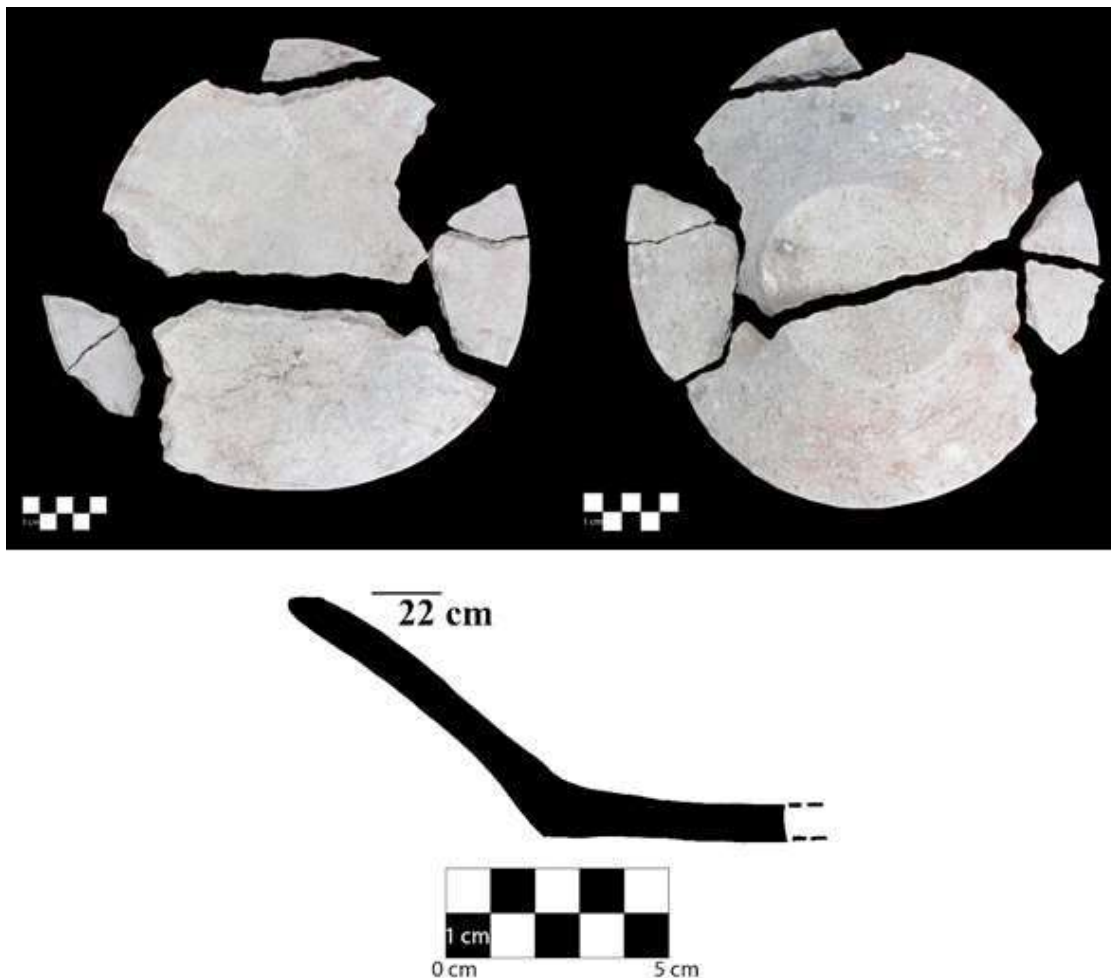


Figura 8.29. Ofrenda 3, vasija ACH-V004. Cuenco de paredes gruesas con borde directo, labio biselado, y base plana. La vasija no presenta engobe. La vasija está rota casi por la mitad. No se pudo determinar si este patrón de quiebre es ante- o post-deposición. Tipo Quintal sin engobe (Fotografía y Dibujo por C. Parris).

Nivel 4c. Comprende la totalidad del Cuarto 3 (el recinto de la estela) junto con su fachada original y pisos, así como los restos de la Estela 1 y dos ofrendas dedicatorias (Ofrendas 1 y 4). El Cuarto 3 es de 2 x 1 m y originalmente presentaba un techo abovedado, puesto que la base del techo aún era claramente visible a aproximadamente 1.8 m sobre el nivel del piso. La mampostería era de gran calidad, aunque solo algunos parches de estuco aún quedaban en su lugar. Es claro que el Cuarto 3 originalmente era un recinto de un solo cuarto, y los muros de mampostería que forman el límite este del Cuarto 2 continuaban tanto al norte como al sur de la Plataforma Adosada (ver secciones ACH30-1-Ext1 y ACH30-1-Ext2, a continuación). Esto es

evidencia de que el muro en cuestión no fue construido como un muro interior, sino como la fachada de un edificio a la cual luego se le adhirió el Cuarto 2. En la puerta que permite el acceso al Cuarto 3 y a unos 0.05 m de la fachada del cuarto, se encontró un alineamiento de piedras talladas dispuestas en dos líneas, y un piso de estuco (Piso 2) que se proyecta al este de estas piedras a una profundidad de 1.51 m bajo el *datum*, inmediatamente en la unión entre las líneas superior e inferior de piedras. La presencia conjunta de estos rasgos se interpreta como un escalón que asciende desde una plataforma adosada baja, de dimensiones desconocidas y que permitía el acceso al recinto de la estela. El Piso 4 es un piso rústico en el interior del Cuarto 3, a 1.24 m bajo el *datum*. Este es de 0.06 m de ancho y bajo el cual se encontró una matriz dura de color gris (lote ACH30-1-12). Este lote contiene 14 fragmentos de cerámica, los cuales todos fueron diagnósticos para el Clásico Temprano (Tzakol). Este lote se encuentra sobre el Piso 3, a 1.71 m de profundidad. Tanto la estela como la Ofrenda 1 se encuentran asociadas directamente a este contexto.

Estela 1

Se identificó que ésta fue cuidadosamente re-colocada en el interior del Cuarto 3, quebrada en dos piezas y acompañada por un “altar” redondo de piedra (este no presenta ninguna decoración), el cual fue colocado sobre la porción inferior de la estela (Figura 8.30).

La parte inferior de la estela mide 0.85 m x 0.7 m x 0.2 m. y fue colocada dentro del piso del Cuarto 3 (Piso 4) con solo una pequeña porción que sobresalía del nivel del piso. En la parte posterior de esta porción se puede discernir un solo glifo, potencialmente rodeado por un cartucho (Figura 8.34). Esta presentación de bloques de glifos dentro de cartuchos es idéntica en la porción superior (Figura 8.31) y confirma que ambos fragmentos pertenecen al mismo monumento. Es importante mencionar que el único glifo legible en la sección inferior de la Estela 1 solo se conoce en otro contexto en todo el corpus de inscripciones jeroglíficas mayas: el Marcador de Tikal, el cual describe la famosa entrada de *Siyaj K'ahk'* en 378 d.C. (Comunicación personal de David Stuart). El significado de este glifo aún es desconocido.

La porción superior de la Estela 1 mide 0.8 m x 1 m x 0.2 m, y fue encontrada descansando sobre el piso del Cuarto 3, y recostada contra el muro posterior (muro Este) y posicionada en línea con la puerta. Esta presenta tallas tanto al frente como en la parte posterior.

El frente presenta un individuo, muy probablemente un hombre, vestido con el atuendo típico de los gobernantes del Clásico Temprano en el área maya (Figura 8.32). También sostiene un cetro de una serpiente bicéfala frente a su pecho y presenta un tocado complejo que consiste en la cabeza de una deidad y glifos de figura completa que deletrean su nombre. La única porción de este nombre que es legible con certeza consiste un "Dios Bufón" con características de ave y una variante del Clásico Temprano del glifo WAY infijo en la frente del mismo. Una traducción laxa de estos dos elementos puede ser Papel Fantasma, sobrenombre que usaremos para este individuo hasta tener una mejor lectura de su nombre.

La parte trasera del monumento presenta una inscripción jeroglífica dividida en cuatro cartuchos con cuatro bloques de glifos cada uno (Figura 8.33). El primer cartucho provee una fecha abreviada, probablemente 418 d.C. El texto sigue con la descripción de una celebración de un aniversario de dos Katunes (TZUTZ-yi u-2-WINIKHAAB) por parte de alguien descrito como u-MAM / K'UH-¿? TAHN-WINIK-na, o el abuelo/nieto (*Mam*) materno de una persona que posee el título conocido como *K'uhul "Chatahn" Winik*. El aniversario del 2do katún, celebrado en 418 d.C., presuntamente celebra un evento original, posiblemente la ascensión al trono por parte del protagonista, que tuvo lugar en el 379 d.C.

El texto termina con una referencia ambigua a un "edificio" o un "escenario" (TZ'AK) de cinco *yajaws* (ya-AJAW), un término posesivo común para gobernantes subordinados. El gobernante superior que posee estos *yajaws* es nombrado en el último bloque de glifos legibles, el cual es de cuatro cartuchos. Los glifos individuales en su mayoría no han sido descifrados, sin embargo el nombre puede ser una versión resumida del título llevado por *Yax Nuun Ayiin*, el rey contemporáneo de Tikal, que aparece en varios monumentos en este sitio. Por lo tanto es posible que la inscripción de la Estela 1 haga referencia a un gobernante local de El Achiotal (un *yajaw*), quien accedió al trono en el 379 d.C. y estuvo subordinado a *Yax Nuun Ayiin* de Tikal, quien tomó poder el mismo año de la famosa Entrada Teotihuacana en el 378 d.C.

Un análisis más detallado de este texto está siendo elaborado por David Stuart, epigrafista del proyecto, y no será publicado aquí.



Figura 8.30. Frente de la porción superior de la Estela 1 (Fotografía por L. Auld-Thomas).



Figura 8.31. Lado posterior de la porción superior de la Estela 1 (Fotografía D. Stuart).

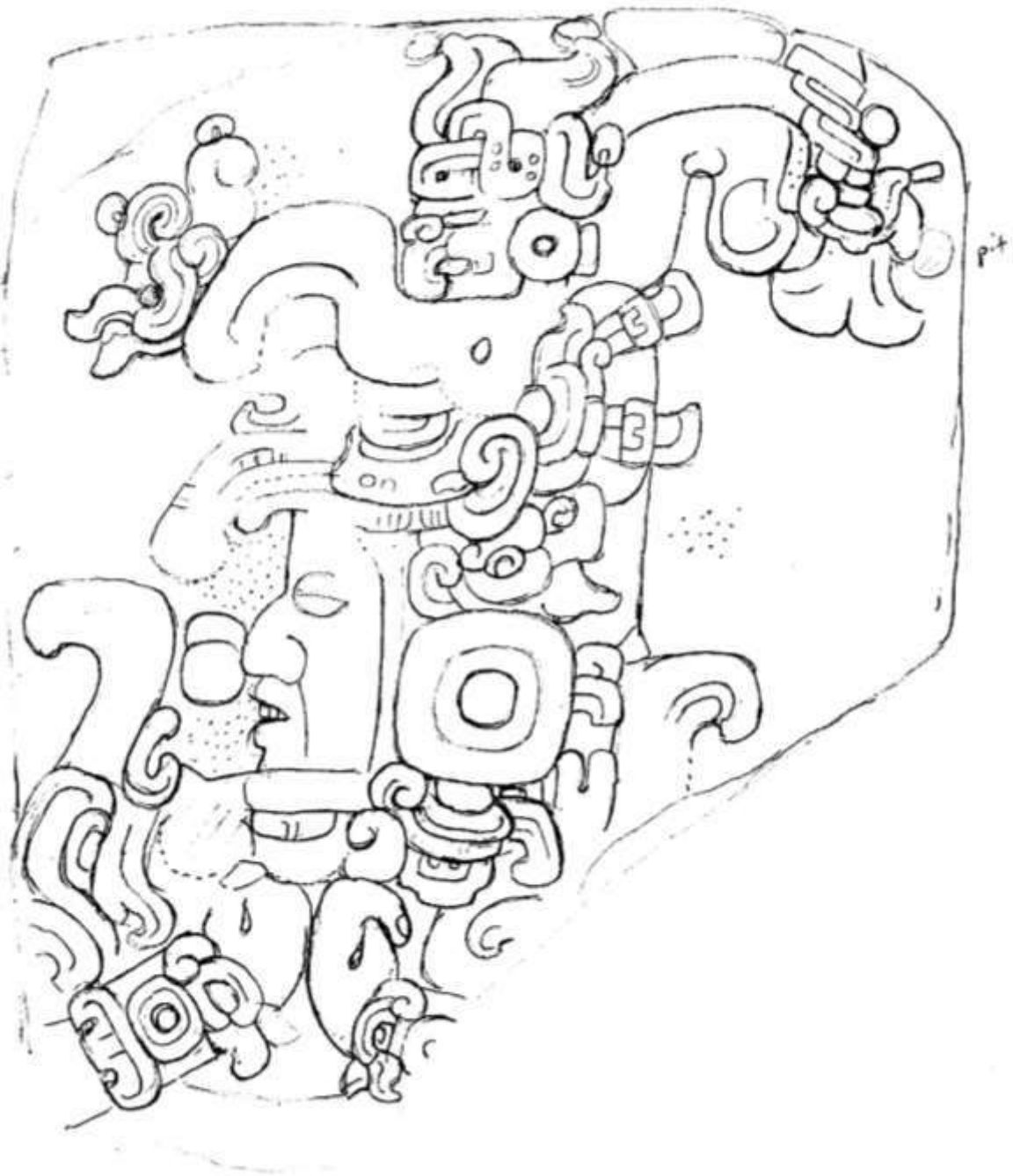


Figura 8.32. Dibujo del frente de la Estela 1 (Dibujo por D. Stuart).



Figura 8.33. Dibujo del lado posterior de la Estela 1 (Dibujo por D. Stuart).



Figura 8.34. Único glifo en el fragmento inferior de la Estela 1 (Fotografía L. Auld-Thomas).

Ofrenda 1

Esta fue descubierta bajo la base de la Estela 1 y se encontraba directamente sobre el Piso 3, el cual era el piso final de la plaza abierta, a 1.71 m de profundidad. Esta ofrenda consiste de 4 “excéntricos” de pedernal, dos al norte de la base de la Estela 1 y dos al sur de la misma. Ambos grupos presentaron un excéntrico colocado horizontalmente en el piso y uno colocado verticalmente el relleno (Figuras 8.35 y 8.36).



Figura 8.35. Ofrenda 1 *in situ* en la base de la Estela 1 (Fotografía L. Auld-Thomas).



Figura 8.36. Excéntricos de pedernal recuperados en la Ofrenda 1, re-ensamble en laboratorio. Los dos excéntricos colocados en ángulo fueron los colocados verticalmente (Fotografía L. Auld-Thomas).

Ofrenda 4

Esta fue dispuesta en un corte grande de aproximadamente 0.8 m x 0.65 m en el Piso 3 (piso de plaza), justo en la base del escalón que accede al Cuarto 3, a 1.75 m de profundidad (Figura 8.37). Este corte fue cubierto por el Piso 2 y por lo tanto se considera que esta ofrenda es contemporánea a la construcción del Piso 2 y el Cuarto 3- lo que significa que se trata de una dedicación al recinto de la estela. El corte fue cubierto con una piedra laja de aproximadamente 0.7 m de largo. La ofrenda en si misma consiste de un solo cuenco enorme de engobe rojo (del grupo Águila) con una tapadera (Figura 8.38). El cuenco estaba vacío pero se encontró una pequeña cantidad de sedimentos en el fondo, los cuales se cree que entraron a través de una porción rota en la tapa.



Figura 8.37. Ofrenda 4 *in situ*. La ofrenda ocupaba un espacio vacío cubierto por una piedra laja grande (arriba) (Fotografías por L. Auld-Thomas)



Figura 8.38. Vasijas ACH-V005 (tapadera) y ACHV006 (base). La tapadera presenta una cima plana y costados evergentes con curvatura ligera. El borde es engrosado al interior con labios cuadrados. Presenta engobe rojo en el interior y sobre el labio hasta el borde exterior. El exterior posee un engobe naranja delgado sobre la parte superior de las paredes y la cima. La vasija es un cilindro de paredes verticales con borde directo, labio cuadrado y base plana. La vasija presenta engobe rojo en las paredes exteriores. Ambas pertenecen al grupo Águila, de la fase Tzakol (Fotografía y Dibujo por C. Parris).

Nivel 5. Se trata del piso final de la plaza (Piso 3) frente y bajo la Plataforma Adosada, así como el relleno bajo éste, el cual solo fue excavado en una porción de 0.2 x 0.3 m dentro del Cuarto 3. Este piso presenta una inclinación muy leve que va de este a oeste, y se ubicó a una profundidad promedio de 1.71 m en el Cuarto 3 (bajo la Estela 1), a 1.75 m en el Cuarto 2, y a 1.86 m frente a la Plataforma Adosada. El piso presenta al menos dos cortes durante el proceso de construcción y renovación de la Plataforma Adosada, ambas veces para que los constructores pudieran depositar ofrendas (Ofrendas 4 y 5). Varios fragmentos de estuco provenientes del piso contuvieron material vegetal carbonizado, el cual fue recolectado para análisis de radiocarbono.

Nivel 6. Fue el nivel más profundo que se alcanzó durante la excavación. Este consiste en escalones de piedra estucados, encontrados a través de una excavación estrecha, que corren norte-sur, a lo largo de la sección norte de la cámara de la estela. Estos escalones se unen con el piso final de la plaza (nivel 5), tras el cual se descubrió otro escalón que pertenece a la misma escalinata. En total fueron expuestos tres escalones, lo suficiente para indicar la presencia de una escalinata formal (Figura 8.39). Los dos escalones superiores fueron de 0.25 m de alto y 0.3 m de ancho cada uno, mientras que el escalón inferior (el escalón cubierto por el piso final de la plaza) es de 0.3 m de ancho pero de una altura indeterminada que pasa los 0.35 m, indicando que este escalón corresponde a la base de la plataforma en cuestión.



Figura 8.39. Escalinata principal de la Estructura 5C-08 bajo el recinto de la estela. El fragmento inferior de la Estela 1 se encuentra al centro (Superior). Notar que los muros de mampostería del recinto de la estela (nivel 4c, Cuarto 3), a la izquierda, descansan sobre la escalinata (Abajo) (Fotografía L. Auld-Thomas).

Nivel	Lotes/Rasgos asociados
Nivel 1	ACH30-1-1
Nivel 2	ACH30-1-2 ACH30-1-15 (posiblemente mezclado con Nivel 3) ACH30-1-16 (posiblemente mezclado con Nivel 3)
Nivel 3	ACH30-1-6 ACH30-1-8 ACH30-1-17 ACH30-1-18 (posiblemente mezclado con Nivel 4c) Ofrenda 2 (ACH30-1-14)
Nivel 4a	Cuarto 1: Muros N, S, O ACH30-1-4 ACH30-1-27 ACH30-1-28 ACH30-1-30 Ofrenda 5
Nivel 4b	Cuarto 2: Muros N, S, O ACH30-1-5 ACH30-1-19 ACH30-1-21 ACH30-1-29 Ofrenda 3 (ACH30-1-22) Piso 1 (ACH30-1-7)
Nivel 4c	Cuarto 3 ACH30-1-9 ACH30-1-10 Piso 4 (ACH30-1-11) (probable) ACH30-1-12 ACH30-1-23 ACH30-1-25 ACH30-1-26 Piso 2 (ACH30-1-20) Ofrenda 1 Ofrenda 4
Nivel 5	Piso 3, o piso final de plaza (ACH30-1-3; ACH30-1-13; ACH30-1-24) ACH30-1-32
Nivel 6	ACH30-1-31

Tabla 8.3 Guía para identificar los lotes asociados con cada nivel en la sub-operación ACH30-1 (no se incluyen las extensiones).

Unidad ACH3O-1-Ext1.

Esta extensión fue colocada en la sección sur de la Plataforma Adosada descubierta por ACH3O-1, y siguió la plataforma hasta la fachada de la Estructura 5C-08 antes de girar al sur y seguir esta misma fachada hasta que dejó de detectarse, a una distancia de 1.8 m.

Nivel 1. Corresponde al humus, el cual se extendió hasta aproximadamente 0.1 m bajo la superficie. Todo el material encontrado fue dispuesto en un solo lote (ACH3O-1-Ext1-1).

Nivel 2. Consiste de un suelo café rojizo mezclado con una gran cantidad de piedras y abundante material cerámico, el cual se interpreta como derrumbe del edificio. Este nivel se extendió hasta 1.86 m de profundidad y consistió de dos lotes. El lote ACH3O-1-Ext1-2 se ubicó frente a la fachada original del recinto de la estela, el cual presentó abundante material cerámico (8 bolsas) y 2 fragmentos de obsidiana. El lote ACH3O-1-Ext1-4, fue localizado sobre y tras la fachada, el cual totalizó una bolsa de fragmentos de cerámica.

Nivel 3. Consistió en una matriz compacta y dura color gris, mezclada con piedras grandes, la cual se extendió entre 1 y 1.64 m bajo el nivel del *datum*; y un adosamiento de mampostería a la fachada del recinto de la estela (ACH3O-1 Nivel 4c). Ésta matriz se extendió por aproximadamente 1 m al oeste de la fachada y se sobreponía al piso. Consistió de un solo lote (ACH3O-1-Ext1-3), del cual se recuperaron dos fragmentos de obsidiana y tres bolsas de fragmentos de cerámica.

Nivel 4. Corresponde a la fase final de la arquitectura que aún permanecía, incluyendo el piso final de la plaza (ACH3O-1, Piso 3); la fachada de mampostería en el extremo este de la excavación; y un piso de plaza elevada ligeramente inclinado, que fue encontrado a 1.64 m de profundidad en la fachada y a 1.7 m de profundidad en el extremo oeste, el cual estaba nivelado con la fachada del Cuarto 2.

Unidad ACH3O-1-Ext2

Esta extensión fue colocada en el lado norte de la Plataforma Adosada descubierta en ACH3O-1, y seguida por el cuerpo de la plataforma hasta la fachada de la Estructura 5C-08.

Nivel 1. Consistió del material de superficie y materia orgánica, la cual se extendió hasta 0.1 m bajo el nivel de la superficie. Todo el material fue colocado en un solo lote (ACH3O-1-Ext-2-1).

Nivel 2. Conformado por un suelo café rojizo mezclado con una gran cantidad de piedras y abundante material cerámico, el cual es interpretado como el colapso del edificio. Este nivel se extendió hasta 1.86 m de profundidad y consistió de un solo lote, ACH3O-1-Ext2-2.

Nivel 3. Consistió de la última fase arquitectónica, incluyendo el piso de plaza, un solo escalón que se eleva hasta un piso ligeramente elevado, el escalón basal y la fachada de la Plataforma Adosada. No se designaron lotes para el material de este nivel, puesto que no se excavó dentro de la arquitectura; sin embargo, se encontró la punta de un proyectil de pedernal café dispuesto en el escalón basal de la plataforma adosada y fue definido como un “descubrimiento pequeño” (Figura 8.40).



Figura 8.40. Punta de proyectil de pedernal, *in situ* (arriba), y luego de la excavación (abajo)
(Fotografía L. Auld-Thomas).

Observaciones generales en relación a las unidades ACH3O-1-Ext1 y ACH3O-1-Ext2.

Han de notarse los rasgos arquitectónicos revelados en las extensiones de ACH3O-1. La fachada de piedra encontrada en el extremo este de la extensión pertenecía a la misma fase constructiva de la cámara de la estela (ACH3O-1-nivel 4c). De igual forma, las piedras de la fachada en el mismo plano horizontal y las que conforma el muro este del Cuarto 2, continúan tras el muro norte adosado del Cuarto 2 a ambos lados. Esto indica que la fachada del recinto de la estela era más ancha que la misma Plataforma Adosada y probablemente bloqueaba todo el acceso a la escalinata original sobre la que se construyó (Figuras 8.41 y 8.42). Sin embargo, el único escalón que conduce al piso elevado que se encontró en esta excavación, posiblemente pertenece a la misma fase constructiva del Cuarto 2, puesto que el escalón se alinea perfectamente con los bloques de piedra de la plataforma basal, a unos 0.1 m en frente (o al oeste) del muro frontal de esa fase. El tamaño y el poco trabajo de estas piedras al oeste de esta juntura, sugieren que el escalón encontrado en ACH3O-1-Ext2 marcaba el extremo oeste de esta plataforma cuando el Cuarto 2 fue construido, y que servía como escalón basal ligeramente salido para este adosamiento. El piso elevado tras este escalón (al este) es interpretado como una plataforma baja que soporta el Cuarto 2. Las dimensiones norte-sur de esta pequeña plataforma adosada aún son desconocidas.



Figura 8.41. Muro sur del Cuarto 2 colocado sobre la fachada original del recinto de la estela. Notar que el muro original continúa a ambos lados del muro adosado (Fotografía L. Auld-Thomas).



Figura 8.42. Detalle mostrando la fachada asociada con el nivel 4c, que continúa tras la adición del nivel 4b (Fotografía L. Auld-Thomas).

Interpretación de ACH30-1

La posición original de la Estela 1 es desconocida, al igual que las circunstancias por las que fue quebrada. La destrucción deliberada es poco probable, dada la veneración subsecuente de este monumento, pero no puede ser descartada. Al menos resulta claro que el monumento no estuvo de pie o caído por mucho tiempo luego de ser quebrado, puesto que presenta pocos signos de deterioro por exposición a los elementos. De cualquier forma, luego de que la estela fuera quebrada, ambas piezas fueron relocalizadas en un recinto construido a medida (Cuarto 3, nivel 4c), el cual fue colocado sobre la escalinata central (nivel 6), cancelando el acceso a la superficie de la Estructura 5C-08. Este recinto poseía una plataforma frontal de 2 m de profundidad y de ancho desconocido (Piso 2). El material cerámico recuperado en los rellenos de esta etapa, junto con las vasijas completas de la Ofrenda 4, ofrece una fecha del Clásico Temprano para la construcción del recinto de la estela (pero muy seguramente no antes del 418 d.C., cuando es posible que la estela haya sido dedicada).

Subsecuentemente este recinto fue expandido con la adición del Piso 2 y una Plataforma Adosada ligeramente elevada sobre la cual se asienta (junto con el nivel 4b). Los pisos elevados descubiertos en las unidades ACH3O-1-Ext1 y ACH3O-1-Ext2 posiblemente también pertenecen a esta fase constructiva. Provisionalmente se fecha esta renovación para el Clásico Temprano, en base a los grupos cerámicos encontrados en la Ofrenda 3 y la estratigrafía de las renovaciones que la posiciona entre los contextos del Clásico Temprano y Clásico Tardío.

La adición del Cuarto 1 (nivel 4a) y la extensión de la Plataforma Adosada al oeste corresponden al momento en que se depositó la Ofrenda 5 en un corte del Piso 3 (antiguo piso de plaza). Con la adición del Cuarto 1, la cámara de la estela ahora presentaba un acceso mediante dos antecámaras con puertas alineadas, de tal manera que el retrato del gobernante tallado en la Estela 1 aún pudiera ser observado desde la plaza mientras hubiera la suficiente luz. El material cerámico proveniente de la Ofrenda 5 data esta construcción para Tepeu 1, osea 600-700 d.C.

Finalmente, la ofrenda masiva de cerámica Tepeu 1 (nivel 3) fue depositada dentro del Cuarto 3, junto con el escondite de vasijas dispuestas labio a labio que eran de formas típicamente Clásico Temprano (Ofrenda 2). Para este último se cortó el Piso 3 del cuarto, pero nunca fue cubierto con otro piso. Virtualmente toda la cerámica depositada en el Cuarto 3 consiste en mitades o cuartos de vasijas. La única vasija casi completa fue un vaso tipo códice, indicando una fecha tardía dentro de Tepeu 1 para este depósito.

No se realizaron más modificaciones a este recinto o a la Plataforma Adosada después del nivel 3 de este depósito, por lo que este último se interpreta como un ritual de terminación para el edificio, posiblemente durante el abandono del sitio.

Suboperación ACH3-LT4

Se ubica en la parte inferior a nivel de plaza, en el lado noroeste del edificio, con dimensiones de 6.5 m de largo por 1 m de ancho, (ancho máximo de 2 m) con una profundidad aproximada de 4.96 m. Los perfiles de esta trinchera revelan evidencia de un piso estucado y un posible muro, así como una serie de rellenos de tierra de consistencias variadas.

Lote 1: Humus, conformado por relleno de tierra negra suelta granulada, hojas podridas, plantas pequeñas con raíces de aproximadamente 0.05 m de diámetro, y piedras calizas de diferentes tamaños, producto de las excavaciones ilícitas y el colapso natural. Se observaron algunas

piedras podridas. El contexto tuvo una profundidad de 0.15 m, recuperándose 89 tiestos de cerámica y 2 fragmentos de lítica.

Lote 2: Relleno de saqueo conformado por tierra blanca suelta mezcla con tierra café, con presencia de piedras de diferentes tamaños incluyendo bloques de caliza correspondientes a algún muro. Se localizaron 39 tiestos de cerámica sin contexto.

Lote 3: Relleno de tierra con una matriz suelta de color café, con presencia de raíces de diferentes diámetros y piedras calizas. No se recuperó material cultural.

Lote 4: Relleno de construcción consistente de tierra suelta de color blanco, con presencia de piedras pequeñas de diferentes dimensiones. Este relleno constructivo posiblemente corresponda a la última etapa construcción.

Lote 5: Rasgo arquitectónico consistente de un piso estucado de un grosor aproximado de 0.08 m, ubicado en la parte superior del perfil sur. Fue expuesto por la trinchera de saqueo (Figura 8.43).

Lote 6: Rasgo arquitectónico formado por una alineación de piedras que puede corresponder a un muro de la última etapa constructiva. No se observó remanentes de estuco o argamasa de consolidación. Lastimosamente no se logró determinar por el grado de erosión y preservación que presentó.

Lote 7 Roca caliza. Al remover el relleno de saqueo, se logró identificar la roca caliza, a una profundidad de 0.3 m, sin aparente nivelación como lo observado en el lote 5 de ACH3-LT2. No se recuperó material cultural.

Resultados preliminares

La limpieza de esta trinchera no logró determinar rasgos arquitectónicos definidos de etapas constructivas (Figura 8.43), excepto el piso finamente estucado (lote 4) que corresponde a la parte superior del lado norte de la estructura y que podría pertenecer a la última etapa de construcción (Figura 8.44). La alineación de piedras rústicas pareciera más un relleno de construcción para la siguiente etapa, y el resto son rellenos sueltos con presencia de piedras de varios tamaños, producto del saqueo, relleno, colapso y deposición natural de tierra. En base a los objetivos planteados, la limpieza y remoción del relleno de saqueo fue parcial, por el hecho que no registró hallazgos relevantes. Quedaron pendientes más intervenciones en el futuro.

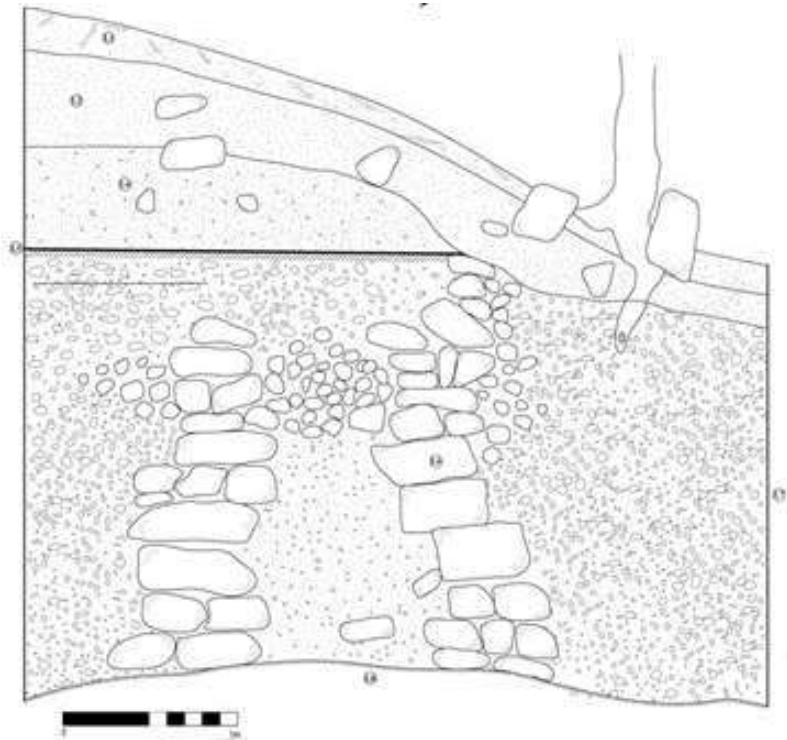


Figura 8.43. Perfil sur de ACH3-LT-4 (Dibujo de M. Montejo y L. Auld-Thomas).



Figura 8.44. Perfil sur de ACH3-LT-4 (Fotografía L. Auld-Thomas).

Suboperación ACH3-LT5

Se ubica en la parte superior del lado noroeste del edificio, en forma de cráter con un diámetro aproximado de 2 m y profundidad desconocida. La intervención se realizó con el propósito de conocer si el muro (lote 6) localizado en la trinchera ACH3-LT6 (fachada norte) continuaba formando una estructura rectangular o si lo hacía en forma de L invertida. Para ello se excavó parcialmente la tierra producto del saqueo hasta localizar dicho muro (Figura 8.45).

Lote 1: Relleno de saqueo, conformado por tierra blanca suelta con presencia de piedras de diferentes tamaños. En este relleno que corresponde a la tierra de excavación ilícita se recuperaron 40 de tiestos de cerámica.

Lote 2: Rasgo arquitectónico consistente por un muro elaborado de bloques rectangulares de caliza puestos en soga, con mampostería fina y decoración de fino estuco con remantes de pintura color rojo. Se logró observar la esquina o arremetimiento que realiza hacia el este. Dicha intervención no se logró continuar por motivos de tiempo, quedando pendiente para futuras investigaciones.



Figura 8.45. Muro ubicado en ACH3-LT-5 (Fotografía L. Auld-Thomas).

Suboperación ACH3-LT6

Se ubica en la fachada o lado norte, desde nivel de plaza hasta la parte superior, uniéndose con la trinchera ACH3-LT5. Midió 7.1 m de largo por 2 m de ancho, (ancho máximo de 2.2 m) con una profundidad aproximada de 4.6 m. Los perfiles de esta trinchera revelaron evidencia de arquitectura expuesta, asimismo una serie de rellenos de tierra de consistencias variadas. Se decidió intervenir esta trinchera con el fin de entender el lado norte del edificio, ya que se desconocía por completo. Se definieron 9 lotes culturales:

Lote 1: Humus compuesto por una matriz de tierra negra suelta granulada, hojas podridas, plantas pequeñas, raíces de diferente de diámetro, y piedras calizas de diferentes tamaños con señales de talla, producto de las excavaciones ilícitas y el colapso natural. El contexto tuvo una profundidad de 0.1 m y no se recuperó ningún tipo de material cultural.

Lote 2: Relleno de tierra de saqueo, consistente de tierra suelta color blanco con presencia de piedras grandes y pequeñas y raíces de diferentes tamaños. Se localizaron 126 tiestos de cerámica y un artefacto de lítica, que consiste en una piedra labrada en forma de cabeza humana (Figura 8.46). También se recuperaron 15 fragmentos de estuco con remantes de pintura roja, pero sin contexto, ya que la tierra se encontraba removida.



Figura 8.46. Piedra tallada en forma de cabeza humana (Fotografía M. Montejo).

Lote 3: Rasgo arquitectónico (1.08 a 2.56 m bajo el nivel del *datum*) consistente en un muro elaborado de bloques rectangulares de caliza puestos en soga, con remanentes de mampostería fina, que posiblemente corresponda al segundo cuerpo de la última etapa constructiva. Midió 1.38 m de altura, con orientación en eje este-oeste a 85° norte y un desplome de 0.08 m. La trinchera de saqueo mutiló dicho muro, dejándolo en un mal estado de preservación.

Lote 4: Rasgo arquitectónico que consiste en un piso estucado de un grosor aproximado de 0.08 m ubicado en la parte superior de la fachada norte, a 2.36 m del *datum*. El piso fue expuesto y mutilado por la trinchera de saqueo, y corresponde al mismo localizado en lote 4 de la trinchera ACH3-LT4.

Lote 5: Relleno de tierra compuesto de una matriz fina de color blanco con presencia de piedras pequeñas a diminutas tipo piedrín y compactadas. Corresponde a una nivelación de tierra compacta para la construcción del piso (lote 4). No se recuperó material cultural.

Lote 6: Rasgo arquitectónico consistente en un muro elaborado con bloques rectangulares de caliza puestos en soga, con mampostería fina y decoración de estuco fino con remanes de color rojo. Tiene orientación este-oeste a 86° norte y una altura de 2.16 m. El muro se encuentra mutilado en la parte central de la fachada norte, producto de la excavación ilícita (Figura 8.47). Las características que presenta dicho muro corresponderían una sub-estructura, posiblemente asociada al Preclásico Tardío.

Lote 7: Rasgo arquitectónico (-0.12. a -1 m del *datum*) que consiste en un basamento elaborado de bloques rectangulares mampuestos de piedra caliza finamente decorada con estuco de color rojo, adosada al muro del lote 6. Midió 0.88 m de altura por 0.64 m de ancho, con inclinación de 0.12 m hacia el norte. Por la excavación ilícita se encontró mutilado al centro en su fachada norte. En la fachada este, el ancho se redujo a 0.22 m de ancho (Figura 8.47).

Lote 8: Rasgo arquitectónico (-1 m del *datum*) consistente en un piso estucado con gran preservación. Aunque no se logró determinar el grosor, si corresponde al piso de plaza. Se lograron observar remanentes de pintura color rojo. En este piso se asientan el muro del lote 6 y el basamento del lote 7 (Figura 8.47).

Lote 9: Relleno constructivo conformado por piedras medianas a grandes (0.6 m de ancho por 0.8 de largo en su mayoría) con tierra fina de color blanca. Fungió como el relleno de consolidación que cubre el piso del lote 8 y el basamento del lote 7, para darle firmeza a la última etapa constructiva (lote 3). No se recuperó material cultural.

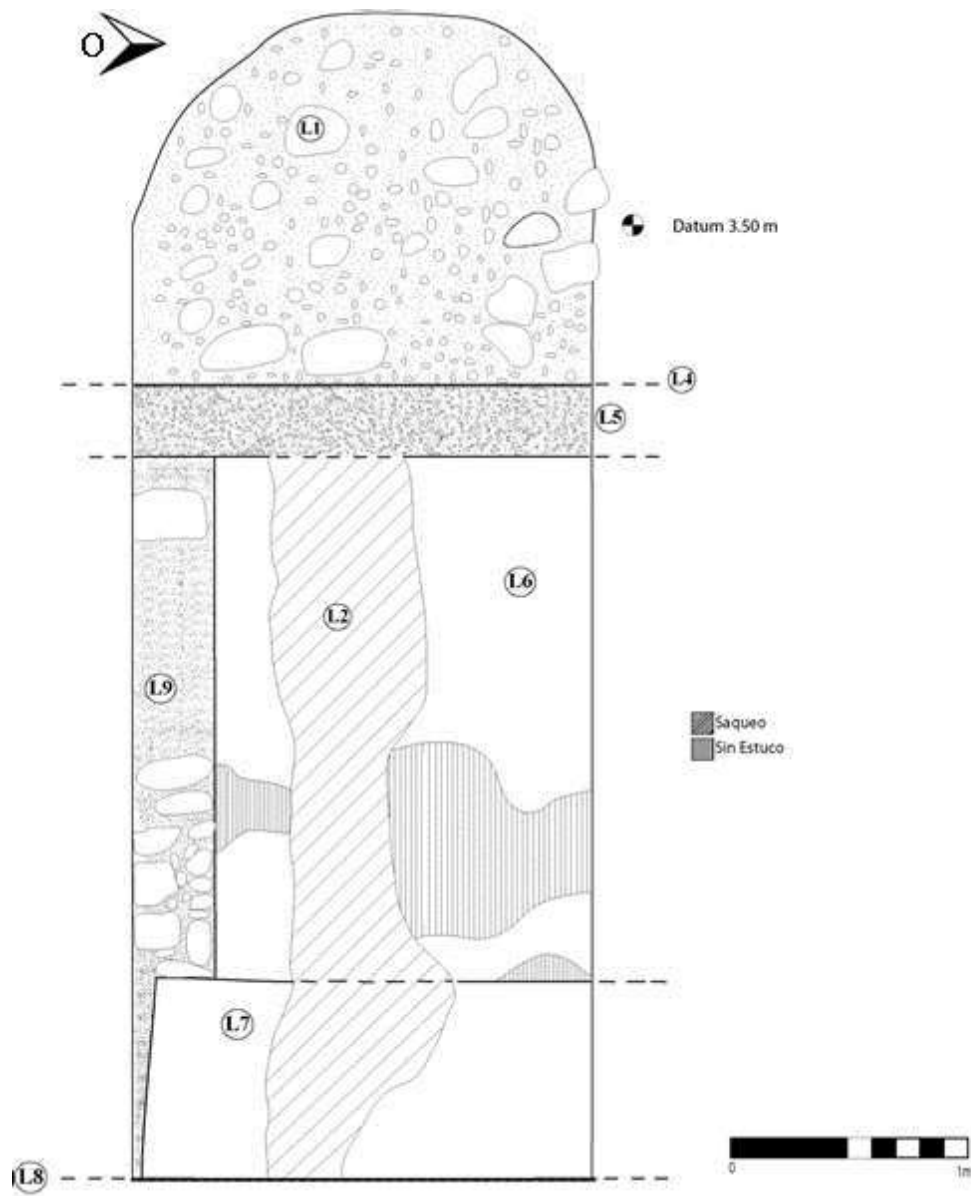


Figura 8.47 Fachada norte, Estructura 5C-08, Suboperación ACH3-LT6 (Dibujo de M. Montejo y L. Auld-Thomas).

Resultado preliminar

La limpieza de esta trinchera se realizó con el objetivo de conocer la fachada norte del edificio y entender la secuencia arquitectónica visible en fachada sur, expuesta en ACH-3-LT1. Se determinaron 9 lotes culturales (Figura 8.48) de los cuales el número 3 y 4 (muro y piso) podrían corresponder a la última etapa constructiva. Ambos fueron mutilados por el saqueo, provocando su deterioro y complicando su interpretación. El piso (lote 4) es el mismo localizado en ACH3-LT-4.

Los lotes 6, 7 y 8 pertenecen a una etapa más temprana (subestructura), por lo que presentan un buen grado de preservación, observándose aún rasgos de la decoración de pintura roja. El muro y el basamento (lote 6 y 7) fueron mutilados al centro por la excavación ilícita (Figura 8.49). La evidencia localizada demuestra que en la fachada norte se construyó una estructura totalmente diferente a la de la fachada sur (ACH3-LT-1), posiblemente una estructura en forma de L invertida adosada a la estructura central del edificio. Por el tipo de arquitectura podría corresponder al periodo Preclásico Tardío, pero esto se debe corroborar con los demás elementos localizados, ya que el material cultural recuperado pertenece a la tierra producto de la excavación ilícita y no cuenta con un contexto limpio.

El relleno excavado corresponde a la tierra y piedras de la excavación ilícita, la cual evidenció el daño provocado a la estructura, cuyos muros y basamento fueron destrozados. El relleno de piedras (lote 9) fue colocado con el fin de dar soporte a la nueva etapa constructiva visible parcialmente en los lotes 3 y 4 respectivamente.

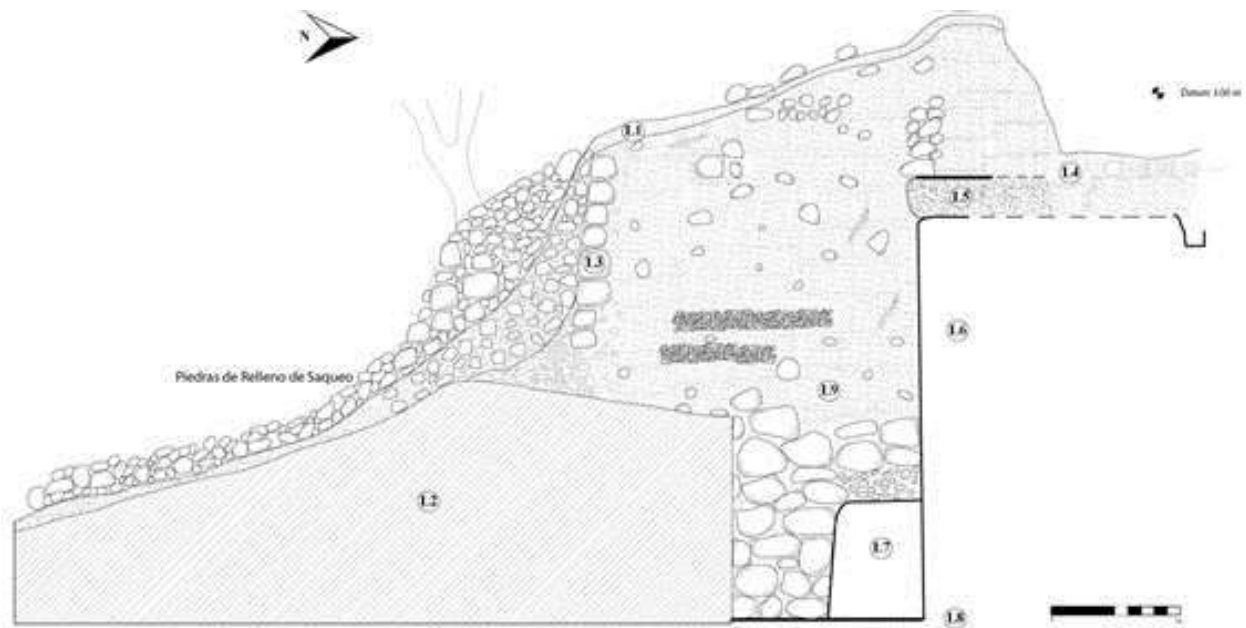


Figura 8.48. Perfil Este de ACH3-LT-6 (Dibujo M. Montejo y L. Auld-Thomas).



Figura 8.49. Fachada norte de la Estructura 5C-08, Suboperación ACH3-LT6 (Fotografía M. Montejo).

Operación ACH4: Excavaciones en la Estructura 5C-02

La Estructura 5C-02 es una plataforma rectangular ubicada en el lado oeste de la Plaza Sur, opuesta a la Estructura 5C-08. Las dimensiones del montículo son de 23.9 m N-S x 13.9 m E-O, con una altura promedio de 5 m. Esta estructura fue penetrada por tres trincheras de saqueo, dos en su lado este y una en el lado oeste, de las cuales solo se investigó la trinchera al oeste durante la Temporada 2015. Las excavaciones en esta estructura fueron designadas como la Operación ACH4.

Suboperación ACH4-LT3

Ubicada en la fachada este al centro del edificio, la trinchera de saqueo inicia desde el nivel de plaza hasta la parte superior, uniéndose con la trinchera ACH4-LT-2 en la parte posterior oeste, atravesando la estructura en el mismo eje. La parte superior es en forma de

cráter, con un diámetro aproximado de 4.5 m. Se desconoce la profundidad total. Los perfiles de esta trinchera no revelaban evidencia de arquitectura expuesta, y lo visible fue una serie de rellenos de tierra de consistencias variadas. La limpieza de esta trinchera principió en la parte inferior a nivel de plaza, con el objetivo de conocer arquitectura, temporalidad, rasgos constructivos y la orientación, para comprender y entender la funcionalidad del edificio. Los trabajos realizados en esta trinchera se ejecutaron en tres partes ya que fue de dimensiones grandes: la primera se enfocó en la limpieza de la trinchera desde la parte inferior a nivel de plaza; la segunda fue delimitar rasgos constructivos en el perfil sur de la parte superior de la trinchera; y la tercera, se realizó un pozo de sondeo al centro de la trinchera. Se definieron los siguientes lotes:

Lote 1: Humus conformado por tierra negra suelta granulada, hojas podridas, plantas pequeñas con raíces de diferente grosor y piedras calizas de diferentes dimensiones producto de las excavaciones ilícitas y el colapso natural. El contexto tuvo una profundidad de 0.1 m y dentro del mismo no se recuperó ningún tipo de material cultural.

Lote 2: Relleno de tierra suelta color café, con presencia de raíces de diferentes diámetros y piedras calizas. Se recuperaron 42 tiestos de cerámica, 1 lítica y 6 fragmentos de estuco (Figura 8.50).



Figura 8.50. Material cultural recuperado en ACH4-LT-3, Estructura 5C-02 (Fotografía M. Montejo).

Lote 3: Rasgo constructivo (3.56 a 4.50 m del *datum*) consistente en una alineación de piedras que podría corresponder a un muro. Por las malas condiciones de preservación no se logró determinar si realmente corresponde o no y si pertenecen a la última etapa constructiva del edificio.

Lote 4: Relleno de estructura con una matriz de tierra suelta color blanco, con presencia de piedras de diferentes tamaños, así como raíces. No se recuperó material cultural.

Lote 5: Rasgo constructivo (3.56 m del *datum*) que consiste en un piso en mal estado de preservación, destruido por la excavación ilícita. Grosor de 0.08 m y relleno de piedras diminutas tipo pedrín. Sobre este piso se asienta el posible muro del lote 3. No se recuperó material cultural.

Lote 6: Relleno de estructura compuesto por tierra suelta color blanco, con presencia de piedras de diferentes tamaños. Este relleno posee las mismas características del lote 4 y podría ser igual. No se recuperó material cultural.

Lote 7: Relleno de construcción elaborado de piedras de diferentes tamaños que van desde los 0.1 m a los 0.55 m largo.

Lote 8: Relleno de construcción elaborado de piedras de diferentes tamaños que van desde los 0.1 m a los 0.55 m largo y tierra compactada color gris claro.

Lote 9: Relleno de saqueo compuesto por tierra suelta de diferentes colores con presencia de piedras grandes y pequeñas. Por ser producto de la excavación ilícita, tuvo un contexto totalmente alterado. Se localizaron 45 tiestos de cerámica, 2 fragmentos de lítica y 13 fragmentos de estuco con remantes de pintura roja, sin contexto ya que la tierra se encontraba removida ilícitamente.

Lote 10: Rasgo constructivo (1.40 m del *datum*) consistente de una nivelación de tierra que posiblemente corresponda a un piso en muy mal estado de preservación, elaborado con tierra granulada color blanca, de 0.1 m de grosor. Fue visible únicamente en el perfil sur y no se localizaron materiales culturales.

Lote 11: Relleno de saqueo, con tierra suelta de diferentes colores y presencia de piedras de diferentes tamaños. Este relleno es continuación del ubicado en el lote 9. Se localizó un total de 53 tiestos de cerámica, 3 fragmentos de estuco y 1 lítica.

Lote 12: Rasgo constructivo (0.0 m a -1.20 m del *datum*) consistente en una alineación de piedras consolidadas con argamasa de color café claro, que posiblemente corresponda a un muro interno de relleno de construcción, el cual se encontró con orientación este-oeste. Ubicado únicamente en el perfil sur de dicho pozo, la alineación cuenta con una inclinación de 0.3 m hacia el sur. Por el grado de destrucción ilegal, no se logró determinar a qué estaba asociada dicha alineación.

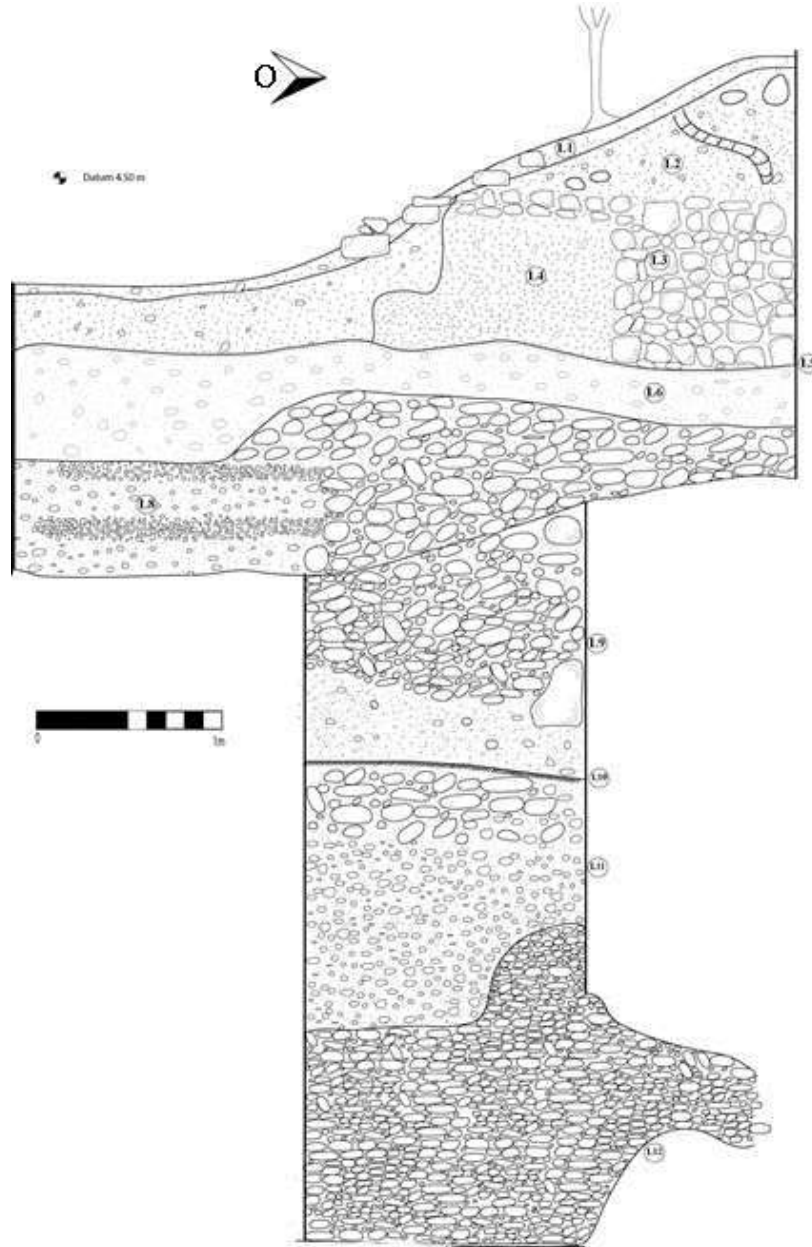


Figura 8.51. Perfil sur de la Suboperación ACH4-LT-3 (Dibujo M. Montejo y L. Auld-Thomas).

Resultados preliminares

Los trabajos en la trinchera ACH3-LT3 no brindaron los resultados esperados. Después de un par de días limpiando la parte inferior no se obtuvo ningún avance, únicamente se observaron varios tipos de relleno de diferente consistencia (Figura 8.51). En la parte superior se localizó una alineación de piedras (lote 3) que puede ser un muro interno, pero por el daño ocasionado por la excavación ilegal no se logró determinar a qué pertenece. Se decidió hacer un pozo de sondeo al centro de la trinchera, ahorrando tiempo a la hora de movilizar todo el relleno de saqueo presente.

Al igual que la limpieza y el perfilado, el pozo no brindó mayor información, únicamente la presencia de un piso (lote 5) en muy mal estado de preservación que no se logró identificar a que fase corresponde. También se detectó una alineación de piedras (posible muro de construcción, lote 12) en la parte más baja, es decir, a la profundidad de 4 m, que de igual forma no se logró tener una interpretación precisa ya que el relleno de saqueo aún seguía a esa profundidad (Figura 8.52)



Figura 8.52. Planta y alineación de piedras del pozo de sondeo en la Suboperación ACH4-LT-3 (Fotografía M. Montejo).

Conclusiones

La Temporada 2015 en El Achiotal produjo datos valiosos e inesperados sobre la ocupación Clásica Temprano en el sitio y, con el descubrimiento de la Estela 1, las relaciones geopolíticas en la región durante este mismo período. La estructura circular *Pet* fue expuesta por los saqueadores en ACH3-LT-1, y junto con la exploración profunda lograda por la suboperación ACH3S-1, se definió un tema intrigante para estudios futuros, ya que la estructura fue modificada dos veces durante el Preclásico Tardío y finalmente enterrada casi intacta en el Clásico Temprano.

El descubrimiento de la Estructura *Pet* bajo la fase final de la Estructura 5C-08, junto con el descubrimiento que la roca madre se encontraba inmediatamente bajo los Cuartos 1 y 2 y la Plataforma Adosada, descartó la posibilidad que este edificio haya tenido sus orígenes como la estructura este de un Grupo E. Ahora parece más probable que la Estructura 5C-08 haya surgido como una plataforma auxiliar al este de un típico grupo triádico del Preclásico Tardío, junto con las Estructuras 5C-01 al sur y 5C-02 al oeste. Por lo tanto, este edificio sufrió una expansión posterior, cubriendo la previamente separada Estructura *Pet* al sur, y posiblemente, la plataforma ortogonal descubierta por ACH3-LT6 al norte, aunque esta última hipótesis requiere pruebas futuras.

Lo que resulta claro es que El Achiotal continuó como un sitio de importancia regional por al menos dos o tres siglos más de lo que antes se consideraba. Las exploraciones anteriores por Acuña revelaron grandes programas arquitectónicos e iconográficos que fueron fechados para el Preclásico Tardío, con algunos indicios de una continuidad o una reocupación que entró en el período Clásico. Los restos Clásico Temprano, incluyendo la Estela 1, descubiertos durante la Temporada de campo 2015, indican que el rol de El Achiotal como un centro político importante en el oeste de Peten se extendieron al menos hasta el siglo V d.C., y que la importancia del sitio aún fue rememorada y conmemorada a través de la veneración a la Estela 1 aproximadamente hasta dos siglos después.

CAPÍTULO IX

SÍNTESIS DE LA COLECCIÓN DE TIPOS CERÁMICOS DE LA CORONA

Caroline A. Parris

Introducción

Las colecciones cerámicas comparativas han sido creadas para ejemplificar los conjuntos cerámicos de los sitios, ya que contienen los fragmentos cerámicos que mejor representan cada tipo y variedad de un sitio específico. Las colecciones son resguardadas en los laboratorios de los proyectos arqueológicos, la ceramoteca nacional (dedicada para el almacenamiento de colecciones de este tipo), o institutos de investigaciones que hacen las colecciones accesibles a una gran variedad de investigadores (Kosakowsky 1996). Las colecciones comparativas ejemplifican las tradiciones cerámicas de un sitio en particular y promueven el análisis consistente entre sitios. Por lo tanto, el propósito de conformar una colección de tipos cerámicos de La Corona ha sido demostrar las características y las variedades del conjunto cerámico del sitio. En este capítulo se describe la metodología asociada con la creación de esta colección, proveyendo los contextos arqueológicos de las muestras dadas, lo que servirá como un recurso de apoyo para aquellos interesados en usar la colección de La Corona para análisis comparativos.

Metodología

La colección cerámica comparativa descrita aquí fue conformada durante la Temporada de Laboratorio 2015 por Caroline Parris, ceramista del proyecto. La colección está constituida por 432 fragmentos, que representan 25 grupos, 45 tipos y 50 variedades (Tabla 9.1), y fue creada usando el método Tipo-Variedad estándar para el estudio de la cerámica Maya (Gifford 1960, 1976; Smith y Gifford 1966; Smith, Willey y Gifford 1960). Los fragmentos fueron clasificados en grupos cerámicos y tipos usando un sistema jerárquico tipo-variedad, el cual prioriza los tratamientos de superficie y las decoraciones. Los grupos cerámicos, tipos y variedades fueron verificados mediante la comparación de cada fragmento con las descripciones dadas en volúmenes publicados que tratan la cerámica Maya. De éstos, los más utilizados fueron los de Altar de Sacrificios (Adams 1971), Becan (Ball 1977), Calakmul (Carrasco 1994), Tikal (Culbert 1993), Petexbatun (Foiyas y Bishop 2013), La Joyanca (Forne 2006), El Mirador (Forsyth 1989), Barton Ramie (Gifford 1976), Seibal (Sabloff 1975) y Uaxactun (Smith 1955; Smith y Gifford 1966).

Tabla 9.1. Grupos cerámicos, tipos, y variedades presentes en la colección de tipos de La Corona

Complejo	Grupo	Tipo	Variedad	Cantidad de fragmentos
Naah	Achiotes	Achiotes Sin Engobe	no especificada	5
Naah	Achiotes	Sapote Estriado	no especificada	7
Naah	Sierra	Sierra Rojo	Sierra	31
Naah	Sierra	Sierra Rojo	Negra	2
Naah	Sierra	Repasto Negro sobre Rojo	Repasto	1
Naah	Polvero	Polvero Negro	Polvero	11
Naah	San Antonio	San Antonio Café-Dorado	San Antonio	2
Naah	Sacluc	Sacluc Negro sobre Naranja	Sacluc	2
Naah	Flor	Flor Crema	no especificada	4
Ochib	Quintal	Quintal Sin Engobe	no especificada	16
Ochib	Quintal	Triunfo Estriado	no especificada	12
Ochib	Caribal	Caribal Rojo	no especificada	6
Ochib	Caribal	Mahogany Creek Inciso	no especificada	8
Ochib	Corona	Corona Rojo	no especificada	2
Ochib	Balanza	Balanza Negro	no especificada	23
Ochib	Águila	Águila Naranja	Águila	26
Ochib	Águila	Águila Naranja	Dos Hermanos	29
Ochib	Águila	Milpa Impreso	no especificada	2
Ochib	Águila o Dos Arroyos	Dos Arroyos Naranja Policromo	no especificada	25
Ochib	Águila o San Blas	San Blas Rojo sobre Naranja	no especificada	20
Waay y Paat	Cambio	Cambio Sin Engobe	no especificada	18
Waay y Paat	Cambio	Manteca Impreso	no especificada	1
Waay y Paat	Cambio	Encanto Estriado	no especificada	17
Waay y Paat	Cambio	Encanto Estriado	Impreso	5
Waay y Paat	Tinaja	Tinaja Rojo	no especificada	21
Waay y Paat	Tinaja	Corozal Inciso	Camarón Inciso	2
Waay y Paat	Tinaja	Chaquiste Impreso	no especificada	18
Waay y Paat	Tinaja	Chaquiste Impreso	Estampada	2
Waay y Paat	Tinaja	Chinja Impreso	no especificada	2

Waay y Paat	Tinaja	Pantano Impreso	Estampada	1
Waay y Paat	Infierno	Infierno Negro	no especificada	19
Waay y Paat	Infierno	Carmelita Inciso	no especificada	7
Waay y Paat	Infierno	Chilar Aflautado	no especificada	6
Waay y Paat	Infierno	Esperancita Impreso	no especificada	2
Waay y Paat	Azote	Azote Naranja	no especificada	3
Waay y Paat	Azote	Torres Inciso	no especificada	2
Waay y Paat	Palmar	Tipo indeterminado: Palmar Naranja Policromo	no especificada	29
Waay y Paat	Palmar	Desquite Rojo sobre Naranja	no especificada	4
Waay y Paat	Palmar	Anonal Naranja Policromo	no especificada	5
Waay y Paat	Palmar	Chantuori Negro sobre Naranja	no especificada	7
Waay y Paat	Santa Rosa	Mataculebra Crema Policromo	Mataculebra	1
Waay y Paat	Zacatal	Tipo indeterminado: Zacatal Crema Policromo	no especificada	5
Waay	Chablekal	Chablekal Gris	no especificada	2
Waay	Chablekal	Chicxulub Inciso	Chicxulub	1
Waay	Chablekal	Telchac Compuesto	Telchac	10
Paat	Infierno	Carmelita Inciso	Cubeta	1
Paat	Altar	Altar Naranja	Altar	3
Paat	Altar	Trapiche Inciso	Trapiche	2
Paat	Balancán	Balancán Naranja	no especificada	2

Muestra cerámica

Los fragmentos que conforman la colección fueron seleccionados de 57 contextos diferentes. Como el análisis de la cerámica de La Corona aún está en proceso, los fragmentos solo fueron tomados de contextos perturbados tales como trincheras de saqueo, recolecciones de superficie, excavaciones de plaza, así como de contextos completamente analizados. La Tabla 9.2 muestra la nomenclatura del contexto, localización, descripción, arqueólogo asociado, y citas para las descripciones publicadas de las excavaciones.

Tabla 9.2. Contextos arqueológicos representados en la colección de tipos de La Corona.

Sitio	Operación	Sub Op.	Unidad	Nivel	Lote	Estructura	Descripción del contexto arqueológico	Arqueólogo	Referencia
CR	12	C	8		6	13R-3	última fase de 13R-3	Joanne Baron	Baron 2010, 2013
CR	12	C	12		3	13R-3	última fase de 13R-3	Joanne Baron	Baron 2010, 2013
CR	14	A	1		21	13R-4	Entierro 2	Joanne Baron	Baron 2012, 2013a, 2013b
CR	14	B	6	4		13R-4	nivelación de fase Mam	Joanne Baron	Baron 2012, 2013a, 2013b
CR	14	B	8		3	13R-4	nivelación de fase Muk	Joanne Baron	Baron 2012, 2013a, 2013b
CR	14	B	11		4	13R-4	nivelación de fase Muk	Joanne Baron	Baron 2012, 2013a, 2013b
CR	14	B	18		4	13R-4	basurero sobre muros de esquina NE de 13R-4	Joanne Baron	Baron 2012, 2013a, 2013b
CR	14	B	20		2	13R-4	tierra sobre terraza fina atrás de 13R-4	Joanne Baron	Baron 2012, 2013a, 2013b
CR	14	B	20		3	13R-4	basurero, tierra dura bajo muro E-W atrás de 13R-4	Joanne Baron	Baron 2012, 2013a, 2013b
CR	14	B	23		4	13R-4	tierra sobre piso del cuarto entre 13R-4 y 13R-5	Joanne Baron	Baron 2012, 2013a, 2013b
CR	15	A	1		13	13R-2	tierra bajo de piso "anona", 13R-2	Joanne Baron	Baron 2012, 2013b
CR	15	A	1		14	13R-2	tierra bajo de pisos "Uva" and "Manzana" de fase penúltima, 13R-2	Joanne Baron	Baron 2012, 2013b
CR	15	A	1		15	13R-2	tierra bajo pisos/gradas de fase penúltima, 13R-2	Joanne Baron	Baron 2012, 2013b
CR	15	A	1		17	13R-2	relleno de fase penúltima de 13R-2	Joanne Baron	Baron 2012, 2013b
CR	15	A	1		18	13R-2	relleno de fase Muk	Joanne Baron	Baron 2012, 2013b
CR	15	A	1		19	13R-2	relleno de fase Muk	Joanne Baron	Baron 2012, 2013b
CR	15	A	1		20	13R-2	relleno de fase Muk	Joanne Baron	Baron 2012, 2013b
CR	15	A	1		21	13R-2	relleno de fase Muk	Joanne Baron	Baron 2012, 2013b
CR	15	A	1		22	13R-2	relleno de fase Muk	Joanne Baron	Baron 2012, 2013b
CR	15	A	1		23	13R-2	relleno de fase Muk	Joanne Baron	Baron 2012, 2013b
CR	15	A	1		24	13R-2	tierra de basurero atrás de fase temprana de 13R-2	Joanne Baron	Baron 2012, 2013b
CR	15	A	4		8	13R-2	Relleno de fase K'uh	Joanne Baron	Baron 2011, 2012, 2013b
CR	15	A	1A		1	13R-2	Entierro 6	Joanne Baron	Baron 2012, 2013b
CR	17	B	2		4	13R-5	relleno de fase Ub	Joanne Baron	Baron 2013a, 2013b
CR	17	B	2		6	13R-5	relleno de fase Ub	Joanne Baron	Baron 2013a, 2013b

CR	17	B	2		8	13R-5	relleno de fase Ub	Joanne Baron	Baron 2013a, 2013b
CR	17	B	3		5	13R-5	relleno de fase Ub	Joanne Baron	Baron 2013a, 2013b
CR	17	B	3		7	13R-5	relleno de fase Ub	Joanne Baron	Baron 2013a, 2013b
CR	17	B	3		8	13R-5	relleno de fase Ub	Joanne Baron	Baron 2013a, 2013b
CR	17	B	3		9	13R-5	relleno de fase Ub	Joanne Baron	Baron 2013a, 2013b
CR	17	B	3		10	13R-5	relleno de fase Ub	Joanne Baron	Baron 2013a, 2013b
CR	17	B	3		11	13R-5	relleno de fase K'inich	Joanne Baron	Baron 2013a, 2013b
CR	17	B	3a		2	13R-5	fase final de 13R-5	Joanne Baron	Baron 2013a, 2013b
CR	19		1	2		Patio Norte del Grupo 13R-11	tierra con consistencia parecida al barro	Leticia Miguel	Patterson, Garza, y Miguel 2012
CR	19		2	1		Patio Norte del Grupo 13R-11	Humus	Leticia Miguel	Patterson, Garza, y Miguel 2012
CR	19		1A	3		Patio Norte del Grupo 13R-11	tierra arenosa con piedras pequeñas	Leticia Miguel	Patterson, Garza, y Miguel 2012
CR	19		1A	5	1	Patio Norte del Grupo 13R-11	relleno de nivelación sobre roca madre	Leticia Miguel	Patterson, Garza, y Miguel 2012
CR	19		1A	5	2	Patio Norte del Grupo 13R-11	relleno de nivelación sobre roca madre	Leticia Miguel	Patterson, Garza, y Miguel 2012
CR	20	G	8		5	13Q-4G	trinchera de saqueo	M. Lamoureux-St. Hilaire	
CR	31	A	1	2		13Q-1	relleno 1	Camilo Álvarez	Álvarez 2015
CR	31	A	1	3		13Q-1	Relleno 2	Camilo Álvarez	Álvarez 2015
CR	31	A	1			13Q-1	superficie	Camilo Álvarez	Álvarez 2015
CR	31	B	6			13Q-1	superficie	Camilo Álvarez	Álvarez 2015
CR	31	B	8	2		13Q-1	tierra café claro	Camilo Álvarez	Álvarez 2015
CR	31	B	8			13Q-1	superficie	Camilo Álvarez	Álvarez 2015
CR	31	B	10	1		13Q-1	humus	Camilo Álvarez	Álvarez 2015
CR	31	B	10	2		13Q-1	tierra café claro	Camilo Álvarez	Álvarez 2015
CR	31	B	10	3		13Q-1	tierra café oscuro	Camilo Álvarez	Álvarez 2015
CR	31	B	10			13Q-1	superficie	Camilo Álvarez	Álvarez 2015
CR	31	B	6B	1		13Q-1	humus	Camilo Álvarez	Álvarez 2015
CR	13R-10-LT					13R-10	Trinchera de saqueo	Jocelyne Ponce	Ponce Stokvis 2013
CR	13R-7-LT					13R-7	Trinchera de saqueo	Divina Perla Barrera	Perla Barrera 2013

Contextos cerámicos

La secuencia cerámica de La Corona fue creada mediante la comparación de grupos cerámicos y tipos identificados en La Corona con aquellos de otros sitios. Siguiendo el nombramiento estándar, los complejos cerámicos no recibieron nombres secuenciales o nombres que pudieran haber sido colocados en cualquier orden lógico. En cambio se escogieron nombres usados en otros sitios del área maya. Los nombres de los complejos cerámicos del sitio se fundamentan en nombres relacionadas a edificios: estructuras, entradas, cuartos, terrazas, y caminos. Un generador de números al azar fue utilizado para asignar los nombres a los complejos cerámicos para evitar cualquier posible sesgo secuencial. Los nombres después fueron traducidos a idioma Maya clásico (Ch'olano) por Marc Zender (comunicación personal 2015). Se escogió el Maya clásico para nombrar los complejos cerámicos puesto que fue el lenguaje hablado por los habitantes de La Corona durante el período Clásico. Adicionalmente más nombres que siguen esta temática han sido reservados en caso de que futuras excavaciones en La Corona revelen complejos cerámicos adicionales. El complejo cerámico de La Corona es el siguiente:

Preclásico Tardío	Naah (Estructura)
Clásico Temprano	Ochib (Entrada)
Clásico Tardío	Waay (Cuarto)
Clásico Tardío Terminal	Paat (Terraza)
Postclásico	Bih (camino)

Aún no se han asignado fechas calendáricas a los complejos cerámicos, puesto que se necesita más estudios para refinar esta cronología particular. Cada uno de estos grupos cerámicos se presentará en asociación con los fragmentos seleccionados para el muestrario.

Complejo Naah: Preclásico Tardío

El complejo *Naah* consiste de los tipos presentes en La Corona durante el Preclásico Tardío. Este complejo es comparable con el complejo Chicanel de Uaxactun (Smith 1955), el complejo Cascabel de El Mirador (Forsyth 1989), el complejo Tambo 2 de La Joyanca (Forne 2006), el complejo Cantuse de Seibal (Sabloff 1975), y el complejo Faisán de la región del Petexbatun (Foias y Bishop 2013). El complejo *Naah* en La Corona contiene grupos típicos del Preclásico Tardío en el Petén, tales como Achiote, Sierra, Polvero, San Antonio, Sacluc, y Flor (Tabla 9.3).

Grupo	Tipo	Variedad	Referencia
Achiotes	Achiotes Sin Engobe	no especificada	Forsyth 1989
Achiotes	Sapote Estriado	no especificada	Forsyth 1989
Sierra	Sierra Rojo	Sierra	Foias y Bishop 2013
Sierra	Sierra Rojo	Negra	Forne 2006
Sierra	Repasto Negro sobre Rojo	Repasto	Forne 2006
Polvero	Polvero Negro	Polvero	Foias y Bishop 2013
San Antonio	San Antonio Café-Dorado	San Antonio	Forne 2006
Sacluc	Sacluc Negro sobre Naranja	Sacluc	Foias y Bishop 2013
Flor	Flor Crema	no especificada	Foias y Bishop 2013

Tabla 9.3: Recursos utilizados para identificar los tipos del complejo *Naah*.

Grupo Achiotes

Achiotes Sin Engobe: Variedad no especificada (Figura 9.1).

Tiesto	Grupo	Tipo	Variedad	Dibujado?	Forma de la vasija	Parte de vasija
CR15A-1-18-42	Achiotes	Achiotes Sin Engobe	no especificada	Sí	Olla	Borde
CR15A-1-18-63	Achiotes	Achiotes Sin Engobe	no especificada	Sí	Olla	Borde
CR19-1A-5-1	Achiotes	Achiotes Sin Engobe	no especificada	Sí	Olla	Borde
CR19-1A-5-1	Achiotes	Achiotes Sin Engobe	no especificada	No	no determinada	Cuerpo
CR31B-6B-1	Achiotes	Achiotes Sin Engobe	no especificada	Sí	Olla	Borde

Tabla 9.4. Muestras del tipo Achiotes Sin Engobe: Variedad No especificada

Sapote Estriado: Variedad no especificada (Figura 9.2).

Tiesto	Grupo	Tipo	Variedad	Dibujado?	Forma de vasija	Parte de vasija
CR17B-3-10-19	Achiotes	Sapote Estriado	no especificado	No	no determinado	Cuerpo
CR17B-3-10-30	Achiotes	Sapote Estriado	no especificado	No	no determinado	Cuello
CR17B-3-10-37	Achiotes	Sapote Estriado	no especificado	No	no determinado	Cuerpo
CR17B-3-10-48	Achiotes	Sapote Estriado	no especificado	No	no determinado	Cuerpo
CR17B-3-10-49	Achiotes	Sapote Estriado	no especificado	No	no determinado	Cuerpo
CR19-1A-5-1	Achiotes	Sapote Estriado	no especificado	No	no determinado	Cuerpo
CR19-1A-5-1	Achiotes	Sapote Estriado	no especificado	No	no determinado	Cuerpo

Tabla 9.5 Muestras del tipo Sapote Estriado: Variedad no especificada.

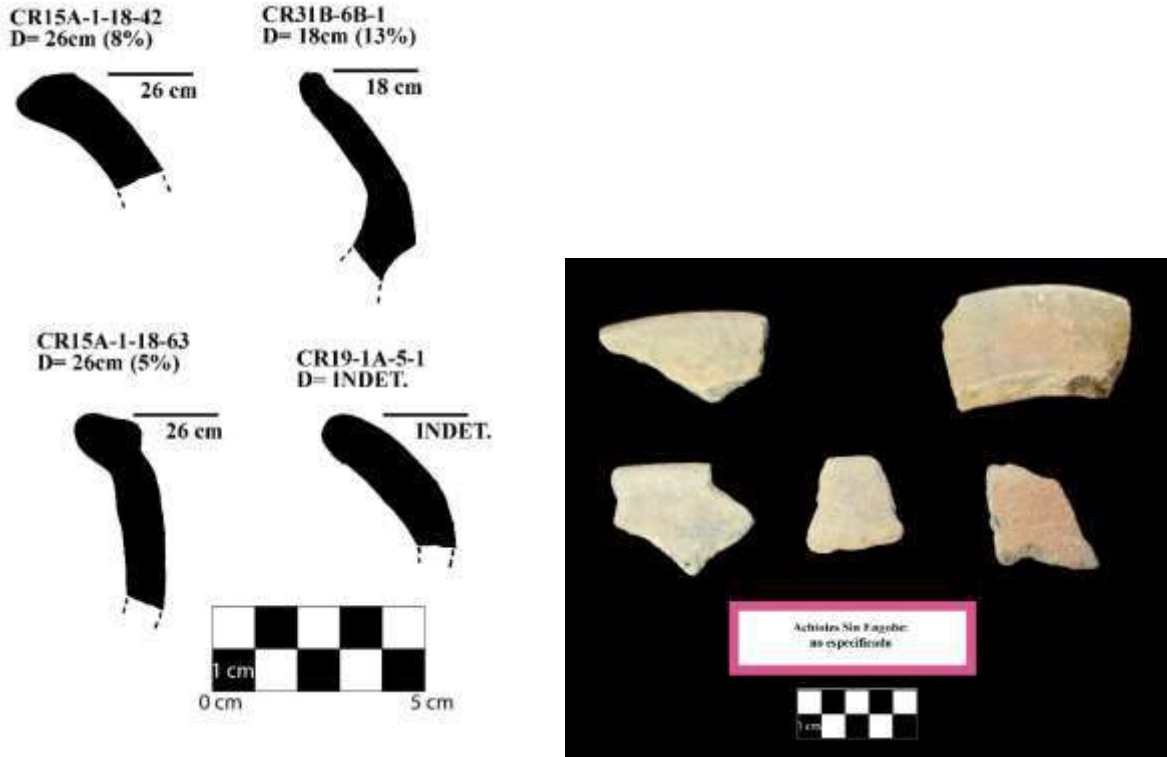


Figura 9.1 Muestras del tipo Achiotes Sin Engobe: Variedad No especificada (Dibujos y fotografía por C. Parris).



Figura: 9.2 Muestras del tipo Sapote Estriado: Variedad no especificada (Fotografía por C. Parris).

Grupo Sierra

Sierra Rojo: Variedad Sierra (Figura 9.3).

Tiesto	Grupo	Tipo	Variedad	Dibujado?	Forma de la vasija	Parte de vasija
CR14B-11-4-1	Sierra	Sierra Rojo	Sierra	Sí	Cuenco	Borde
CR14B-11-4-4	Sierra	Sierra Rojo	Sierra	Sí	Cuenco	Borde
CR14B-23-4-29	Sierra	Sierra Rojo	Sierra	Sí	Olla	Borde
CR15A-1-17-1	Sierra	Sierra Rojo	Sierra	Sí	Cuenco	Borde
CR15A-1-18-136	Sierra	Sierra Rojo	Sierra	No	no determinado	Cuerpo
CR15A-1-18-15	Sierra	Sierra Rojo	Sierra	No	no determinado	Cuerpo
CR15A-1-18-54	Sierra	Sierra Rojo	Sierra	No	no determinado	Cuerpo
CR15A-1-19-43	Sierra	Sierra Rojo	Sierra	Sí	Cuenco	Borde
CR15A-1-23-12	Sierra	Sierra Rojo	Sierra	Sí	Olla	Borde
CR17B-2-8-47	Sierra	Sierra Rojo	Sierra	Sí	Cuenco	Borde
CR17B-2-8-5	Sierra	Sierra Rojo	Sierra	Sí	Cuenco	Borde
CR17B-3-10-20	Sierra	Sierra Rojo	Sierra	No	no determinado	Cuerpo
CR17B-3-10-28	Sierra	Sierra Rojo	Sierra	Sí	Cuenco	Borde
CR17B-3-10-32	Sierra	Sierra Rojo	Sierra	No	no determinado	Cuerpo
CR17B-3-10-33	Sierra	Sierra Rojo	Sierra	Sí	Olla	Borde
CR17B-3-10-50	Sierra	Sierra Rojo	Sierra	Sí	Olla	Borde
CR17B-3-10-69	Sierra	Sierra Rojo	Sierra	Sí	Cuenco	Cuerpo
CR17B-3-10-73	Sierra	Sierra Rojo	Sierra	Sí	Cuenco	Borde
CR17B-3-10-74	Sierra	Sierra Rojo	Sierra	Sí	Olla	Borde
CR17B-3-10-75	Sierra	Sierra Rojo	Sierra	No	no determinado	Cuerpo
CR17B-3-11-15	Sierra	Sierra Rojo	Sierra	Sí	no determinado	Base
CR17B-3-11-20	Sierra	Sierra Rojo	Sierra	No	no determinado	Cuerpo
CR17B-3-11-7	Sierra	Sierra Rojo	Sierra	Sí	Cuenco	Borde
CR17B-3-8-18	Sierra	Sierra Rojo	Sierra	Sí	Cuenco	Borde
CR17B-3-9-38	Sierra	Sierra Rojo	Sierra	Sí	Cuenco	Borde
CR17B-3-9-40	Sierra	Sierra Rojo	Sierra	Sí	Cuenco	Borde
CR17B-3-9-67	Sierra	Sierra Rojo	Sierra	Sí	Cuenco	Borde
CR17B-3a-28	Sierra	Sierra Rojo	Sierra	Sí	Cuenco	Borde
CR19-1A-5-1	Sierra	Sierra Rojo	Sierra	No	no determinado	Cuerpo
CR19-1A-5-1	Sierra	Sierra Rojo	Sierra	Sí	Cuenco	Borde
CR19-1A-5-1	Sierra	Sierra Rojo	Sierra	Sí	no determinado	Base

Tabla 9.6 Muestras del tipo Sierra Rojo: Variedad Sierra.

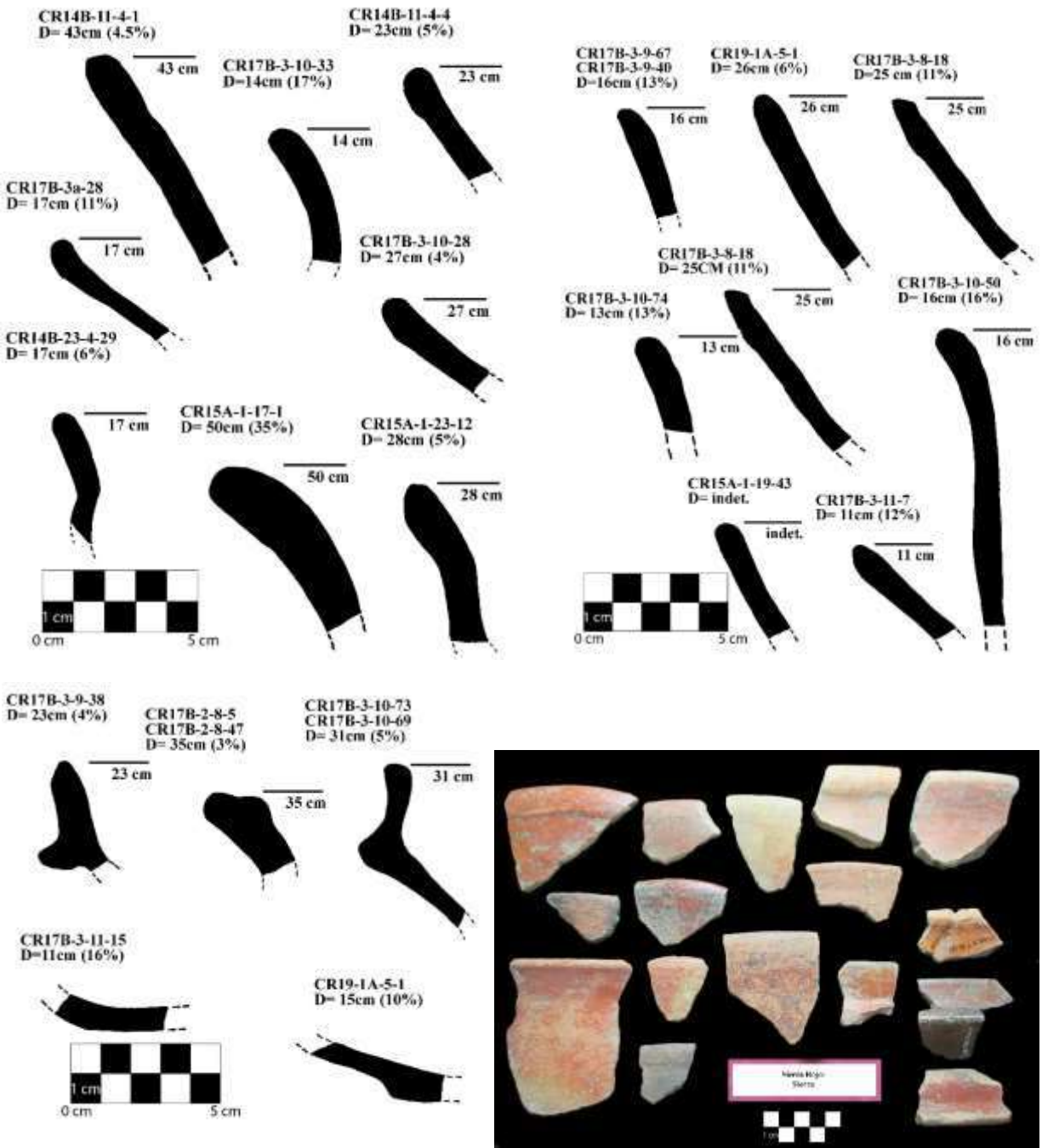


Figura 9.3 Muestras del tipo Sierra Rojo: Variedad Sierra (Dibujos y fotografía por C. Parris).

Sierra Rojo: Variedad Negra (Figura 9.4)

Tiesto	Grupo	Tipo	Variedad	Dibujado?	Forma de la vasija	Parte de vasija
CR17B-2-6-78	Sierra	Sierra Rojo	Negro	No	no determinado	Base
CR19-1A-5-1	Sierra	Sierra Rojo	Negro	Sí	no determinado	Base

Tabla 9.7 Muestras del tipo Sierra Rojo: Variedad Negra.



Figura 9.4 Muestra del tipo Sierra Rojo: Variedad Negra (Dibujo y fotografía por C. Parris).

Repasto Negro sobre Rojo: Variedad Repasto (Figura 9.5).

Tiesto	Grupo	Tipo	Variedad	Dibujado?	Forma de la vasija	Parte de vasija
CR15A-1-19-2	Sierra	Repasto Negro sobre Rojo	Repasto	no	no determinado	Cuerpo

Tabla 9.8 Muestras del tipo Repasto Negro sobre Rojo: Variedad Repasto.

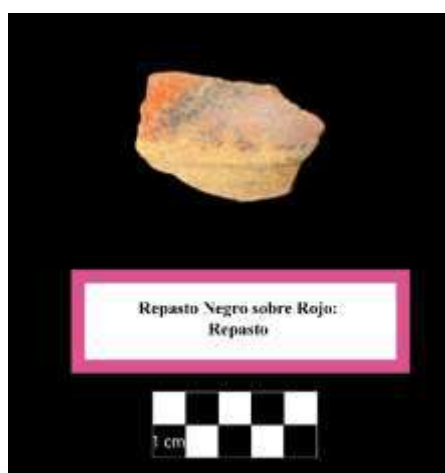


Figura: 9.5 Muestra del tipo Repasto Negro sobre Rojo: Variedad Repasto (Fotografía por C. Parris).

Grupo Polvero

Polvero Negro: Variedad Polvero (Figura 9.6).

Tiesto	Grupo	Tipo	Variedad	Dibujado?	Forma de la vasija	Parte de vasija
CR14B-11-4-7	Polvero	Polvero Negro	Polvero	Sí	Cuenco	Borde
CR14B-8-3-1	Polvero	Polvero Negro	Polvero	Sí	Cuenco	Borde
CR15A-1-13-34	Polvero	Polvero Negro	Polvero	Sí	Cuenco	Borde
CR15A-1-18-122	Polvero	Polvero Negro	Polvero	Sí	Cuenco	Borde
CR15A-1-18-97	Polvero	Polvero Negro	Polvero	Sí	Cuenco	Borde
CR15A-1-19-229	Polvero	Polvero Negro	Polvero	Sí	Cuenco	Borde
CR17B-2-8-78	Polvero	Polvero Negro	Polvero	Sí	Olla	Borde
CR17B-3-11-29	Polvero	Polvero Negro	Polvero	Sí	Cuenco	Borde
CR17B-3-9-26	Polvero	Polvero Negro	Polvero	Sí	Cuenco	Borde
CR17B-3-9-61	Polvero	Polvero Negro	Polvero	Sí	Olla	Borde
CR17B-3-9-82	Polvero	Polvero Negro	Polvero	Sí	Cuenco	Borde

Tabla 9.9 Muestras del tipo Polvero Negro: Variedad Polvero.



Figura: 9.6 Muestras del tipo Polvero Negro: Variedad Polvero (Dibujos y fotografía por C. Parris).

Grupo San Antonio

San Antonio Café-Dorado: Variedad San Antonio (Figura 9.7).

Tiesto	Grupo	Tipo	Variedad	Dibujado?	Forma de la vasija	Parte de vasija
CR17B-3-9-24	San Antonio	San Antonio Café-Dorado	San Antonio	Sí	Cuenco	Borde
CR19-1A-5-2	San Antonio	San Antonio Café-Dorado	San Antonio	Sí	Cuenco	Borde

Tabla 9.10 Muestras del tipo San Antonio Café-Dorado: Variedad San Antonio.

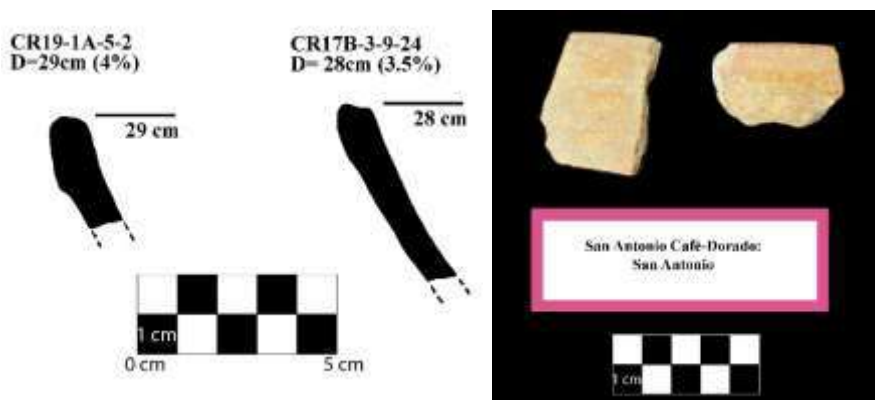


Figura 9.7 Muestras del tipo San Antonio Café-Dorado: Variedad San Antonio (Dibujos y fotografía por C. Parris).

Grupo Sacluc

Sacluc Negro sobre Naranja: Variedad Sacluc (Figura 9.8).

Tiesto	Grupo	Tipo	Variedad	Dibujado?	Forma de la vasija	Parte de vasija
CR19-1A-5-1	Sacluc	Sacluc Negro sobre Naranja	Sacluc	Sí	no determinado	Base
CR19-1A-5-1	Sacluc	Sacluc Negro sobre Naranja	Sacluc	Sí	no determinado	Base

Tabla 9.11 Muestras del tipo Sacluc Negro sobre Naranja: Variedad Sacluc.

Grupo Flor

Flor Crema: Variedad no especificada (Figura 9.9)

Tiesto	Grupo	Tipo	Variedad	Dibujado?	Forma de la vasija	Parte de vasija
CR15A-1-20-25	Flor	Flor Crema	no especificado	No	no determinado	Cuerpo
CR17B-3-10-6	Flor	Flor Crema	no especificado	Sí	Cuenco	Borde
CR17B-3-10-76	Flor	Flor Crema	no especificado	No	no determinado	Cuerpo
CR17B-3-9-43	Flor	Flor Crema	no especificado	Sí	Cuenco	Borde

Tabla 9.12 Muestras del tipo Flor Crema: Variedad no especificada.

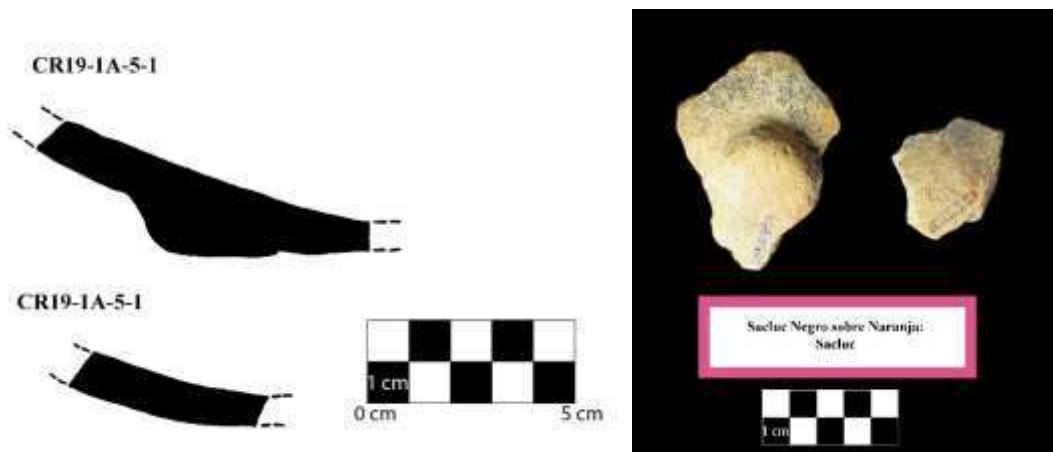


Figura 9.8 Muestras del tipo Sacluc Negro sobre Naranja: Variedad Sacluc (Dibujos y fotografía por C. Parris).

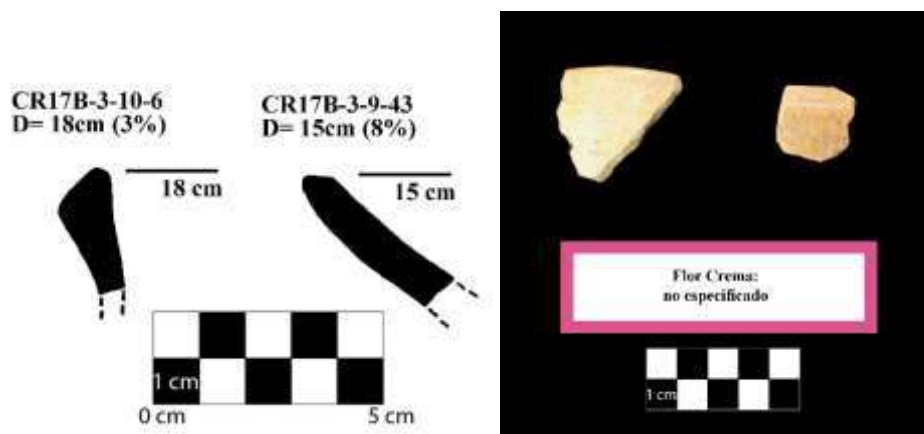


Figura 9.9 Muestras del tipo Flor Crema: Variedad no especificada (Dibujos y fotografía por C. Parris).

Complejo Ochib: Clásico Temprano

El complejo *Ochib* consiste de los tipos presentes en La Corona durante el Clásico Temprano. Este complejo es comparable con el complejo Tzakol de Uaxactun (Smith 1955), complejo Acrópolis en El Mirador (Forsyth 1989), complejo La Flor en La Joyanca (Forne 2006), complejo Junco en Seibal (Sabloff 1975) y complejo Jordán en la región del Petexbatun (Foias and Bishop 2013). El Complejo *Ochib* contiene grupos típicos del Clásico Temprano en el Petén tales como Quintal, Caribal, Corona, Balanza, y Águila (Tabla 9.13). Cada uno de estos grupos se encuentra listado a continuación con los fragmentos asociados.

Grupo	Tipo	Variedad	Referencia
Quintal	Quintal Sin Engobe	no especificado	Foias y Bishop 2013
Quintal	Triunfo Estriado	no especificado	Foias y Bishop 2013
Caribal	Caribal Rojo	no especificado	Foias y Bishop 2013
Caribal	Mahogany Creek Inciso	no especificado	Foias y Bishop 2013
Corona	Corona Rojo	no especificado	Ball 1977
Balanza	Balanza Negro	no especificado	Foias y Bishop 2013
Águila	Águila Naranja	Águila	Foias y Bishop 2013; Forne 2006; Forsyth 1989
Águila	Águila Naranja	Dos Hermanos	Forsyth 1989
Águila	Milpa Impreso	no especificado	Forne 2006; Smith 1955; Smith y Gifford 1966
Águila o Dos Arroyos	Dos Arroyos Naranja Policromo	no especificado	Foias y Bishop 2013
Águila o San Blas	San Blas Rojo sobre Naranja	no especificado	Foias y Bishop 2013; Forne 2006; Forsyth 1989

Tabla 9.13: Recursos utilizados para identificar los tipos del Complejo *Ochib*.

Grupo Quintal

Quintal Sin Engobe: Variedad no especificada (Figura 9.10).

Tiesto	Grupo	Tipo	Variedad	Dibujado?	Forma de la vasija	Parte de vasija
CR15A-1-24-132	Quintal	Quintal Sin Engobe	no especificado	Sí	no determinado	Cuerpo
CR15A-1-24-155	Quintal	Quintal Sin Engobe	no especificado	Sí	no determinado	Cuerpo
CR15A-1-24-177	Quintal	Quintal Sin Engobe	no especificado	Sí	no determinado	Cuerpo
CR15A-1-24-217	Quintal	Quintal Sin Engobe	no especificado	Sí	no determinado	Cuerpo
CR15A-1-24-25	Quintal	Quintal Sin Engobe	no especificado	Sí	no determinado	Cuerpo
CR15A-1-24-256	Quintal	Quintal Sin Engobe	no especificado	Sí	no determinado	Cuerpo
CR15A-1-24-46	Quintal	Quintal Sin Engobe	no especificado	Sí	no determinado	Cuerpo
CR15A-1-24-57	Quintal	Quintal Sin Engobe	no especificado	Sí	no determinado	Cuerpo
CR15A-1-24-66	Quintal	Quintal Sin Engobe	no especificado	Sí	no determinado	Cuerpo
CR15A-1-24-91	Quintal	Quintal Sin Engobe	no especificado	Sí	no determinado	Cuerpo
CR31A-1-2	Quintal	Quintal Sin Engobe	no especificado	Sí	no determinado	Cuerpo
CR31A-1-2	Quintal	Quintal Sin Engobe	no especificado	Sí	no determinado	Cuerpo

Tabla 9.14 Muestras del tipo Quintal Sin Engobe: Variedad no especificada.

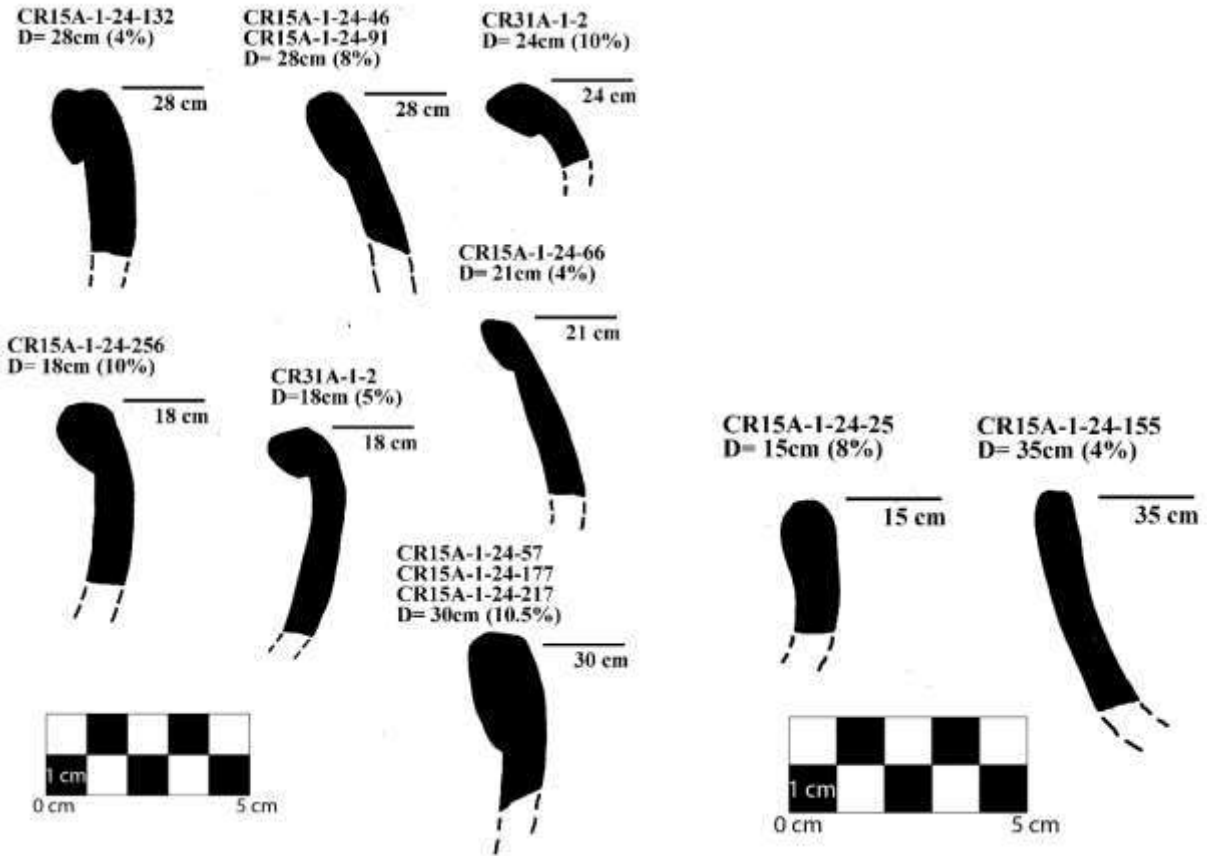


Figura 9.10 Muestras del tipo Quintal Sin Engobe: Variedad no especificada (Dibujos y fotografía por C. Parris).

Triunfo Estriado: Variedad no especificada (Figura 9.11).

Tiesto	Grupo	Tipo	Variedad	Dibujado?	Forma de la vasija	Parte de vasija
CR15A-1-24-123	Quintal	Triunfo Estriado	no especificado	No	no determinado	Cuerpo
CR15A-1-24-131	Quintal	Triunfo Estriado	no especificado	No	no determinado	Cuerpo
CR15A-1-24-135	Quintal	Triunfo Estriado	no especificado	No	no determinado	Cuerpo
CR15A-1-24-168	Quintal	Triunfo Estriado	no especificado	No	no determinado	Cuerpo
CR15A-1-24-271	Quintal	Triunfo Estriado	no especificado	No	no determinado	Cuerpo
CR15A-1-24-294	Quintal	Triunfo Estriado	no especificado	No	no determinado	Cuerpo
CR15A-1-24-313	Quintal	Triunfo Estriado	no especificado	No	no determinado	Cuerpo
CR15A-1-24-315	Quintal	Triunfo Estriado	no especificado	No	no determinado	Cuerpo
CR15A-1-24-37	Quintal	Triunfo Estriado	no especificado	No	no determinado	Cuerpo
CR15A-1-24-39	Quintal	Triunfo Estriado	no especificado	No	no determinado	Cuerpo
CR15A-1-24-4	Quintal	Triunfo Estriado	no especificado	No	no determinado	Cuerpo
CR15A-1-24-42	Quintal	Triunfo Estriado	no especificado	No	no determinado	Cuerpo
CR15A-1-24-456	Quintal	Triunfo Estriado	no especificado	No	no determinado	Cuerpo
CR15A-1-24-463	Quintal	Triunfo Estriado	no especificado	No	no determinado	Cuerpo
CR15A-1-24-49	Quintal	Triunfo Estriado	no especificado	No	no determinado	Cuerpo
CR15A-1-24-58	Quintal	Triunfo Estriado	no especificado	No	no determinado	Cuerpo

Tabla 9.15 Muestras del tipo Triunfo Estriado: Variedad no especificada.



Figura 9.11 Muestras del tipo Triunfo Estriado: Variedad no especificada (Fotografía por C. Parris).

Grupo Caribal

Caribal Rojo: Variedad no especificada (Figura 9.12).

Tiesto	Grupo	Tipo	Variedad	Dibujado?	Forma de la vasija	Parte de vasija
CR15A-1-24-162	Caribal	Caribal Rojo	no especificado	Sí	Cuenco	Cuerpo
CR15A-1-24-30	Caribal	Caribal Rojo	no especificado	Sí	Cuenco	Borde
CR15A-1-24-342	Caribal	Caribal Rojo	no especificado	No	no determinado	Cuerpo
CR15A-1-24-360	Caribal	Caribal Rojo	no especificado	Sí	Cuenco	Borde
CR31A-1-2	Caribal	Caribal Rojo	no especificado	Sí	Cuenco	Borde
CR31A-1-3	Caribal	Caribal Rojo	no especificado	Sí	Cuenco	Borde

Tabla 9.16 Muestras del tipo Caribal Rojo: Variedad no especificada.

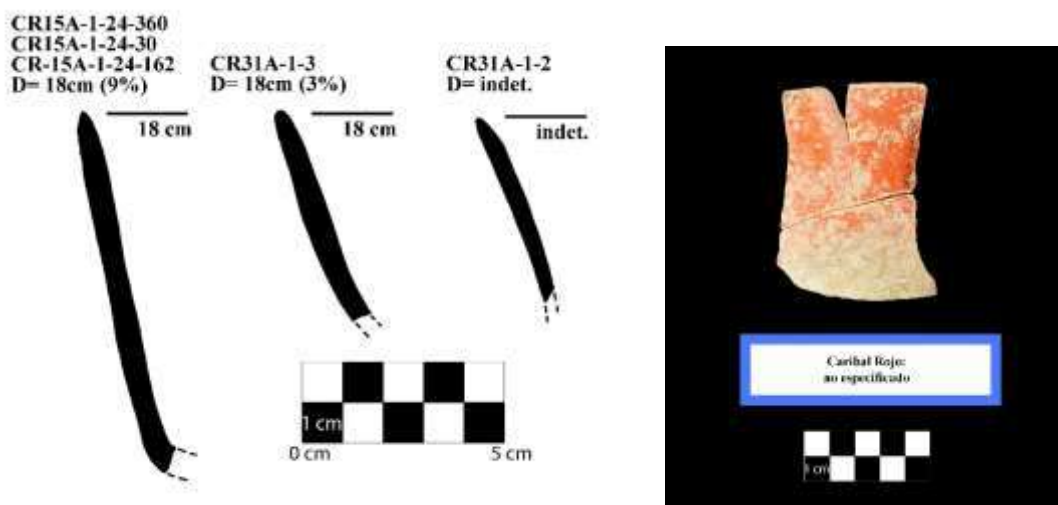


Figura 9.12 Muestras del tipo Caribal Rojo: Variedad no especificada (Dibujos y fotografía por c. Parris).

Mahogany Creek Inciso: Variedad no especificada (Figura 9.13).

Tiesto	Grupo	Tipo	Variedad	Dibujado?	Forma de la vasija	Parte de vasija
CR15A-1-24-172	Caribal	Mahogany Creek Inciso	no especificado	Sí	Cuenco	Borde
CR15A-1-24-215	Caribal	Mahogany Creek Inciso	no especificado	Sí	Cuenco	Borde
CR15A-1-24-266	Caribal	Mahogany Creek Inciso	no especificado	Sí	Cuenco	Base
CR15A-1-24-34	Caribal	Mahogany Creek Inciso	no especificado	Sí	Cuenco	Cuerpo
CR15A-1-24-343	Caribal	Mahogany Creek Inciso	no especificado	Sí	no determinado	Cuerpo
CR15A-1-24-424	Caribal	Mahogany Creek Inciso	no especificado	Sí	no determinado	Cuerpo
CR15A-1-24-513	Caribal	Mahogany Creek Inciso	no especificado	No	no determinado	Cuerpo
CR31A-1-2	Caribal	Mahogany Creek Inciso	no especificado	No	no determinado	Cuerpo

Tabla 9.17 Muestras del tipo Mahogany Creek Inciso: Variedad no especificada.

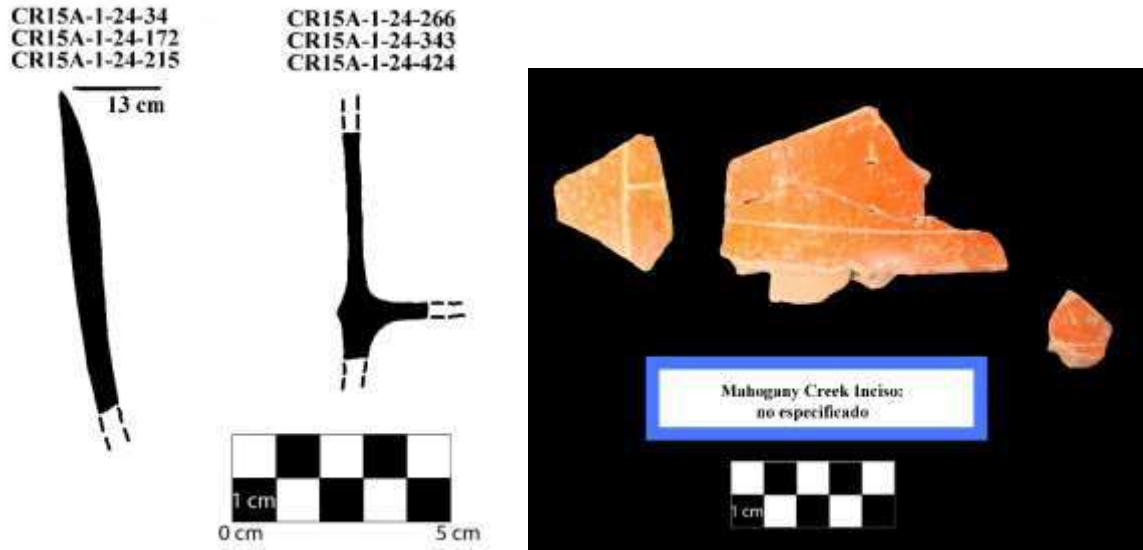


Figura 9.13 Muestras del tipo Mahogany Creek Inciso (Dibujos y fotografía por C. Parris).

Grupo Corona

Corona Rojo: Variedad no especificada (Figura 9.14).

Tiesto	Grupo	Tipo	Variedad	Dibujado?	Forma de la vasija	Parte de vasija
CR15A-1-17-266	Corona	Corona Rojo	no especificado	Sí	Cuenco	Borde
CR15A-1-17-274	Corona	Corona Rojo	no especificado	Sí	Cuenco	Borde

Tabla 9.18 Muestras del tipo Corona Rojo: Variedad no especificada.

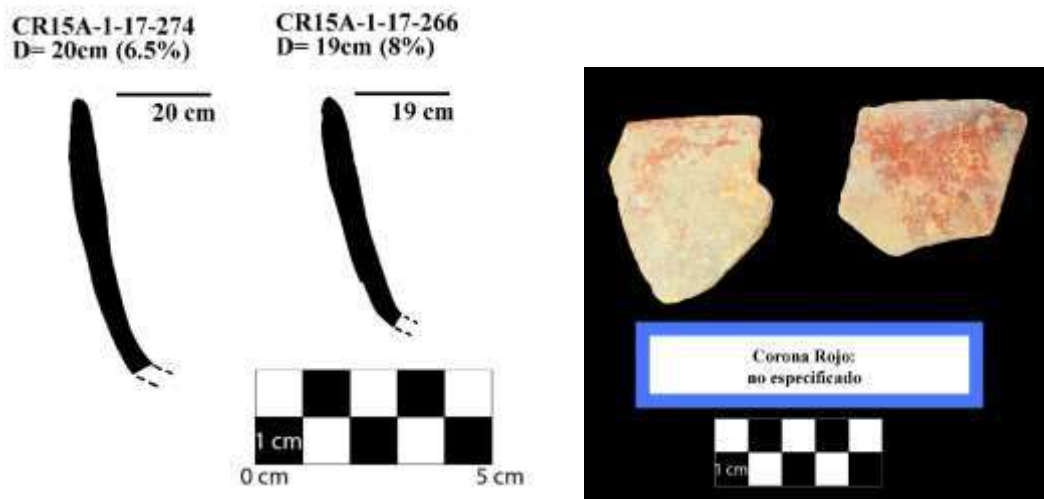


Figura 9.14 Muestras del tipo Corona Rojo: Variedad no especificada (Dibujos y fotografía por C. Parris).

Grupo Balanza

Balanza Negro: Variedad no especificada (Figuras 9.15 y 9.16)

Tiesto	Grupo	Tipo	Variedad	Dibujado?	Forma de la vasija	Parte de vasija
CR14A-1-21-39	Balanza	Balanza Negro	no especificado	Sí	Cuenco	Cuerpo
CR14A-1-21-49	Balanza	Balanza Negro	no especificado	Sí	Cuenco	Cuerpo
CR14A-1-21-83	Balanza	Balanza Negro	no especificado	Sí	Cuenco	Cuerpo
CR14A-1-21-88	Balanza	Balanza Negro	no especificado	Sí	Cuenco	Cuerpo
CR14A-1-21-89	Balanza	Balanza Negro	no especificado	Sí	Cuenco	Borde
CR15A-1-14-21	Balanza	Balanza Negro	no especificado	Sí	Tapadera	Borde
CR15A-1-15-71	Balanza	Balanza Negro	no especificado	Sí	Cuenco	Borde
CR15A-1-22-28	Balanza	Balanza Negro	no especificado	Sí	no determinado	Cuello
CR15A-1-22-42	Balanza	Balanza Negro	no especificado	Sí	Olla	Borde
CR15A-1-22-52	Balanza	Balanza Negro	no especificado	Sí	no determinado	Cuello
CR15A-1-24-134	Balanza	Balanza Negro	no especificado	No	no determinado	Cuerpo
CR15A-1-24-458	Balanza	Balanza Negro	no especificado	No	no determinado	Cuerpo
CR15A-1-24-462	Balanza	Balanza Negro	no especificado	Sí	Cuenco	Borde
CR15A-1-24-55	Balanza	Balanza Negro	no especificado	No	no determinado	Cuerpo
CR15A-1A-1-64	Balanza	Balanza Negro	no especificado	Sí	Cuenco	Borde
CR31A-1-2	Balanza	Balanza Negro	no especificado	Sí	Cuenco	Borde
CR31A-1-2	Balanza	Balanza Negro	no especificado	Sí	Cuenco	Borde
CR31A-1-2	Balanza	Balanza Negro	no especificado	Sí	no determinado	Cuerpo
CR31A-1-2	Balanza	Balanza Negro	no especificado	Sí	Cuenco	Borde
CR31A-1-2	Balanza	Balanza Negro	no especificado	Sí	no determinado	Base
CR31A-1-2	Balanza	Balanza Negro	no especificado	Sí	no determinado	Base
CR31A-1-2	Balanza	Balanza Negro	no especificado	Sí	no determinado	Base
CR31A-1-3	Balanza	Balanza Negro	no especificado	Sí	Cuenco	Borde

Tabla 9.19 Muestras del tipo Balanza Negro: Variedad no especificada.



Figura 9.15 Muestras del tipo Balanza Negro: Variedad no especificada (Fotografías por C. Parris).

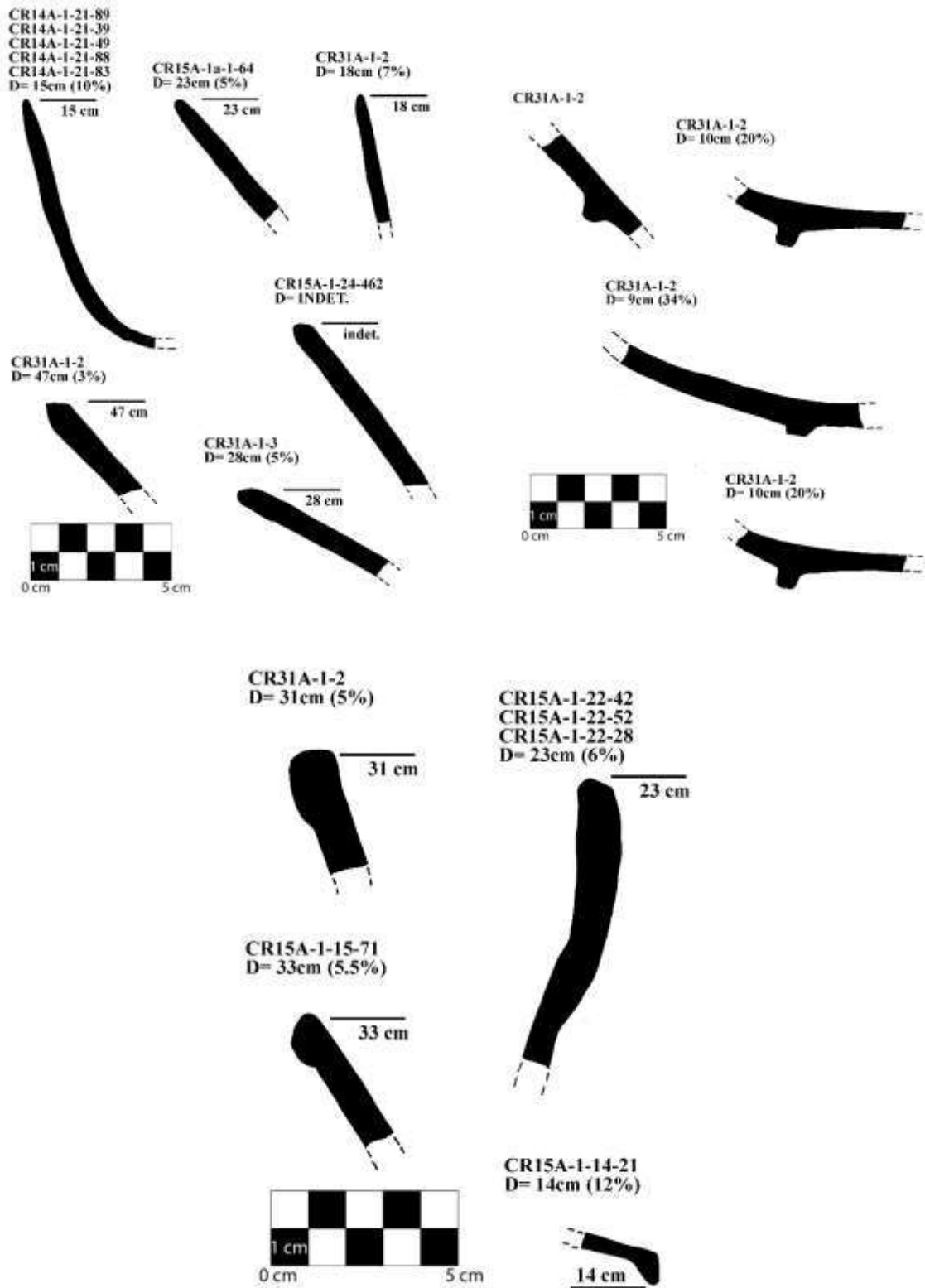


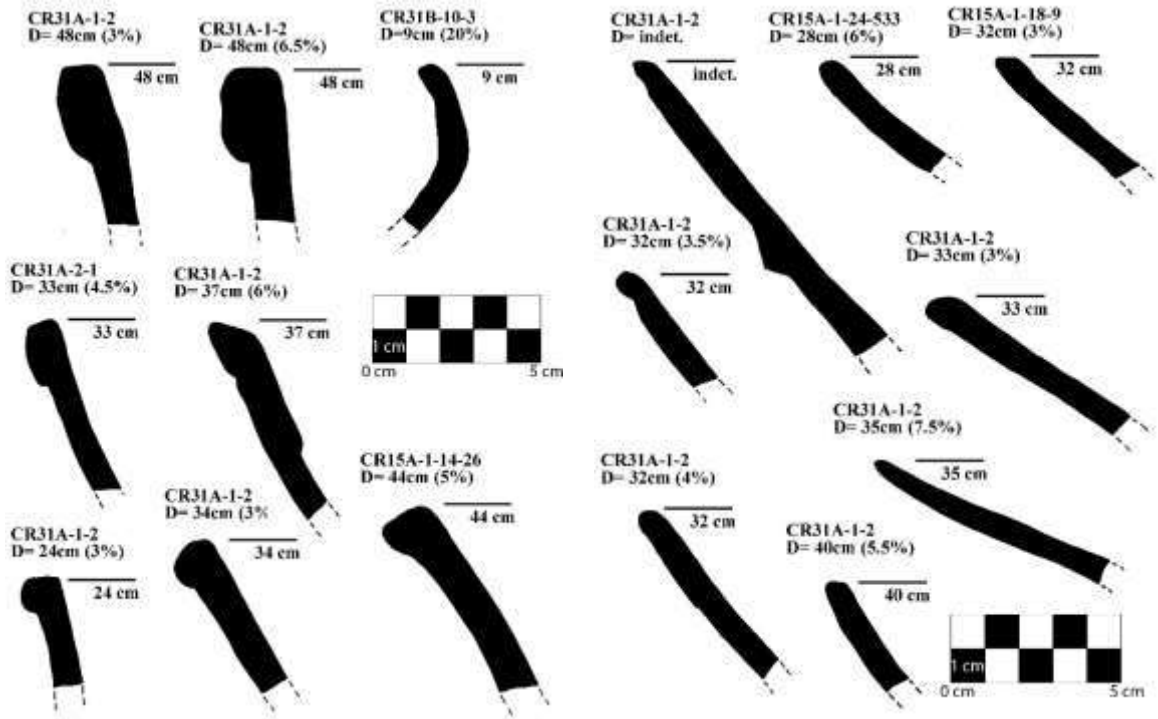
Figura 9.16 Muestras del tipo Balanza Negra: Variedad no especificada (Dibujos por C. Parris),

Grupo Águila

Águila Naranja: Variedad Águila (Figuras 9.17 y 9.18),

Tiesto	Grupo	Tipo	Variedad	Dibujado?	Forma de la vasija	Parte de vasija
CR15A-1-14-26	Águila	Águila Naranja	Águila	Sí	Cuenco	Borde
CR15A-1-18-9	Águila	Águila Naranja	Águila	Sí	Cuenco	Borde
CR15A-1-24-533	Águila	Águila Naranja	Águila	Sí	Cuenco	Borde
CR19-1A-3	Águila	Águila Naranja	Águila	No	Cuenco	Cuerpo
CR19-1A-3	Águila	Águila Naranja	Águila	Sí	Cuenco	Base
CR31A-1-2	Águila	Águila Naranja	Águila	Sí	Cuenco	Borde
CR31A-1-2	Águila	Águila Naranja	Águila	No	Cuenco	Cuerpo
CR31A-1-2	Águila	Águila Naranja	Águila	Sí	Cuenco	Borde
CR31A-1-2	Águila	Águila Naranja	Águila	No	Cuenco	Cuerpo
CR31A-1-2	Águila	Águila Naranja	Águila	Sí	Cuenco	Base
CR31A-1-2	Águila	Águila Naranja	Águila	Sí	Cuenco	Cuerpo
CR31A-1-2	Águila	Águila Naranja	Águila	Sí	Cuenco	Cuerpo
CR31A-1-2	Águila	Águila Naranja	Águila	No	no determinado	Cuerpo
CR31A-1-2	Águila	Águila Naranja	Águila	Sí	no determinado	Cuerpo
CR31A-1-2	Águila	Águila Naranja	Águila	Sí	Cuenco	Borde
CR31A-1-2	Águila	Águila Naranja	Águila	Sí	Cuenco	Borde
CR31A-1-2	Águila	Águila Naranja	Águila	Sí	Cuenco	Borde
CR31A-1-2	Águila	Águila Naranja	Águila	Sí	Cuenco	Borde
CR31A-1-2	Águila	Águila Naranja	Águila	No	Cuenco	Borde
CR31A-1-2	Águila	Águila Naranja	Águila	Sí	Cuenco	Borde
CR31A-1-2	Águila	Águila Naranja	Águila	Sí	Cuenco	Borde
CR31A-1-2	Águila	Águila Naranja	Águila	Sí	Cuenco	Borde
CR31A-1-2	Águila	Águila Naranja	Águila	Sí	Cuenco	Borde
CR31A-1-2	Águila	Águila Naranja	Águila	Sí	Cuenco	Borde
CR31A-1-2	Águila	Águila Naranja	Águila	Sí	Cuenco	Borde
CR31A-2-1	Águila	Águila Naranja	Águila	Sí	Cuenco	Borde
CR31B-10-3	Águila	Águila Naranja	Águila	Sí	Olla	Borde

Tabla 9.20 Muestras del tipo Águila Naranja: Variedad Águila,



CR31A-1-2

CR31A-1-2
 Diametro del reborde lateral= 28cm (8%)



CR31A-1-2
 Diametro del base anular= 8cm (35%)



CR19-1A-3
 Diametro del base anular= 9cm (34%)

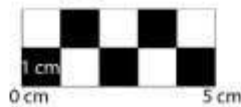


Figura 9.17 Muestras del tipo Águila Naranja: Variedad Águila (Dibujos por C. Parris),



Figura 9.18 Muestras del tipo Águila Naranja: Variedad Águila (Fotografías por C. Parris).

Águila Naranja: Variedad Dos Hermanos (Figuras 9.19 y 9.20).

Tiesto	Grupo	Tipo	Variedad	Dibujado?	Forma de la vasija	Parte de vasija
CR14A-1-21-30	Águila	Águila Naranja	Dos Hermanos	Sí	Cuenco	Borde
CR14A-1-21-31	Águila	Águila Naranja	Dos Hermanos	Sí	Cuenco	Borde
CR14A-1-21-42	Águila	Águila Naranja	Dos Hermanos	No	no determinado	Cuerpo
CR14A-1-21-69	Águila	Águila Naranja	Dos Hermanos	Sí	Cuenco	Borde
CR15A-1-21-64	Águila	Águila Naranja	Dos Hermanos	Sí	Cuenco	Borde
CR15A-1-24-180	Águila	Águila Naranja	Dos Hermanos	No	no determinado	Cuerpo
CR15A-1-24-194	Águila	Águila Naranja	Dos Hermanos	Sí	no determinado	Base
CR15A-1-24-195	Águila	Águila Naranja	Dos Hermanos	Sí	Cuenco	Borde
CR15A-1-24-21	Águila	Águila Naranja	Dos Hermanos	Sí	Cuenco	Borde
CR15A-1-24-233	Águila	Águila Naranja	Dos Hermanos	Sí	Cuenco	Borde
CR15A-1-24-31	Águila	Águila Naranja	Dos Hermanos	Sí	no determinado	Base
CR15A-1-24-318	Águila	Águila Naranja	Dos Hermanos	No	no determinado	Cuerpo
CR15A-1-24-336	Águila	Águila Naranja	Dos Hermanos	No	no determinado	Cuerpo

CR15A-1-24-340	Águila	Águila Naranja	Dos Hermanos	Sí	no determinado	Cuerpo
CR15A-1-24-409	Águila	Águila Naranja	Dos Hermanos	No	no determinado	Cuerpo
CR15A-1-24-41	Águila	Águila Naranja	Dos Hermanos	Sí	Olla	Borde
CR15A-1-24-45	Águila	Águila Naranja	Dos Hermanos	No	no determinado	Cuerpo
CR15A-1-24-507	Águila	Águila Naranja	Dos Hermanos	Sí	Cuenco	Borde
CR15A-1-24-511	Águila	Águila Naranja	Dos Hermanos	Sí	Cuenco	Borde
CR15A-1-24-518	Águila	Águila Naranja	Dos Hermanos	No	no determinado	Cuerpo
CR31A-1-2	Águila	Águila Naranja	Dos Hermanos	Sí	Cuenco	Borde
CR31A-1-2	Águila	Águila Naranja	Dos Hermanos	Sí	Cuenco	Borde
CR31A-1-2	Águila	Águila Naranja	Dos Hermanos	Sí	Cuenco	Borde
CR31A-1-2	Águila	Águila Naranja	Dos Hermanos	Sí	Cuenco	Borde
CR31A-1-2	Águila	Águila Naranja	Dos Hermanos	Sí	no determinado	Cuerpo
CR31A-1-2	Águila	Águila Naranja	Dos Hermanos	Sí	no determinado	Base
CR31A-1-3	Águila	Águila Naranja	Dos Hermanos	Sí	no determinado	Cuerpo
CR31B-10-1	Águila	Águila Naranja	Dos Hermanos	Sí	Olla	Borde
CR31B-10-1	Águila	Águila Naranja	Dos Hermanos	Sí	Olla	Borde

Tabla 9.21 Muestras del tipo Águila Naranja: Variedad Dos Hermanos.

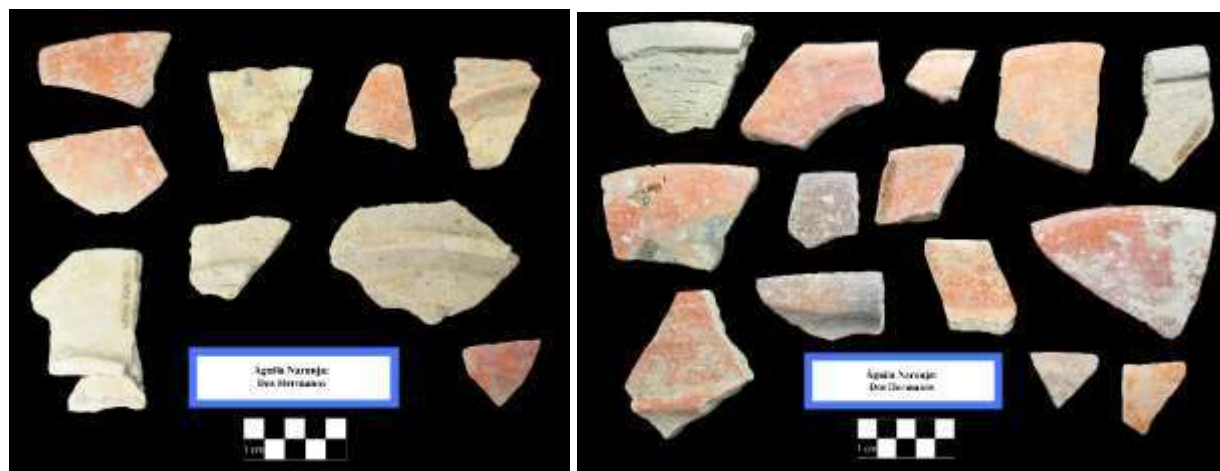


Figura 9.19 Muestras del tipo Águila Naranja: Variedad Dos Hermanos (Fotografías por C. Parris).

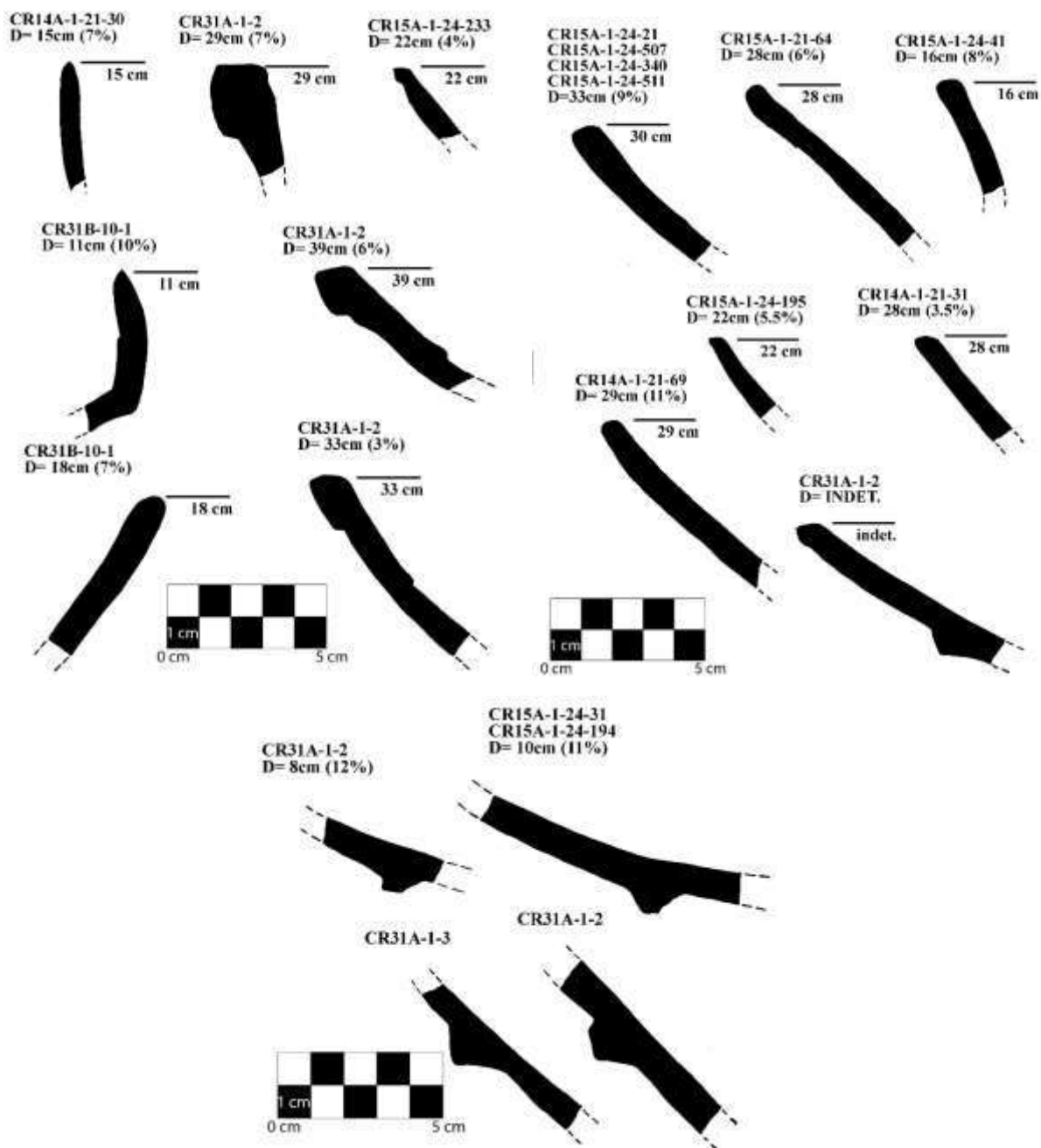


Figura 9.20 Muestras del tipo Águila Naranja: Variedad Dos Hermanos (Dibujos por C. Parris).

Milpa Impreso: Variedad no especificada (Figura 9.21).

Tiesto	Grupo	Tipo	Variedad	Dibujado?	Forma de la vasija	Parte de vasija
CR31A-1-2	Águila	Milpa Inciso	no especificado	Sí	Cuenco	Borde
CR31A-1-2	Águila	Milpa Inciso	no especificado	No	no determinado	Cuerpo

Tabla 9.22 Muestras del tipo Milpa Inciso: Variedad no especificada.

Dos Arroyos Naranja Policromo: Variedad no especificada (Figuras 9.22 y 9.23).

Tiesto	Grupo	Tipo	Variedad	Dibujado?	Forma de la vasija	Parte de vasija
CR15A-1-24-139	Águila o Dos Arroyos	Dos Arroyos Naranja Policromo	no especificado	Sí	no determinado	Cuerpo
CR15A-1-24-232	Águila o Dos Arroyos	Dos Arroyos Naranja Policromo	no especificado	Sí	Cuenco	Borde
CR15A-1-24-69	Águila o Dos Arroyos	Dos Arroyos Naranja Policromo	no especificado	Sí	no determinado	Cuerpo
CR17B-3-7-15	Águila o Dos Arroyos	Dos Arroyos Naranja Policromo	no especificado	Sí	no determinado	Cuerpo
CR17B-3-7-16	Águila o Dos Arroyos	Dos Arroyos Naranja Policromo	no especificado	Sí	no determinado	Cuerpo
CR17B-3-7-17	Águila o Dos Arroyos	Dos Arroyos Naranja Policromo	no especificado	Sí	no determinado	Cuerpo
CR17B-3-7-19	Águila o Dos Arroyos	Dos Arroyos Naranja Policromo	no especificado	Sí	Cuenco	Borde
CR17B-3-7-21	Águila o Dos Arroyos	Dos Arroyos Naranja Policromo	no especificado	Sí	Cuenco	Borde
CR17B-3-7-22	Águila o Dos Arroyos	Dos Arroyos Naranja Policromo	no especificado	Sí	no determinado	Cuerpo
CR31A-1-2	Águila o Dos Arroyos	Dos Arroyos Naranja Policromo	no especificado	Sí	Cuenco	Borde
CR31A-1-2	Águila o Dos Arroyos	Dos Arroyos Naranja Policromo	no especificado	Sí	Cuenco	Borde
CR31A-1-2	Águila o Dos Arroyos	Dos Arroyos Naranja Policromo	no especificado	Sí	Cuenco	Borde
CR31A-1-2	Águila o Dos Arroyos	Dos Arroyos Naranja Policromo	no especificado	Sí	Cuenco	Borde
CR31A-1-2	Águila o Dos Arroyos	Dos Arroyos Naranja Policromo	no especificado	Sí	Cuenco	Borde
CR31A-1-2	Águila o Dos Arroyos	Dos Arroyos Naranja Policromo	no especificado	Sí	Cuenco	Borde
CR31A-1-2	Águila o Dos Arroyos	Dos Arroyos Naranja Policromo	no especificado	Sí	Cuenco	Borde
CR31A-1-2	Águila o Dos Arroyos	Dos Arroyos Naranja Policromo	no especificado	Sí	Cuenco	Borde
CR31A-1-2	Águila o Dos Arroyos	Dos Arroyos Naranja Policromo	no especificado	Sí	Cuenco	Borde
CR31A-1-2	Águila o Dos Arroyos	Dos Arroyos Naranja Policromo	no especificado	Sí	no determinado	Cuerpo
CR31A-1-2	Águila o Dos Arroyos	Dos Arroyos Naranja Policromo	no especificado	Sí	no determinado	Cuerpo
CR31A-1-2	Águila o Dos Arroyos	Dos Arroyos Naranja Policromo	no especificado	Sí	no determinado	Cuerpo
CR31A-1-2	Águila o Dos Arroyos	Dos Arroyos Naranja Policromo	no especificado	No	no determinado	Cuerpo
CR31A-1-2	Águila o Dos Arroyos	Dos Arroyos Naranja Policromo	no especificado	No	no determinado	Cuerpo
CR31A-1-2	Águila o Dos Arroyos	Dos Arroyos Naranja Policromo	no especificado	No	no determinado	Cuerpo

Tabla 9.23 Muestras del tipo Dos Arroyos Naranja Policromo: Variedad no especificada.

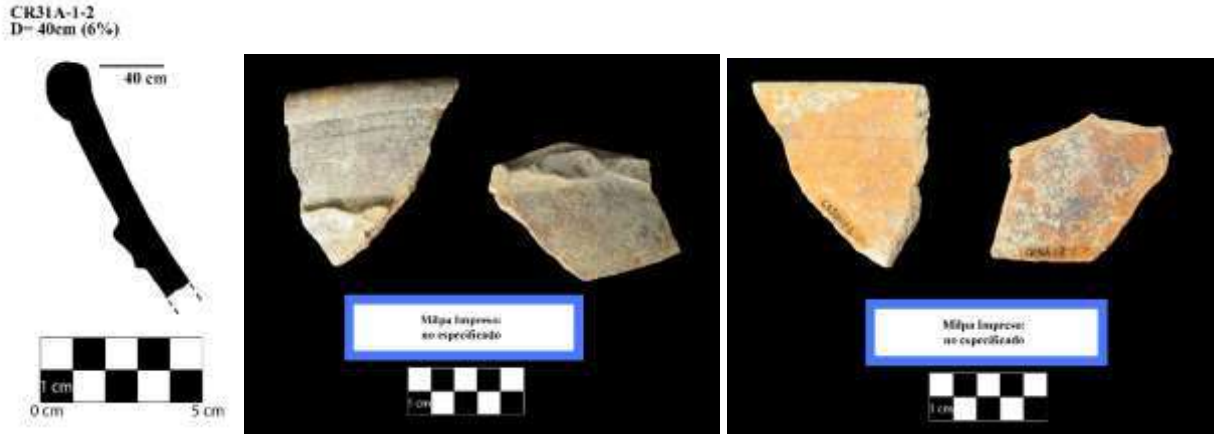


Figura 9.21 Muestras del tipo Milpa Inciso: Variedad no especificada (Dibujo y fotografías por C. Parris)

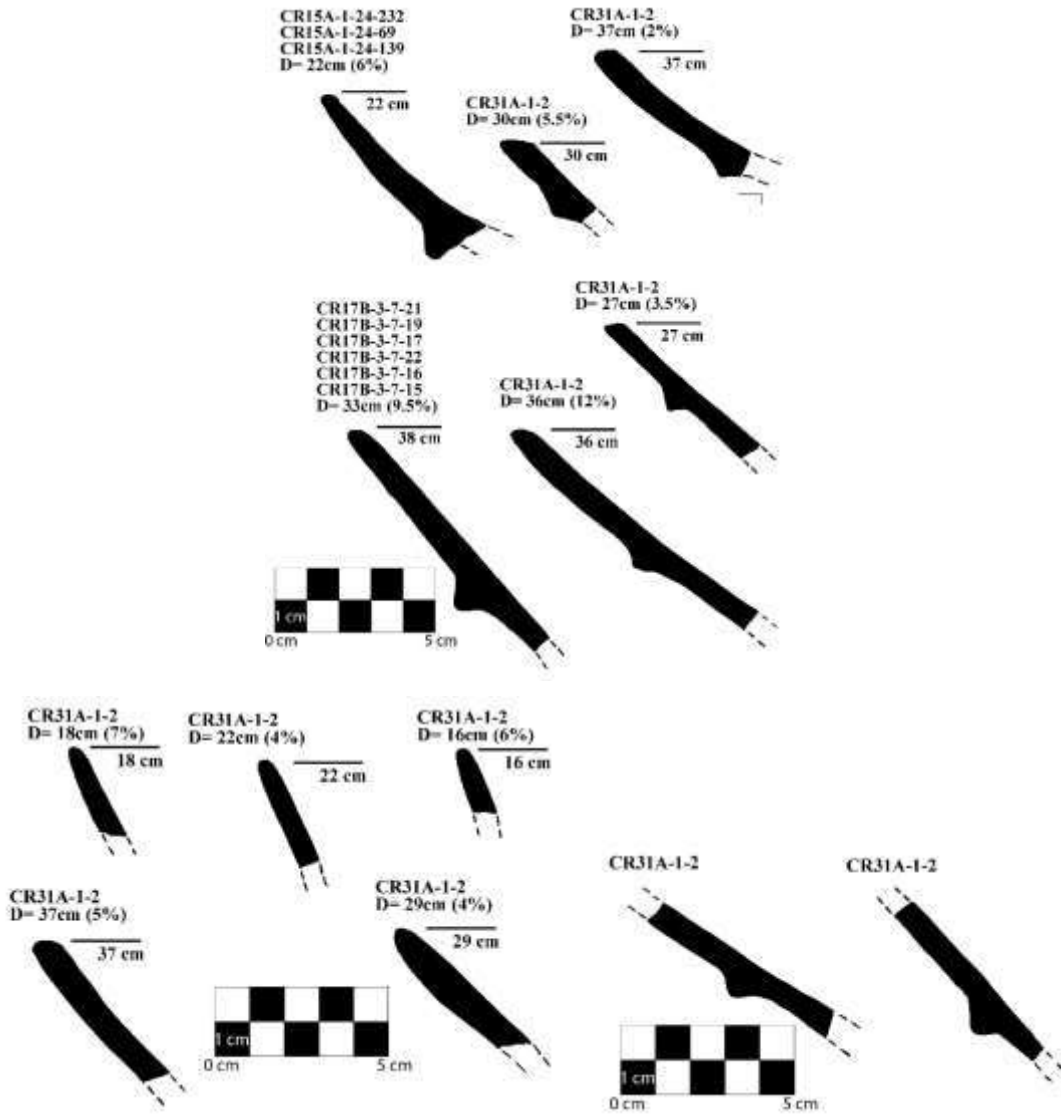


Figura 9.22 Muestras del tipo Dos Arroyos Naranja Policromo: Variedad no especificada (Dibujos por C. Parris).

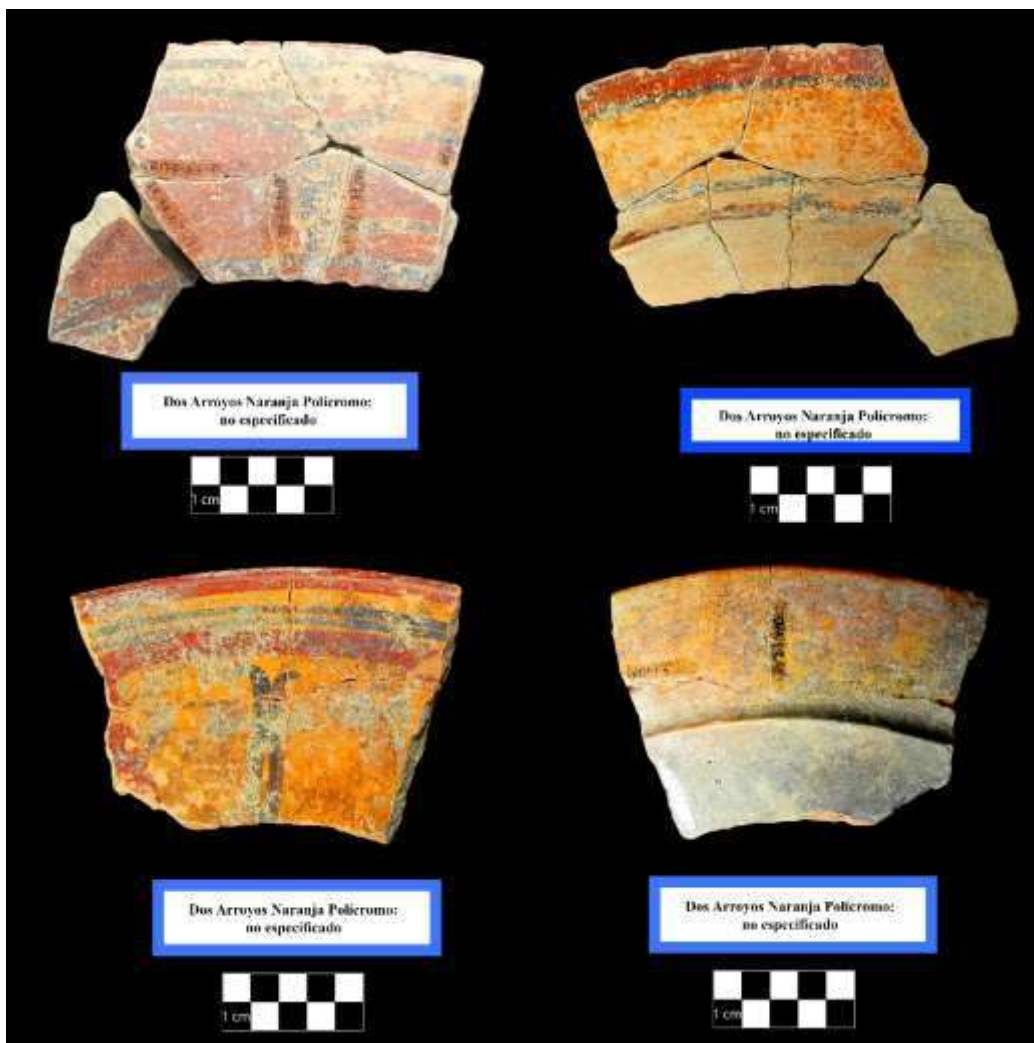


Figura 9.23 Muestras del tipo Dos Arroyos Naranja Policromo: Variedad no especificada (Fotografías por C. Parris)

San Blas Rojo sobre Naranja: Variedad no especificada (Figuras 9.24 y 9.25)

Tiesto	Grupo	Tipo	Variedad	Dibujado?	Forma de la vasija	Parte de vasija
CR15A-1-17-7	Águila o San Blas	San Blas Rojo sobre Naranja	no especificado	Sí	Cuenco	Borde
CR15A-1-24-118	Águila o San Blas	San Blas Rojo sobre Naranja	no especificado	Sí	Cuenco	Borde
CR15A-1-24-14	Águila o San Blas	San Blas Rojo sobre Naranja	no especificado	Sí	Cuenco	Borde
CR15A-1-24-179	Águila o San Blas	San Blas Rojo sobre Naranja	no especificado	Sí	no determinado	Cuerpo
CR15A-1-24-19	Águila o San Blas	San Blas Rojo sobre Naranja	no especificado	Sí	Cuenco	Borde
CR15A-1-24-281	Águila o San Blas	San Blas Rojo sobre Naranja	no especificado	Sí	Cuenco	Borde
CR15A-1-24-335	Águila o San Blas	San Blas Rojo sobre Naranja	no especificado	Sí	no determinado	Cuerpo

CR15A-1-24-86	Águila o San Blas	San Blas Rojo sobre Naranja	no especificado	Sí	no determinado	Cuerpo
CR15A-4-8-10	Águila o San Blas	San Blas Rojo sobre Naranja	no especificado	Sí	no determinado	Base
CR15A-4-8-28	Águila o San Blas	San Blas Rojo sobre Naranja	no especificado	Sí	no determinado	Cuerpo
CR15A-4-8-29	Águila o San Blas	San Blas Rojo sobre Naranja	no especificado	Sí	no determinado	Base
CR15A-4-8-42	Águila o San Blas	San Blas Rojo sobre Naranja	no especificado	Sí	no determinado	Cuerpo
CR15A-4-8-8	Águila o San Blas	San Blas Rojo sobre Naranja	no especificado	Sí	no determinado	Cuerpo
CR31A-1-2	Águila o San Blas	San Blas Rojo sobre Naranja	no especificado	Sí	Cuenco	Borde
CR31A-1-2	Águila o San Blas	San Blas Rojo sobre Naranja	no especificado	Sí	Cuenco	Borde
CR31A-1-2	Águila o San Blas	San Blas Rojo sobre Naranja	no especificado	Sí	Cuenco	Borde
CR31A-1-2	Águila o San Blas	San Blas Rojo sobre Naranja	no especificado	Sí	no determinado	Cuerpo
CR31A-1-2	Águila o San Blas	San Blas Rojo sobre Naranja	no especificado	Sí	no determinado	Cuerpo
CR31A-1-2	Águila o San Blas	San Blas Rojo sobre Naranja	no especificado	Sí	no determinado	Soporte
CR31B-10-1	Águila o San Blas	San Blas Rojo sobre Naranja	no especificado	Sí	Cuenco	Borde

Tabla 9.24 Muestras del tipo San Blas Rojo sobre Naranja: Variedad no especificada.



Figura 9.24 Muestras del tipo San Blas Rojo sobre Naranja: Variedad no especificada (Fotografías por C. Parris).

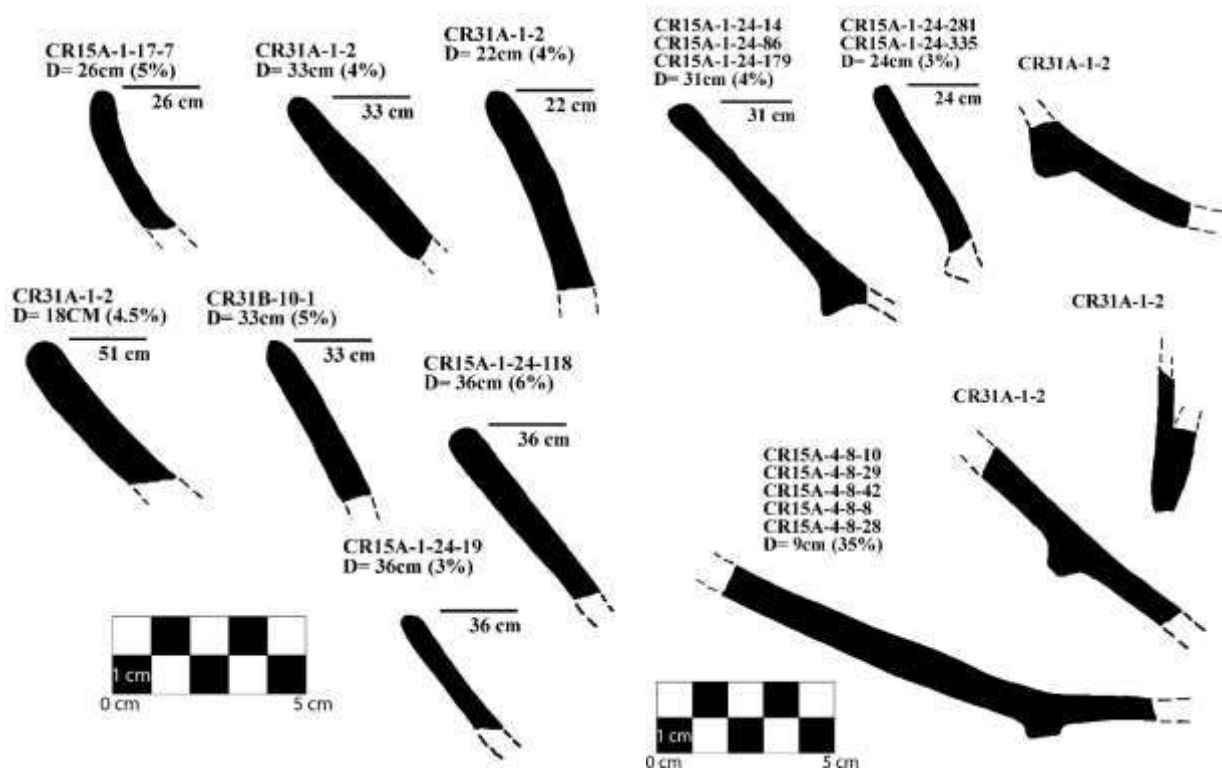


Figura 9.25 Muestras del tipo San Blas Rojo sobre Naranja: Variedad no especificada (Dibujos por C. Parris).

Complejo Waay: Clásico Tardío.

El Complejo *Waay* consiste de los tipos presentes en La Corona durante el Clásico Tardío. Este complejo es comparable con el complejo Tepeu en Uaxactun (Smith 1955), complejo Lac Na en El Mirador (Forsyth 1989), complejo Abril en La Joyanca (Forne 2006), complejo Tepejilote en Seibal (Sabloff 1975) y complejo Nacimiento en la región del Petexbatun (Foias y Bishop 2013). El Complejo *Waay* contiene grupos típicos del Clásico Tardío en Petén tales como Cambio, Tinaja, Infierno, Azote, Palmar, Santa Rosa y Zacatal (Tabla 9.25), así como el grupo Chablekal Gris Fino, que se incluye durante la faceta tardía del Complejo *Waay*. Cada uno de estos grupos cerámicos se encuentra enlistado a continuación junto con los fragmentos asociados.

Grupo	Tipo	Variedad	Referencia
Cambio	Cambio Sin Engobe	no especificado	Foias y Bishop 2013
Cambio	Manteca Impreso	no especificado	Foias y Bishop 2013
Cambio	Encanto Estriado	no especificado	Foias y Bishop 2013
Cambio	Encanto Estriado	Impreso	Foias y Bishop 2013
Tinaja	Tinaja Rojo	no especificado	Foias y Bishop 2013
Tinaja	Corozal Inciso	Camarón Inciso	Foias y Bishop 2013
Tinaja	Chaquiste Impreso	no especificado	Foias y Bishop 2013
Tinaja	Chaquiste Impreso	Estampada	Forne 2006
Tinaja	Chinja Impreso	no especificado	Forsyth 1989
Tinaja	Pantano Impreso	Estampada	Foias y Bishop 2013
Infierno	Infierno Negro	no especificado	Foias y Bishop 2013
Infierno	Carmelita Inciso	no especificado	Foias y Bishop 2013
Infierno	Chilar Aflautado	no especificado	Foias y Bishop 2013
Infierno	Esperancita Impreso	no especificado	Forne 2006
Azote	Azote Naranja	no especificado	Foias y Bishop 2013
Azote	Torres Inciso	no especificado	Foias y Bishop 2013
Palmar	Tipo indeterminado: Palmar Naranja Policromo	no especificado	Foias y Bishop 2013
Palmar	Desquite Rojo sobre Naranja	no especificado	Forne 2006; Forsyth 1989
Palmar	Anonal Naranja Policromo	no especificado	Forne 2006
Palmar	Chantuori Negro sobre Naranja	no especificado	Forne 2006; Forsyth 1989
Santa Rosa	Mataculebra Crema Policromo	Mataculebra	Forne 2006
Zacatal	Tipo indeterminado: Zacatal Crema Policromo	no especificado	Foias y Bishop 2013
Chablekal	Chablekal Gris	no especificado	Foias y Bishop 2013
Chablekal	Chicxulub Inciso	Chicxulub	Foias y Bishop 2013
Chablekal	Telchac Compuesto	Telchac	Foias y Bishop 2013

Tabla 9.25: Recursos utilizados para identificar los tipos del Complejo *Waay*.

Grupo Cambio

Cambio Sin Engobe: Variedad no especificada (Figuras 9.26 y 9.27).

Tiesto	Grupo	Tipo	Variedad	Dibujado?	Forma de la vasija	Parte de vasija
CR13R-7-LT2	Cambio	Cambio Sin Engobe	no especificado	No	no determinado	Cuerpo
CR13R-7-LT2	Cambio	Cambio Sin Engobe	no especificado	No	no determinado	Base
CR13R-7-LT2	Cambio	Cambio Sin Engobe	no especificado	No	no determinado	Cuello

CR13R-7-LT2	Cambio	Cambio Sin Engobe	no especificado	Sí	Olla	Borde
CR13R-7-LT2	Cambio	Cambio Sin Engobe	no especificado	Sí	Olla	Borde
CR13R-7-LT2	Cambio	Cambio Sin Engobe	no especificado	Sí	Olla	Borde
CR13R-9-LT	Cambio	Cambio Sin Engobe	no especificado	No	no determinado	Cuerpo
CR13R-9-LT	Cambio	Cambio Sin Engobe	no especificado	Sí	Olla	Borde
CR13R-9-LT	Cambio	Cambio Sin Engobe	no especificado	Sí	Olla	Borde
CR13R-9-LT	Cambio	Cambio Sin Engobe	no especificado	Sí	Olla	Borde
CR17B-3-5-13	Cambio	Cambio Sin Engobe	no especificado	Sí	Plato	Borde
CR31B-10-1	Cambio	Cambio Sin Engobe	no especificado	Sí	Olla	Borde
CR31B-10-1	Cambio	Cambio Sin Engobe	no especificado	Sí	Olla	Borde
CR31B-10-1	Cambio	Cambio Sin Engobe	no especificado	Sí	Cuenco	Borde
CR31B-10-2	Cambio	Cambio Sin Engobe	no especificado	Sí	Cuenco	Borde
CR31B-10-2	Cambio	Cambio Sin Engobe	no especificado	Sí	Olla	Borde
CR31B-10-2	Cambio	Cambio Sin Engobe	no especificado	Sí	Cuenco	Borde
CR31B-10-2	Cambio	Cambio Sin Engobe	no especificado	Sí	Olla	Borde

Tabla 9.26 Muestras del tipo Cambio Sin Engobe: Variedad no especificada.

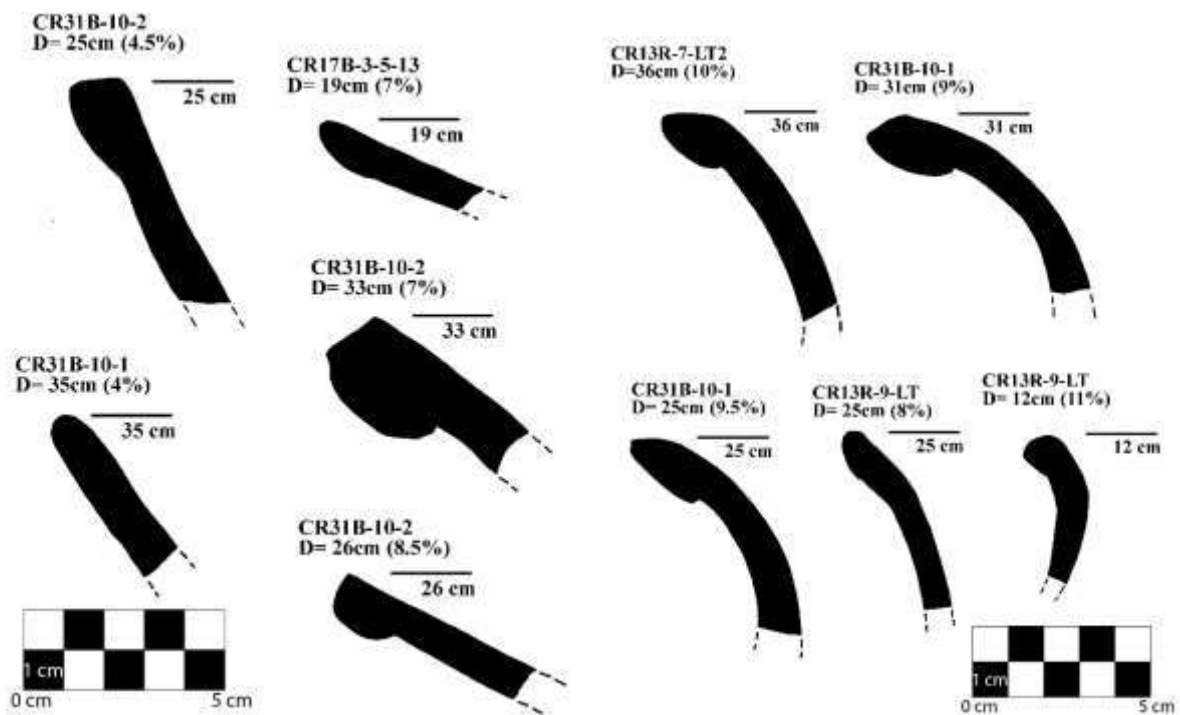


Figura 9.26 Muestras del tipo Cambio Sin Engobe: Variedad no especificada (Dibujos por C. Parris).

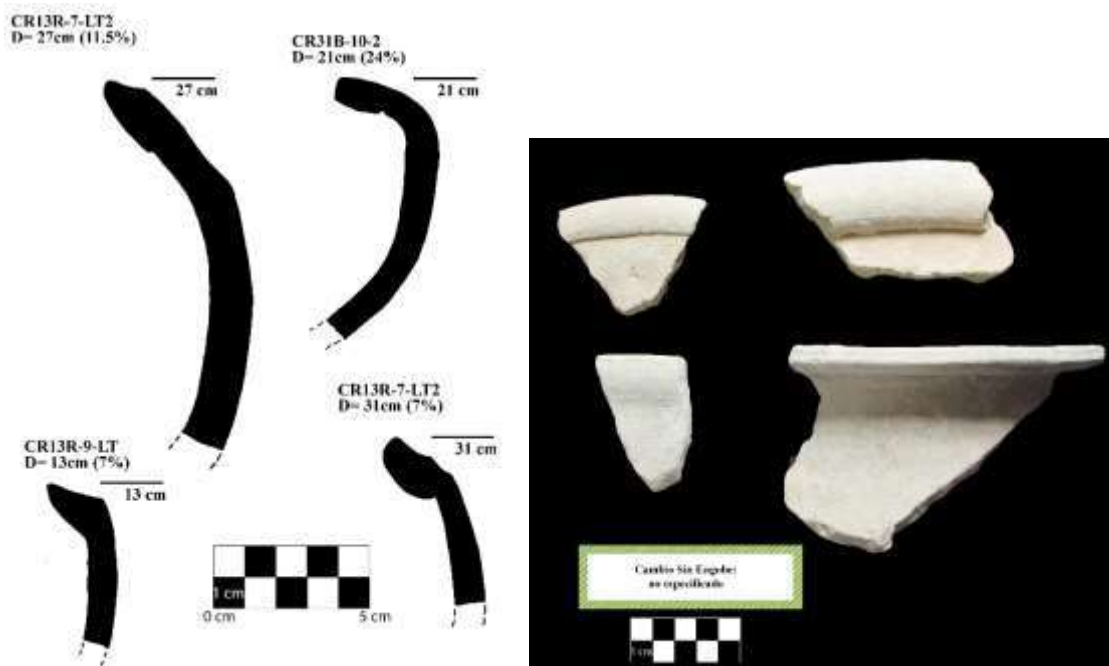


Figura 9.27 Muestras del tipo Cambio Sin Engobe: Variedad no especificada (Dibujos y fotografía por C. Parris).

Manteca Impreso: Variedad no especificada (Figura 9.28)

Tiesto	Grupo	Tipo	Variedad	Dibujado?	Forma de la vasija	Parte de vasija
CR12C-8-6-51	Cambio	Manteca Impreso	no especificado	Sí	Olla	Borde

Tabla 9.27 Muestras del tipo Manteca Impreso: Variedad no especificada



Figura 9.28 Muestra del tipo Manteca Impreso: Variedad no especificada (Dibujos y fotografía por C. Parris).

Encanto Estriado: Variedad no especificada (Figuras 9.29 y 9.30).

Tiesto	Grupo	Tipo	Variedad	Dibujado?	Forma de la vasija	Parte de vasija
CR13R-10-LT	Cambio	Encanto Estriado	no especificado	No	Olla	Cuello
CR13R-7-LT2	Cambio	Encanto Estriado	no especificado	No	no determinado	Hombro
CR13R-7-LT2	Cambio	Encanto Estriado	no especificado	No	no determinado	Hombro
CR13R-7-LT2	Cambio	Encanto Estriado	no especificado	No	no determinado	Cuerpo
CR13R-7-LT2	Cambio	Encanto Estriado	no especificado	No	no determinado	Cuerpo
CR13R-7-LT2	Cambio	Encanto Estriado	no especificado	No	no determinado	Cuerpo
CR13R-8-LT	Cambio	Encanto Estriado	no especificado	Sí	Olla	Borde
CR13R-8-LT	Cambio	Encanto Estriado	no especificado	Sí	Olla	Cuello
CR13R-9-LT	Cambio	Encanto Estriado	no especificado	Sí	Olla	Borde
CR13R-9-LT	Cambio	Encanto Estriado	no especificado	Sí	Cuenco	Borde
CR192-1	Cambio	Encanto Estriado	no especificado	No	Olla	Cuello
CR31B-10-2	Cambio	Encanto Estriado	no especificado	No	no determinado	Hombro
CR31B-10-2	Cambio	Encanto Estriado	no especificado	No	no determinado	Hombro
CR31B-10-2	Cambio	Encanto Estriado	no especificado	No	no determinado	Cuerpo
CR31B-10-2	Cambio	Encanto Estriado	no especificado	No	no determinado	Cuerpo
CR31B-10-3	Cambio	Encanto Estriado	no especificado	Sí	Plato	Borde
CR31B-10-4	Cambio	Encanto Estriado	no especificado	Sí	Cuenco	Borde

Tabla 9.28 Muestras del tipo Encanto Estriado: Variedad no especificada.

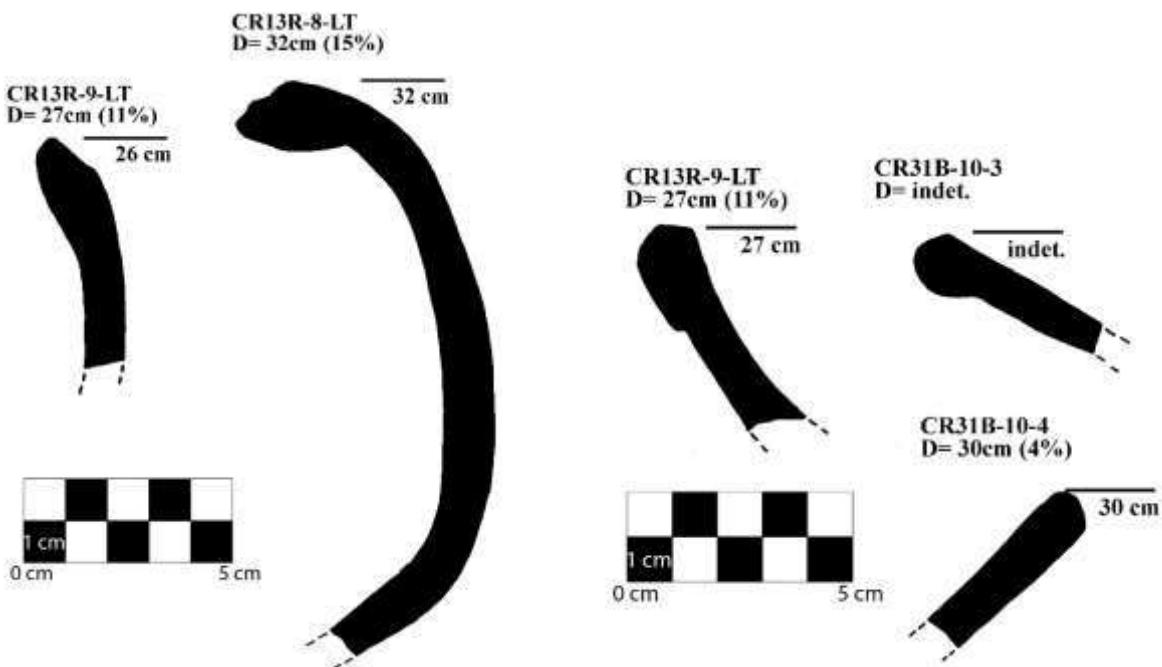


Figura 9.29 Muestras del tipo Encanto Estriado: Variedad no especificada (Dibujos por C. Parris).



Figura 9.30 Muestras del tipo Encanto Estriado: Variedad no especificada (Fotografías por C. Parris)-

Encanto Estriado: Variedad Impreso (Figura 9.31).

Tiesto	Grupo	Tipo	Variedad	Dibujado?	Forma de la vasija	Parte de vasija
CR13R-9-LT	Cambio	Encanto Estriado	Impreso	No	Olla	Hombro
CR14B-18-4-67	Cambio	Encanto Estriado	Impreso	No	Olla	Hombro
CR31A-1-2	Cambio	Encanto Estriado	Impreso	No	Olla	Hombro
CR31A-1-2	Cambio	Encanto Estriado	Impreso	No	Olla	Hombro
CR31B-10-3	Cambio	Encanto Estriado	Impreso	No	Olla	Hombro

Tabla 9.29 Muestras del tipo Encanto Estriado: Variedad Impreso.



Figura 9.31 Muestras del tipo Encanto Estriado: Variedad no especificada (Fotografía por C. Parris).

Grupo Tinaja

Tinaja Rojo: Variedad no especificada (Figura 9.32).

Tiesto	Grupo	Tipo	Variedad	Dibujado?	Forma de la vasija	Parte de vasija
CR12C-8-6-17	Tinaja	Tinaja Rojo	no especificado	Sí	Olla	Borde
CR13R-10-LT	Tinaja	Tinaja Rojo	no especificado	Sí	Cuenco	Borde
CR13R-10-LT	Tinaja	Tinaja Rojo	no especificado	Sí	Cuenco	Borde
CR13R-10-LT	Tinaja	Tinaja Rojo	no especificado	Sí	Cuenco	Borde
CR13R-7-LT	Tinaja	Tinaja Rojo	no especificado	No	no determinado	Hombro
CR13R-7-LT	Tinaja	Tinaja Rojo	no especificado	Sí	Cuenco	Borde
CR13R-7-LT1	Tinaja	Tinaja Rojo	no especificado	Sí	Cuenco	Borde
CR13R-7-LT2	Tinaja	Tinaja Rojo	no especificado	No	no determinado	Cuerpo
CR13R-7-LT2	Tinaja	Tinaja Rojo	no especificado	No	no determinado	Cuerpo
CR13R-7-LT2	Tinaja	Tinaja Rojo	no especificado	No	no determinado	Cuerpo
CR13R-7-LT2	Tinaja	Tinaja Rojo	no especificado	No	no determinado	Cuerpo
CR13R-7-LT2	Tinaja	Tinaja Rojo	no especificado	Sí	Olla	Borde
CR13R-7-LT2	Tinaja	Tinaja Rojo	no especificado	Sí	Olla	Borde
CR13R-7-LT2	Tinaja	Tinaja Rojo	no especificado	Sí	Olla	Borde
CR13R-7-LT2	Tinaja	Tinaja Rojo	no especificado	Sí	Cuenco	Borde
CR13R-7-LT2	Tinaja	Tinaja Rojo	no especificado	Sí	Cuenco	Borde
CR13R-9-LT	Tinaja	Tinaja Rojo	no especificado	No	no determinado	Cuerpo
CR14B-18-4-4	Tinaja	Tinaja Rojo	no especificado	Sí	Cuenco	Borde
CR192-1	Tinaja	Tinaja Rojo	no especificado	Sí	Cuenco	Borde
CR31B-10-1	Tinaja	Tinaja Rojo	no especificado	Sí	Cuenco	Borde
CR31B-10-1	Tinaja	Tinaja Rojo	no especificado	Sí	Cuenco	Borde

Tabla 9.30 Muestras del tipo Tinaja Rojo: Variedad no especificada.

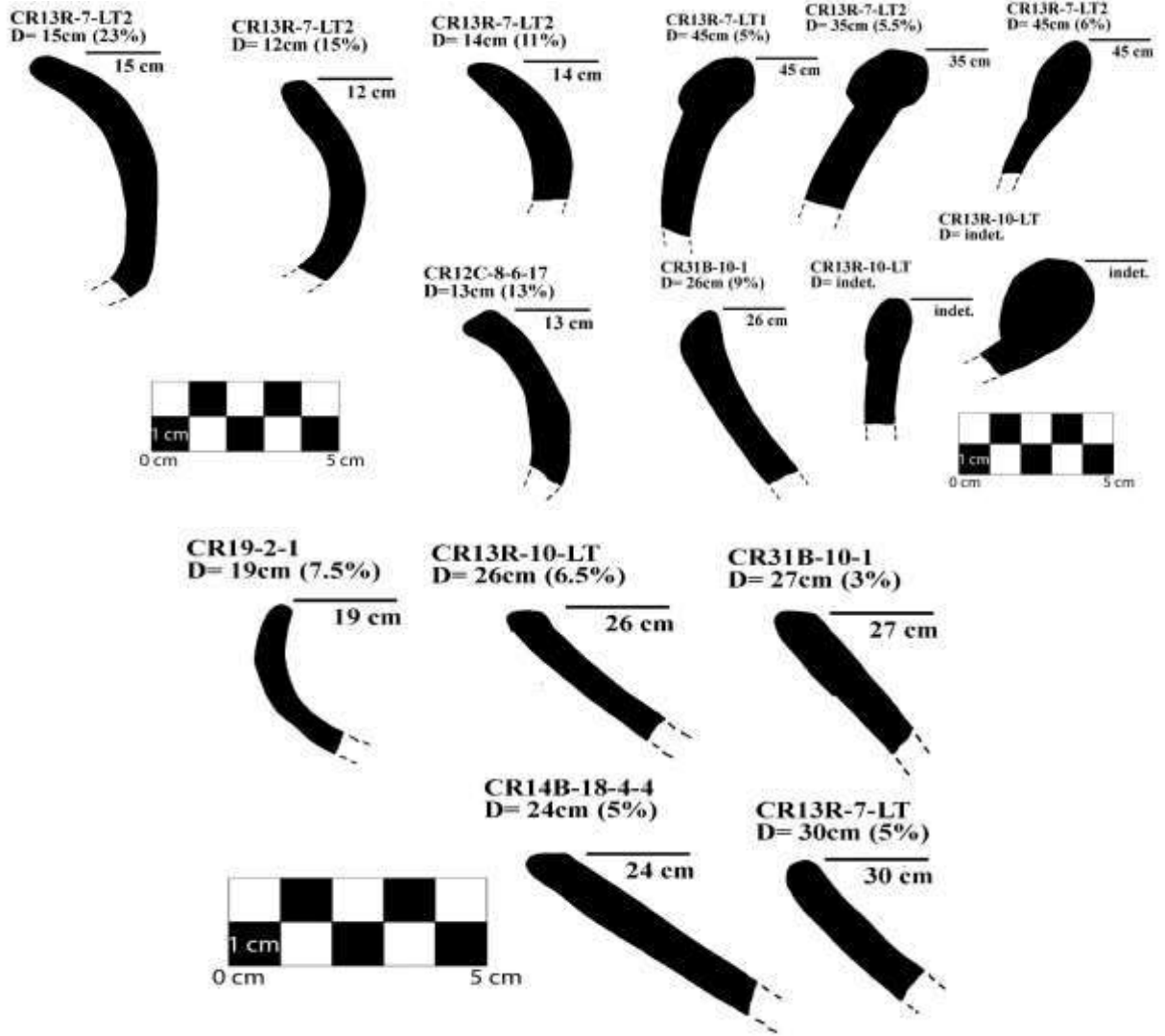


Figura 9.32 Muestras del tipo Tinaja Roja: Variedad no especificada (Dibujos y fotografías por C. Parris).

Corozal Inciso: Variedad Camarón Inciso (Figura 9.33).

Tiesto	Grupo	Tipo	Variedad	Dibujado?	Forma de la vasija	Parte de vasija
CR14B-20-2-17	Tinaja	Corozal Inciso	Camarón Inciso	Sí	Cuenco	Borde
CR14B-20-2-72	Tinaja	Corozal Inciso	Camarón Inciso	Sí	Cuenco	Borde

Tabla 9.31 Muestras del tipo Corozal Inciso: Variedad Camarón Inciso.

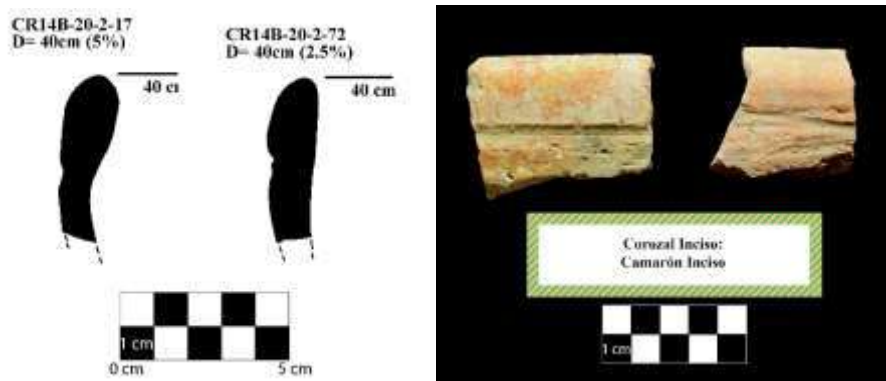


Figura 9.33 Muestras del tipo Corozal Inciso: Variedad Camarón Inciso (Dibujos y fotografías por C. Parris).

Chaquiste Impreso: Variedad no especificada (Figura 9.34).

Tiesto	Grupo	Tipo	Variedad	Dibujado?	Forma de la vasija	Parte de vasija
CR13R-7-LT1	Tinaja	Chaquiste Impreso	no especificado	No	Cuenco	Borde
CR13R-7-LT2	Tinaja	Chaquiste Impreso	no especificado	Sí	Cuenco	Borde
CR13R-7-LT2	Tinaja	Chaquiste Impreso	no especificado	Sí	Cuenco	Borde
CR13R-9-LT	Tinaja	Chaquiste Impreso	no especificado	No	no determinado	Cuerpo
CR13R-9-LT	Tinaja	Chaquiste Impreso	no especificado	No	no determinado	Cuerpo
CR13R-9-LT	Tinaja	Chaquiste Impreso	no especificado	Sí	Cuenco	Borde
CR13R-9-LT	Tinaja	Chaquiste Impreso	no especificado	Sí	Cuenco	Borde
CR13R-9-LT	Tinaja	Chaquiste Impreso	no especificado	Sí	Cuenco	Borde
CR31B-10-2	Tinaja	Chaquiste Impreso	no especificado	Sí	Cuenco	Borde
CR31B-10-2	Tinaja	Chaquiste Impreso	no especificado	Sí	Cuenco	Borde
CR31B-10-2	Tinaja	Chaquiste Impreso	no especificado	Sí	Cuenco	Borde
CR31B-10-2	Tinaja	Chaquiste Impreso	no especificado	Sí	Cuenco	Borde
CR31B-10-2	Tinaja	Chaquiste Impreso	no especificado	Sí	Cuenco	Borde
CR31B-10-3	Tinaja	Chaquiste Impreso	no especificado	Sí	Cuenco	Borde
CR31B-10-3	Tinaja	Chaquiste Impreso	no especificado	Sí	Cuenco	Borde
CR31B-8-2	Tinaja	Chaquiste Impreso	no especificado	Sí	Cuenco	Borde
CR31B-8-2	Tinaja	Chaquiste Impreso	no especificado	Sí	Cuenco	Borde
CR31B-8-2	Tinaja	Chaquiste Impreso	no especificado	Sí	Cuenco	Borde

Tabla 9.32 Muestras del tipo Chaquiste Impreso: Variedad no especificada.

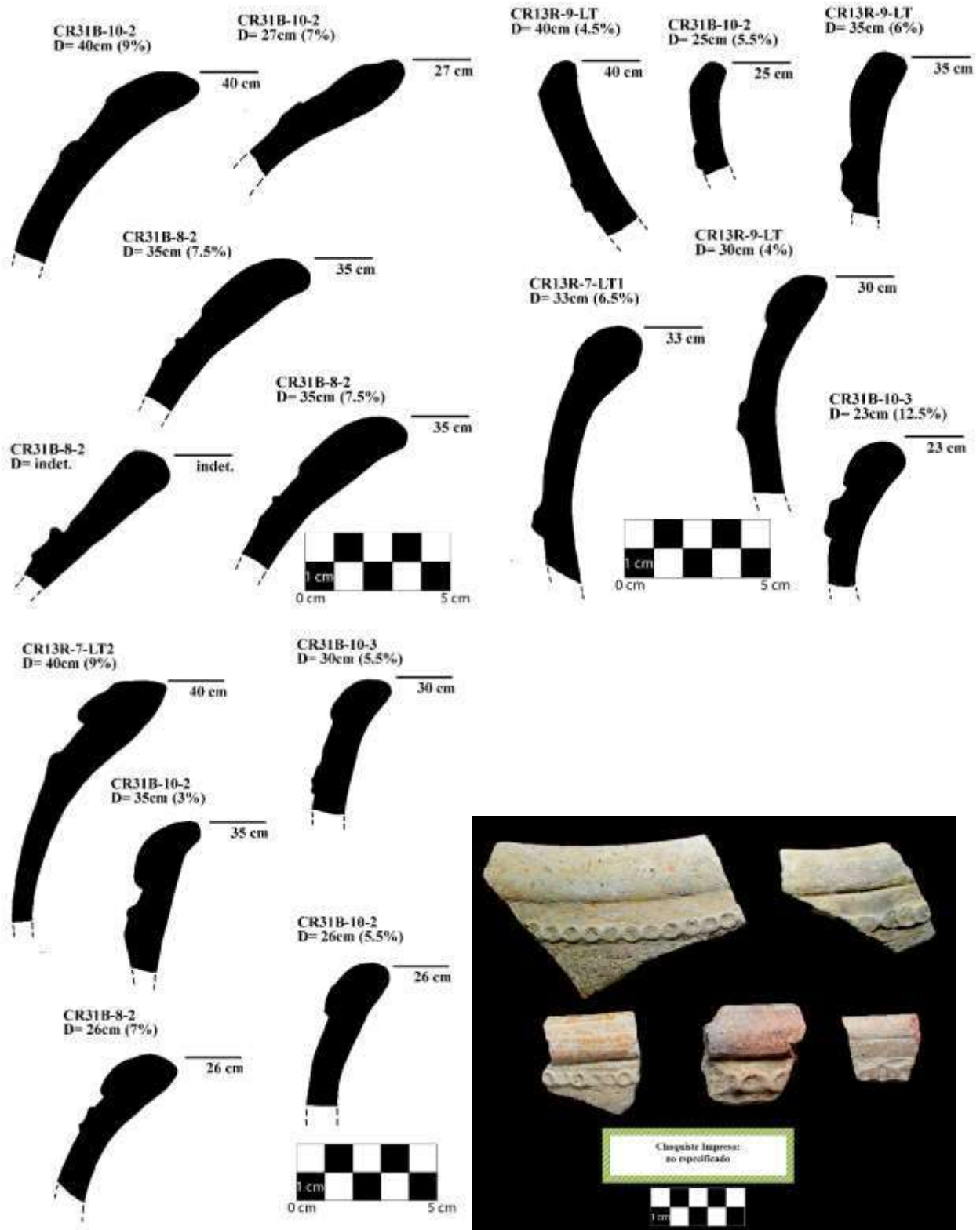


Figura 9.34 Muestras del tipo Chaquiste Impreso: Variedad no especificada (Dibujos y fotografías por C. Parris).

Chaquiste Impreso: Variedad Estampada (Figura 9.35).

Tiesto	Grupo	Tipo	Variedad	Dibujado?	Forma de la vasija	Parte de vasija
CR31B-10-2	Tinaja	Chaquiste Impreso	Estampada	Sí	Cuenco	Borde
CR31B-10-2	Tinaja	Chaquiste Impreso	Estampada	No	no determinado	Cuerpo

Tabla 9.33 Muestras del tipo Chaquiste Impreso: Variedad Estampada.



Figura 9.35 Muestras del tipo Chaquiste Impreso: Variedad Estampada (Dibujo y fotografía por C. Parris).

Chinja Impreso: Variedad no especificada (Figura 9.36).

Tiesto	Grupo	Tipo	Variedad	Dibujado?	Forma de la vasija	Parte de vasija
CR14B-6-4-2	Tinaja	Chinja Impreso	no especificado	Sí	Cuenco	Borde
CR31B-10-2	Tinaja	Chinja Impreso	no especificado	Sí	Cuenco	Borde

Tabla 9.34 Muestras del tipo Chinja Impreso: Variedad no especificada.

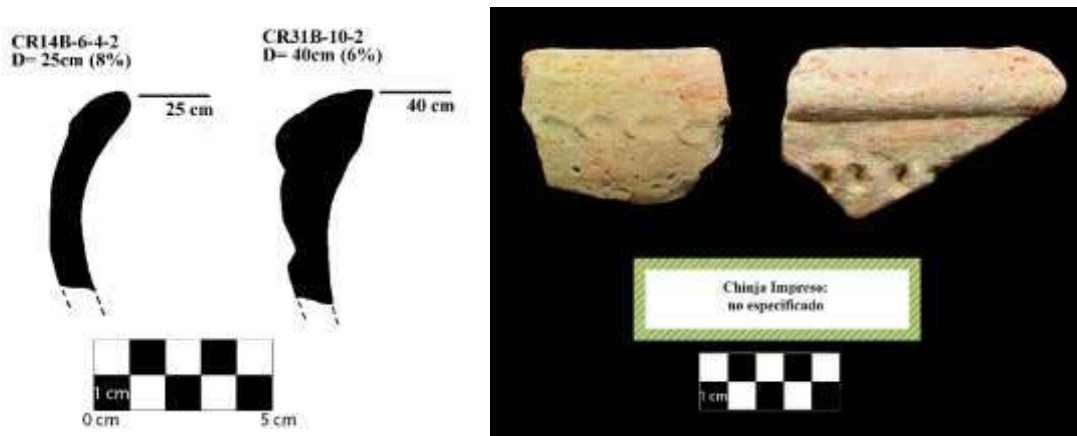


Figura 9.36 Muestras del tipo Chinja Impreso: Variedad no especificada (Dibujos y fotografía por C. Parris).

Pantano Impreso: Variedad Estampada (Figura 9.37).

Tiesto	Grupo	Tipo	Variedad	Dibujado?	Forma de la vasija	Parte de vasija
CR20G-8-5	Tinaja	Pantano Impreso	Estampada	No	Olla	Cuello

Tabla 9.35 Muestras del tipo Pantano Impreso: Variedad Estampada.

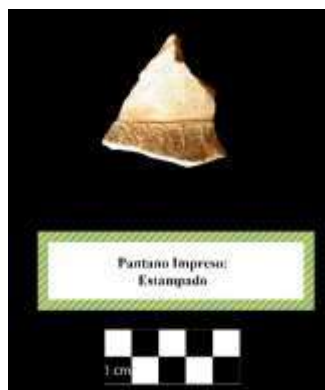


Figura 9.37 Muestra del tipo Pantano Impreso: Variedad no especificada (Fotografía por C. Parris).

Grupo Infierno

Infierno Negro: Variedad no especificada (Figura 9.38).

Tiesto	Grupo	Tipo	Variedad	Dibujado?	Forma de la vasija	Parte de vasija
CR13R-7-LT1	Infierno	Infierno Negro	no especificado	No	no determinado	Cuerpo
CR13R-7-LT1	Infierno	Infierno Negro	no especificado	No	no determinado	Cuerpo
CR13R-7-LT1	Infierno	Infierno Negro	no especificado	Sí	Cuenco	Borde
CR13R-7-LT1	Infierno	Infierno Negro	no especificado	Sí	Plato	Borde
CR13R-9-LT	Infierno	Infierno Negro	no especificado	Sí	Cuenco	Base
CR13R-9-LT	Infierno	Infierno Negro	no especificado	No	no determinado	Cuerpo
CR19-1-2	Infierno	Infierno Negro	no especificado	Sí	Plato	Borde
CR19-1-2	Infierno	Infierno Negro	no especificado	No	Cuenco	Borde
CR19-1-2	Infierno	Infierno Negro	no especificado	Sí	Cilindro	Borde
CR31B-10-1	Infierno	Infierno Negro	no especificado	No	Plato	Base
CR31B-10-1	Infierno	Infierno Negro	no especificado	No	Plato	Base
CR31B-10-1	Infierno	Infierno Negro	no especificado	Sí	Plato	Soporte
CR31B-10-1	Infierno	Infierno Negro	no especificado	Sí	Plato	Borde
CR31B-10-1	Infierno	Infierno Negro	no especificado	No	Plato	Cuerpo
CR31B-10-1	Infierno	Infierno Negro	no especificado	Sí	Plato	Borde
CR31B-10-1	Infierno	Infierno Negro	no especificado	Sí	Plato	Borde
CR31B-10-1	Infierno	Infierno Negro	no especificado	Sí	Plato	Borde
CR31B-10-2	Infierno	Infierno Negro	no especificado	Sí	Plato	Borde
CR31B-10-2	Infierno	Infierno Negro	no especificado	Sí	Plato	Borde

Tabla 9.36 Muestras del tipo Infierno negro: Variedad no especificada.

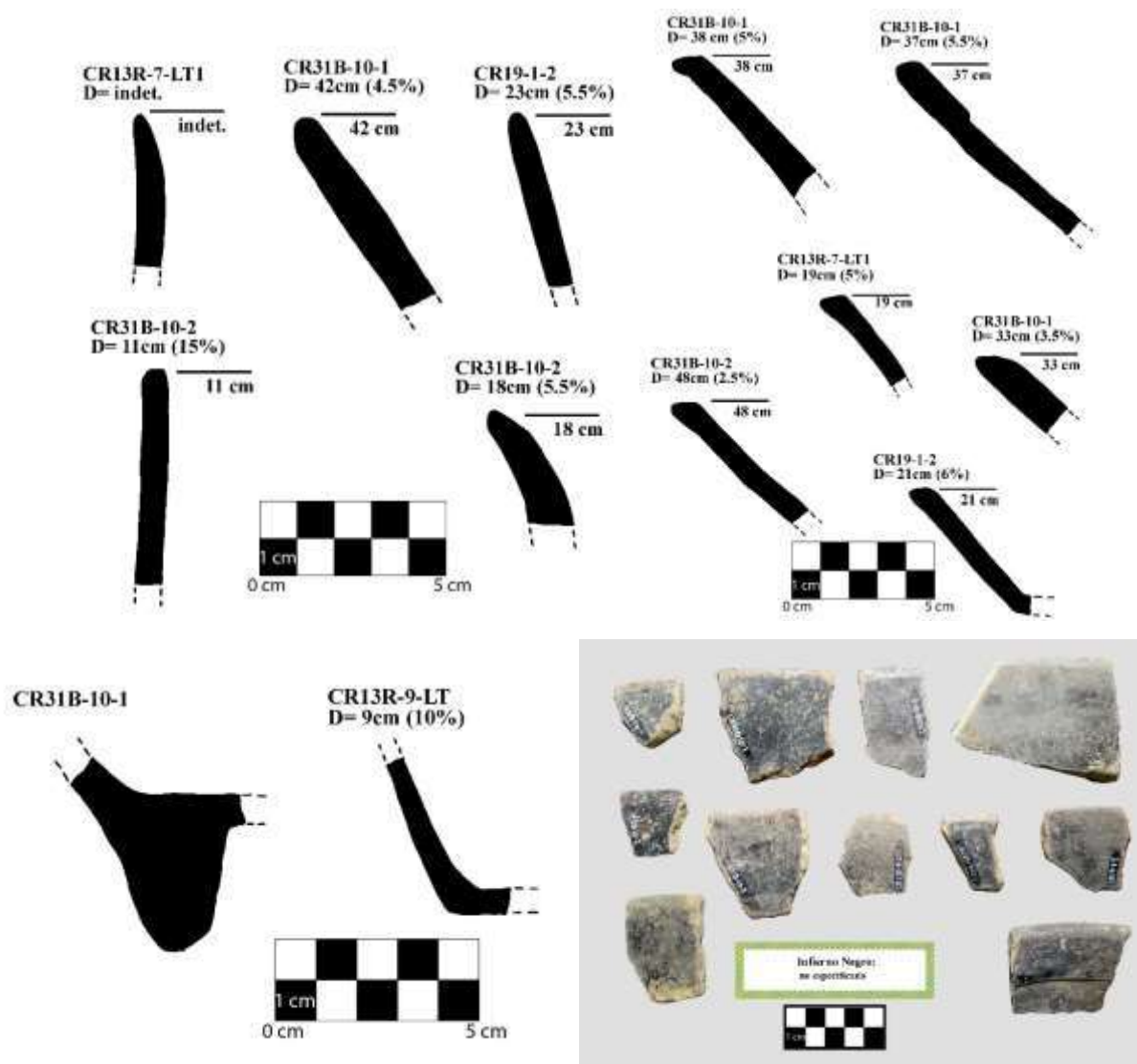


Figura 9.38 Muestras del tipo Infierno negro: Variedad no especificada (Dibujos y fotografía por C. Parris).

Carmelita Inciso: Variedad no especificada (Figura 9.39).

Tiesto	Grupo	Tipo	Variedad	Dibujado?	Forma de la vasija	Parte de vasija
CR12C-12-3-21	Infierno	Carmelita Inciso	no especificado	No	no determinado	Cuerpo
CR13R-7-LT	Infierno	Carmelita Inciso	no especificado	Sí	Cilindro	Borde
CR191-2	Infierno	Carmelita Inciso	no especificado	No	no determinado	Cuerpo
CR31A-1-2	Infierno	Carmelita Inciso	no especificado	No	no determinado	Cuerpo
CR31B-10-2	Infierno	Carmelita Inciso	no especificado	Sí	Cuenco	Borde
CR31B-10-3	Infierno	Carmelita Inciso	no especificado	No	no determinado	Cuerpo
CR31B-10-3	Infierno	Carmelita Inciso	no especificado	No	no determinado	Cuerpo

Tabla 9.37 Muestras del tipo Carmelita Inciso: Variedad no especificada.

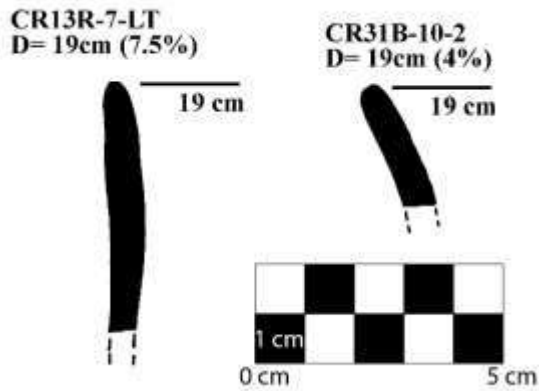


Figura 9.39 Muestras del tipo Carmelita Inciso: Variedad no especificada (Dibujos y fotografía por C. Parris).

Chilar Aflautado: Variedad no especificada (Figura 9.40).

Tiesto	Grupo	Tipo	Variedad	Dibujado?	Forma de la vasija	Parte de vasija
CR13R-10-LT	Infierno	Chilar Aflautado	no especificado	No	no determinado	Cuerpo
CR13R-10-LT	Infierno	Chilar Aflautado	no especificado	No	no determinado	Cuerpo
CR13R-10-LT	Infierno	Chilar Aflautado	no especificado	No	no determinado	Cuerpo
CR13R-10-LT	Infierno	Chilar Aflautado	no especificado	No	no determinado	Cuerpo
CR191-2	Infierno	Chilar Aflautado	no especificado	No	no determinado	Cuerpo
CR31B-6-2	Infierno	Chilar Aflautado	no especificado	Sí	Cuenco	Borde

Tabla 9.38 Muestras del tipo Chilar Aflautado: Variedad no especificada.

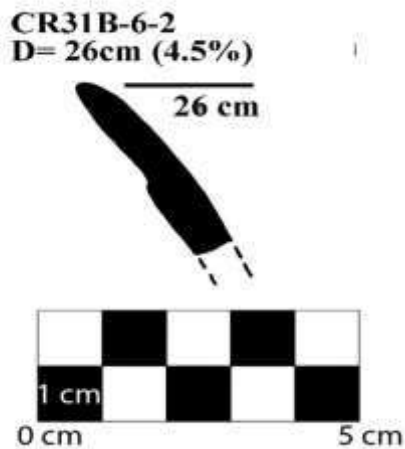


Figura 9.40 Muestras del tipo Chilar Aflautado: Variedad no especificada (Dibujo y fotografía por C. Parris).

Esperancita Impreso: Variedad no especificada (Figura 9.41).

Tiesto	Grupo	Tipo	Variedad	Dibujado?	Forma de la vasija	Parte de vasija
CR13R-7-LT1	Infierno	Esperancita Impreso	no especificado	No	no determinado	Cuerpo
CR20G-8-5	Infierno	Esperancita Impreso	no especificado	No	no determinado	Cuerpo

Tabla 9.39 Muestras del tipo Esperancita Impreso: Variedad no especificada.



Figura 9.41 Muestras del tipo Esperancita Impreso: Variedad no especificada (Fotografía por C. Parris).

Grupo Azote

Azote Naranja: Variedad no especificada (Figura 9.42).

Tiesto	Grupo	Tipo	Variedad	Dibujado?	Forma de la vasija	Parte de vasija
CR13R-7-LT2	Azote	Azote Naranja	no especificado	No	Cuenco	Cuerpo
CR13R-7-LT2	Azote	Azote Naranja	no especificado	No	Cuenco	Cuerpo
CR31B-10-3	Azote	Azote Naranja	no especificado	Sí	Cilindro	Borde

Tabla 9.40 Muestras del tipo Azote Naranja: Variedad no especificada..



Figura 9.42 Muestras del tipo Azote Naranja: Variedad no especificada (Fotografía por C. Parris).

Torres Inciso: Variedad no especificada (Figura 9.43).

Tiesto	Grupo	Tipo	Variedad	Dibujado?	Forma de la vasija	Parte de vasija
CR13R-10-LT	Azote	Torres Inciso	no especificado	No	no determinado	Cuerpo
CR20G-8-5	Azote	Torres Inciso	no especificado	Sí	Cilindro	Borde

Tabla 9.41 Muestras del tipo Torres Inciso: Variedad no especificada.

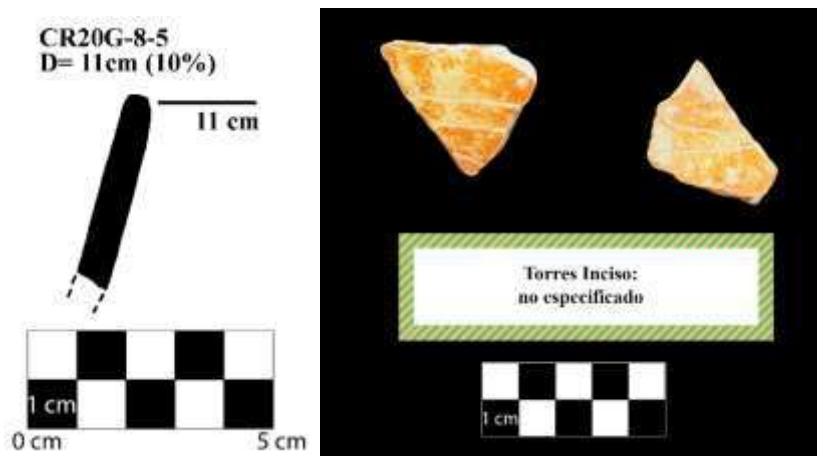


Figura 9.43 Muestras del tipo Torres Inciso: Variedad no especificada (Dibujo y fotografía por C. Parris).

Grupo Palmar

Tipo indeterminado: Palmar Naranja Policromo: Variedad no especificada (Figuras 9.44 y 45).

Tiesto	Grupo	Tipo	Variedad	Dibujado?	Forma de la vasija	Parte de vasija
CR13R-10-LT	Palmar	Palmar	no especificado	Sí	Plato	Borde
CR13R-10-LT	Palmar	Palmar	no especificado	Sí	Plato	Borde
CR13R-10-LT	Palmar	Palmar	no especificado	Sí	Plato	Borde
CR13R-10-LT	Palmar	Palmar	no especificado	Sí	Cuenco	Borde
CR13R-10-LT	Palmar	Palmar	no especificado	Sí	Cuenco	Borde
CR13R-10-LT	Palmar	Palmar	no especificado	No	Tambor	Cuerpo
CR13R-10-LT	Palmar	Palmar	no especificado	No	Tambor	Cuerpo
CR13R-10-LT	Palmar	Palmar	no especificado	No	Tambor	Cuerpo
CR13R-7-LT2	Palmar	Palmar	no especificado	Sí	Cuenco	Borde
CR13R-7-LT2	Palmar	Palmar	no especificado	Sí	Cuenco	Borde
CR13R-7-LT2	Palmar	Palmar	no especificado	No	no determinado	Base
CR13R-7-LT2	Palmar	Palmar	no especificado	Sí	Tapadera	Borde
CR13R-7-LT2	Palmar	Palmar	no especificado	Sí	Plato	Borde
CR13R-7-LT2	Palmar	Palmar	no especificado	Sí	Plato	Borde
CR13R-7-LT2	Palmar	Palmar	no especificado	Sí	Cuenco	Borde
CR13R-7-LT2	Palmar	Palmar	no especificado	No	Plato	Base
CR13R-7-LT2	Palmar	Palmar	no especificado	No	Plato	Base

CR14B-20-3-11	Palmar	Palmar	no especificado	Sí	Cuenco	Borde
CR14B-20-3-24	Palmar	Palmar	no especificado	No	Olla	Cuerpo
CR14B-20-3-32	Palmar	Palmar	no especificado	Sí	Cuenco	Borde
CR14B-20-3-93	Palmar	Palmar	no especificado	Sí	Cuenco	Borde
CR17B-2-4-47	Palmar	Palmar	no especificado	Sí	Cuenco	Borde
CR31A-1-2	Palmar	Palmar	no especificado	Sí	Cuenco	Borde
CR31B-10-2	Palmar	Palmar	no especificado	Sí	Plato	Borde
CR31B-10-2	Palmar	Palmar	no especificado	Sí	Plato	Borde
CR31B-10-2	Palmar	Palmar	no especificado	Sí	Cuenco	Borde
CR31B-10-2	Palmar	Palmar	no especificado	Sí	Cuenco	Borde
CR31B-10-2	Palmar	Palmar	no especificado	Sí	Plato	Borde
CR31B-10-3	Palmar	Palmar	no especificado	Sí	Cuenco	Borde

Tabla 9.42 Muestras del tipo Palmar Naranja Policromo: Variedad no especificada.

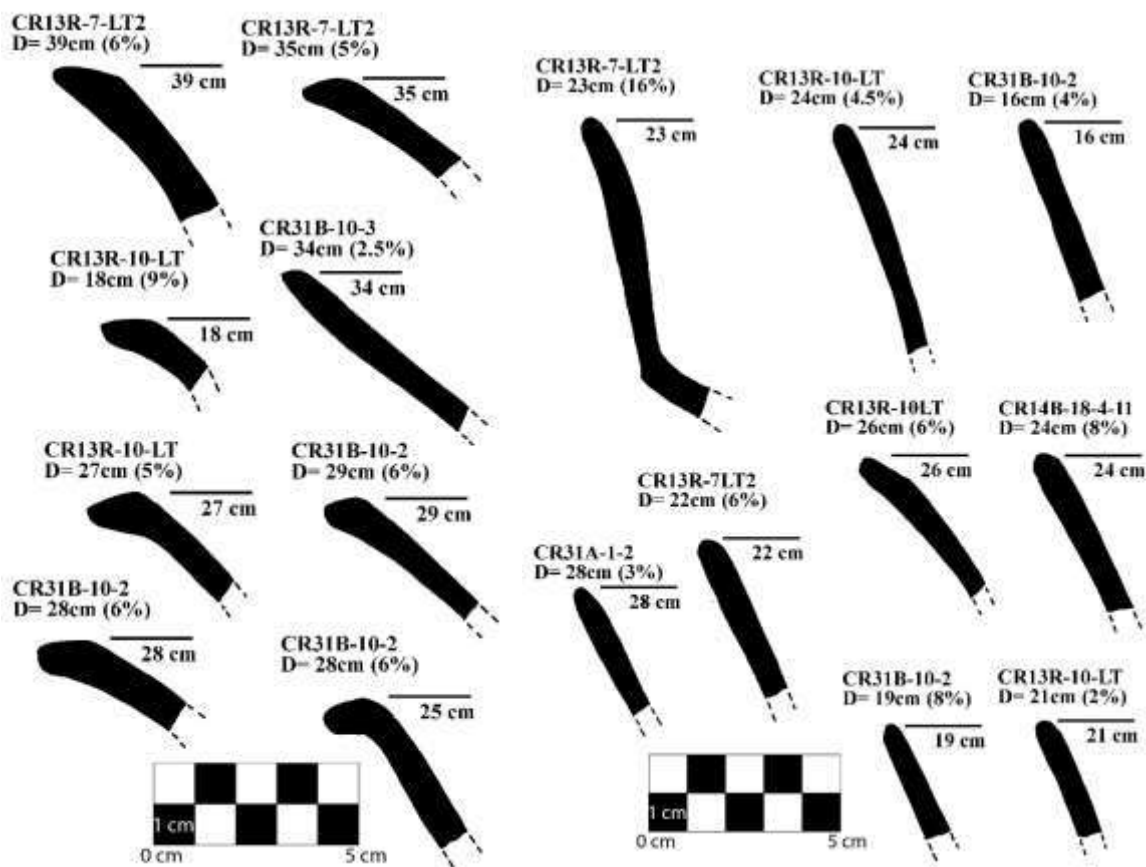


Figura 9.44 Muestras del tipo Palmar Naranja Policromo: Variedad no especificada (Dibujos por C. Parris).

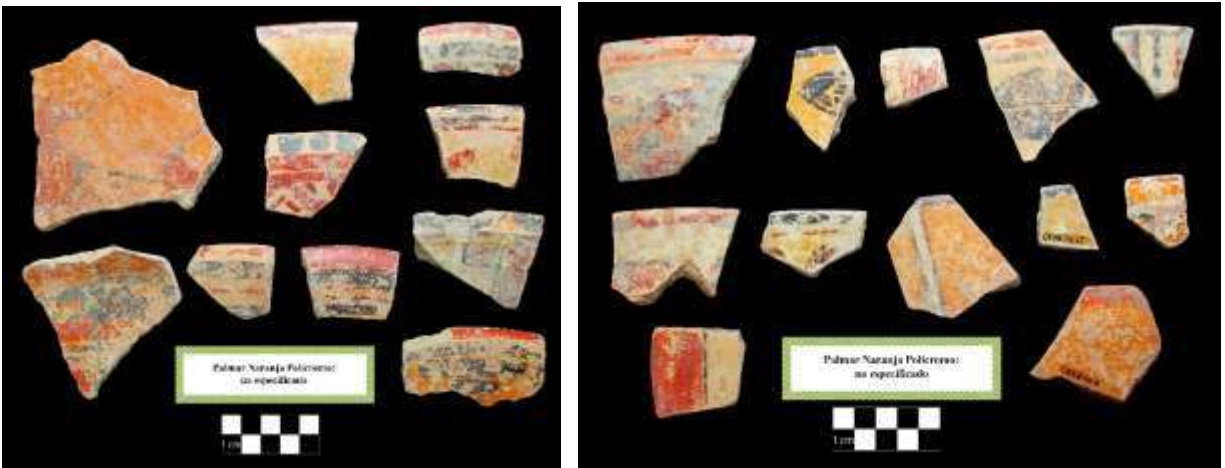
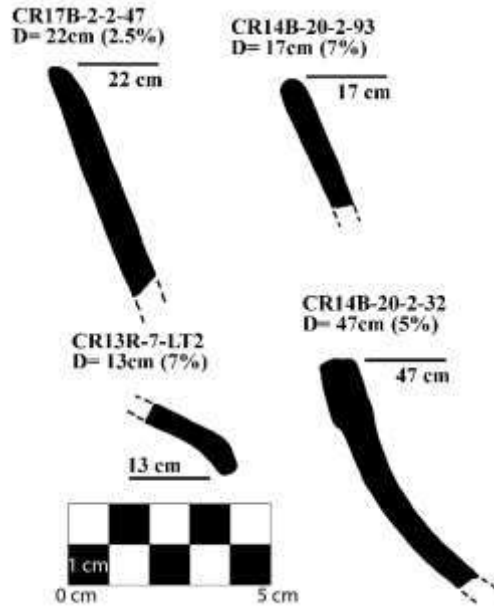


Figura 9.45 Muestras del tipo Palmar Naranja Policromo: Variedad no especificada (Dibujos y fotografías por C. Parris).

Desquite Rojo sobre Naranja: Variedad no especificada (Figura 9.46).

Tiesto	Grupo	Tipo	Variedad	Dibujado?	Forma de la vasija	Parte de vasija
CR13R-10-LT	Palmar	Desquite Rojo sobre Naranja	no especificado	No	no determinado	Cuerpo
CR13R-10-LT	Palmar	Desquite Rojo sobre Naranja	no especificado	No	no determinado	Cuerpo
CR31B-10-2	Palmar	Desquite Rojo sobre Naranja	no especificado	Sí	Cuenco	Borde
CR31B-10-2	Palmar	Desquite Rojo sobre Naranja	no especificado	Sí	Cuenco	Borde

Tabla 9.43 Muestras del tipo Desquite Rojo sobre Naranja: Variedad no especificada.

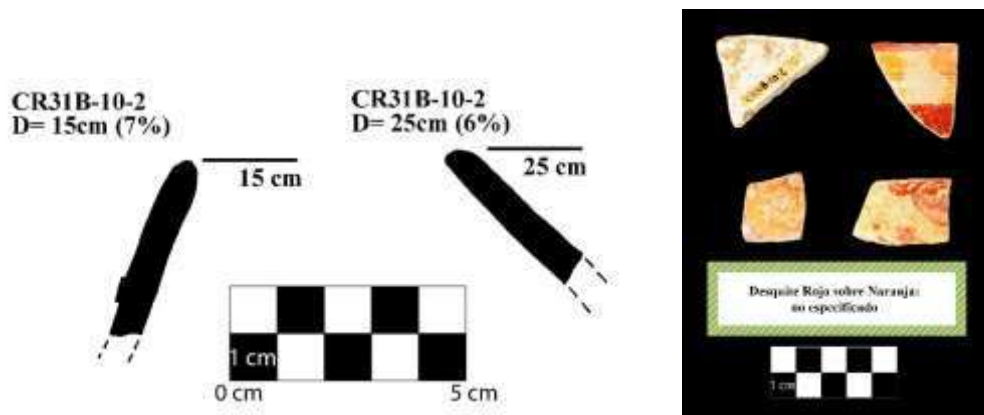


Figura 9.46 Muestras del tipo Desquite Rojo sobre Naranja: Variedad no especificada (Dibujos y fotografía por C. Parris).

Anonal Naranja Policromo: Variedad no especificada (Figura 9.47).

Tiesto	Grupo	Tipo	Variedad	Dibujado?	Forma de la vasija	Parte de vasija
CR13R-10-LT	Palmar	Anonal Naranja Policromo	no especificado	Sí	Cuenco	Borde
CR13R-10-LT	Palmar	Anonal Naranja Policromo	no especificado	Sí	Cuenco	Borde
CR14B-20-2-165	Palmar	Anonal Naranja Policromo	no especificado	Sí	Cuenco	Borde
CR31B-10-2	Palmar	Anonal Naranja Policromo	no especificado	No	Cuenco	Cuerpo
CR31B-10-2	Palmar	Anonal Naranja Policromo	no especificado	No	Cuenco	Cuerpo

Tabla 9.44 Muestras del tipo Anonal Naranja Policromo: Variedad no especificada.

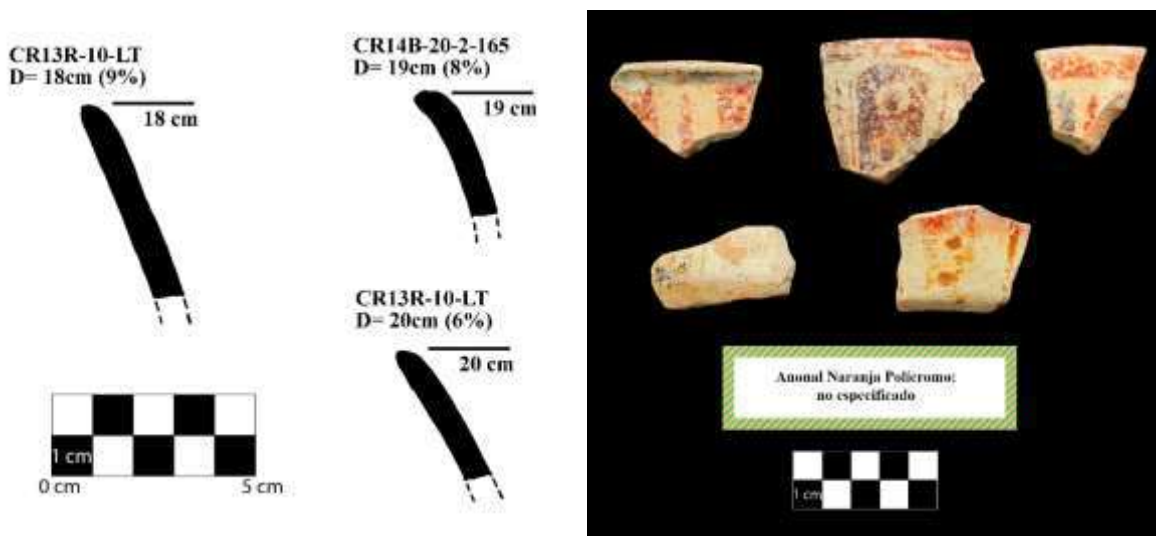


Figura 9.47 Muestras del tipo Anonal Naranja Policromo: Variedad no especificada (Dibujos y fotografía por C. Parris).

Chantuori Negro sobre Naranja: Variedad no especificada (Figura 9.48).

Tiesto	Grupo	Tipo	Variedad	Dibujado?	Forma de la vasija	Parte de vasija
CR13R-7-LT2	Palmar	Chantuori Negro sobre Naranja	no especificado	No	no determinado	Base
CR13R-7-LT2	Palmar	Chantuori Negro sobre Naranja	no especificado	No	no determinado	Base
CR31A-1-2	Palmar	Chantuori Negro sobre Naranja	no especificado	Sí	Cuenco	Borde
CR31A-1-2	Palmar	Chantuori Negro sobre Naranja	no especificado	No	no determinado	Cuerpo
CR31B-10-1	Palmar	Chantuori Negro sobre Naranja	no especificado	Sí	Plato	Borde
CR31B-10-2	Palmar	Chantuori Negro sobre Naranja	no especificado	Sí	Cuenco	Borde
CR31B-10-2	Palmar	Chantuori Negro sobre Naranja	no especificado	No	no determinado	Base

Tabla 9.45 Muestras del tipo Chantuori Negro sobre Naranja: Variedad no especificada

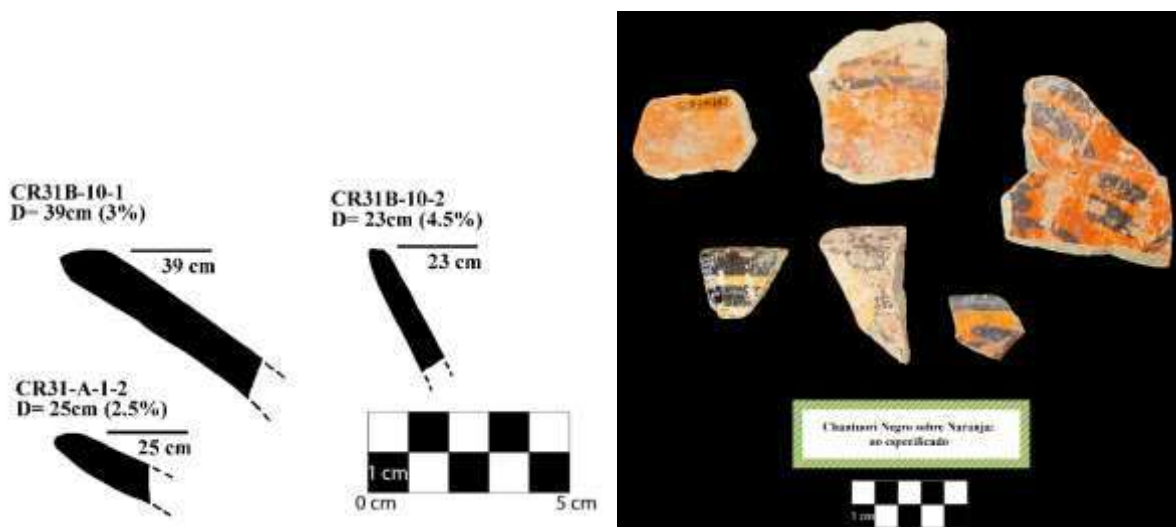


Figura 9.48 Muestras del tipo Chantuori Negro sobre Naranja: Variedad no especificada (Dibujos y fotografía por C. Parris).

Grupo Santa Rosa

Mataculebra Crema Policromo: Variedad Mataculebra (Figura 9.49).

Tiesto	Grupo	Tipo	Variedad	Dibujado?	Forma de la vasija	Parte de vasija
CR13R-7-LT	Santa Rosa	Mataculebra Crema Policromo	Mataculebra	Sí	Cuenco	Borde

Tabla 9.46 Muestras del tipo Mataculebra Crema Policromo: Variedad Mataculebra.

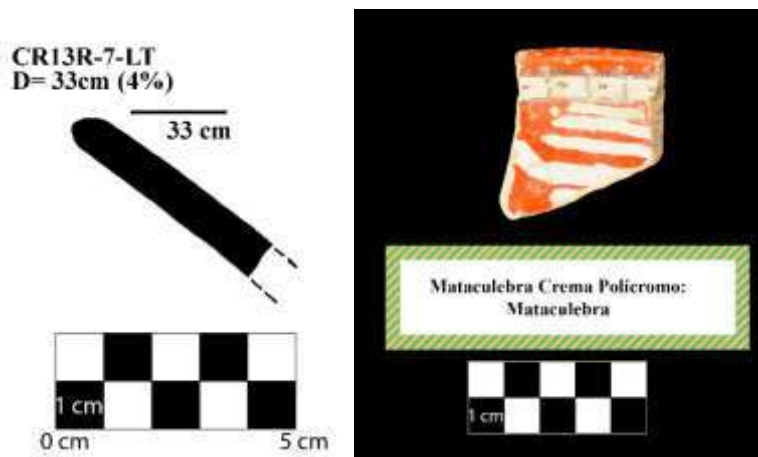


Figura 9.49 Muestra del tipo Mataculebra Crema Policromo: Variedad Mataculebra (Dibujo y fotografía por C. Parris)

Grupo Zacatal

Tipo indeterminado: Zacatal Crema Policromo: Variedad no especificada (Figura 9.50).

Tiesto	Grupo	Tipo	Variedad	Dibujado?	Forma de la vasija	Parte de Vasija
CR13R-10-LT	Zacatal	Zacatal	no especificado	No	Cilindro	Cuerpo
CR13R-7-LT2	Zacatal	Zacatal	no especificado	No	Cilindro	Cuerpo
CR13R-7-LT2	Zacatal	Zacatal	no especificado	No	Cilindro	Cuerpo
CR31B-10-1	Zacatal	Zacatal	no especificado	Sí	Cuenco	Borde
CR31B-10-2	Zacatal	Zacatal	no especificado	Sí	Cuenco	Borde

Tabla 9.47 Muestras del tipo Zacatal Crema Policromo: Variedad no especificada.

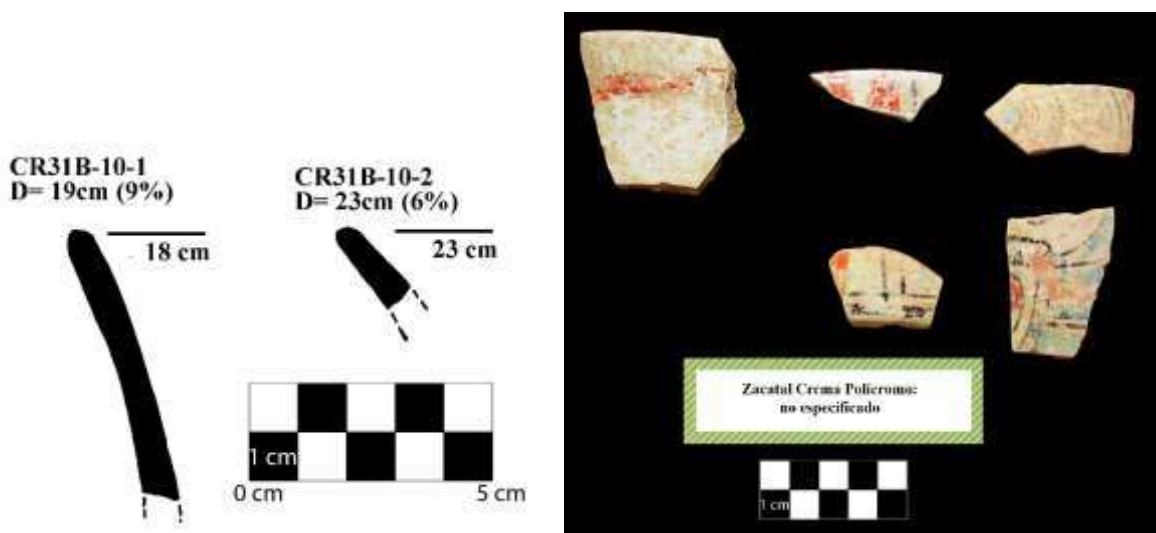


Figura 9.50 Muestras del tipo Zacatal Crema Policromo: Variedad no especificada (Dibujos y fotografía por C. Parris).

Faceta tardía del complejo Waay

Grupo Chablekal

Chablekal Gris: Variedad no especificada (Figura 9.51).

Tiesto	Grupo	Tipo	Variedad	Dibujado?	Forma de la vasija	Parte de vasija
CR13R-7-LT1	Chablekal	Chablekal Gris	no especificado	No	no determinado	Base
CR13R-7-LT1	Chablekal	Chablekal Gris	no especificado	No	no determinado	Cuerpo

Tabla 9.48 Muestras del tipo Chablekal Gris: Variedad no especificada.



Figura 9.51 Muestras del tipo Chablekal Gris: Variedad no especificada (Fotografía por C. Parris).

Chicxulub Inciso: Variedad Chicxulub (Figura 9.52).

Tiesto	Grupo	Tipo	Variedad	Dibujado?	Forma de la vasija	Parte de vasija
CR31B-10-1	Chablekal	Chicxulub Inciso	Chicxulub	No	Cuenca	Cuerpo

Tabla 9.49 Muestras del tipo Chicxulub Inciso: Variedad Chicxulub.



Figura 9.52 Muestras del tipo Chicxulub Inciso: Variedad Chicxulub (Fotografía por C. Parris)

Telchac Compuesto: Variedad Telchac (Figura 9.53).

Tiesto	Grupo	Tipo	Variedad	Dibujado?	Forma de la vasija	Parte de vasija
CR13R-7-LT1	Chablekal	Telchac Compuesto	Telchac	Sí	Cuenco	Cuerpo
CR31B-10-2	Chablekal	Telchac Compuesto	Telchac	Sí	Cuenco	Borde
CR31B-10-2	Chablekal	Telchac Compuesto	Telchac	Sí	Cuenco	Borde
CR31B-10-2	Chablekal	Telchac Compuesto	Telchac	No	Cuenco	Base
CR31B-10-2	Chablekal	Telchac Compuesto	Telchac	Sí	Cuenco	Borde
CR31B-10-2	Chablekal	Telchac Compuesto	Telchac	Sí	Cuenco	Borde
CR31B-10-2	Chablekal	Telchac Compuesto	Telchac	Sí	Cuenco	Borde
CR31B-10-2	Chablekal	Telchac Compuesto	Telchac	Sí	Cuenco	Borde
CR31B-10-2	Chablekal	Telchac Compuesto	Telchac	Sí	Cuenco	Borde
CR31B-10-2	Chablekal	Telchac Compuesto	Telchac	Sí	Cuenco	Borde
CR31B-8-2	Chablekal	Telchac Compuesto	Telchac	Sí	Cuenco	Borde

Tabla 9.50 Muestras del tipo Telchac Compuesto: Variedad Telchac.

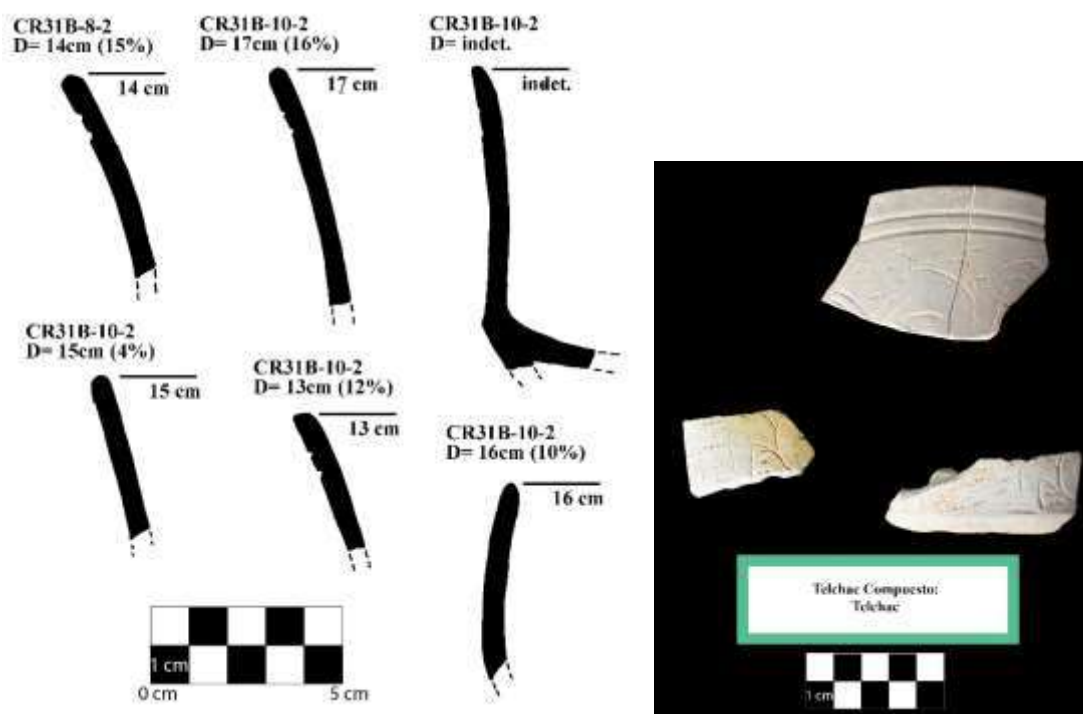


Figura 9.53 Muestras del tipo Telchac Compuesto: Variedad Telchac (Dibujos y fotografía por C. Parris)

Complejo Paat: Clásico Terminal

El Complejo Paat en La Corona consiste de los tipos presentes durante el Clásico Terminal. Este complejo es comparable al Complejo Tepeu 3 en Uaxactun (Smith 1955), complejo Post Lac Na en El Mirador (Forsyth 1989), los complejos Tuspan en La Joyanca (Forne 2006), el complejo Bayal en Seibal (Sabloff 1975) y el complejo Sepens en la región del Petexbatun (Foias y Bishop 2013). El complejo Paat se encuentra marcado por la presencia de tipos Naranja Fino tales como Altar Naranja, Trapiche Inciso y Balancán Naranja (Tabla 9.51). Los grupos del Clásico Tardío que persisten en este complejo son Cambio, Tinaja, Infierno, Azote y Palmar. Los tipos cerámicos que son nuevos en el complejo Paat en La Corona se encuentran enlistados a continuación.

Complejo	Grupo	Tipo	Variedad	Referencia
Paat	Infierno	Carmelita Inciso	Cubeta	Foias y Bishop 2013
Paat	Altar	Altar Naranja	Altar	Foias y Bishop 2013
Paat	Altar	Trapiche Inciso	Trapiche	Foias y Bishop 2013
Paat	Balancán	Balancán Naranja	no especificado	Foias y Bishop 2013

Tabla 9.51 Recursos utilizados para identificar los tipos del Complejo *Paat*.

Grupo Infierno

Carmelita Inciso: Variedad Cubeta (Figura 9.54)

Tiesto	Grupo	Tipo	Variedad	Dibujado?	Forma de la vasija	Parte de vasija
CR192-1	Infierno	Carmelita Inciso	Cubeta	No	no determinado	Base

Tabla 9.52 Muestras del tipo Carmelita Inciso: Variedad Cubeta.

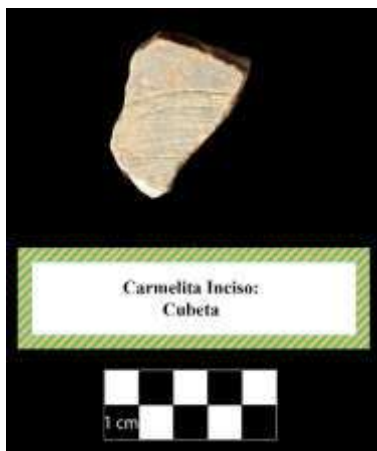


Figura 9.54 Muestra del tipo Carmelita Inciso: Variedad Cubeta (Fotografía por C. Parris).

Grupo Altar

Altar Naranja: Variedad Altar (Figura 9.55).

Tiesto	Grupo	Tipo	Variedad	Dibujado?	Forma de la vasija	Parte de vasija
CR13R-10-LT	Altar	Altar Naranja	Altar	Sí	Cuenco	Borde
CR13R-10-LT	Altar	Altar Naranja	Altar	No	no determinado	Cuerpo
CR31B-8-2	Altar	Altar Naranja	Altar	No	no determinado	Cuerpo

Tabla 9.53 Muestras del tipo Altar Naranja: Variedad Altar.



Figura 9.55 Muestras del tipo Altar Naranja: Variedad Altar (Dibujo y fotografía por C. Parris).

Trapiche Inciso: Variedad Trapiche (Figura 9.56).

Tiesto	Grupo	Tipo	Variedad	Dibujado?	Forma de la vasija	Parte de vasija
CR13R-10-LT	Altar	Trapiche Inciso	Trapiche	Sí	Cuenco	Borde
CR13R-10-LT	Altar	Trapiche Inciso	Trapiche	No	no determinado	Cuerpo

Tabla 9.54 Muestras del tipo Trapiche Inciso: Variedad Trapiche.

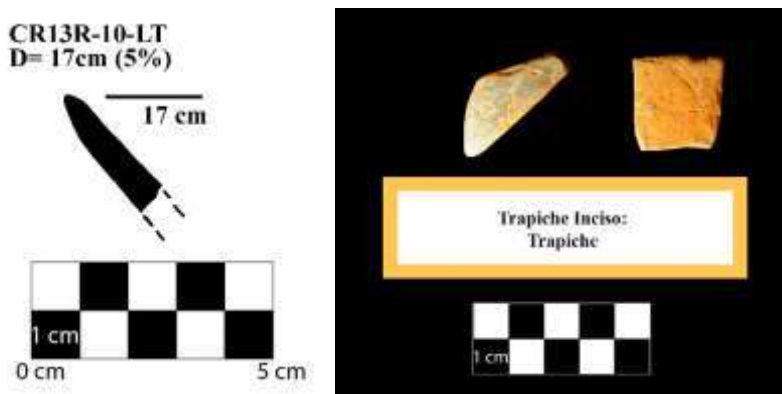


Figura 9.56 Muestras del tipo Trapiche Inciso: Variedad Trapiche (Dibujo y fotografía por C. Parris).

Grupo Balancán

Balancán Naranja: Variedad no especificada (Figura 9.57).

Tiesto	Grupo	Tipo	Variedad	Dibujado?	Forma de la vasija	Parte de vasija
CR13R-10-LT	Balancán	Balancán Naranja	no especificado	Sí	no determinado	Base
CR191-2	Balancán	Balancán Naranja	no especificado	No	no determinado	Cuerpo

Tabla 9.55 Muestras del tipo Balancán Naranja: Variedad no especificada.

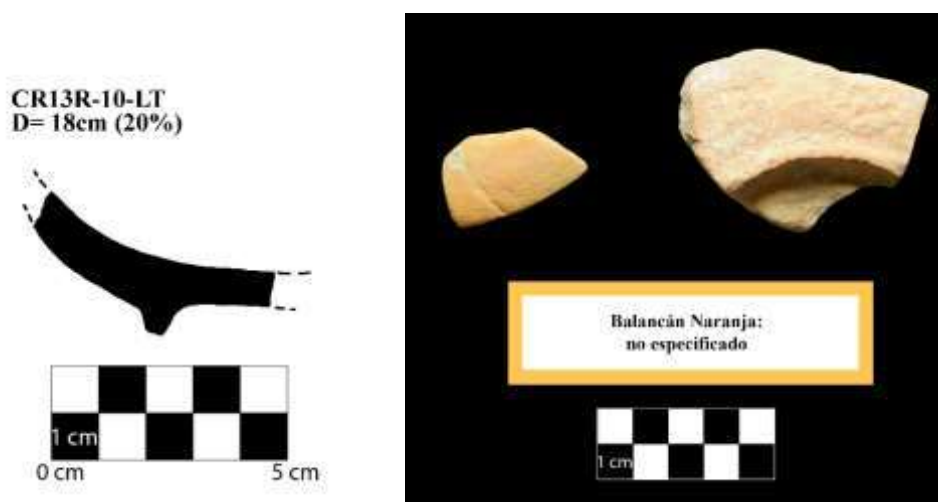


Figura 9.57 Muestras del tipo Balancán Naranja: Variedad no especificada (Dibujo y fotografía por C. Parris).

Conclusiones

La colección cerámica comparativa aquí descrita representa el conjunto cerámico de la Corona conocido hasta el momento. Futuros trabajos con el material cerámico de La Corona seguramente aumentarán y ampliarán el conocimiento actual de la tradición cerámica de este sitio. Esta colección de tipos debe de ser vista como una clasificación inicial, una muestra del conjunto cerámico de La Corona y como un trabajo en progreso. Con estudios y análisis futuros, se agregarán a esta colección comparativa muestras cerámicas adicionales de tipos y variedades. Sin embargo, se espera que este sumario y la colección sea usada y facilite el estudio comparativo de la cerámica del área Maya.

CAPÍTULO X

INVENTARIO DE ARTEFACTOS LÍTICOS DE LA CORONA, TEMPORADA 2015

Alejandra Roche

Introducción

Este inventario es el complemento del publicado en el informe anterior (Andrieu y Roche 2015); en esta ocasión se presenta incluyendo los artefactos encontrados en las excavaciones realizadas en la Temporada 2015, los cuales fueron analizados preliminarmente por Alejandra Roche. El análisis general todavía está en proceso, por lo que no se incluyen conclusiones todavía.

Metodología

El análisis se hizo según el método de tecnología lítica, cuyo principio reside en clasificar los artefactos en función de su posición en la cadena operativa (Leroi Gourhan, 1945), desde la preforma, el desecho, el uso, el rejuvenecimiento o re-uso. Para la obsidiana se utilizó la terminología empleada por Clark y Bryant (1997). Para el pedernal, se refirió a los análisis de Chauchat y Pelegrin (2004), así como a la terminología usada por la escuela de estudios tecnológicos de Prehistoria Francesa (Inizan et al. 1995). Se clasificaron los pedernales cruzando datos como la presencia de corteza, el espesor de la corteza, su regularidad, su aspecto, las inclusiones, los colores, la homogeneidad y la translucidez. La obsidiana ha sido clasificada visualmente, en función de su color y de su translucidez. El material analizado en la Temporada 2015 consta de 88 piezas de jade y 3 de pedernal.

Tabla 10.1 Inventario de artefactos de piedra verde provenientes de La Corona

Operación	Unidad	Entierro	Lote	Estructura	Material	Tipo	Color	Corteza	Vetas de albita (s/n)	Largo cm.	Ancho cm.	Espesor cm.	Agujero	Peso total en gms.
32	H19	18a	50	13Q-2	jade	cuenta	verde oscuro	no	no	0.99	1.3	0.5	0.47	5.3
32	H19	18a		13Q-2			verde oscuro	no	no	0.96	1.22	0.5	0.52	
32	H19	18a	43	13Q-2	jade	arete	verde claro	no	no	2.27	2.13	0.8	0.38	4.7
32	H19	18a	17	13Q-2	jade	arete	verde imperial	no	si	2.11	1.57	0.39	0.31	2.5
32	H19	18a	18	13Q-2	jade	arete	verde imperial	no	si	2.1	0.98	0.45	0.51	4.9
32	H19	18a	3	13Q-2	jade	cuenta	verde gris oscuro	no	no	0.49	0.99	0.44	0.36	0.8
32	H19	18a	46	13Q-2	jade	cuenta	verde gris oscuro	no	si	1.1	1.37	0.52	0.52	3.4
32	H19	18a	20	13Q-2	jade	arete	verde imperial	no	si	1.83	0.76	0.94	0.52	3.6
32	H19	18a	32	13Q-2	jade	orejera	verde claro	no	si	2.17	3.25/5.27	0.42	2.37	33.6
32	H19	18a		13Q-2	jade	mariposa	verde claro	no	si	0.35	2.61	1.2	0.28	
32	H19	18a	56	13Q-2	jade	arete	verde imperial	no	no	0.81	1.16/1.78	0.81	0.5	4.2
32	H19	18a	30	13Q-2	jade	cuenta	verde gris claro	no	si	0.66	0.87	0.37	0.3	7.8
32	H19	18a		13Q-2			verde oscuro	no	no	1.28	1.35	0.42	0.46	
32	H19	18a		13Q-2			verde oscuro	no	no	0.86	1.35	0.66	0.41	
32	H19	18a	45	13Q-2	jade	arete	verde imperial	no	si	0.7	2.1	0.97	0.5	3.5
32	H19	18a	19	13Q-2	jade	arete	verde imperial oscuro	no	no	0.74	1.61	0.73	0.35	2.3
32	H19	18a	37	13Q-2	jade	orejera	verde imperial	no	no	1	2.37	0.22	1.2	4.3
32	H19	18a		13Q-2		mariposa	verde imperial	no	si	0.27	1.27	0.61	0.2	
32	H19	18a	47	13Q-2	jade	arete	verde claro	no	no	0.91	1.4/1.97	0.5	0.42	4.2
32	H19	18a	55	13Q-2	jade	arete	verde imperial	no	no	0.49	1.57	0.7	0.32	2.5
32	H19	18a	1	13Q-2	jade	arete	verde claro	no	si	0.97	2.23	1.1	0.26	6.3
32	H19	18a	36	13Q-2	jade	cuenta	verde gris oscuro	no	si	6.53	1.16	0.25	0.55	18.3
32	H19	18a	42	13Q-2	jade	arete	verde imperial	no	no	0.68	2.07	0.93	0.39	4.2
32	H19	18a		13Q-2	jade	arete	verde imperial	no	no	0.57	1.82	0.83	0.19	2.3
32	H19	18a		13Q-2	perla	cuenta	blanco iridescente							0.5
32	H19	18a	15	13Q-2	jade	arete	verde claro	no	no	0.65	2.07	0.96	0.5	3.2

32	H19	18a	56	13Q-2	jade	arete	verde oscuro	no	no	0.82	2.19	1.02	0.39	4.5
32	H19	18a	44	13Q-2	jade	arete	verde claro	no	no	0.73	1.32/1.95	0.85	0.47	3
32	H19	18a	48	13Q-2	jade	arete	verde imperial	no	no	0.66	1.79	0.78	0.49	1.6
32	H19	18a	6	13Q-2	jade	cuenta	verde gris claro	no	no	1.77	1.93	0.66	1.11	11.2
32	H19	18a		13Q-2			verde gris claro	no	no	0.65	1.05	0.43	0.38	
32	H19	18a	39	13Q-2	jade	cuenta	verde oscuro	no	no	0.52	0.9	0.36	0.37	19.3
32	H19	18a		13Q-2			verde claro	no	no	0.75	1.53	0.65	0.43	
32	H19	18a		13Q-2			verde gris oscuro	no	no	1.31	0.9	0.28	0.3	
32	H19	18a		13Q-2			verde gris claro	no	no	0.61	0.96	0.48	0.46	
32	H19	18a		13Q-2			verde gris oscuro	no	no	0.6	1	0.33	0.39	
32	H19	18a		13Q-2			verde gris oscuro	no	si	0.66	1.03	0.3	0.37	
32	H19	18a		13Q-2			verde gris oscuro	no	no	1	0.8	0.29	0.37	
32	H19	18a		13Q-2			verde gris claro	no	no	1.4	0.63	0.22	0.22	
32	H19	18a		13Q-2			verde gris oscuro	no	no	0.68	0.79	0.32	0.38	
32	H19	18a		13Q-2			verde oscuro	no	no	0.46	0.88	0.34	0.4	
32	H19	18a		13Q-2			verde gris claro	no	no	0.58	0.87	0.35	0.43	
32	H19	18a		13Q-2			verde gris oscuro	no	no	0.54	0.98	0.34	0.4	
32	H19	18a		13Q-2			verde gris claro	no	no	0.5	0.86	0.3	0.35	
32	H19	18a		13Q-2			verde imperial	no	si	1.46	0.8	0.27	0.25	
32	H19	18a		13Q-2			verde gris oscuro	no	no	0.48	0.9	0.48	0.34	
32	H19	18a		13Q-2			verde gris claro	no	no	0.63	0.94	0.34	0.36	
32	H19	18a		13Q-2			verde gris oscuro	no	no	0.6	0.89	0.37	0.29	
32	H19	18a		13Q-2			verde gris	no	no	0.59	0.92	0.3	0.36	
32	H19	18a		13Q-2			verde gris	no	no	0.59	0.58	0.3	0.33	
32	H19	18a	27	13Q-2	jade	cuenta	verde gris oscuro	no	si	1.36	0.88	0.31	0.34	2.6
32	H19	18a		13Q-2			verde gris oscuro	no	no	0.61	0.84	0.36	0.37	
32	H19	18a		13Q-2			verde oscuro	no	no	0.66	0.8	0.34	0.3	
32	H19	18a	33	13Q-2	jade	cuenta	verde gris	no	no	1.39	0.94	0.35	0.4	3.6
32	H19	18a		13Q-2			verde oscuro	no	si	0.47	0.83	0.36	0.28	
32	H19	18a	5	13Q-2	jade	cuenta	verde oscuro	no	no	0.64	0.95	0.47	0.24	0.8
32	H19	18a	23	13Q-2	jade	cuenta	verde oscuro	no	no	1.8	0.62	0.24	0.19	1.3
32	H19	18a		13Q-2	perla	cuenta	blanco iridescente							0.3
32	H19	18a	35	13Q-2	jade	cuenta	verde oscuro	no	no	0.87	0.92	0.28	0.33	5.8
32	H19	18a		13Q-2			verde claro	si	no	0.75	1.11	0.45	0.43	
32	H19	18a		13Q-2			verde gris oscuro	no	no	0.8	1.11	0.4	0.44	

32	H19	18a		13Q-2			verde oscuro	si	no	0.73	0.83	0.34	0.35	1.8
32	H19	18a	24	13Q-2	jade	cuenta	verde oscuro	si	no	1.35	0.88	0.24	0.45	
32	H19	18a	22	13Q-2	jade	cuenta	verde gris claro	no	no	0.73	0.99	0.43	0.45	3.3
32	H19	18a		13Q-2			verde gris oscuro	no	no	0.83	1.18	0.33	0.42	
32	H19	18a	38	13Q-2	jade	cuenta	verde oscuro	no	no	1.7	0.66	0.16	0.19	1.3
32	H19	18a	10	13Q-2	jade	cuenta	verde gris claro	no	no	0.55	0.92	0.35	0.39	0.7
32	H19	18a	11	13Q-2	jade	cuenta	verde gris claro	si	no	0.66	0.39	0.42	0.34	0.9
32	H19	18a	2	13Q-2	jade	cuenta	verde claro	si	si	0.56	0.77	0.26	0.26	0.6
32	H19	18a	8	13Q-2	jade	cuenta	verde claro	si	si	1	0.68	0.21	0.24	0.8
32	H19	18a	16	13Q-2	jade	cuenta	verde oscuro	no	no	0.98	0.48	0.31	0.28	0.5
32	H19	18a	29	13Q-2	jade	cuenta	verde claro	no	no	0.54	0.9	0.34	0.31	4.7
32	H19	18a		13Q-2			verde claro	no	no	0.55	0.89	0.46	0.29	
32	H19	18a		13Q-2			verde gris claro	no	si	1.04	0.73	0.22	0.32	
32	H19	18a		13Q-2			verde gris oscuro	no	no	0.55	0.81	0.35	0.38	
32	H19	18a		13Q-2			verde claro	si	no	0.6	0.9	0.39	0.34	
32	H19	18a		13Q-2			verde gris oscuro	no	no	0.56	1.04	0.43	0.29	
32	H19	18a	49	13Q-2	jade	cuenta	verde gris claro	no	no	0.7	0.94	0.31	0.35	2.6
32	H19	18a		13Q-2			verde gris oscuro	no	no	0.62	0.78	0.32	0.34	
32	H19	18a		13Q-2			verde oscuro	no	no	0.6	0.72	0.26	0.3	
32	H19	18a		13Q-2			verde gris	no	no	0.66	0.8	0.25	0.26	
32	H19	18a	26	13Q-2	jade	cuenta	verde oscuro	si	si	1.16	0.65	0.24	0.36	2.1
32	H19	18a		13Q-2			verde gris oscuro	si	no	0.66	0.91	0.4	0.37	
32	H19	18a	4	13Q-2	jade	cuenta	verde claro	no	no	0.53	0.98	0.38	0.32	0.7
32	H19	18a	9	13Q-2	jade	cuenta	verde gris claro	no	no	0.72	0.92	0.36	0.39	0.8
32	H19	18a	14	13Q-2	jade	cuenta	verde gris oscuro	si	si	1.14	0.62	0.23	0.24	0.9
32	H19	18a	13	13Q-2	jade	cuenta	verde gris oscuro	no	no	0.84	0.86	0.25	0.32	1
32	H19	18a	31	13Q-2	jade	huun	verde claro	no	no	3.32	2.4	0.26	NA	8.2
32	H19	18a		13Q-2			verde claro	no	no	2.43	1.81	0.35	NA	

Tabla 10.2 Inventario de artefactos de lítica provenientes de El Achiotal

Sitio	Operación	Sub-operación	Unidad	Lote	Tipo	Largo	Ancho	Grosor	Técnica	Materia prima	Color	Fuente
ACH	3	Q	1	8	Bifaz / Excéntrico	18	6.33	2.5	Notch/pt/pd	Pedernal	Gris oscuro	Local
ACH	3	Q	1	2	Bifaz / Excéntrico	23	10.2	2.06	Notching/pt	Pedernal	Gris	Local
ACH	3	Q	1	8	Bifaz/ Excéntrico	20	8.88	2.55	Notching/pt	Pedernal	Gris	Local
ACH	3	Q	1	8	Bifaz/ Excéntrico	19	8.36	2.3	Notching/pt	Pedernal	Gris claro	Local

CAPÍTULO XI

ANÁLISIS DE ISÓTOPOS ESTABLES: LA DIETA DE GENTE DE LA CORONA MUESTRAS EXPORTADAS EN AGOSTO DE 2014

Erin Patterson

Introducción

Este informe presenta los resultados del análisis de isótopos estables de carbón y nitrógeno aplicados a muestras de huesos encontrados en el sitio La Corona. Las dos muestras fueron exportadas a los Estados Unidos en Agosto de 2014 por la Maestra Erin Patterson, arqueóloga de PRALC, con el permiso de la Dirección General de Patrimonio Cultural y Natural del Ministerio de Cultura y Deportes bajo la Resolución Administrativa D.A.J-216-2014 dada al Dr. Tomás Barrientos Q, codirector del PRALC. Los niveles de isótopos estables de carbón y nitrógeno fueron analizados con el objetivo de entender la dieta de las personas del sitio.

Las muestras provienen de los entierros 5 y 12. El Entierro 5 fue excavado por Erin Patterson en 2011 (Patterson et al. 2012). No hubo arquitectura u ofrendas asociadas con el entierro de este individuo adulto, quien fue localizado bajo el piso del patio posterior de la Estructura 13R-10. El Entierro 12, un individuo de élite, fue encontrado en una cista dentro de la Estructura 13R-10 por Jocelyne Ponce y fue excavado con la asistencia de Erin Patterson (Ponce 2015). El análisis osteológico reveló que el cuerpo se trataba de una mujer joven-adulta (Patterson y Kate 2015). Estos entierros fueron escogidos debido a que formaban parte de un contexto interesante y además representan individuos de distintos estatus sociales.

Análisis de isótopos estables de carbón y nitrógeno

Cada elemento en la tabla periódica se encuentra definido por un número de protones (partículas de carga positiva) en el núcleo. Los isótopos de un elemento tienen el mismo número de protones y electrónicas (partículas de carga negativa) pero tienen diferentes números de neutrones (partículas sin carga neta). Los isótopos estables no son radioactivos y no decaen por el tiempo. Hay cerca de treientos isótopos estables, pero solo algunos son usados en estudios ecológicos. Las firmas isotópicas de la dieta de un individuo son incorporadas y se reflejan en los tejidos, incluyendo los huesos (Vogel y van der Marwe 1977). Los estudios de isótopos en la dieta se han enfocado en dos elementos: carbón y nitrógeno.

Los isótopos estables de carbono son ^{12}C y ^{13}C . Los niveles se expresan como valores delta (δ) en partes por cien (‰) (Larsen 1997). Diferentes valores representan diferentes vías de fotosíntesis de las plantas (C_3 (Calvin-Benson), C_4 (Hatch-Slack), o CAM (por sus siglas en inglés, crasuláceas de metabolismo ácido)) (Norr 1984). Los valores promedios $\delta^{13}\text{C}$ para las plantas C_3 se encuentran en -27% , mientras que el promedio de los valores para las plantas C_4 se encuentran en -12.5% (Reed 1999). Las plantas CAM presentan valores que se traslapan con los de las plantas C_3 y C_4 puesto que estas emplean ambas vías, dependiendo en las condiciones ambientales (Larsen 1997). Con la excepción del maíz, el cual es una planta C_4 , la mayoría de las plantas consumidas por los mayas usan vías C_3 ; los valores promedios $\delta^{13}\text{C}$ del maíz son -11.6% (Reed 1999).

Los huesos tienen dos componentes principales: apatita (mineral) y colágeno (orgánico); ambos componentes pueden proveer importante información acerca de la dieta. El carbono de la proteína es preferencialmente enviado al colágeno (Reed 1999), lo cual significa que los valores $\delta^{13}\text{C}$ del colágeno ($\delta^{13}\text{CCO}$) pueden representar niveles de carbono de dietas con proteínas. Valores $\delta^{13}\text{C}$ de la apatita ($\delta^{13}\text{CCA}$) representan de mejor manera toda la dieta.

La fauna marina y las plantas C_4 presentan $\delta^{13}\text{C}$ valores similares (Norr 1984). Los isótopos de nitrógeno pueden ser analizados con el objetivo de discriminar entre estas dos fuentes de comida (Larsen 1997). El nitrógeno tiene dos isótopos estables, los valores ^{14}N y ^{15}N para animales marinos son generalmente mayores a 12% ; las plantas terrestres tienen $\delta^{15}\text{N}$ entre 0% y 10% (Reed 1999). Los valores $\delta^{15}\text{N}$ se encuentran influenciados por un gran número de factores incluyendo el clima, salinidad del suelo, y el enriquecimiento del suelo con material orgánico (e.g., guano) (Larsen 1997).

Métodos

Pequeñas muestras ($\sim 10\text{g}$) de hueso fueron exportadas y analizadas en la Universidad de Florida. Patterson trabajó bajo la supervisión del Dr. John Krigbaum, director del Laboratorio de Química de huesos, Departamento de Antropología, para completar la preparación inicial de las muestras. Primero se removieron impurezas, el exterior del hueso fue raspado utilizando un escalpelo. Luego cada muestra fue colocada en un *beaker* con agua destilada (dH_2O) y luego colocada en un sonicador por diez minutos. El agua sucia luego fue removida y reemplazada con dH_2O fresca, luego se puso en el sonicador por otros diez minutos. Este proceso fue repetido

hasta que el agua estuvo limpia. Luego las muestras fueron secadas por una noche. Al día siguiente los huesos fueron molidos gentilmente usando un mortero y un majadero y vertidas en un tamiz con rejillas de 0.5 mm y 0.25 mm (Figura 11.1). Las muestras de 0.25-0.5 mm son las fracciones de colágeno, y las muestras menores a 0.25 mm son las fracciones de apatita.



Figura 11.1. E. Patterson preparando las muestras en el Bone Chemistry Laboratory.

Cada fracción de colágeno fue colocada en un tubo de ensayo con 0.1 M HCl (ácido clorhídrico) para desmineralizar el hueso. Después de 12-24 horas, los tubos de ensayo fueron colocados en una centrifugadora por quince minutos. El HCl sucio fue reemplazado con ácido nuevo. Se repitió este proceso hasta que los fragmentos de colágeno fueran visibles en los tubos de ensayo. Se reemplazó el ácido con dH₂O y se pusieron las muestras nuevamente en la centrifugadora. Se repitió este proceso 3-4 veces, hasta que la solución fue neutralizada. Se agregó 0.0625 M NaOH (hidróxido de sodio) en los tubos de ensayo por 10-20 horas. Las muestras fueron enjuagadas hasta ser neutrales con dH₂O. Se agregó HCl a los tubos de ensayo, y las muestras fueron secadas en un horno hasta que el volumen de cada muestra fue ~2 ml.

Finalmente, las muestras fueron liofilizadas por aproximadamente 2 días cada fracción de apatita fue colocada en un tubo de ensayo con 50% de solución de NaOCl (hipoclorito de sodio) por 16-20 horas. Las muestras fueron enjuagadas con d H2O hasta hacerse neutras. Se agregó 0.2 M de C2H4O2 (ácido acético) a los tubos de ensayo por 16 horas, y las muestras fueron puestas en una centrifugadora y nuevamente enjuagadas hasta hacerlas neutrales. Luego las muestras fueron liofilizadas por dos días.

Las muestras preparadas fueron analizadas usando un espectrómetro de masa en el Light Stable Isotope Mass Spec Lab de la Universidad de Florida (Departamento de Ciencias Geológicas) por el Dr. Jason Curtis. La relación C:N fue medida en adición a los niveles de $\delta^{13}\text{C}$ y $\delta^{15}\text{N}$ para evaluar la integridad de las muestras. La relación C:N usualmente se encuentra entre los 3.0 y 3.5 (la relación encontrada en un hueso viviente) para dar resultados confiables (van Klinken 1990).

Resultados

Los análisis de ambas muestras de La Corona fueron exitosos. Los valores de los isótopos se encuentran en la Tabla 11.1 y Figuras 11.2 y 11.3. Un estudio, por Gerry y Kreuger (1997), reporta los siguientes valores promedios para la región de Petén (datos compuestos por muestras de Uaxactún, Holmul, Ceibal, y Altar de Sacrificios): $\delta^{13}\text{CCA}$: -5.4 ± 1.2 %, y $\delta^{15}\text{N}$: -9.3 ± 0.8 %. El valor de $\delta^{15}\text{N}$ para ambos entierros de La Corona es mayor a los reportados en el estudio, y los valores de $\delta^{13}\text{CCO}$ son aún más negativos. Los valores de $\delta^{13}\text{CCA}$ son aún más positivos que el rango encontrado por Gerry y Kreuger (1997). Aunque el tamaño de la muestra analizada en este estudio es muy pequeña para realizar cualquier conclusión significativa, una vez se analice un mayor número de muestras será posible interpretar completamente estos resultados iniciales.

Tabla 11.1 Valores de isótopos estables de carbón y nitrógeno.

<u>Muestra</u>	<u>Hueso</u>	<u>BCL Lab</u> <u>#</u>	<u>$\delta^{15}\text{N}$</u> <u>(‰)</u>	<u>$\delta^{13}\text{C}$</u> <u>(colágeno)</u> <u>(‰)</u>	<u>C:N</u>	<u>$\delta^{13}\text{C}$</u> <u>(apatita)</u> <u>(‰)</u>
Entierro 05	radio izquierdo	3085	11.2	-11.4	3.2	-5.3
Entierro 12	fémur	3086	10.9	-11.1	3.4	-4.1

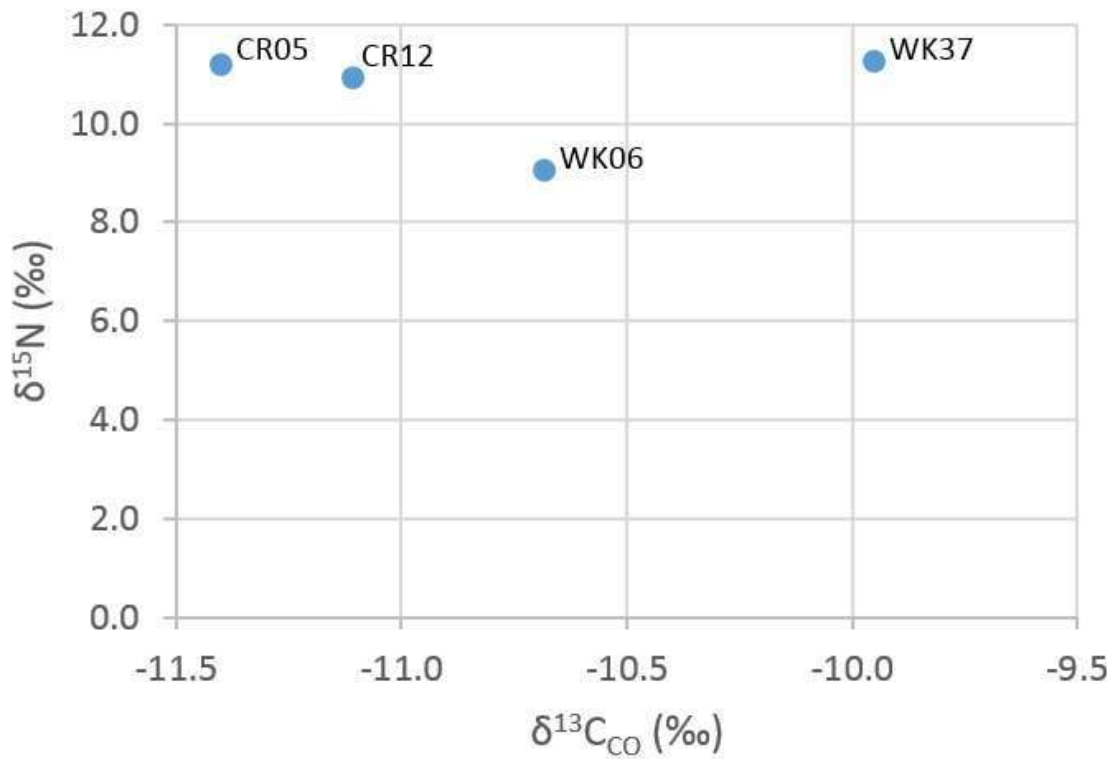


Figura 11.2. Valores de isótopos estables de carbono (colágeno) y nitrógeno (incluyendo datos de El Perú-Waka')

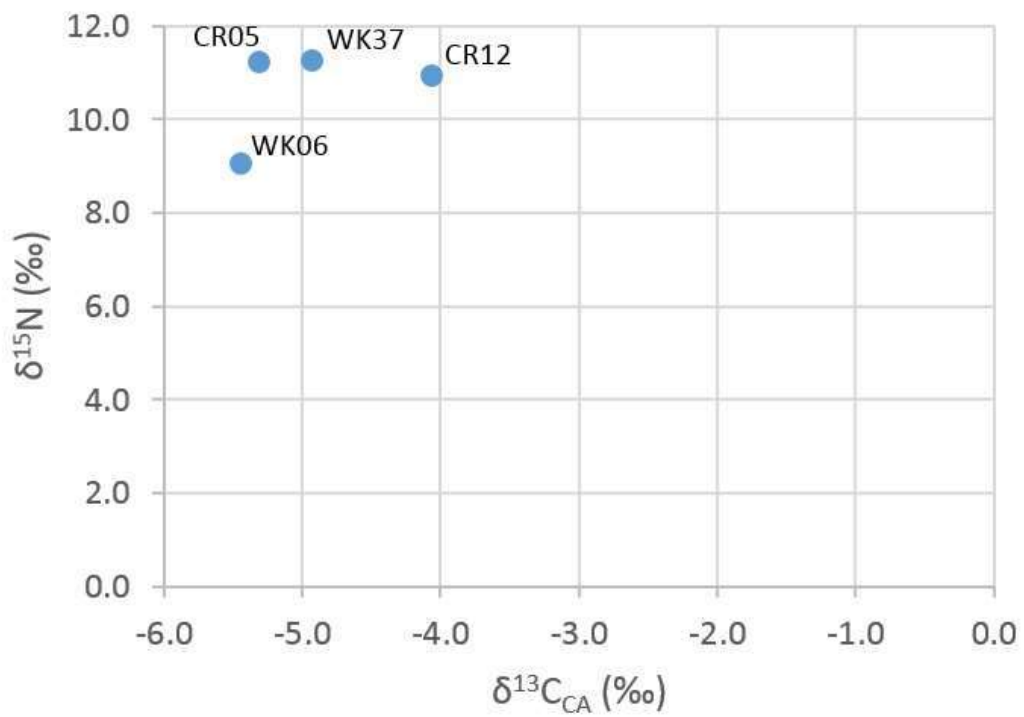


Figura 11.3. Valores de isótopos estables de carbono (apatita) y nitrógeno (incluyendo datos de El Perú-Waka')

Conclusiones

Mucho del conocimiento que tenemos acerca de los antiguos mayas proviene de la exploración de su cultura material, pero sus restos físicos son importantes también puesto que proveen evidencia directa de los estilos de vida del pasado. Estas dos muestras, junto con otras tres del sitio El Perú-Waka', fueron exportadas para un estudio piloto. Los resultados de este estudio fueron muy alentadores –el análisis fue exitoso para cuatro de las cinco muestras. En un futuro cercano se expandirá significativamente este estudio para incluir casi todos los individuos recuperados de los sitios El Perú-Waka' y La Corona, lo cual nos permitirá observar variaciones en los patrones de la dieta (en términos de sexo, edad, estatus social, etc.). Ésta información, combinada con los datos osteológicos (caries dentales, hipoplasia linear en el esmalte, etc.), nos permitirá tener una visión más completa de la salud y la dieta de las personas de estos sitios. Los resultados de este tipo de investigación pueden proveer una perspectiva de preguntas acerca de las prácticas de subsistencia, organización social, y sistemas económicos (Magennis 1999), y los resultados pueden ser comparados con los de estudios similares en otros sitios mayas con el objetivo de entender como el Perú-Waka' y La Corona formaban parte de un todo.

CAPÍTULO XII

ANÁLISIS QUÍMICOS DE MUESTRAS DE ESTUCO, PIEDRA CALIZA Y PIEDRA VERDE PROVENIENTES DE LA CORONA Y LA CARIBA

Andrea Sandoval

Introducción

Entre agosto y diciembre de 2015 se realizó un proyecto piloto para efectuar análisis por Difracción de Rayos X (XRD), Fluorescencia de Rayos X (XRF), Termo Gravimetría (TGA) y Espectrofotometría UV-VIS en muestras de estuco, piedra caliza y piedra verde proveniente de los sitios arqueológicos de La Corona y La Cariba.

Análisis composicional de muestras de estuco

El estuco es un revestimiento que era utilizado en las construcciones mesoamericanas precolombinas, en el caso de las Tierras Bajas, para dar los acabados de superficie de las estructuras, decorar los interiores e impermeabilizar los pisos y techos. Las transformaciones químicas de la piedra caliza, necesarias para la elaboración del estuco son: la descomposición de la roca caliza mediante un proceso de cocción para obtener óxido de calcio (cal viva). Luego se le hace reaccionar con agua para producir hidróxido de calcio (cal apagada), que es el material que se utiliza como elemento de construcción, mezclado con arena, y que recibe el nombre de estuco. Al quedar expuesto al ambiente, este material fragua al incorporar el dióxido de carbono atmosférico y vuelve a formar carbonato de calcio (Barba *et. al.* 1996, Barba, Luis y Córdova 1999). Barba y Córdova, en su estudio energético de la producción de cal, indican que la composición genérica de un aplanado (o piso hecho de estuco) es alrededor de un 80% de carbonato de calcio y un 20% de arena mezclada con hidróxido de calcio (Barba, Luis y Córdova, 1999).

Estudios realizados anteriormente, en el sitio arqueológico La Corona, hacen hincapié en la alta calidad de la piedra caliza (de apariencia amarillenta) que se utilizaba para elaborar el estuco, las estelas y los paneles que se han encontrado en el sitio. La alta calidad de los mismos se comprueba por los altos niveles de conservación de los materiales, lo cual hace, para el caso de las estelas, que éstas puedan leerse a la perfección en la actualidad; a diferencia de las que se han encontrado en otros sitios arqueológicos. Es por esto que investigar a cerca de la calidad de

los materiales elaborados a base de piedra caliza cobre gran interés para el Proyecto Regional Arqueológico La Corona.

El objetivo principal de los análisis químicos que se realizaron a las muestras de estuco, era hacer una prueba piloto para determinar si los equipos y la metodología desarrollada en la empresa privada Cementos Progreso S.A. es adecuada para realizar estudios posteriores sobre la calidad del estuco del sitio y por ende sobre la calidad y pureza de la materia prima (piedra caliza).

La Difracción de Rayos X es una técnica que se usa para determinar las fases minerales (estructuras cristalinas de la materia, como lo son la calcita (CaCO_3) y la dolomita ($\text{CaMg}(\text{CO}_3)_2$) a través de sus patrones característicos de difracción (difracto gramas). La Fluorescencia de Rayos X es una técnica que se basa en la fluorescencia de Rayos X secundarios emitidos por la materia al ser excitada previamente con Rayos X de alta energía; con el fin de obtener un análisis elemental de la materia. Por ejemplo, la determinación la composición de elementos a través de la cuantificación de los óxidos asociados a los mismos. Finalmente, el Análisis termo-gravimétrico (TGA) es una técnica que se basa en la medición de la diferencia de masa de la materia en función del incremento de la temperatura. En éste caso se utilizó para corroborar la cantidad de calcita y dolomita a través de la cuantificación de la diferencia de masa aducida a la pérdida de dióxido de carbono en la muestra (CO_2), proveniente del carbonato (CO_3)⁻².

Para llevar a cabo el análisis composicional de los estucos provenientes del sitio arqueológico La Corona y del sitio arqueológico La Cariba se utilizaron las técnicas XRD, XRF, TGA y FTIR (ver Tabla 12.1). Las muestras fueron analizadas en el Laboratorio de Investigación y Desarrollo de Cementos Progreso S.A. con los métodos desarrollados previamente por el laboratorio químico de la institución.

Tabla 12.1 Metodología utilizada para el análisis químico composicional de estuco y rocas de origen calcáreo.

Muestra	Origen	Técnica	Siglas	Equipo	Preparación de muestra	Metodología
Rocas de origen calcáreo y estuco	Sitios arqueológicos La Corona y La Cariba	Difracción de Rayos X/ X Ray Diffraction	DRX/XRD	Marca: PANalytical Modelo: EMPYREAN	Molienda: Molino de Discos.	Pastilla: prensada Método: "Materia prima 4 minutos".
		Fluorescencia de Rayos X/X Ray Fluorescence	FRX/XRF	Marca: Termo Electron Corporation Modelo: ARL OPTIM'X	Marca: Herzog Modelo: HSM 100P Pasa tamiz: de 0.0029 pulgadas.	Pastilla: fundida Método: "Óxidos generales."
		Análisis Termo-gravimétrico/Thermo Gravimetric Analysis	ATG/TGA	Marca: Mettler Toledo Modelo: TGA1 STAR ^e System		-

*Realizado por: Laboratorio de Análisis y Servicios, S.A.

Tabla 12.2 Muestras analizadas durante las pruebas.

Sitio Arqueológico	Material	Muestra	Sub muestra*
La Corona	estuco	CR-210-2	-
		CR-200-3	CR-200-3-(1) CR-200-3-(2)
		CR-31B-10-3-5	-
La Cariba	estuco	LC-2A-4-2	LC-2A-4-2-(1)
			LC-2A-4-2-(2)
			LC-2A-4-2-(3)
		LC-2A-2-5	LC-2A-2-5-(1)**
			LC-2A-2-5-(2)
			LC-2A-2-5-(3)
		LC-2A-2-2	-
LC-12B-1-2-3	-		
LC-12B-2-2-6	LC-12B-2-2-6-(1)		
	LC-12B-2-2-6-(2)		

*Clasificación hecha en base al tamaño de los fragmentos contenidos en la bolsa de la muestra, asignando (1) al fragmento más grande y (3) al de menor tamaño.

**En ésta muestra se hizo distinción entre la base y la superficie o acabado de la muestra.

En la Figura 12.1 y la Tabla 12.3 se observa que no existe diferencia significativa entre las submuestras, tanto en el difractograma (fases minerales) como en la composición química de las sub-muestras CR-200-3-(1) y CR-200-3-(2). Por lo tanto, para el resto de los análisis no se

hizo distinción entre las sub-muestras y se asumió que provenían de la misma muestra, por lo tanto tendrían la misma composición química y las mismas fases minerales.

En la Figura 12.2 y la Tabla 12.4 se observa que no existe diferencia significativa tanto en el difractograma (fases minerales) como en la composición química de la base y el acabado de la muestra LC-2A-2-5. Por lo que, ambas partes tienen la misma composición química y las mismas fases minerales. Por lo tanto, ambas están hechas de la misma materia prima y sufrieron el mismo procedimiento químico para su elaboración, la diferencia entre ambas reside en la forma en que se aplicó la mezcla original sobre la superficie, dándole un acabado más fino a la superficie que a la base.

Sitio Arqueológico de Procedencia	La Corona		
Material	estuco		
Muestra	CR-210-2	CR-200-3	CR-31B-10-3-5
			

Figura 12.1 Muestras analizadas provenientes del Sitio Arqueológico La Corona (Fotografías A. Sandoval).

Sitio Arqueológico de Procedencia	La Cariba				
Material	estuco				
Muestra	LC-2A-4-2	LC-2A-2-5	LC-2A-2-2	LC-12B-1-2-3	LC-12B-2-2-6
					

Figura 12.2 Muestras analizadas provenientes del Sitio Arqueológico La Cariba (Fotografías A. Sandoval).

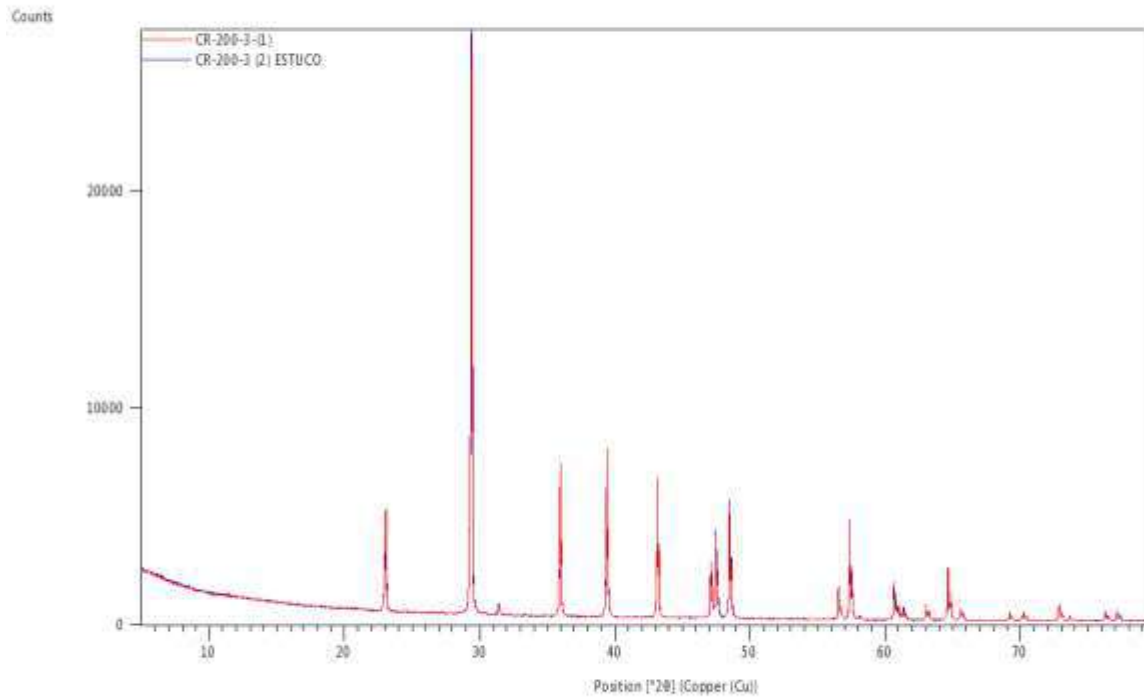


Figura 12.3 Comparación de los difractogramas obtenidos entre las sub-muestras CR-200-3-(1) y CR-200-3-(2) utilizando la técnica: Difracción de Rayos X.

Muestra	Sub muestra	MÉTODO: Óxidos Generales													
		[%] Al ₂ O ₃	[%] CaO	[%] Cr ₂ O ₃	[%] Fe ₂ O ₃	[%] K ₂ O	[%] MgO	[%] MnO	[%] Na ₂ O	[%] P ₂ O ₅	[%] SO ₃	[%] SiO ₂	[%] TiO ₂	% Pérdida al fuego (LOI)	% TOTAL
CR-200-3	CR-200-3-(1)	1.58	51.77	0.04	0.63	0.02	0.00	0.00	0.13	0.00	0.00	1.69	0.04	42.870	98.53
	CR-200-3-(2)	1.51	51.92	0.04	0.72	0.02	0.00	0.00	0.17	0.00	0.01	1.73	0.04	42.510	98.37

Tabla 12.3 Comparación de la composición elemental general obtenida entre las sub-muestras CR-200-3-(1) y CR-200-3-(2) utilizando la técnica de Fluorescencia de Rayos X.

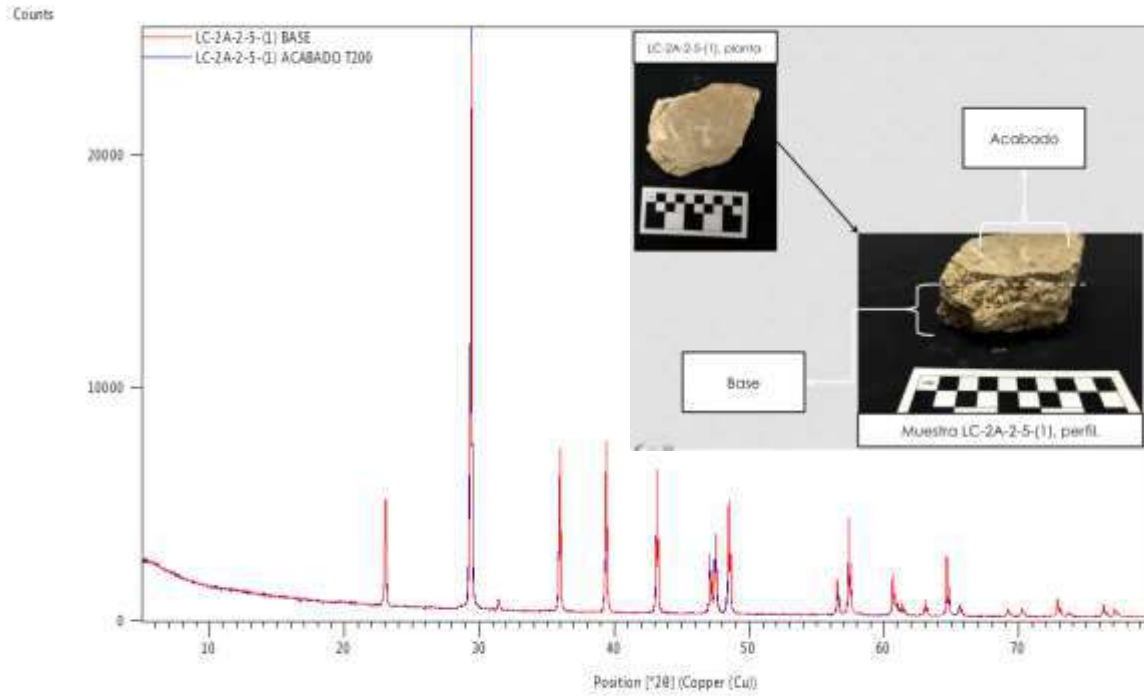


Figura 12.4 Comparación de los difractogramas (fases minerales) obtenidos entre la base y el acabado de la muestra LC-2A-2-5, utilizando la técnica: Difracción de Rayos X.

Muestra	Sub muestra específica	MÉTODO: Óxidos Generales													Pérdida al fuego (LOI)	% TOTAL
		[%] Al ₂ O ₃	[%] CaO	[%] Cr ₂ O ₃	[%] Fe ₂ O ₃	[%] K ₂ O	[%] MgO	[%] MnO	[%] Na ₂ O	[%] P ₂ O ₅	[%] SO ₃	[%] SiO ₂	[%] TiO ₂			
LC-2A-2-5	Base	1.71	50.93	0.04	0.93	0.04	0.00	0.00	0.08	0.00	0.00	2.74	0.04	42.14	98.47	
	Acabado	1.50	50.11	0.04	0.90	0.03	0.00	0.01	0.11	0.00	0.00	2.67	0.03	44.520	99.83	

Tabla 12.4 Comparación de la composición elemental general obtenida entre la base y el acabado de la muestra LC-2A-2-5, utilizando la técnica de Fluorescencia de Rayos X.

En la Figura 12.5 se observa que los patrones de difracción de las muestras de estuco son iguales, excepto el de la muestra CR-31B-10-3-5 (Figura 12.6). La fase mineral predominante en todas las muestras de estuco fue la Calcita (CaCO_3), con un 100%. En la muestra CR-31B-10-3-5, la fase mineral predominante es la Dolomita ($\text{MgCa}(\text{CO}_3)_2$) en un 97.1%, mientras que la Calcita está presente en un 2.9%. Es importante mencionar que la apariencia física de éste estuco a diferencia de la de los demás es diferente puesto que es blanco en su totalidad, mientras que los otros tienen una coloración amarilla.

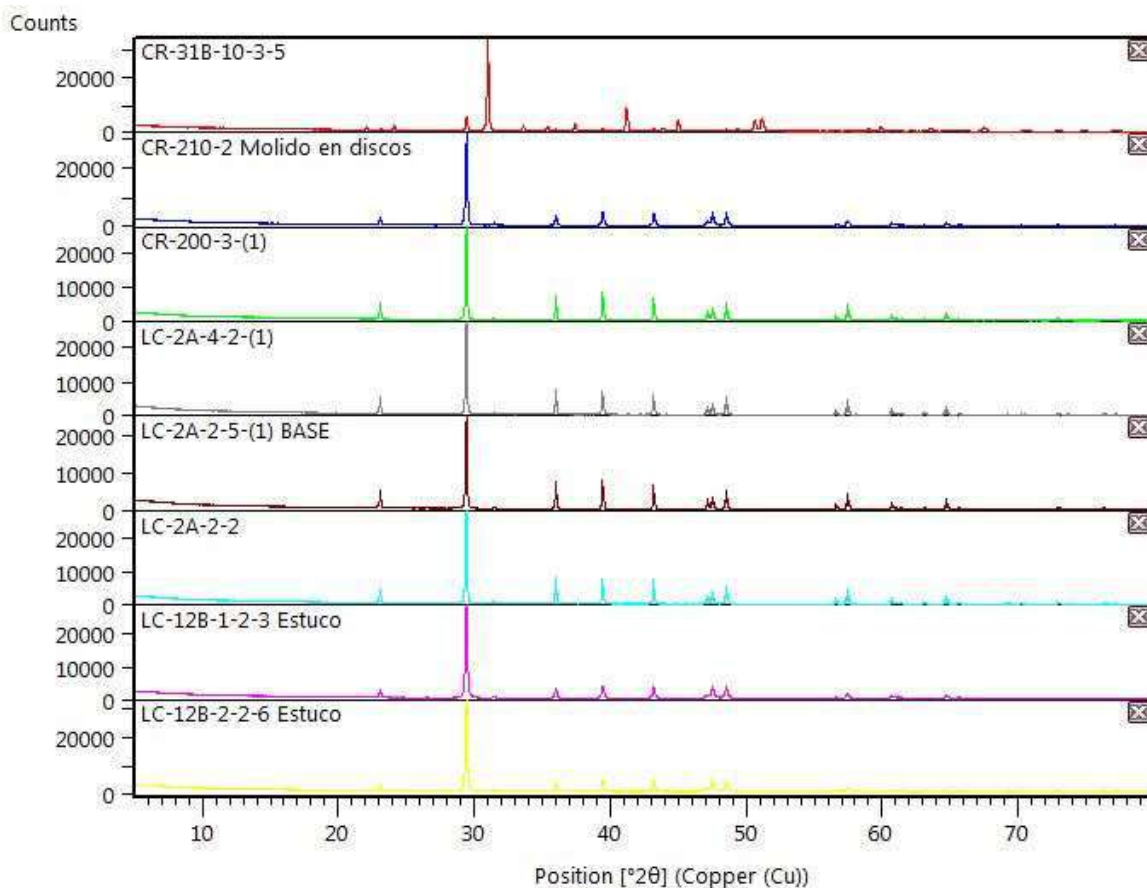


Figura 12.5 Difractogramas obtenidos en el análisis de las muestras de estuco, utilizando la técnica Difracción de Rayos X.



Figura 12.6 Muestra CR-31B-10-3-5 (Fotografía por A. Sandoval).

En la Tabla 12.5 se observa que la composición elemental representada por óxidos de aluminio (Al), cromo (Cr), hierro (Fe), potasio (K), manganeso (Mn), sodio (Na), fósforo (P), azufre (S) y titanio (Ti) de las muestras de estuco, no difiere significativamente. A excepción de la muestra CR-31B-10-3-5, la cual presenta diferencia en el nivel de Magnesio (Mg) debido a que su fase mineral predominante es la Dolomita. También se observa que los porcentajes de Silicio (Si) varían significativamente de una muestra a otra, por lo que la adición de la arena (dióxido de silicio) no era constante y podría decirse que no era parte de la receta del estuco.

Sitio Arqueológico de Procedencia	Material	Muestra	Método: Óxidos Generales													
			[%] Al ₂ O ₃	[%] CaO	[%] Cr ₂ O ₃	[%] Fe ₂ O ₃	[%] K ₂ O	[%] MgO	[%] MnO	[%] Na ₂ O	[%] P ₂ O ₅	[%] SO ₃	[%] SiO ₂	[%] TiO ₂	% Pérdida al fuego (LOI)	% TOTAL
La Corona	Estuco	CR-210-2	1.72	50.89	0.04	0.80	0.04	0.00	0.00	0.13	0.00	0.00	3.14	0.06	41.71	98.21
		CR-200-3	1.58	51.77	0.04	0.63	0.02	0.00	0.00	0.13	0.00	0.00	1.69	0.04	42.87	98.53
		CR-31B-10-3-5	1.23	31.51	0.03	0.04	0.06	18.63	0.00	0.23	0.00	0.05	0.43	0.00	46.65	98.74
La Cariba	Estuco	LC-2A-2-5	1.71	50.93	0.04	0.93	0.04	0.00	0.00	0.08	0.00	0.00	2.74	0.04	42.14	98.47
		LC-2A-2-2	1.59	51.38	0.04	0.72	0.03	0.00	0.00	0.15	0.00	0.00	2.89	0.04	41.97	98.61
		LC-12B-1-2-3	0.88	53.13	0.04	0.43	0.02	0.00	0.00	0.07	0.00	0.00	1.22	0.02	43.05	98.65
		LC-12B-2-2-6	1.45	51.12	0.04	0.83	0.05	0.04	0.01	0.00	0.00	0.03	2.39	0.04	42.63	98.56

Tabla 12.5 Cuantificación de los elementos (a través de la determinación de óxidos generales) en las muestras de estuco utilizando la técnica: Fluorescencia de Rayos X.

El análisis termo gravimétrico, representado en la Figura 12.7 indica que hubo dos pérdidas significativas de masa alrededor de los 750°C y 850°C, las cuales corresponden a la decarbonación (pérdida de CO₂) de la Dolomita y Calcita, las cuales son sus fases minerales. Siendo consistentes con las fases minerales y la composición química reportada por las técnicas XRD y XRF.

Evaluation:

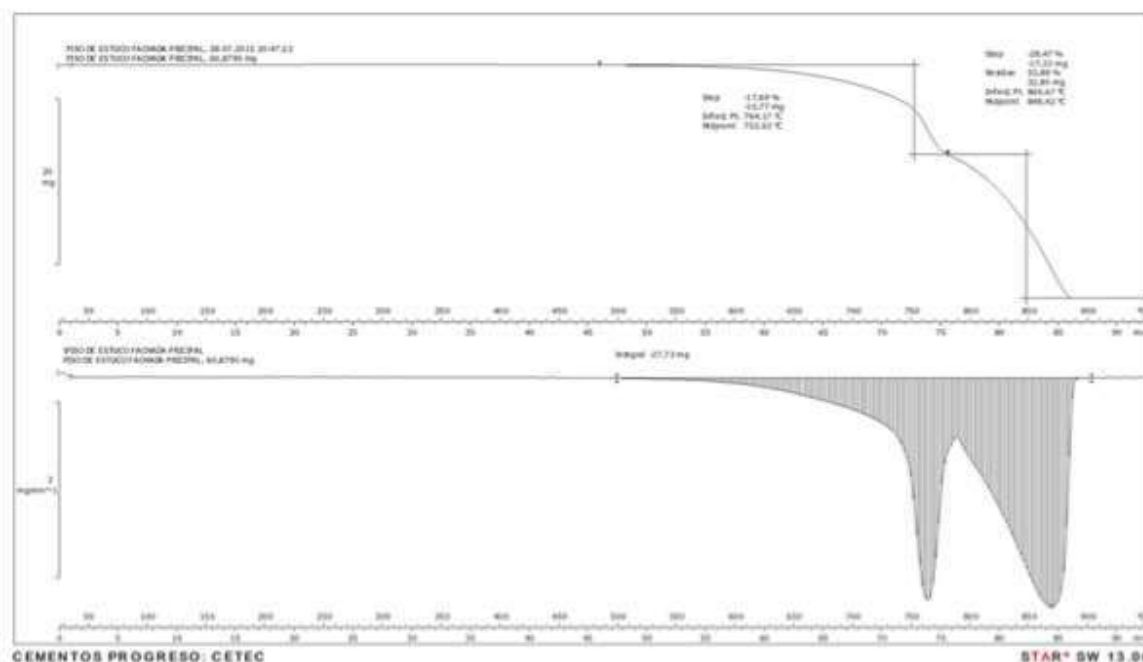


Figura 12.7 Análisis termogravimétrico (TGA) realizado a la muestra de estuco CR-31B-10-3-5.

Sitio Arqueológico de Procedencia	Material	Muestra	%CaCO ₃			% CaMg(CO ₃) ₂		
			XRD	<u>XRF</u>	TGA	XRD	<u>XRF</u>	TGA
La Corona	estuco	CR-210-2	100	90.83	NA	-	-	NA
		CR-200-3	100	92.40	NA	-	-	NA
		CR-31B-10-3-5	2.9	9.98	24.52	97.1	85.24	74.12
La Cariba	estuco	LC-2A-4-2	100	91.70	NA	-	-	NA
		LC-2A-2-5	100	90.90	NA	-	-	NA
		LC-2A-2-2	100	91.70	NA	-	-	NA
		LC-12B-1-2-3	100	94.83	NA	-	-	NA
		LC-12B-2-2-6	100	91.24	NA	-	-	NA

Tabla 12.6 “Cuantificación de las fases minerales: Calcita (CaCO₃) y Dolomita (CaMg(CO₃)₂) en las muestras de estuco, reportada por las técnicas: XRD, XRF y TGA en las muestras de estuco.”

Puesto que, las diferencias significativas entre una muestra de estuco y otra residen en la fase mineral más abundante (Calcita o Dolomita) se cuantificó la presencia de cada una de ellas. En la Tabla 12.6 se presenta la cuantificación reportada por cada técnica. Es importante mencionar que todas detectan la diferencia de la muestra CR-31B-10-3-5 con respecto a las demás, aunque los porcentajes reportados con coinciden entre sí. Esto se debe a que XRD sólo detecta las fases minerales y no así todos los demás compuestos no cristalinos (que XRF sí) y TGA no ofrece una cuantificación fina debido a las limitaciones del software de análisis. Por lo que la pureza del estuco, en cuanto a Dolomita y Calcita se refiere, está determinado por lo que indica la técnica XRF. Al observar las purezas reportadas por XRF se puede inferir que la piedra caliza con la que se elaboraron los estucos es de una alta pureza, la cual es de un 91.98% de carbonato de calcio (CaCO₃).

Determinación de fósforo (P) disponible en muestras de estuco Maya.

Los seres humanos, como producto de sus actividades, dejan muchos elementos en el suelo. En arqueología el estudio de los niveles de fósforo en un terreno que estuvo habitado es un indicador significativo de la mineralización del fósforo proveniente de materia orgánica. El fósforo aportado por estas actividades fácilmente establece enlaces con el hierro, aluminio y los iones de calcio y dependiendo de las condiciones del suelo (nivel de pH, actividad microbiana, etc.) forma un compuesto iónico relativamente estable a lo largo del tiempo. Es por ello que la deposición de fósforo en un terreno debido a prolongados estados de ocupación, incrementa el orden de magnitud de su concentración en dicho lugar (Holliday, 2007). Al cuantificar estas deposiciones en el suelo es posible inferir sobre el uso que se le daba al mismo. Las muestras analizadas fueron fragmentos planos hechos a base de estuco, provenientes del sitio arqueológico La Corona. El primer lote de muestras se extrajo en el 2014 (código de muestra de la A-EE) (Tabla 12.6) y el segundo en el 2015 (código de muestra 1-66) (Tabla 12.7). Para llevar a cabo la cuantificación de fósforo (P) disponible se utilizó el *Método del color amarillo del complejo vanado-molido-fosfórico en un sistema acidificado con ácido nítrico*. El equipo utilizado fue un Espectrofotómetro UV-VIS con arreglo de diodos, marca Agilent, modelo: 8453, con celdas de cuarzo. Las muestras fueron analizadas en el laboratorio del Instituto de Investigaciones de la Universidad Mariano Gálvez. La metodología fue montada y validada previamente por Andrea Sandoval (Sandoval 2014) y los resultados se muestran en las tablas 12.8 y 12.9.

Tabla 12.6 Muestras de estuco provenientes del Sitio Arqueológico La Corona, extraídas en el año 2014.

Sitio Arqueológico	Arqueólogo	Muestra	Código de muestra
La Corona	Jocelyne Ponce	CR16C-39-1-2	A
		CR16C-28-9-11	B
			C
			D
			E
		CR16C-33-9-11	F
			G
			H
			I
		CR16C-29-9-10	J
			K
			L
			M
		CR16C-38-9-11	N
	Ñ		
	Maxime Lamoureux St-Hilaire	CR16C-39-9-10	O
			P
			Q
			R
			S
			T
		CR20F-8-3-9	U (Nicho)
			V
			W
			X
			Y
CR20F-7-3-8		Z	
	AA		
	BB		
	CC		
	DD		
CR20F-7-3-9	EE		

Tabla 12.7 Muestras de estuco provenientes del Sitio Arqueológico La Corona, extraídas en el año 2015.

Sitio	Estructura	Área	Área Específica	Cantidad de Muestras	Código de muestra
La Corona	13Q-4G	Cuarto 1	Banca	5	1 - 5
			Piso	2	6 - 7
			Patio Plataforma Norte	5	8 - 12
		Cuarto 2	Nicho	2	13 - 14
			Piso	3	15 - 17
			Patio	2	18 - 19
		Cuarto 4	Banca	2	20 - 21
			Piso	3	22 - 24
			Piso Plataforma	3	25 - 27
		Cuarto Oeste	Banca	3	28 - 30
			Piso	7	31 - 37
			Patio	2	38 - 39
	Patio Noreste	Piso	-	5	40 - 44
		Banca	-	4	45 - 48
La Corona	13Q-40	Cuarto 1	Piso	1	49 - 49
		Cuarto 2	Piso	6	50 - 55
		Cuarto 3	Piso	4	56 - 59
			Piso Sub Coral	2	60 - 61
		Exterior	Piso	1	62 - 62
La Cariba	A-1	Piso Superestructura	-	4	63 - 66

Tabla 12.8 Concentración de fósforo (P) disponible en las muestras de estuco extraídas en el año 2014.

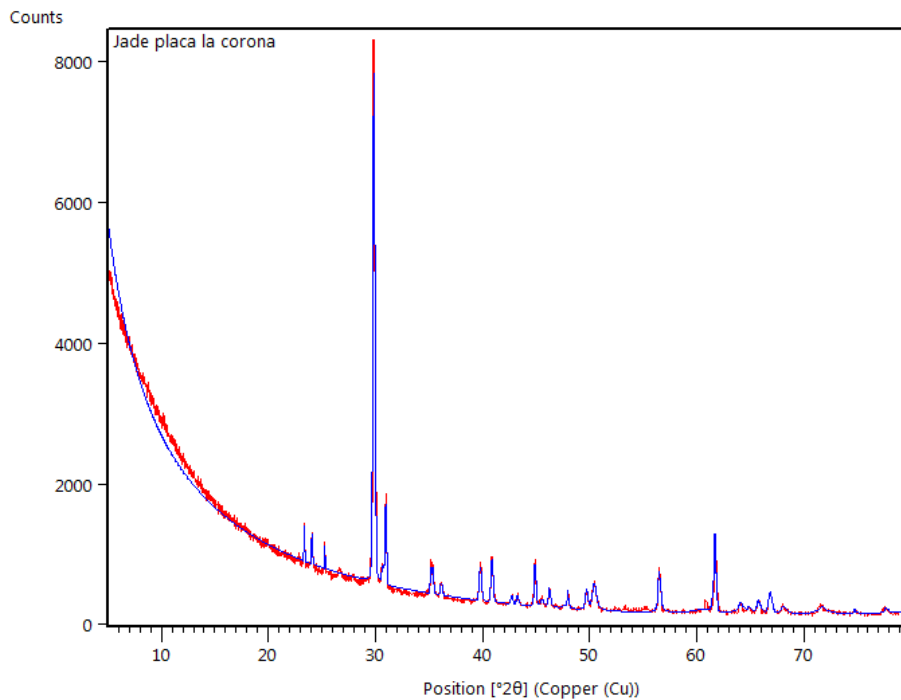
Muestra	Ensayo 1
	[P] ppm
A	95.9
B	132.3
C	172.9
D	147.4
E	160.0
F	127.8
G	166.6
H	153.1
I	130.7
J	164.8
K	130.0
L	146.9
M	146.0
N	133.1
Ñ	238.8
O	174.1
P	163.5
Q	207.2
R	174.9
S	171.6
T	61.20
U	70.25
V	205.3
W	227.6
X	226.3
Y	153.7
Z	166.7
AA	213.8
BB	943.8
CC	674.1
DD	130.8
EE	903.3

Tabla 12.9 Concentración de fósforo (P) disponible en las muestras de estuco extraídas en el año 2015.

Muestra	[P] mg/L muestra	Muestra	[P] mg/L muestra
1	94.12	34	506.82
2	113.75	35	346.02
3	124.07	36	475.78
4	153.03	37	412.67
5	104.90	38	314.17
6	120.71	39	229.87
7	437.12	40	320.60
8	86.82	41	372.80
9	145.66	42	369.00
10	123.22	43	307.58
11	147.59	44	365.02
12	203.50	45	72.79
13	111.41	46	60.24
14	97.82	47	85.72
15	132.17	48	87.43
16	120.39	49	127.27
17	143.81	50	90.63
18	99.70	51	107.27
19	102.32	52	119.13
20	90.45	53	104.33
21	87.45	54	80.86
22	158.61	55	104.80
23	834.73	56	62.87
24	159.23	57	106.43
25	140.88	58	113.28
26	126.44	59	117.24
27	207.02	60	174.36
28	73.12	61	216.18
29	63.08	62	135.15
30	57.16	63	145.10
31	218.36	64	143.61
32	101.08	65	103.35
33	362.29	66	116.08

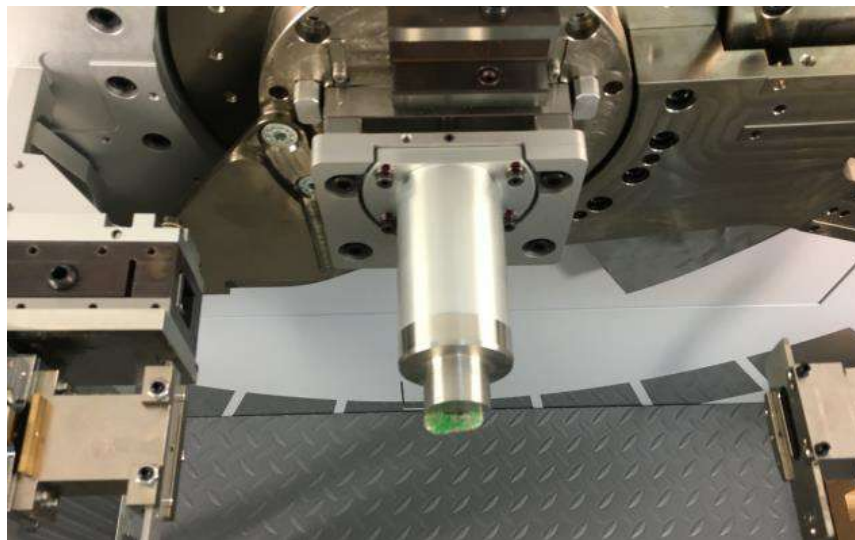
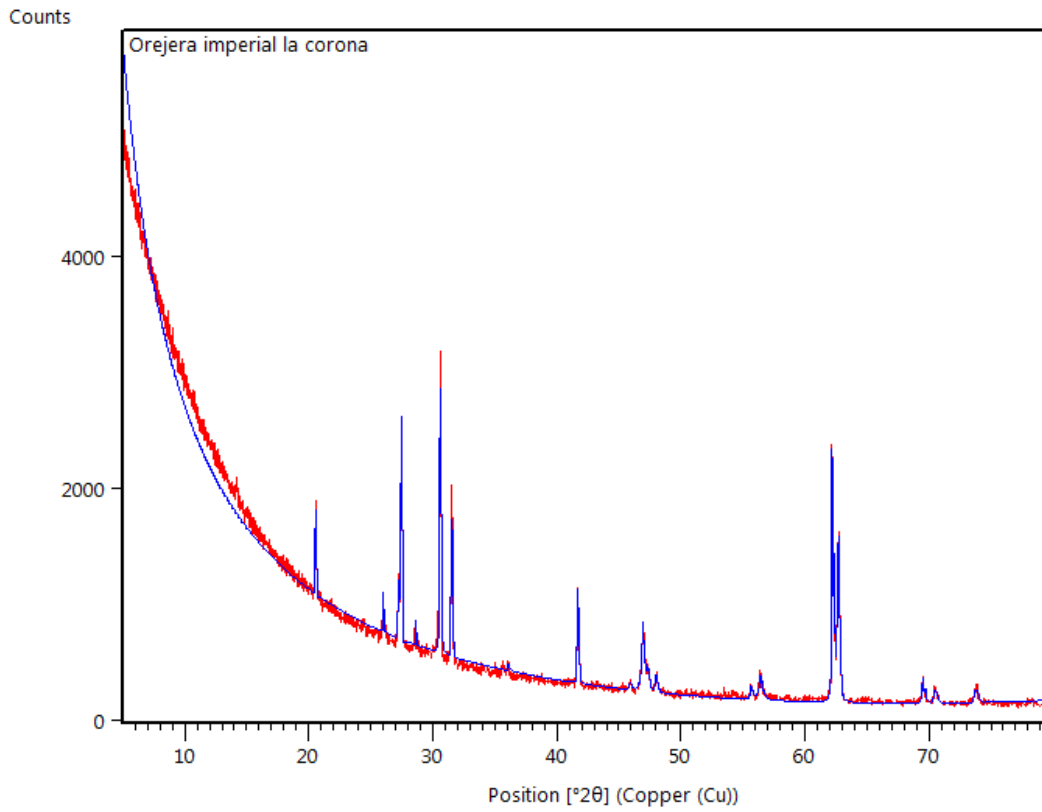
Caracterización mineralógica de piedra verde

Como parte del proyecto piloto, se analizaron tres muestras de piedra verde mediante la técnica analítica de difracción de rayos X. Los resultados fueron los siguientes.



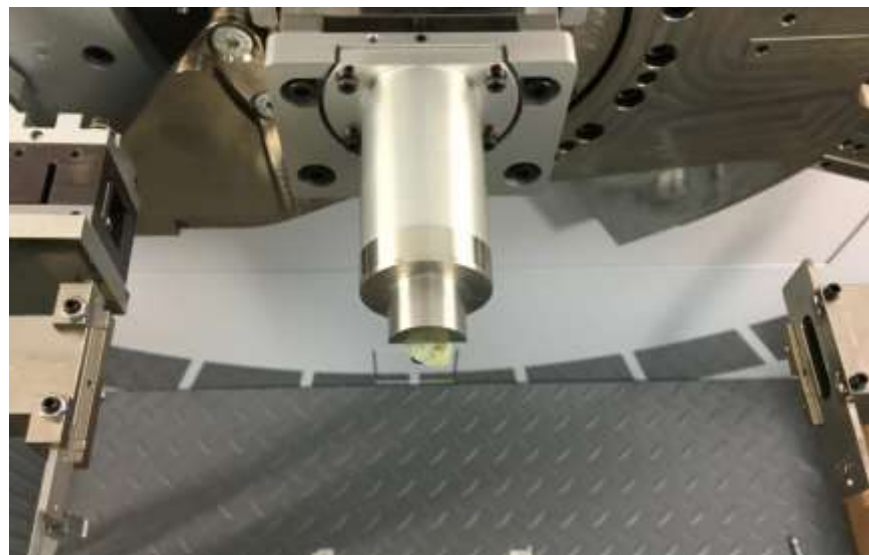
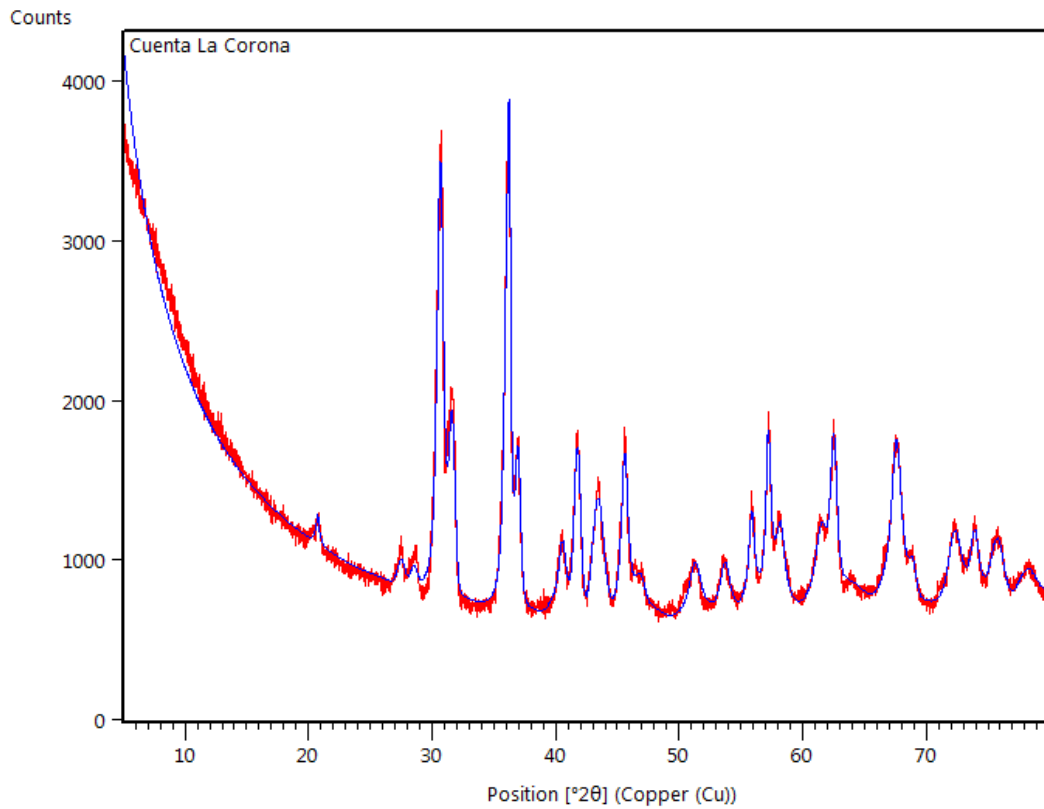
Codigo Referencia	Nombre del Compuesto	Semi Quant %
98-009-1744	Omfacita	85.00
98-001-0223	Diópsido	15.00

Figura 12.6 Difractograma obtenido en el análisis de una placa de piedra verde utilizando la técnica Difracción de Rayos X. Como se puede apreciar, el resultado composicional la identifica como Omfacita al 85% .



Codigo Referencia	Nombre del Compuesto	Semi Quant %
98-016-2540	Jadeita	81.00
98-010-0344	Cuarzo	19.00

Figura 12.7 Difractograma obtenido en el análisis de una orejera de piedra verde utilizando la técnica Difracción de Rayos X. Como se puede apreciar, el resultado composicional la identifica como Jadeita al 81%.



Codigo Referencia	Nombre del Compuesto	Semi Quant %
98-006-9708	Jadeita	100.00

Figura 12.8 Difractograma obtenido en el análisis de una cuenta de piedra verde utilizando la técnica Difracción de Rayos X. Como se puede apreciar, el resultado composicional la identifica como Jadeita al 100%.

CAPÍTULO XIII

SÍNTESIS, RESULTADOS GENERALES Y CONCLUSIONES DE LA TEMPORADA DE CAMPO 2015

Tomás Barrientos, Marcello Canuto y Eduardo Bustamante

Síntesis de la Temporada 2015

Trabajo de Campo

La temporada de excavaciones fue desarrollada entre los meses de abril y mayo de 2015, mientras que los trabajos de laboratorio se efectuaron a lo largo de todo el año. Durante la temporada de campo, el Proyecto PRALC realizó excavaciones en tres sitios localizados dentro del área de trabajo del proyecto. Dos de ellos, La Corona y La Cariba, compartieron campamento y fechas de trabajo. En total se pudieron concretar 44 días de trabajo, o dos planes de trabajo de 22 días cada uno, dedicados expresamente a la investigación arqueológica y 15 días extras de trabajo correspondientes al mantenimiento de caminos al sitio, preparación y embalaje del equipo de campamento, acumulando un total de 60 días trabajados durante la temporada. En cuanto al sitio El Achiotal, su ubicación a 55 km del campamento de La Corona hizo necesario montar un segundo campamento, aprovechando las instalaciones que el CONAP tiene cerca de dicho sitio. Este campamento estuvo en funcionamiento durante 22 días, o un plan, durante el mes de mayo. Debido al descubrimiento de la Estela 1, se regresó a trabajar 10 días extras durante el mes de julio.

Los trabajos realizados en La Corona se enfocaron en tres áreas de trabajo: Estructura 13Q-1 (ver Capítulo 5, este informe), Estructura 13Q-2 (ver Capítulo 6, este informe) y Estructura 13Q-4 o Palacio (ver capítulos 2, 3 y 4, este informe). En el sitio de La Cariba las excavaciones se centraron en las estructuras A-1 y C-1, las cuales son las más grandes del sitio (ver capítulo 7 de este informe). Los trabajos arqueológicos en El Achiotal se centraron en la limpieza de trincheras de saqueo y la excavación del edificio 5C-08 (ver capítulo 8 de este informe)

Trabajo de Laboratorio

Durante los meses de febrero a mayo de 2015 se contó con el trabajo de Lilian Vega de Zea para la restauración de vasijas excavadas entre 2010 y 2013. Estos trabajos de restauración

incluyeron la consolidación, limpieza y pegado de fragmentos. Para este proceso se contó con material aprobado por el IDAEH para la restauración de piezas cerámicas e inclusive se importó pegamento especial (mowital) desde México.

Durante los meses de abril a julio se trabajó en el análisis lítico y osteológico encontrado durante la temporada de campo, por parte de Alejandra Roche y Erin Patterson, respectivamente. La ceramista del proyecto, Caroline Parris, realizó dos muestras cerámicas con el material previamente analizado en el proyecto. Una de las muestras fue entregada a la Ceramoteca del IDAEH como una colección de referencia de los tipos cerámicos presentes en La Corona, dicha colección se encuentra dividida en complejos cerámicos dependiendo de la temporalidad. Además se realizaron análisis químicos de muestras de pisos de estuco y piedra caliza, como parte de un proyecto piloto en colaboración con Cementos Progreso, que está definiendo metodologías de análisis composicional y de huellas de fosfato.

Nuevos datos sobre La Corona y su relación con la Dinastía *Kaan*

En las inscripciones de La Corona cabe destacar la presencia de personajes asociados al glifo emblema con cabeza de serpiente, el cual se ha identificado como *Kan*, *Kaanal* o *Kaanul*. Por lo tanto, se ha determinado que los dirigentes de La Corona tuvieron nexos familiares y políticos muy cercanos a la corte real de dicha entidad política. Ahora bien, el glifo emblema de serpiente se ha asociado tradicionalmente con la ciudad de Calakmul, pero recientes investigaciones arqueológicas (Esparza y Pérez 2009; Grube 2004; Martin 2004; Nalda 2000, 2004; Velásquez 2004, 2005, 2008), apuntan a que Calakmul no fue la única capital de la dinastía *Kaan*, sino que el sitio de Dzibanche fue su capital durante el Clásico Temprano, en los siglos V y VI d.C. Esto lo apoya el uso del glifo *Kaanal*, así como los nominales de varios gobernantes como *Yuknoom Ch'een* I y “Testigo de Cielo” en varios sitios de Quintana Roo como El Resbalón, Pol Box y Yo'okop.

A finales del siglo VI d.C. el asiento de poder de la dinastía *Kaan* se trasladó de Dzibanche a Calakmul, como resultado de estrategias políticas dirigidas a la región central de Petén. En este momento, el rol político de La Corona tuvo mayor importancia en su llamada “Era Dorada”, definida por el reinado de seis gobernantes entre 625 y 745 d.C. (Canuto et al. 2015, Stuart et al. 2014, Canuto y Barrientos 2011, Canuto et al. 2011). Este periodo es mayormente definido y caracterizado la presencia de una gran cantidad de esculturas con inscripciones de

carácter histórico, pero también ha sido posible observar cambios importantes en la cultura material de La Corona, especialmente en su arquitectura y la presencia de bienes exóticos que formaron parte de ofrendas funerarias y dedicatorias.

Estas líneas de evidencia han permitido identificar cambios importantes dentro de la ideología de poder, como es el caso de los templos del Grupo Coronitas, que fueron modificados por el gobernante *Chakaw Nahb Chan* en 658 d.C. Con este acto, se canceló su función funeraria para convertirse en los santuarios de los tres nuevos dioses patronos del sitio (Baron 2012, 2013). Se puede inferir entonces que a principios del siglo VII d.C. se inauguró un nuevo sistema de gobernación que resultó en una relación larga y estable con la dinastía *Kaan*. Este proceso no fue restringido a La Corona, ya que sitios como Uxul evidencian cambios radicales durante el mismo periodo; en este caso, hasta los espacios arquitectónicos del sitio fueron modificados para que el sitio apareciera como una copia en escala menor de Calakmul (Grube et al. 2012).

A continuación se presenta una descripción detallada de los datos epigráficos que han documentado la estrecha relación entre Sak Nikte' y la dinastía *Kaan*, durante la llamada "Era Dorada".

Matrimonios de princesas Kaan con gobernantes de Sak Nikte'

En el inicio del siglo VI d.C. el destino de La Corona cambió notoriamente por la llegada de una princesa de la dinastía *Kaan*, cuya capital en ese momento era Dzibanche (Martin 2008). La lectura del Panel 6 por David Stuart indica que en la fecha 9.4.5.6.16 12 Cib 9 Pax (3 de Febrero, 520 d.C.), una mujer denominada “primera mujer noble de *Kaanaal*” llegó a *Sak Nikte'*, seguramente para desposar al gobernante llamado "Buitre *Winik*", el más antiguo conocido en la dinastía de La Corona. El nombre de la mujer está parcialmente erosionado y solamente se ha conservado el fragmento de *Naah-Ek'*; sin embargo la inscripción indica que fue la hija del gobernante *Tuun K'ab Hix*, que aparece en inscripciones de Yaxchilan y Naranjo, con fechas de los años 537 y 546 d.C. Además, esta mujer se identifica como hija de la señora *Ix Bakab*, esposa del gobernante ya mencionado (Stuart et al. 2014). Este hecho histórico representa el primer capítulo en la larga historia entre la dinastía *Kaan* y La Corona, e indica que La Corona fue de alguna manera importante para establecer lazos familiares a una distancia considerablemente grande.

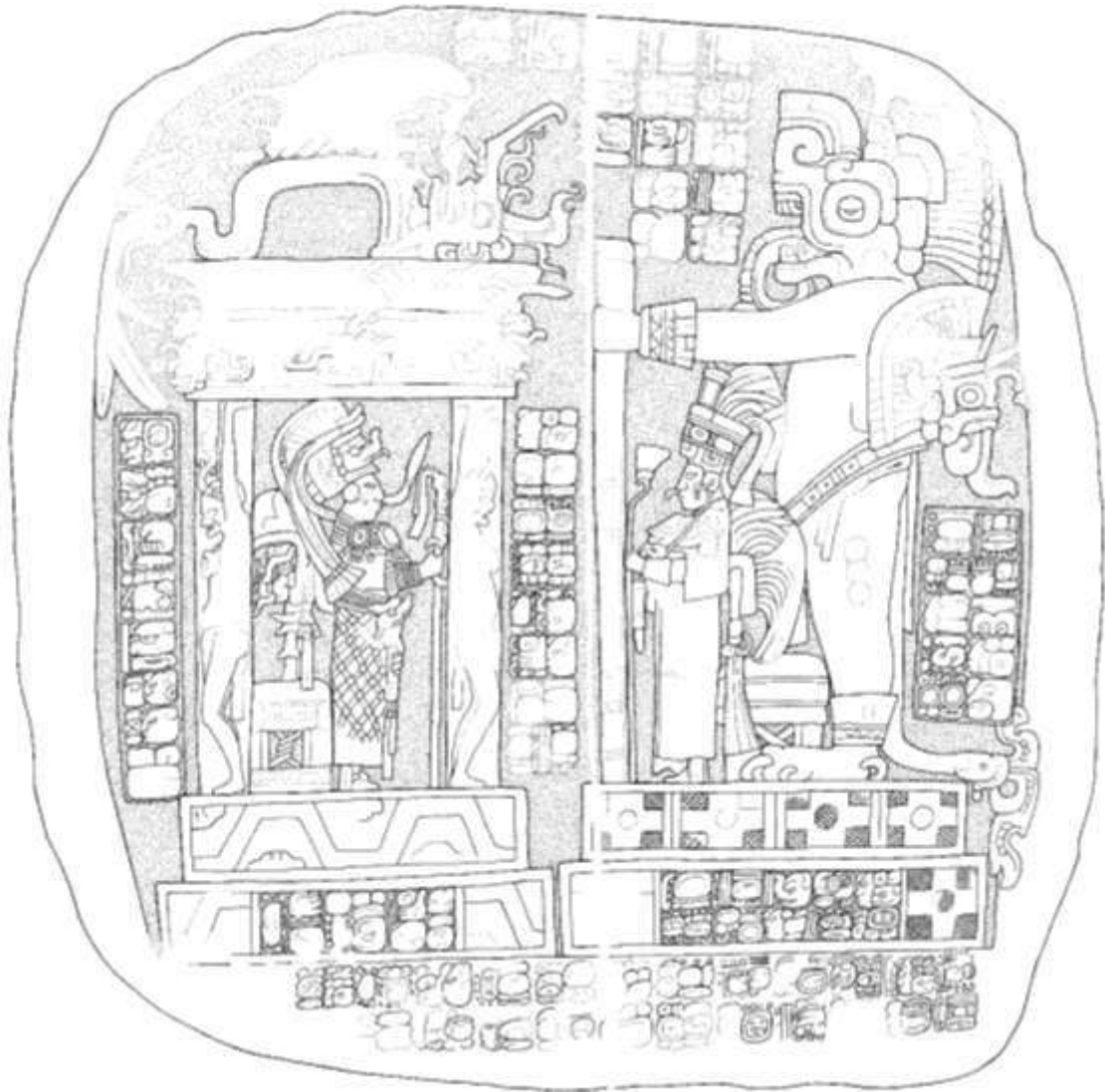


Figura 13.1 Panel 6 de La Corona (Dibujo por David Stuart).

El segundo episodio matrimonial entre *Kaan* y *Sak Nikte'* sucedió en 9.12.6.16.17 11 Caban 10 Zotz (1 de Mayo, 679 d.C.), tal como se registró en el Panel 6 y en el Elemento 37 (Stuart et al. 2014, 2015). En esta ocasión, el gobernante *K'inich ? Yook* se casó con la hija del gran rey de *Kaan*, *Yuknoom Ch'een II*, cuyo nombre todavía no se conoce. Es interesante que la llegada de esta princesa a La Corona sucedió el mismo día en que el rey de Tikal *Nuun(?) Ujol Chahk* fue derrotado por el rey de Dos Pilas *Bahlaj Chan K'awiil* (Houston et al. 1991; Houston 1993:108). Como Dos Pilas era un reino vasallo de Calakmul, parece que ambos eventos formaron parte de estrategias políticas simultáneas, una involucrando guerra y otra en forma de alianza matrimonial.

La tercera mujer *Kaan* llegó a *Sak Nikte'* en 9.14.9.9.14 8 Ix 17 Zotz (27 de Abril, 721 d.C.), durante el reinado del gobernante *Yajawte' K'inich*. En el Elemento 22 se indica claramente que este gobernante era nieto de *Yuknoom Ch'een II* e hijo de *K'inich ? Yook* y la segunda mujer *Kaan*. Además, el Panel 6 indica que esta princesa fue la hija de un gobernante de Calakmul conocido como *Ti' K'awiil* (un término de referencia, y no la verdadera lectura de su nombre dinástico) (Stuart et al. 2014). Este pasaje histórico es bastante significativo, porque indica que a pesar de la derrota que sufrió *Yuknoom Yich'aak K'ahk* en 695 d.C., la dinastía *Kaan* mantuvo su presencia en la región de Petén y continuó sus lazos de parentesco con los gobernantes de La Corona por varias décadas después.

Estas bodas entre la realeza de *Sak Nikte'* y *Kaan* funcionaron como una fuente de poder político y como eventos claves en su historia. Sin embargo, la distinta naturaleza de ambas entidades políticas hace que estas alianzas se interpreten como ejemplos de hipogamia —un sistema donde la mujer se “casa hacia abajo”. En las sociedades predominantemente patrilineales, como fue el caso de los mayas clásicos (Sharer 1993), el sistema hipógamo provee oportunidades para el avance político y la promoción social por medio de sus parientes políticos (agnados) y no por sus parientes locales (afines). Por lo tanto, las mujeres de *Kaan* actuaron como conductos para el mejoramiento político de sus esposos, lo que las hizo muy importantes y seguramente les aseguró una atención especial en el registro oficial de la historia de La Corona. Además, la práctica consistente de las alianzas matrimoniales hipógamas durante la “Era Dorada” también puede explicar la alta cantidad de inscripciones en La Corona, ya que las mujeres de *Kaan* pudieron haber contado con un acceso privilegiado a escribas y artesanos como parte de su "dote". Además, hay evidencia que estos eventos maritales pudieran ser acompañados de fiestas y dedicaciones de nuevos edificios (Stuart et al. 2008) en La Corona.

Viajes de la nobleza de Sak Nikte' a la corte de Kaan

Una de las particularidades de las inscripciones de La Corona es la cantidad de detalles históricos de los gobernantes locales y de la dinastía *Kaan*. Este patrón inusual ha permitido conocer muchos pormenores de la vida de estos personajes, lo que incluye ciertas actividades de tipo diplomático. Uno de los episodios más interesantes se encuentra en el Panel 2, e involucra al gobernante *K'inich ? Yook*. En el año de 664 d.C. contaba con 18 años y todavía gobernaban sus padres *Chakaw Nahb Chan* e *Ix Chak Tok Chahk*, por lo que fue enviado a la corte de la dinastía

Kaan, establecida en la ciudad de Calakmul (*Chihknahb*) (Stuart et al. 2014). El joven príncipe residió allí por tres años, posiblemente cultivando relaciones familiares con sus parientes de la gran ciudad (Houston y Stuart 2001:67; Martin 2001:183). *K'inich ? Yook* regresó a La Corona por la muerte de sus padres en los meses de enero y julio de 667 d.C. El texto del Panel 1 (Figura 13.2) nos dice que *K'inich ? Yook* regresó a Calakmul en 673 d.C., cuando fue recibido por *Yuknoom Ch'een* (su futuro suegro). Allí participó en rituales importantes que pudieron involucrar investiduras ceremoniales, una de las cuales fue llevada a cabo “por las manos de los siete hijos del Señor de *Kaan*” (Stuart et al. 2014). El Panel 1 menciona que dos años después, *K'inich ? Yook* tomó posesión oficialmente como gobernante de La Corona en 9.12.3.5.0 7 Ahau 13 Zac (22 de Septiembre, 675 d.C.). De manera contradictoria, el Panel 2 indica que *K'inich ? Yook* asumió siete años antes, en 9.11.15.2.16 8 Cib 9 Zac (20 de Septiembre, 667 d.C.) (Stuart et al. 2014). Aunque la relación de estos dos eventos es confusa, parece que el primero se refiere a la entronización a nivel local, en *Sak Nikte'*, después de la muerte de su padre, mientras que el evento posterior (*joyaj ti ajawil*) es un evento que se relaciona directamente con la validación de su cargo por la corte de *Kaan*.

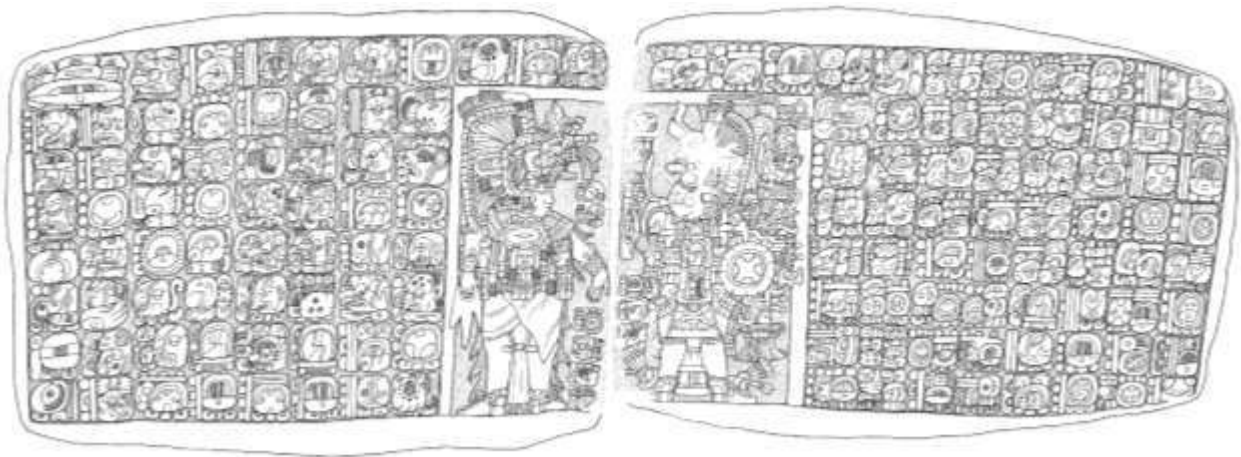


Figura 13.2 Panel 1 de La Corona (Dibujo por David Stuart).

El hermano menor de *K'inich ? Yook*, llamado *Chak Ak' Paat Kuy*, fue su sucesor en el gobierno de La Corona. Al igual que su hermano mayor, el también realizó un viaje a Calakmul antes de asumir el trono, tal como se ha registrado en el recién descubierto Elemento 56 de La Corona (ver Capítulo 4 en este informe) (Figura 13.3). La inscripción de este panel indica que

Chak Ak' Paat Kuy llegó a la capital de *Kaan* en 9.12.16.12.5 9 Chicchan 13 Muan (7 de diciembre, 688 d.C.). El mismo texto indica que cuatro días después se encontró con el gobernante *Yuknoom Yich'aak K'ahk'*. Eventos posteriores demuestran que *Chak Ak' Paat Kuy* se quedó en Calakmul por varios meses, hasta regresar a *Sak Nikte'* en 9.12.17.8.18 3 Etz'nab 1 Ceh (26 de septiembre, 689 d.C.). Durante su estadía, *Chak Ak' Paat Kuy* participó en varias ceremonias de investidura, una de las cuales involucra algún tipo de ornamento en la espalda, mientras que la otra se relaciona a una diadema o pulsera de papel (sa-HUUN).



Figura 13.3 Elemento 56 de La Corona (Foto por Marianne Hernández).

Estos dos eventos que han sido descritos a gran detalle en las inscripciones de La Corona son una evidencia directa de las relaciones de parentesco entre las cortes reales de *Sak Nikte'* y *Kaan*. Estas visitas de los príncipes de *Sak Nikte'* pudieron involucrar algún tipo de educación o "etiqueta" propio de la nobleza, así como la presentación de los futuros cónyuges. Por otro lado, la cercanía de parentesco entre ambas familias hace pensar también que los príncipes de La Corona interactuaron con sus primos, tíos y otros parientes políticos de *Kaan* que residían en Calakmul, fortaleciendo así la alianza política de las dos ciudades.

Visitas de los gobernantes Kaan a Sak Nikte'

Los textos jeroglíficos de La Corona también documentaron la visita de tres gobernantes de Calakmul, lo que seguramente fue algo importante en sus aspiraciones expansionistas por controlar las Tierras Bajas y sus rutas comerciales, en especial la que unía con las Tierras Altas. Desde un punto de vista económico, La Corona pudo ser altamente estratégico como centro de importación y exportación de productos y mercancías, parecido a El Cayo a lo largo del Usumacinta (Aliphath y Caso 2006). Por su abundancia de agua combinada con su población modesta, el lugar se prestaba a una función de descanso y abastecimiento a lo largo de una ruta de comercio. De hecho, análisis regionales han permitido identificar puntos estratégicos a lo largo de una ruta de costo mínimo entre Cancun y Calakmul (Canuto y Barrientos 2013). Además, recientemente se ha demostrado que La Corona sostuvo relaciones amistosas con el sitio de La Florida (Namaan), lo cual constituye una ruta alterna hacia el suroccidente, que desemboca en el Río San Pedro (Canuto *et al.* 2014).

El primero de estos registros ocurrió durante el reinado de *Sak Maas*, cuando *Yuknoom Ch'een II* llegó a La Corona en la fecha 9.10.2.1.10 10 Oc 8 Cumku (14 de Febrero, 635 d.C.). Este episodio se registró en el Bloque 5 de la Escalinata Jeroglífica 2, cuyo texto indica que el soberano *Kaan* participó en un juego de pelota. De hecho, en los bloques 7 y 8 de la misma escalinata (elementos 35 y 36) se retratan dos personajes sentados y ataviados como jugadores de pelota (Figura 13.4). Estos se han identificado como *Sak Maas* a la izquierda (Bloque 7) y *Yuknoom Ch'een II* a la derecha (Bloque 8). Vale la pena resaltar que este evento ocurrió antes que *Yuknoom Ch'een II* asumiera como *K'uhul Ajaw* de *Kaan* en 9.10.3.5.10 8 Oc 18 Zip (29 de Abril, 636 d.C.). Además, ocurrió solo 53 días antes que Calakmul se estableciera como la capital de dicha dinastía (9 de abril de 635 d.C.) (Stuart 2012, Stuart *et al.* 2014). Por razones todavía no comprendidas, la alianza con *Sak Maas* fue importante como parte de la estrategia política de *Yuknoom Ch'een*.

La continuidad de las relaciones cercanas entre Calakmul y La Corona se evidencian por una importante visita que hiciera *Yuknoom Yich'ahk K'ahk'* a su cuñado *Chak Ak' Paat Kuy* en 9.13.3.16.17 8 Caban 10 Cumku (1 de Febrero, 696 d.C.), la cual se registró en el Bloque 5 de la Escalinata Jeroglífica 2 (Stuart *et al.* 2014, 2015) (Figura 13.5). Lo relevante es que esta visita ocurrió dos meses después que *Yuknoom Yich'ahk K'ahk'* fuera derrotado por *Jasaw Chan K'awiil* de Tikal, evidenciando así la importancia que tuvo La Corona en momentos de crisis.

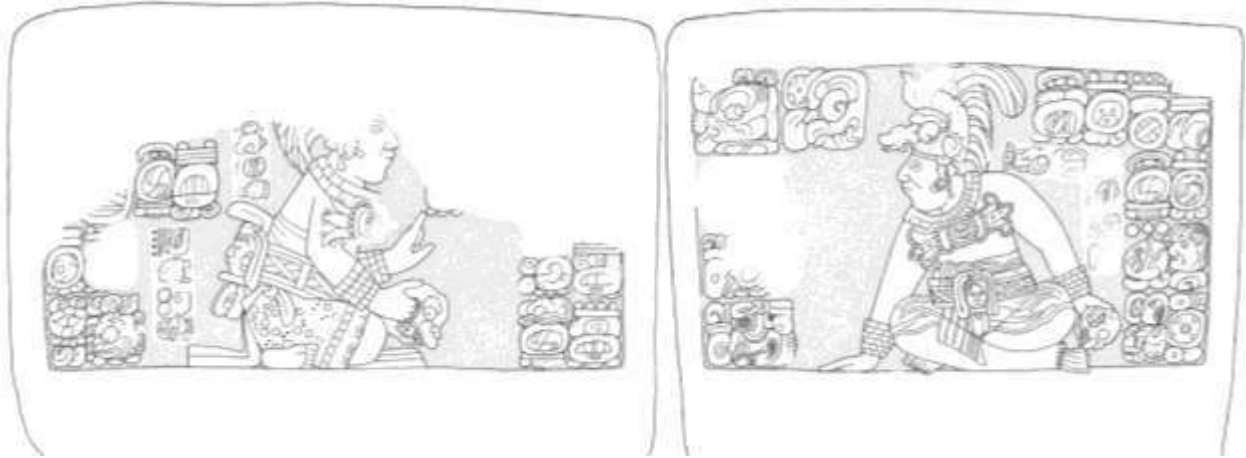


Figura 13.4 Elementos 35 y 36 La Corona (Dibujo por David Stuart).

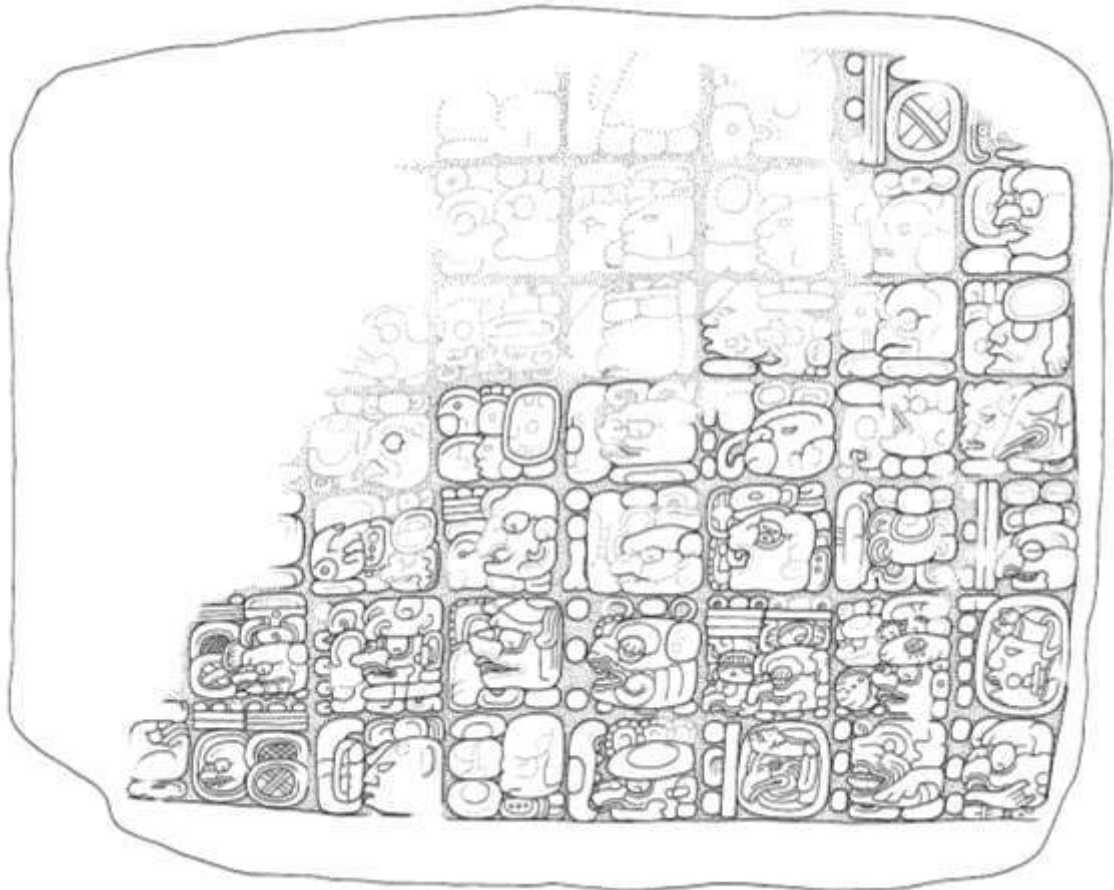


Figura 13.5 Bloque 5, Escalinata Jeroglífica 2 de La Corona (Dibujo por David Stuart).

Finalmente, hay otra posible visita registrada en el Elemento 55. En este caso, el panel retrata al gobernante de Calakmul conocido como *Ti' K'awiil* realizando una ceremonia de baile en la fecha 9.13.10.0.0 7 Ahau 3 Cumku (20 de enero de 702 d.C.) (Figura 13.6). Por el formato de otras esculturas similares, se asume que iba acompañada por otra escena, posiblemente del gobernante de La Corona en ese momento, *Chak Ak' Paat Kuy* (ver Capítulo 4 en este informe). Dado que *Ti' K'awiil* había heredado el reinado de Calakmul en una época difícil, causada por la derrota a manos de Tikal, es probable que al igual que su antecesor, haya viajado a La Corona para fortalecer su control de éste y otros sitios de la región occidental y central de Petén.



Figura 13.6 Elemento 55 de La Corona (Foto por Marianne Hernández).

Evidencia material: Cambios arquitectónicos

Uno de los principales objetivos de las investigaciones en La Corona es la correlación de los eventos dinásticos registrados en las inscripciones y los cambios en la función y configuración de la arquitectura monumental, ya sea en edificios individuales o en conjuntos de estructuras. Aunque La Corona no fue transformada arquitectónicamente de la misma manera que se ha propuesto para Uxul, la evidencia indica que hubo amplificaciones, renovaciones y cambios de función en las edificaciones y espacios públicos y rituales. Como ya se mencionó, uno de los mejores ejemplos son las modificaciones registradas en los tres templos centrales del Grupo Coronitas, los cuales parecen reflejar el evento registrado en el texto del Panel 1, donde el gobernante *Chakaw Nahb Chan* dedicó los santuarios de tres dioses patrones en el año 658 d.C. (Baron 2008, 2012, 2013) (Figura 13.7).



Figura 13.7 Reconstrucción hipotética del Grupo Coronitas. Nótese la plataforma con los tres templos dedicados a los dioses patrones, en el extremo derecho de la imagen (Dibujo por Julián González).

En la Plaza Principal del sitio, las excavaciones sugieren que la mayoría de la construcción monumental inició a finales del Clásico Temprano (siglo VI d.C.), lo que coincide con las primeras relaciones con la dinastía *Kaan*. El complejo palaciego (Estructura 13Q-4) constituye la construcción con mejor evidencia de cambios arquitectónicos significativos, tanto a gran escala como a nivel de modificaciones menores. La excavación por medio de túneles se ha

enfocado en el segundo episodio constructivo, denominado Fase Cocochán. En esta fase, la sección sur del complejo palaciego consistió principalmente de un patio cerrado y delimitado por cuatro estructuras (denominadas *Ayiin*, *Ahk*, *Wo* e Iguana), así como otros dos patios ubicados al norte y noroeste. Este conjunto fue cancelado y parcialmente cubierto por el siguiente episodio constructivo conocido como Fase Halcón, el cual se caracteriza por una gran plataforma que se colocó sobre el patio de la fase anterior. Aunque todavía no se tienen fechas absolutas para estas dos fases, algunos indicadores cerámicos y estratigráficos indican ambas pertenecen a los siglos VI y VII d.C., que corresponden a la "Era Dorada" del sitio. Por lo tanto, aunque estas dos fases todavía no se puedan asociar a los hechos particulares de las inscripciones, pueden ubicarse de manera general al período de los reinados de *Chakaw Nahb Chan*, *K'inich ? Yook*, y *Chak Ak' Paat Kuy*. En el caso del patio cerrado de la Fase Cocochan, su configuración sugiere que fungió como el grupo residencial de la corte real en el siglo VII d.C. Posteriormente, la residencia real se ubicó en la Estructura 13Q-4F, ubicada en el Patio Noreste del complejo palaciego (Figura 13.8). Aquí se ha documentado la arquitectura de mejor calidad en el sitio, así como varios rasgos como bancas y depósitos de artefactos que evidencian remodelaciones continuas hasta el final de su ocupación (Lamoureux St-Hilaire y Bustamante 2015).

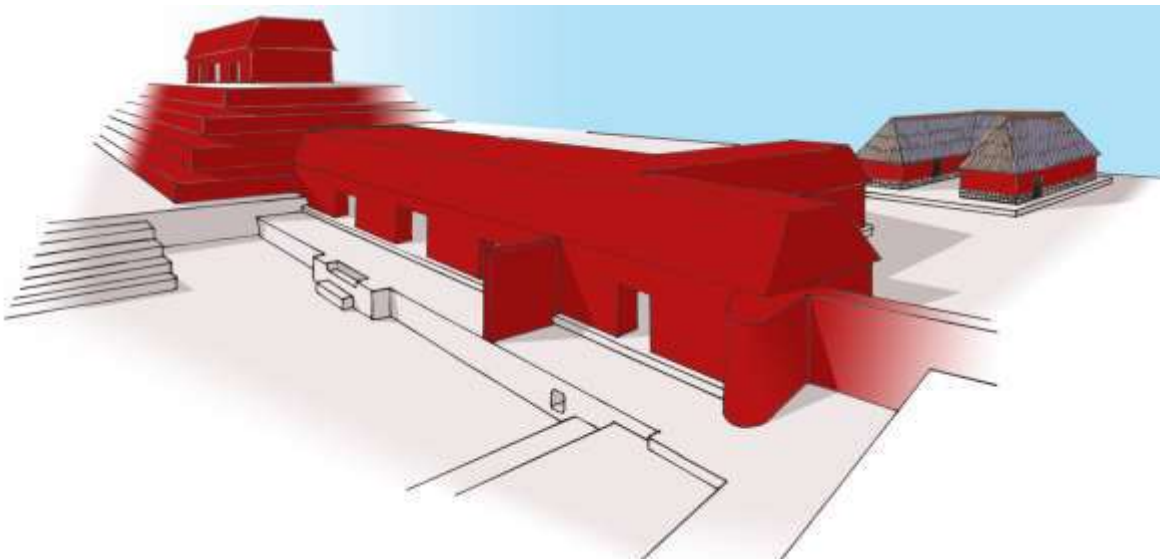


Figura 13.8 Reconstrucción hipotética de la Estructura 13Q-4F, Residencia Real en el Palacio de La Corona (Dibujo por Maxime Lamoureux-St-Hilaire).

Evidencia material: Ofrendas funerarias

Además de los cambios arquitectónicos ya mencionados, las excavaciones en La Corona han revelado que el inicio del siglo VII d.C. también fue un momento de cambio sustancial en los patrones de adquisición y uso de bienes y materiales exóticos, los cuales se han encontrado mayormente en contextos de ofrendas, tanto funerarias como dedicatorias de edificios.

Aunque no se cuenta con una gran cantidad de contextos correspondientes al Clásico Temprano, las investigaciones en el Grupo Coronitas han proporcionado evidencia importante que corresponde al momento previo a las relaciones entre La Corona y la dinastía *Kaan*. El mejor ejemplo de esta época lo constituye el Entierro 6, ubicado en la parte posterior de una subestructura de la Estructura 13R-2, que es uno de los tres templos centrales del Grupo Coronitas. Este entierro consistió de una cista cavada en la roca madre y contuvo los restos de un gobernante de mediados del siglo VI d.C. Aunque sus ofrendas carecieron totalmente de cerámica policromada y objetos exóticos como jade, la tumba fue sellada por un depósito de más de 20,000 lascas de pedernal, lo que es un rasgo indicativo de tumbas reales a lo largo de todas las Tierras Bajas Mayas (Baron 2012).

Al contrario de lo anterior, se han documentado cuatro entierros para el siglo VII d.C., cuyas ofrendas evidencian un marcado contraste en cuanto al acceso al jade, conchas *spondylus* y otros materiales que son indicadores de comercio a larga distancia. El Entierro 3, ubicado en la Estructura 13Q-3 de la Plaza Principal, posiblemente corresponde a un noble de alto rango, el cual fue enterrado con varios collares de jade y concha, destacando uno hecho con cuentas de concha *spondylus* de color púrpura (Desailly-Chanson 2012). En la Estructura 13R-10 del Grupo Coronitas se descubrieron 7 escondites con ofrendas, así como tres enterramientos, de los cuales destaca el Entierro 13, fechado para inicios del siglo VII d.C. (Ponce 2015) Sus ofrendas consisten de objetos de jade de alta calidad, así como artefactos muy finos de hueso y espinas de pez raya, una de las cuales cuenta con un texto inciso que identifica la pieza y su dueño, que en este caso se lee como *K'uh Ix Yax ¿? K'ik'* (“Divina Mujer Azul ¿? Sangre”) —un nombre que no aparece en las inscripciones de La Corona. De acuerdo a este texto, es posible identificar al individuo del Entierro 13 como una reina, ya que los dos títulos que acompañan su nombre indican que tuvo el rango más alto para una mujer de la realeza del período Clásico. Ahora bien, dado que su nombre no corresponde a ninguna reina conocida, ya sea local o proveniente de

Kaan, es posible que se trate de una reina local anterior a la esposa de *Sak Maas*, que bien podría ser su madre (Canuto y Barrientos 2015).

La evidencia más importante de los cambios ocurridos a inicios del siglo VII d.C. proviene de los dos templos funerarios de la Plaza Principal, las estructuras 13Q-1 y 13Q-2. La Estructura 13Q-2 es la segunda edificación más grande del sitio, y las excavaciones han documentado una larga trayectoria de modificaciones en su fachada principal, cuya escalinata pudo haber albergado muchos de los bloques tallados que se han recuperado fuera de su contexto original. Las excavaciones en 2014 descubrieron la presencia de una tumba bajo la escalinata, denominada Entierro 18. Éste consistió de una cista cavada en forma curvada dentro de la roca madre, la cual pudo contar con una construcción formal a su alrededor. Por la gran cantidad y calidad de objetos de jade se considera que se trata de un gobernante, en especial por una joya o diadema con la efigie del Dios *K'awiil* (Figura 13.9). En base a la evidencia cerámica se le ha asignado una fecha preliminar de 550 a 650 d.C., lo que colocaría este individuo al principio de la "Era Dorada". Una evidencia de suma importancia es la presencia de un plato (CR-V063) que es idéntico a uno encontrado en el Entierro 8 de El Perú/Waka', fechado entre 500 y 550 d.C. (Keith Eppich, comunicación personal). Aunque no ha sido posible identificar el sexo del individuo, no se descarta la posibilidad que se trate de la señora *Ix ĩ Naah Ek*, quien llegó a La Corona en 520 d.C. y probablemente murió entre 550 y 600 d.C.

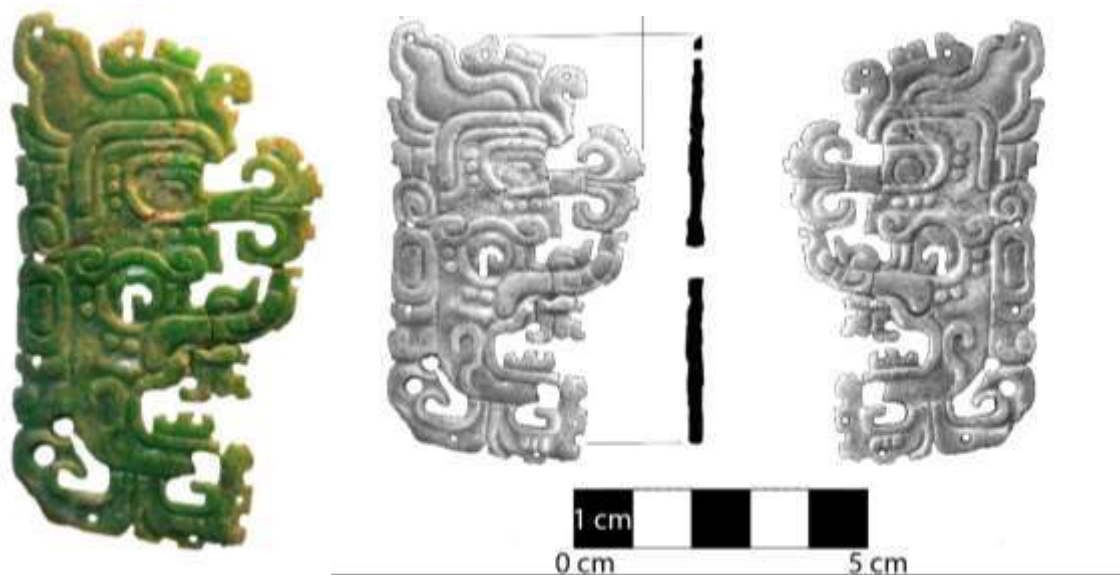


Figura 13.9 Joya de jadeíta proveniente del Entierro 18, Estructura 13Q-2
(Foto y dibujo por Luis Fernando Luin).

La Estructura 13Q-1 es un templo piramidal ubicado directamente al norte de 13Q-2, y presentó el mismo patrón funerario, consistente de una tumba en forma de cista, cavada en la roca madre y ubicada bajo la escalinata de acceso. La tumba, denominada Entierro 19, tuvo menos ofrendas que el Entierro 18, pero la presencia de otra joya o diadema con la efigie de una deidad sugiere que el ocupante fue un gobernante. Por el momento todavía no se cuenta con fechas de radiocarbono que permitan asociar el Entierro 19 con la historia escrita de La Corona, aunque por la cerámica asociada se tiene una fecha tentativa para finales del siglo VI d.C., lo que la haría contemporánea con el Entierro 18 y el inicio de la "Era Dorada".

La evidencia de estos cuatro enterramientos y sus ofrendas indican que La Corona empezó a participar en una red de intercambio a larga distancia probablemente sustentado por la dinastía *Kaan*, gracias a la cual se importaban objetos exóticos de prestigio mediante el “camino real” que conectó la capital de la dinastía *Kaan* con aliados como El Perú-Waka’, Dos Pilas y Cancuén (Canuto y Barrientos 2013) (Figura 13.10).

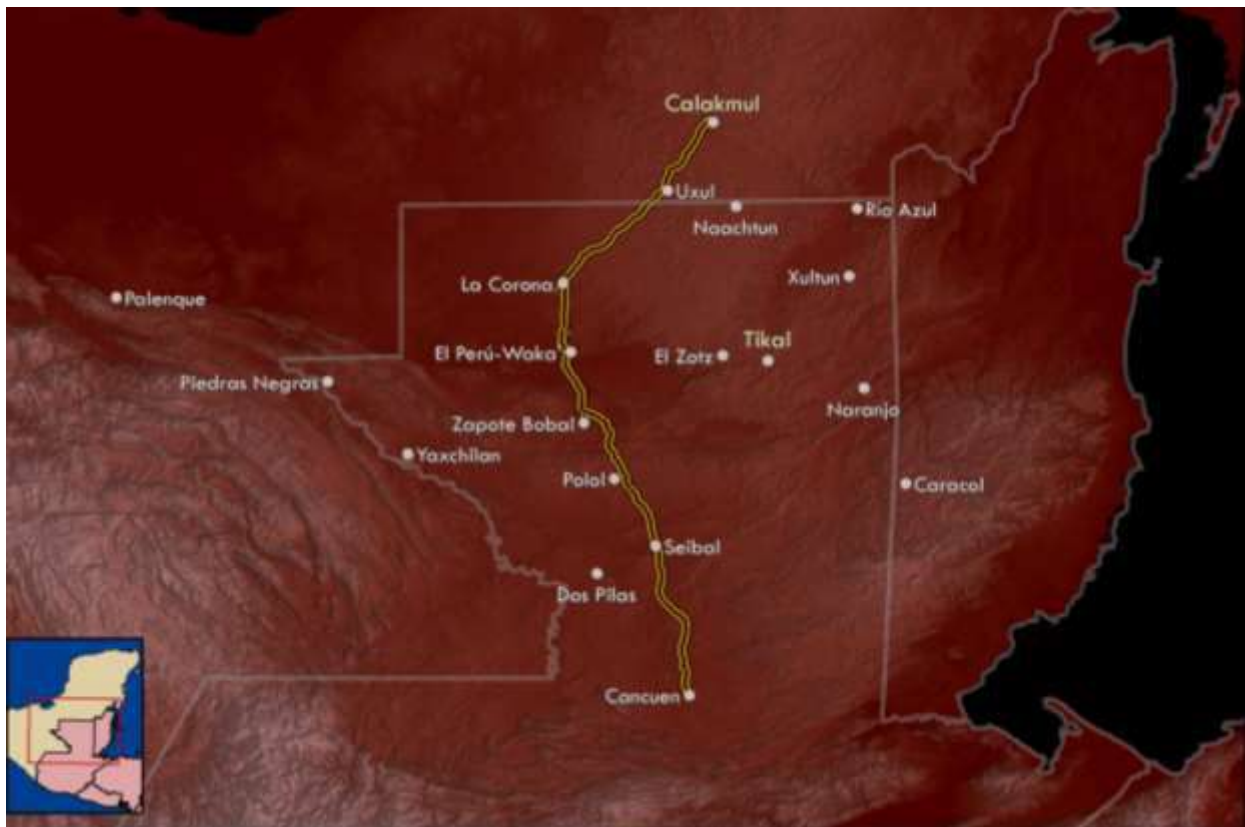


Figura 13.10 Mapa del “Camino Real” de la Dinastía *Kaan* durante el siglo VII d.C. (Mapa por M. Canuto).

Sin embargo, si algunas de estas tumbas son anteriores al reinado de *Yuknoom Ch'een II* de Calakmul, es posible entonces que haya existido una red de intercambio previa al “camino real” que se ha documentado para la segunda parte del siglo VII d.C. De hecho, algunas observaciones sobre la calidad del arte lapidario de las diademas y otros objetos de jade de La Corona, abren la posibilidad que fueran realizados allí mismo o que hayan llegado por rutas no necesariamente ligadas directamente a Calakmul (Andrieu 2015).

Por otro lado, el incremento de tumbas reales con ajuares funerarios en La Corona refleja también la aparición de nuevos símbolos de poder, lo que sugiere una elevación de estatus de sus gobernantes locales y un cambio en la forma en que se legitimó la autoridad política. En este caso, el origen de dicho cambio fue su estrecha asociación con la dinastía *Kaan*, la cual fue registrada en las inscripciones. Estos textos hacen posible inferir que La Corona no fue solamente otro reino independiente que se alió con la dinastía *Kaan*, sino fungió como una extensión territorial que permitió su expansión hacia el sur y oeste. Como se discutirá más adelante, esto apoya la idea de un estado estable, centralizado y expansivo.

Por razones que todavía no se comprenden en su totalidad, La Corona representó un punto de importancia estratégica para la expansión territorial de *Kaan* durante la primera mitad del siglo VII d.C., en especial por la competencia con Tikal para adquirir control de las rutas y recursos de las Tierras Bajas. Esto fue aprovechado por los gobernantes de La Corona para transformar las bases tradicionales de autoridad mediante nuevas expresiones que se basaban en el énfasis en la riqueza basada en bienes exóticos y el favoritismo de lo extranjero, lo que también afectó elementos de carácter religioso y en cierta manera, el mismo sentido de identidad.

Por otro lado, la historia política de La Corona varía de las demás entidades aliadas a *Kaan* en un punto clave: se mantuvo fiel por un periodo prolongado de patrocinio y abrigo que garantizó continuo acceso a escribanos, artistas, y bienes foráneos que les ayudaron a mantener y validar su estatus elevado. La Corona no rechazó su alianza inicial después de una o dos generaciones, como se ha documentado en la historia dinástica de Dos Pilas, Quirigua o Waka'-El Perú. En lugar de buscar su independencia política, los textos de La Corona enfatizan la larga trayectoria que existió entre la dinastía *Kaan* y los gobernantes de La Corona.

La Corona después de la caída del Reino *Kaan*

Las investigaciones en La Corona durante 2015 recuperaron importantes evidencias que han ayudado a esclarecer un momento de transformación política, cuando la influencia del Reino *Kaan* disminuye o desaparece en el Noroccidente de Petén a mediados del siglo VIII d.C. Específicamente, el hallazgo de dos paneles recolocados en el Palacio del sitio ha sido clave para comprender esta reconfiguración del discurso político en La Corona. Además, este rasgo se ha podido correlacionar con la Escalinata Jeroglífica 2, descubierta en 2012 y que también fue constituida por elementos escultóricos recolocados (Ponce 2014, Ponce y Cajas 2013) (Figura 13.11). En cierto sentido, se puede entender mejor la índole del sistema político que dominaba La Corona en la “Era Dorada” por las medidas tomadas después que se desmembró de la gran capital de Calakmul.



Figura 13.11 Escalinata Jeroglífica 2 de La Corona, compuesta por bloques removidos de otros edificios del sitio (Foto por David Stuart).

De manera inesperada, las investigaciones en el sitio El Achiotal, reiniciadas en esta Temporada 2015, también proveyeron nuevos datos sobre los cambios políticos en la región próxima a La Corona. El descubrimiento de dos fragmentos de una estela que fueron cuidadosamente depositados en uno de los principales edificios del sitio, ha aportado una nueva perspectiva para el período Clásico Temprano, que es prácticamente desconocido en esta zona y que ahora se puede vincular a La Corona antes y durante su apogeo en la “Era Dorada”.

En resumen, los dos principales hallazgos de la Temporada 2015 del Proyecto Regional Arqueológico La Corona (PRALC), constituyen excelentes ejemplos de cómo las esculturas públicas y sus textos jeroglíficos son fieles testigos de la organización sociopolítica interna y regional de La Corona y su región circundante, que incluye el sitio de El Achiotal. Pero lo más importante es que comprueban que la historia va más allá de lo escrito, por lo que el contexto arqueológico de estos monumentos constituyen evidencia clave para entender los cambios políticos que afectaron estos centros y su papel como “capitales” en el noroccidente de Petén.

Spolia en el Área Maya

La tradición de recolocar monumentos es ampliamente conocida en Mesoamérica y particularmente en el Área Maya. Dentro de la terminología usada por los historiadores de arte, se le conoce como spolia, que en general se refiere al re-uso de elementos arquitectónicos anteriores, lo cual fue muy común en el Imperio Romano y otras partes del mundo antiguo (Brilliant y Kinney 2011, Brenk 1987, Elsner 2000), aunque todavía puede observarse en muchas ciudades de la actualidad. Como parte intrínseca de este fenómeno, la reutilización de esculturas y otros elementos materiales suele depender de un momento de apogeo anterior, un pasado al cual se evoca por diversos motivos, pero que se redefine como parte de una nueva realidad. En la región Maya, se pueden distinguir algunos tipos de spolia:

- Veneración en plazas públicas de esculturas antiguas, como parte de cultos ancestrales o dinásticos, tal como puede observarse en varias estructuras de Tak'alik Ab'aj (Orrego 1998), Cobá (Pollock 1929), y La Milpa (Hammond y Bobo 1994).
- Uso como trofeos de guerra, como el caso de la Escalinata Jeroglífica de Naranjo, que fue originalmente de Caracol y fue llevada después de una victoria militar en 680 d.C. (Martin y Grube 2008: 73).
- Recolocación de bloques de escalinatas jeroglíficas, paneles y fragmentos de estelas u otros monumentos en rasgos arquitectónicos visibles, tal como se ha documentado en El Resbalón (Carrasco y Boucher 1987), Waka' (Lee et al. 2005), Uxul (Grube et al. 2012), y Kaminaljuyu (B. Arroyo, comunicación personal).
- Colocación de esculturas en santuarios cerrados, para su veneración continua, como el caso de la Estela 63 de Copán en la Estructura Papagayo (Fash et al. 2003).

- Colocación de esculturas completas o fragmentos en escondites o entierros, como en Copán (Stuart 2004: 243-6), Tikal (Shook 1958, Satterthwaite 1958), Punta de Chimino (Bachand 2010), Edzna (Williams-Beck 2011) y Waka' (Navarro-Farr y Rich 2015: 228).
- Re-uso en contextos no ceremoniales, como el caso de las murallas de Dos Pilas (Demarest et al. 1997), residencias de Copán en Sepulturas (Hendon 1992) y El Bosque (Manahan 2003); el uso de esculturas como parte de mampostería en algunas estructuras de Tak'alik Ab'aj (Schieber y Orrego 2010); y las esculturas que se encuentran en las fachadas de casas en Maní, Izamal y otros poblados coloniales de Yucatán.

Nuevos Elementos Escultóricos en La Corona

Las investigaciones en La Corona en 2015 incluyeron excavaciones en la Estructura 13Q-4G, ubicada en el límite norte del patio, así como en las estructuras 13Q-4B1 y 13Q-4B2 (originalmente identificadas como Estructura 13Q-4B) que limitan el patio en su lado este. La Estructura 13Q-4B2 es una plataforma con dos niveles que fue construida entre la Estructura 13Q-4G al norte y la Estructura 13Q-4B1 al sur, posiblemente para funciones de presentación, dada su visibilidad desde la Plaza Principal. Su construcción se ha fechado para la Fase Tucán, ya que constituye una adición al esquema original del grupo, con la finalidad de obstruir el acceso al patio. Durante la excavación de esta estructura se descubrió una banca de mampostería de alta calidad en su esquina noroeste, adyacente a la puerta del cuarto sureste de la Estructura 13Q-4G. En su respaldo se hallaron dos paneles de piedra caliza de alta calidad esculpidos con jeroglíficos, los cuales fueron designados como Elemento 55 y Elemento 56, de acuerdo a la nueva nomenclatura de monumentos de La Corona (Stuart et al. 2015a) (Figura 13.12). Además, son los primeros monumentos jeroglíficos encontrados en el palacio de La Corona.

El Elemento 55 fue encontrado *in situ* y originalmente se encontraba bajo el Elemento 56. Su imagen presenta la figura del gobernante de Calakmul *Ti' K'awiił*, realizando un baile y la inscripción contiene la fecha 9.13.10.0.0 7 Ahau 3 Cumku (20 de enero de 702 d.C.) El Elemento 56 se encontró caído, bocabajo, sobre la superficie de la banca y frente al Elemento 55. Su texto excepcionalmente conservado contiene 56 cartuchos glíficos que relatan eventos importantes de la vida del gobernante de La Corona *Chak Ak' Paat Kuy*, los cuales sucedieron entre 688 y 690 d.C.

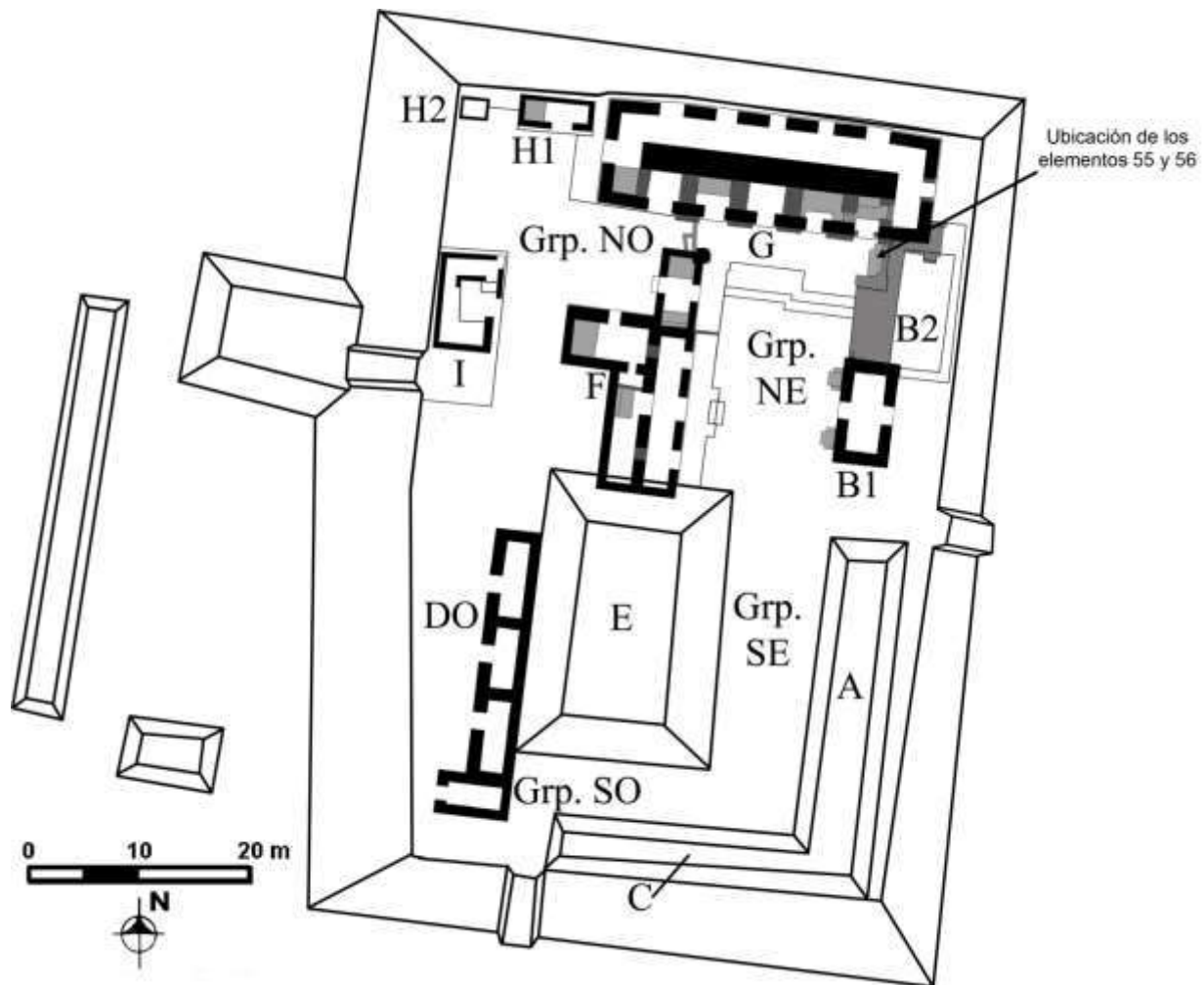


Figura 13.12 Plano del Palacio, Estructura 13Q-4, indicando la ubicación de los elementos 55 y 56 (Dibujo por Maxime Lamoureux-St-Hilaire).

El contexto de los elementos 55 y 56 muestra claramente que estas dos esculturas fueron recolocadas fuera de su lugar original y de manera incompleta, ya que a las dos les falta por lo menos otro elemento que complete su escena y/o texto jeroglífico. Lamentablemente no se puede determinar su lugar de origen, pero investigaciones anteriores han identificado escalinatas con bloques faltantes, especialmente en la Estructura 13Q-2 (Guirola y Slowing 2013, Cajas 2014) que suponen que fueron parte de escalinatas jeroglíficas o como paneles dentro de recintos cerrados. Dada su buena conservación, la segunda opción es la más probable.

Este no es el primer caso de spolia registrado en La Corona, ya que la Escalinata Jeroglífica de la Estructura 13R-10 del Grupo Coronitas muestra las mismas características (Ponce 2014, Ponce y Cajas 2013, Stuart y Baron 2013). La Escalinata Jeroglífica 2 no se había fechado con certeza debido al alto grado de destrucción causado por los saqueadores, ya que se carecía de contextos bien definidos o estratigrafía que pudiera correlacionar la escalinata con materiales cerámicos o arquitectónicos del resto de la Estructura 13R-10. El descubrimiento de los elementos 55 y 56 permite ahora contar con mejores datos relacionados a la spolia en La Corona y confirma que la creación de la Escalinata Jeroglífica 2 no constituyó un evento aislado en la historia del sitio.

Gracias a la cronología del complejo palaciego, es posible fechar la banca de la Estructura 13Q-4B2 como parte de la Fase Tucán, es decir, después de 721 d.C. Las excavaciones en el sitio secundario de La Cariba, realizadas por David Chatelain en 2015 proporcionan otro dato importante, ya que la Estructura 1 de ese sitio contiene una escalinata realizada con bloques lisos muy similares a los de la Estructura 13Q-2 de La Corona (ver Capítulo 7, este informe) (Figura 13.13). De igual forma son del mismo tipo que los bloques lisos de la Escalinata Jeroglífica 2, en la Estructura 13R-10, que fue creada mediante bloques recolocados (Ponce y Cajas 2013). Por lo tanto, es bastante probable que la escalinata de La Cariba haya sido realizada al mismo tiempo que la Escalinata Jeroglífica 2 de La Corona y por ende, que la banca de la Estructura 13Q-4B2.



Figura 13.13. Comparación de los escalones de La Cariba y La Corona, a distintas escalas (Fotografía superior por D. Chatelain; Fotografía inferior por C. Guirola).

Las excavaciones de Chatelain también descubrieron un pequeño fragmento del Altar 1 de La Cariba frente a la escalinata de la Estructura 1. Este Altar, fechado para 748 d.C., se había encontrado en la orilla noroeste de la plataforma que sostiene el grupo principal de La Cariba, y se sospechaba que no era su ubicación original (Marken 2010: 34-5). Con estos datos se puede afirmar tentativamente que el desmantelamiento y recolocación (spolia) de los elementos escultóricos de La Corona sucedió alrededor de los años 745 y 750 d.C. Esta fecha coincide muy bien con el momento en que la presencia de Calakmul disminuye considerablemente y desaparece de Petén, como resultado de varias victorias militares de Tikal sobre Calakmul y sus aliados en 733/6, 743 y 744 d.C. (Martin y Grube 2008: 113-4).

Como se mencionó anteriormente, es importante identificar los momentos en que las ciudades mayas sufrieron transformaciones políticas importantes, dando lugar a un cambio de ciclo o etapa en su desarrollo. La mitad del siglo VIII d.C. es precisamente un momento clave para La Corona, ya que su larga afiliación con la dinastía *Kaan* se rompe después de más de dos siglos. Los datos indican que en este momento La Corona sufre cambios importantes en su tradición escultórica, arquitectónica y posiblemente cerámica, que si bien parece ser de menor calidad, pueden reflejar el regreso a una etapa independiente, posiblemente como una capital regional, algo distinto de lo que había sido durante el apogeo de Calakmul.

De cualquier forma, aunque todavía no se entienda a cabalidad qué tipo de entidad política fue La Corona entre 750 y 800 d.C., si es claro que la spolia fue una herramienta importante para la “refundación” o “reformulación” del gobierno local. Uno de los detalles más intrigantes es que la spolia se realizó sin actividades iconoclastas, es decir, no se mutilaron elementos escultóricos, como es frecuente en otras ciudades mayas. Al contrario, la recolocación de estos elementos se hizo con un orden casi predeterminado, donde se separan pares o conjuntos de bloques y se colocan en lugares siempre importantes. Aunque solamente se tienen dos contextos identificados, cabe resaltar también que ambos contienen como elemento principal a un retrato de un gobernante de *Kaan*, como si fuera importante evocar ese pasado como base para un nuevo futuro.

Desde el punto de vista arqueológico, ha sido fundamental entender el contexto de estos paneles. Por el alto saqueo en La Corona, se pensó que los elementos faltantes de las inscripciones conocidas se encontraban en colecciones privadas, pero ahora existe más certeza

que muchos todavía permanecen ocultos en contextos similares con tal que no fueron destruidos en antigüedad por los mayas mismos. Por lo tanto, en investigaciones futuras se considerará realizar una búsqueda sistemática de más elementos escultóricos en base a los datos hasta ahora obtenidos.

Conclusión: La creación de una memoria social y colectiva

Las esculturas descubiertas en La Corona y El Achiotal en 2015 no solo proporcionan nueva evidencia de la historia de ambos sitios, sino proveen nuevos datos que permiten entender los procesos de cambio político en momentos críticos. La Estela 1 de El Achiotal indica por primera vez el papel del sitio como capital regional en el Clásico Temprano, pero su contexto arqueológico refleja el vínculo entre este momento y los inicios del Clásico Tardío. De manera similar, los elementos 55 y 56 de La Corona aportan nuevos detalles del gobierno de *Chak Ak' Paat Kuy*, pero su particular contexto ha servido para identificar el momento preciso en que la spolia de monumentos se usó como una estrategia política en particular, reconfigurando la base de poder de los gobernantes posteriores a la caída del Reino *Kaan* a mediados del siglo VIII d.C. Estos ejemplos ilustran muy bien la importancia del contexto arqueológico para la interpretación de las esculturas y sus inscripciones. Si bien los textos jeroglíficos proporcionan la historia oficial de los gobernantes, la reubicación posterior de cada escultura refleja una historia distinta que complementa lo que fue escrito. Este concepto es el que ha sido llamado memoria social, memoria histórica, memoria cultural o memoria colectiva. Definido originalmente por Halbwachs (1925), el concepto de memoria social ha sido desarrollado como una corriente interpretativa importante (Connerton 1989), la cual ha sido adoptada en la arqueología (Van Dycke y Alcock 2003) y de forma más reciente en la arqueología Maya (Canuto y Andrews 2008, Fowler et al. 2010, Golden 2010, Gillespie 2010, Stockett 2010). Su definición es la siguiente:

“Memoria cultural no se trata de dar testimonio de eventos pasados de forma precisa y veraz, sino en crear afirmaciones significativas sobre el pasado en un presente dado” (Holtorf 1997: 50, en Gillespie 2010)

Tomando en cuenta este concepto, la evidencia de spolia en La Corona y El Achiotal refleja la manera en que los gobernantes de ambos sitios propusieron y apoyaron una memoria social que partió de una reinterpretación de la historia oficial escrita en textos e imágenes. La reubicación de esculturas que evocaban específicos gobernantes de épocas pasadas no se hizo para negar u olvidar ese pasado, sino construyó una nueva etapa que de alguna manera se basa en la noción de continuidad, recreada a partir de rituales y ceremonias asociadas a las esculturas. Aunque todavía falta mucho para llegar a entender a totalidad la naturaleza de las entidades políticas de La Corona y El Achiotal relacionadas con la recolocación de esos monumentos, es claro que la interpretación de esa memoria colectiva se logrará en la medida que se investigue más a fondo su contexto inmediato y el de otras áreas con características similares.

BIBLIOGRAFÍA

Abrams, Elliot M.

1994 *How the Maya Built their World: Energetics and Ancient Architecture*. The University of Texas Press, Austin.

Acuña, Mary Jane

2013 *Art, Ideology, and Politics at El Achiotal: A Late Preclassic Frontier Site in Northwestern Petén, Guatemala*. Tesis doctoral, Departamento de Antropología, Washington University, St. Louis.

2015 La Casa de los Bultos en El Achiotal: acercamiento al estudio de la geografía política del Preclásico Tardío en las Tierras Bajas Mayas. En *XXVIII Simposio de Investigaciones Arqueológicas en Guatemala, 2014. Tomo I* editado por B. Arroyo, L. Méndez y L. Paiz, pp. 41-52. Ministerio de Cultura y Deportes, IDAEH y Asociación Tikal, Guatemala

Acuña, Mary Jane, Carlos Chiriboga, Marcello Canuto y Tomás Barrientos

2010 El Período Preclásico en la región noroccidental de Petén: datos recientes y modelos interpretativos. En *XXIII Simposio de Investigaciones Arqueológicas en Guatemala 2011* editado por B. Arroyo, A. Linares y L. Paiz, pp. 39-52. Ministerio de Cultura y Deportes, Instituto de Antropología e Historia, Asociación Tikal, Guatemala.

Adams, Robert M.

1966 *The Evolution of Urban Society: Early Mesopotamia and Prehispanic Mexico*, Chicago.

Adams, Richard. E. W.

1971 *The ceramics of Altar de Sacrificios*. Peabody Museum, Cambridge, Massachusetts.

Adams, Richard E. W. y Woodruff D. Smith

1981 Feudal Models for Classic Maya Civilization. En *Lowland Maya Settlement Patterns*, editado por W. Ashmore, pp. 335-349. University of New Mexico Press, Albuquerque.

Andrieu, Chloé

2009 *Outils mayas, distribution et production du silex et de l'obsidienne dans les Basses Terres*. Tesis de doctorado. Université Paris Ouest Nanterre-La Défense, Nanterre.

2011 La interpretación económica de los depósitos de lascas. En *XXIV Simposio Internacional de Arqueología*, editado por Barbara Arroyo, Adriana Linares y Lorena Paiz, pp. 321-344. MUNAE, Guatemala.

2013 Classic Maya bifacial production at Río Bec and Calakmul, Campeche, Mexico. *Journal of Field Archaeology* 38: 21-37.

Andrieu, Chloé, Julien Sion

s.f En un cruce de camino: los intercambios en Naachtun vistos desde el análisis del material lítico. En *Naachtun-Uxul en el contexto de las tierras bajas mayas y más allá*, editado por P. Nondédéo y D. Michelet. Centros de Estudios Maya, México. En prensa

Álvarez, Camilo

2015 Operación CR31: Excavaciones en la Estructura 13Q-1, Temporada 2014. En *Proyecto Arqueológico La Corona: Informe Final, Temporada 2014*, editado por Tomas Barrientos, Marcello Canuto, y Eduardo Bustamante, pp. 115-154. Instituto de Antropología e Historia, Guatemala.

Aoyama, Kazuo

2007 Elite Artists and Craft Producers in Classic Maya Society: Lithic Evidence from Aguateca, Guatemala. En *American Antiquity* 18: 3–26.

Bachand, Bruce

2010 Onset of the Early Classic period in the Southern Maya Lowlands: New evidence from Punta de Chimino, Guatemala. En *Ancient Mesoamerica* 21: 21-44.

Ball, Joseph W.

1977 *The Archaeological Ceramics of Becan, Campeche, Mexico*. Middle American Research Institute, Publication 43. Tulane University, New Orleans.

Ball, Joseph W. y Jennifer T. Taschek

1991 Late Classic Lowland Maya Political Organization y Central Place Analysis: New Insights from the Upper Belize Valley. *Ancient Mesoamerica* 2:149-165.

Barba et al.

1996 Chemical Analysis of residues in floors and the reconstruction of ritual activities at Templo Mayor, México. En *American Chemical Society*. 139-156.

Barba, Luis y J. Córdova

1999 Estudios energéticos de la producción de cal en tiempos teotihuacanos y sus implicaciones. En *Latin American Antiquity*. 10 2 168-179.

Barba, Luis, A. Ortíz y Linda Manzanilla

2007 Commoner Ritual at Teotihuacan, Central Mexico. En *Commoner Ritual, and Ideology in Ancient Mesoamerica*. Nancy Gonlin y Jon Lohse eds., University Press of Colorado. 55-82.

Barba, Luis. Ortiz A.

1992 Análisis químico de pisos de ocupación: un caso etnográfico en Tlaxcala, México. En *Latin American Antiquity*. 3: 63-82.

Baron, Joanne

- 2008 Excavaciones en Estructura 13R-3. En *Proyecto Regional Arqueológico La Corona No. 1, Temporada 2008*, editado por M. A. Canuto y T. Barrientos Q. Yale University y Universidad del Valle, New Haven y Guatemala.
- 2010 Operación CR12: Excavaciones en la Estructura 13R-3, Grupo Coronitas, La Corona. En *Proyecto Regional Arqueológico La Corona, Temporada 2009*, Editado por Marcello Canuto y Tomas Barrientos, pp. 135-158. Instituto de Antropología e Historia, Guatemala.
- 2011 Operaciones CR12, CR14 y CR15: Excavaciones en las estructuras 13R-3, 13R-4 y 13R-2 del Grupo Coronitas. En *Proyecto Regional Arqueológico La Corona: Informe Final, Temporada 2010*, Editado por Tomas Barrientos, Marcello Canuto y Mary Jeane Acuña, pp. 249-276. Instituto de Antropología e Historia, Guatemala
- 2012 Operaciones CR14, CR15 y CR17: Excavaciones en el Grupo Coronitas, Estructuras 13R-2, 13R-3, 13R-4 y 13R-5. En *Proyecto Regional Arqueológico La Corona: Informe Final, Temporada 2011*, Editado por Tomas Barrientos, Marcello Canuto y Jocelyne Ponce, pp. 231-264. Instituto de Antropología e Historia, Guatemala.
- 2013a Operaciones CR15A, CR15B y CR17B: Excavaciones en el Grupo Coronitas, Estructuras 13R-2, 13R-3 y 13R-5, Temporada 2012. En *Proyecto Arqueológico La Corona: Informe Final, Temporada 2012*, editado por Tomas Barrientos, Marcello Canuto, y Jocelyne Ponce, pp. 109-124. Instituto de Antropología e Historia, Guatemala.
- 2013b *Patrons of La Corona: Deities and power in a Classic Maya community*. Tesis de Doctorado, Universidad de Pennsylvania, Philadelphia.

Barrientos, Tomás, Marcello Canuto, Joanne Baron, Yann Desailly-Chanson y Bruce Love

- 2011 El Reino de Sak Nikte': Nuevos datos sobre la historia, cronología, asentamiento y medio ambiente en La Corona. En *XXIV Simposio de Investigaciones Arqueológicas en Guatemala* editado por B. Arroyo, L. Paiz, A. Linares y A. Arroyave, pp. 165-177. Ministerio de Cultura y Deportes, IDAEH y Asociación Tikal, Guatemala.

Barrientos, Tomás y Marcello Canuto

- 2010 Proyecto Arqueológico La Corona, Resultados de las Investigaciones en 2009. En *XXIII Simposio de Investigaciones Arqueológicas en Guatemala, 2009* editado por B. Arroyo, A. Linares Palma y L. Paiz Aragón, pp. 402-419. Asociación Tikal, Guatemala.
- 2015 Resultados Generales y Conclusiones de la Temporada de Campo 2014. En *Proyecto Arqueológico La Corona: Informe Final, Temporada 2014*, editado por Tomas Barrientos, Marcello Canuto, y Eduardo Bustamante, pp. 463-480. Instituto de Antropología e Historia, Guatemala.

Boot, Erik

- 2005 North of Lake Petén Itzá: A Regional Perspective on the cha-TAN-na/cha-ta Collocation. En *Continuity and Change in Text and Image at Chichén Itzá, Yucatán, Mexico: A Study on the Transformation of the Classic Maya Paradigm of Power at a Late Classic to Early Postclassic Maya Site*, pp. 505-516. Tesis doctoral, Leiden University.

Braswell, Geoffrey.

2013 Ancient obsidian procurement and production in the Petén Campechano: Uxul and Calakmul during the Early Classic to Terminal Classic Periods. En *Indiana* 30: 149-171.

Braswell, Geoffrey, Christian Prager, Cassandra R. Bill, Sonia A. Scwake y Jennifer B. Braswell

2004 The Rise of Secondary States in the Southeastern Periphery of the Maya World: A Report on Recent Archaeological and Epigraphic Research at Pusilha, Belize. *Ancient Mesoamerica* 15: 219-233.

Braswell, Geoffrey, Joel D. Gunn, Maria del Rosario Dominguez Carrasco, William J. Folan, Loraine A. Fletcher, Abel Morales Lopez y Michael D. Glascock

2004 Defining the Terminal Classic at Calakmul. En *The Terminal Classic in the Maya Lowlands, Collapse, Transition, and Transformation*, editado por A. A. Demarest, P. M. Rice, D. S. Rice, pp. 162-194. University Press of Colorado, Boulder.

Brenk, B.

1987 Spolia from Constantine to Charlemagne: Aesthetics versus Ideology. *Dumbarton Oaks Papers* 41: 103-09.

Brilliant, Richard y Dale Kinney

2011 *Reuse Value: Spolia and Appropriation in Art and Architecture from Constantine to Sherrie Levine*. Farnham, Ashgate

Bustamante, José Eduardo

2013 Operación CR20: Excavaciones en el Palacio de La Corona, Temporada 2012 En *Proyecto Arqueológico La Corona: Informe Final, Temporada 2012*, editado por Tomas Barrientos, Marcello Canuto, y Jocelyne Ponce, pp. 57-78. Instituto de Antropología e Historia, Guatemala.

2014 Operaciones CR20E y CR20F: Excavaciones en los Túneles del Palacio de La Corona En *Proyecto Arqueológico La Corona: Informe Final Temporada 2013*, editado por Tomas Barrientos, Marcello Canuto y Jocelyne Ponce, pp. 21-40. Instituto de Antropología e Historia, Guatemala.

2015a Operaciones CR20A, CR20C, CR20E, CR20P y CR20R: Excavaciones en el sector Sur y en los Túneles del Palacio de La Corona En *Proyecto Arqueológico La Corona: Informe Final, Temporada 2014*, editado por Tomas Barrientos, Marcello Canuto, y Eduardo Bustamante, pp. 39-54. Instituto de Antropología e Historia, Guatemala.

2015b Operaciones CR20O y CR21O: Excavaciones en la Fachada Oeste del Palacio de La Corona Estructura 13Q-4. En *Proyecto Arqueológico La Corona: Informe Final, Temporada 2014*, editado por Tomas Barrientos, Marcello Canuto, y Eduardo Bustamante, pp. 55-74. Instituto de Antropología e Historia, Guatemala.

Cajas, Antonieta

2014 Operación CR32: Excavaciones en las Estructuras 13Q-2 y 13Q-25, Temporada 2013. En *Proyecto Arqueológico La Corona: Informe Final Temporada 2013*, editado por Tomas Barrientos, Marcello Canuto y Jocelyne Ponce, pp. 61-82. Instituto de Antropología e Historia, Guatemala.

Canuto, Marcello y Anthony Andrews

2008 Memories, Meanings, and Historical Awareness: Post-Abandonment Behaviors among the Lowland Maya. En *Ruins of the Past: The Use and Perception of Abandoned Structures in the Maya Lowlands* editado por Travis W. Stanton y Aline Magnoni, pp. 257-274. University Press of Colorado, Boulder

Canuto, Marcello y Tomás Barrientos

2009 Proyecto Regional Arqueológico La Corona: Objetivos generales y resultados preliminares de las investigaciones en el Sitio Q. En *XXII Simposio de Investigaciones Arqueológicas en Guatemala, 2008* editado por J. P. Laporte, B. Arroyo y H. Mejía, pp. 738-758. Ministerio de Cultura y Deportes, Instituto de Antropología e Historia, Asociación Tikal, Fundación Arqueológica del Nuevo Mundo, Guatemala.

2011 La Corona: Un acercamiento a las políticas del Reino de Kaan desde un centro secundario del noroeste de Petén. *Estudios de Cultura Maya XXXVII*: 11-43. México: UNAM.

<http://www.iifilologicas.unam.mx/estculmaya/uploads/volumenes/xxxvii/lacorona.pdf>2013

2012 El reino Kan y La Corona: Más que una alianza. Ponencia presentada en el XXVI Simposio de Investigaciones Arqueológicas en Guatemala, Julio 2012, Museo Nacional de Arqueología y Etnología, Guatemala.

2013a La importancia de La Corona. *La Corona Notes* 1 1. Mesoweb.

<http://www.mesoweb.com/es/LaCorona/LaCoronaNotes01-es.pdf>

2013 Cinco años de investigaciones en La Corona: una adivinanza envuelta en un misterio dentro de un enigma. En *XXVI Simposio de Investigaciones Arqueológicas en Guatemala, 2012. Tomo II*, editado por B. Arroyo y L. Méndez, pp. 993-998. Ministerio de Cultura y Deportes, IDAEH, Asociación Tikal, Guatemala.

2014 Proyecto Regional Arqueológico La Corona: Resultados Generales y Conclusiones de la Temporada 2013. En *Proyecto Arqueológico La Corona: Informe Final, Temporada 2013*, editado por Tomas Barrientos, Marcello Canuto, y Jocelyne Ponce, pp. 243-264. Instituto de Antropología e Historia, Guatemala.

Canuto, Marcello, Tomás Barrientos, Mary J. Acuña, Carlos Chiriboga, Caroline Parris y Damien Marken

2011 Siguiendo las huellas del Reino Kan: Estudios regionales y definición de rutas de comunicación en el Noroccidente de Petén. En *XXIV Simposio de Investigaciones Arqueológicas en Guatemala*, editado por B. Arroyo, L. Paiz, A. Linares y A. Arroyave, pp. 325-340. Ministerio de Cultura y Deportes, IDAEH y Asociación Tikal, Guatemala.

Canuto, Marcello, Tomás Barrientos, Joanne Baron, Yann Desailly-Chanson, Liliana Padilla, Rodrigo Guzmán y Jocelyne Ponce

2012 Hallazgos e interpretaciones recientes en el sitio La Corona. En *XXV Simposio de Investigaciones Arqueológicas en Guatemala* editado por B. Arroyo, L. Paiz y H. Mejía, pp. 329-346. Ministerio de Cultura y Deportes, IDAEH, Asociación Tikal, Guatemala

Canuto, Marcello, Tomás Barrientos, Erika Gómez, Jocelyne Ponce, Camilo Álvarez, Erin Patterson y C. Parris

2015 Tumbas Reales de La Corona: La Nobleza Obliga. En *XXVIII Simposio de Investigaciones Arqueológicas en Guatemala, Museo Nacional de Arqueología 2014. Tomo I* editado por B. Arroyo, L. Méndez y L. Paiz, pp. 53-64. Ministerio de Cultura y Deportes, IDAEH y Asociación Tikal, Guatemala

Carballo David M.

2013 The Social Organization of Craft Production and Interregional Exchange at Teotihuacan. En *Merchant, Markets, and Exchange in the Precolumbian World*, editado por K. G. Hirth, J. Pillsbury, pp. 113-140. Dumbarton Oaks Precolumbian Simposia and Colloquia, Dumbarton Oaks

Carrasco, María del Rosario Domínguez

1994 *Calakmul, Campeche, un análisis de la cerámica*. Universidad Autónoma de Campeche, Campeche.

Carrasco, Ramón y Sylviane Boucher

1987 Las escaleras jeroglíficas de El Resbalón, Quintana Roo. En *Primer Simposio Mundial sobre Epigrafía Maya*, pp.1-21. Instituto de Antropología e Historia de Guatemala

Chase, Arlen y Diane Chase

1996 More than kin and king: centralized political organization among the Late Classic Maya. *Current Anthropology* 375: 803-810.

Chatelain, David

2015 Investigaciones arqueológicas en La Cariba, Temporada 2014. En *Proyecto Regional Arqueológico La Corona: Informe Final Temporada 2014*, editado por Tomás Barrientos, Marcello Canuto, y Eduardo Bustamante, pp. 373-400. Instituto de Antropología e Historia, Guatemala.

Chatelain, David, Maxime Lamoureux St-Hilaire, y Evan Parker

2013 Investigación arqueológica en La Cariba. En *Proyecto Regional Arqueológico La Corona: Informe Final Temporada 2012*, editado por Tomás Barrientos, Marcello Canuto, y Jocelyne Ponce, pp. 47-56. Instituto de Antropología e Historia, Guatemala.

Chauchat Claude y Jacques Pélegrin

2004 *Projectile Point Technology and Economy, A Case Study from Paijan, North Coastal Peru*. Centre for the Study of First Americans, Texas A&M University Press, College Station TX.

Clark John E., Douglas Donne Bryant

1997 Technological Typology of Prismatic Blades and Debitage from Ojo de Agua, Chiapas, Mexico. En *Ancient Mesoamerica* 8: 111-136.

- Connerton, Paul
1989 *How Societies Remember*. Cambridge University Press, Cambridge
- Coronado-Ruiz, Anabella
2009 Operación CR 20G: Excavaciones en el Edificio G de la Estructura 13Q-4. En *Proyecto Arqueológico La Corona: Informe Final, Temporada 2008*, editado por Marcello Canuto y Tomas Barrientos, pp.57-74. Proyecto Arqueológico La Corona, Instituto de Antropología e Historia, Guatemala.
- Culbert, T. Patrick
1993 *Tikal Report No. 25, Part A, The Ceramics of Tikal: Vessels from the Burials, Caches and Problematic Deposits*. The University Museum, University of Pennsylvania, Philadelphia.
- Demarest, Arthur A.
2004 *Ancient Maya: The Rise and Fall of a Rainforest Civilization*. Cambridge University Press, Cambridge.
1992 Ideology in Ancient Maya Cultural Evolution. En *Ideology and Pre-Columbian Civilizations*, editado por A. A. Demarest y G. W. Conrad, pp. 135-157. School of American Research Press, Santa Fe.
- Demarest, Arthur, Matt O'Mansky, Claudia Wolley, Dirk Van Tuerenhout, Takeshi Inomata, Joel Palka y Héctor Escobedo
1997 Classic Maya Defensive Systems and Warfare in the Petexbatún Region: Archaeological Evidence and Interpretations. *Ancient Mesoamerica* 82: 229-253
- De Montmollin, Olivier
1995 Settlement and Politics in Three Classic Maya Polities. Monographs in World Archaeology No. 24. Prehistory Press, Madison.
- Desailly-Chanson, Yann
2011 Operación CR33: Excavación del Entierro 3, Estructura 13Q-3. En *Proyecto Arqueológico La Corona: Informe Final, Temporada 2011*, editado por Tomas Barrientos, Marcello Canuto, y Jocelyne Ponce, pp. 201-230. Instituto de Antropología e Historia, Guatemala.
2012 Operación CR33: Excavación del Entierro 3, Estructuras 13Q-3. En *Proyecto Arqueológico La Corona: Informe Final Temporada 2011*, editado por T. Barrientos, M. Canuto y J. Ponce, pp. 201-230. Instituto de Antropología e Historia, Guatemala.
- Elsner, J.
2000 From the Culture of Spolia to the Cult of Relics: The Arch of Constantine and the Genesis of Late Antique Forms. *Papers of the British School at Rome* 68: 149-84.

- Fash, William, Barbara Fash y Karla Davis-Salazar
 2004 Setting the Stage: Origins of the Hieroglyphic Stairway Plaza on the Great Period Ending. En *Understanding Early Classic Copan* editado por E. Bell, M. Canuto y R. Sharer, pp. 65-83. University of Pennsylvania Museum of Archaeology and Anthropology, Philadelphia.
- Foias, Antonia E.
 2013 *Ancient Maya Political Dynamics*. University Press of Florida, Tallahassee.
- Foias, Antonia E. y Ronald L. Bishop
 2013 *Ceramics, Production, and Exchange in the Petexbatun Región*. Vanderbilt Institute of Mesoamerican Archaeology Series, Vol. 7. Vanderbilt University Press, Nashville.
- Folan, William J. y Abel Morales López
 1996 Calakmul, Campeche, México: La estructura II-H, sus entierros y otras funciones ceremoniales y habitacionales. En *Revista Española de Antropología Americana*, pp. 9-28. Universidad Complutense, Madrid.
- Forné, Mélanie
 2006 *Cronología cerámica en La Joyanca, Noroccidente del Petén, Guatemala*. BAR International Series, N°17, Oxford.
- Forsyth, Donald F.
 1989 *The Ceramics of El Mirador, Petén, Guatemala. El Mirador Series, Part 4*. Papers of the New World Archaeological Foundation, No. 63, Brigham Young University, Provo.
- Fox, John, Garrett Cook, Arlen Chase y Diane Chase
 1996 Questions of political and economic integration: segmentary versus centralized states among the ancient Maya. *Current Anthropology* 37 5: 795-801.
- Fox, John y John Justeson
 1986 Classic Maya Dynastic Alliance and Succession. En Supplement to Handbook of Middle American Indians editado por V. Bricker y R. Spores, pp. 7-34. University of Texas Press, Austin.
- Fox, Richard
 1977 *Urban anthropology: cities in their cultural settings*. Prentice-Hall Series in Anthropology. Prentice-Hall, Englewood Cliffs, N.J.
- Fowler, William, Charles Golden y Greg Borgstede
 2010 Introduction: Maya Archaeology and Social Memory, *Ancient Mesoamerica* 21 2: 309-314
- Freidel, David, Linda Schele y Joy Parker
 1993 *Maya Cosmos: Three Thousand Years on the Shaman's Path*. William Morrow and Company, New York

- Freidel, David y Stanley Guenter
 2003 Bearers of War and Creation. *Archaeology en-Línea*
<http://archive.archaeology.org/online/features/siteq/index.html>
- García Barrios, Ana
 2011 Análisis iconográfico preliminar de fragmentos de las vasijas estilo códice procedentes de Calakmul. *Estudios de Cultura Maya* 37: 65-98
- Gerry, John P. y Harold W. Kreuger
 1997 Regional Diversity in Classic Maya Diets. En *Bones of the Maya: Studies of Ancient Skeletons*, editado por Stephen Whittington y David Reed, pp.196-207. Smithsonian Institution Press, Washington, D.C.
- Gifford, James
 1960 The Type-Variety Method of Ceramic Classification as an Indicator of Cultural Phenomena. En *American Antiquity*, v25, n3, pp 341-347.
 1976 *Prehistoric Pottery Analysis and the Ceramics of Barton Ramie in the Belize Valley*. Memoirs of the Peabody Museum of Archaeology and Ethnology, volumen 18, Harvard University. Cambridge, Massachusetts.
- Gillelspie, Susan
 2010 Maya Memory Work, *Ancient Mesoamerica* 21 2: 401-41
- Golden, Charles
 2010 Frayed at the Edges: Collective Memory and History on the Borders of Classic Maya Politics, *Ancient Mesoamerica* 21 2: 373-384
- Gómez, Erika
 2015 Operación CR32: Excavaciones en la Estructura 13Q-2, Temporada 2014. En *Proyecto Arqueológico La Corona: Informe Final, Temporada 2014*, editado por Tomas Barrientos, Marcello Canuto, y Eduardo Bustamante, pp. 155-208. Instituto de Antropología e Historia, Guatemala.
- Graham, Ian
 1997 Mission to La Corona. *Archaeology* 505:46.
 2010 The Road to Ruins. University of New Mexico Press, Albuquerque.
- Grube, Nikolai
 2000 The City-States of the Maya. En *A Comparative Study of thirty City-State Cultures* editado por H. M. Hansen, pp. 547-565. Royal Danish Academy of Sciences and Letters, Copenhagen.
- Grube, Nikolai, Kai Delvendahl, Nicolaus Seefeld y Beniamino Volta
 2012 Under the Rule of the Snake Kings: Uxul in the 7th and 8th Century. *Estudios de Cultura Maya* 40:11-49

Grube, Nikolai y Kai Delvendahl

2013 Uxul en los siglos VII y VIII: nuevos datos sobre la expansión y caída de la hegemonía Kaan. Ponencia presentada en el IX Congreso Internacional de Mayistas, Campeche, México.

Guenther, Stanley

2009 Operación 32: Investigaciones en las Estructuras 13Q-2 y 13Q-6. En *Proyecto Regional Arqueológico La Corona No. 1, Temporada 2008* editado por M. A. Canuto y T. Barrientos Q., pp. 97-108. Yale University y Universidad del Valle, New Haven y Guatemala.

2010 Capítulo IV. Operación CR32: Investigaciones en las Estructuras 13Q-2, 13Q-2A y 13Q-6. En *Proyecto Arqueológico La Corona: Informe Final Temporada 2009*, editado por Marcello Canuto y Tomas Barrientos, pp. 73-98. Instituto de Antropología e Historia, Guatemala.

Guirola, Cristina

2011 Capítulo VII-II. Operación CR32D: Excavaciones en la estructura 13Q-2A. En *Proyecto Arqueológico La Corona: Informe Final Temporada 2010*, editado por Tomas Barrientos, Marcello Canuto y Mary Jeane Acuña, pp. 195-210. Instituto de Antropología e Historia, Guatemala.

Guirola, Cristina y Christopher Martínez

2012 Capítulo VII. Operación CR32: Excavaciones realizadas en la Estructura 13Q-2, Temporada 2011. En *Proyecto Arqueológico La Corona: Informe Final Temporada 2011*, editado por Tomas Barrientos, Marcello Canuto y Jocelyne Ponce, pp. 173-200. Instituto de Antropología e Historia, Guatemala.

Guirola, Ana Cristina, y Olga Slowing

2013 Operación CR32: Excavaciones en la Estructura 13Q-2, Temporada 2012. En *Proyecto Regional Arqueológico La Corona: Informe Final Temporada 2012*, editado por Tomás Barrientos, Marcello Canuto y Jocelyne Ponce, pp. 79-108. Instituto de Antropología e Historia, Guatemala.

Halbwachs, Maurice

1925 *The Collective Memory*. Harper-Colophon Books, New York

Hammond, Norman

1991 Inside the Black Box: Defining the Maya Polity. En *Classic Maya Political History: Hieroglyphic and Archaeological Evidence* editado por T. P. Culbert, pp. 253-284. Cambridge University Press, Cambridge.

Hammond, Norman y Matthew Bobo

1994 Pilgrimage's Last Mile: Late Maya Monument Veneration at La Milpa, Belize. *World Archaeology* 26 1: 19-34

Harrison, Peter

1970 *The Central Acropolis, Tikal, Guatemala: A Preliminary Study of the Functions of Its Structural Components During the Late Classic Period*. Ph.D. tesis, Departamento de antropología, University of Pennsylvania, Philadelphia.

Hearth, Nicholas F., Scott L. Fedick

2010 Defining the Chert Paucity Problem in the Northern Maya Lowlands, a First Approximation. En *Technology of the Maya Civilization, Political Economy and beyond in Lithic Studies*, editado por Z. X. Hruby, G. E. Braswell y O. Chinchilla Mazariegos, pp. 69-75. Equinox, Londres.

Hendon, Julia

1992 Architectural Symbols of the Maya Social Order: Residential Construction and Decoration in the Copan Valley, Honduras. En *Ancient Images, Ancient Thought: the Archaeology of Ideology*, editado por A. Sean Goldsmith, S. Garvie, D. Selin y J. Smith, pp 481-495. Chacmool, The University of Calgary Archaeological Association.

Holliday, Vance, Garthner W

2007. Methods of soil P analysis in archaeology. En *Journal of Archaeological Science*. 34:301-333.

Holtorf, Cornelius

1997 Megaliths, Monumentality and Memory, *Archaeological Review from Cambridge* 14: 45-6

Houston, Stephen D.

1993 *Hieroglyphs and History at Dos Pilas: Dynastic Politics of the Classic Maya*. University of Texas Press, Austin.

1997 Estados débiles y estructura segmentaria: La organización interna de las entidades políticas mayas. *Apuntes Arqueológicos* 51:67-92.

Houston, Stephen y David Stuart

2001 Peopling the Classic Maya Court. En *Royal Courts of the Ancient Maya, Volume 1: Theory, Comparison, and Synthesis* editado por T. Inomata y S. Houston, pp. 54-83. Westview Press, Boulder y Oxford.

Houston, Stephen, Stacy Symonds, David Stuart y Arthur Demarest

1991 A Civil War of the Late Classic Maya: Evidence from Hieroglyphic Stairway 4. Recent Finds at Dos Pilas, no. 3. Manuscrito no publicado.

Hruby, Zachary

2007 Ritualized Chipped-Stone Production at Piedras Negras, Guatemala. En *Rethinking Craft Specialization in Complex Societies: Archaeological Analyses of the Social Meaning of Production*, editado por Z. X. Hruby y R. K. Flad, pp. 68-87. Archaeological Papers of the American Anthropological Association No. 17, Arlington, VA.

Inizan, Marie Louise, M. Reduron, Hélène Roche y Jacques Tixier

1995 *Technologie de la pierre taillée*. CREP, Meudon.

Inomata, Takeshi y Stephen Houston

2001 Opening the Royal Maya Court. En *Royal Courts of the Ancient Maya, Volume I: Theory, Comparison, and Synthesis*, editado por Takeshi Inomata y Stephen D. Houston, pp. 3-26. Westview Press, Boulder.

Iannone, Gyles

2009 The Jungle Kings of Minanha: Constellations of Authority and the Ancient Maya Socio-Political Landscape. En *Archaeological Investigations in the Eastern Maya Lowlands: Papers of the 2008 Belize Archaeology Symposium*, editado por J. Morris, S. Jones, J. Awe, G. Thompson y C. Helmke, pp. 33-42. Research Reports in Belizean Archaeology. vol. 6. Institute of Archaeology, National Institute of Culture and History, Belmopan.

Iannone, Gyles y John Morris

2009 Ancient Maya Socio-Political Organization: Perspectives from Belizean Archaeology. En *Archaeological Investigations in the Eastern Maya Lowlands: Papers of the 2008 Belize Archaeology Symposium*, editado por J. Morris, S. Jones, J. Awe, G. Thompson y C. Helmke, pp. 3-14. Research Reports in Belizean Archaeology. vol. 6. Institute of Archaeology, National Institute of Culture and History, Belmopan.

Izquierdo y de la Cueva, Ana Luisa

2011 Introducción. En *El despliegue del poder entre los Mayas: Nuevos estudios sobre la organización política* editado por A.L. Izquierdo y de la Cueva, pp. 9-28. Universidad Nacional Autónoma de México, México.

Jackson, Sarah y David Stuart

2001 The Aj K'uhun Title: Deciphering a Classic Maya Term of Rank. *Ancient Mesoamerica* 12: 217-228.

Kosakowsky, Laura J.

1996 Comparative Collections of Prehistoric Maya Pottery. En *Cerámica de Cultura Maya et al.* 17:20-25.

Larsen, Clark S.

1997 *Bioarchaeology: Interpreting behavior from the human skeleton*. Cambridge, Cambridge University Press.

Lamoureux-St-Hilaire, Maxime

- 2011 *The Last Inhabitants of Minanha, Belize: Examining the Differential Abandonment of an Ancient Maya Community*. Tesis de maestría, Departamento de Antropología, Trent University, Peterborough.
- 2014 Excavación de la Estructura 13Q-4F en el Patio Norte del Palacio de La Corona. En *Proyecto Arqueológico La Corona: Informe Final, Temporada 2013*, editado por Tomas Barrientos, Marcello Canuto y Jocelyne Ponce, pp.41-60. Instituto de Antropología e Historia, Guatemala.
- 2015 Investigaciones en los Patios Noreste y Noroeste del Palacio de La Corona. En *Proyecto Arqueológico La Corona: Informe Final, Temporada 2014*, editado por Tomas Barrientos Marcello Canuto y Eduardo Bustamante, pp.75-114. Instituto de Antropología e Historia, Guatemala.

Lamoureux-St-Hilaire, Maxime y Eduardo Bustamante

- s.f Investigaciones de Desarrollo y Funcionalidad en el Palacio de La Corona Presentación dada en el XXIX Simposio de Investigaciones Arqueológicas en Guatemala, Julio de 2015, pendiente de publicación.

Lee, David, Jennifer. Piehl y Juan Carlos Meléndez

- 2005 Investigación de la arquitectura monumental en el área del Complejo Palaciego Noroeste de El Perú-Waka ñen Petén. En *XVIII Simposio de Investigaciones Arqueológicas en Guatemala, 2004* editado por J.P. Laporte, B. Arroyo y H. Mejía, pp.321-326. Museo Nacional de Arqueología y Etnología, Guatemala.

Leroi-Gourhan André

- 1945 *Milieu et techniques*. Albin Michel, Paris.

Lucero, Lisa J.

- 1999 Classic Lowland Maya Political Organization. *Journal of World Prehistory* 132:211-263.

Magennis, Ann L.

- 1999 Dietary change at the Lowland Maya site of Kichpanha, Belize. En *Reconstructing Ancient Maya Diet*, editado por Christine White, pp.133-150. Salt Lake City, University of Utah Press.

Manahan, Kam

- 2003 *Reevaluating the Decline of Classic Maya Kingdoms: A Case Study from Copan, Honduras*. Tesis doctoral, Departamento de Anthropología, Vanderbilt University.

Marcus, Joyce

- 1993 Ancient Maya Political Organization. En *Lowland Maya Civilization in the Eighth Century A.D.*, editado por J. A. Sabloff y J. S. Henderson, pp. 111-184. Dumbarton Oaks, Washington, D.C.

Marken, Damien

2010 Programa de Mapeo PRALC 2009: Trabajos en la Zona Este y Oeste de La Corona y el Sitio La Cariba. En *Proyecto Arqueológico La Corona, Informe Final Temporada 2009*, editado por Marcello Canuto y Tomás Barrientos, pp. 25-38. Instituto de Antropología e Historia, Guatemala.

Martin, Simon

1991 Some Observations of Site Q and Related Texts. Manuscrito no publicado.

2001 Court and Realm. En *Royal Courts of the Ancient Maya, Volume 1: Theory, Comparison, and Synthesis* editado por T. Inomata y S. Houston, pp. 168-194. Westview Press, Boulder y Oxford.

2005 Of Snakes and Bats: Shifting Identities at Calakmul. *The PARI Journal* 62:5-15.

2008 *Wives and daughters on the Dallas Altar. Artículos de Mesoweb:*

www.mesoweb.com/article/martin/WivesyDaughters.pdf

Martin, Simon y Nikolai Grube

2008 *Chronicle of the Maya Kings and Queen*. Thames and Hudson, New York.

Mathews, Peter

1979 Notes on the Inscriptions of 'Site Q'. Manuscrito no publicado.

Matteo, Sebastian

2010 Un nuevo monumento atribuido a La Corona, Guatemala. *Mexicon*, Vol. XXXII: 102-104

McAnany, Patricia y Shannon Plank

2001 Perspectives on Actors, Gender Roles, and Architecture at Classic Maya Courts and Households. En *Royal Courts of the Ancient Maya. Vol 1: Theory, Comparison, and Synthesis* editado por T. Inomata y S. Houston, pp. 84-129. Westview Press, Boulder.

Morales, Paulino

1998 Asentamientos prehispánicos en El Naranjo-Frontera, La Libertad, Petén. En *XI Simposio de Investigaciones Arqueológicas en Guatemala, 1997* editado por J.P. Laporte y H. Escobedo, pp. 128-143. Museo Nacional de Arqueología y Etnología, Guatemala.

Moholy-Nagy, Hattula

2003 *The artifacts or Tikal: utilitarian artifacts and unworked material*, Tikal Report n°27, Part B. University of Pennsylvania and Museum of Archaeology and Anthropology, Philadelphia.

Navarro-Farr, Olivia y Michelle Rich

2015 *Archaeology at El Perú-Waka': Ancient Maya Performances of Ritual, Memory, and Power*. The University of Arizona Press, Tucson.

Norr, Lynette

1984 Prehistoric subsistence and health status of coast peoples from the Panamanian Isthmus of lower Central America. En *Paleopathology at the Origins of Agriculture*, editado por Mark Cohen y George Armelagos, pp.463-490. Orlando, Academic Press.

Orrego, Miguel

1998 Problemática de la multiplicidad de estilos y patrones culturales en Tak'alik Ab'aj: Preclásico Medio y Tardío 800 AC-250 DC. En *Taller Arqueología de la Región de la Costa Sur de Guatemala* editado por Christa Schieber de Lavarreda. Proyecto Nacional Tak'alik Ab'aj, Ministerio de Cultura y Deportes, IDAEH, Guatemala.

Padilla, Liliana

2010 Operación CR-20 y CR-21: Excavaciones en el Palacio de la Corona. En Informe Final La Corona. Temporada 2009 editado por M.A. Canuto, T. Barrientos y M. J. Acuña, pp. 39-72. Universidad de Tulane, New Orleans.

2011 Operación CR 20: Excavaciones en el Palacio de la Corona. En Informe Final La Corona. Temporada 2009 editado por M.A. Canuto, T. Barrientos y M.J. Acuña, pp. 151- 172. Universidad de Tulane, New Orleans.

Padilla, Liliana y Alejandra Roche

2012 Operación CR20: Excavaciones en el Palacio de La Corona, Temporada 2011 En *Proyecto Regional Arqueológico La Corona: Informe Final, Temporada 2011*, Editado por Tomas Barrientos, Marcello Canuto y Jocelyne Ponce, pp. 145-172. Instituto de Antropología e Historia, Guatemala.

Padilla, Liliana y Eduardo Bustamante

2013 El Palacio de La Corona: En la búsqueda de las princesas del reino Kan. En XXVI Simposio de Investigaciones Arqueológicas en Guatemala, Museo Nacional de Arqueología y Etnología 2012, Tomo II editado por B. Arroyo y L. Salinas, pp. 1021-1028. Asociación Tikal, Guatemala.

Parris, Caroline A.

2013 Análisis Preliminar de la Cerámica de La Corona: Grupo Coronitas. En *Proyecto Arqueológico La Corona: Informe Final, Temporada 2012*, editado por Tomas Barrientos , Marcello Canuto, y Jocelyne Ponce, pp. 297-326. Instituto de Antropología e Historia, Guatemala.

2015 Análisis Preliminar de las Vasijas Completas, Temporada 2014. En *Proyecto Arqueológico La Corona: Informe Final, Temporada 2014*, editado por Tomas Barrientos, Marcello Canuto, y Eduardo Bustamante, pp. 301-334. Instituto de Antropología e Historia, Guatemala.

Parris, Caroline A. y Tomas Barrientos

2014 Análisis Preliminar de las Vasijas provenientes de la Estructura 13R-10, Temporada 2013. En *Proyecto Regional Arqueológico La Corona: Informe Final Temporada 2013*, editado por Tomas Barrientos, Marcello Canuto y Jocelyne Ponce, pp. 155-178. Instituto de Antropología e Historia, Guatemala.

Patterson, Erin, Elisandro Garza, y Leticia Miguel

2012 Operaciones CR18 y CR19: Excavaciones en el Patio Norte del Grupo 13R-11. En *Proyecto Regional Arqueológico La Corona: Informe Final Temporada 2011*, editado por Tomas Barrientos, Marcello Canuto, y Jocelyne Ponce, pp.319-333. Instituto de Antropología e Historia, Guatemala.

Patterson, Erin y Emily Kate

2015 Análisis preliminar de restos humanos de La Corona y La Cariba, temporadas de campo 2013 y 2014. En *Proyecto Regional Arqueológico La Corona: Informe Final Temporada 2014*, editado por Tomas Barrientos, Marcello Canuto, y Eduardo Bustamante, pp.347-372. Instituto de Antropología e Historia, Guatemala.

Perla Barrera, Divina

2013 Operación CR117: Excavaciones en la Estructura 13R-7. En *Proyecto Arqueológico La Corona: Informe Final, Temporada 2012*, editado por Tomas Barrientos, Marcello Canuto, y Jocelyne Ponce, pp. 221-250. Instituto de Antropología e Historia, Guatemala.

Pollock, Harry

1929 Report of Harry E. D. Pollock on the Coba Expedition. *Carnegie Institution of Washington Yearbook* 28: 328-9.

Ponce, Jocelyne

2013 Operación CR16: Excavaciones en la Estructura 13R-10, Temporada 2012. En *Proyecto Arqueológico La Corona: Informe Final, Temporada 2013*, editado por Tomas Barrientos, Marcello Canuto y Jocelyne Ponce, pp.141-186. Instituto de Antropología e Historia, Guatemala, Guatemala.

2014 Estructura 13R-10 de La Corona: un área de actividad de la élite maya prehispánica durante el Clásico Tardío y Terminal. En *XXVI Simposio de Investigaciones Arqueológicas en Guatemala, Museo Nacional de Arqueología y Etnología 2013*, editado por B. Arroyo, L. Méndez y A. Rojas, pp. 975-986. Ministerio de Cultura y Deportes, Instituto de Antropología e Historia, Asociación Tikal, Guatemala.

2015 Operación CR16: Excavaciones en la Estructura 13R-10, Temporada 2014. En *Proyecto Regional Arqueológico La Corona: Informe Final Temporada 2014*, editado por Tomas Barrientos, Marcello Canuto, y Eduardo Bustamante, pp.209-270. Instituto de Antropología e Historia, Guatemala.

Ponce, Jocelyne y María Antonieta Cajas

2013 El grupo 13R-II de La Corona: El contexto arqueológico de la escalinata glífica 2. En *XXVI Simposio de Investigaciones Arqueológicas en Guatemala, Museo Nacional de Arqueología y Etnología 2012, Tomo 2*, editado por B. Arroyo y L. Méndez, pp. 1041-1047. Ministerio de Cultura y Deportes, Instituto de Antropología e Historia, Asociación Tikal, Guatemala.

Proskouriakoff, Tatiana

1960 Historical Implications of a Pattern of Dates at Piedras Negras, Guatemala. En *American Antiquity* 25:454-475.

Reed, David M.

1999 Cuisine from Hun-Nal-Ye. En *Reconstructing Ancient Maya Diet*, Editado por Christine White, pp.183-196. Salt Lake City, University of Utah Press.

Reents-Budet, Dorie, Sylviane Boucher Le Landais, Ronald L. Bishop, y M. James Blackman

2010 Codex-Style Ceramics: New Data Concerning Patterns of Production and Distribution. Ponencia Presentada en el XXIV Simposio de Investigaciones Arqueológicas en Guatemala. Julio 19-24, 2010. Museo Nacional de Arqueología y Etnología, Ciudad de Guatemala.

Ringle, William

1985 Notes on Two Tablets of Unknown Provenance. En Fifth Palenque Round Table, 1983. Vol. VII editado por M.G. Robertson y V. Fields, pp. 151-158. Pre-Columbian Art Research Institute, San Francisco.

Rovner, Irwin y Suzanne Lewenstein

1997 *Maya stone tools of Dzibilchaltun, Yucatán, and Becan and Chicanna, Campeche*. Middle American Research Institute, Tulane University, Nueva Orleans.

Sabloff, Jeremy A.

1975 *Excavations at Seibal, Number 2: Ceramics*. Peabody Museum of Archaeology and Ethnology, Harvard University, Cambridge.

Salazar Avendaño José Clemente

1994 Los artefactos líticos de Dzibanche, Quintana Roo, Análisis preliminar. En *Informe del Proyecto Arqueológico Sur de Quintana Roo Dzibanche 1993-1994*, editado por E. Nalda, L. E. Campaña, INAH, Mexico.

Sanders, William

1981 Classic Maya Settlement Patterns and Ethnographic Analogy. En *Lowland Maya Settlement Patterns* editado por W.A. Ashmore, pp. 351-369. University of New Mexico Press, Albuquerque.

1989 Household, Lineage, and the State in 8th-Century Copan. En *House of the Bacabs, Copan: A Study of the Iconography, Epigraphy, and Social Context of a Maya Elite Structure* editado por D.L. Webster, pp. 89-105. Studies in Precolumbian Art and Archaeology. Dumbarton Oaks, Washington, D.C.

Sanders, William y David Webster

1988 The Mesoamerican Urban Tradition. *American Anthropologist* 90:521-546.

Sandoval, Andrea

2014 *Elaboración y validación, mediante espectrofotometría UVVIS, de la escala semi-cuantitativa colorimétrica del método de campo modificado del anillo de fosfomolibdato, para la determinación relativa de fósforo disponible en piso hecho a base de estuco*. Trabajo de graduación para optar al grado académico de Licenciada en Química, Universidad del Valle de Guatemala

Satterthwaite, Linton

1958 The Problem of Abnormal Stela Placements at Tikal and Elsewhere. *Tikal Reports Nos. 1-4*. The University Museum, University of Pennsylvania, Philadelphia

Schieber de Lavarreda, Christa; Orrego Corzo, Miguel

2010 La Escultura El Cargador del Ancestro y su contexto. En *XXIII Simposio de Investigaciones Arqueológicas en Guatemala, 2009*. Ministerio de Cultura y Deportes, Instituto de Antropología e Historia, Asociación Tikal, Guatemala.

Sharer, Robert J. y Loa P. Traxler

2006 *The Ancient Maya* sexta edición. Stanford University Press, Stanford.

Shook, Edwin

1958 The Temple of the Red Stela. *Expedition* 11:26-33

Smith, Monica

2003 Introduction: The Social Construction of Ancient Cities. En *The Social Construction of Ancient Cities* editado por M. L. Smith, pp. 1-36. Smithsonian Books, Washington, D.C.

Smith, Robert E.

1955 *Ceramic Sequence at Uaxactún, Guatemala*. Middle American Research Institute, Publication 20, Vol. I and II. Tulane University, New Orleans.

Smith, Robert E. and James C. Gifford

1966 *Maya Ceramic Varieties, Types, and Wares at Uaxactun: Supplement to Ceramic Sequence at Uaxactun, Guatemala*. Middle American Research Institute, Tulane University, Publicación 28, pp. 125-174.

Smith, Robert E., Gordon Willey and James C. Gifford

1960 The Type-Variety Concept as a Basis for the Analysis of Maya Pottery. En *American Antiquity*, v25, n3, pp 330-340.

Stockett, Miranda

2010 Sites of Memory in the Making: Political Strategizing in the Construction and deconstruction of Place in Late to Terminal Classic Southeastern Mesoamerica, *Ancient Mesoamerica* 21 2: 315-330

Stuart, David

2001 Las ruinas de La Corona, Peten, y la identificación del 'Sitio Q'. Ponencia presentada en el XV Simposio de Investigaciones Arqueológicas en Guatemala, Julio 2001, Museo Nacional de Arqueología y Etnología, Guatemala.

2004 The Beginnings of the Copan Dynasty: A Review of the Hieroglyphic and Historical Evidence. En *Understanding Early Classic Copan* editado por E. Bell, M. Canuto y R. Sharer, pp.215-247. University of Pennsylvania Museum of Archaeology and Anthropology, Philadelphia.

2012 Notes on a New Text from La Corona. Maya Decipherment, 30 Junio, 2012.
<http://decipherment.wordpress.com/2012/06/30/notes-on-a-new-text-from-la-corona/>

Stuart, David y Joanne Baron

2013 Análisis preliminar de las inscripciones de la Escalinata Jeroglífica 2 de La Corona. En *Proyecto Regional Arqueológico La Corona, Informe Final Temporada 2012* editado por T. Barrientos, M. Canuto, y J. Ponce, pp. 187-220. Informe entregado a la Dirección General del Patrimonio Cultural y Natural, Guatemala.

Stuart, David, Marcello Canuto y Tomás Barrientos

2015 The Nomenclature of LaCorona Sculpture. *La Corona Notes* 1 2
<http://www.mesoweb.com/LaCorona/LaCoronaNotes02.pdf>

Stuart, David, Marcello Canuto, Tomas Barrientos, y Maxime Lamoureux-St-Hilaire

2015 *Preliminary Notes on Two Recently Discovered Inscriptions from La Corona, Guatemala*. www.decipherment.wordpress.com

Stuart, David, Marcello Canuto, Tomas Barrientos, Jocelyne Ponce y Joanne Baron

2015 Death of the Defeated: New Historical Data on Block 4 of La Corona's Hieroglyphic Stairway 2. *La Corona Notes* 13
<http://www.mesoweb.com/LaCorona/LaCoronaNotes03.pdf>

Stuart, David, Peter Mathews, Marcello Canuto, Tomas Barrientos Q., Stanley Guenter, y Joanne Baron

2014 Un esquema de la historia y epigrafía de La Corona. En *XXVII Simposio de Investigaciones Arqueológicas en Guatemala 2013*. Editado por Bárbara Arroyo, Luis Méndez Salinas, y Andrea Rojas. Ministerio de Cultura y Deportes, Instituto de Antropología e Historia. Asociación Tikal.

Stuart, David y Stephen Houston

1994 Classic Maya Placenames. *Studies on Pre-Columbian Art & Archaeology*, No. 23.

Thompson, J. Eric S.

1954 *The Rise and Fall of Maya Civilization*. University of Oklahoma, Norman.

Velásquez, Antolín

2011 Capítulo VII-I. Operación CR32D: Excavaciones en la estructura 13Q-2. En *Proyecto Arqueológico La Corona: Informe Final Temporada 2010*, editado por T. Barrientos, M. Canuto y M. Acuña, pp. 173-194. Instituto de Antropología e Historia, Guatemala.

Van Dyke, Ruth y Susan Alcock editores

2003 *Archaeologies of Memory*. Blackwell Publishing, Oxford

van Klinken, G.J.

1999 Bone Collagen Quality Indicators for Palaeodietary and Radiocarbon Measurements. En *Journal of Archaeological Science* 26:687-695.

- Valencia, Rogelio y Ana García Barrios
2011 15ª Conferencia Maya Europea: «Sociedad y Organización Socio-Territorial Maya». *Revista Española de Antropología Americana* 411: 271-281
- Vogel, J.C. y Nikolaas J. van der Merwe
1977 Evidence for Early Maize Cultivation in New York State. En *American Antiquity* 422:238-242.
- Williams-Beck, Lorraine
2011 Rivers of Ritual and Power in the Northwestern Maya Lowlands. En *Ecology, Power, and Religion in Maya Landscapes, 11th European Maya Conference, Malmö University, December 2006*, editado por C. Isendahl y B. Liljefors, pp. 69-88. Acta Mesoamericana No. 23. Anton Saurwein, Verlag
- Williams-Beck, Lorraine, Bodil Liljefors y Armando Anaya
2012 Back to the future for predicting the past: *cuchcabal-batabil-cuchteel* and *may* ritual political structures across archaeological landscapes, in ethnohistoric texts, and through cosmological time. *Contributions in New World Archaeology* 4: 251-278
- Woodfill, Brent y Chloé Andrieu
2012 Tikal's Early Classic domination of the Great Western trade route: ceramic, lithic, and iconographic evidence. En *Ancient Mesoamerica* 23: 189–209.

ANEXO

LISTADO DE MATERIALES ARQUEOLÓGICOS, TEMPORADA 2015

En el siguiente inventario se da el número de bolsas de materiales recuperados por contextos de excavación.

La Corona

Estructura 13Q-1

Operación	Unidad	Caliza	Hueso
CR-31B	1		1
CR-31B	16		1
CR-31B	11		1
CR-31B	10	1	

Operación	Espina de Mantarraya	Piedra Verde	Malacología	Pirita
CR-31B	8	45	8	5

Operación	Unidad	Cerámica
CR-31B	11	6
CR-31B	16	1
CR-31B	18	1
CR-31B	10	1
CR-31C	19	2
CR-31B	9	1
CR-31B	11	4
CR-31B	10	3
CR-31B	15	1
CR-31B	12	1
CR-31C	19	4
CR-31B	16	1
CR-31B	9	1
CR-31B	17	1
CR-31B	18	1

Estructura 13Q-2

Operación	Unidad	Hueso	Concha
CR-32H	18	1	
CR-32H	19		
CR-32H	20		
CR-32H	21	1	

CR-32H	22	1	1
CR-32H	23	2	

Operación	Unidad	Obsidiana	Pedernal	Caliza	Estuco
CR-32H	18				
CR-32H	19				
CR-32H	20				
CR-32H	21	1		1	
CR-32H	22				2
CR-32H	23	3	1		5

Operación	Unidad	Cerámica
CR-32H	18	1
CR-32H	19	1
CR-32H	20	8
CR-32H	21	6
CR-32H	22	5
CR-32H	23	10

Estructura 13Q-4

Contexto	Material	Cantidad
CR20B-1	Lítica/Panel	2

Operación	Unidad	Lítica	Hueso	Concha
CR-20O	3		5	
CR-21O	2		2	1
CR-20O	4	2		
CR-20O	1			1
CR-20R	2		1	

Operación	Unidad	Cerámica	Lítica	Hueso	Concha	Figurilla	Estuco	Carbón	Semilla
CR.20G	11			2	1			1	
CR.20G	8		1	4	2			2	
CR-20B	2	1		3	1	2			1
CR.20G	10		1	2	2				
CR-20F	1			4	1		1	1	
CR.20G	9			1		2		1	

Operación	Unidad	Obsidiana	Pedernal	Estuco	Lítica
CR-20O	3		3	1	
CR-21O	2	1		1	

CR-20R	2	1			
CR-20F	1	1	1		
CR-20G	11	1	2		
CR-20G	8	1	1		
CR-20G	10	4	3		
CR-20B	1		1		1
CR-20B	2	3	5		
CR-20G	9	1	2		1

Operación	Unidad	Huesos	Muestra de Tierra	Pedernal	Cerámica
CR20G	9	Entierro 18	3	2	1
CR20O	2a	Huesos de Jaguar			

Operación	Unidad	Cerámica
CR-20B	1	6
CR-20B	2	5
CR-20B	2	10
CR-20F	1	5
CR-20G	8	14
CR-20G	9	11
CR-20G	9	8
CR-20G	10	3
CR-20G	10	6
CR-20G	11	7
CR-20O	2a	11
CR-20O	3	10
CR-20O	3	5
CR-20O	4	4
CR-20O	2	2
CR-20O	4	2
CR-20E	11	2
CR-20O	1	1
CR-20R	2	1

La Cariba

Contexto	Material	Cantidad
CAR2A-6-2	Lítica/Fragmento de altar	1

operación	unidad	hueso	concha	figurilla	carbón	jade	Vasija
-----------	--------	-------	--------	-----------	--------	------	--------

							Completa
CAR 2A	4	1					1
CAR 2A	7	1					
CAR 12B	1	3	3				
CAR 12B	2	1		1	3		
CAR 12C	1	1		1	1		
CAR 2A	2		1			1	
CAR 2A	3		1				
CAR 2A	8		1	1			
CAR 12B	4		2				
CAR 12B	4a		1		2		
CAR 2A	6			1			
CR-31B	11				4		

Operación	Unidad	Obsidiana	Lítica
CAR-2A	2	1	1
CAR-2A	3	3	4
CAR-2A	4	2	2
CAR-2A	6	3	3
CAR-2A	8	1	1
CAR-12B	1	2	2
CAR-12B	2	5	6
CAR-12C	1	1	2
CAR-2A	1		2
CAR-2A	7		1
CAR-2A	10		1
CAR-12B	4		1
CAR-12C	1		2
CAR-12C	2		1

Operación	Unidad	Cerámica
CAR-2A	1	2
CAR-2A	2	8
CAR-2A	3	8
CAR-2A	4	2
CAR-2A	5	3
CAR-2A	6	5
CAR-2A	7	3
CAR-2A	8	2
CAR-2A	9	2
CAR-2A	10	4

CAR-12B	1	7
CAR-12B	1	6
CAR-12B	2	7
CAR-12B	2	4
CAR-12B	3	2
CAR-12B	4	2
CAR-12B	4a	3
CAR-12C	1	4
CAR-12C	2	3

El Achiotal

Unidad	Cerámica	Lítica	Obsidiana	Estuco	Carbón	Huesos	Sedimentos
ACH3O-1	7	1		1	4	2	2
ACH3-LT2						1	
ACH3S-1				3			
ACH3-LT6				1			

Operación	Unidad	Cerámica
ACH-30	1-ext	8
ACH-30	1	8
ACH-30	1	7
ACH-3	LT1	2
ACH-3S	1	6
ACH-30	1	6
ACH-30	1	10
ACH-30	1	6
ACH-4	LT3	3
ACH-3	LT4	3
ACH-3	LT6	2
ACH-3	LT5	1
ACH-3	LT3	1
ACH-30	1-ext	7
ACH-3	LT2	1
ACH-30	1-ext	4
ACH-30	1	7
ACH-30	1	7